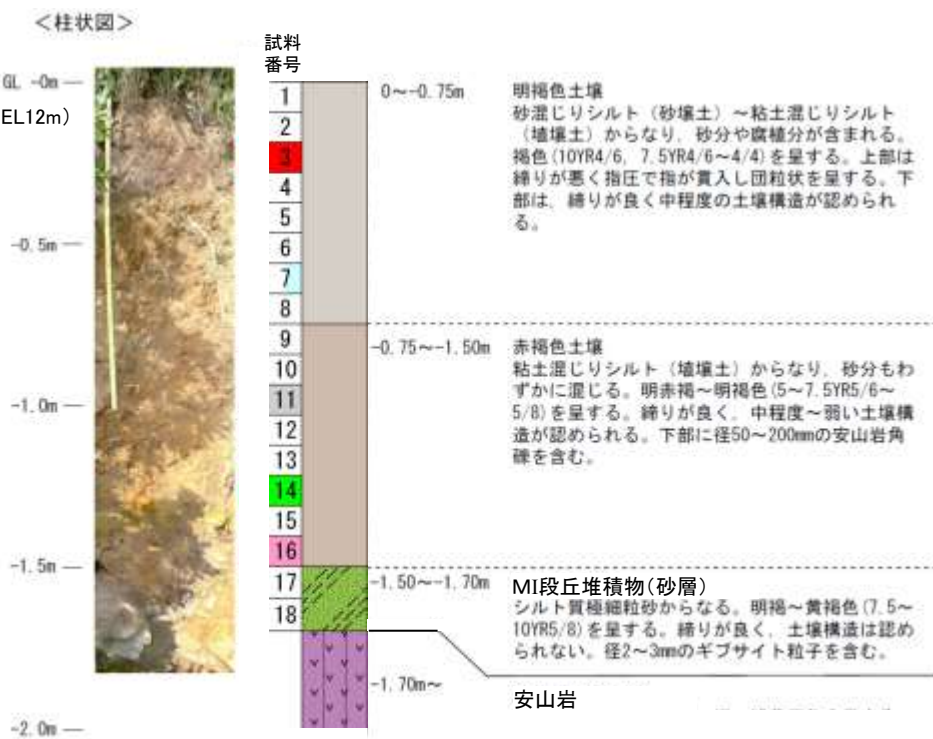
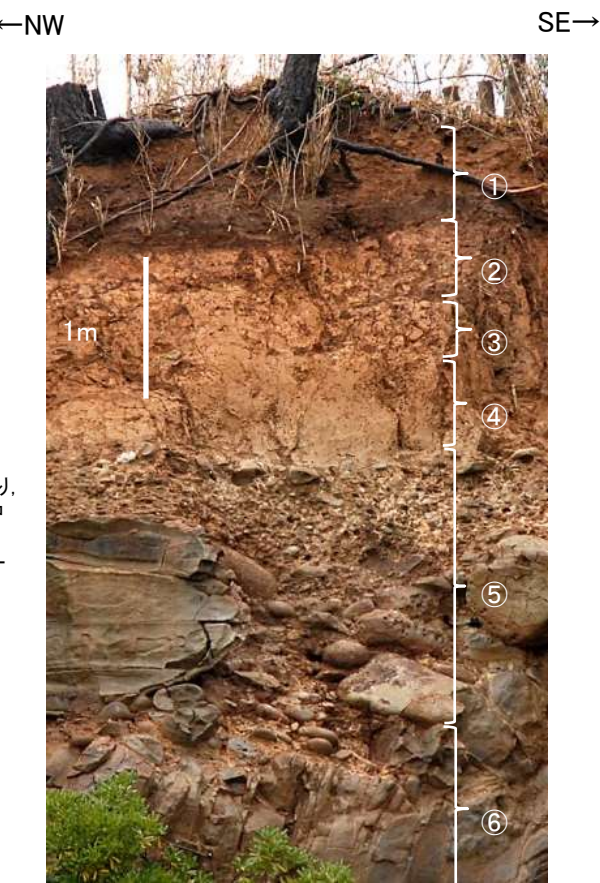


【 安部屋表土はぎ地点 調査結果 】

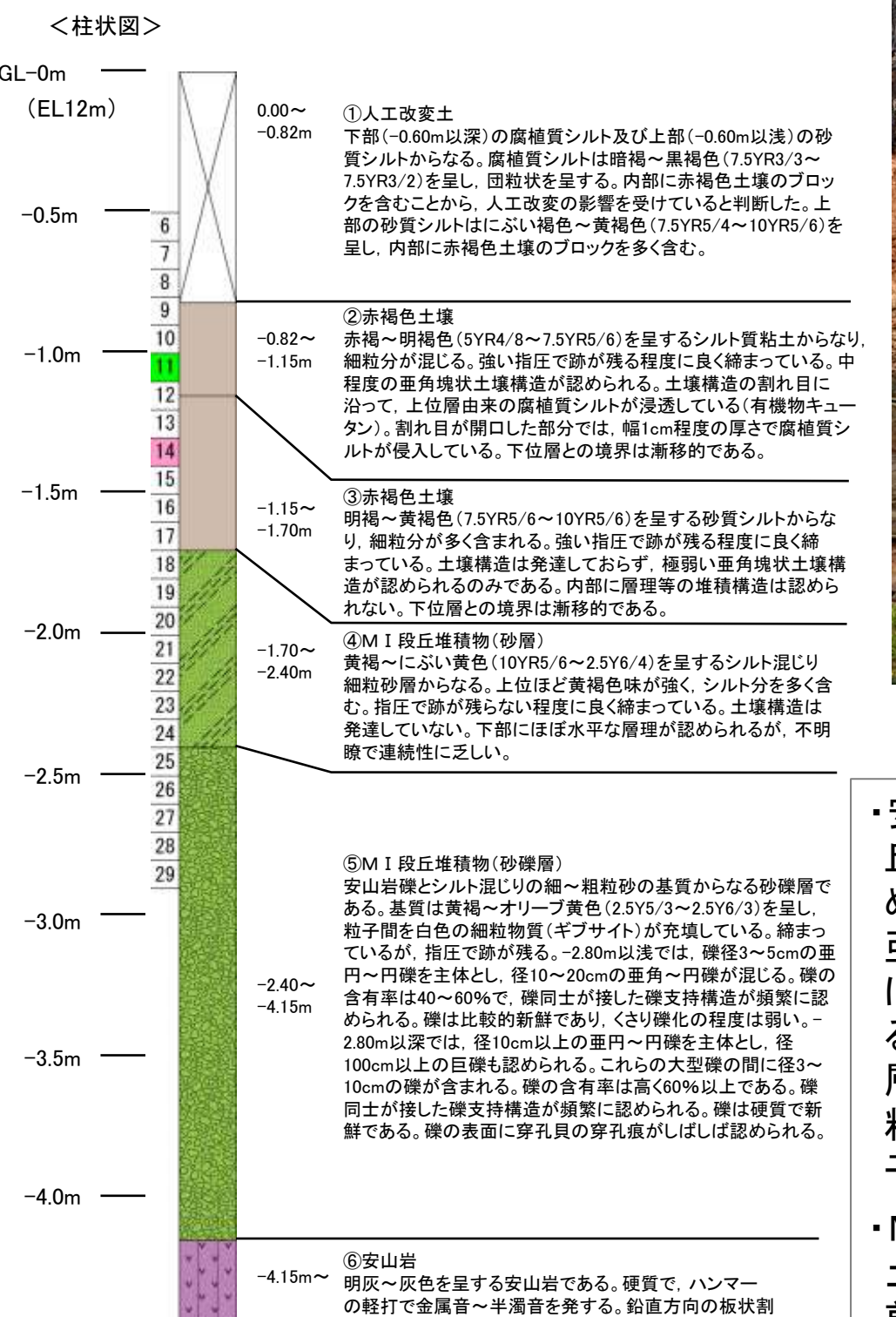


安部屋表土はぎ 測線1 調査結果



調査地点遠景

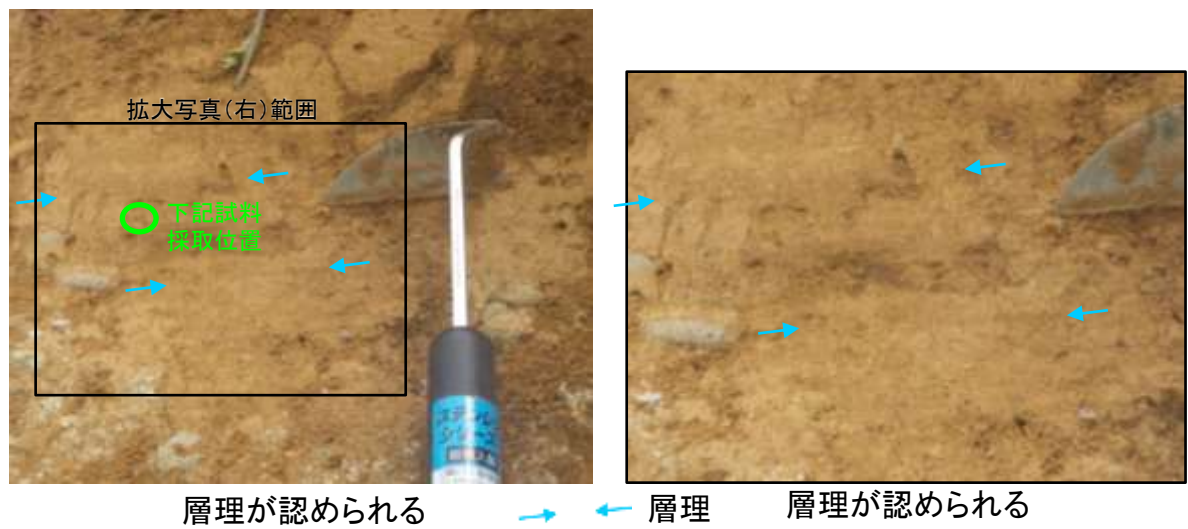
| | | |
|-------|---|-------------------------|
| AT | ■ | テフラの年代 (町田・新井, 2011) |
| DKP混在 | ■ | AT: 2.8万～3万年前 |
| Aso-4 | ■ | DKP: 5.5万年前以前 |
| K-Tz | ■ | Aso-4: 8.5万～9万年前 |
| SK | ■ | K-Tz: 9.5万年前 |
| | | SK: 10.5万年前 |



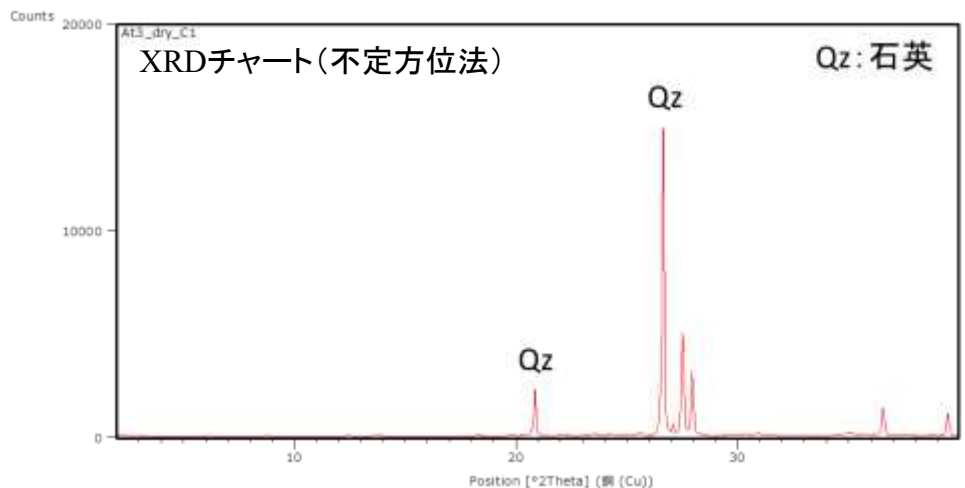
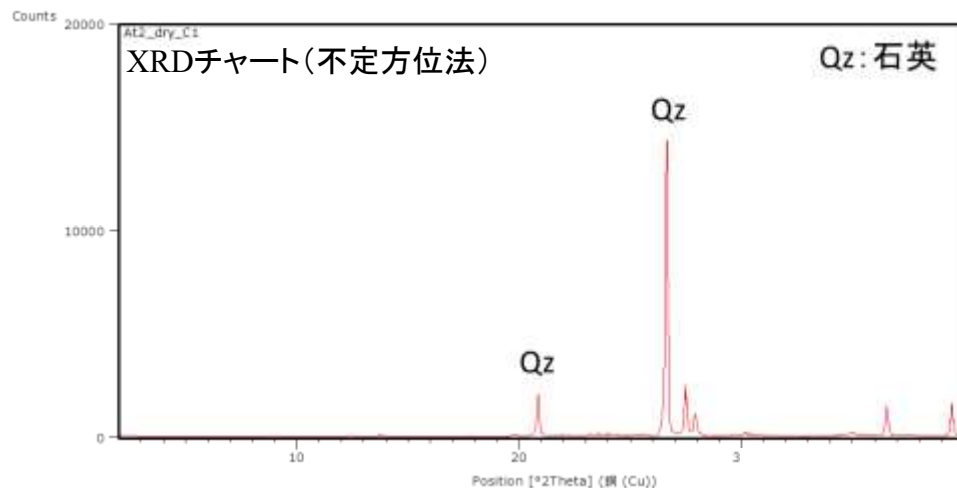
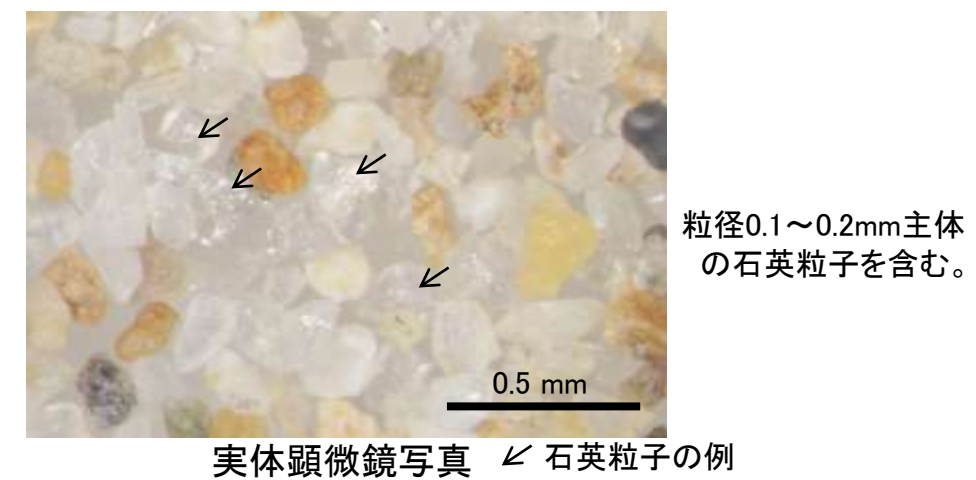
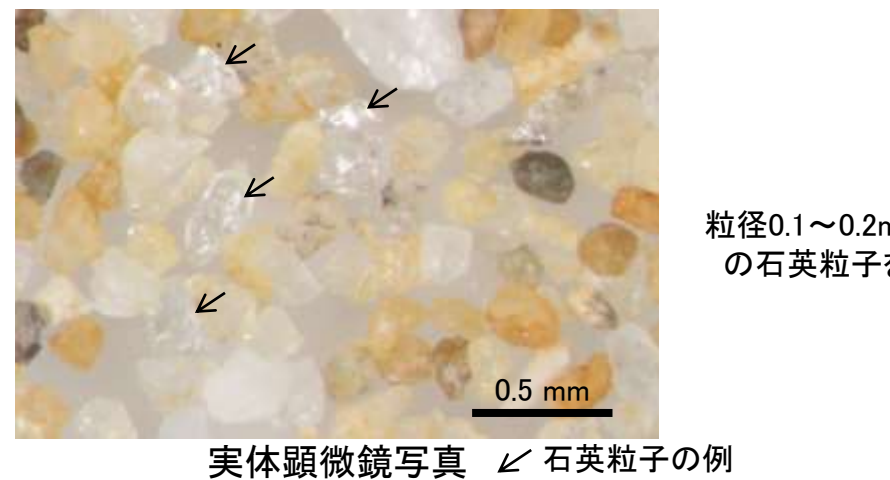
安部屋表土はぎ 測線2 調査結果

・M I 段丘堆積物の石英粒子の含有に関する調査結果は次頁を参照。
・火山灰分析結果については、P.5.3-1-75, 76を参照。

M I 段丘堆積物(砂層)



M I 段丘堆積物(砂礫層)



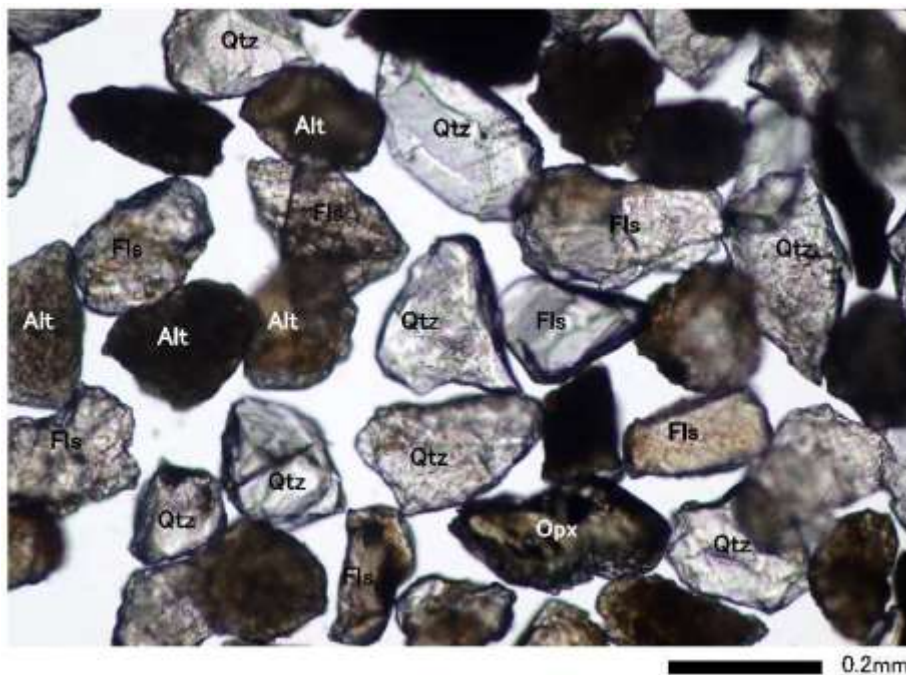
【石英同定方法】

- ・未乾燥試料約20gを供試
- ・乳鉢で軽くほぐした試料に蒸留水を加え、パンニング(わん掛け法)しながら細粒分を少しづつ除去し、粗粒分(ほぼ細粒砂以上)を分離
- ・パンニングの途中で上澄みがほぼ透明になるまで超音波洗浄(30秒、20kHz)を繰り返し実施
- ・細粒分の除去が終了後、スミアスライド用試料とXRD分析用試料に区分
- ・作成したスミアスライドは実体顕微鏡で観察し、写真を撮影
- ・XRD分析用試料は60°Cで乾燥後、メノウ乳鉢で粉碎し、粉末法により右記の条件で分析

装置名:スペクトリス(株)社(PANalytical)製 PW3040
X線管球:Cu、波長:CuK α 、1.54178 Å
電圧・電流:40kV・50mA
測定角度・測定速度:2~40°、2° /分
サンプリング幅:0.02°
スリット条件:DS:AS:RS=15 mm:15 mm:0.2mm
※DS(発散スリット), AS(散乱防止スリット), RS(受光スリット)

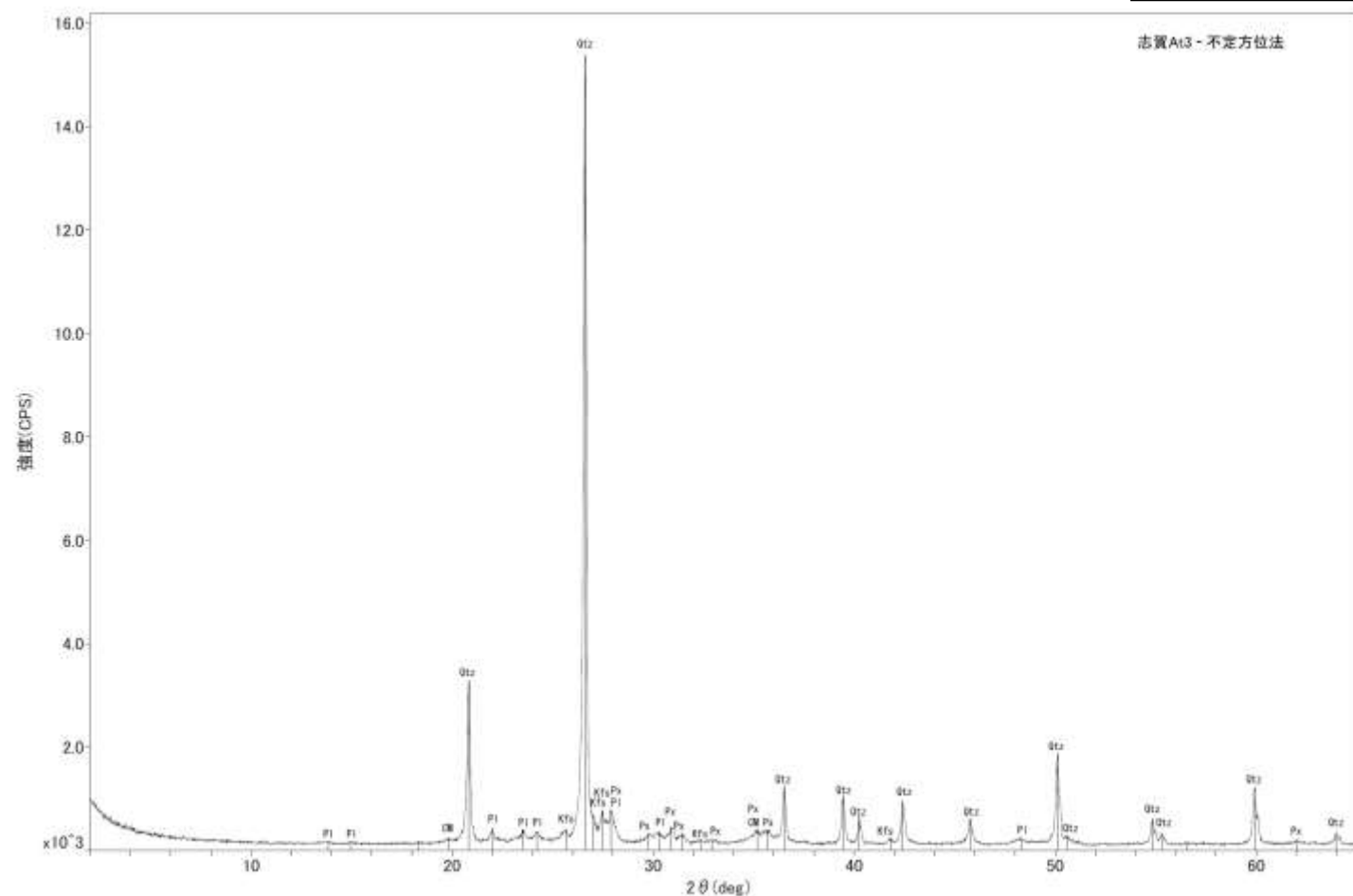
【安部屋表土はぎ 砂粒子の鉱物組成】

- 前頁で石英粒子を確認するために採取した試料の残りを用いて、実体顕微鏡観察及びXRD分析により砂粒子の鉱物組成の確認を行った。



実体顕微鏡写真(安部屋表土はぎ)

Qtz:石英 Fls(Fsp):長石(長石グループ) Opx:斜方輝石 Alt:風化粒子

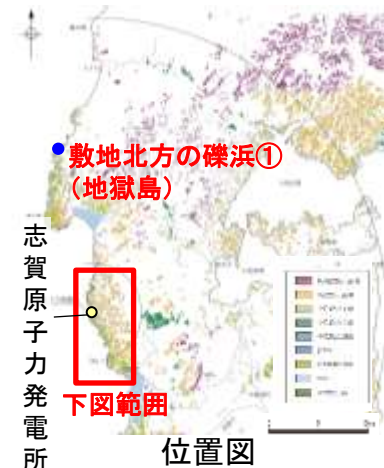


X線回折チャート(安部屋表土はぎ)

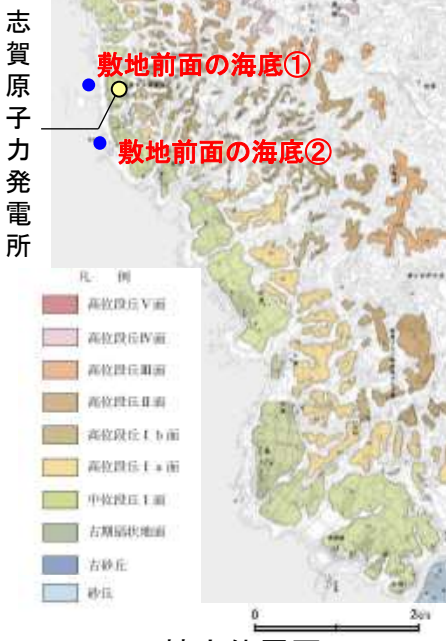
(1)-3 現海岸

敷地北方の礫浜・敷地前面海岸・敷地南方の砂浜

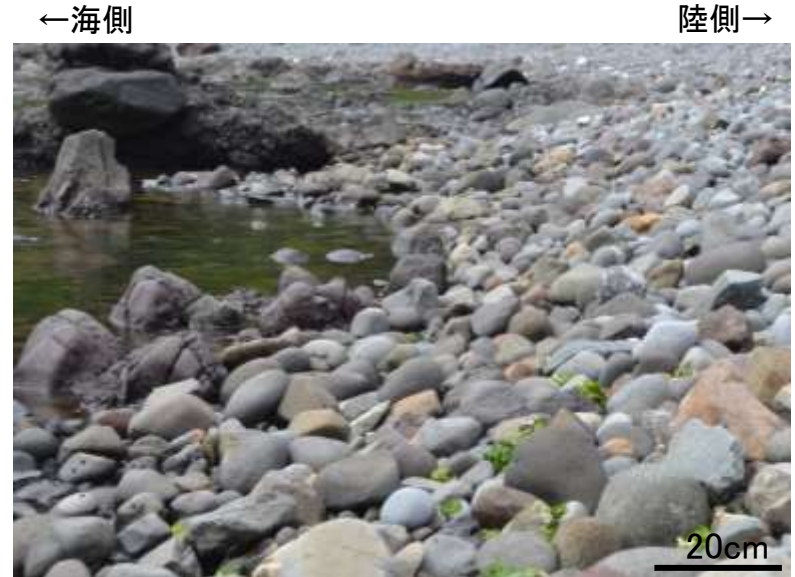
現海岸 敷地北方の礫浜・敷地前面の海底



敷地北方の礫浜①(地獄島) 写真
・礫の円磨が進み、円～亜角礫が主体である。
・扁平な礫が海側に傾斜する



敷地前面の海底① 写真
・礫の円磨が進み、円～亜角礫が主体である。

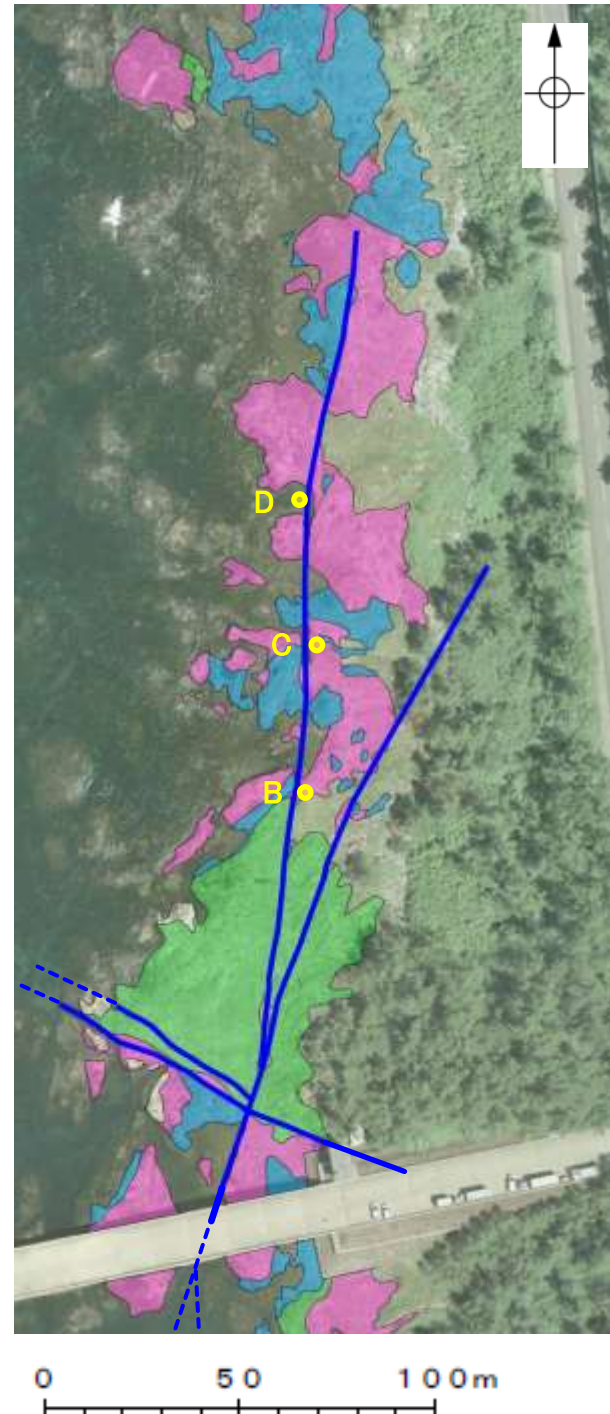


敷地北方の礫浜②(巖門) 写真(左右反転)
・礫の円磨が進み、円～亜角礫が主体である。
・扁平な礫が海側に傾斜する



敷地前面の海底② 写真
・礫の円磨が進み、円～亜角礫が主体である

現海岸 敷地前面海岸



←W E→



←W E→



←W E→





敷地前面海岸(B地点)



敷地前面海岸(C地点)



敷地前面海岸(D地点)



敷地前面海岸(B地点) 碓形調査位置
・亜円～亜角礫主体で円礫も混じる



敷地前面海岸(C地点) 碓形調査位置
・亜円～亜角礫主体で円礫も混じる



敷地前面海岸(D地点) 碓形調査位置
・円～亜円礫主体

【敷地前面海岸 砂粒子の鉱物組成】

←W

E→



試料採取位置(敷地前面海岸C地点)

←W

E→



左写真の青丸の位置で礫を取り除いた後に試料を採取

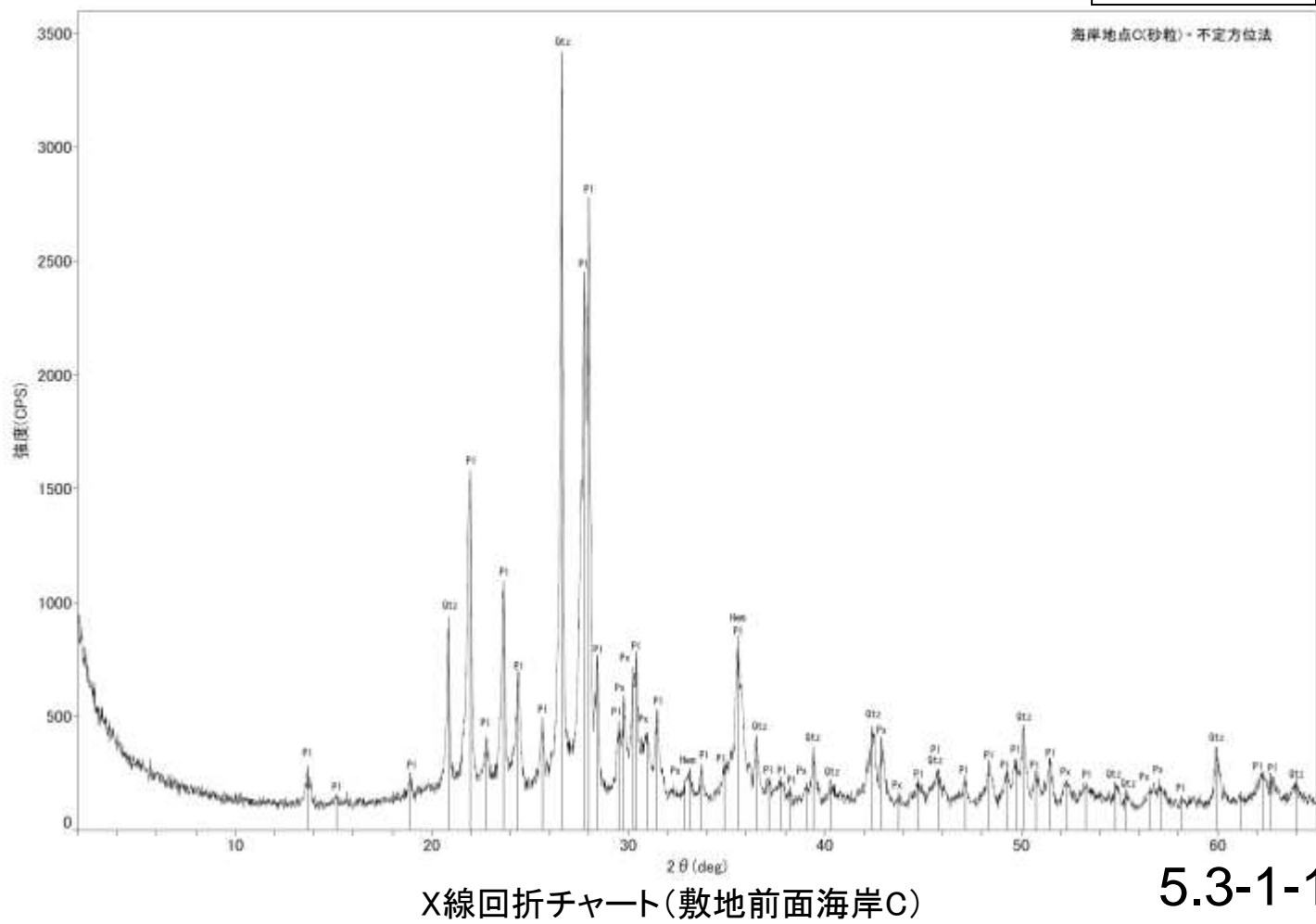
Hem : 赤鉄鉱
Pl : 斜長石
Px : 輝石類
Qtz : 石英

海岸地点C(砂粒)。不定方位法



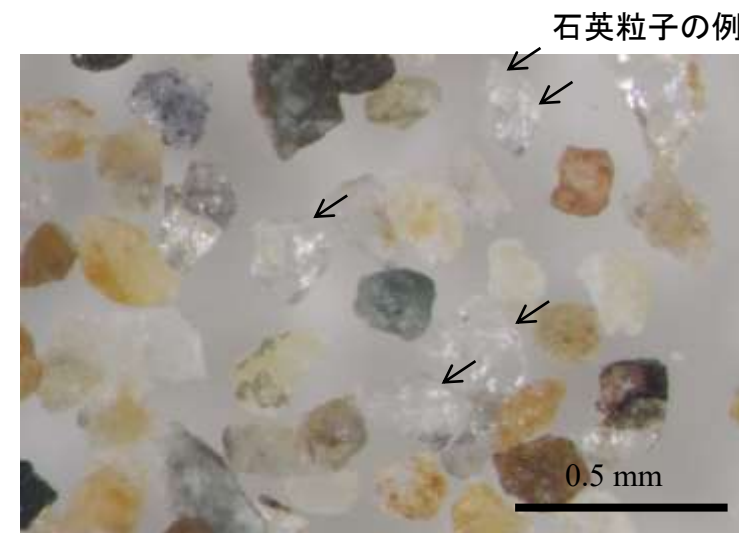
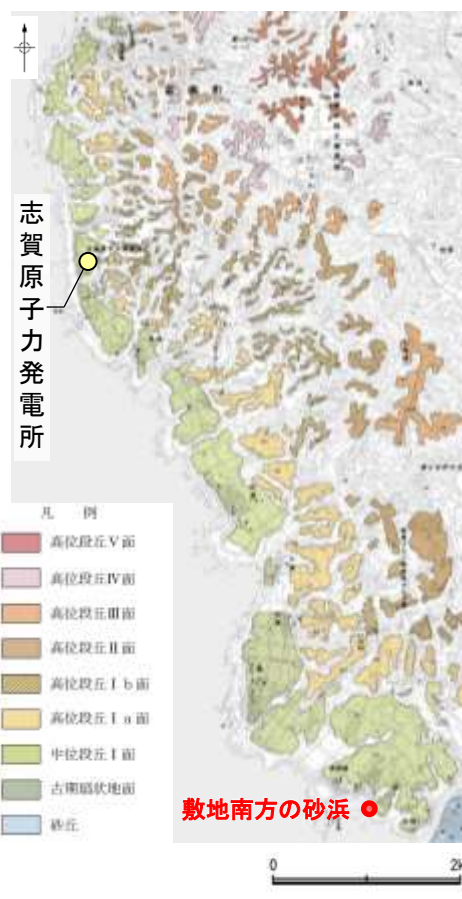
実体顕微鏡写真(敷地前面海岸C地点)

Qtz:石英 Opx:斜方輝石 Alt:風化粒子



X線回折チャート(敷地前面海岸C)

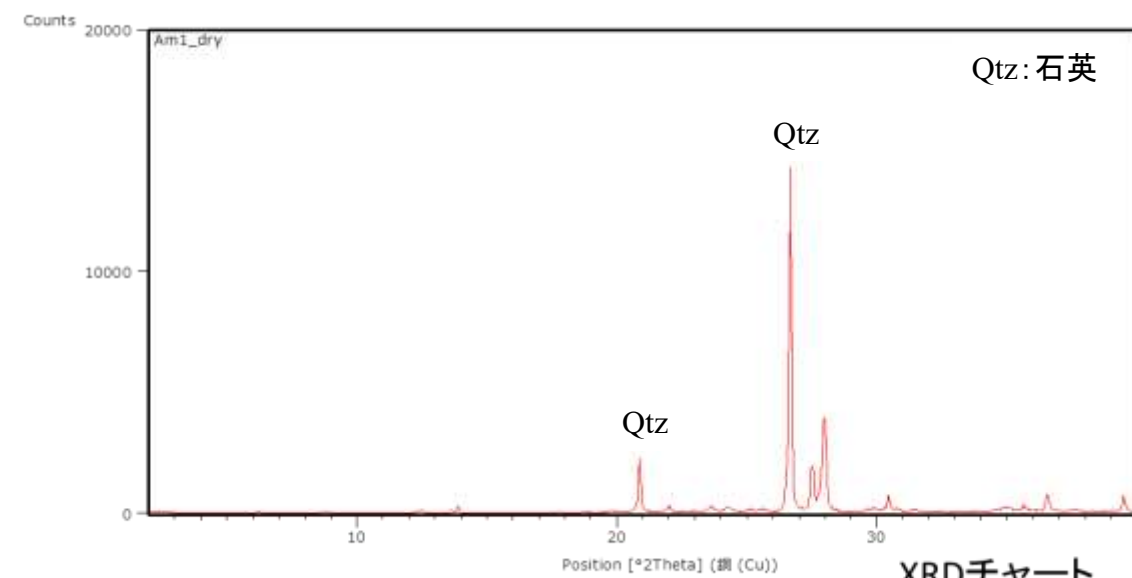
現海岸 敷地南方の砂浜



実体顕微鏡写真
・粒径0.1~0.2mm主体の石英粒子が含まれる

【方法】

- ・未乾燥試料約20gを供試
- ・乳鉢で軽くほぐした試料に蒸留水を加え、パンニング(わん掛け法)しながら細粒分を少しずつ除去し、粗粒分(ほぼ細粒砂以上)を分離
- ・パンニングの途中で上澄みがほぼ透明になるまで超音波洗浄(30秒、20kHz)を繰り返し実施
- ・細粒分の除去が終了後、スミアスライド用試料とXRD分析用試料に区分
- ・作成したスミアスライドは実体顕微鏡で観察し、写真を撮影
- ・XRD分析用試料は60°Cで乾燥後、メノウ乳鉢で粉碎し、粉末法により右記の条件で分析

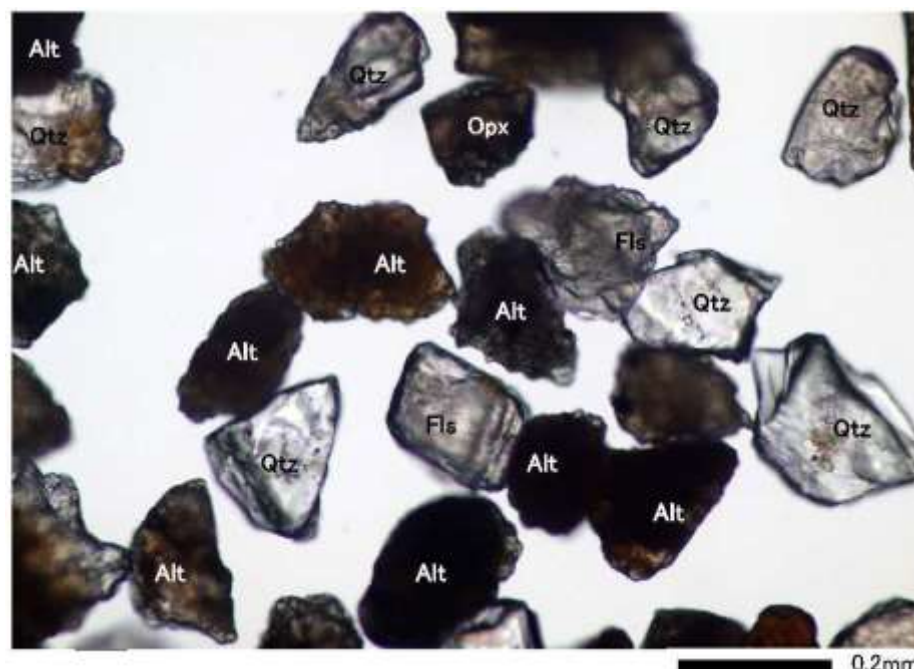


装置名:スペクトリス(株)社(PANalytical)製 PW3040
X線管球:Cu、波長:CuK α 、1.54178 Å
電圧・電流:40kV・50mA
測定角度・測定速度:2~40°、2°/分
サンプリング幅:0.02°
スリット条件:DS:AS:RS=15 mm:15 mm:0.2 mm
※DS(発散スリット), AS(散乱防止スリット), RS(受光スリット)

【敷地南方の砂浜 砂粒子の鉱物組成】

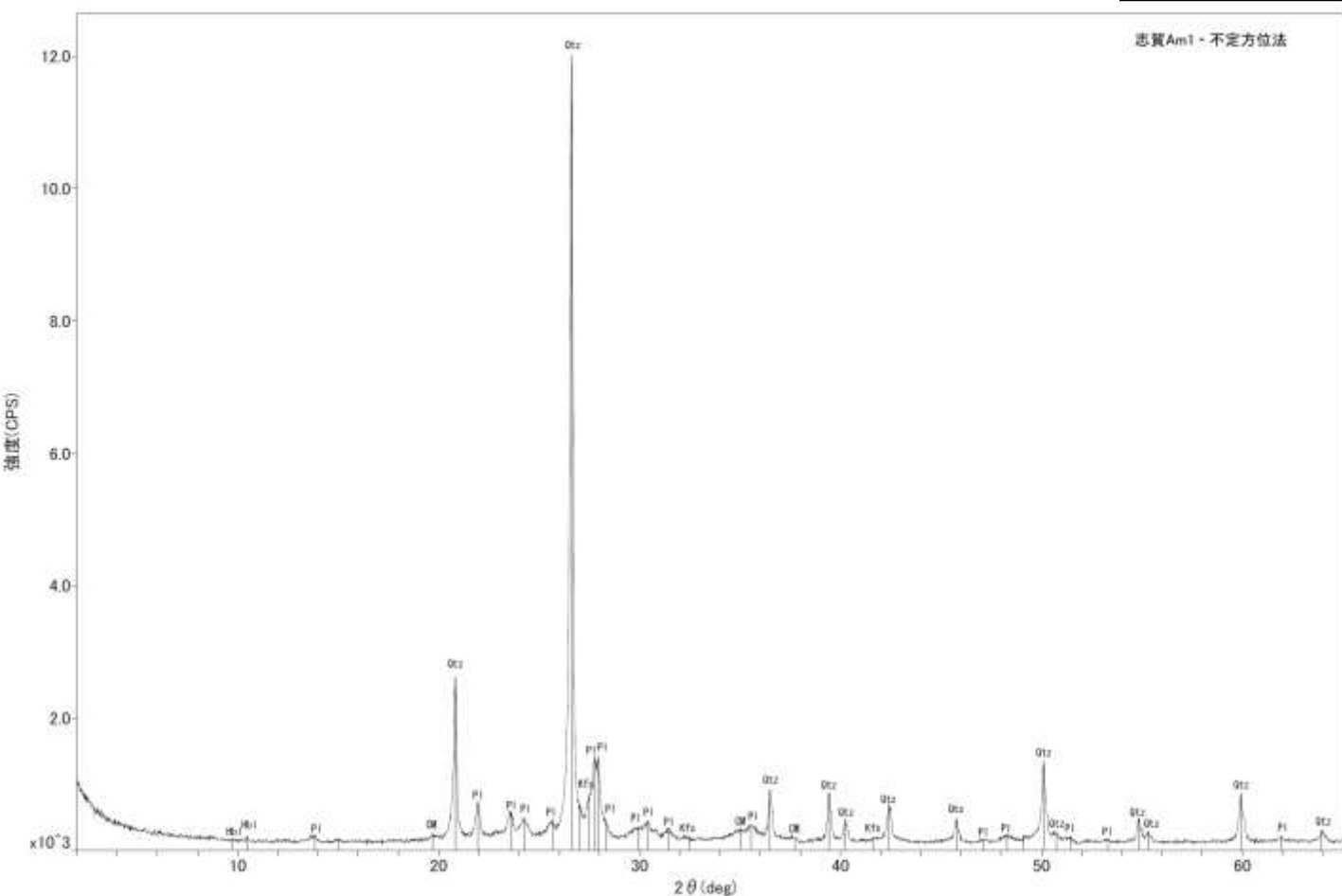
- 前頁で石英粒子を確認するために採取した試料の残りを用いて、実体顕微鏡観察及びXRD分析により砂粒子の鉱物組成の確認を行った。

CM :粘土鉱物
Hbl :角閃石
Kfs :カリ長石
Pl :斜長石
Qtz :石英



実体顕微鏡写真(敷地南方の砂浜)

Qtz:石英 Fls(Fsp):長石(長石グループ) Opx:斜方輝石 Alt:風化粒子

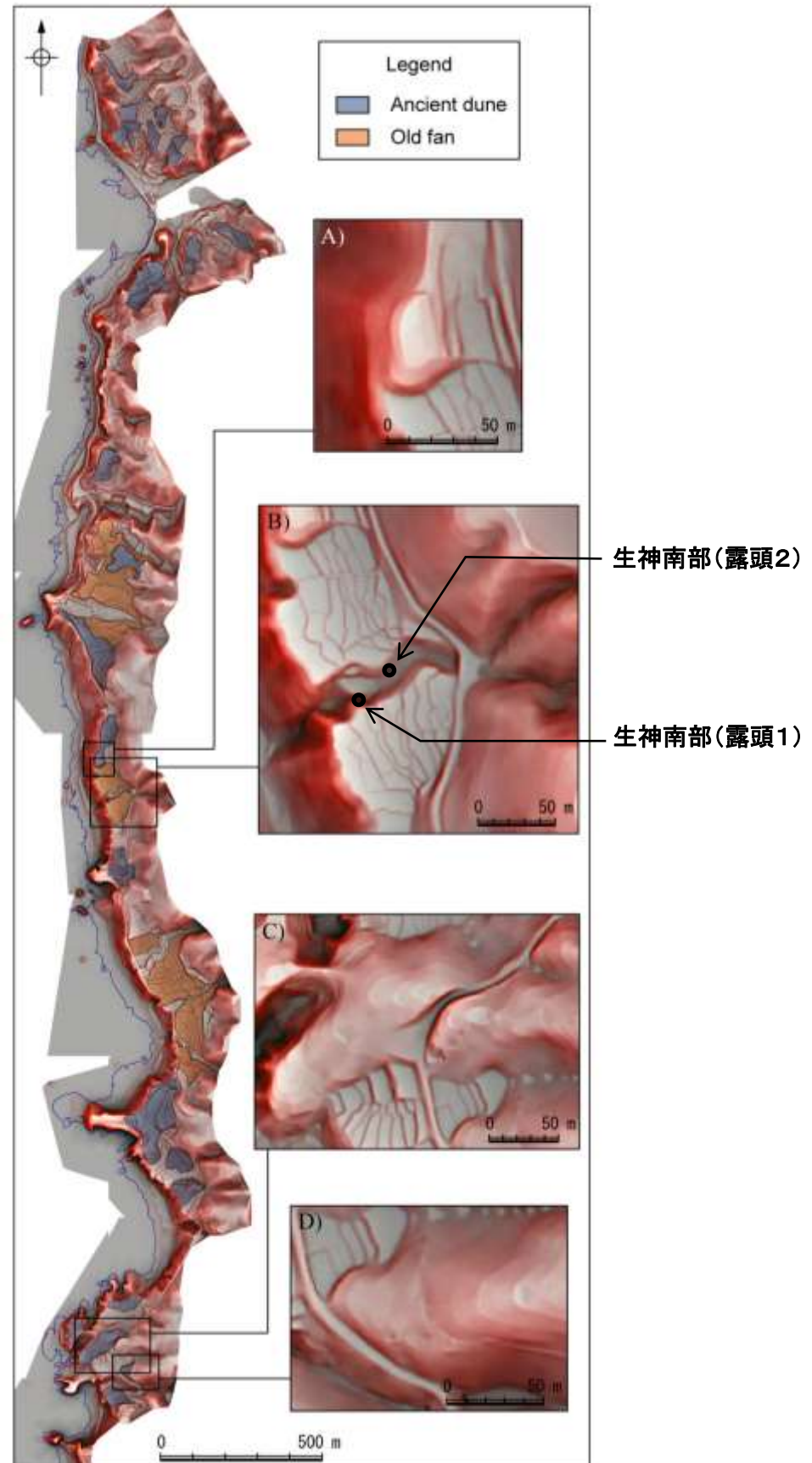
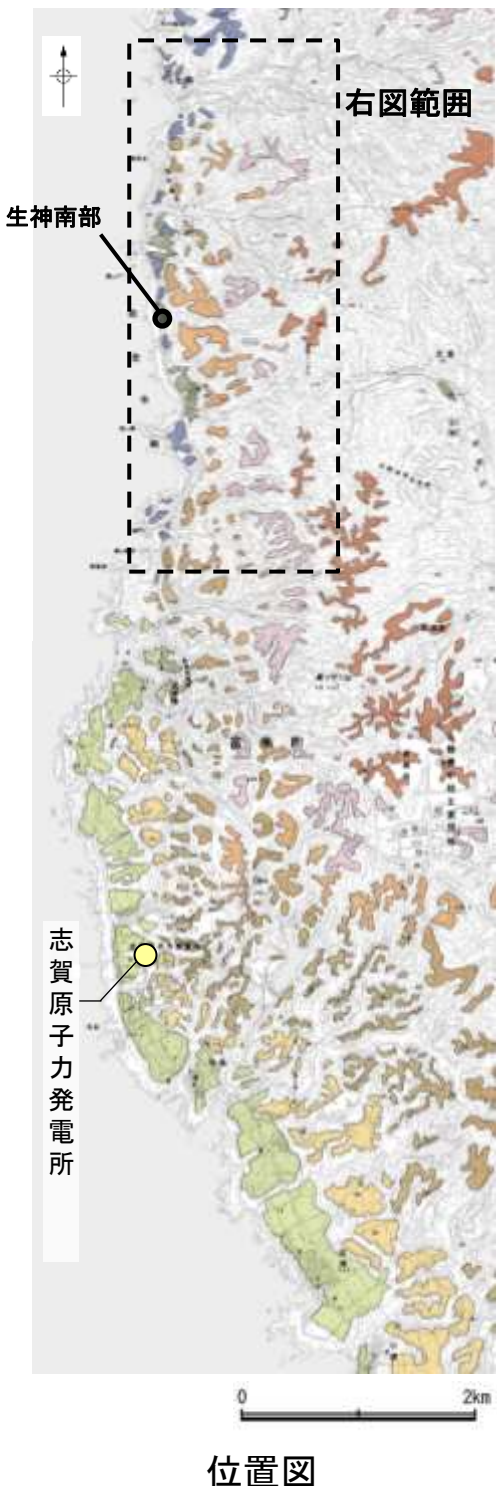


X線回折チャート(敷地南方の砂浜)

(1)-4 古期扇状地 生神南部

古期扇状地 生神南部

【生神南部 調査位置】



赤色立体地図(服部ほか, 2014に加筆)

←N70° E

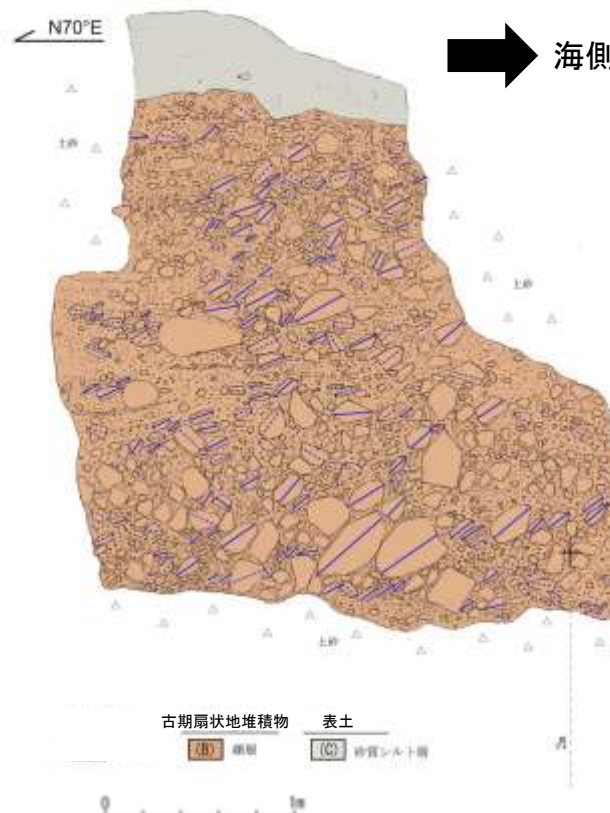
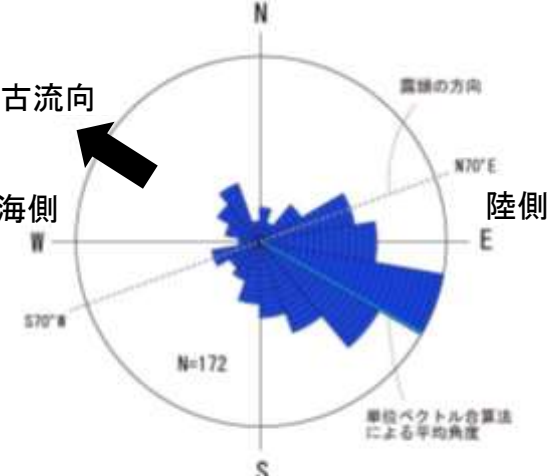


【生神南部 調査結果】

←S30° W



N30° E→



生神南部(露頭1)

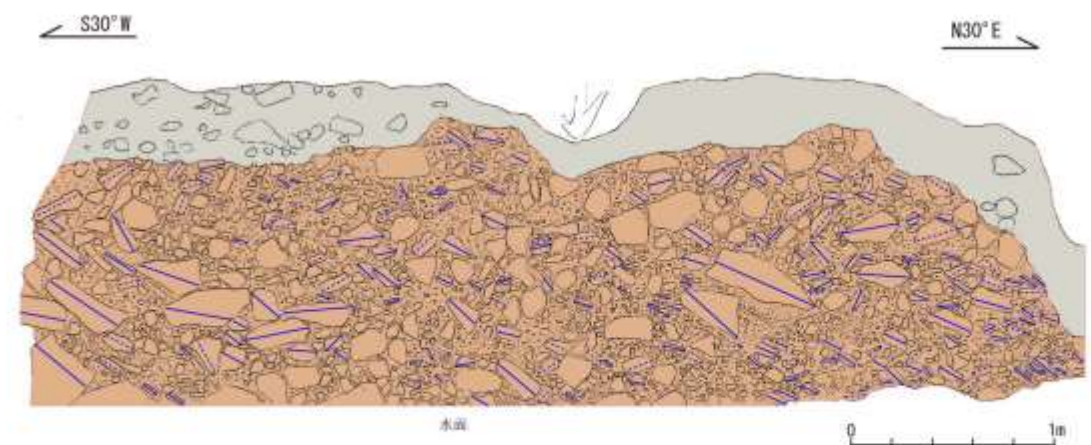
砂質シルト層(表土)

- ・細～中砂分の混じるシルト層からなる。
- ・無層理で、径10～30cmの角～亜角礫を含む。

礫層(古期扇状地堆積物)

- ・基質はシルト質な細～中粒砂からなり、粗粒砂が混じる。
- ・径5～50cmの安山岩角～亜円礫を30～60%含み、一部に円礫も混じる。
- ・礫同士が接した礫支持構造や扁平な礫の平坦面が東南東へ傾斜するインプレクションが認められる
- ・ほとんどの礫は硬質であり、ナイフで傷がつく程度である。

海側 ←



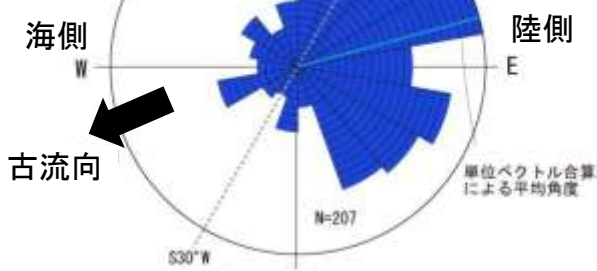
生神南部(露頭2)

砂質シルト層(表土)

- ・細～中砂分の混じるシルト層からなる。
- ・無層理で、径10～30cmの角～亜角礫を含む。

礫層(古期扇状地堆積物)

- ・基質はシルト質な細～中粒砂からなり、粗粒砂が混じる。
- ・径5～60cmの安山岩角～亜円礫を40～60%含み、一部に円礫も混じる。
- ・礫は全体に円磨されており、硬質である。
- ・礫同士が接した礫支持構造や扁平な礫の平坦面が北北東～南東へ傾斜するインプレクションが認められる
- ・ほとんどの礫は硬質であり、ナイフで傷がつく程度である。



生神南部(露頭2)の古流向

・礫層は、古期扇状地面に分布すること、扁平な礫が陸側に傾斜した覆瓦状構造が認められ、陸から海方向への古流向を示すことから、陸成堆積物と考えられる。

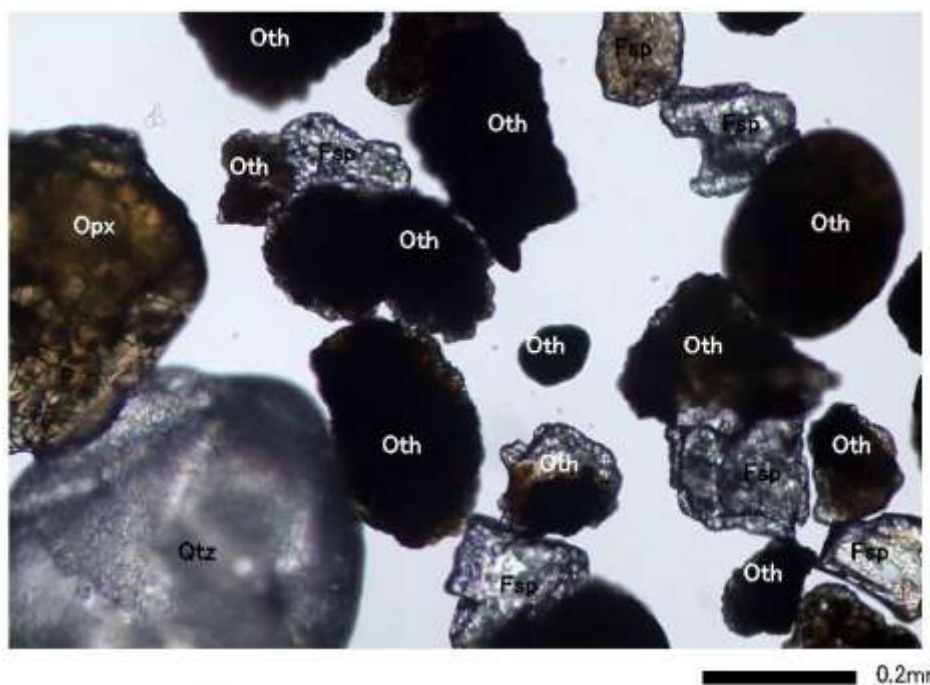
【生神南部 砂粒子の鉱物組成】

←S30° W

N30° E→

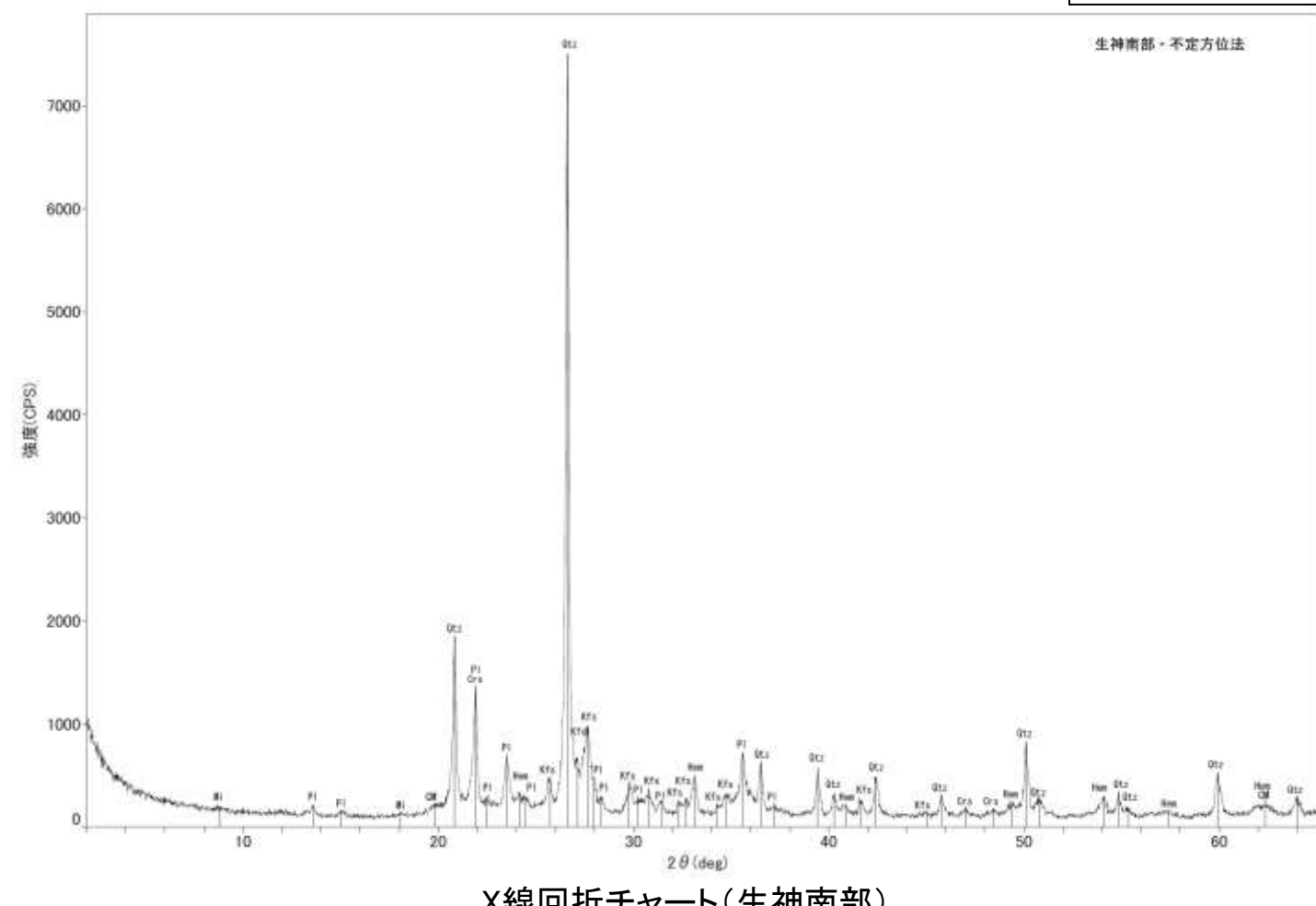


CM : 粘土鉱物
Crs : クリストバライト
Hem : 赤鉄鉱
Kfs : カリ長石
Mi : 雲母鉱物
Pl : 斜長石
Qtz : 石英



実体顕微鏡写真(生神南部)

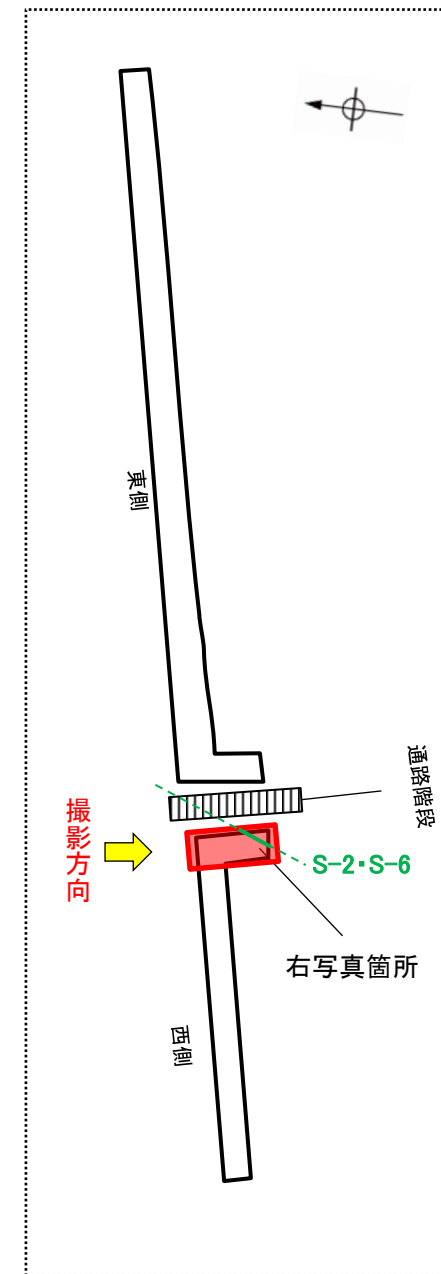
Qtz:石英 Fls(Fsp):長石(長石グループ) Opx:斜方輝石
Oth:その他



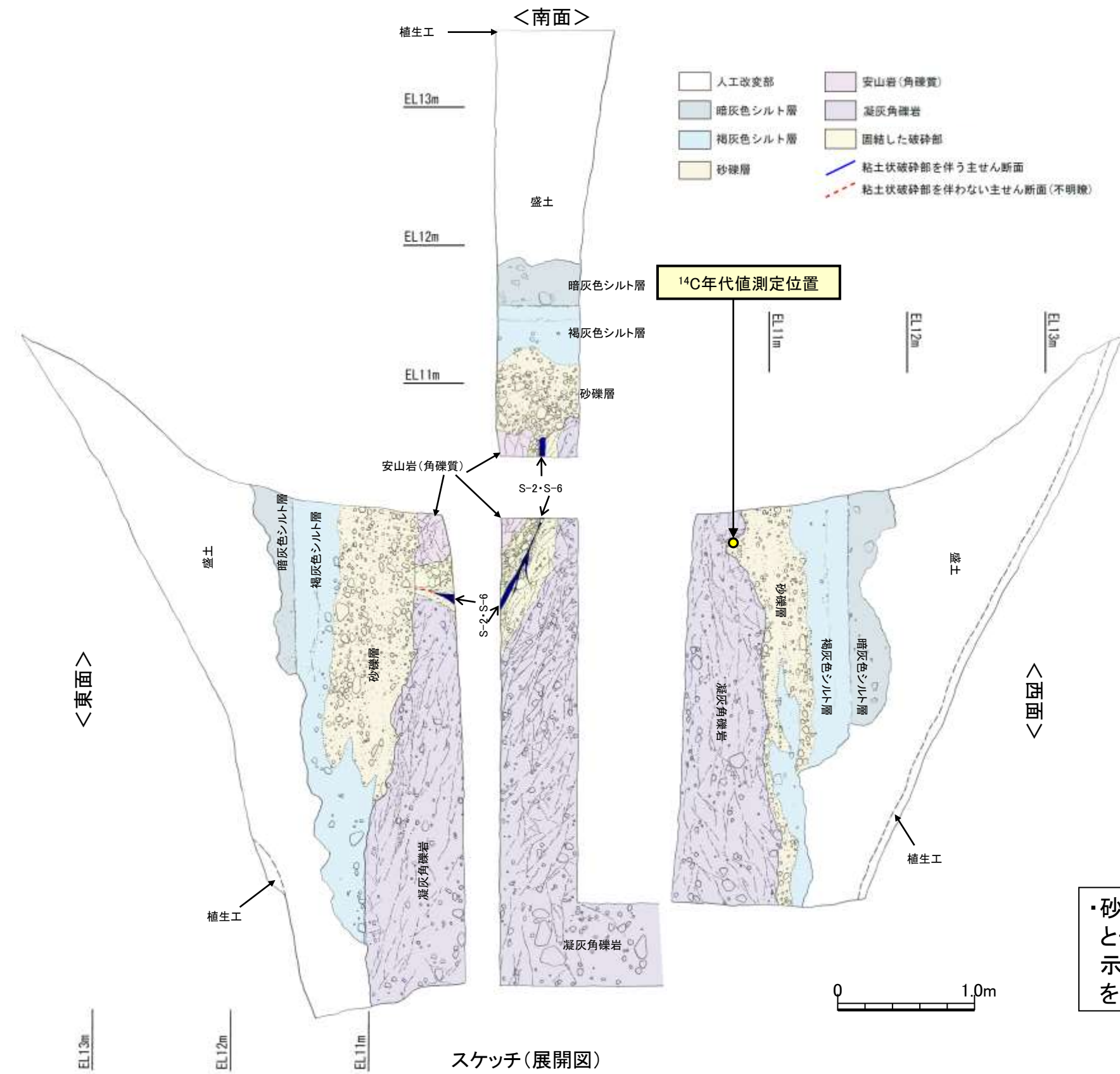
(1)-5 開析谷 事務本館前トレンチ

開析谷 事務本館前トレンチ

【事務本館前トレンチ 調査位置】



【事務本館前トレンチ 調査結果】



【露頭観察結果】

暗灰色シルト層

- ・褐灰色シルト層を覆って分布する。境界面はほぼ水平であり、境界付近に径0.2~0.5cm程度の腐植物を多く含む。
- ・暗灰色を呈する腐植混じりシルトからなり、炭質物、砂粒子及び径2~10cm程度の安山岩亜円~亜角礫を少量含む。指圧でわずかに跡が残る程度に締まっている。

褐灰色シルト層

- ・砂礫層を覆い、一部砂礫層と指交して分布する。
- ・褐灰色を呈する腐植混じりシルトからなり、炭質物、砂粒子及び径0.5~12cm程度の安山岩亜円~亜角礫を少量含む。一部にはほぼ水平の葉理が認められる。指圧でわずかに跡が残る程度に締まっている。

砂礫層

- ・径2~6cmの安山岩亜円~亜角礫を30~50%程度含み、最大15cmの礫がわずかに混じる。基質はシルト混じり中~粗粒砂からなり、暗灰黄~褐(2.5Y5/2~10YR4/6)を呈する。炭質物を少量含み、指圧でわずかに跡が残る程度に締まっている。

S-2-S-6

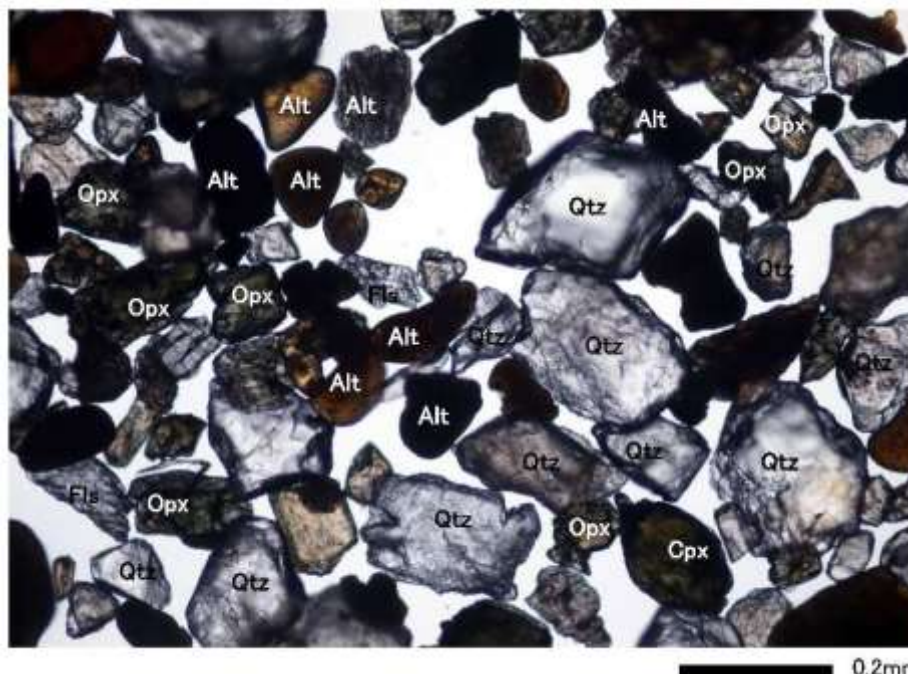
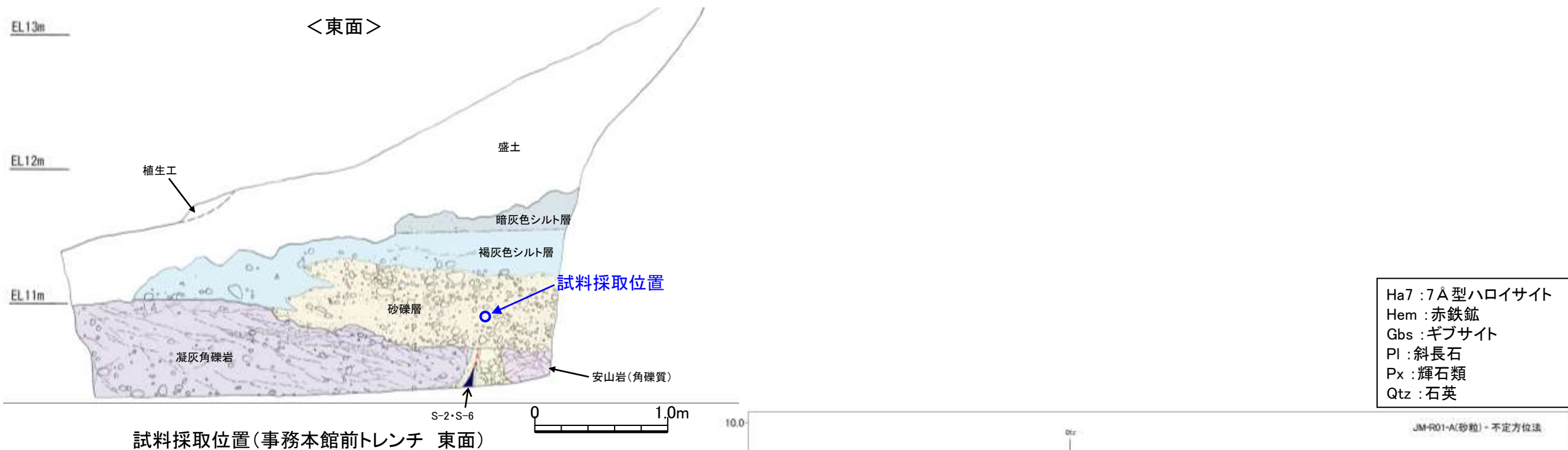
- ・南東側の安山岩(角礫質)と北西側の凝灰角礫岩の境界に位置する。
- ・走向・傾斜N12° E/70° NW(走向は真北基準)で、幅15~25cmの固結した破碎部及び幅フィルム状~5cmの灰色~灰白色を呈する粘土状破碎部からなる。

【¹⁴C年代値(暦年補正)】

- ・砂礫層最下部に含まれる木片の¹⁴C年代値(暦年補正) 5,970±40yBP。

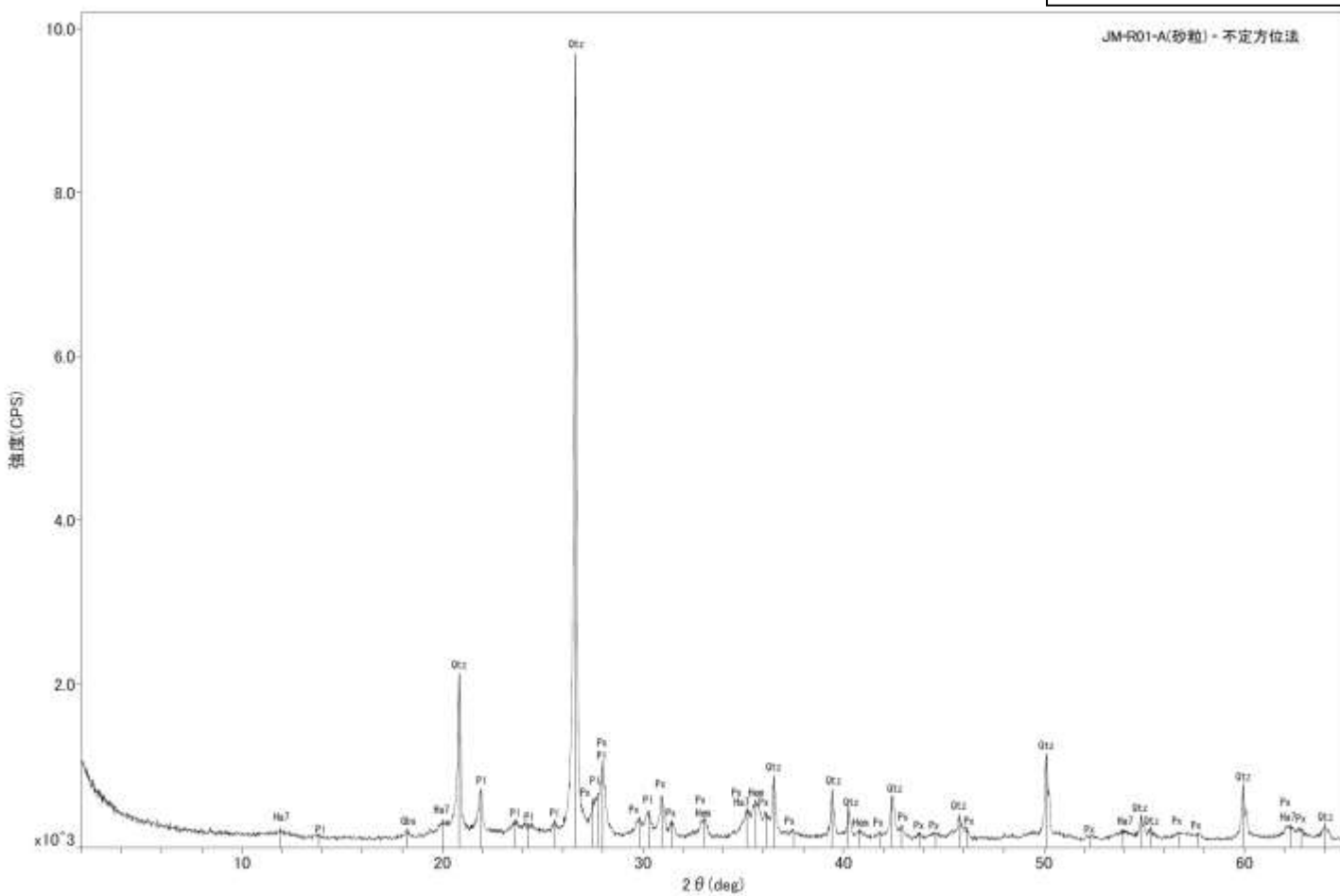
・砂礫層は、開析谷に分布すること、炭質物を含むシルト層と一部で指交して分布すること、約6千年前の¹⁴C年代値を示す木片を含み、約6千年前に堆積したと判断されることを踏まえると、陸成堆積物と考えられる。

【事務本館前トレンチ 砂粒子の鉱物組成】



実体顕微鏡写真(事務本館前トレンチ)

Qtz:石英 Fls (Fsp):長石(長石グループ) Opx:斜方輝石 Cpx:单斜輝石
Alt:風化粒子

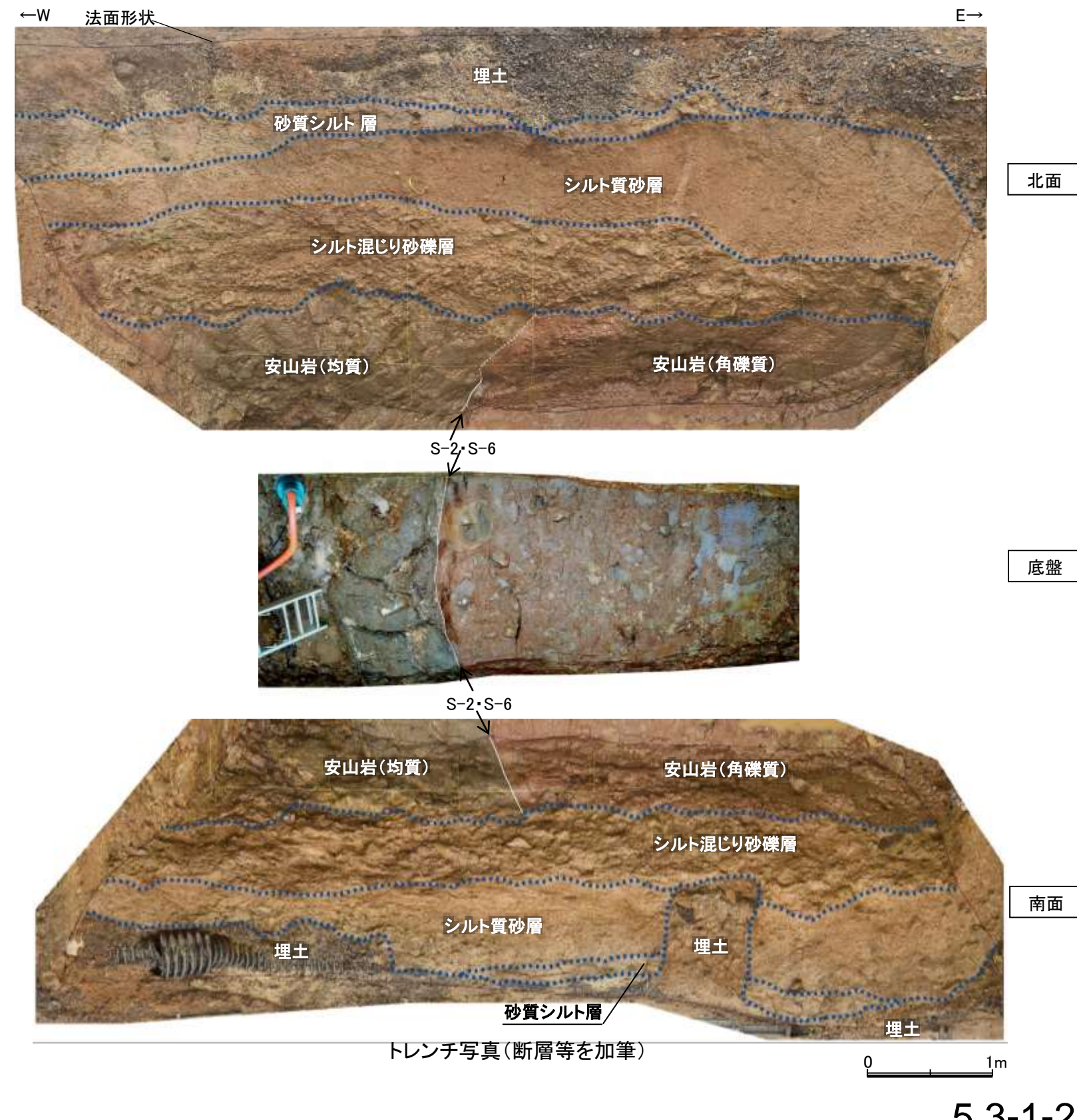
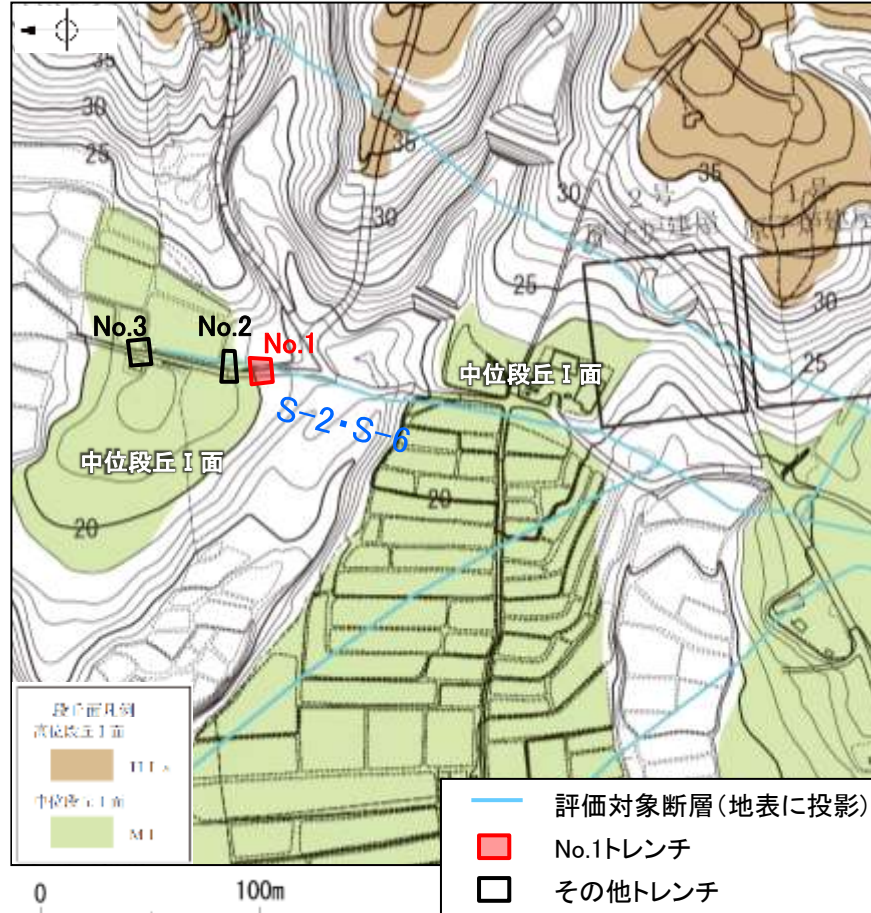


X線回折チャート(事務本館前トレンチ)

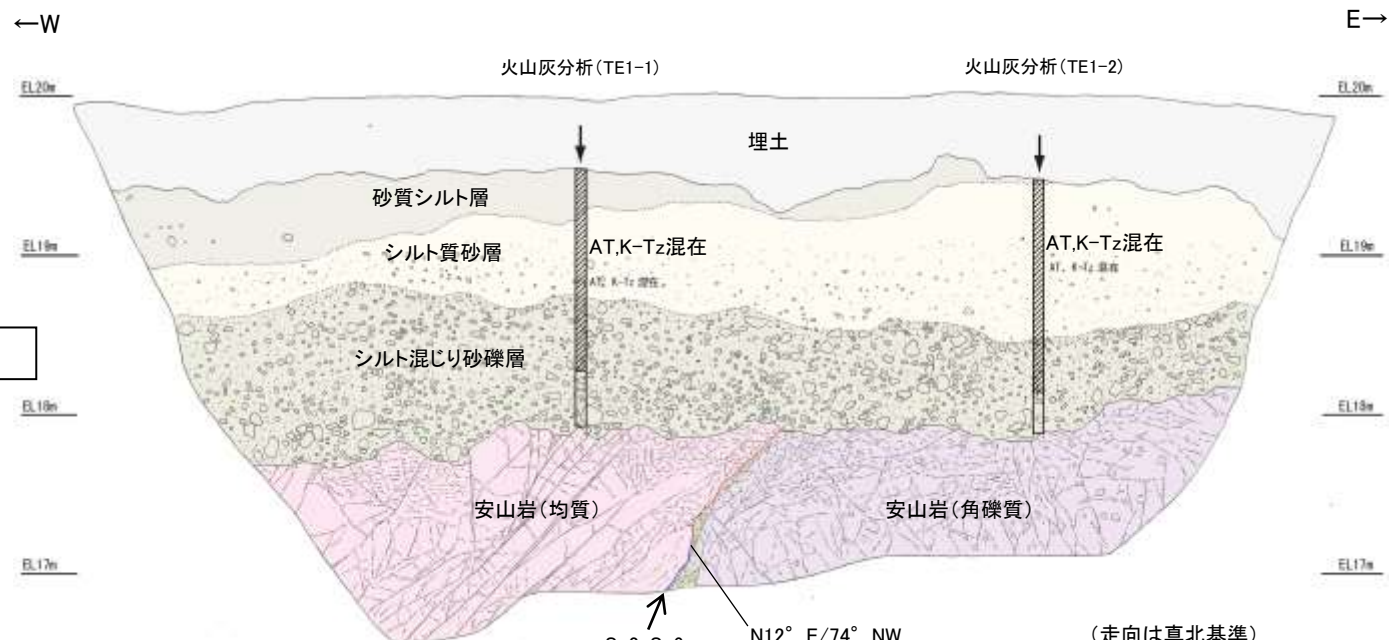
(1)-6 開析谷 S-2・S-6 No.1トレーナー

開析谷 S-2・S-6 No.1トレンチ

【S-2・S-6 No.1トレンチ 調査位置】



【S-2・S-6 No.1トレーニング 調査結果】



北面

底盤

南面

E→

テフラの年代(町田・新井, 2011)

AT : 2.8万~3万年前
K-Tz : 9.5万年前

【露頭観察結果】

砂質シルト層

- ・色調7.5YR6/3~10YR6/6
- ・径2~10cmの安山岩角~亜円礫が僅かに混じる。
- ・やや締まっているが、指圧で跡が残る。

シルト質砂層

- ・色調7.5YR6/3~10YR6/6
- ・やや締まっているが、指圧で跡が残る。

シルト混じり砂礫層

- ・色調5YR6/3~10YR6/6
- ・基質はシルト混じり細~粗粒砂からなり、淘汰は悪い。
- ・径2~15cmの角~亜円礫を10~30%含み、最大25cmの礫が混じる。
- ・礫は比較的新鮮で硬質。
- ・やや締まっているが、指圧で跡が残る。

S-2・S-6

- ・西側の安山岩(均質)と東側の安山岩(角礫質)の境界に位置する。
- ・走向・傾斜N14° E~N14° W/68° NW~78° SW(走向は真北基準)で、幅1~15cmの固結した破碎部及び幅フィルム状~3mmの黄灰色を呈する粘土状破碎部からなる。

【火山灰分析結果】

- ・シルト混じり砂礫層中から、AT, K-Tzの混在が認められる(P.5.3-1-77)。

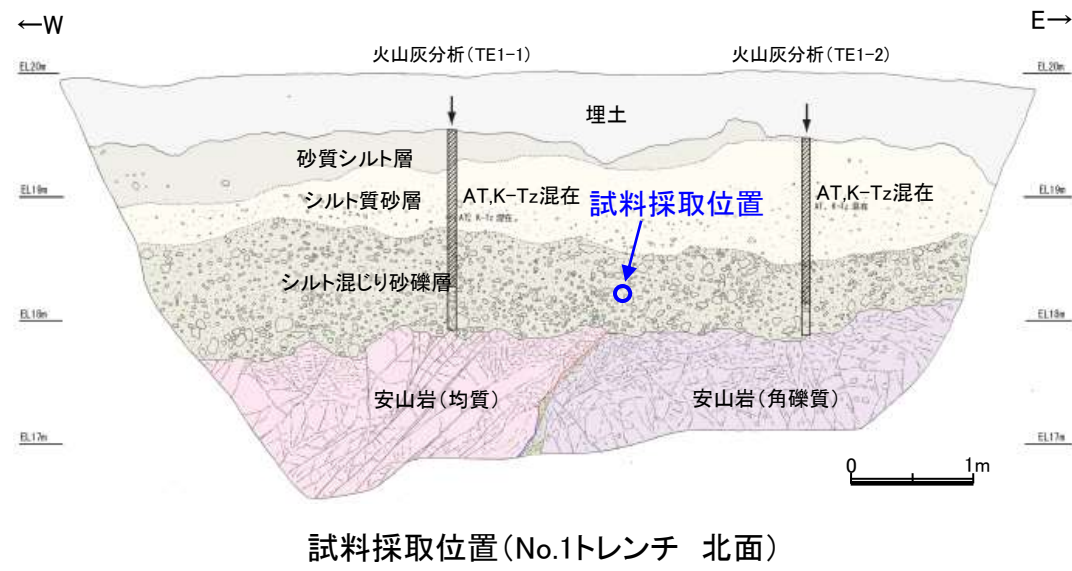
・シルト混じり砂礫層は、開析谷に分布すること、本層中にAT, K-Tzが混在し、AT降灰時期(2.8万~3万年前)以降に堆積したと判断されることから、陸成堆積物と考えられる。



スケッチ(展開図)

- 埋土
- 砂質シルト
- シルト質砂層
- シルト混じり砂礫層
- 安山岩(均質)
- 安山岩(角礫質)
- 固結した破碎部
- 粘土状破碎部を伴う主せん断面
- 粘土状破碎部を伴わない主せん断面(不明瞭)

【S-2・S-6 No.1トレンチ 砂粒子の鉱物組成】

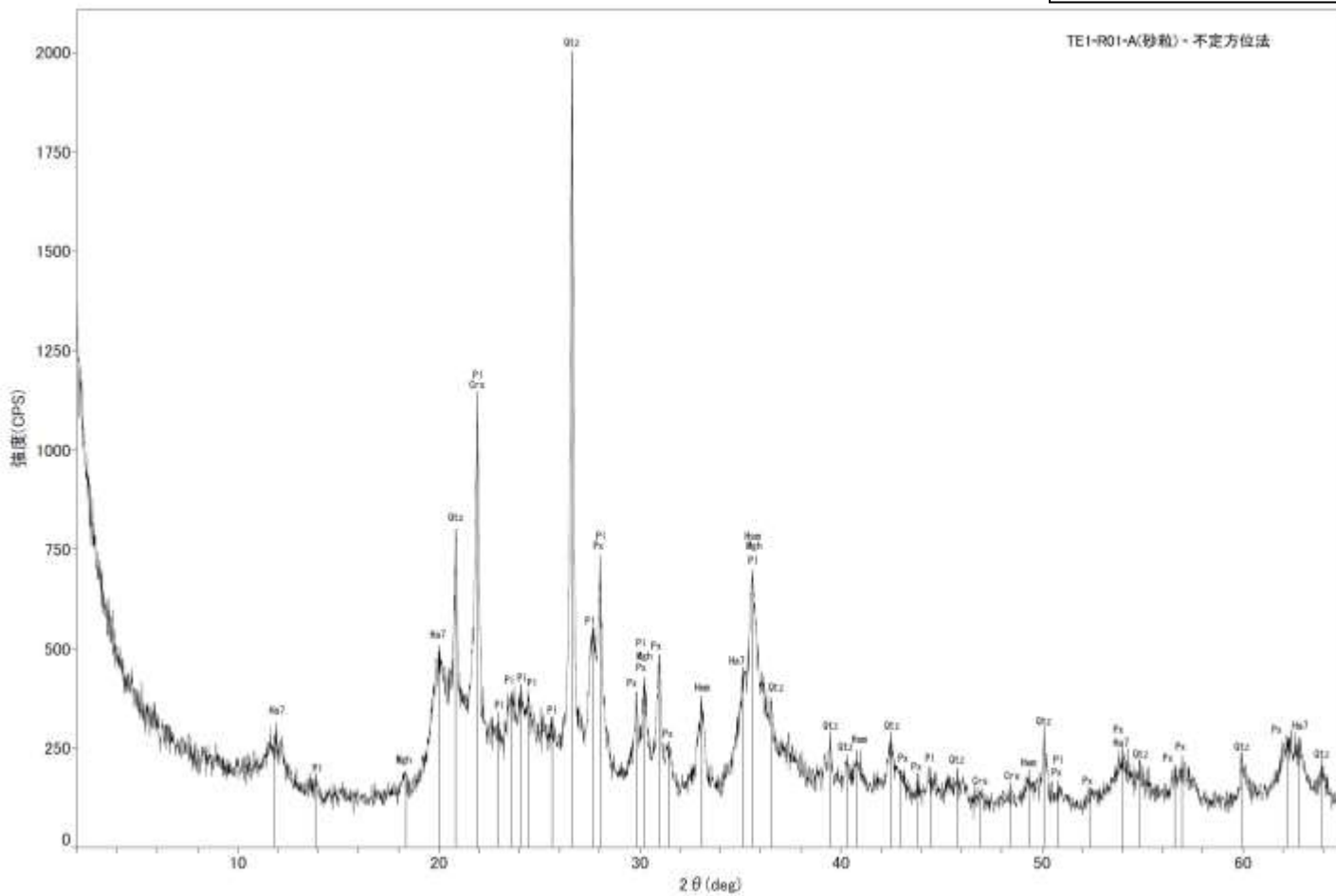


Crs : クリストバライ特
Ha7 : 7 Å型ハロイサイト
Hem : 赤鉄鉱
Mgh : 磁赤鉄鉱
Pl : 斜長石
Px : 輝石類
Qtz : 石英



実体顕微鏡写真(No.1トレンチ)

Qtz: 石英 Fls (Fsp): 長石(長石グループ) Opx: 斜方輝石 Opq: 不透明鉱物 Alt: 風化粒子

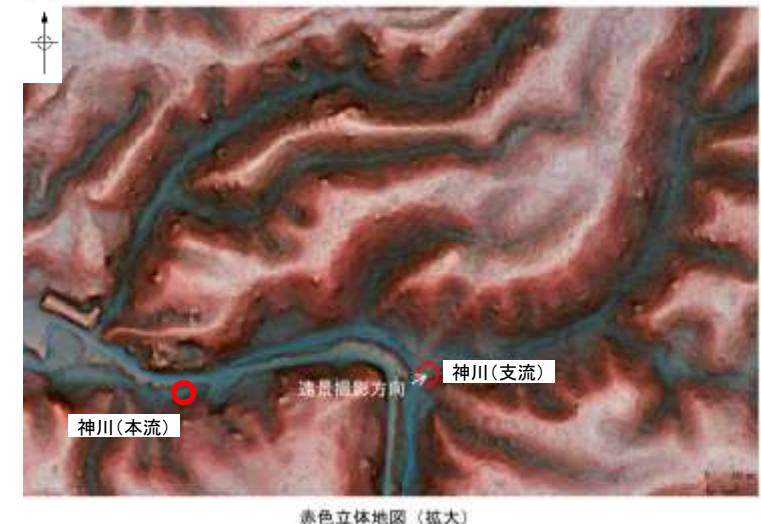
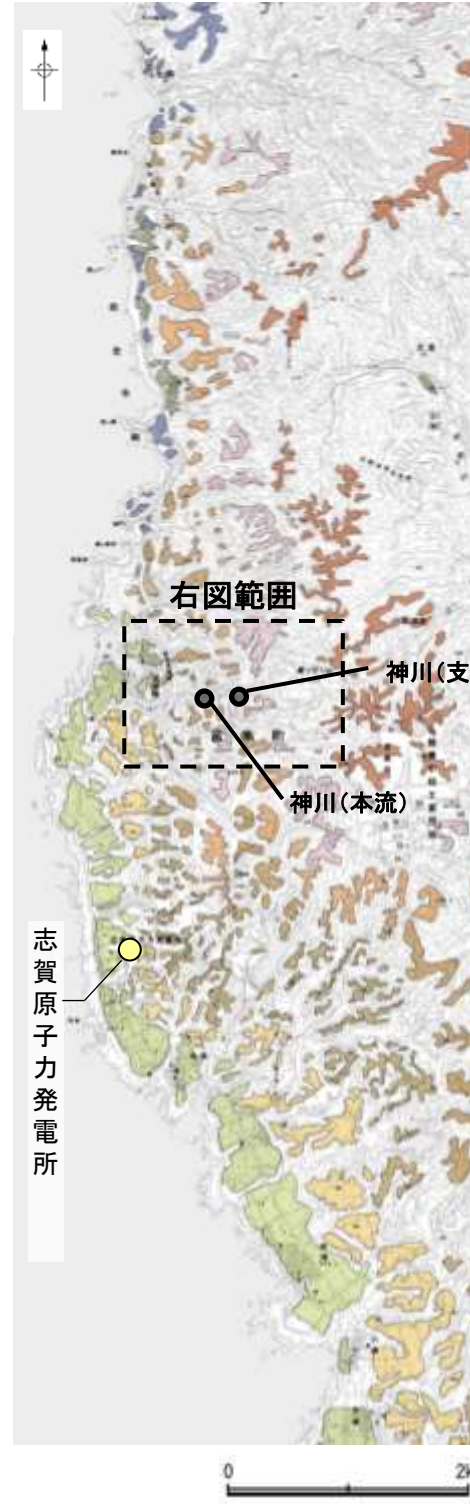


X線回折チャート(No.1トレンチ)

(1)-7 現河床 神川本流・支流・小浦川

現河床 神川本流・支流

【神川本流・支流 調査位置・調査結果】



神川(本流)

神川(支流)

近景写真
角～亜角礫主体。径5～10cm台のものが多い。

近景写真
角礫主体。径5～10cm台のものが多い。

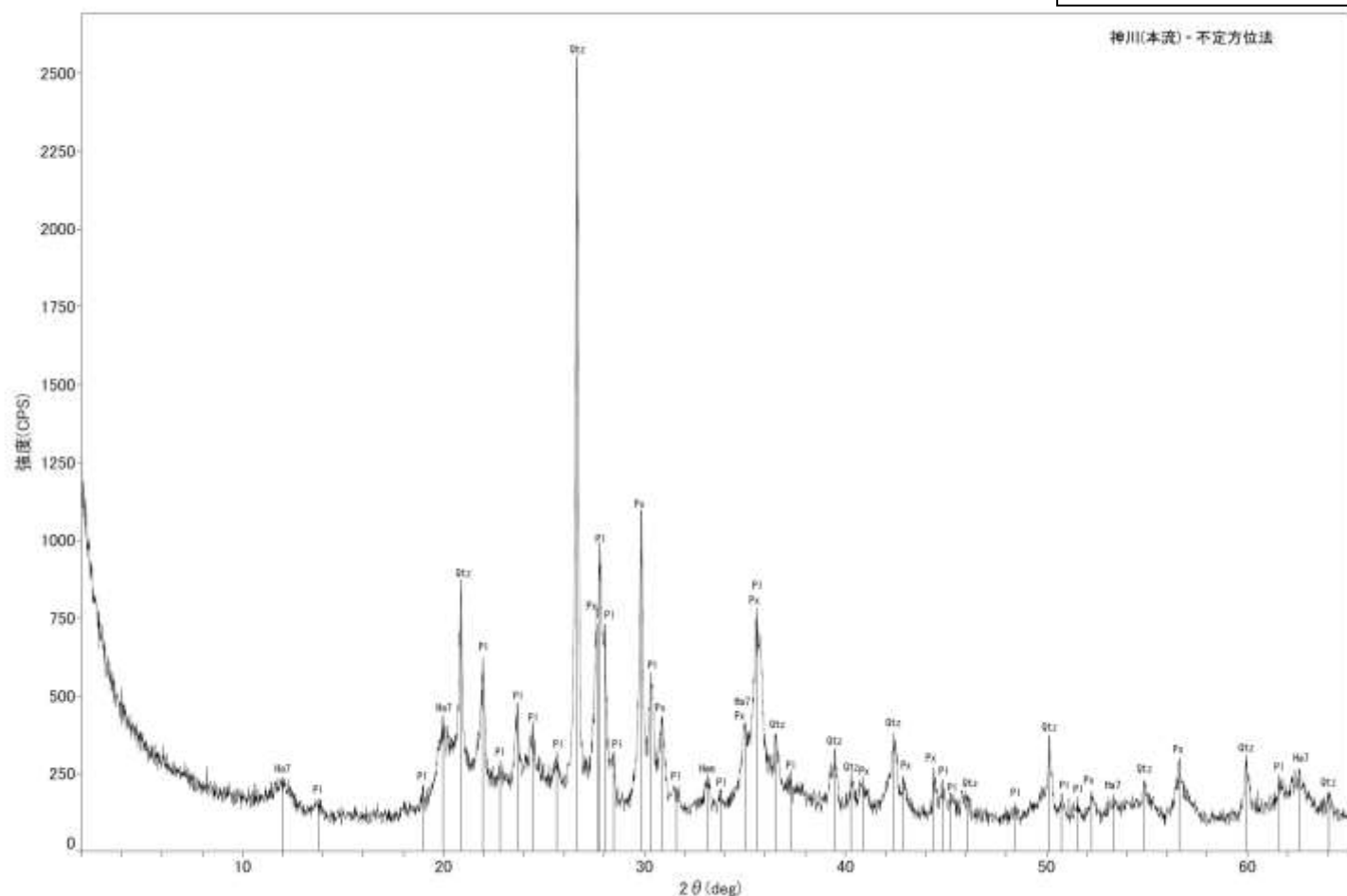
【神川本流 砂粒子の鉱物組成】



Ha7 : 7 Å型ハロイサイト
Hem : 赤鉄鉱
Pl : 斜長石
Px : 輝石類
Qtz : 石英



Qtz: 石英 Fsp (Fsp): 長石(長石グループ) Opx: 斜方輝石 Cpx: 単斜輝石
Oth: その他



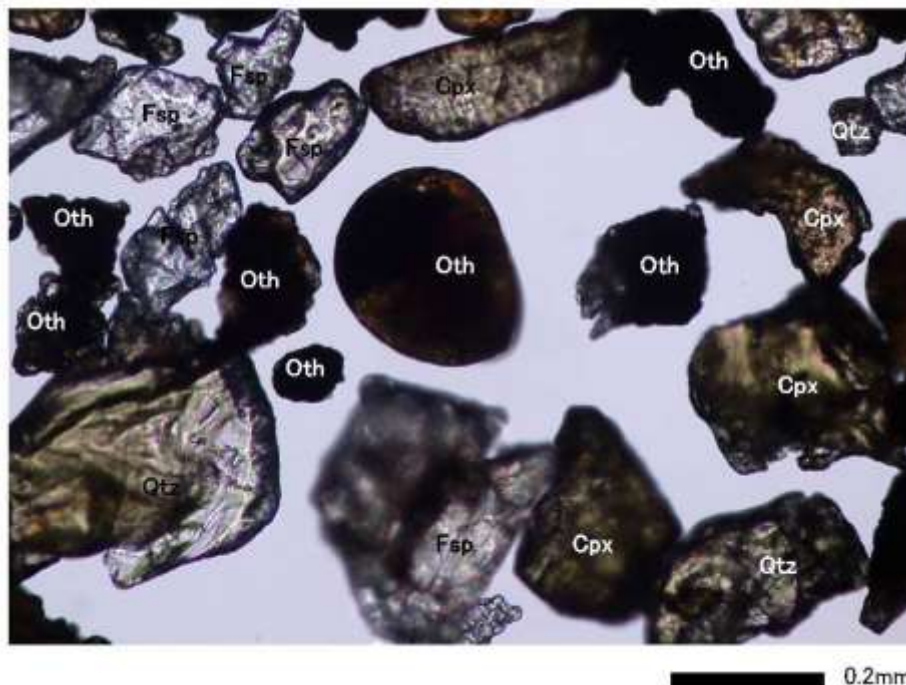
【神川支流 砂粒子の鉱物組成】



試料採取位置(神川支流)

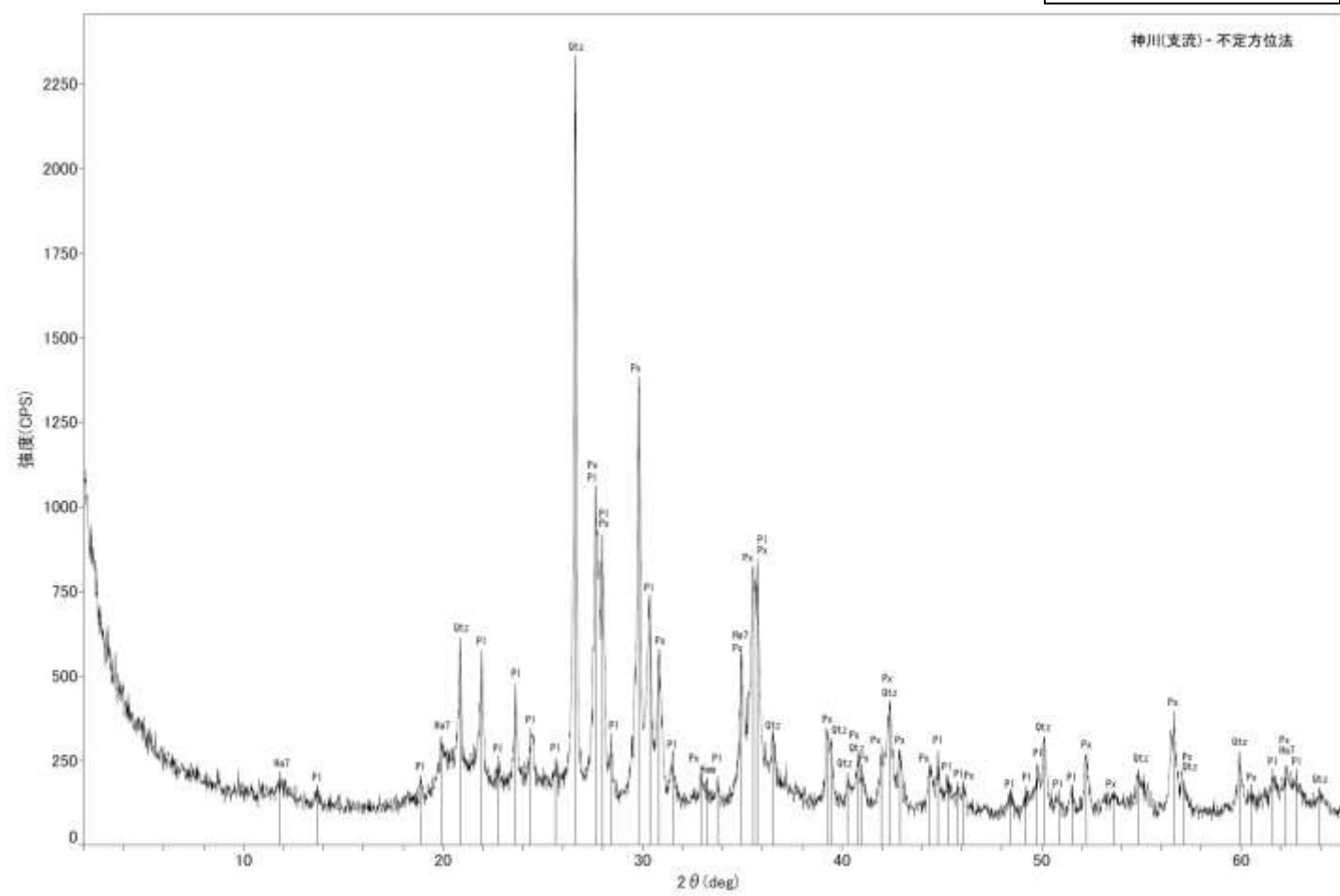
表面の礫を取り除いた後の砂を採取。

Ha7 : 7Å型ハロイサイト
Hem : 赤鉄鉱
Pl : 斜長石
Px : 輝石類
Qtz : 石英



実体顕微鏡写真(神川支流)

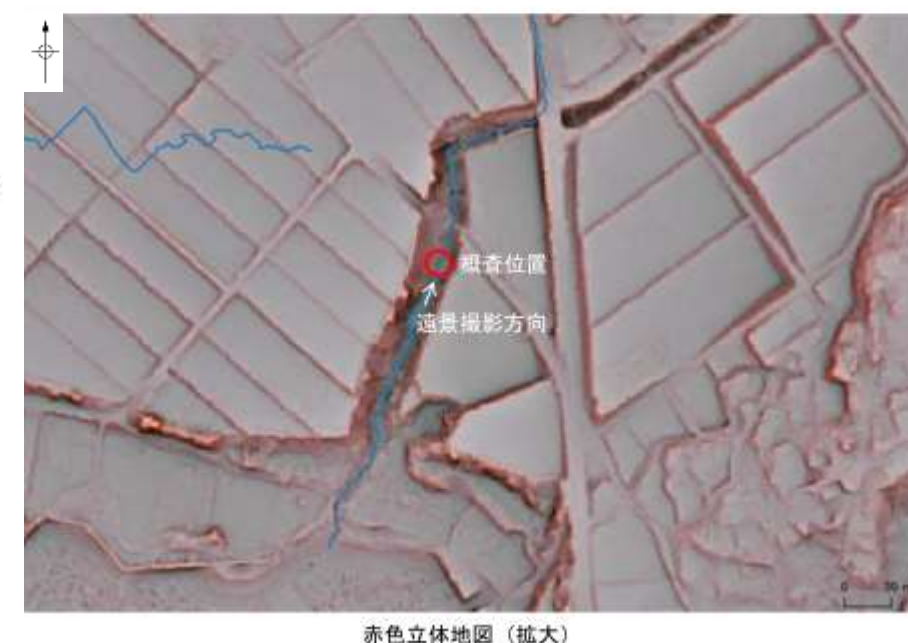
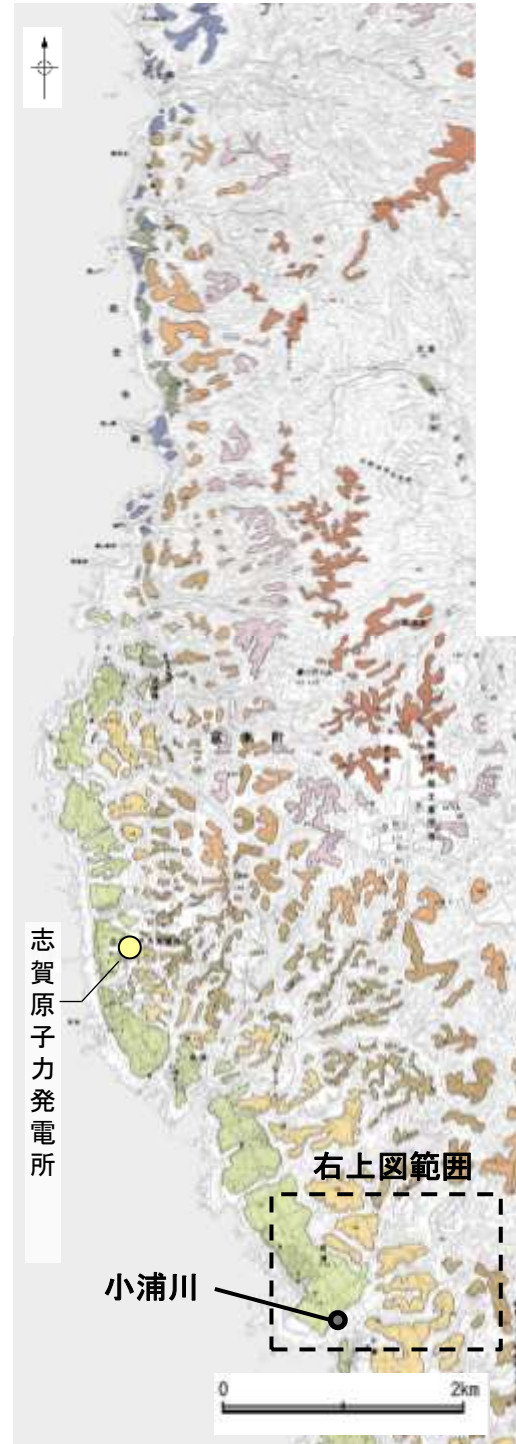
Qtz:石英 Fls (Fsp):長石(長石グループ) Cpx:単斜輝石 Oth:その他



X線回折チャート(神川支流)

現河床 小浦川

【小浦川 調査位置・調査結果】



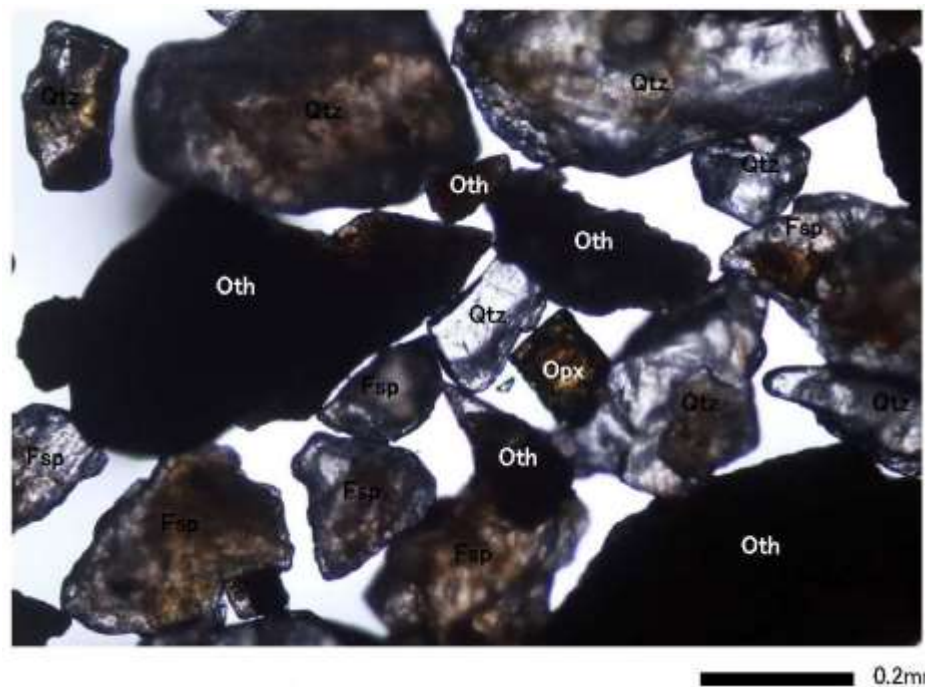
【小浦川 砂粒子の鉱物組成】



表面の礫を取り除いた後の砂を採取。

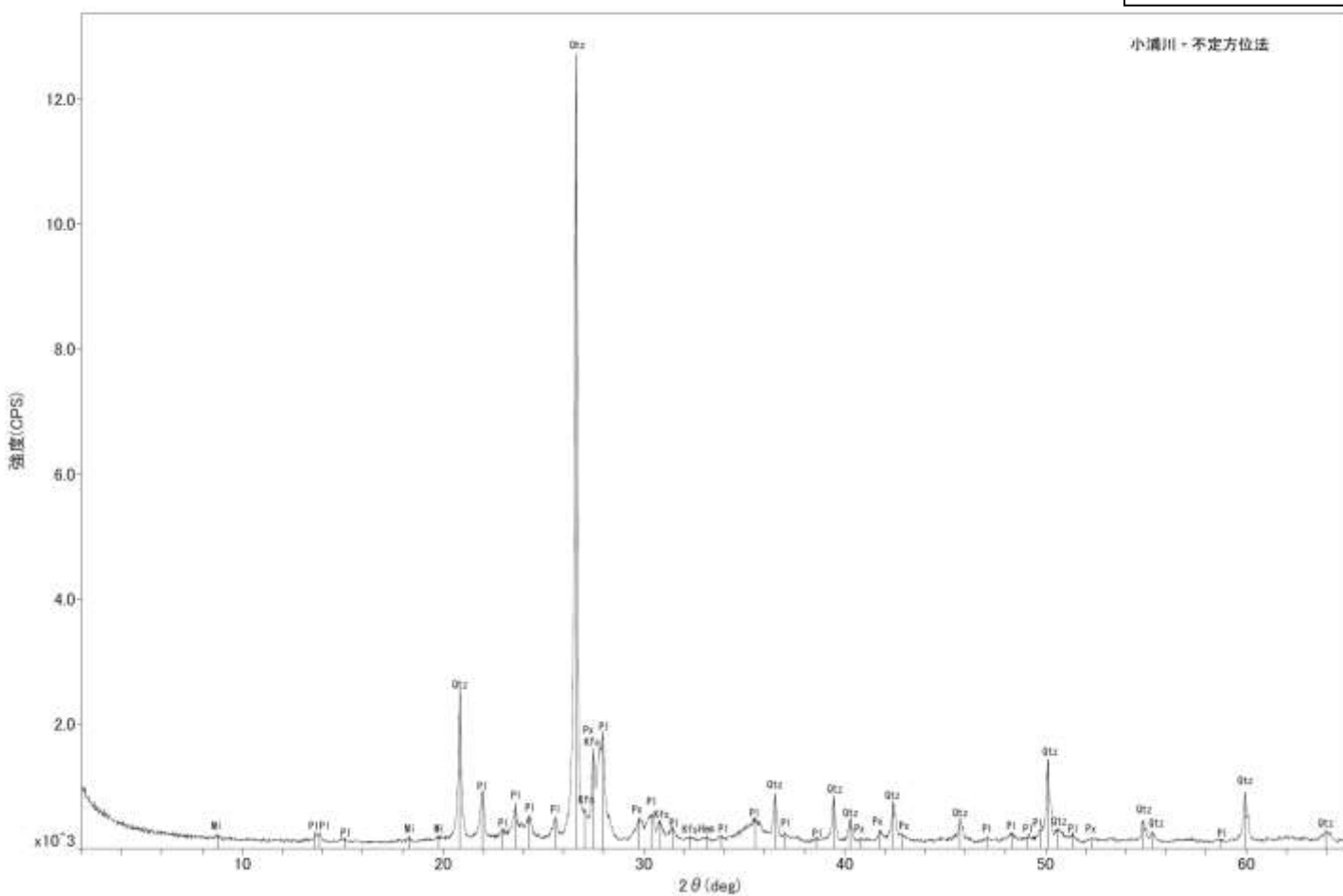
Hem : 赤鉄鉱
Kfs : カリ長石
Mi : 雲母鉱物
Pl : 斜長石
Px : 輝石類
Qtz : 石英

試料採取位置(小浦川)



実体顕微鏡写真(小浦川)

Qtz:石英 Fls (Fsp):長石(長石グループ) Opx:斜方輝石 Oth:その他

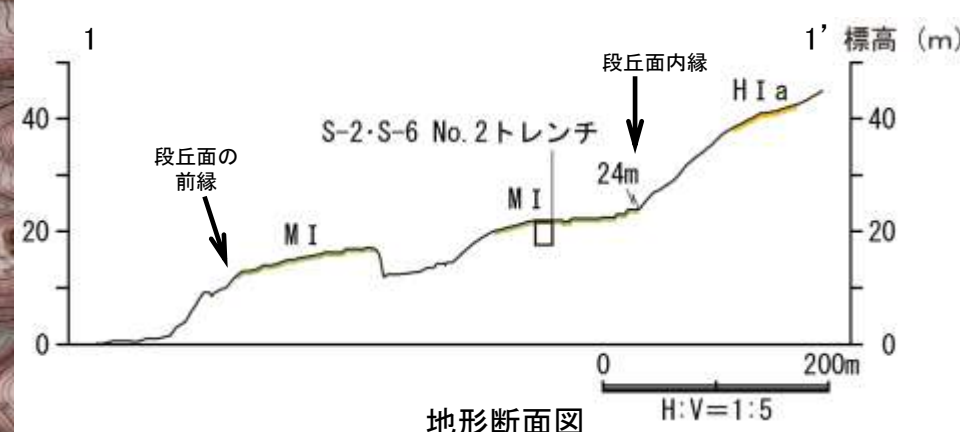
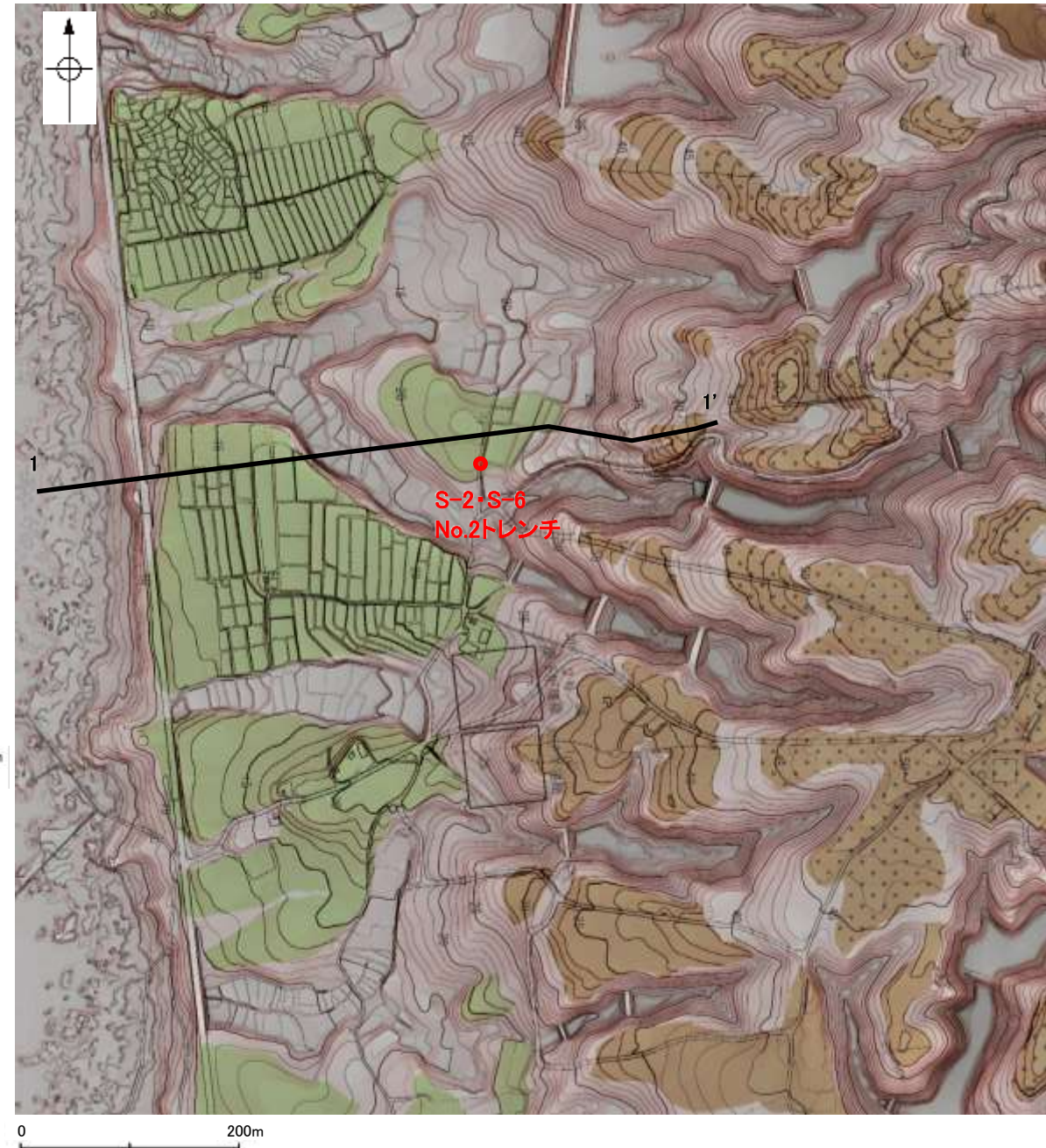
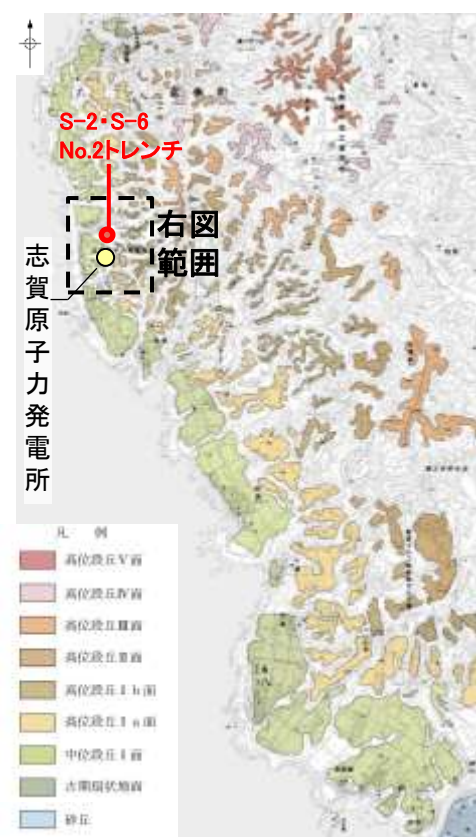


X線回折チャート(小浦川)

(1)-8 中位段丘 I 面 S-2・S-6 No.2トレント

中位段丘 I 面 S-2・S-6 No.2トレンチ

【 S-2・S-6 No.2トレンチ 調査位置 】



段丘面凡例

高位段丘Ⅰ面

III b

III a

中位段丘Ⅰ面

MI

1' 断面線

【 S-2・S-6 No.2トレンチ 調査結果 】

テフラの年代(町田・新井, 2011)
K-Tz: 9.5万年前

赤褐色土壌

- ・色調5YR4/8及び7.5YR5/6、ごく一部でトラ斑が認められる。
- ・シルト質粘土からなる。よく締まっており、中程度の亜角塊状土壤構造が認められる。

M I 段丘堆積物

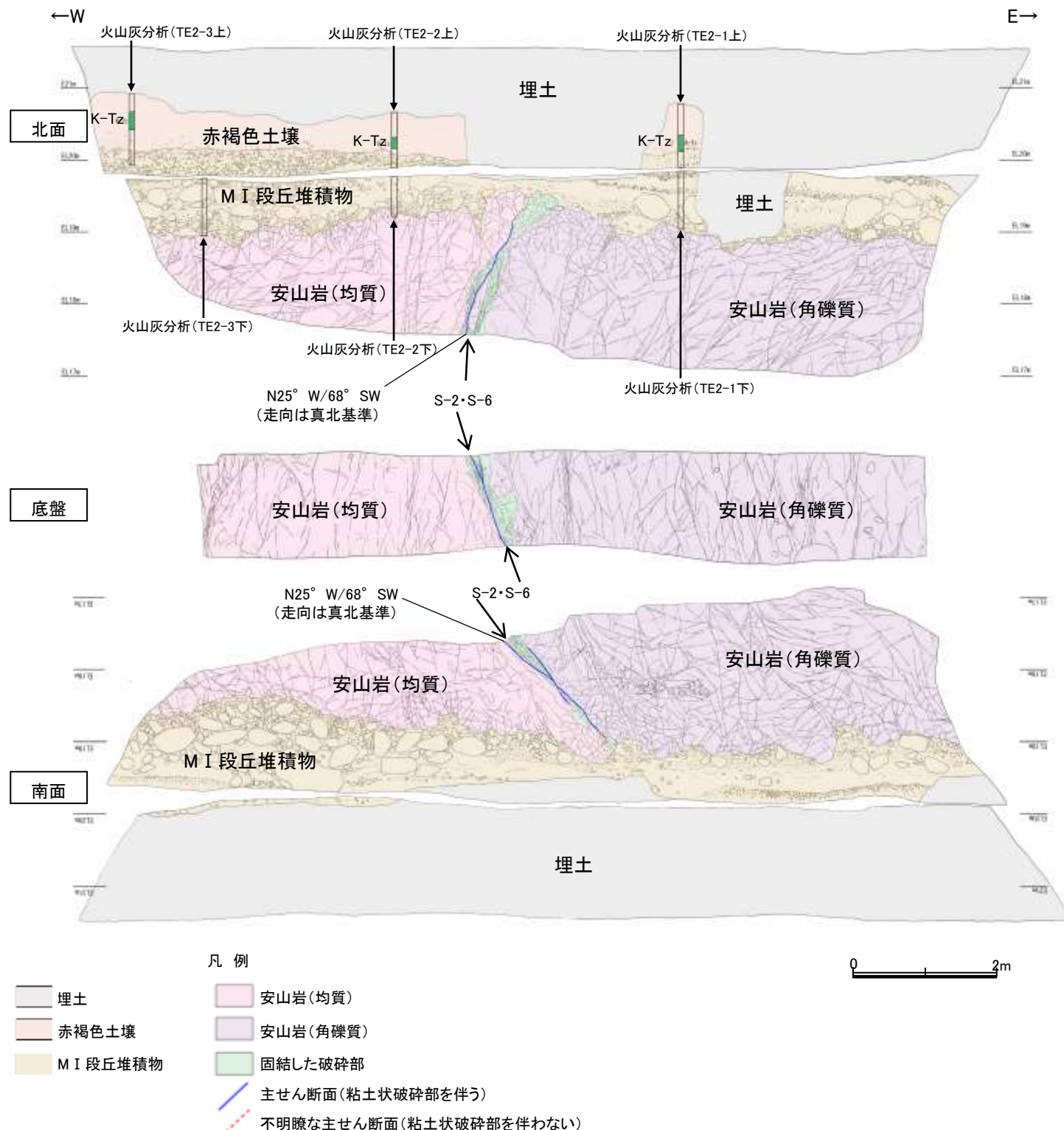
- ・砂礫層からなり、色調は7.5YR5/8~10YR5/8で、基質はシルト質中~粗粒砂であり、径5~20cmの安山岩亜円~亜角礫を25~50%含む。また、最大80cmの礫がわずかに混じる。上部20~40cm間では、比較的小さな径(2~8cm程度)の礫を40~60%含む。径5cm以下の礫はクサリ礫化が進む。
- ・よく締まっており、強い指圧でわずかに跡が残る。一部で白色細粒物(ギブサイト)が認められる。
- ・径数mm~10cm以下の礫等からなる層理が複数認められる。

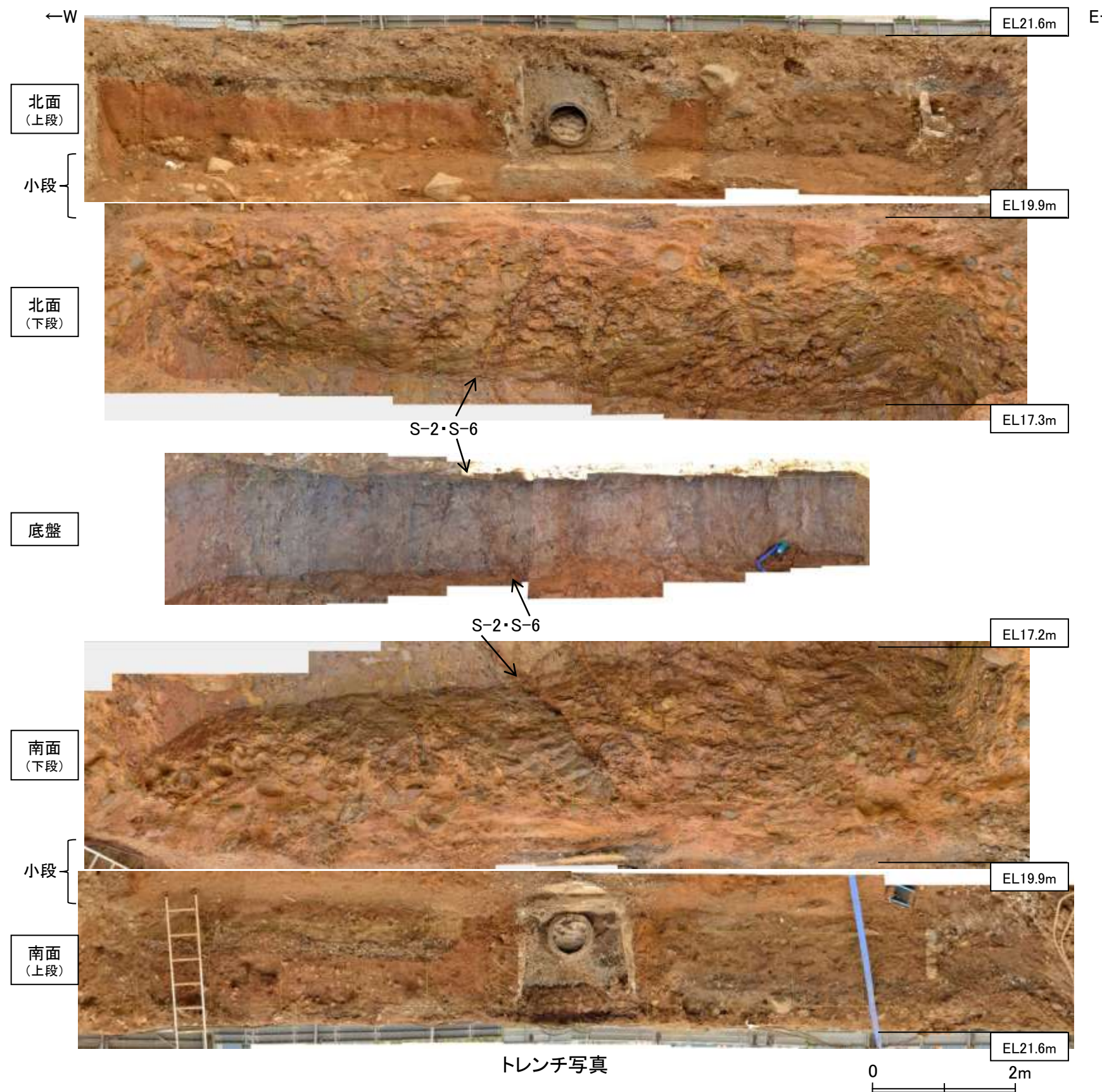
【火山灰分析結果】

- ・赤褐色土壌中から、K-Tz(9.5万年前)が認められる(P.5.3-1-78,79)。

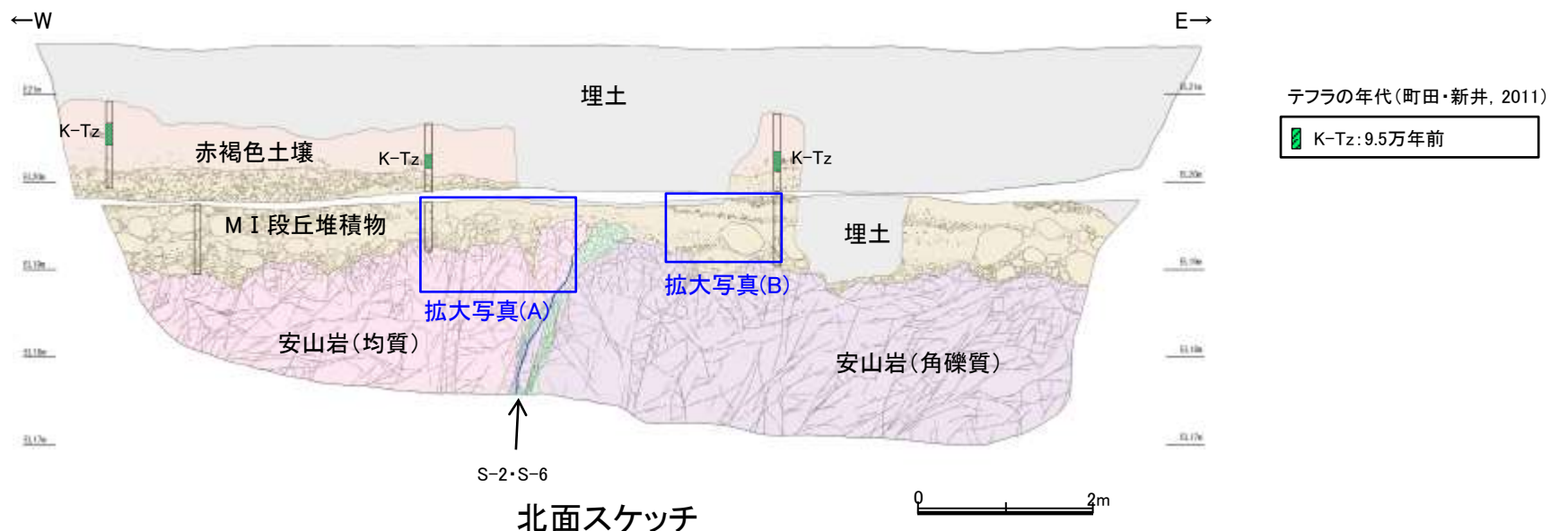
- ・S-2・S-6 No.2トレンチのM I 段丘堆積物は、礫が亜円~亜角礫主体で、基質中に粒径0.1~0.2mm主体の石英粒子を含むという特徴を有する。また、径数mm~10cm以下の礫等からなる層理が複数認められる。

- ・M I 段丘堆積物を覆う赤褐色土壌に、K-Tz(9.5万年前)が挟在している。





【S-2・S-6 No.2トレーニング 北面 拡大写真】

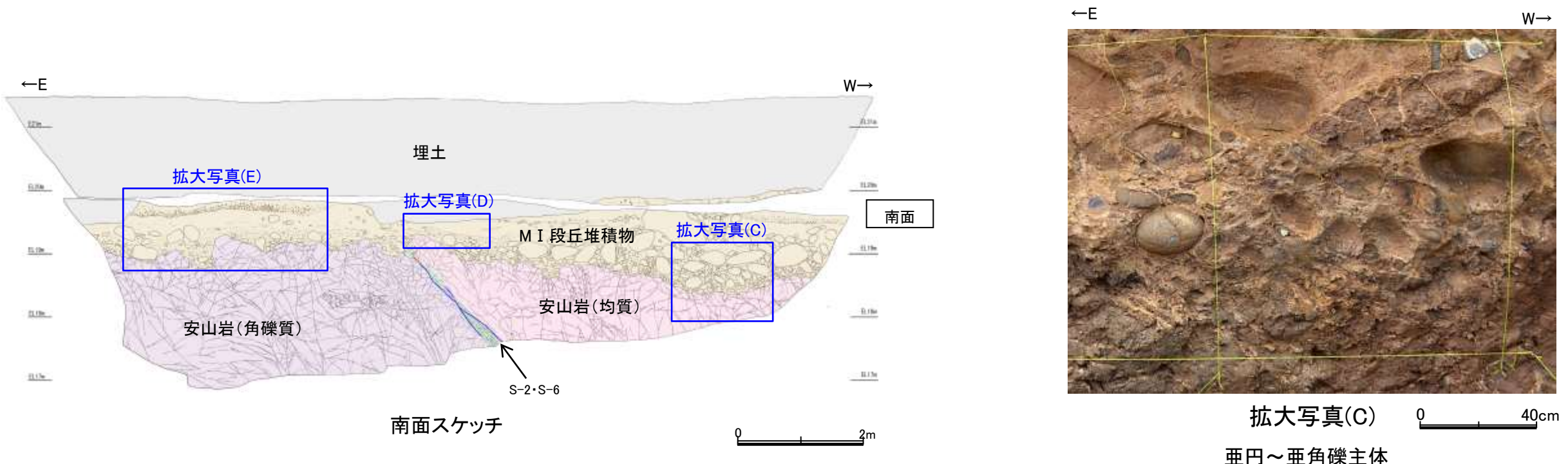


拡大写真(A) 亜円～亜角礫主体



拡大写真(B) 層理が複数認められる

【S-2・S-6 No.2トレーニチ 南面 拡大写真】

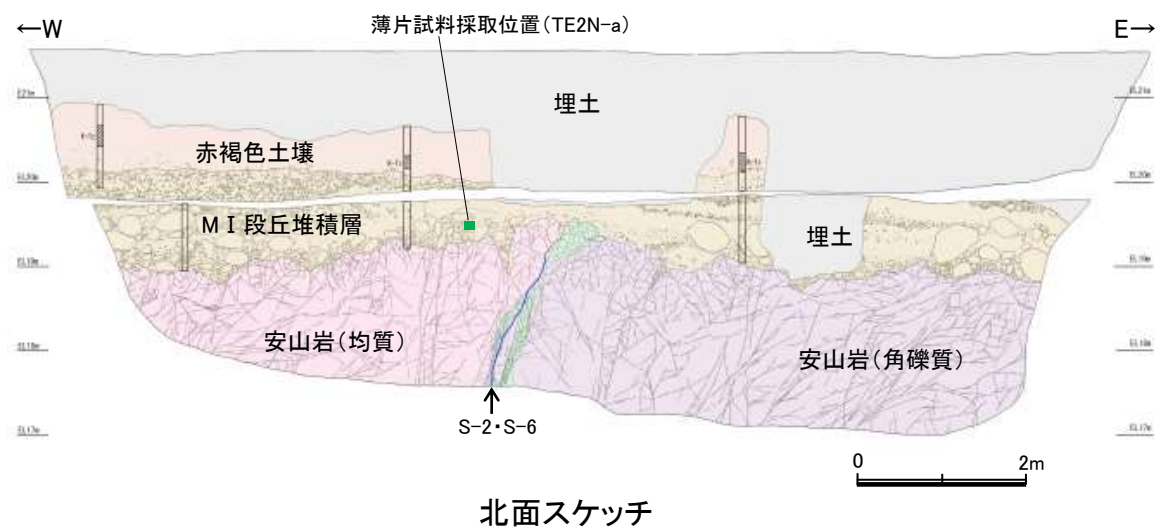


拡大写真(E) 層理が認められる



拡大写真(D) 層理が認められる

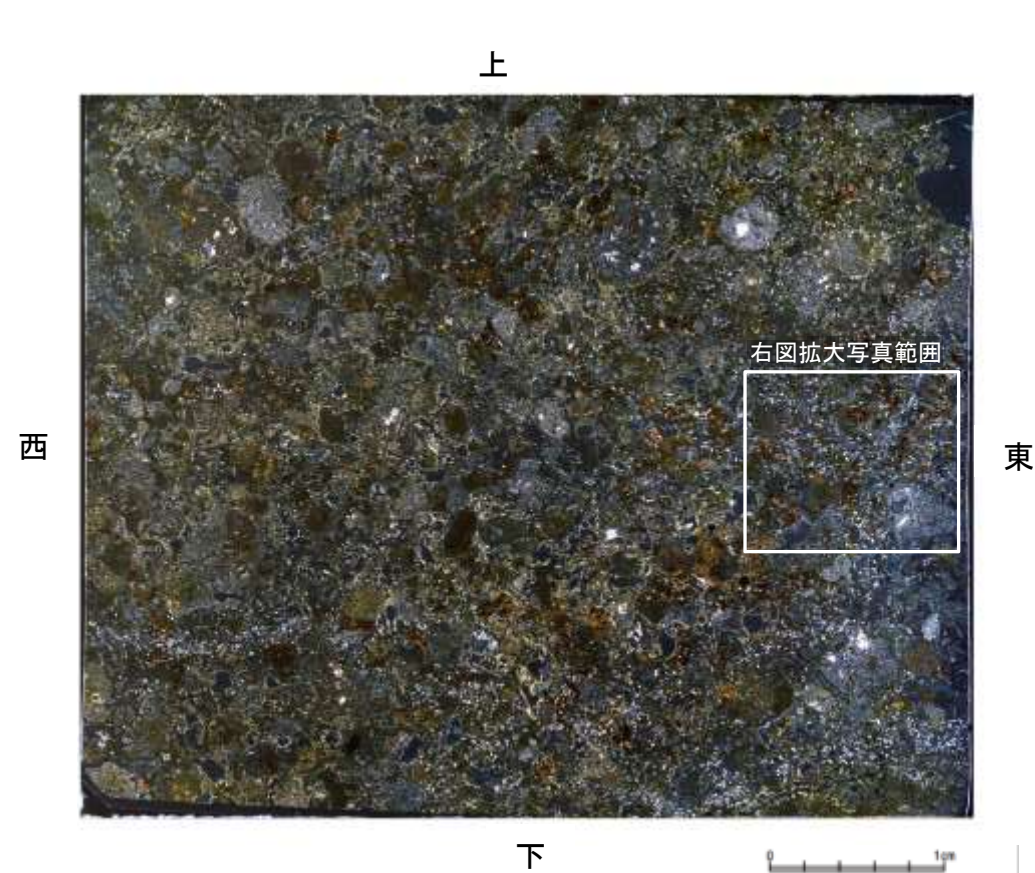
【S-2・S-6 No.2トレンチ 薄片観察】



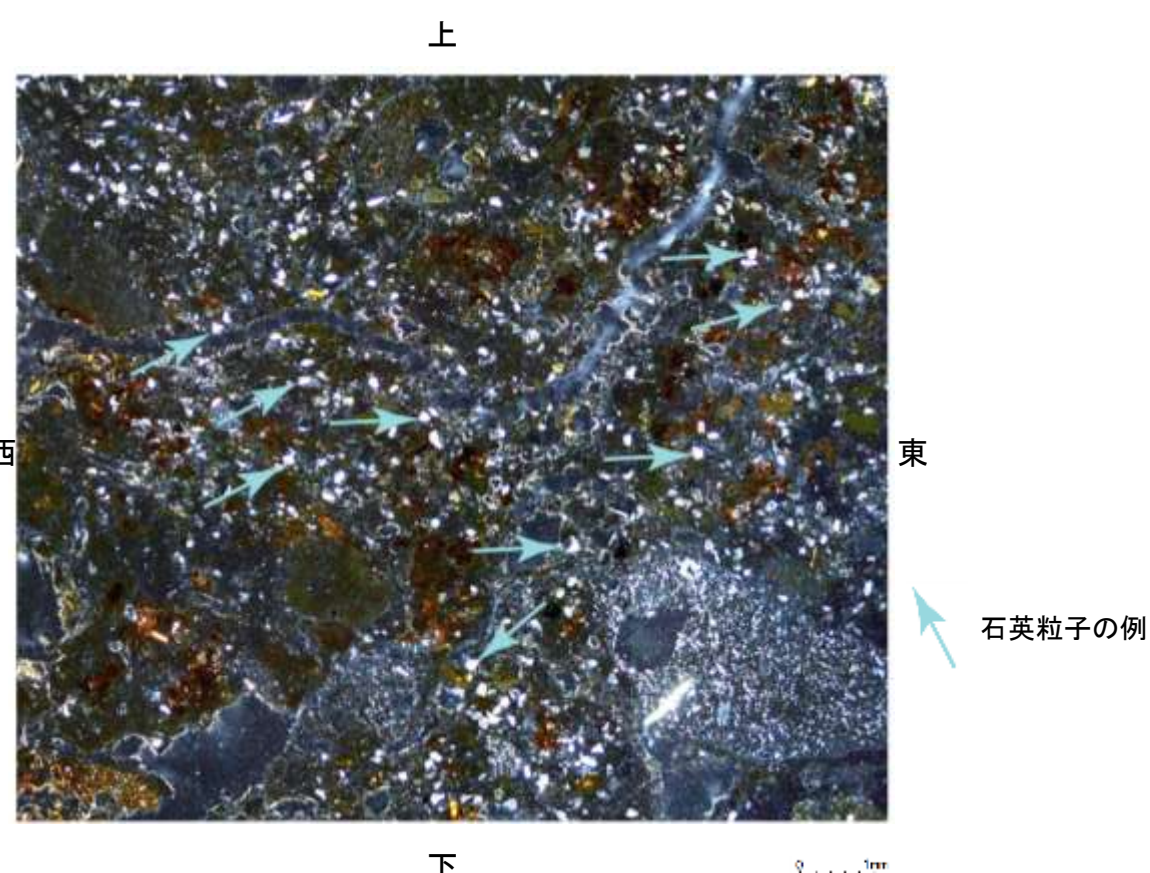
| 凡例 |
|------------------------|
| 埋土 |
| 赤褐色土壌 |
| M1段丘堆積物 |
| 安山岩(均質) |
| 安山岩(角礫質) |
| 固結した破碎部 |
| 主せん断面(粘土状破碎部を伴う) |
| 不明瞭な主せん断面(粘土状破碎部を伴わない) |

(顕微鏡下における観察結果)※
拡大写真中の基質中に白く見えるものの大部分が石英で、
その粒径は0.1～0.2mm主体である。
その他白く見えるものとして斜長石やカリ長石が含まれる。

※基質中に白く見える粒子の鉱物を定量的に確認するために実施した
EPMA分析結果については、次頁

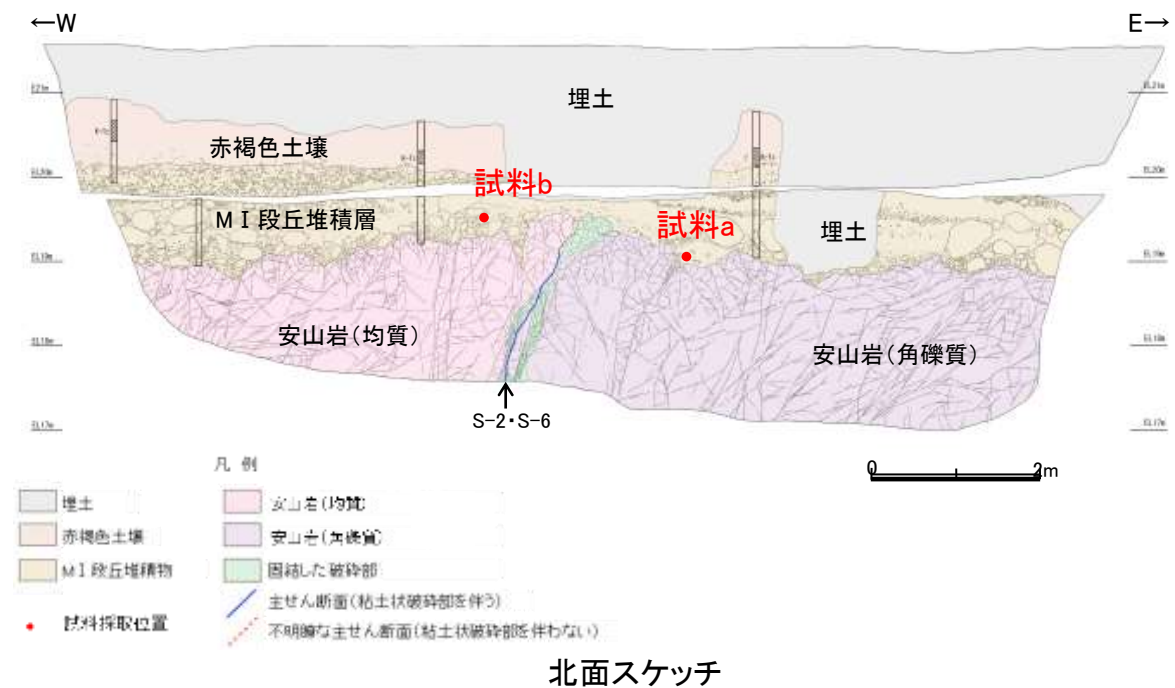


No.2トレンチ薄片例 TE2N-a
(直交ニコル 東西反転)



拡大写真

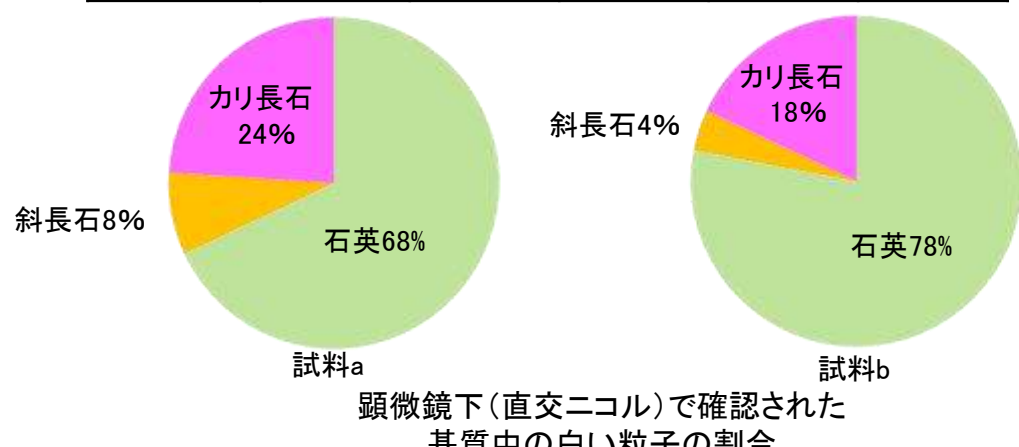
【S-2・S-6 No.2トレンチ EPMA分析】



北面スケッチ

EPMA分析結果(50粒子/1試料)

| 試料名 | | 鉱物名 | | | 合計 |
|-----|----|------|-----|------|-------|
| | | 石英 | 斜長石 | カリ長石 | |
| 試料a | 個数 | 34 | 4 | 12 | 50 |
| | % | 68.0 | 8.0 | 24.0 | 100.0 |
| 試料b | 個数 | 39 | 2 | 9 | 50 |
| | % | 78.0 | 4.0 | 18.0 | 100.0 |



顕微鏡下(直交ニコル)で確認された 基質中の白い粒子の割合

(EPMA分析結果)

EPMA分析の結果、顕微鏡下(直交ニコル)において基質中に白く見える粒子は、石英を主体とし、その他の鉱物としてカリ長石や斜長石を含むことが定量的に確認され、顕微鏡下の薄片による観察結果と整合する。

EPMA分析結果 試料a (100%ノーマライズデータ)

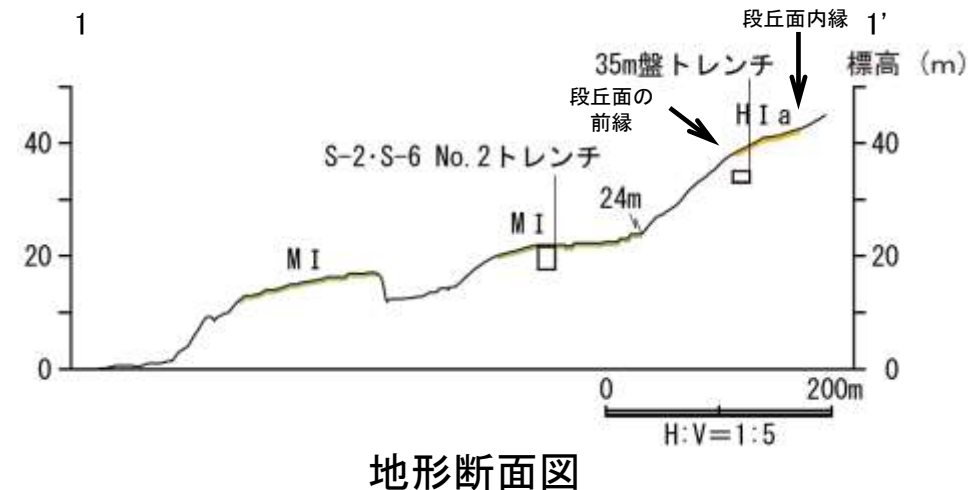
EPMA分析結果 試料b (100%ノーマライズデータ)

| 物名 | (wt.%) | | | | | | | | | | |
|----|------------------|--------------------------------|-----------------|------|-----|------|-----|-------------------|------------------|--------|--------|
| | SiO ₂ | Al ₂ O ₃ | SO ₃ | FeO | MgO | CaO | BaO | Na ₂ O | K ₂ O | total | |
| Qz | 100.00 | — | — | — | — | — | — | — | — | 100.00 | |
| Qz | 100.00 | — | — | — | — | — | — | — | — | 100.00 | |
| Qz | 100.00 | — | — | — | — | — | — | — | — | 100.00 | |
| Qz | 96.84 | 2.20 | — | — | — | — | — | — | 0.96 | 100.00 | |
| Qz | 100.00 | — | — | — | — | — | — | — | — | 100.00 | |
| Qz | 98.47 | 0.81 | — | 0.72 | — | — | — | — | — | 100.00 | |
| Qz | 100.00 | — | — | — | — | — | — | — | — | 100.00 | |
| Qz | 100.00 | — | — | — | — | — | — | — | — | 100.00 | |
| Qz | 100.00 | — | — | — | — | — | — | — | — | 100.00 | |
| Qz | 100.00 | — | — | — | — | — | — | — | — | 100.00 | |
| Kf | 63.58 | 18.12 | — | — | — | — | — | 0.74 | 17.56 | 100.00 | |
| Qz | 100.00 | — | — | — | — | — | — | — | — | 100.00 | |
| Qz | 100.00 | — | — | — | — | — | — | — | — | 100.00 | |
| Qz | 100.00 | — | — | — | — | — | — | — | — | 100.00 | |
| Qz | 100.00 | — | — | — | — | — | — | — | — | 100.00 | |
| Qz | 100.00 | — | — | — | — | — | — | — | — | 100.00 | |
| Kf | 63.99 | 17.99 | — | — | — | — | — | 0.84 | 17.18 | 100.00 | |
| Kf | 63.71 | 17.97 | — | — | — | — | — | 0.44 | 17.88 | 100.00 | |
| Qz | 100.00 | — | — | — | — | — | — | — | — | 100.00 | |
| Qz | 100.00 | — | — | — | — | — | — | — | — | 100.00 | |
| Qz | 100.00 | — | — | — | — | — | — | — | — | 100.00 | |
| Kf | 63.70 | 18.27 | — | — | — | — | — | 0.59 | 17.44 | 100.00 | |
| Kf | 63.95 | 17.67 | — | — | — | — | — | 0.60 | 17.78 | 100.00 | |
| Qz | 100.00 | — | — | — | — | — | — | — | — | 100.00 | |
| Qz | 100.00 | — | — | — | — | — | — | — | — | 100.00 | |
| Qz | 100.00 | — | — | — | — | — | — | — | — | 100.00 | |
| Qz | 100.00 | — | — | — | — | — | — | — | — | 100.00 | |
| Qz | 100.00 | — | — | — | — | — | — | — | — | 100.00 | |
| Qz | 100.00 | — | — | — | — | — | — | — | — | 100.00 | |
| Qz | 99.48 | 0.52 | — | — | — | — | — | — | — | 100.00 | |
| Qz | 100.00 | — | — | — | — | — | — | — | — | 100.00 | |
| Kf | 65.62 | 18.22 | — | — | — | — | — | 3.67 | 12.49 | 100.00 | |
| Qz | 99.75 | 0.25 | — | — | — | — | — | — | — | 100.00 | |
| Qz | 100.00 | — | — | — | — | — | — | — | — | 100.00 | |
| PI | 62.43 | 23.50 | — | — | — | 5.58 | — | 8.21 | 0.29 | 100.00 | |
| Kf | 63.54 | 17.85 | — | — | — | — | — | 0.29 | 18.32 | 100.00 | |
| Qz | 100.00 | — | — | — | — | — | — | — | — | 100.00 | |
| Qz | 100.00 | — | — | — | — | — | — | — | — | 100.00 | |
| Qz | 100.00 | — | — | — | — | — | — | — | — | 100.00 | |
| Qz | 100.00 | — | — | — | — | — | — | — | — | 100.00 | |
| PI | 69.28 | 19.36 | — | — | — | — | — | 11.36 | — | 100.00 | |
| Qz | 100.00 | — | — | — | — | — | — | — | — | 100.00 | |
| Qz | 100.00 | — | — | — | — | — | — | — | — | 100.00 | |
| Qz | 100.00 | — | — | — | — | — | — | — | — | 100.00 | |
| Qz | 100.00 | — | — | — | — | — | — | — | — | 100.00 | |
| Kf | 63.87 | 17.69 | — | — | — | — | — | 0.36 | 18.07 | 100.00 | |
| Qz | 100.00 | — | — | — | — | — | — | — | — | 100.00 | |
| Kf | 63.08 | 18.26 | — | — | — | — | — | 1.08 | 0.73 | 16.85 | 100.00 |

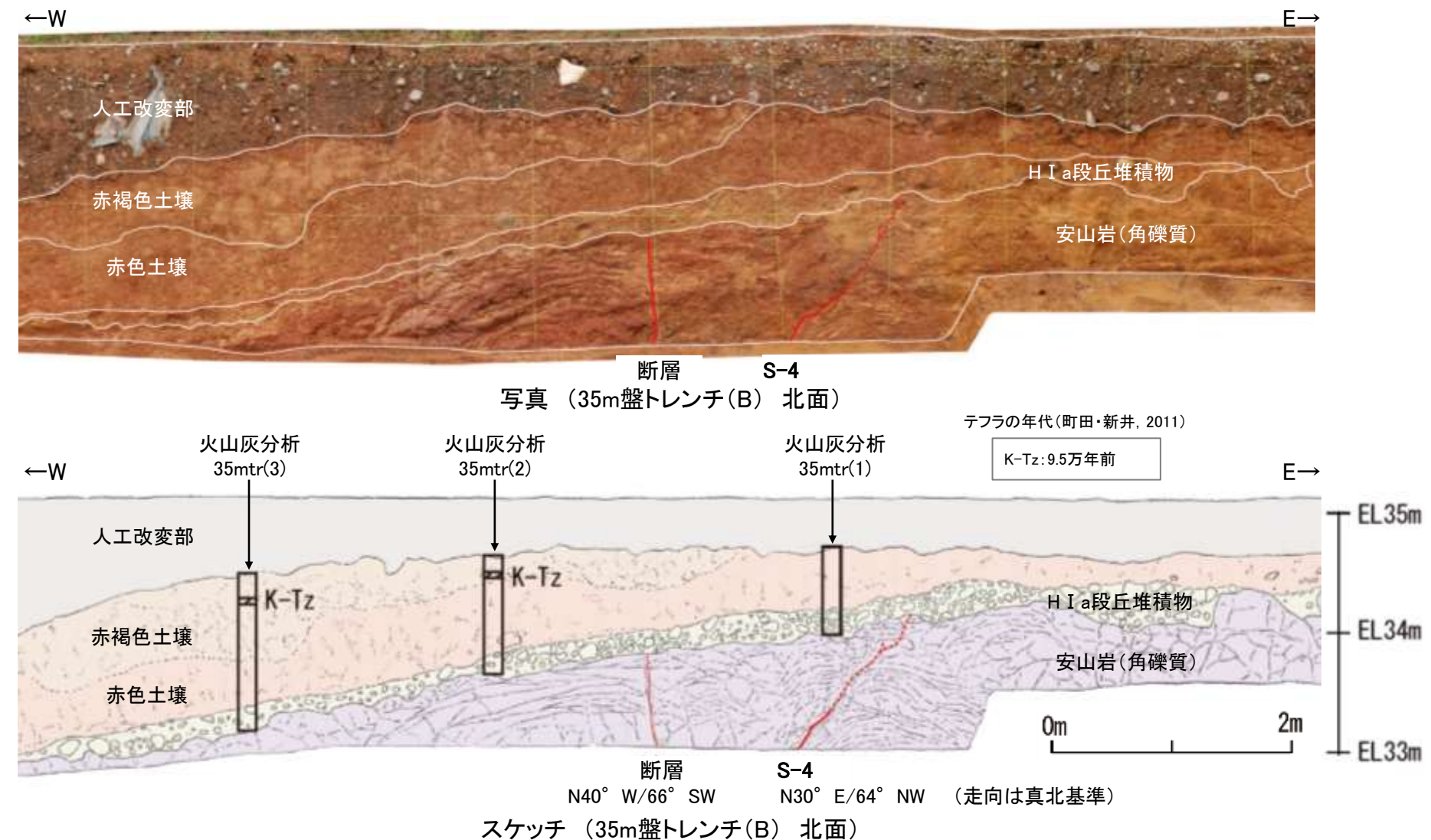
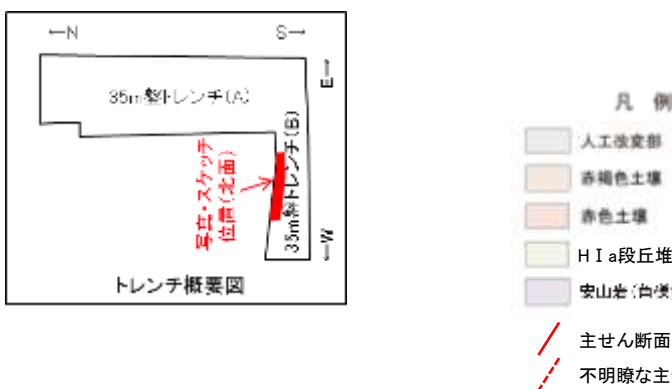
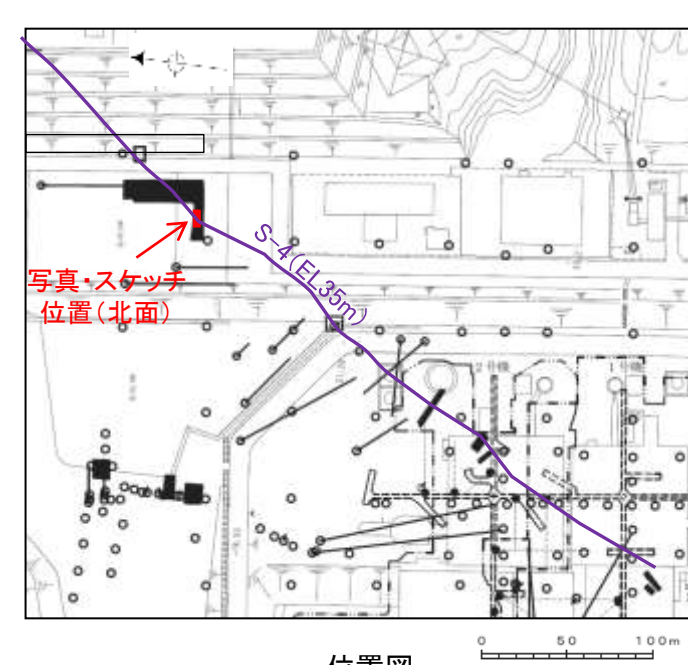
(1)-9 高位段丘 I a面 35m盤トレンチ

高位段丘 I a面 35m盤トレンチ

【 35m盤トレンチ 調査位置 】



【 35m盤トレンチ 調査結果 】



【遊離酸化鉄分析・火山灰分析結果】

- 赤色土壌について実施した遊離酸化鉄分析の結果、能登半島の赤色土壌と同程度である(P.5.3-1-92)。
- 火山灰分析の結果、赤褐色土壌中からK-Tz(9.5万年前)が認められる(P.5.3-1-82,83)。

- 35m盤トレンチのH I a段丘堆積物は、礫が亜円～亜角礫を主体とし円礫も含み、また基質中に粒径0.1～0.2mm主体の石英粒子を含むという特徴を有する。
- H I a段丘堆積物を覆う赤褐色土壌に、K-Tz(9.5万年前)が挟在している。

赤褐色土壌

- 色調5YR4/6～7.5YR5/8、弱いトラ斑を伴う。
- 中程度の角塊～亜角塊状土壤構造が認められる。

赤色土壌

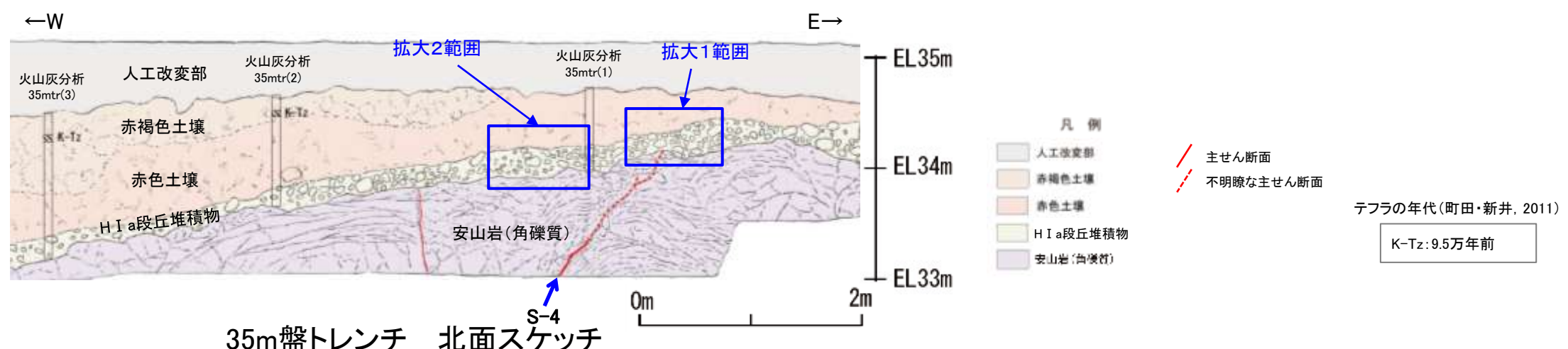
- 色調5YR4/6～7.5YR5/8、トラ斑を伴う。
- 中程度の角塊状土壤構造が認められる。

(トラ斑を伴う赤色土壌は、松井・加藤(1965)、成瀬(1974)、阿部ほか(1985)、Nagatsuka, S. and Maejima, Y. (2001)、赤木ほか(2003)等によれば、下末吉期の温暖な気候下で形成されたと考えられ、いずれも高位段丘を識別する重要な特徴とされている。)

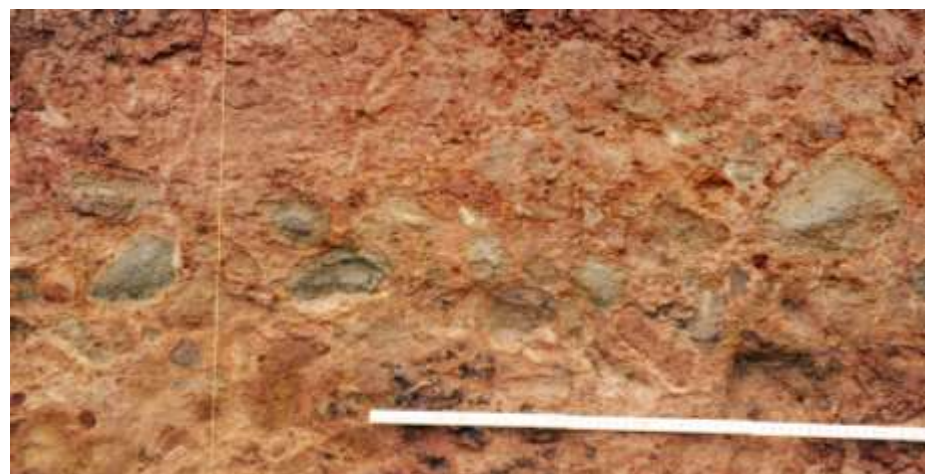
H I a段丘堆積物

- 砂礫層からなる。
- 基質は黄褐～明褐色(10YR5/8～7.5YR5/8)を呈するシルト質細粒砂からなり、良く締まっており、強い指圧でわずかに跡が残る。
- 径5～20cmの安山岩亜円～亜角礫を25～50%含む。また、円礫も混じる。
- 礫は半クサリ化している。

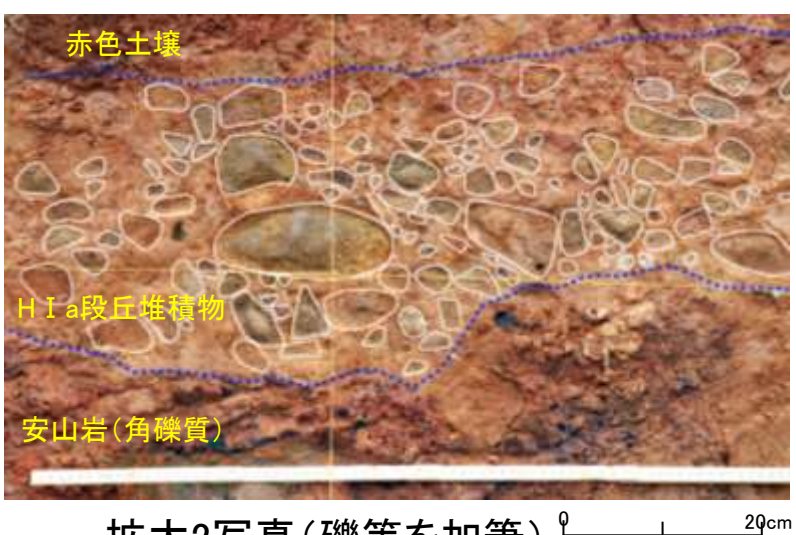
【35m盤トレンチ 拡大写真】



拡大2写真



拡大1写真



拡大2写真(礫等を加筆)



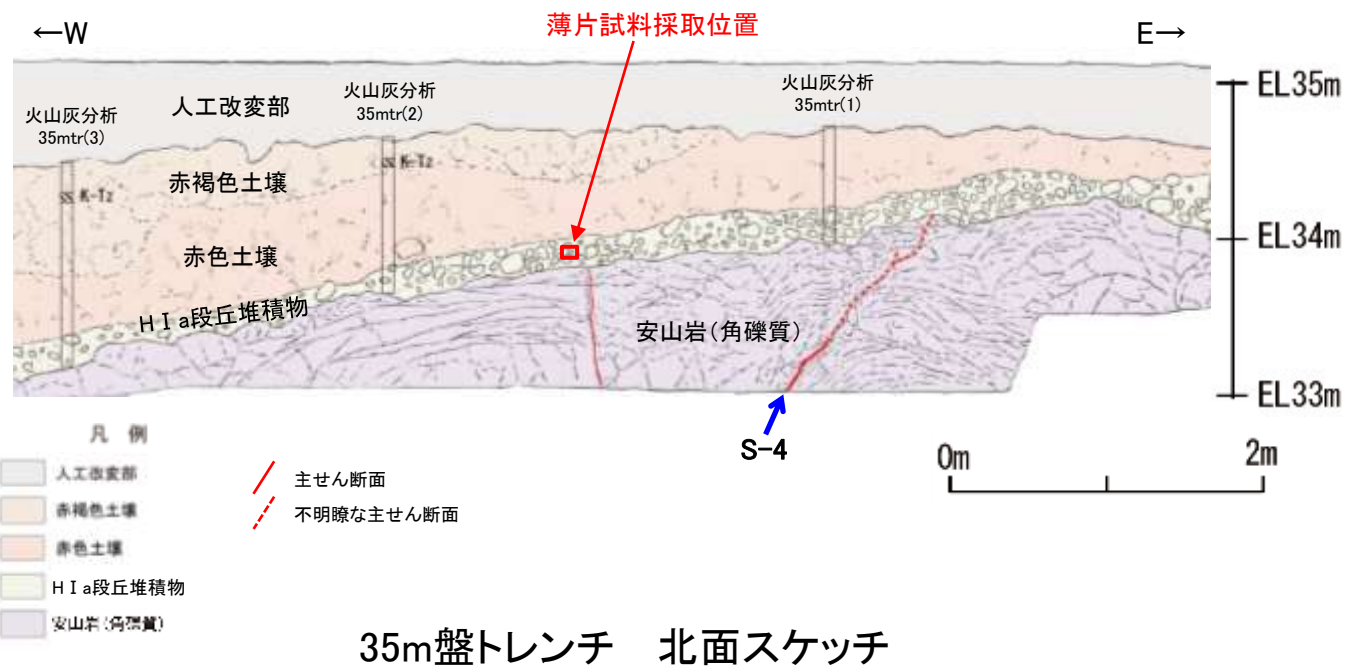
拡大1写真(礫等を加筆)

・亜円～亜角礫主体で、円礫も混じる。

【35m盤トレンチ 薄片観察】

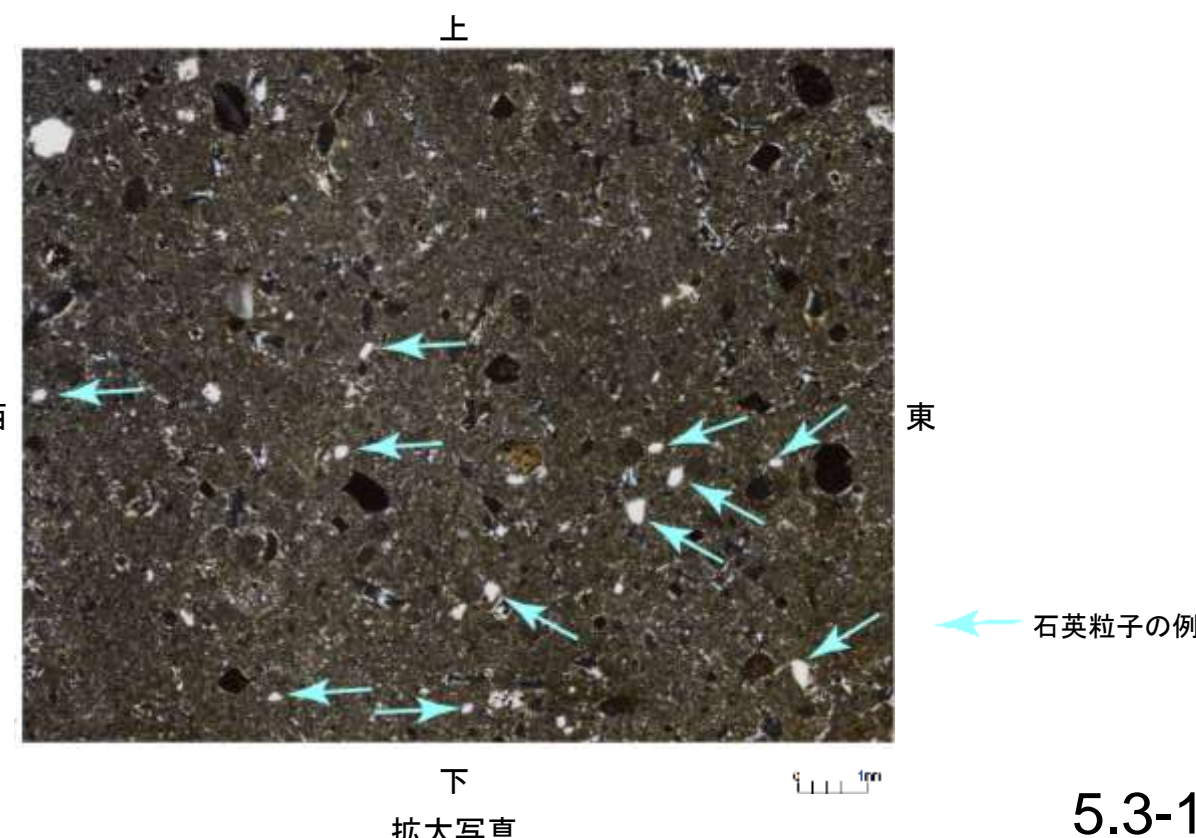
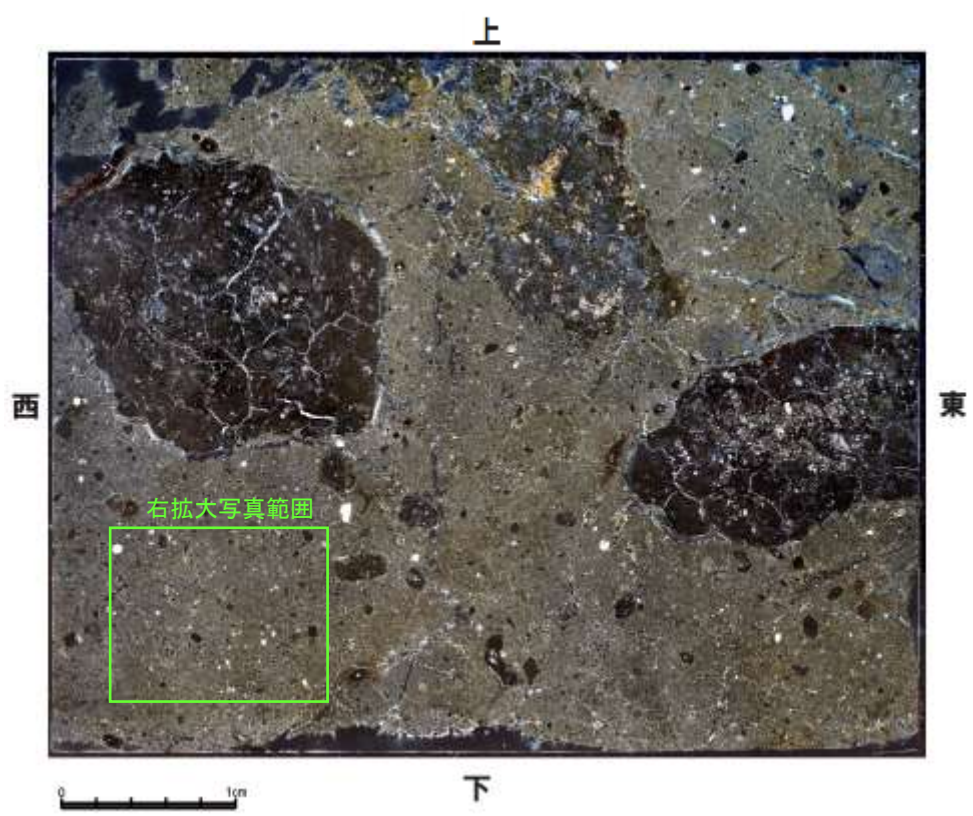
テフラの年代(町田・新井, 2011)

K-Tz: 9.5万年前



※基質中に白く見える粒子の鉱物を定量的に確認するため
に実施したEPMA分析結果については、次頁。

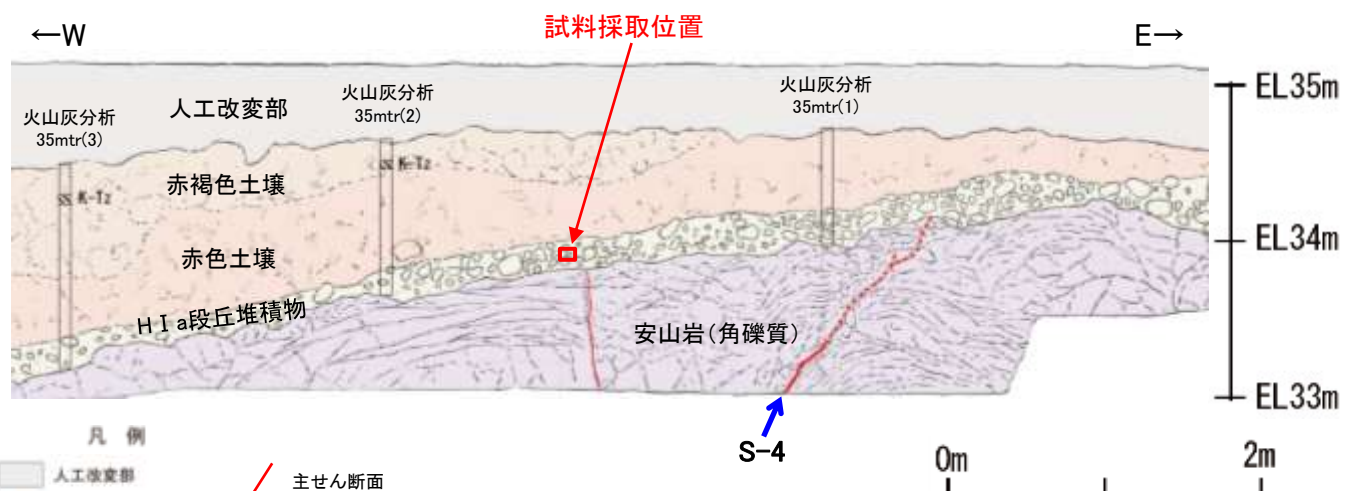
(顕微鏡下における観察結果)※
拡大写真中の基質中に白く見えるものの大部分
が石英で、その粒径は0.1~0.2mm主体である。
その他白く見えるものとしてカリ長石が含まれる。



【35m盤トレンチ EPMA分析】

テフラの年代(町田・新井, 2011)

K-Tz: 9.5万年前



35m盤トレンチ 北面スケッチ

EPMA分析結果(50粒子)

| | 鉱物名 | | | 合計 |
|----|------|-----|------|-------|
| | 石英 | 斜長石 | カリ長石 | |
| 個数 | 46 | 0 | 4 | 50 |
| % | 92.0 | 0.0 | 8.0 | 100.0 |

(EPMA分析結果)

○EPMA分析の結果、基質中に白く見える粒子は、石英を主体とし、他の鉱物としてカリ長石を含むことが定量的に確認され、顕微鏡下の薄片による観察結果と整合する。

EPMA分析結果(100%ノーマライズデータ)

| 鉱物名 | (wt.%) | | | | | | | | | |
|-----|------------------|------------------|--------------------------------|------|------|------|------|-------------------|------------------|--------|
| | SiO ₂ | TiO ₂ | Al ₂ O ₃ | FeO | MnO | MgO | CaO | Na ₂ O | K ₂ O | Total |
| Qz | 99.80 | 0.01 | 0.05 | 0.13 | 0.00 | 0.00 | 0.00 | 0.00 | 0.00 | 100.00 |
| Qz | 99.03 | 0.01 | 0.58 | 0.13 | 0.00 | 0.00 | 0.08 | 0.04 | 0.13 | 100.00 |
| Qz | 99.85 | 0.02 | 0.02 | 0.09 | 0.01 | 0.00 | 0.00 | 0.00 | 0.00 | 100.00 |
| Qz | 99.78 | 0.00 | 0.08 | 0.07 | 0.02 | 0.00 | 0.01 | 0.01 | 0.03 | 100.00 |
| Qz | 99.85 | 0.02 | 0.03 | 0.08 | 0.00 | 0.00 | 0.00 | 0.01 | 0.00 | 100.00 |
| Qz | 99.94 | 0.00 | 0.03 | 0.02 | 0.00 | 0.01 | 0.00 | 0.00 | 0.00 | 100.00 |
| Qz | 99.88 | 0.00 | 0.03 | 0.08 | 0.00 | 0.01 | 0.01 | 0.00 | 0.00 | 100.00 |
| Qz | 99.85 | 0.00 | 0.05 | 0.05 | 0.00 | 0.02 | 0.01 | 0.01 | 0.01 | 100.00 |
| Qz | 99.79 | 0.01 | 0.06 | 0.09 | 0.00 | 0.00 | 0.01 | 0.02 | 0.01 | 100.00 |
| Qz | 97.47 | 0.18 | 1.32 | 0.19 | 0.00 | 0.01 | 0.02 | 0.49 | 0.31 | 100.00 |
| Qz | 99.93 | 0.00 | 0.03 | 0.04 | 0.00 | 0.00 | 0.00 | 0.00 | 0.00 | 100.00 |
| Qz | 99.81 | 0.03 | 0.06 | 0.09 | 0.00 | 0.00 | 0.00 | 0.00 | 0.01 | 100.00 |
| Qz | 99.90 | 0.00 | 0.03 | 0.06 | 0.00 | 0.00 | 0.01 | 0.00 | 0.01 | 100.00 |
| Qz | 99.84 | 0.00 | 0.02 | 0.12 | 0.00 | 0.00 | 0.00 | 0.01 | 0.01 | 100.00 |
| Qz | 99.77 | 0.02 | 0.02 | 0.15 | 0.01 | 0.01 | 0.01 | 0.01 | 0.00 | 100.00 |
| Qz | 99.91 | 0.02 | 0.05 | 0.01 | 0.00 | 0.00 | 0.00 | 0.00 | 0.00 | 100.00 |
| Qz | 99.85 | 0.01 | 0.06 | 0.05 | 0.01 | 0.01 | 0.01 | 0.00 | 0.00 | 100.00 |
| Qz | 99.85 | 0.01 | 0.03 | 0.09 | 0.00 | 0.00 | 0.00 | 0.00 | 0.00 | 100.00 |
| Qz | 99.92 | 0.01 | 0.04 | 0.02 | 0.00 | 0.00 | 0.00 | 0.00 | 0.01 | 100.00 |
| Kf | 65.74 | 0.02 | 17.66 | 0.04 | 0.00 | 0.00 | 0.01 | 0.82 | 15.72 | 100.00 |
| Qz | 99.74 | 0.02 | 0.07 | 0.11 | 0.00 | 0.04 | 0.00 | 0.01 | 0.01 | 100.00 |
| Qz | 99.89 | 0.01 | 0.02 | 0.06 | 0.00 | 0.00 | 0.01 | 0.01 | 0.00 | 100.00 |
| Qz | 99.85 | 0.01 | 0.02 | 0.08 | 0.01 | 0.00 | 0.01 | 0.01 | 0.01 | 100.00 |
| Qz | 99.86 | 0.03 | 0.06 | 0.03 | 0.00 | 0.00 | 0.00 | 0.00 | 0.02 | 100.00 |
| Qz | 99.63 | 0.01 | 0.23 | 0.10 | 0.00 | 0.01 | 0.02 | 0.00 | 0.00 | 100.00 |
| Qz | 99.83 | 0.00 | 0.07 | 0.07 | 0.00 | 0.01 | 0.01 | 0.00 | 0.01 | 100.00 |
| Qz | 99.90 | 0.01 | 0.05 | 0.05 | 0.00 | 0.00 | 0.00 | 0.00 | 0.00 | 100.00 |
| Qz | 99.82 | 0.03 | 0.03 | 0.10 | 0.00 | 0.00 | 0.00 | 0.01 | 0.00 | 100.00 |
| Qz | 99.93 | 0.01 | 0.02 | 0.04 | 0.00 | 0.00 | 0.00 | 0.00 | 0.00 | 100.00 |
| Kf | 65.77 | 0.01 | 17.79 | 0.09 | 0.00 | 0.00 | 0.00 | 0.72 | 15.62 | 100.00 |
| Qz | 99.94 | 0.01 | 0.03 | 0.02 | 0.00 | 0.00 | 0.01 | 0.00 | 0.00 | 100.00 |
| Qz | 99.92 | 0.03 | 0.02 | 0.02 | 0.01 | 0.01 | 0.00 | 0.00 | 0.00 | 100.00 |
| Kf | 65.16 | 0.02 | 17.80 | 0.09 | 0.00 | 0.00 | 0.00 | 0.58 | 16.36 | 100.00 |
| Kf | 65.45 | 0.02 | 17.73 | 0.07 | 0.01 | 0.00 | 0.03 | 0.60 | 16.10 | 100.00 |
| Qz | 99.88 | 0.00 | 0.07 | 0.04 | 0.00 | 0.00 | 0.00 | 0.01 | 0.00 | 100.00 |
| Qz | 99.90 | 0.00 | 0.04 | 0.04 | 0.00 | 0.00 | 0.01 | 0.00 | 0.00 | 100.00 |
| Qz | 99.88 | 0.00 | 0.07 | 0.02 | 0.00 | 0.00 | 0.01 | 0.01 | 0.00 | 100.00 |
| Qz | 99.88 | 0.02 | 0.03 | 0.05 | 0.00 | 0.01 | 0.00 | 0.00 | 0.01 | 100.00 |
| Qz | 99.83 | 0.04 | 0.07 | 0.06 | 0.00 | 0.00 | 0.00 | 0.00 | 0.00 | 100.00 |
| Qz | 99.84 | 0.01 | 0.05 | 0.05 | 0.00 | 0.01 | 0.01 | 0.02 | 0.01 | 100.00 |
| Qz | 99.94 | 0.01 | 0.03 | 0.01 | 0.01 | 0.00 | 0.00 | 0.00 | 0.00 | 100.00 |
| Qz | 99.61 | 0.00 | 0.22 | 0.09 | 0.00 | 0.01 | 0.03 | 0.02 | 0.02 | 100.00 |
| Qz | 99.82 | 0.09 | 0.03 | 0.03 | 0.00 | 0.00 | 0.00 | 0.00 | 0.02 | 100.00 |
| Qz | 99.93 | 0.00 | 0.01 | 0.04 | 0.01 | 0.00 | 0.00 | 0.00 | 0.01 | 100.00 |
| Qz | 99.75 | 0.01 | 0.20 | 0.04 | 0.00 | 0.00 | 0.00 | 0.00 | 0.00 | 100.00 |
| Qz | 99.81 | 0.00 | 0.03 | 0.08 | 0.00 | 0.00 | 0.04 | 0.01 | 0.02 | 100.00 |
| Qz | 99.16 | 0.01 | 0.64 | 0.10 | 0.01 | 0.02 | 0.01 | 0.01 | 0.05 | 100.00 |
| Qz | 98.76 | 0.01 | 0.43 | 0.64 | 0.00 | 0.14 | 0.00 | 0.00 | 0.01 | 100.00 |
| Qz | 99.81 | 0.04 | 0.02 | 0.09 | 0.00 | 0.00 | 0.02 | 0.00 | 0.01 | 100.00 |
| Qz | 99.80 | 0.03 | 0.05 | 0.11 | 0.00 | 0.00 | 0.01 | 0.00 | 0.00 | 100.00 |

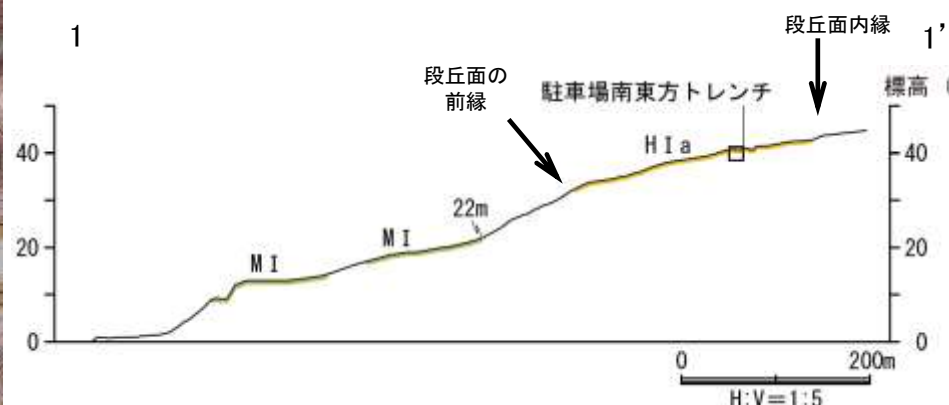
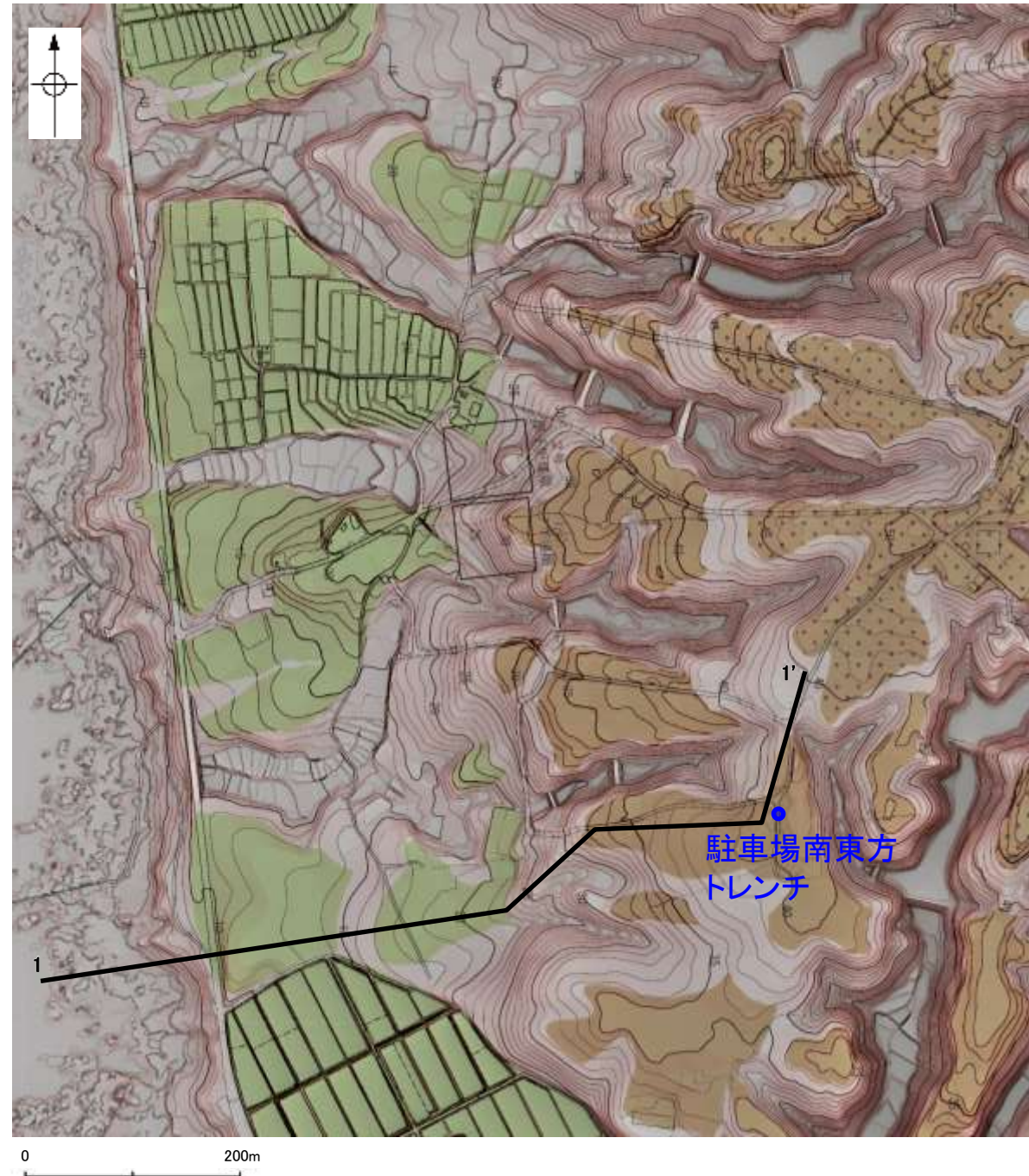
Qz : 石英, Kf : カリ長石

余白

(1)-10 高位段丘 I a面 駐車場南東方トレンチ

高位段丘 I a面 駐車場南東方トレンチ

【駐車場南東方トレンチ 調査位置】



| | |
|---------|-------|
| 段丘面凡例 | |
| 高位段丘I面 | III b |
| II II a | |
| 中位段丘I面 | M I |

【駐車場南東方トレンチ 調査結果】

赤褐色土壤

- ・色調5YR4/6～2.5YR4/6(赤褐色部), 7.5YR5/8(淡色部)
 - ・水平方向のトラ斑あり。赤褐色部と淡色部の割合は同程度

度。
赤色十壤

- ・色調5YR4/6～2.5YR4/8(赤色部), 7.5YR5/8(淡色部)。
 - ・トラ斑あり。赤色部が卓越し、淡色部は少ない。
(トラ斑を伴う赤色土壤は、松井・加藤(1965), 成瀬(1974)
阿部ほか(1985), Nagatsuka, S. and Maejima, Y. (2001),
赤木ほか(2003)等によれば、下末吉期の温暖な気候下で
形成されたと考えられ、いずれも高位段丘を識別する重要
な特徴とされている。)

赤色土壤(礫混じり)

- ・基質は砂混じりシルト質粘土。
 - ・色調5YR4/6(赤色部), 7.5YR5/8(淡色部)。
 - ・主に上部にトラ斑あり。
 - ・径3~25cmの安山岩亜円~円礫を20~30%含む。
 - ・径10cm以下の礫は砂粒子とともににくさり礫化し, 軟質であり それ以上の礫は半くさり礫である。

H I a段斤堆積物(1)

- ・砂礫層からなり、基質は中～粗粒砂であり、砂粒子の間隙をシルト～粘土分が充填する。
 - ・径2～10cmの安山岩亜円～円礫を50～70%含み、最大40cmの礫が混じる。
 - ・礫は全体に円磨されており、硬質である。
 - ・基質の砂粒子は、一部の礫とともにくさり礫化し、軟質である。
 - ・南壁面において、礫の長軸は西側に傾斜し、西側からの水流を反映するインプレーションを示す

水流を反映する HTa段丘堆積物(2)

- ・砂礫層からなり、基質はシルト質細～中粒砂である。
 - ・径2～5cmの安山岩亜円～円礫を30～50%含み、最大15cmの礫が混じる。
 - ・礫のほとんどは砂粒子とともにくさり礫化し、軟質である。

H I a段丘堆積物(3)

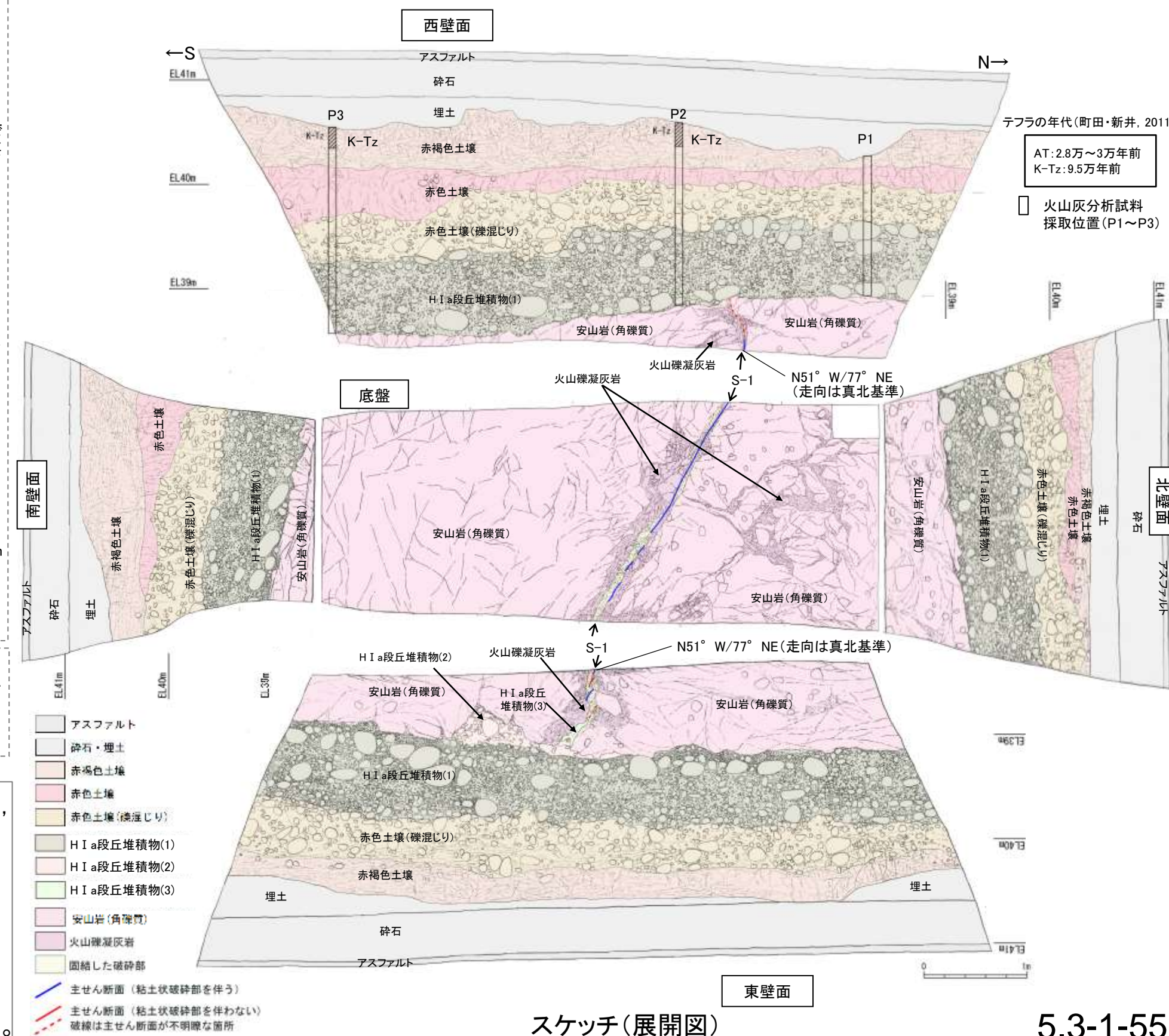
- ・シルト質細～中粒砂からなる

遊離酸化鉻分析・火山灰分析結果

- ・赤色土壤について実施した遊離酸化鉄分析の結果、能登半島の赤色土壤の分布範囲に含まれている(P.5.3-1-91)。
 - ・火山灰分析の結果、P2、P3において、赤褐色土壤の上部からK-T-が認められる(P.5.2-1-84.9%)

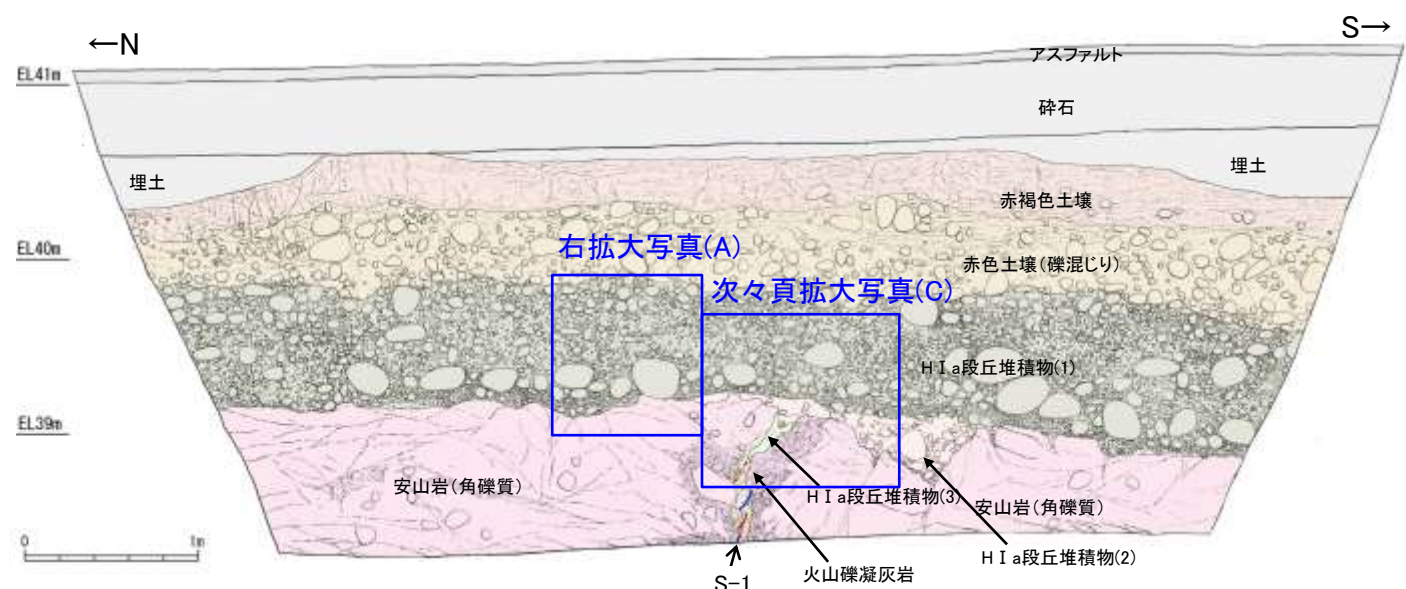
- ・南東方トレンチのH I a段丘堆積物は
亜円～円礫主体で、基質中に粒径
0.1～0.8mm主体の石英粒子を含む。
また南壁面において、扁平な礫が海
側に傾斜した覆瓦状構造が認められ
る

- ・H I a段丘堆積物を覆う赤褐色土壤に、K-Tz(9.5万年前)が挟在している



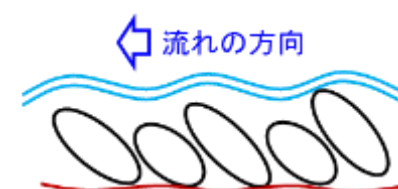
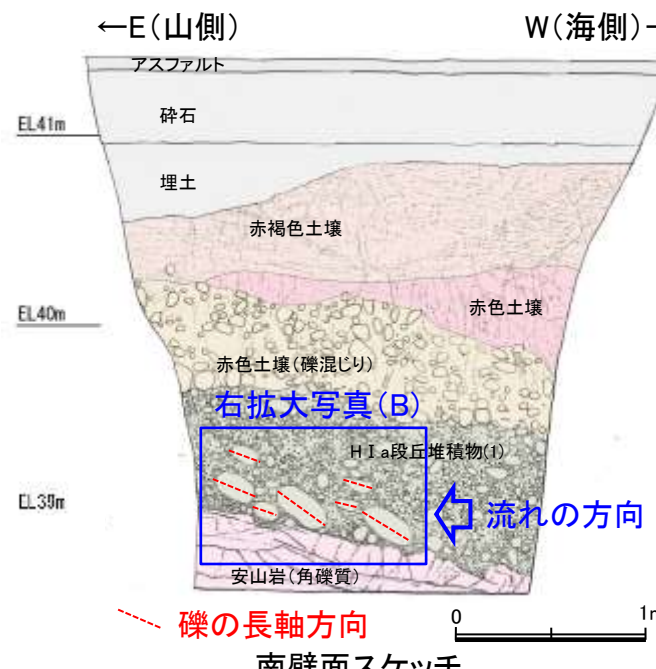


【駐車場南東方トレンチ 東壁面】



亞円～円礫主体である

【駐車場南東方トレンチ 南壁面】



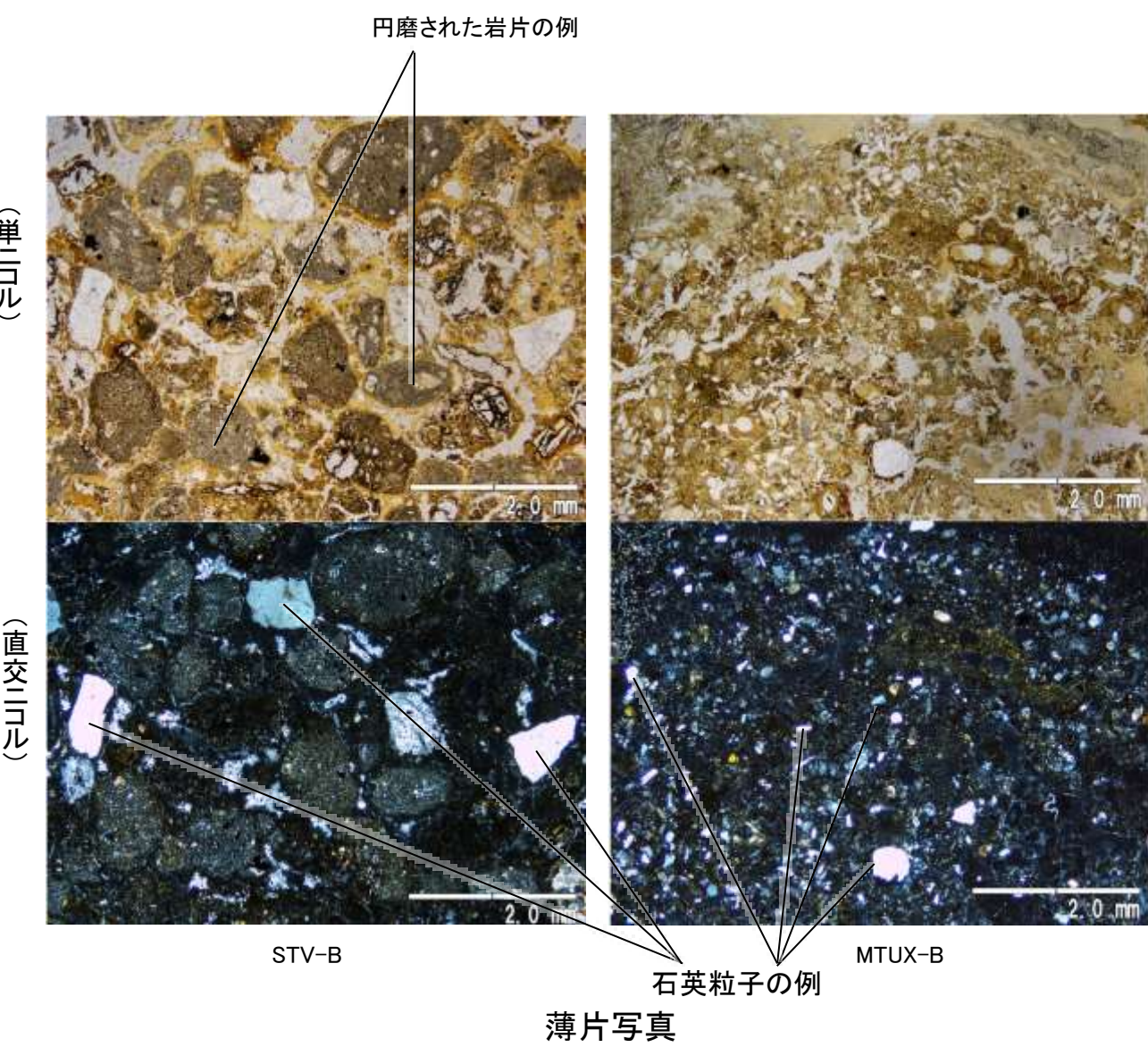
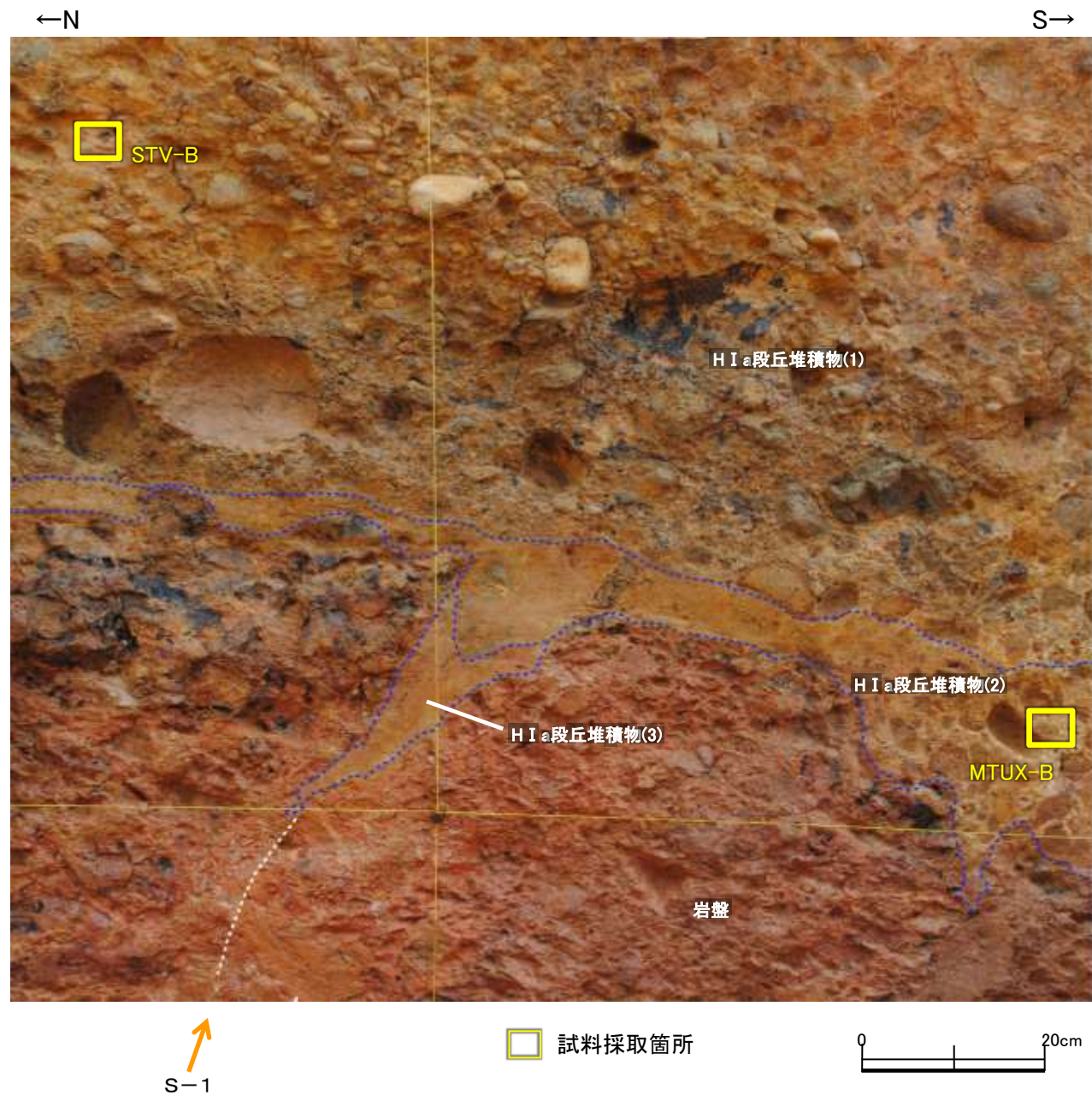
覆瓦状構造(imbricate structure)

水流によって運ばれてきた板状あるいは円体状のレキは、水流から受ける抵抗を小さくするために、水底面に対し、上流側へ斜めに傾いて堆積したものです。このようなレキの配列は、あたかも屋根に瓦をふくような見かけを呈すところから、覆瓦状構造とよばれています。覆瓦状構造は、しばしば海岸に打ち上げられたレキや川原のレキなどにも見ることができます。前者では、レキは海側に、後者では、レキは川上に傾いています。したがって、覆瓦状構造から、レキの運搬方向を知ることができます。(菅野・奥村, 1978)



・南壁面において、扁平な礫が海側に傾斜した覆瓦状構造が認められる。

【駐車場南東方トレンチ 薄片観察】



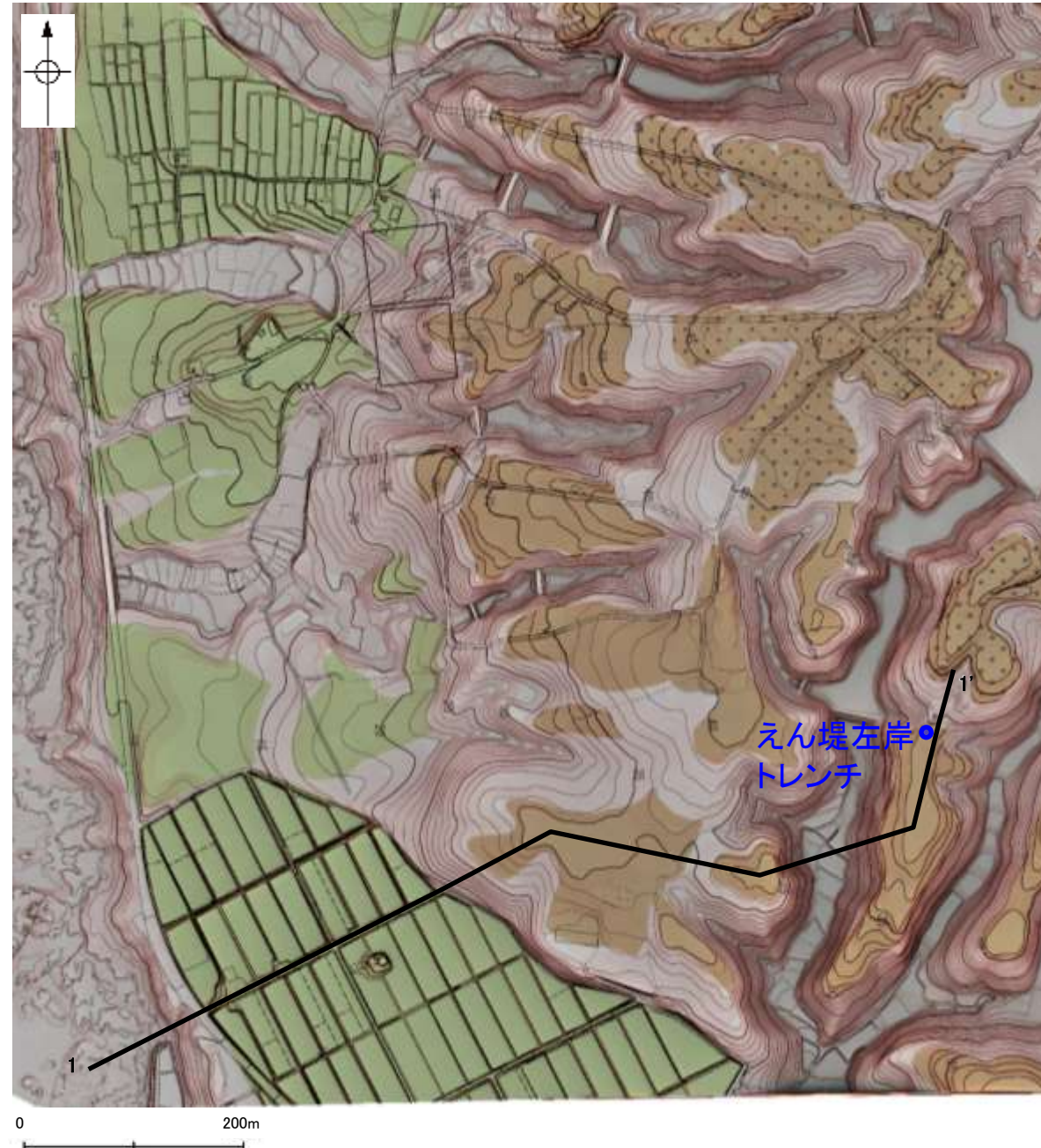
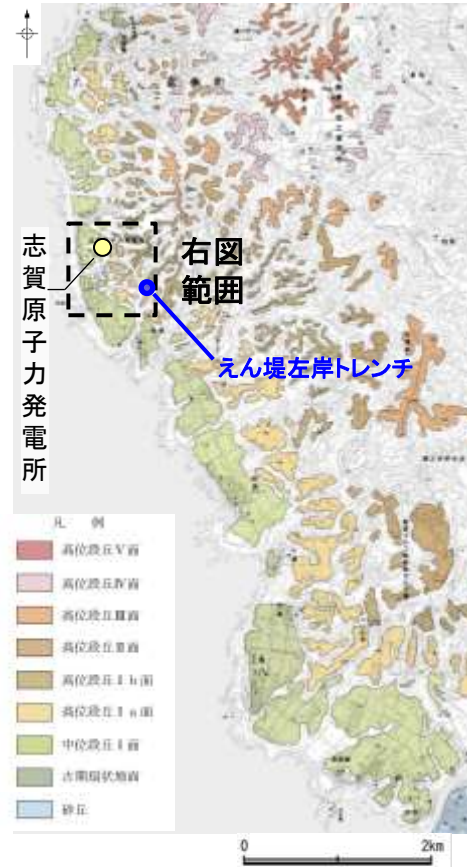
拡大写真(C)

(特徴)
・粒径0.1～0.8mm主体の石英粒子を含む
・円磨された岩片(安山岩)を含む

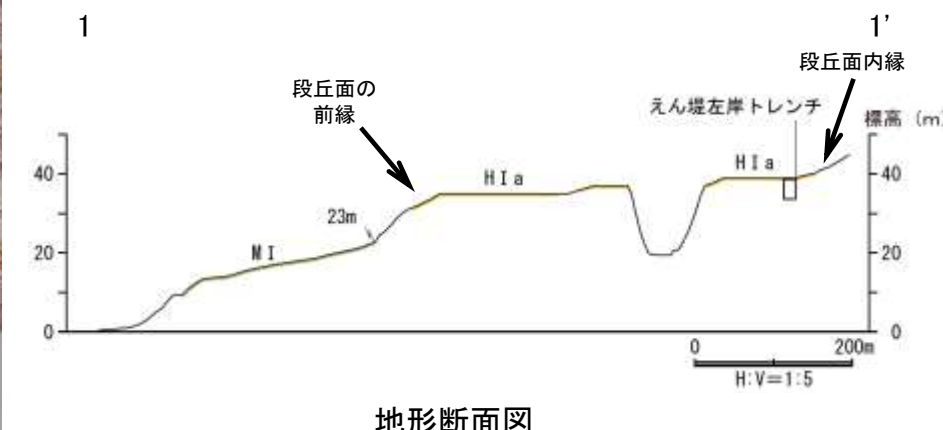
(1)-11 高位段丘 I a面 えん堤左岸トレンチ

高位段丘 I a面 えん堤左岸トレンチ

【えん堤左岸トレンチ 調査位置】



調査位置図



【えん堤左岸トレンチ 調査結果】

- 褐色砂質シルト層
 - ・色調5YR4/6～7.5YR5/4。
- 黄褐色シルト層
 - ・色調10YR5/6～7.5YR5/4。
- 明褐色土壤
 - ・色調7.5YR5/6～4/6。
- 赤褐色土壤
 - ・色調5YR4/8～2.5YR4/6(赤褐色部), 7.5YR5/3～10YR5/4(淡色部)。
 - ・明瞭なトラ斑あり。赤褐色部と淡色部の割合は同程度

赤色土壤

- ・色調2.5YR4/8～10R4/6(赤色部),
7.5YR5/3～10YR5/4(淡色部)。
- ・トラ斑あり。赤色部が卓越し、淡色部は少ない。
(トラ斑を伴う赤色土壤は、松井・加藤(1965), 成瀬(1974), 阿部ほか(1985), Nagatsuka, S. and Maejima, Y. (2001), 赤木ほか(2003)等によれば、下末吉期の温暖な気候下で形成されたと考えられ、いずれも高位段丘を識別する重要な特徴とされている。)

シルト質砂礫層

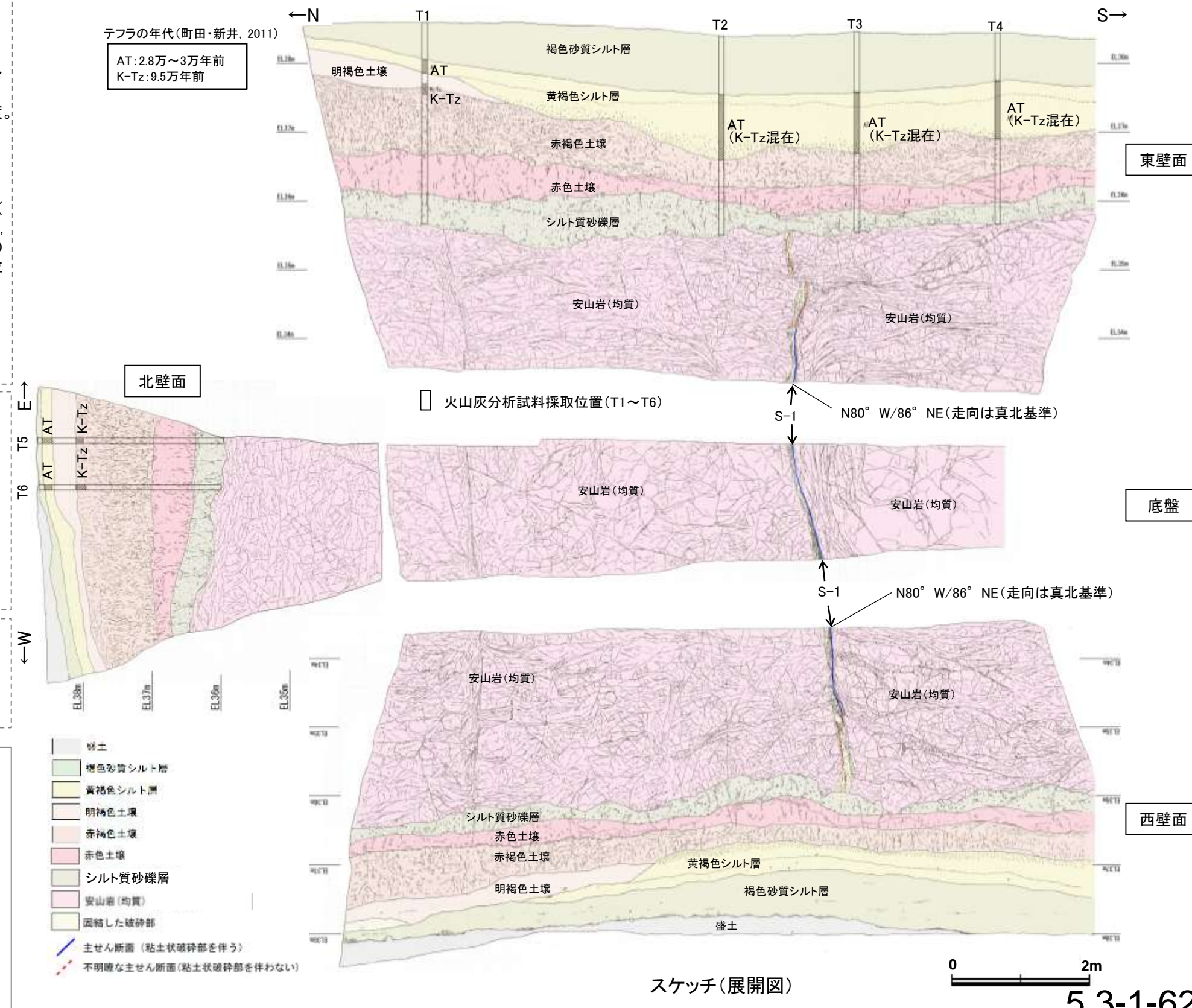
- ・基質はシルト質な細～中粒砂。
- ・径0.5～5cmの亜角～亜円礫を5～10%含む。
- ・礫は安山岩くさり礫からなり、軟質である。

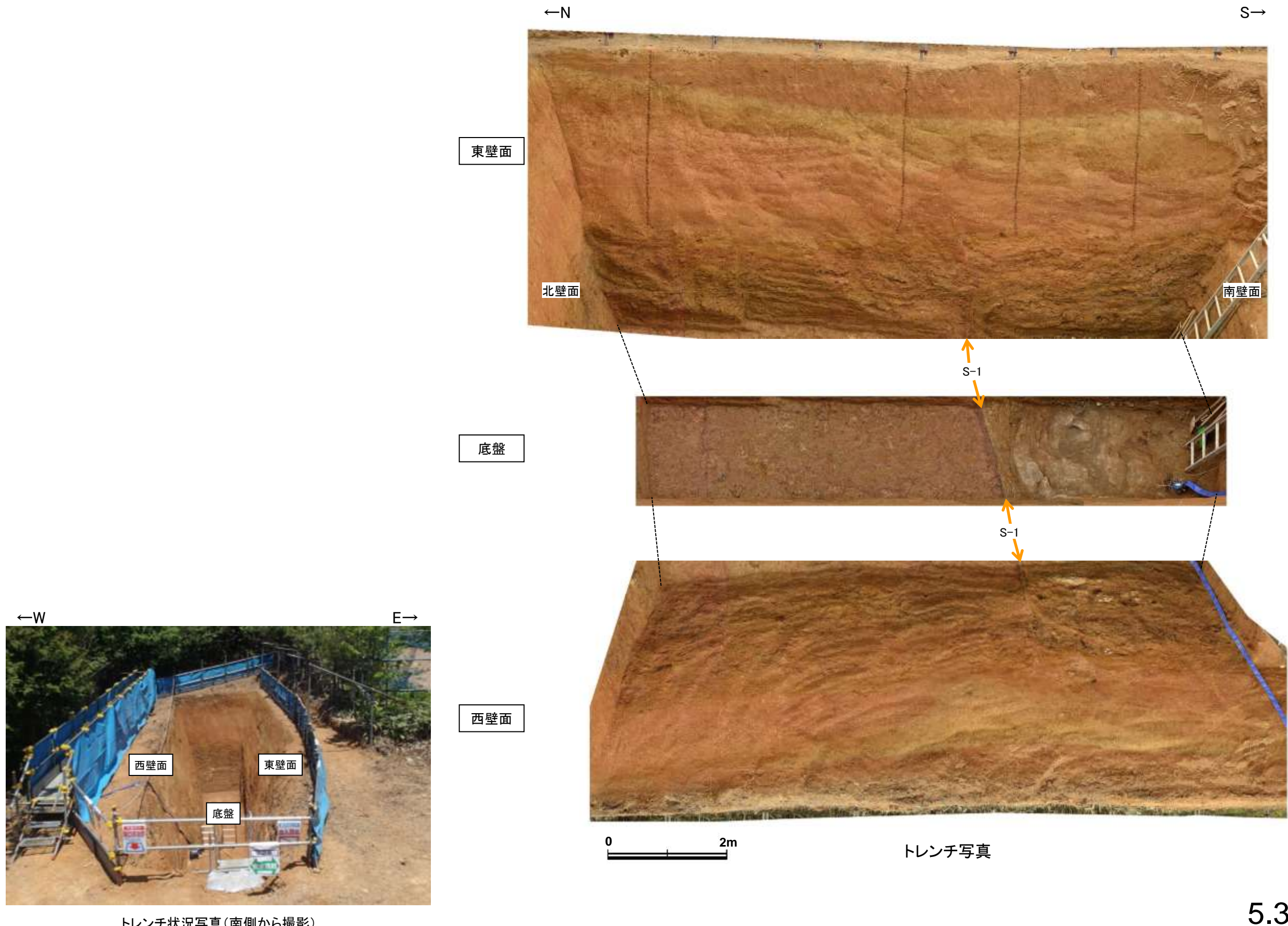
遊離酸化鐵分析·火山灰分析結果

- ・赤色土壤について実施した遊離酸化鉄分析の結果、能登半島の赤色土壤と同程度である(P.5.3-1-92)。
 - ・火山灰分析の結果、明褐色土壤及び赤褐色土壤が分布するT1, T5, T6では、赤褐色土壤の上部においてK-Tzが認められる(P.5.3-1-82~83)。
 - ・なお、黄褐色シルト層においてAT及びK-Tz(β 石英リワーケ)が認められる^{※1}。

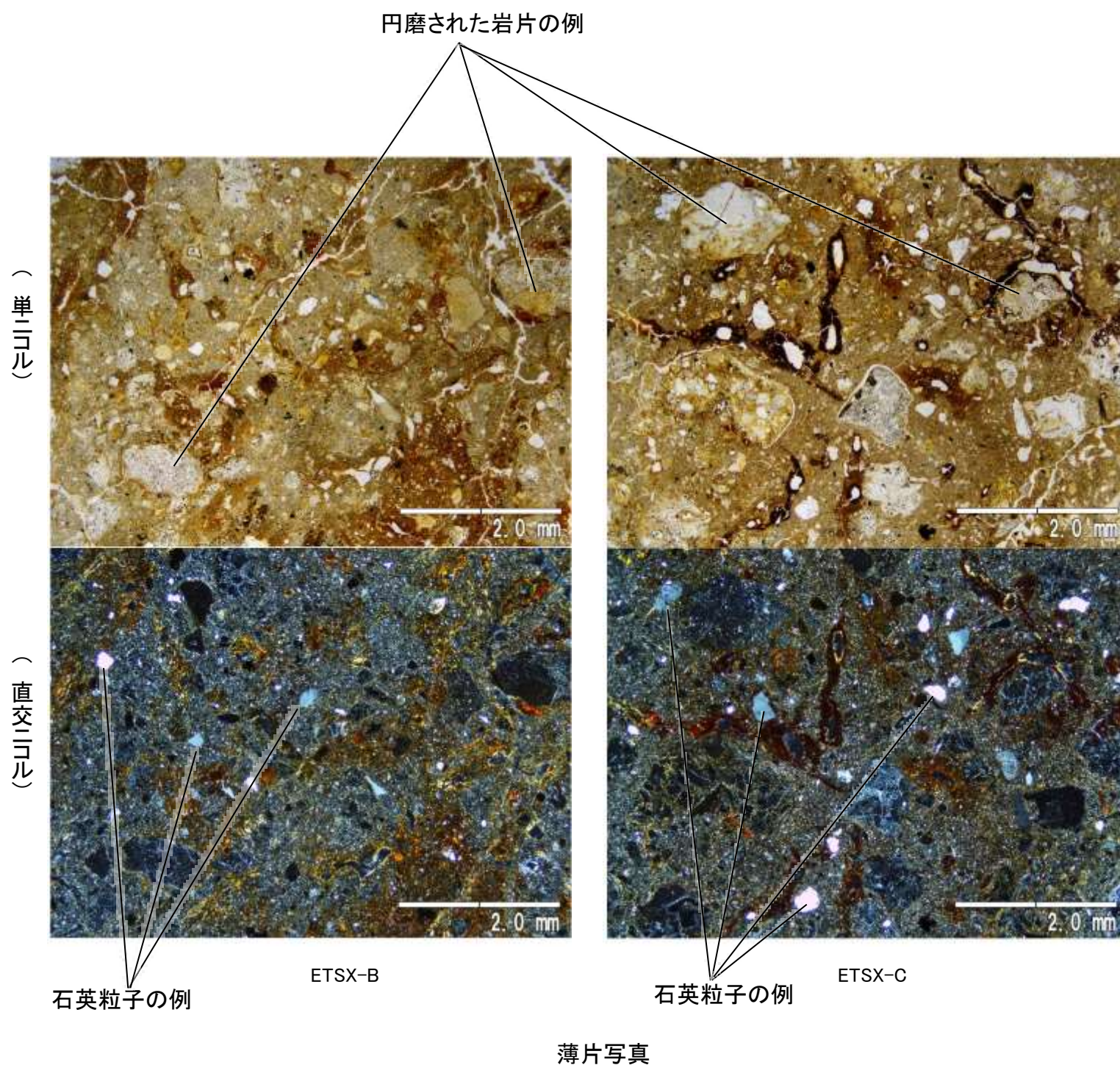
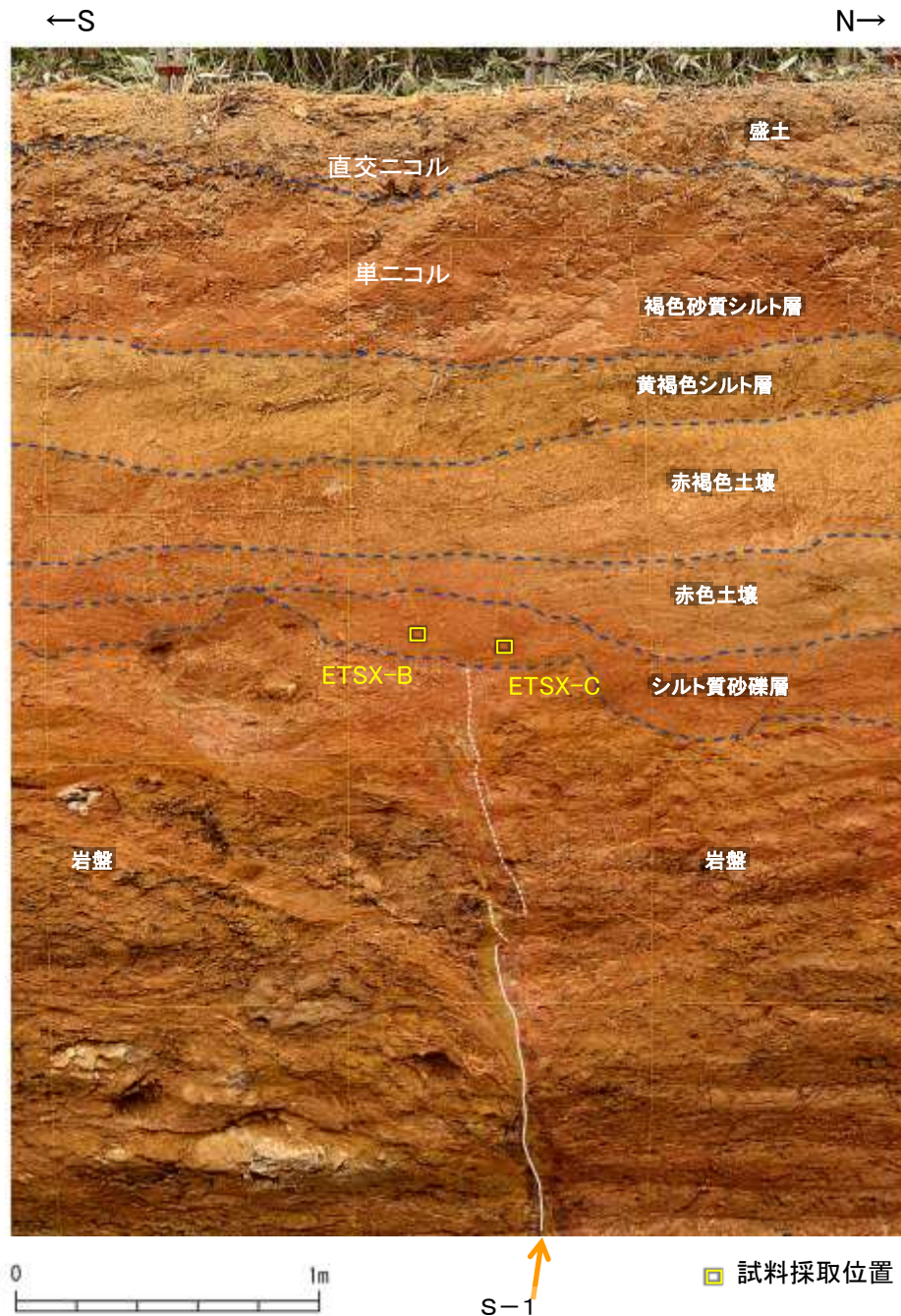
※1:T2～T4で赤褐色土壌においてK-Tzが認められないのは、赤褐色土壌の上位層である黄褐色シルト層等がK-Tzの降灰層を削剥したためであり、その際に黄褐色シルト層中にK-Tzの β 石英がリワークにより混入したものとの考えられる。

- ・えん堤左岸トレーニチのシルト質砂礫層は、基質中に粒径0.1～0.2mm主体の石英粒子を含む。
 - ・岩盤直上に分布するシルト質砂礫層は、H I a段丘堆積物の被覆層と同様の赤色土壤に覆われる。
 - ・赤褐色土壤に、K-Tz(9.5万年前)が挟在している。



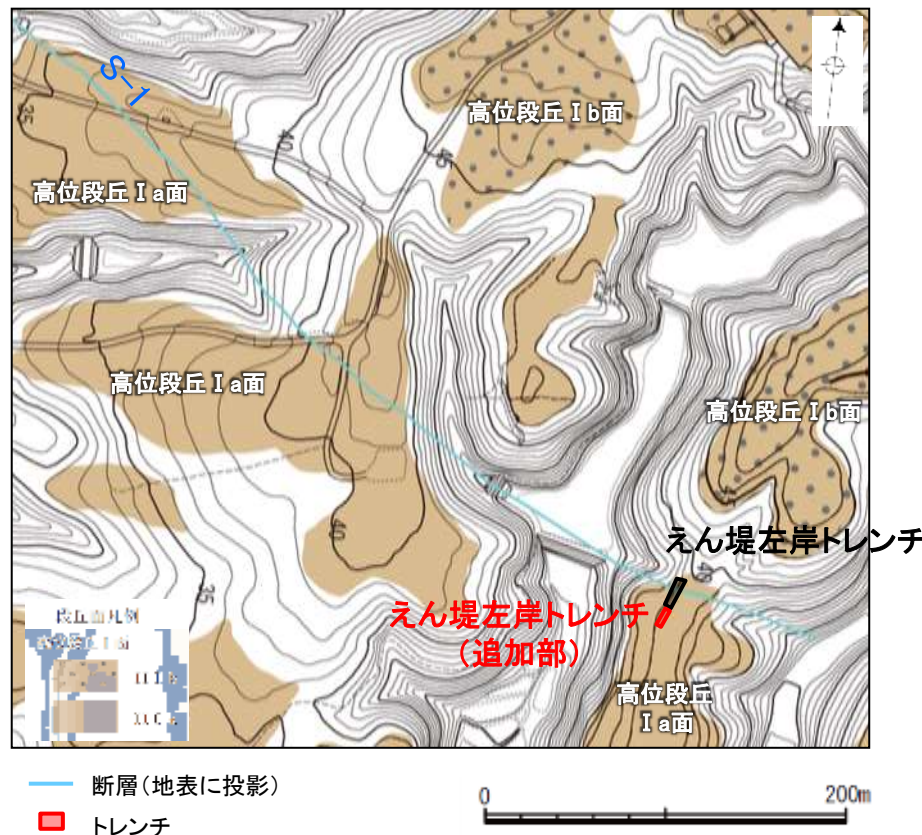


【えん堤左岸トレーニング 薄片観察】

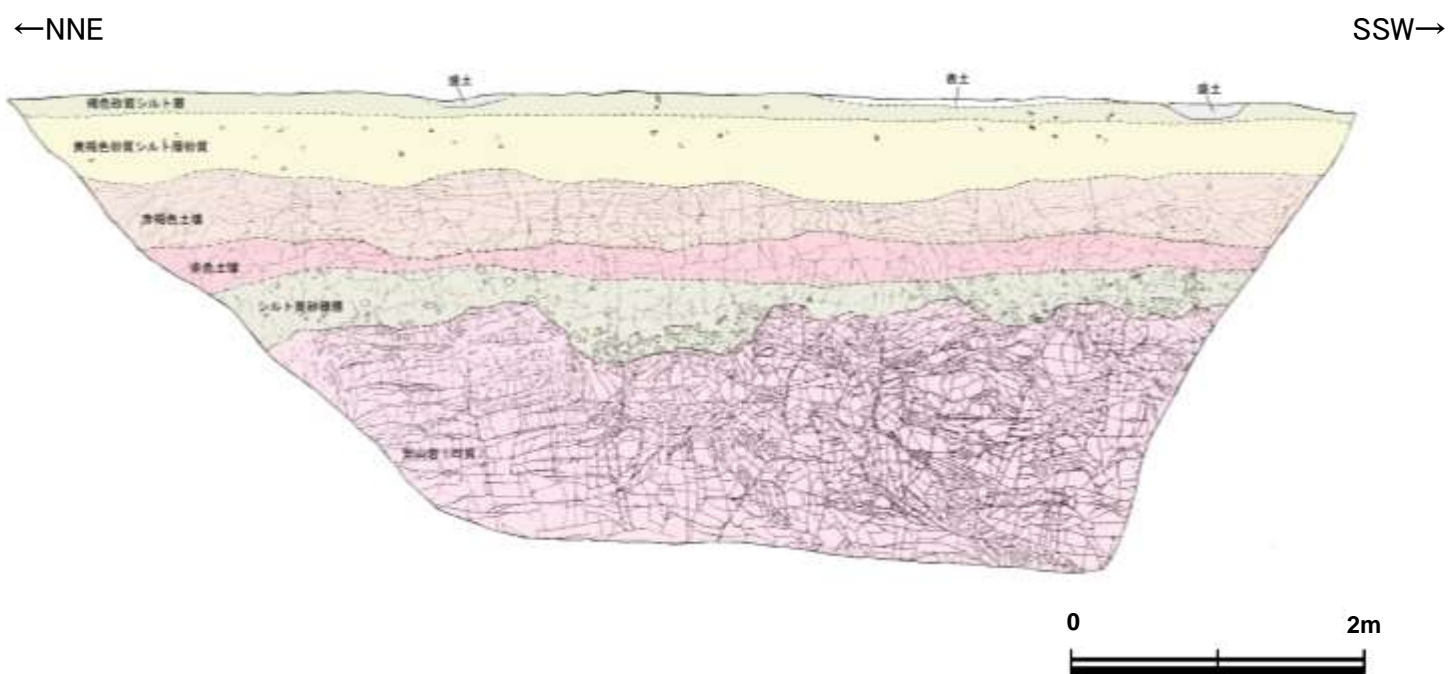


(特徴)
・粒径0.1~0.2mm主体の石英粒子を含む
・円磨された岩片(安山岩, 凝灰岩)を含むことが多い

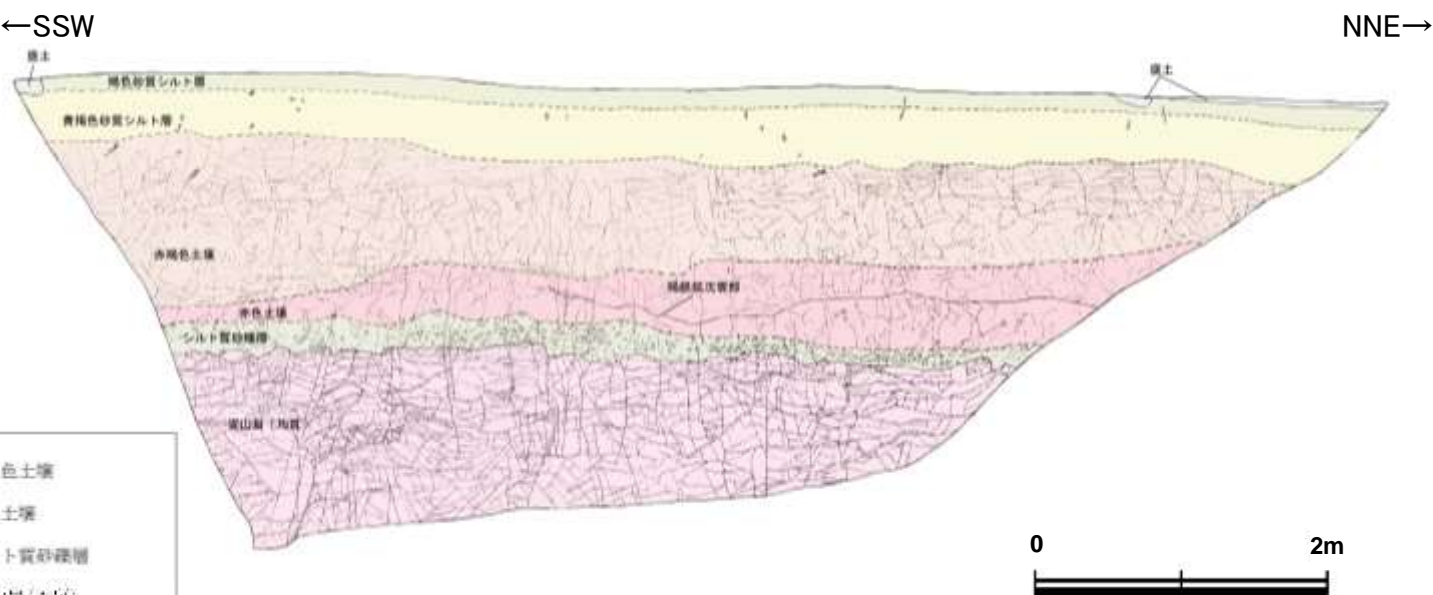
【えん堤左岸トレーニチ(追加部)】



位置図



スケッチ(東壁面)



スケッチ(西壁面)

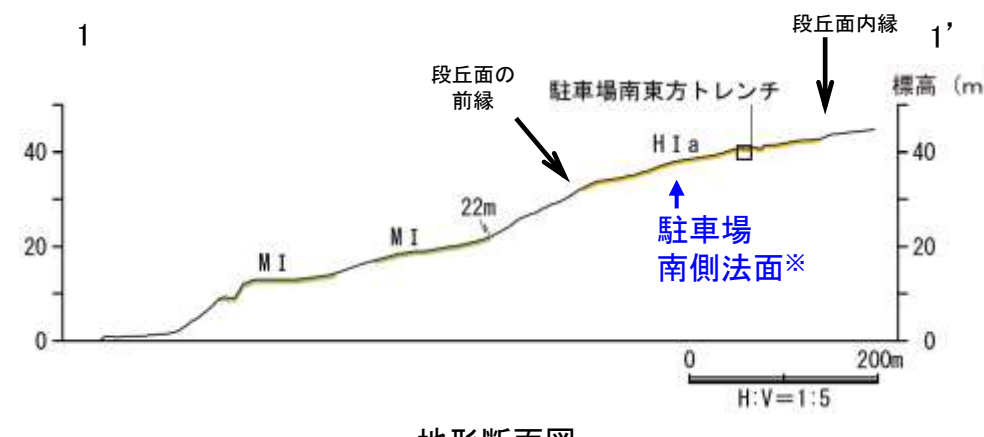
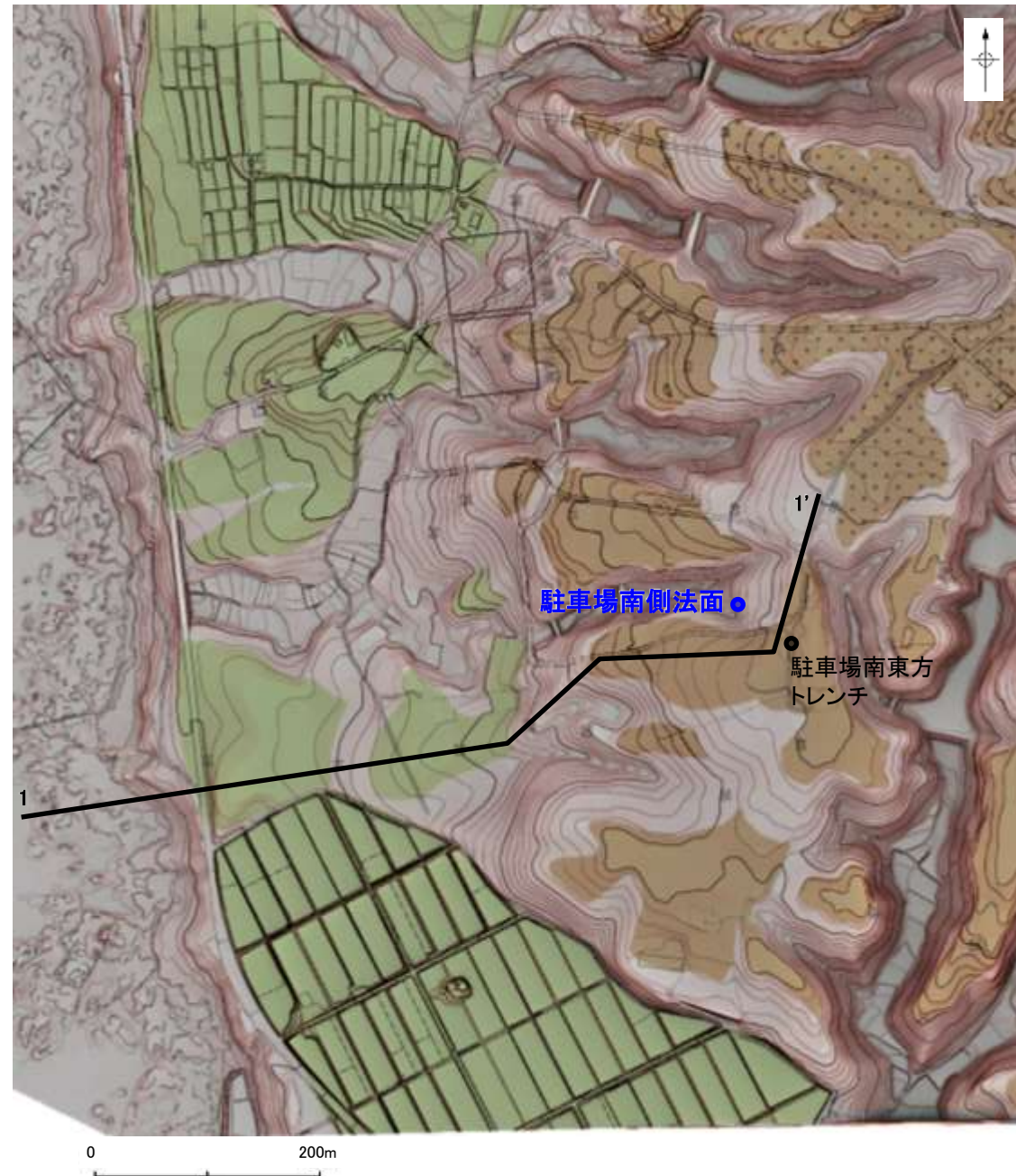
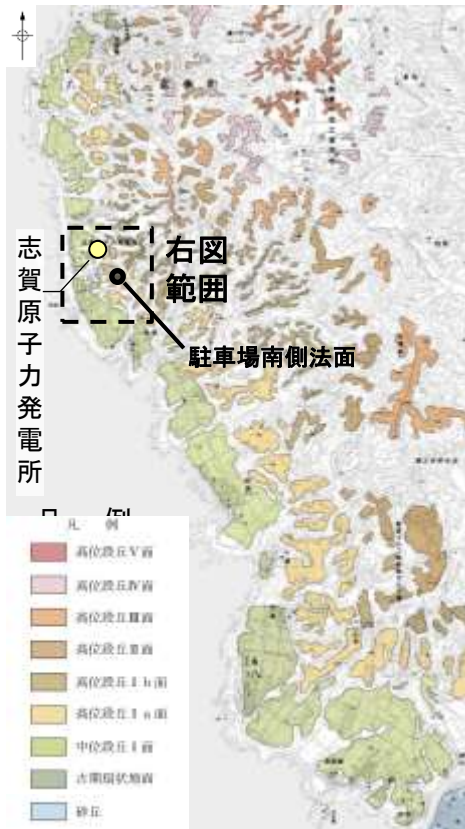
| 表土 | ・東壁面に分布し、暗褐色～赤褐色を呈する砂質シルトからなり、径5cm程度の安山岩角礫を含む。 ・植物痕や腐植物が一部で認められる。 |
|-----------|--|
| 褐色砂質シルト層 | ・色調7.5YR5/4。 ・植物痕や腐植物が多く含む。 |
| 黄褐色砂質シルト層 | ・色調10YR5/6～7.5YR5/4。 ・植物痕や腐植物を多く含む。 |
| 赤褐色土壌 | ・色調5YR4/8～2.5YR4/6(赤褐色部), 7.5YR5/3～10YR5/4(淡色部)。 ・明瞭なトラ斑あり。赤褐色部と淡色部の割合は同程度。 |
| 赤色土壌 | ・色調2.5YR4/8～10R4/6(赤色部), 7.5YR5/3～10YR5/4(淡色部)。 ・トラ斑あり。赤色部が卓越し、淡色部は少ない。 ・北側から中央部にかけて、厚さ3cm未満の褐鉄鉱の沈着部が水平方向に緩やかに湾曲して認められる。 |
| シルト質砂礫層 | ・基質はシルト質な細～中粒砂。 ・径0.5～10cm程度の亜角～亜円礫を、5～10%程度含む。 ・礫は安山岩くさり礫からなり、軟質である。 ・一部に赤色土壌から連続する淡色のトラ斑が認められる。 |



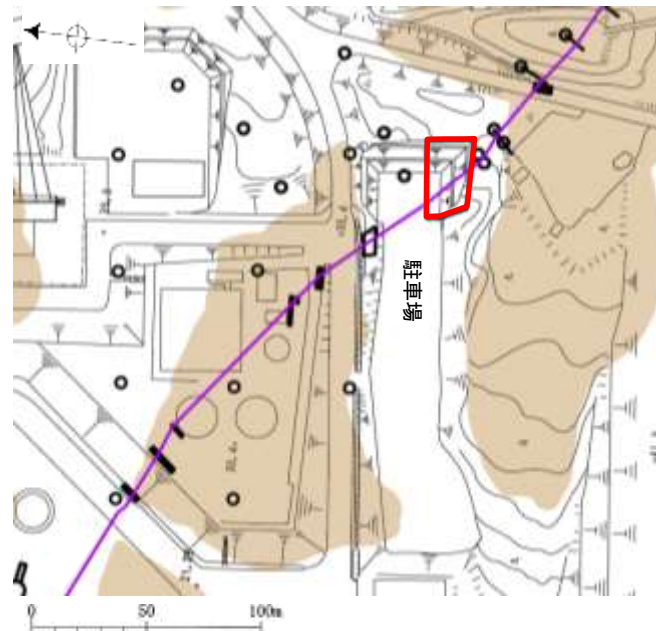
(1)-12 高位段丘 I a面の縁辺斜面 駐車場南側法面

高位段丘 I a面の縁辺斜面 駐車場南側法面

【駐車場南側法面 調査位置】

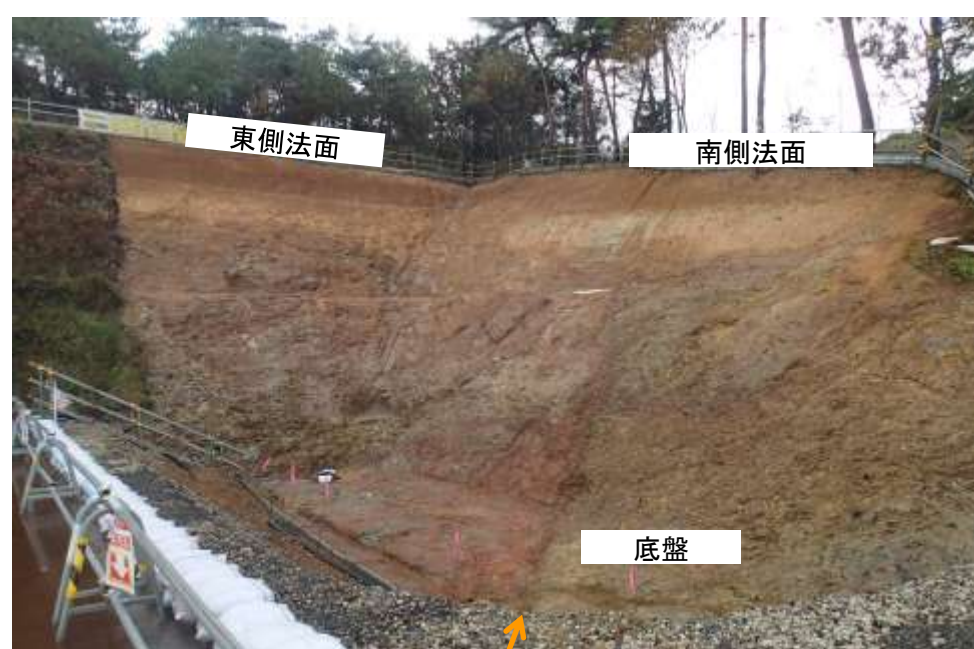


【駐車場南側法面 調査結果】

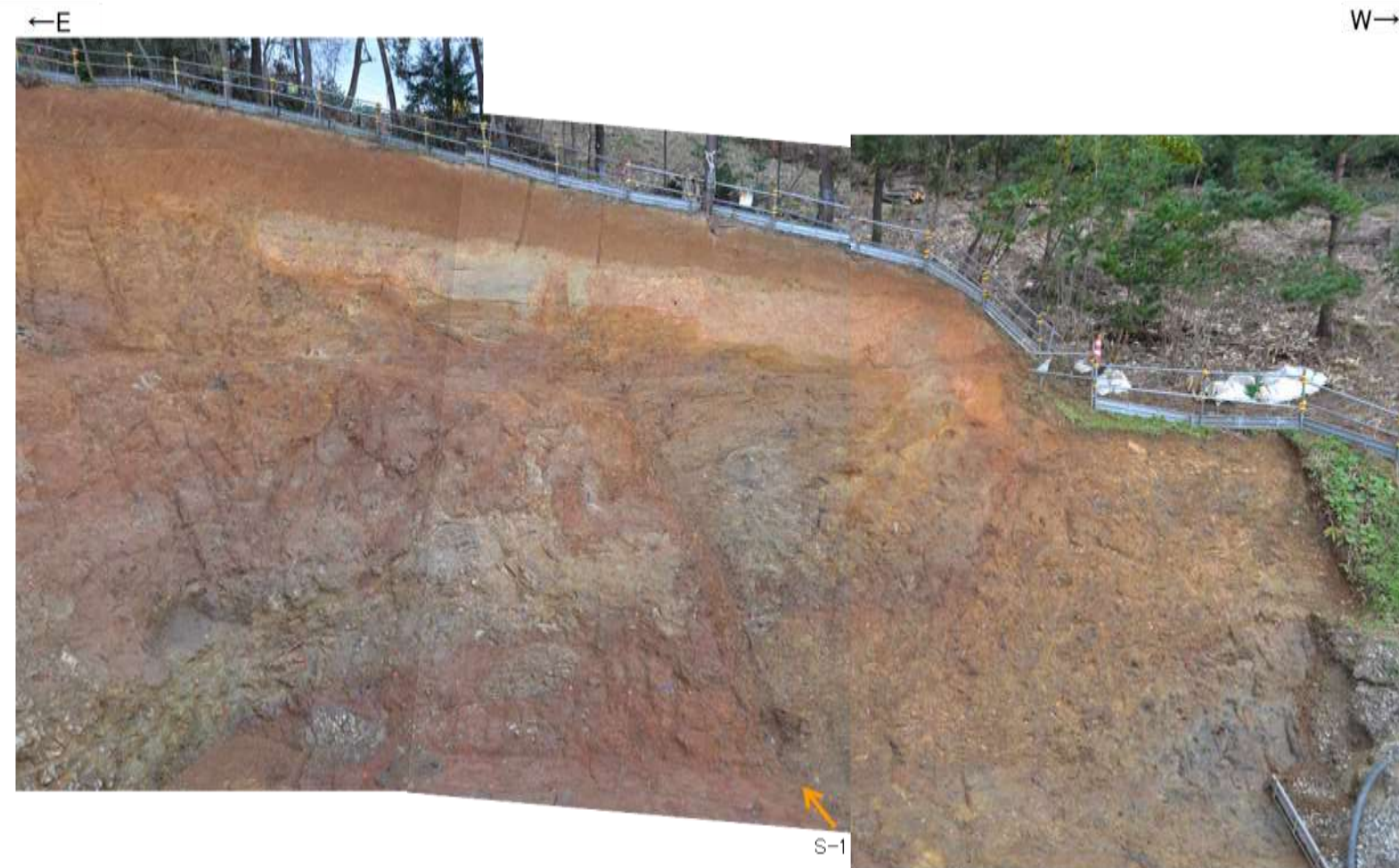


位置図

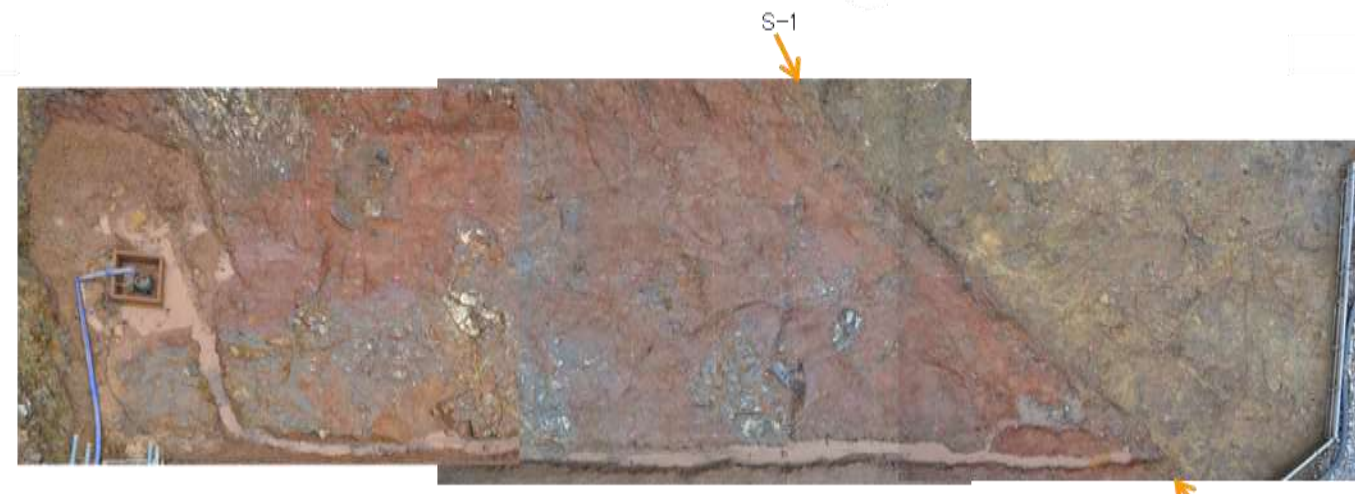
- S-1 (EL28m)
- 高位段丘 I a面
- 表土はぎ箇所



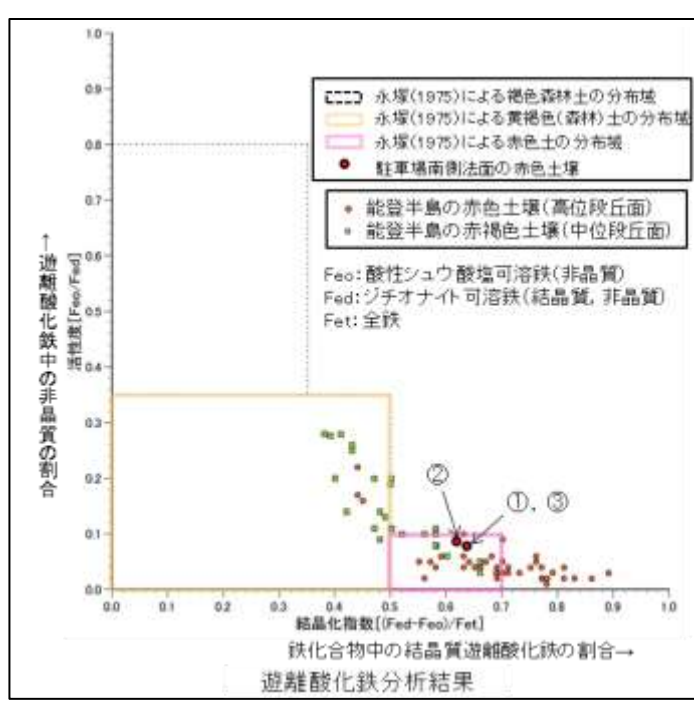
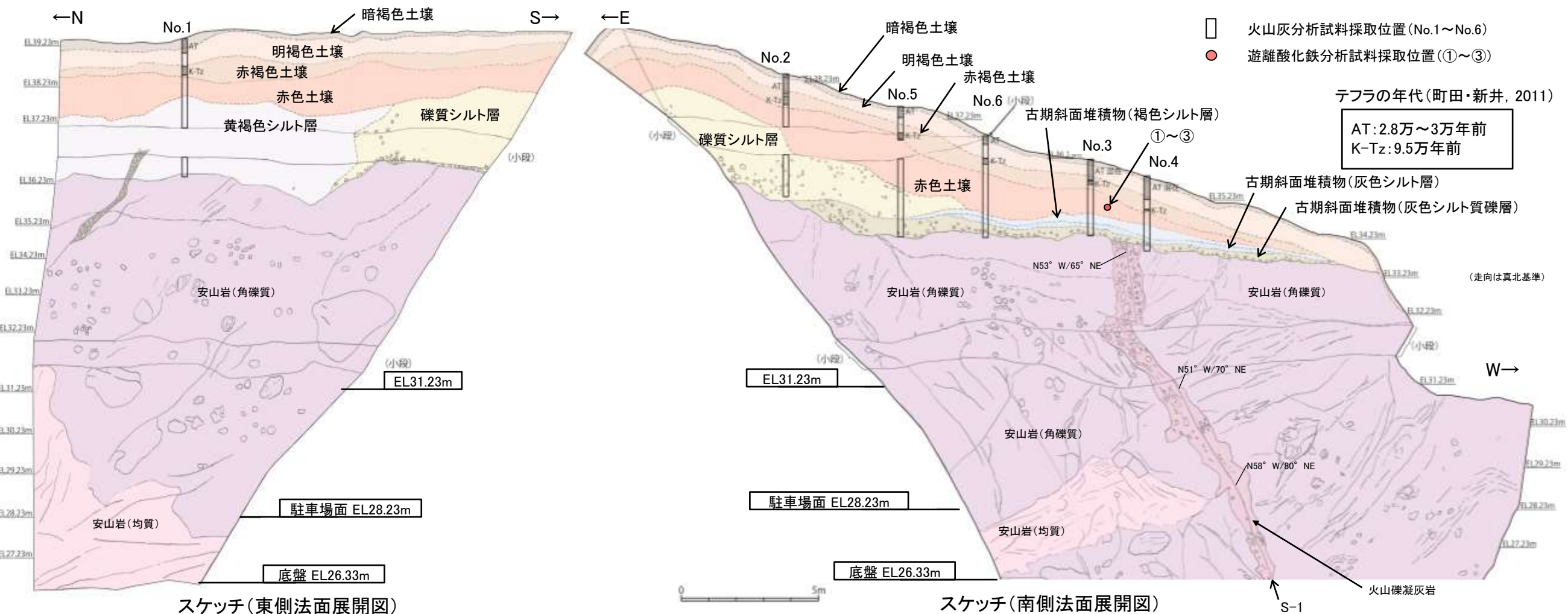
表土はぎ状況写真(北西側から撮影)



法面写真(南側法面)



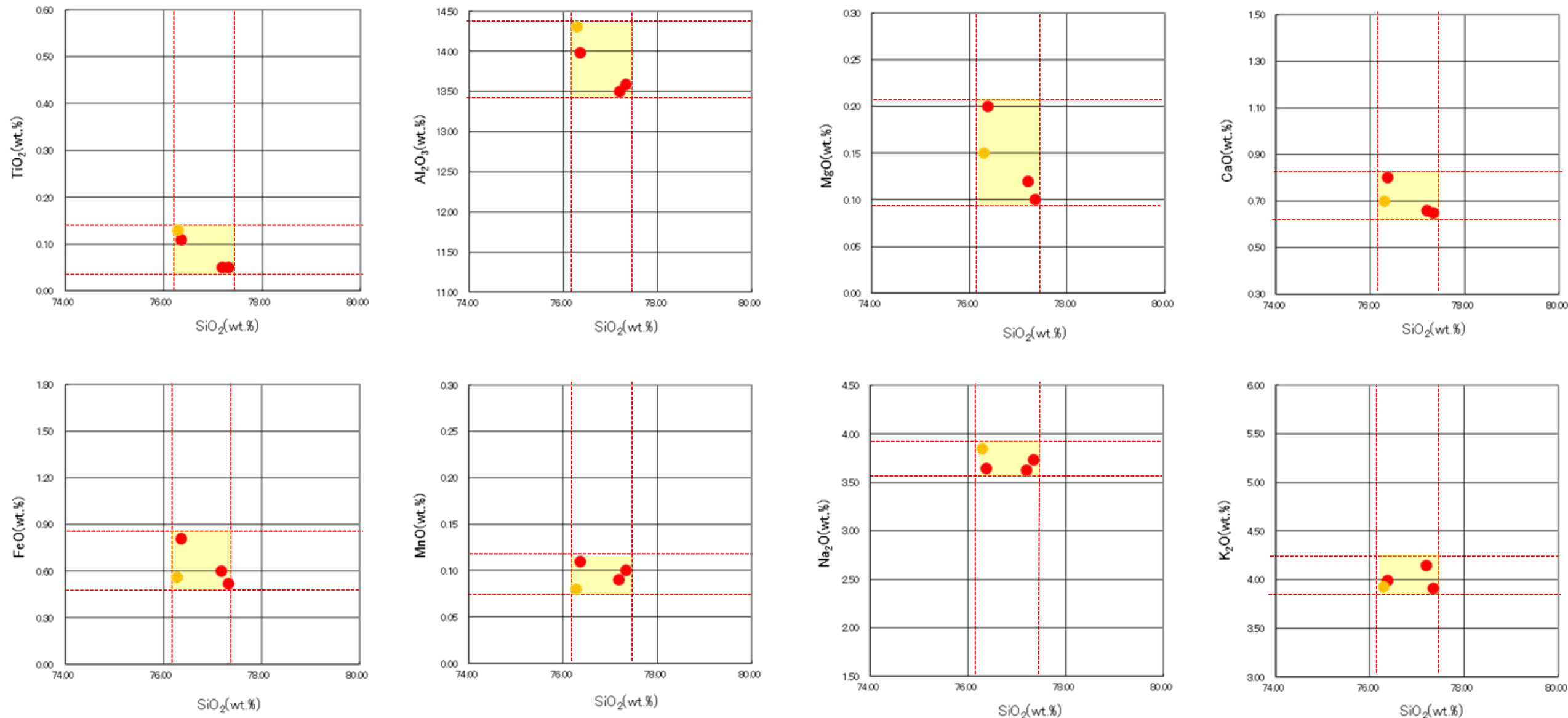
底盤写真



(2) 火山灰分析結果

文献のSKテフラの分析結果

○文献によるSKテフラの火山ガラスに関する主成分分析結果を示す。

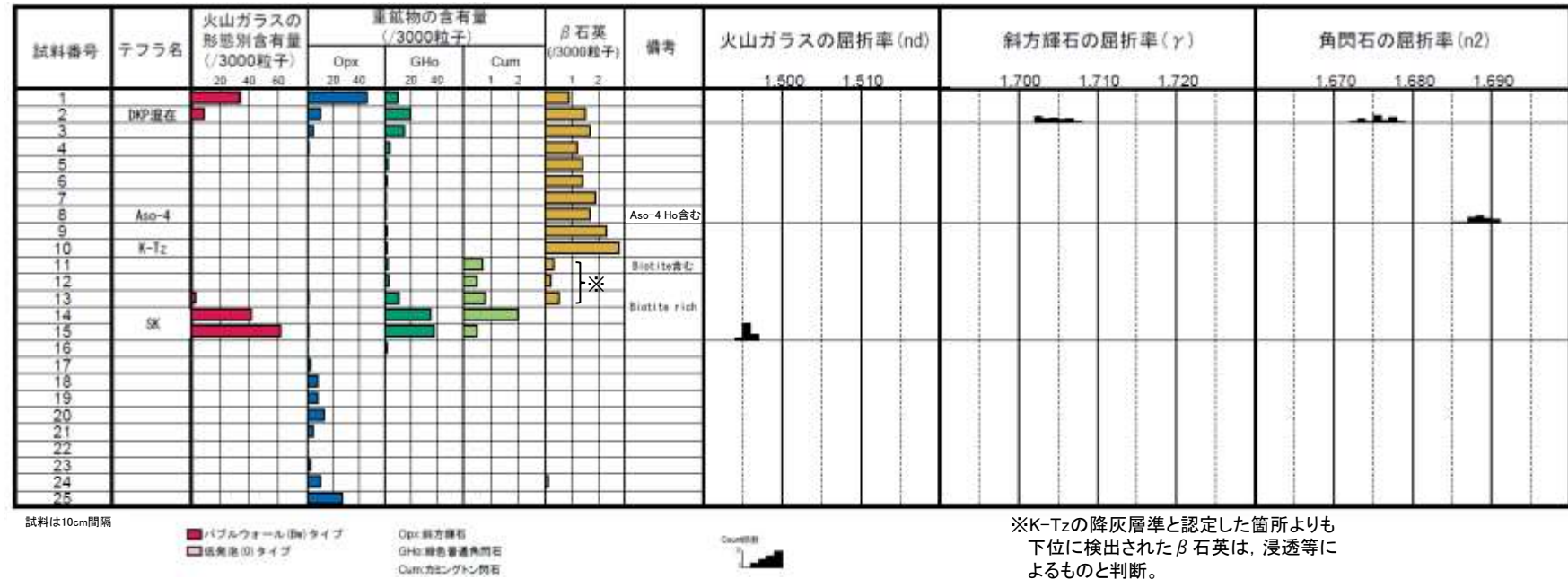


SKの火山ガラスの主成分分析結果

文献によるSKの分布範囲

- 青木・町田(2006)におけるSKに含まれる火山ガラス
(採取地:鳥取, 島根, 山形)
- 黄橋ほか(2007)におけるSKに含まれる火山ガラス
(採取地:島根)

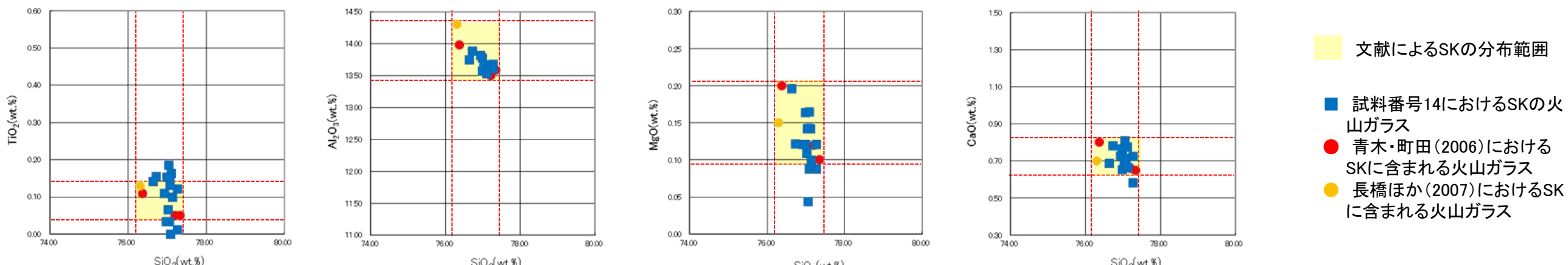
火山灰分析結果 敷地北方ピット①



【SKの岩石記載的特徴(町田・新井, 2011)】

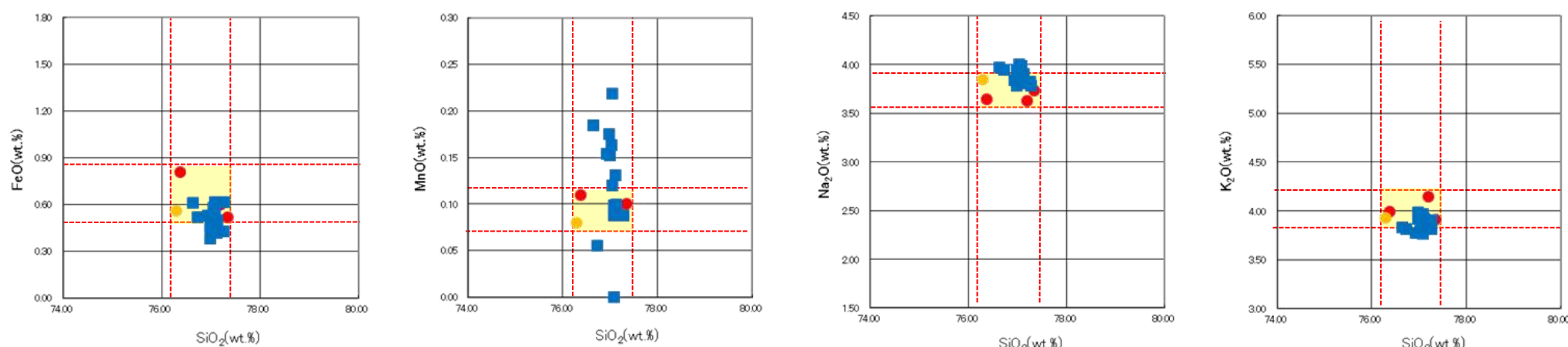
- ・火山ガラス屈折率 1.494–1.498
- ・黒雲母流紋岩質の降下軽石

火山灰確認用ボーリング 火山灰分析結果



文献によるSKの分布範囲

- 試料番号14におけるSKの火山ガラス
- 青木・町田(2006)におけるSKに含まれる火山ガラス
- 長橋ほか(2007)におけるSKに含まれる火山ガラス

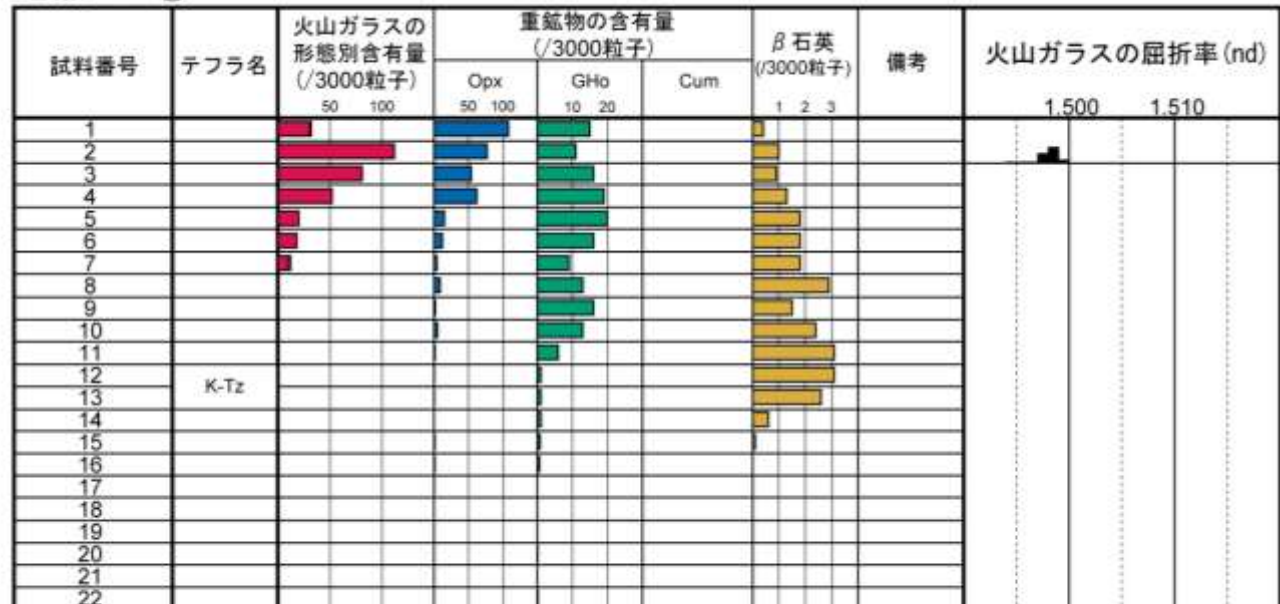


火山ガラスの主成分分析結果:試料番号14

試料採取箇所についてはP.5.3-1-5参照

火山灰分析結果 敷地北方ピット②

地点: SH①



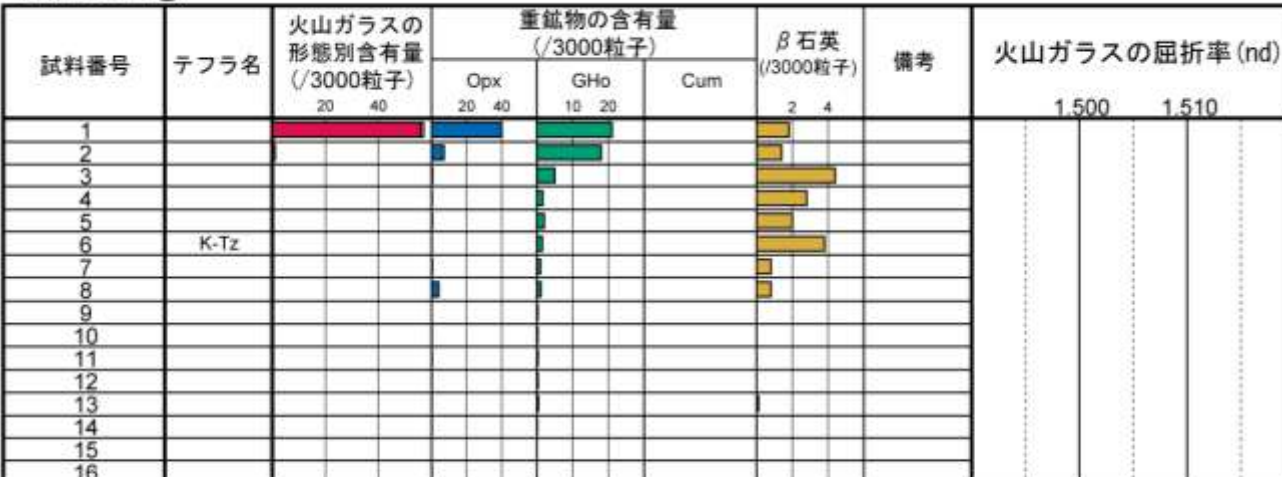
試料は10cm間隔

■バブルウォール(Bw)タイプ
■低発泡(I)タイプ

Opx:斜方輝石
GHO:緑色普通角閃石
Cum:カミングトン閃石

Count数

地点: SH③



試料は10cm間隔

■バブルウォール(Bw)タイプ
■低発泡(I)タイプ

Opx:斜方輝石
GHO:緑色普通角閃石
Cum:カミングトン閃石

Count数

地点: SH②



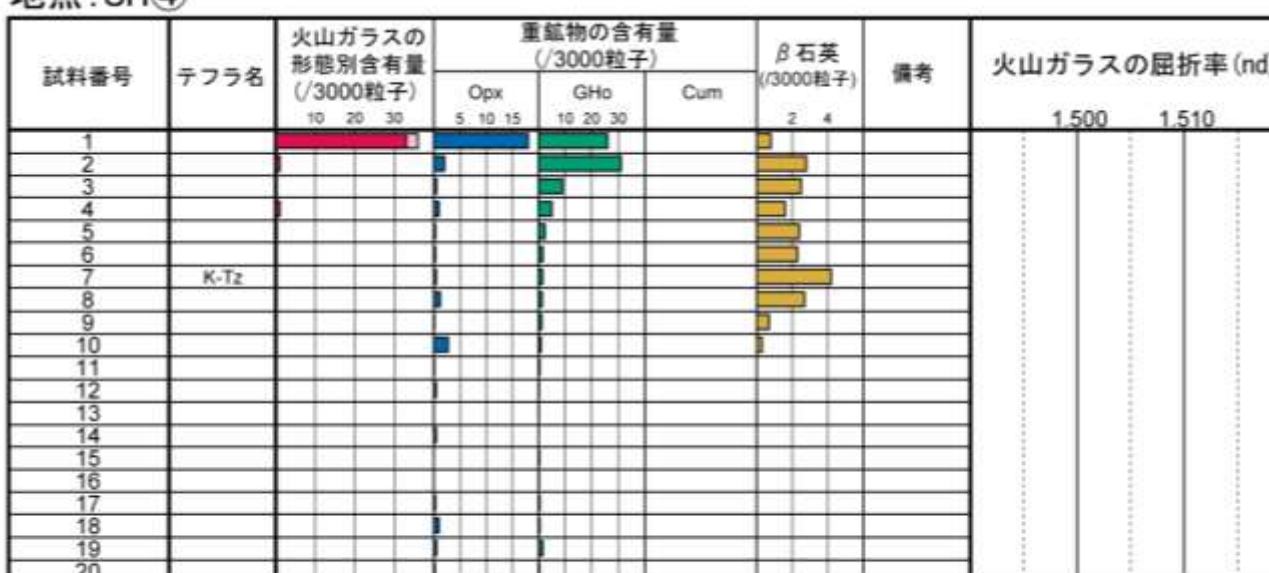
試料は10cm間隔

■バブルウォール(Bw)タイプ
■低発泡(I)タイプ

Opx:斜方輝石
GHO:緑色普通角閃石
Cum:カミングトン閃石

Count数

地点: SH④



試料は10cm間隔

■バブルウォール(Bw)タイプ
■低発泡(I)タイプ

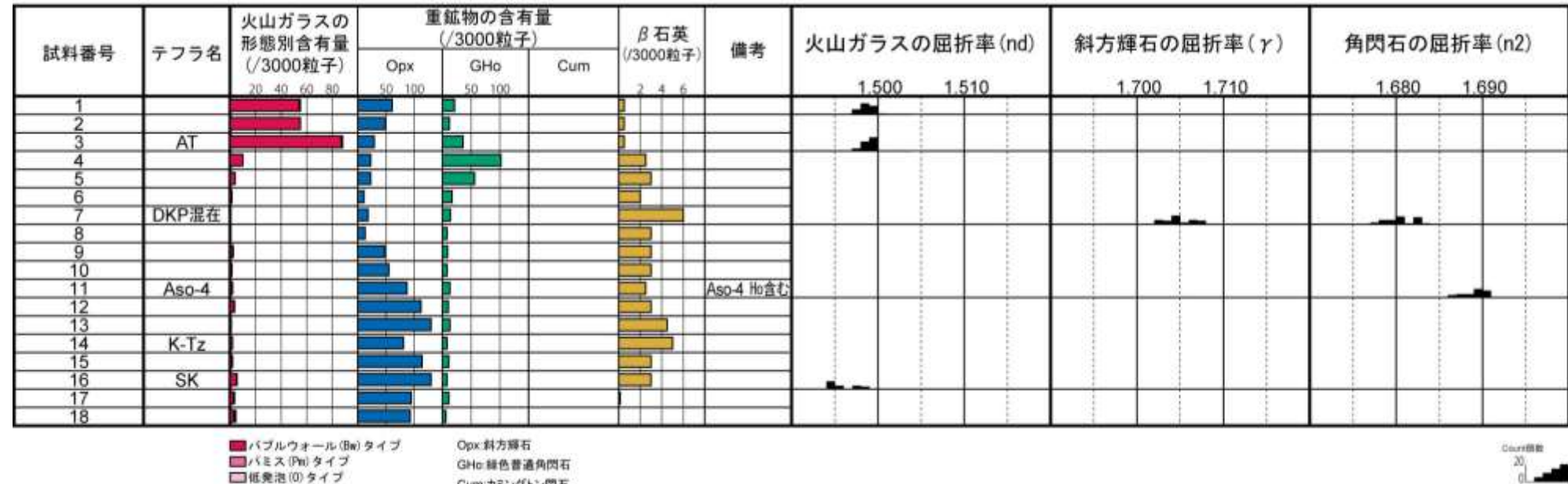
Opx:斜方輝石
GHO:緑色普通角閃石
Cum:カミングトン閃石

Count数

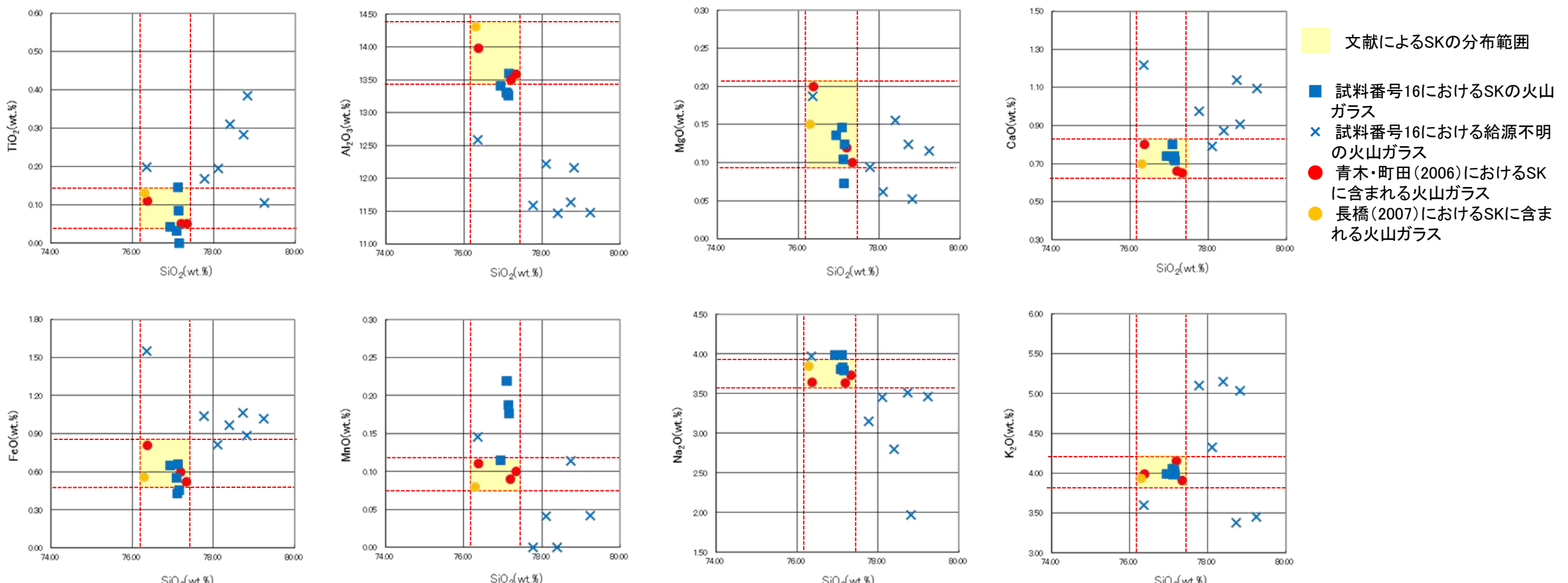
火山灰分析結果

試料採取箇所についてはP.5.3-1-6参照

火山灰分析結果 安部屋表土はぎ①

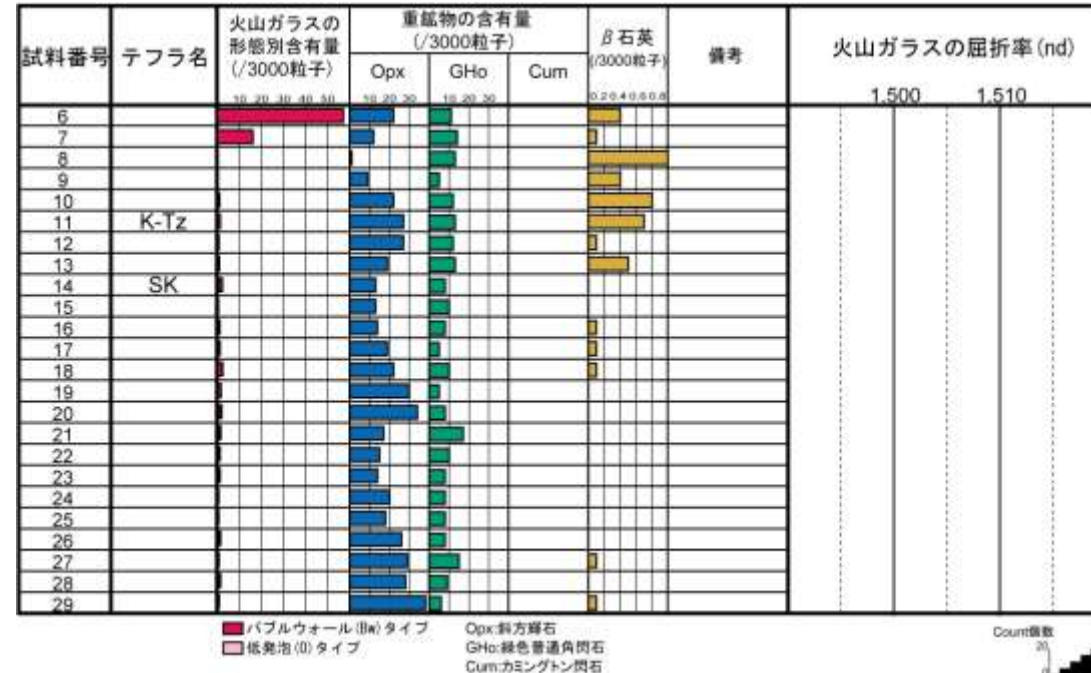


火山灰分析結果(安部屋表土はぎ 測線1)

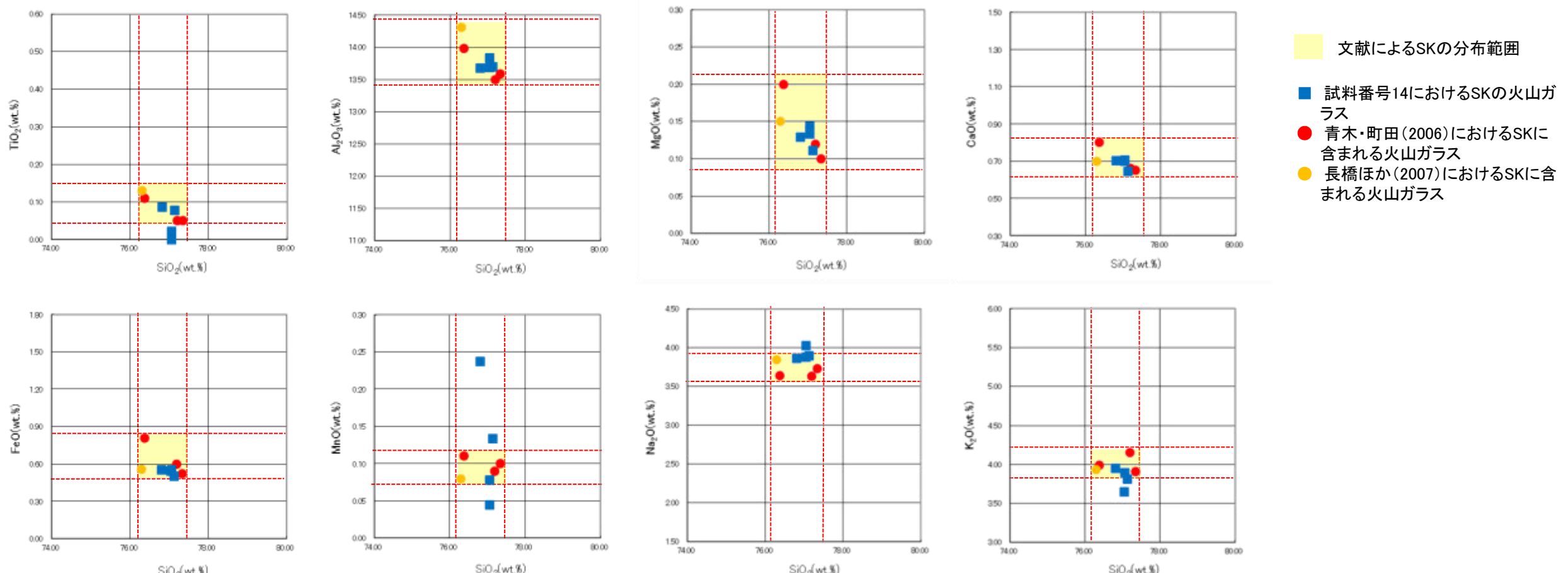


試料採取箇所についてはP.5.3-1-10参照

火山灰分析結果 安部屋表土はぎ②



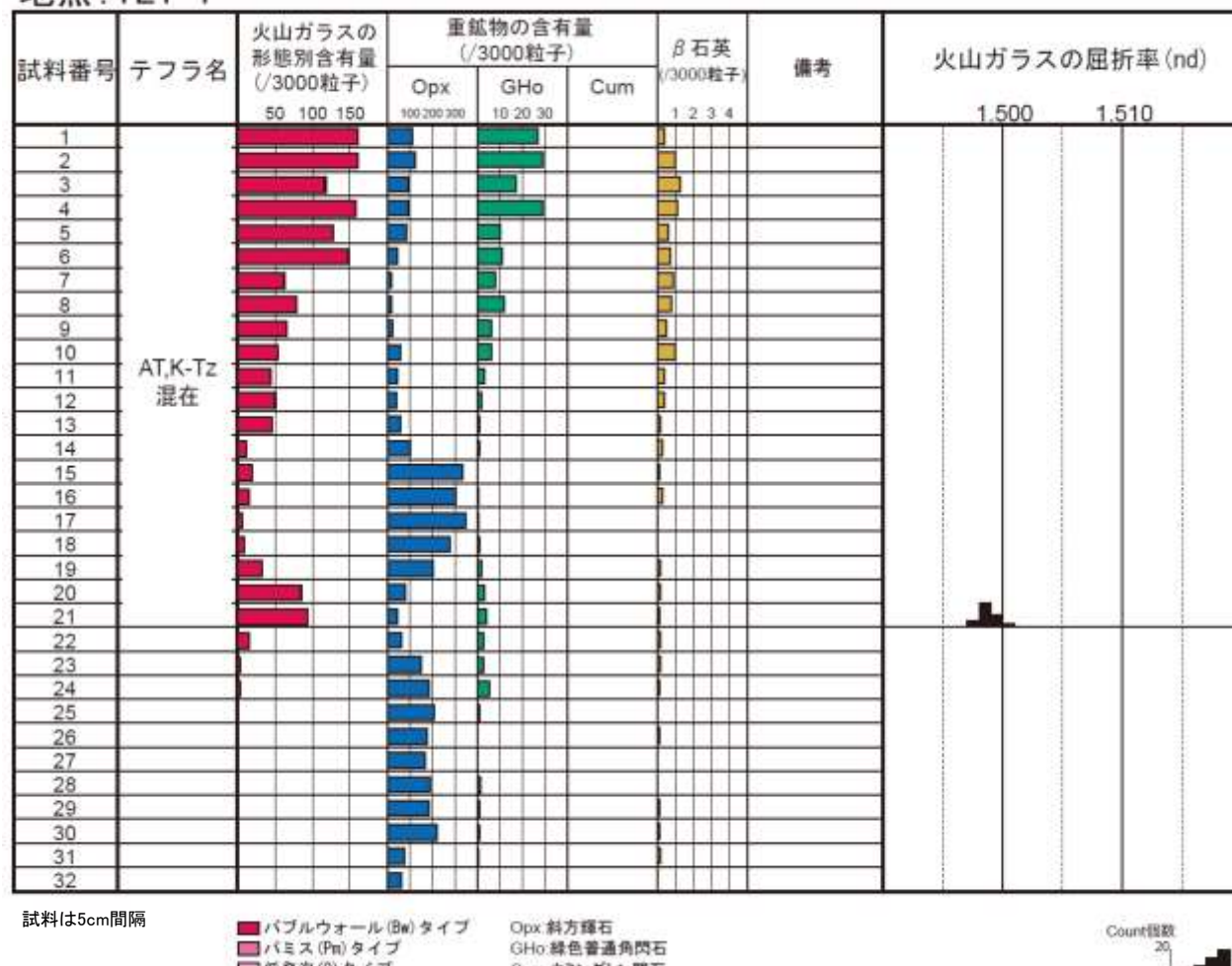
火山灰分析結果(安部屋表土はぎ 測線2)



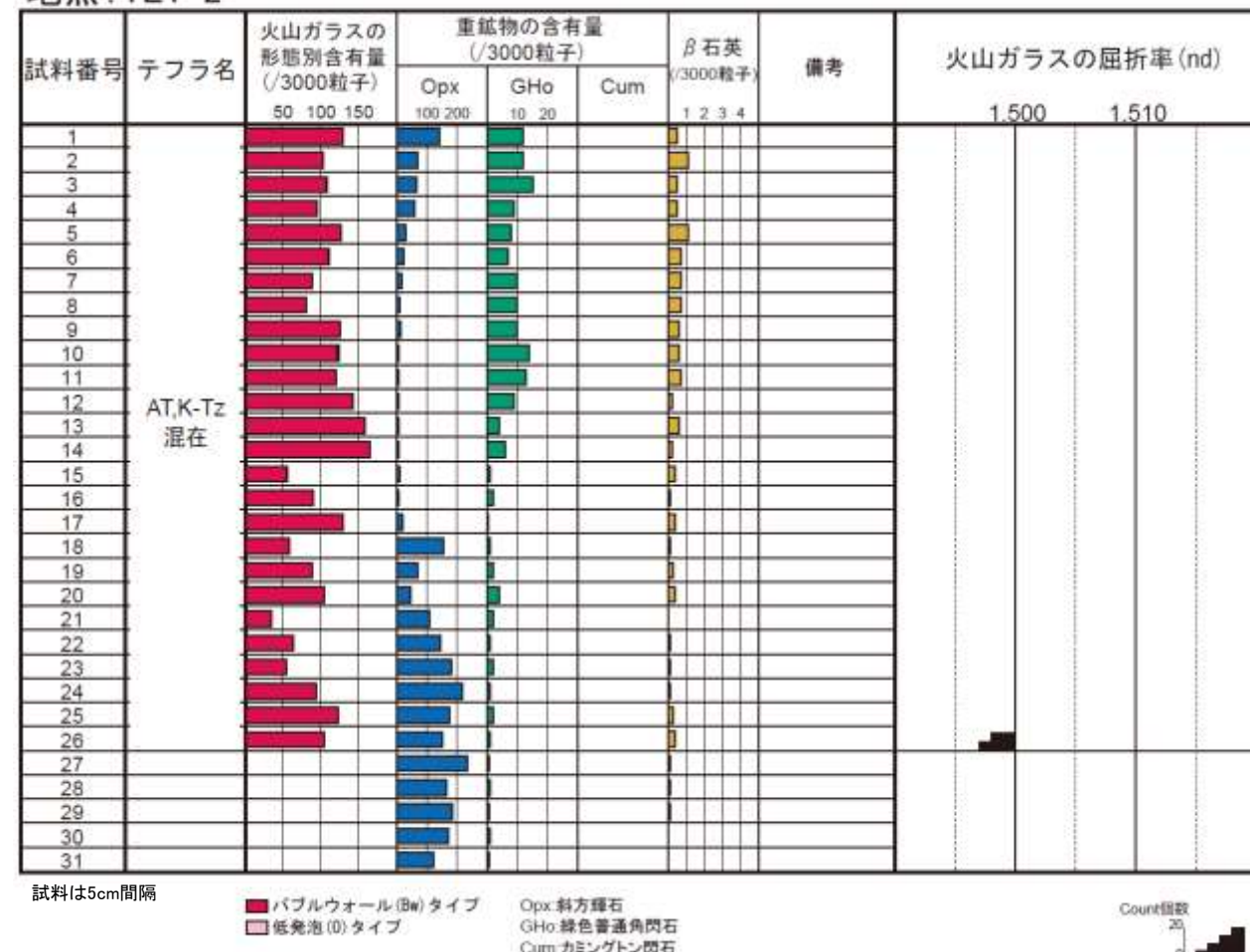
試料採取箇所についてはP.5.3-1-10参照

火山灰分析結果 S-2・S-6 No.1トレンチ

地点:TE1-1



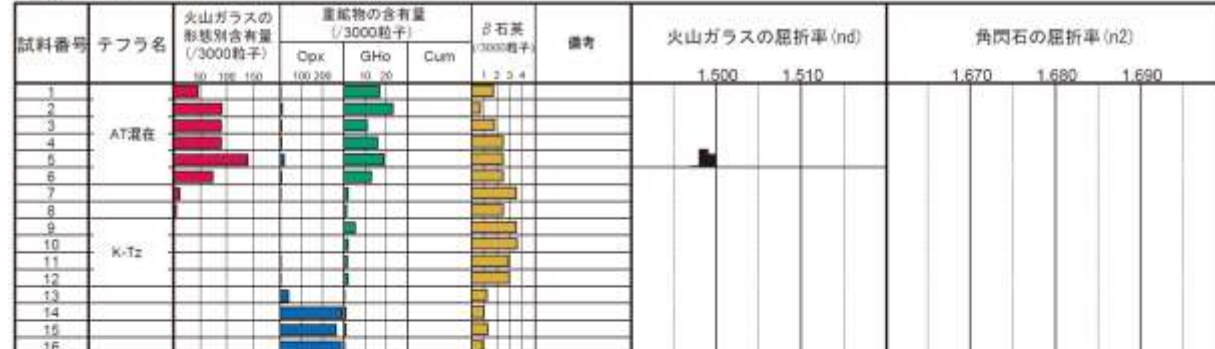
地点:TE1-2



試料採取箇所についてはP.5.3-1-30参照

火山灰分析結果 S-2・S-6 No.2トレント①

地点:TE2-1上



地点:TE2-1下



試料は5cm間隔
■バブルウォール(Bw)タイプ
Opx:斜方輝石
Gho:緑色普通角閃石
Cum:カヒングトン角閃石

Count数
100

地点:TE2-2上

地点:TE2-2上



地点:TE2-2下

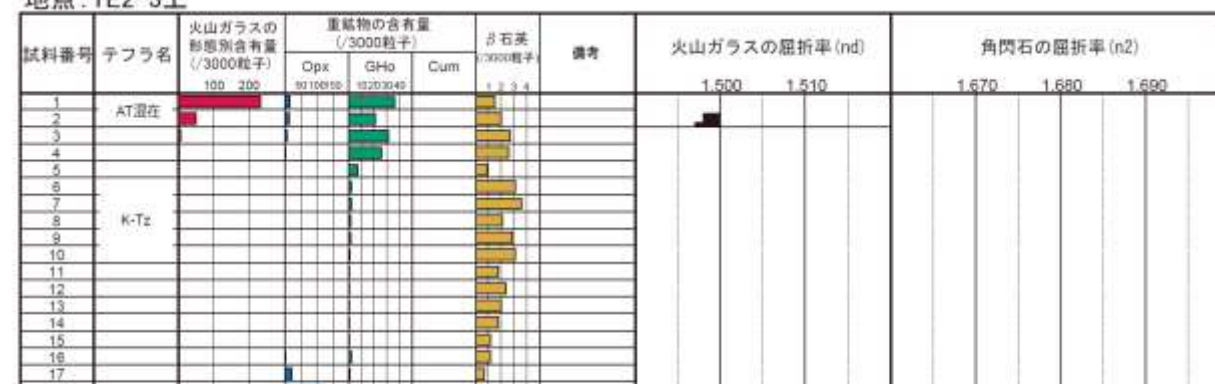


試料は5cm間隔 ■バブルウォール(Bw)タイプ

Opx:斜方輝石
Gho:緑色普通角閃石
Cum:カヒングトン角閃石

Count数
20

地点:TE2-3上



地点:TE2-3下



試料は5cm間隔 ■バブルウォール(Bw)タイプ

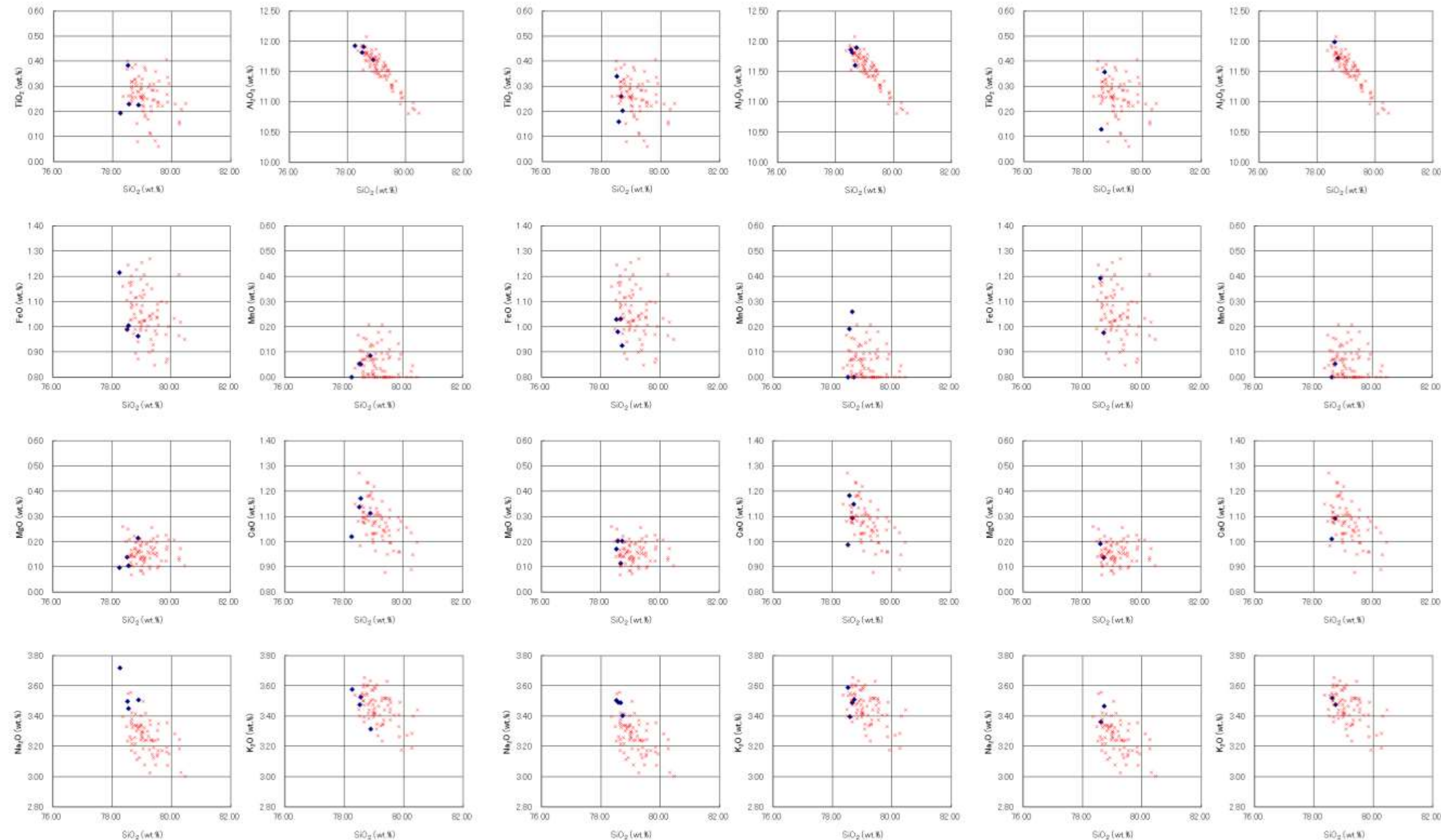
Opx:斜方輝石
Gho:緑色普通角閃石
Cum:カヒングトン角閃石

Count数
20

● β石英中のガラス包有物の主成分分析結果については、次頁を参照

試料採取箇所についてはP.5.3-1-40参照

火山灰分析結果 S-2・S-6 No.2トレントチ②



TE2-1上, 試料番号12

TE2-2上, 試料番号9

TE2-3上, 試料番号7

- ◆ No.2トレントチにおけるK-Tzに含まれる β 石英中のガラス包有物の主成分
- * 古澤・中村(2009)におけるK-Tzに含まれる β 石英中のガラス包有物の主成分

火山灰分析結果 35m盤トレンチ①

35mtr(1)

| 試料番号 | テフラ名 | 火山ガラスの形態別含有量(/3000粒子) | | | | | β 石英(/3000粒子) | 備考 | | | | |
|--------------|------|-----------------------|-----|-----|----|----|---------------------|----|----|---|----|----|
| | | Opx | GHo | Cum | 10 | 20 | 30 | 40 | 50 | 5 | 10 | 15 |
| 35m tr(1)-01 | | | | | | | | | | | | |
| 35m tr(1)-02 | | | | | ■ | | | | | | | |
| 35m tr(1)-03 | | | | | | | | | | | | |
| 35m tr(1)-04 | | | | | | | | ■ | | | | |
| 35m tr(1)-05 | | | | | | | | | | | | |
| 35m tr(1)-06 | | | | | ■ | | | | | | | |
| 35m tr(1)-07 | | | | | | | | | | | | |
| 35m tr(1)-08 | | | | | ■ | | | | | | | |
| 35m tr(1)-09 | | | | | | | | | | | | |
| 35m tr(1)-10 | | | | | | | | | | | | |
| 35m tr(1)-11 | | | | | ■ | | | | | | | |
| 35m tr(1)-12 | | | | | | | | | | | | |
| 35m tr(1)-13 | | | | | | | | | | | | |
| 35m tr(1)-14 | | | | | | | | | | | | |
| 35m tr(1)-15 | | | | | ■ | | | | | | | |
| 35m tr(1)-16 | | | | | | | | | | | | |

試料は5cm間隔

35mtr(3)

| 試料番号 | テフラ名 | 火山ガラスの形態別含有量(/3000粒子) | | | | | β 石英(/3000粒子) | 備考 | | | | |
|--------------|------|-----------------------|-----|-----|----|----|---------------------|----|----|---|----|----|
| | | Opx | GHo | Cum | 10 | 20 | 30 | 40 | 50 | 5 | 10 | 15 |
| 35m tr(3)-01 | | | | | | | | | | | | |
| 35m tr(3)-02 | | | | | ■ | | | | | | | |
| 35m tr(3)-03 | | | | | | | | | | ■ | | |
| 35m tr(3)-04 | | | | | | | | | | ■ | | |
| 35m tr(3)-05 | | | | | | | | | | ■ | | |
| 35m tr(3)-06 | | | | | | | | | | ■ | | |
| 35m tr(3)-07 | K-Tz | | | | | | | | | ■ | | |
| 35m tr(3)-08 | | | | | | | | | | ■ | | |
| 35m tr(3)-09 | | | | | | | | | | ■ | | |
| 35m tr(3)-10 | | | | | | | | | | ■ | | |
| 35m tr(3)-11 | | | | | | | | | | ■ | | |
| 35m tr(3)-12 | | | | | | | | | | ■ | | |
| 35m tr(3)-13 | | | | | | | | | | ■ | | |
| 35m tr(3)-14 | | | | | | | | | | ■ | | |
| 35m tr(3)-15 | | | | | | | | | | ■ | | |
| 35m tr(3)-16 | | | | | | | | | | ■ | | |
| 35m tr(3)-17 | | | | | | | | | | ■ | | |
| 35m tr(3)-18 | | | | | | | | | | ■ | | |
| 35m tr(3)-19 | | | | | | | | | | ■ | | |
| 35m tr(3)-20 | | | | | | | | | | ■ | | |
| 35m tr(3)-21 | | | | | | | | | | ■ | | |
| 35m tr(3)-22 | | | | | | | | | | ■ | | |
| 35m tr(3)-23 | | | | | | | | | | ■ | | |
| 35m tr(3)-24 | | | | | | | | | | ■ | | |
| 35m tr(3)-25 | | | | | | | | | | ■ | | |

試料は5cm間隔

35mtr(2)

| 試料番号 | テフラ名 | 火山ガラスの形態別含有量(/3000粒子) | | | | | β 石英(/3000粒子) | 備考 | | | | |
|--------------|------|-----------------------|-----|-----|----|----|---------------------|----|----|---|----|----|
| | | Opx | GHo | Cum | 10 | 20 | 30 | 40 | 50 | 5 | 10 | 15 |
| 35m tr(2)-01 | | | | | ■ | | | | | | | |
| 35m tr(2)-02 | | | | | | ■ | | | | | | |
| 35m tr(2)-03 | K-Tz | | | | | ■ | | | | | | |
| 35m tr(2)-04 | | | | | | | | | | | | |
| 35m tr(2)-05 | | | | | | | ■ | | | | | |
| 35m tr(2)-06 | | | | | | | | ■ | | | | |
| 35m tr(2)-07 | | | | | | | | | ■ | | | |
| 35m tr(2)-08 | | | | | | | | | ■ | | | |
| 35m tr(2)-09 | | | | | ■ | | | | | | | |
| 35m tr(2)-10 | | | | | | | | | | | | |
| 35m tr(2)-11 | | | | | | | | | | | | |
| 35m tr(2)-12 | | | | | | | | | | | | |
| 35m tr(2)-13 | | | | | | | | | | | | |
| 35m tr(2)-14 | | | | | | | | | | | | |
| 35m tr(2)-15 | | | | | | | | | | | | |
| 35m tr(2)-16 | | | | | | | | | | | | |
| 35m tr(2)-17 | | | | | | | | | | | | |
| 35m tr(2)-18 | | | | | | | | | | | | |

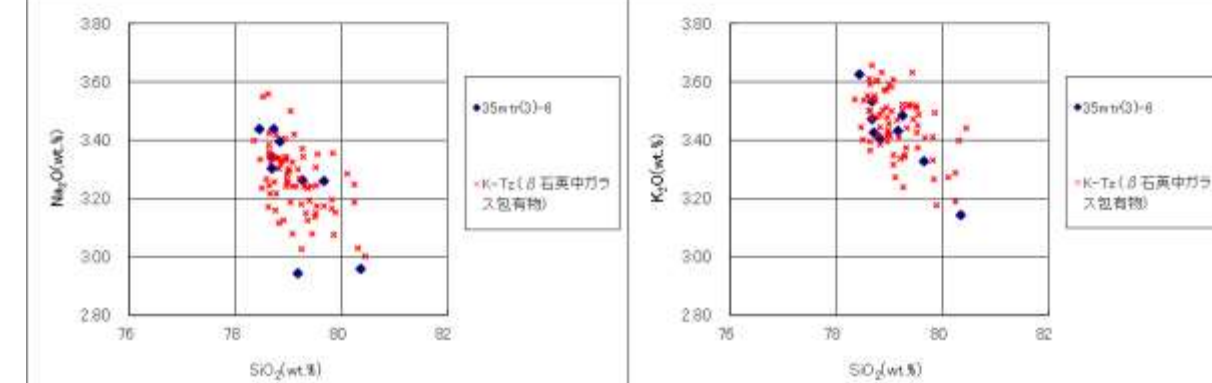
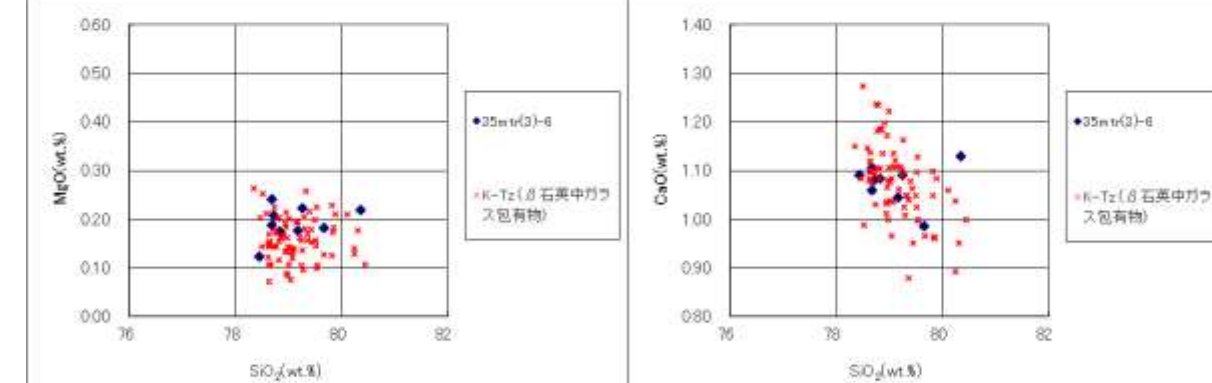
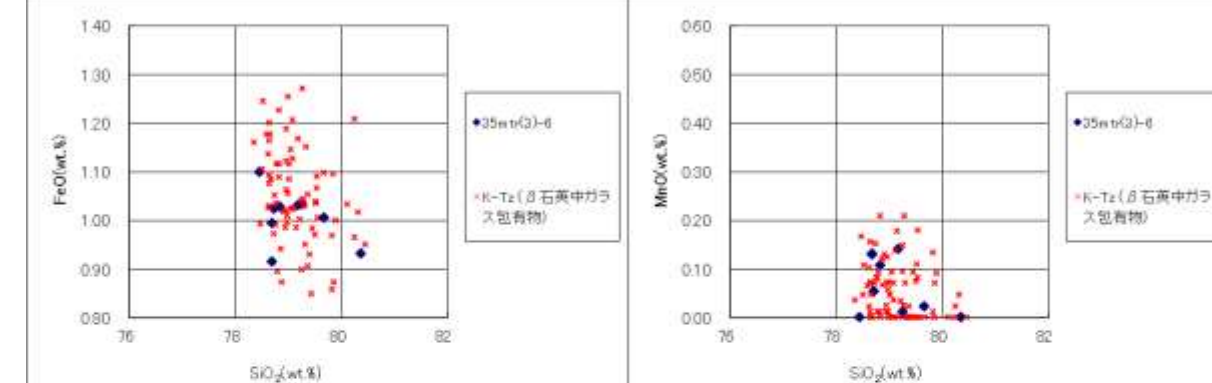
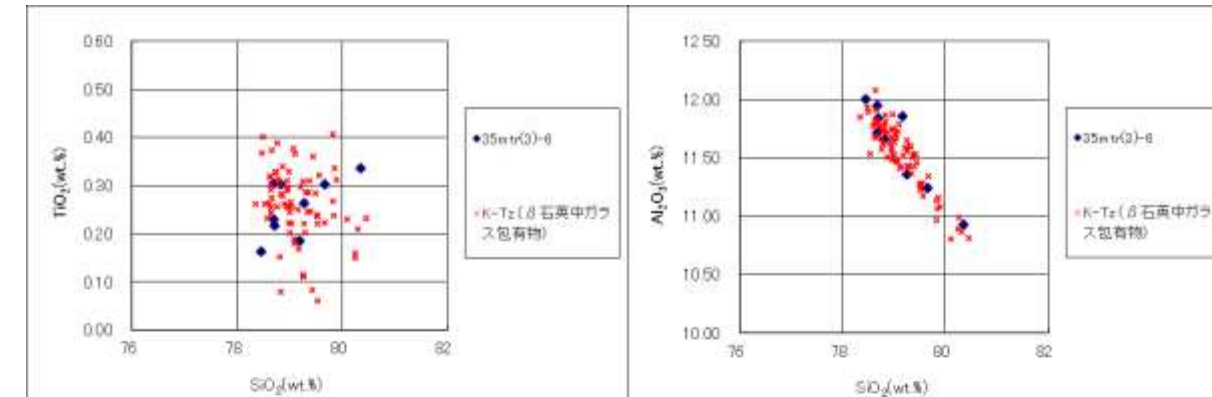
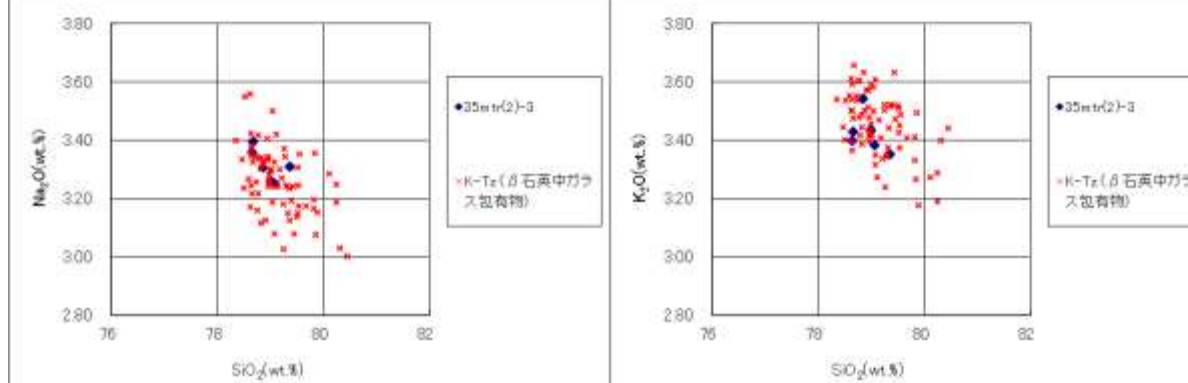
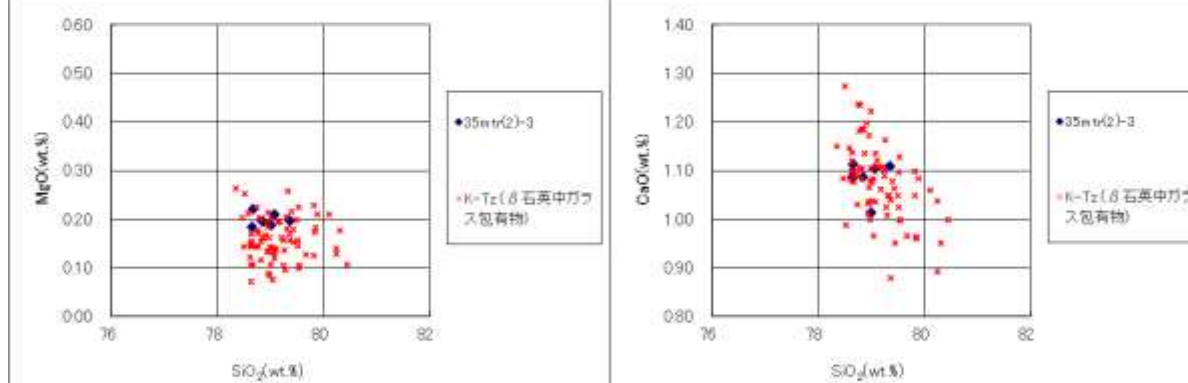
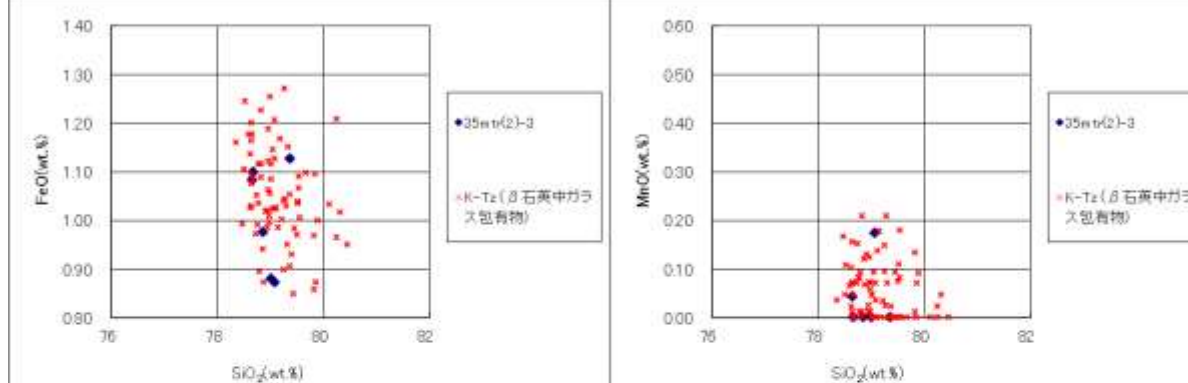
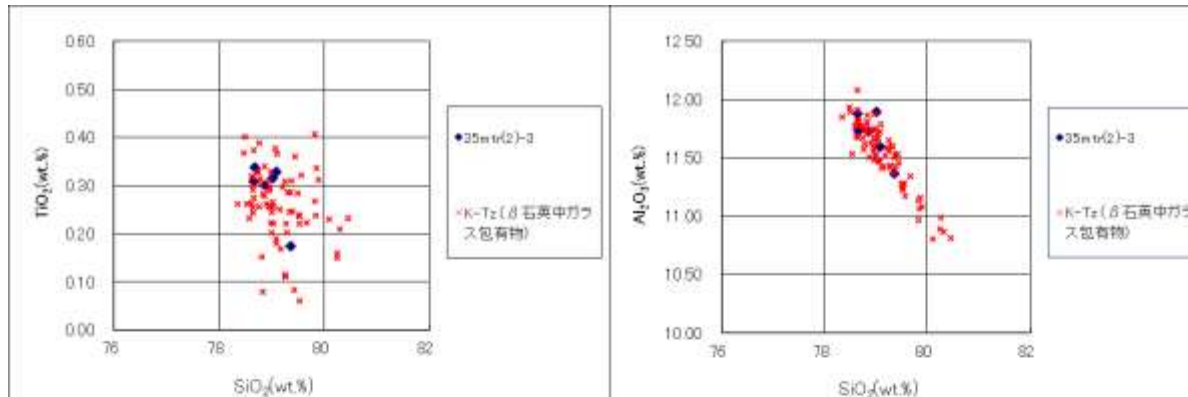
試料は5cm間隔

Opx:斜方輝石
GHO:緑色普通角閃石
Cum:カミングトン閃石

● β 石英中のガラス包有物の主成分分析結果については、次頁を参照

試料採取箇所についてはP.5.3-1-48参照

火山灰分析結果 35m盤トレンチ②



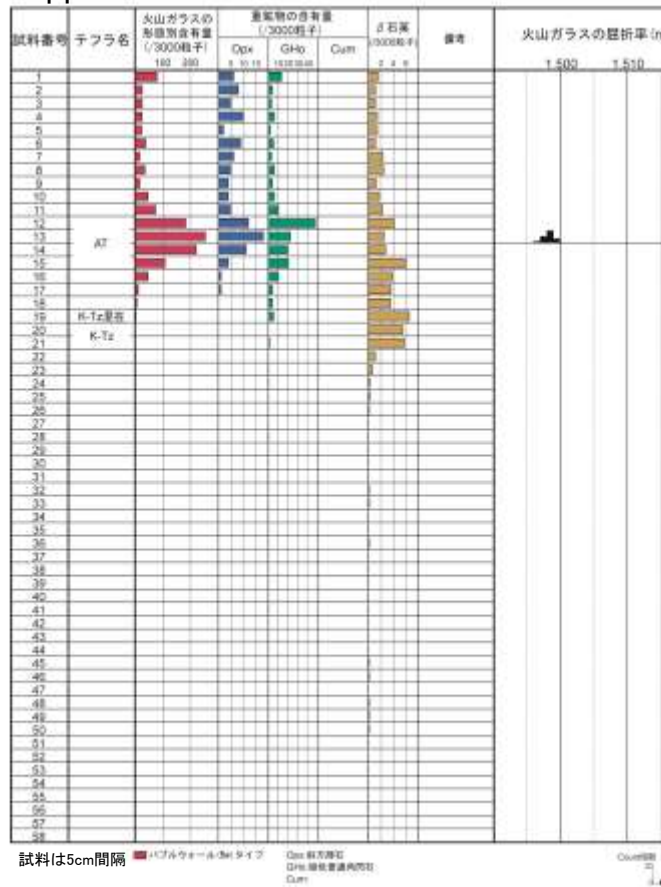
試料番号35mtr(2)-3

試料番号35mtr(3)-6

- ◆ 35m盤トレンチにおけるK-Tzに含まれるβ石英中のガラス包有物の主成分
- * 古澤・中村(2009)におけるK-Tzに含まれるβ石英中のガラス包有物の主成分

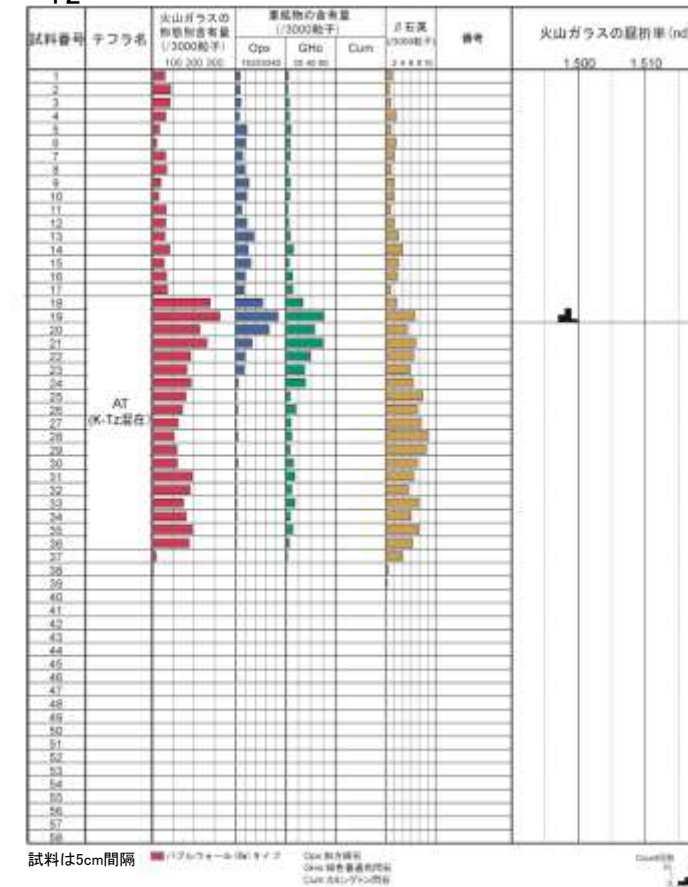
火山灰分析結果 えん堤左岸トレンチ①

T1



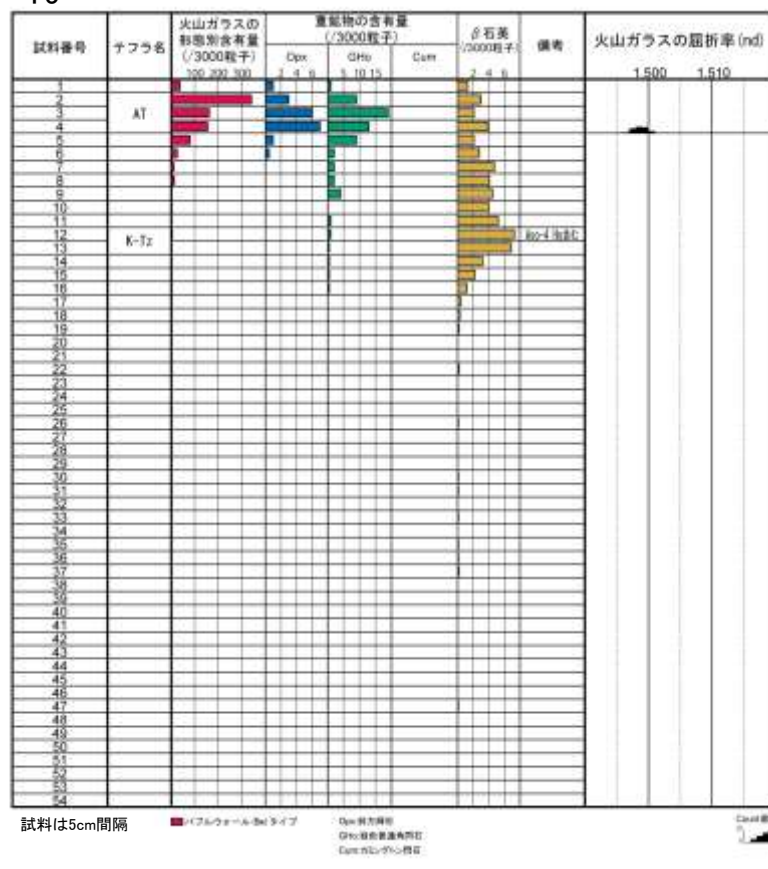
試料は5cm間隔 パブロウエール(Bel)タイプ Opx斜方輝石 Gho緑色普通角閃石 Cum

T2



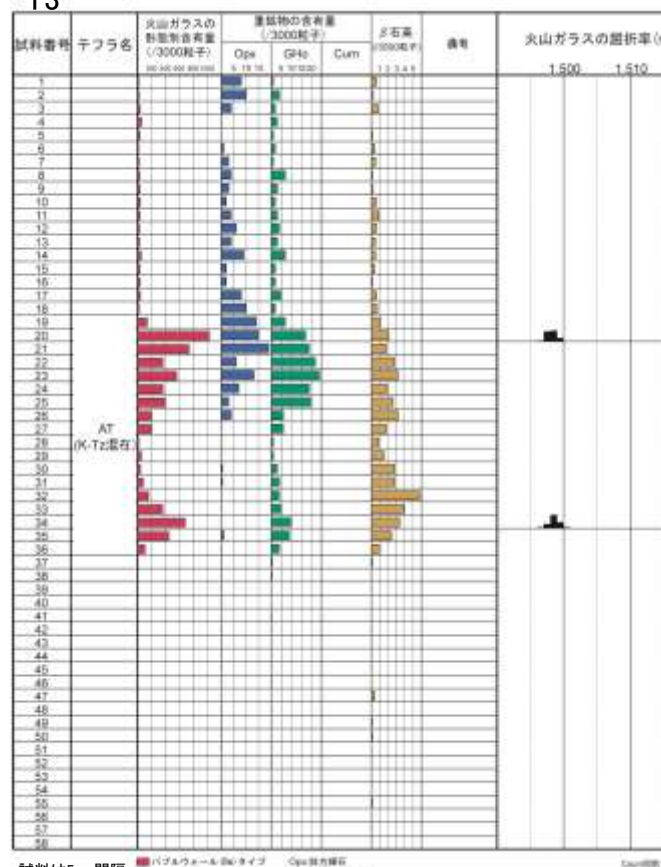
試料は5cm間隔 パブロウエール(Bel)タイプ Opx斜方輝石 Gho緑色普通角閃石 Cum

T5



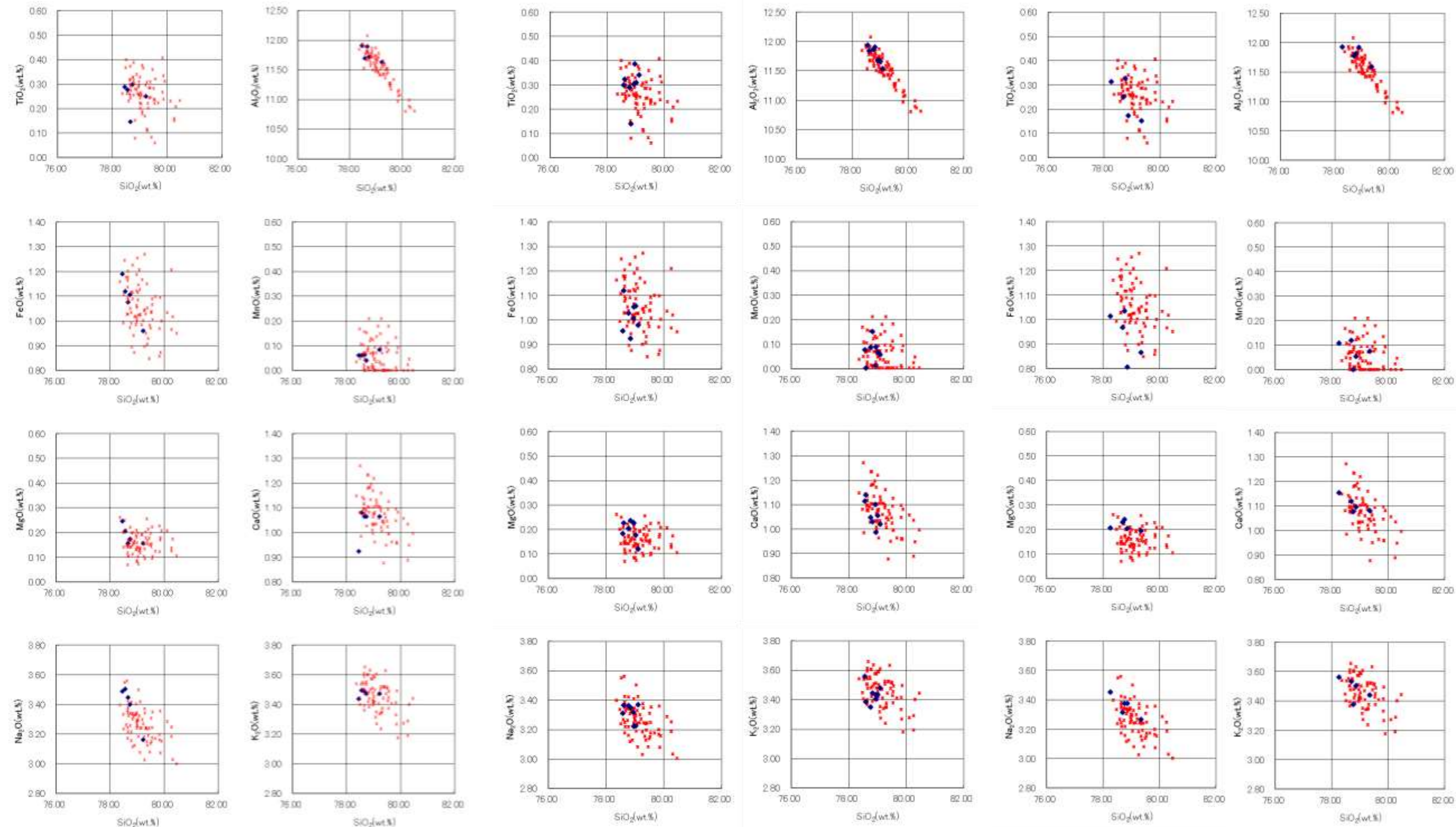
試料は5cm間隔 パブロウエール(Bel)タイプ Opx斜方輝石 Gho緑色普通角閃石 Cum

T3



火山灰分析結果 えん堤左岸トレンド②

紫字: 第1049回審査会合以降の修正箇所



T1, 試料番号21

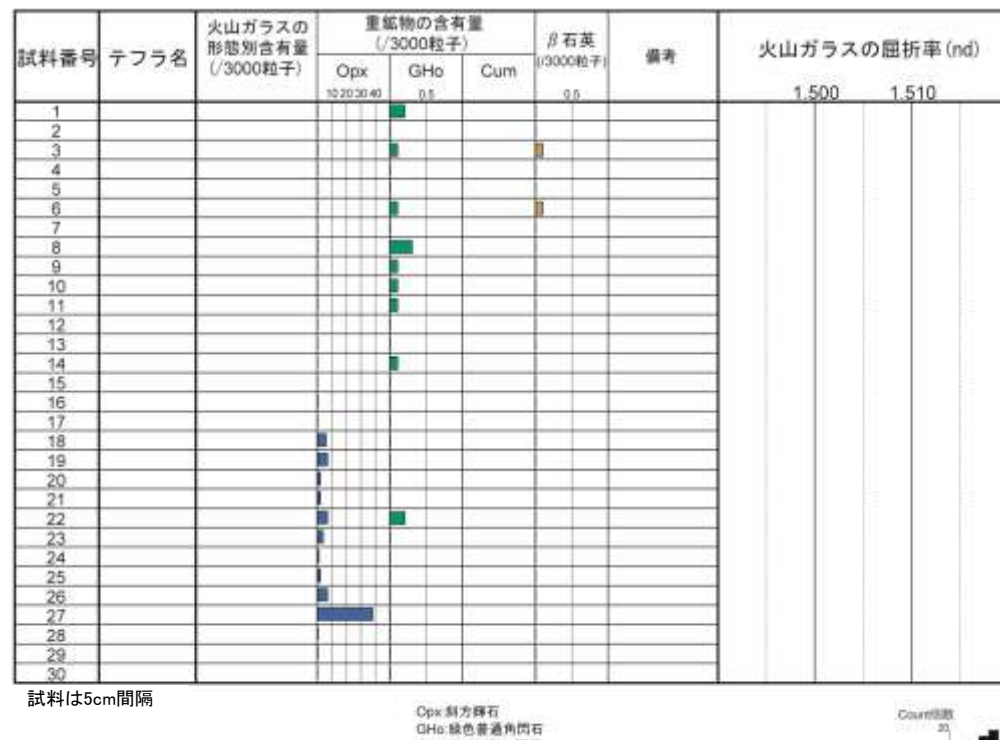
T5, 試料番号12

T6, 試料番号14

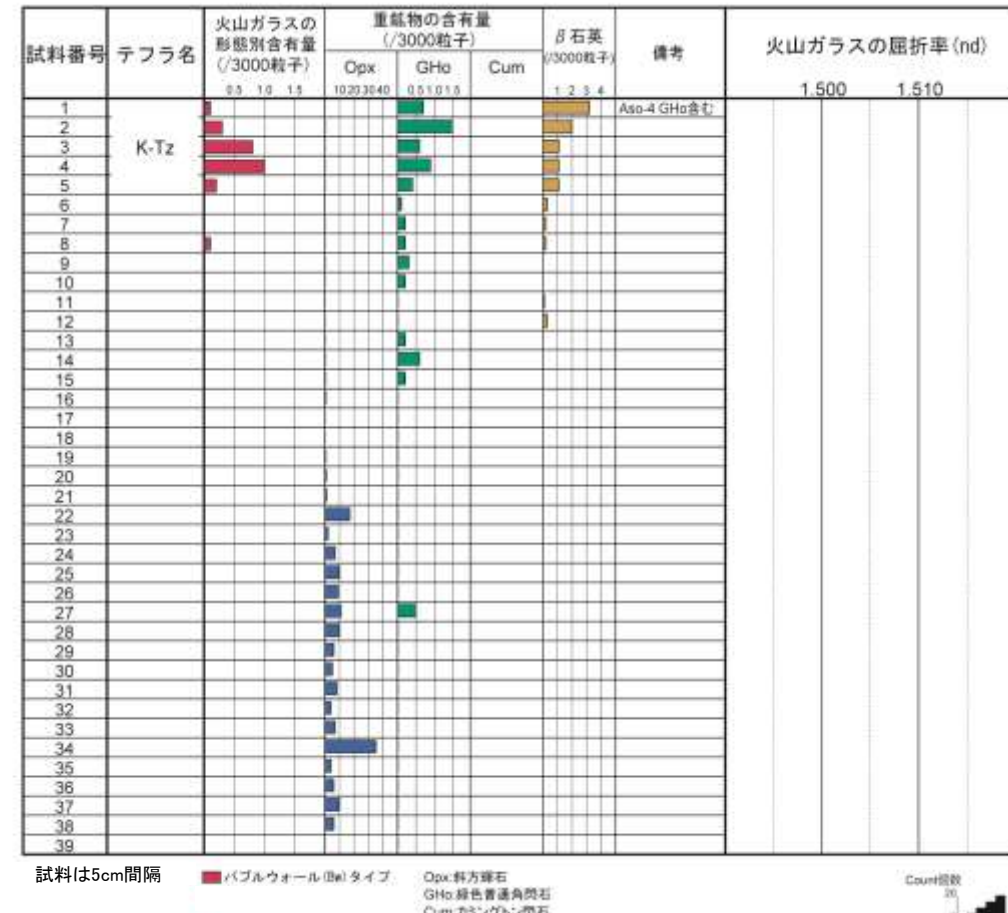
- ◆ えん堤左岸トレンドにおけるK-Tzに含まれる β 石英中のガラス包有物及び火山ガラスの主成分
- * 古澤・中村(2009)におけるK-Tzに含まれる β 石英中のガラス包有物の主成分

火山灰分析結果 駐車場南東方トレーンチ①

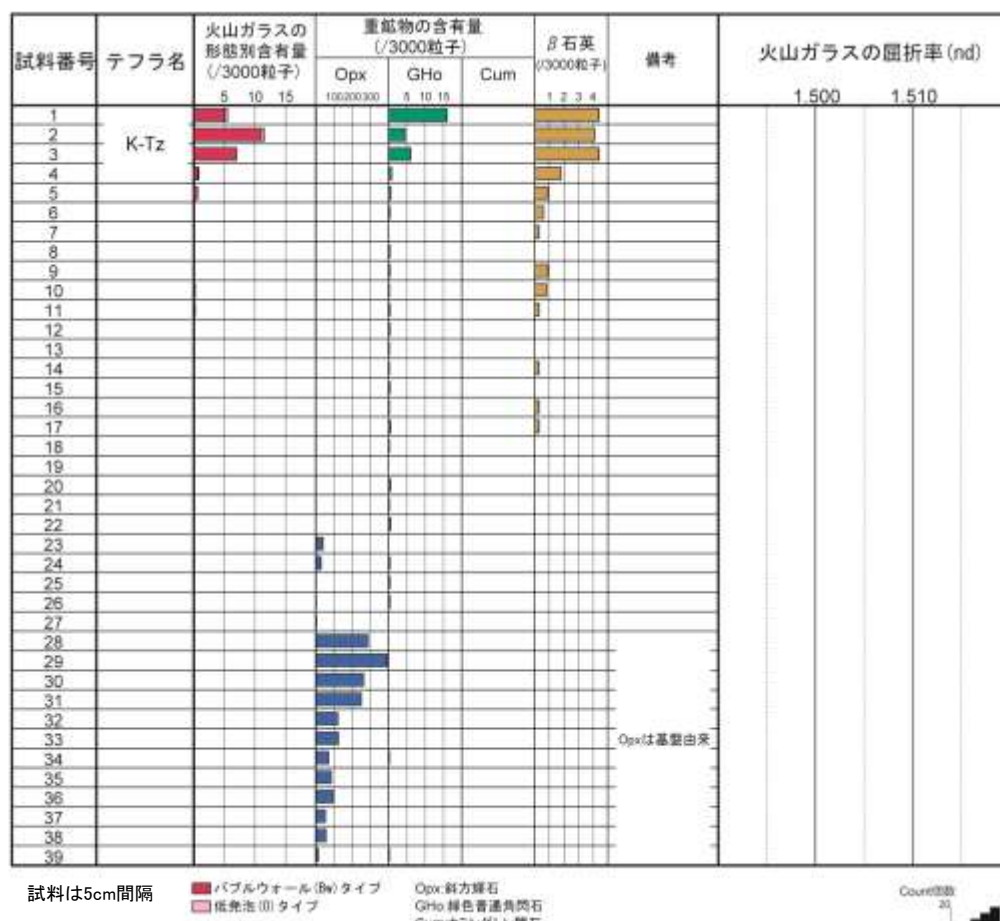
P1



P2



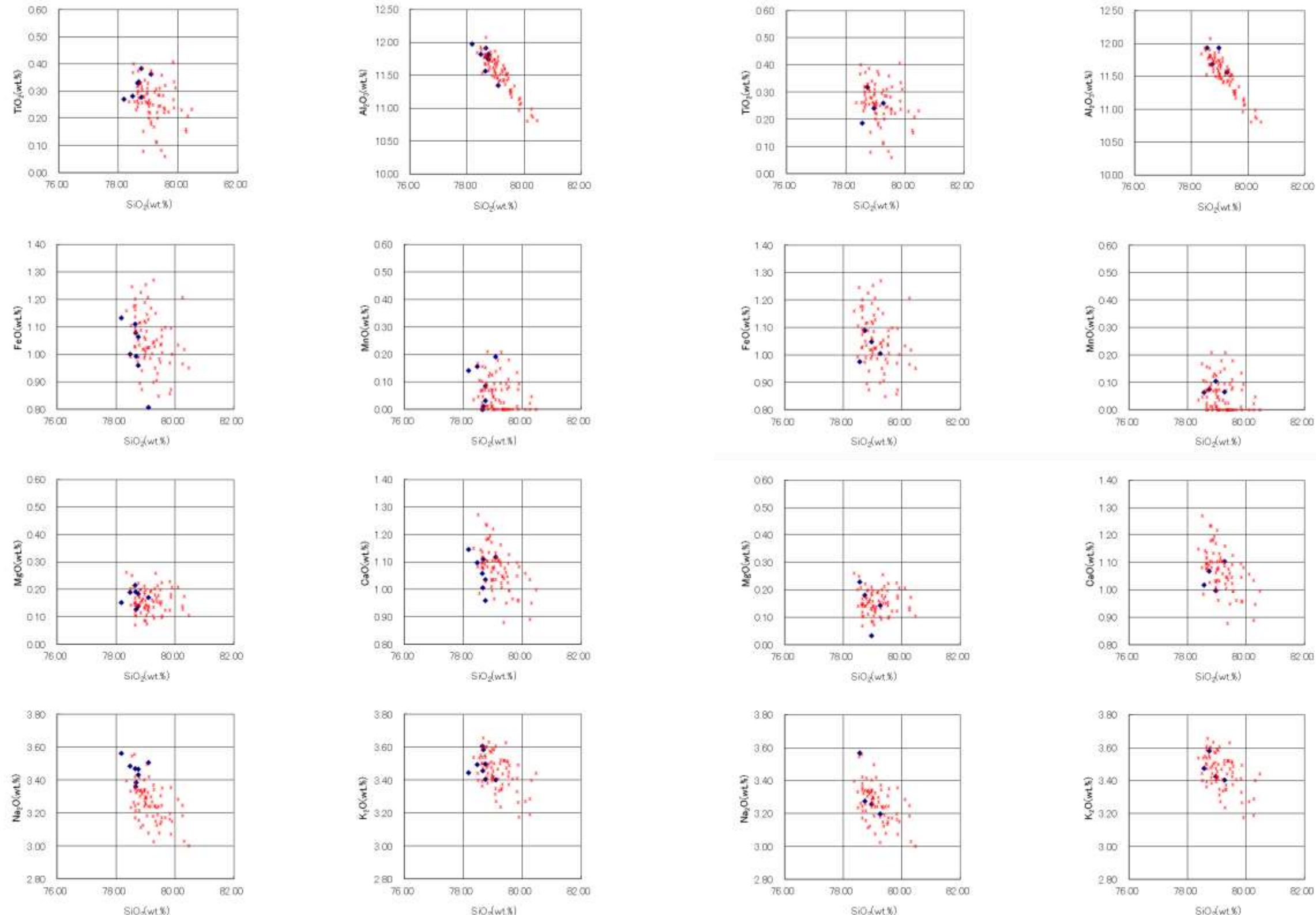
P3



● β 石英中のガラス包有物の主成分分析結果については、次頁を参照

試料採取箇所についてはP.5.3-1-55参照

火山灰分析結果 駐車場南東方トレンチ②



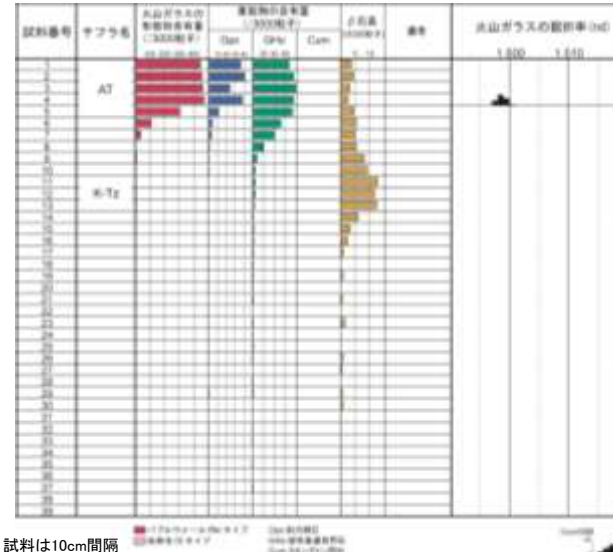
P2. 試料番号1

P3. 試料番号3

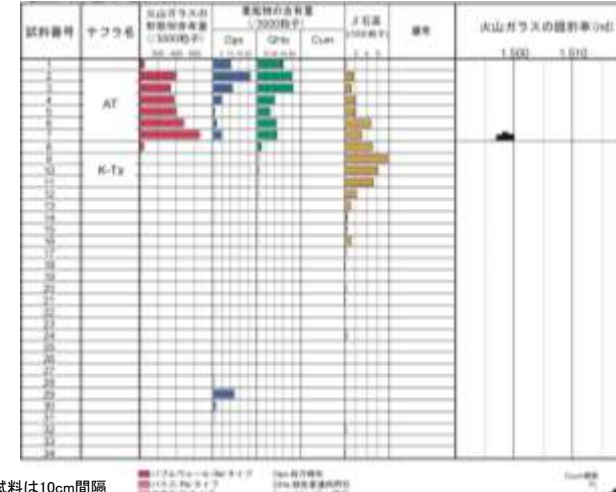
◆ 駐車場南東方トレンチにおけるK-Tzに含まれる β 石英中のガラス包有物の主成分
＊ 古澤・中村(2009)におけるK-Tzに含まれる β 石英中のガラス包有物の主成分

火山灰分析結果 駐車場南側法面①

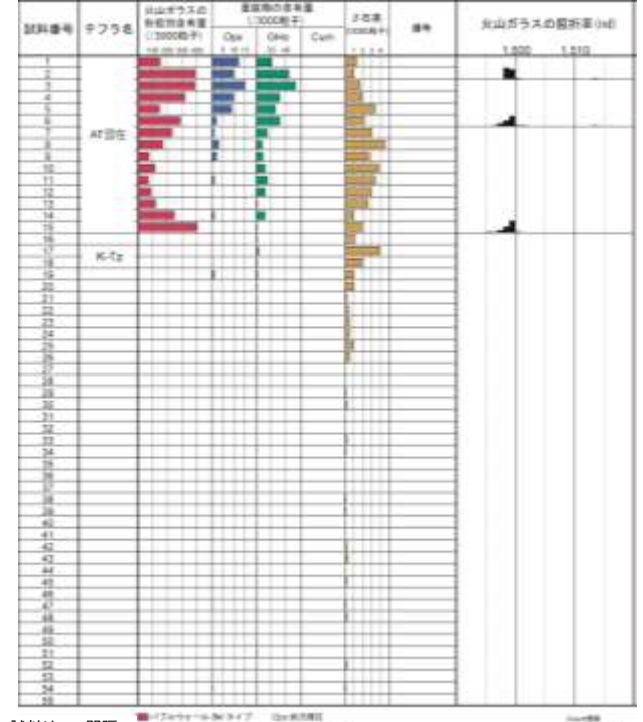
No.1



No.2

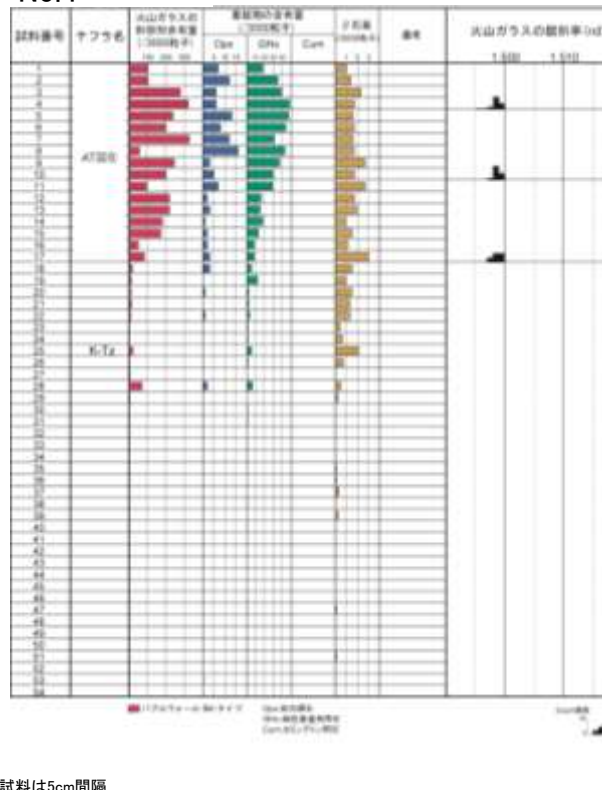


No.3

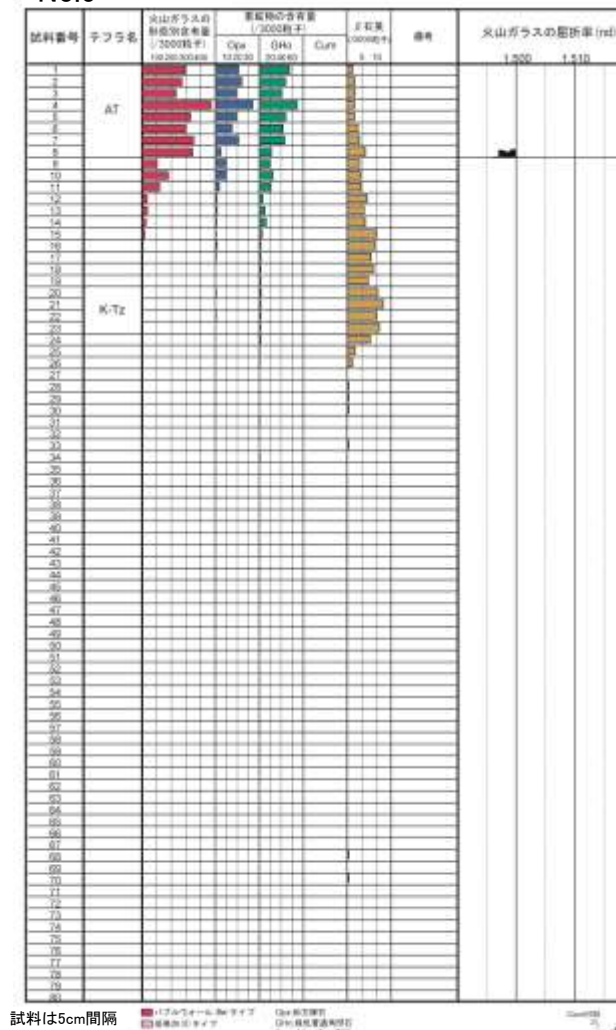


紫字: 第1049回審査会合以降の修正箇所

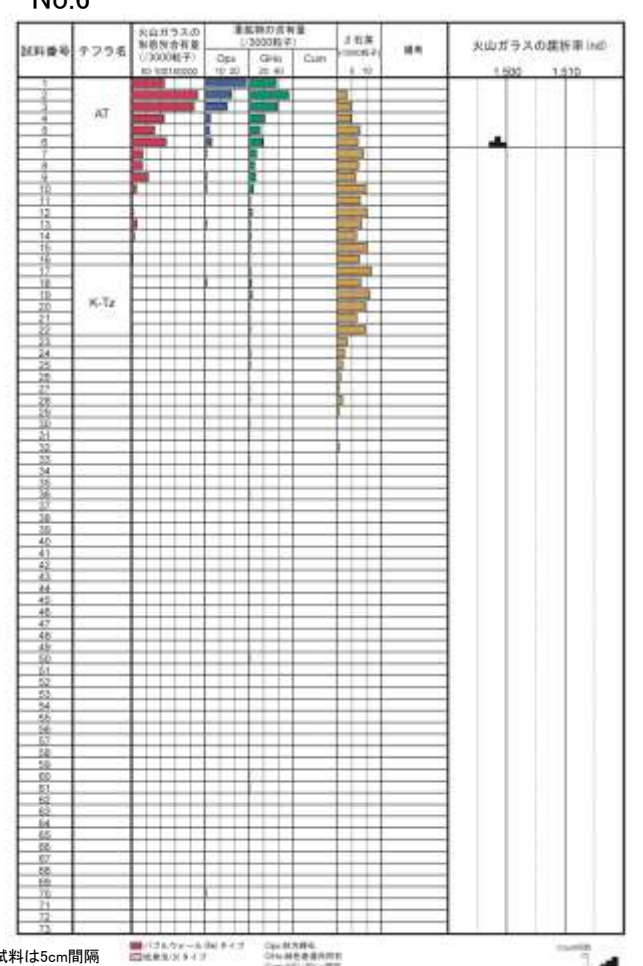
No.4



No.5



No.6

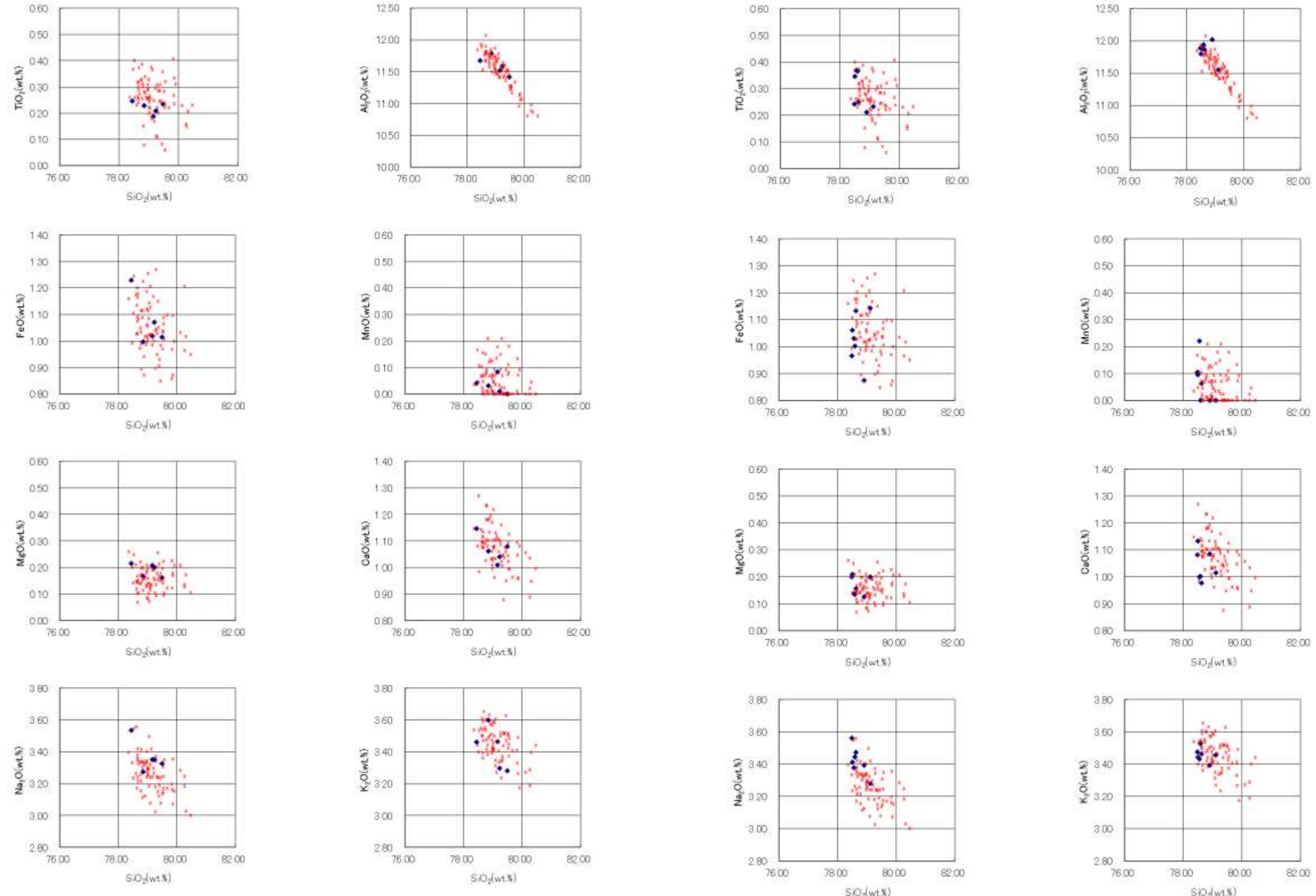


試料採取箇所についてはP.5.3-1-68参照

●火山ガラスの主成分分析結果については、
次頁以降を参照

火山灰分析結果 駐車場南側法面②

紫字: 第1049回審査会合以降の修正箇所



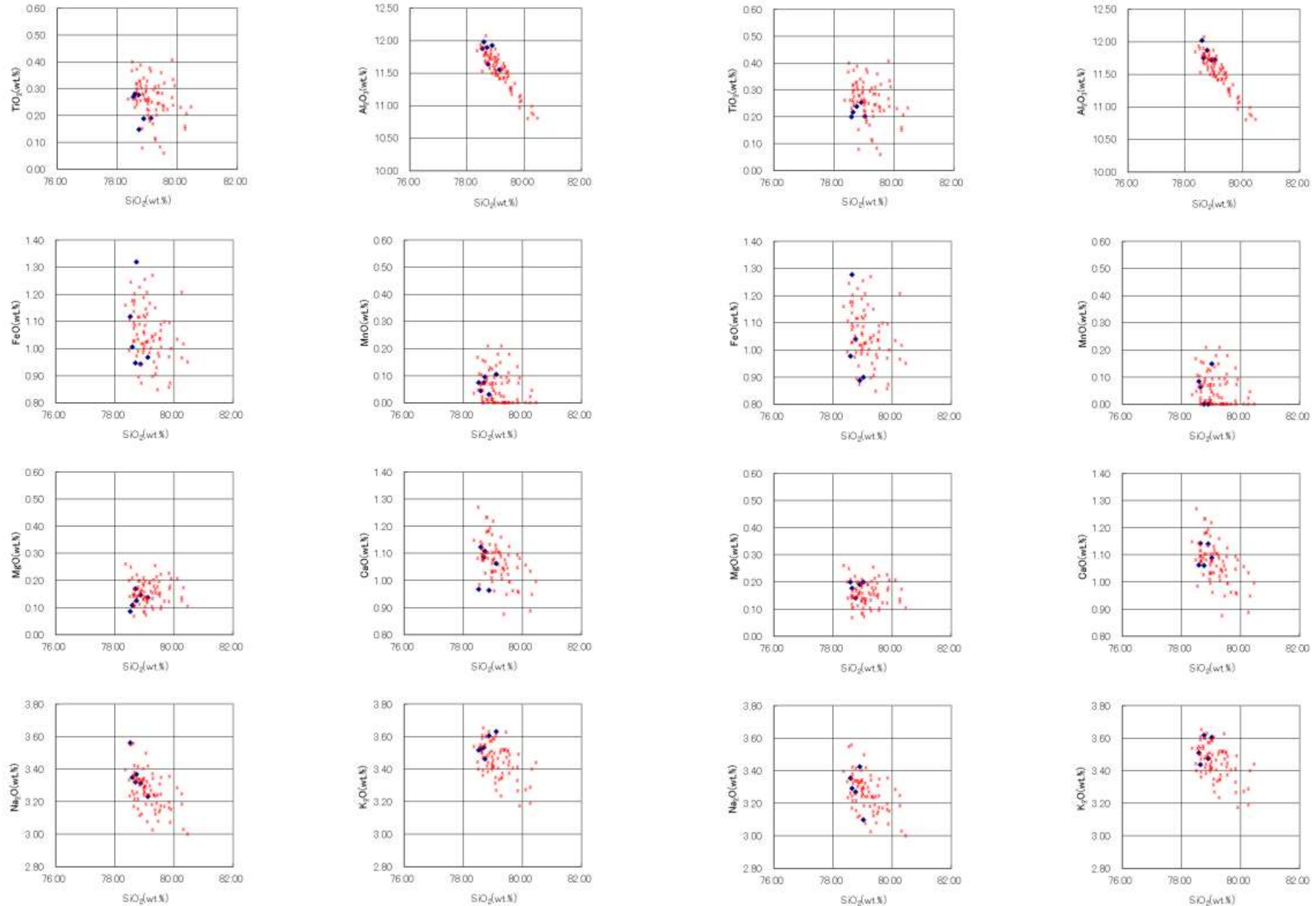
No.1, 試料番号13

No.2, 試料番号11

- ◆ 駐車場南側法面におけるK-Tzに含まれる火山ガラスの主成分
- * 古澤・中村(2009)におけるK-Tzに含まれるβ石英中のガラス包有物の主成分

火山灰分析結果 駐車場南側法面③

紫字: 第1049回審査会合以降の修正箇所



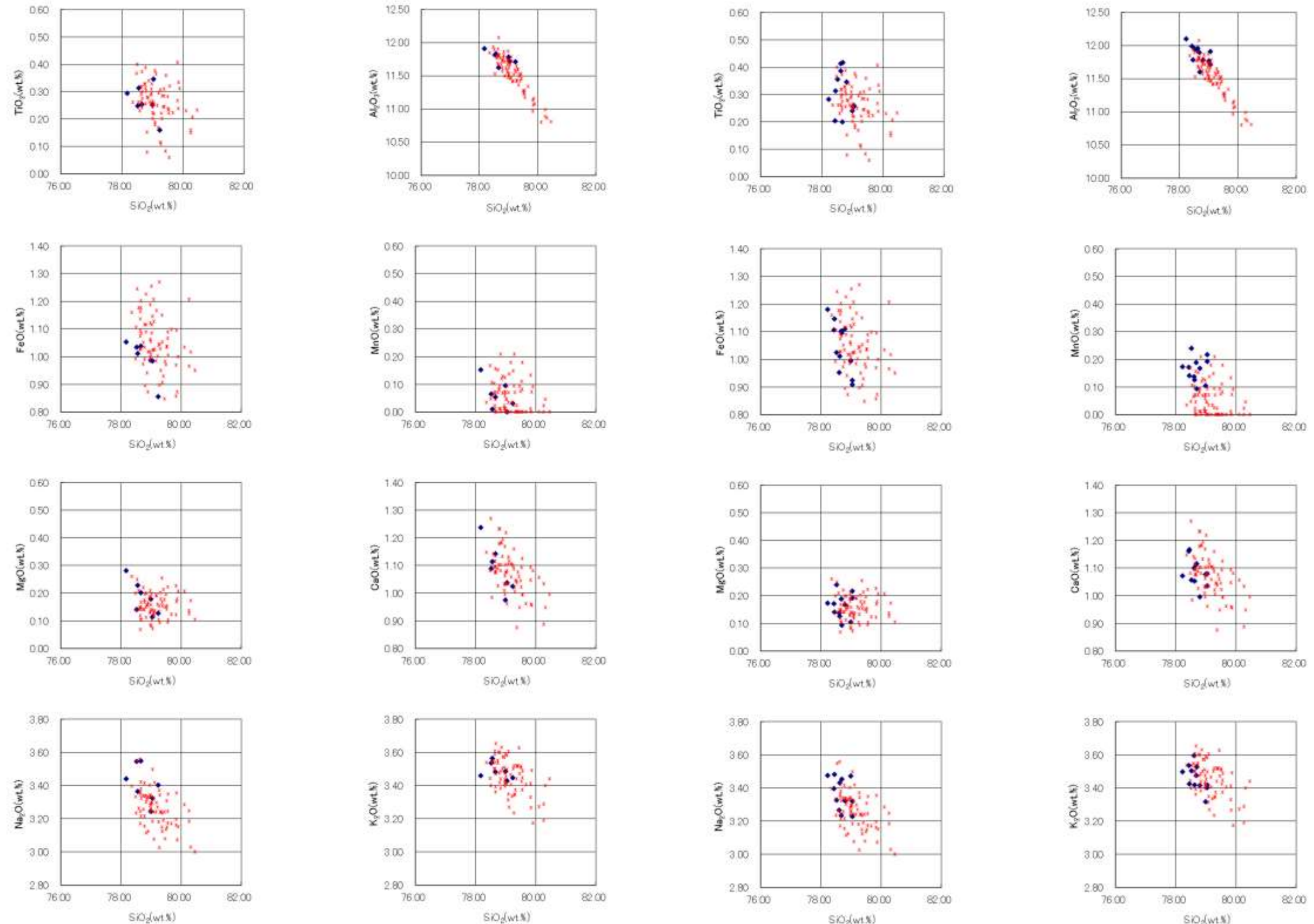
No.3, 試料番号17

No.4, 試料番号25

- ◆ 駐車場南側法面におけるK-Tzに含まれる火山ガラスの主成分
- * 古澤・中村(2009)におけるK-Tzに含まれるβ石英中のガラス包有物の主成分

火山灰分析結果 駐車場南側法面④

紫字: 第1049回審査会合以降の修正箇所



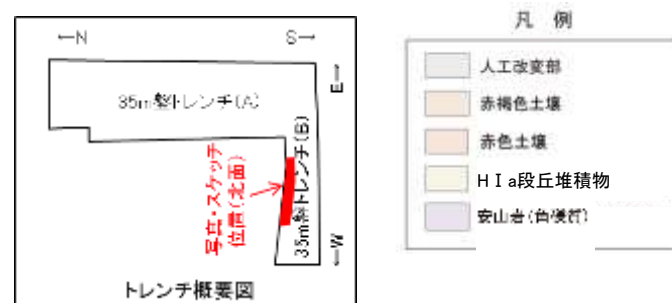
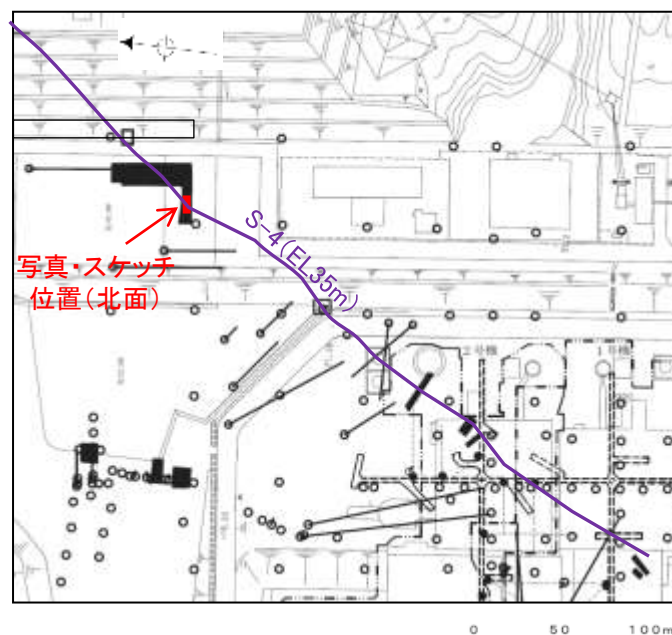
No.5, 試料番号21

No.6, 試料番号17

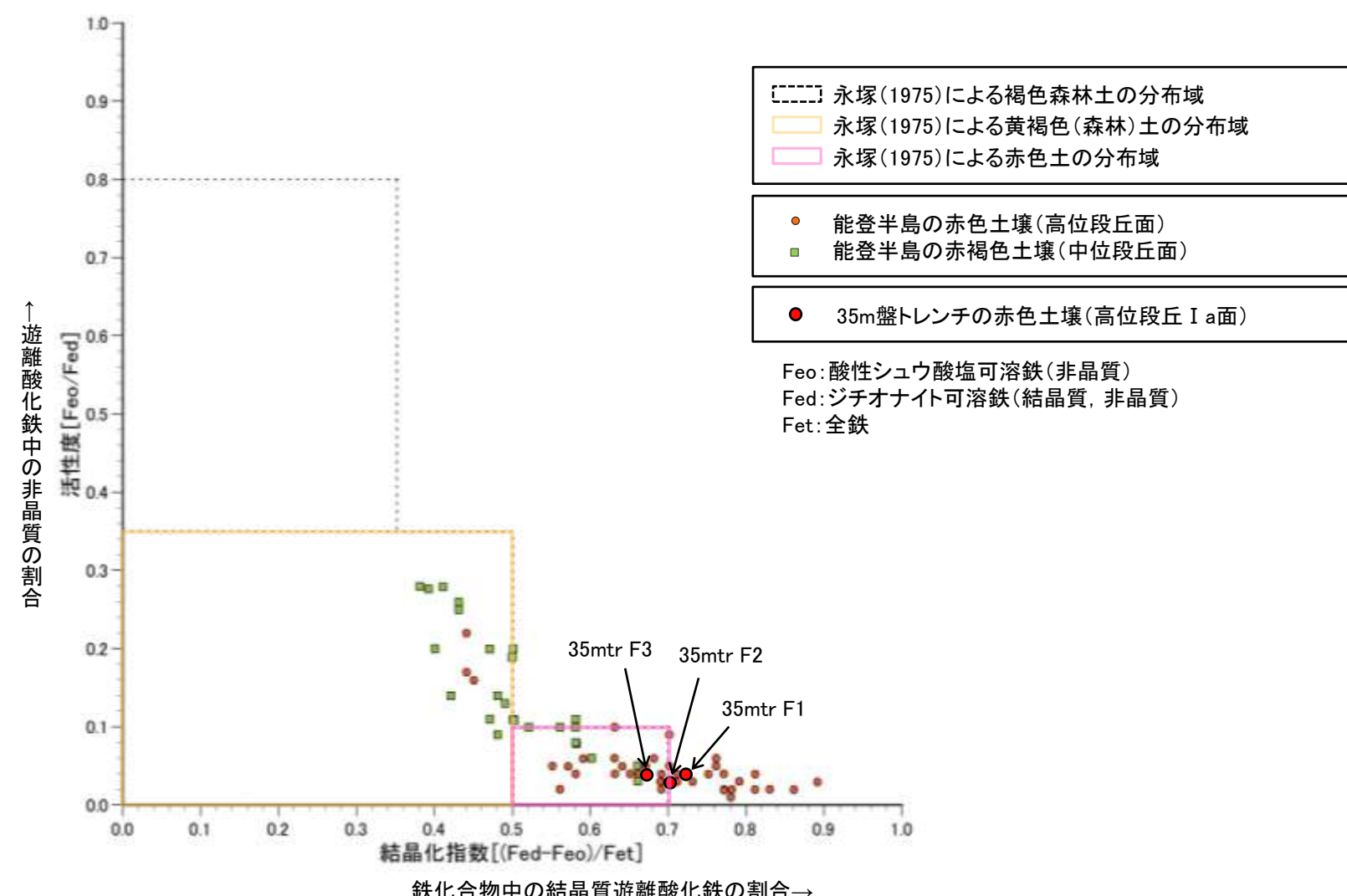
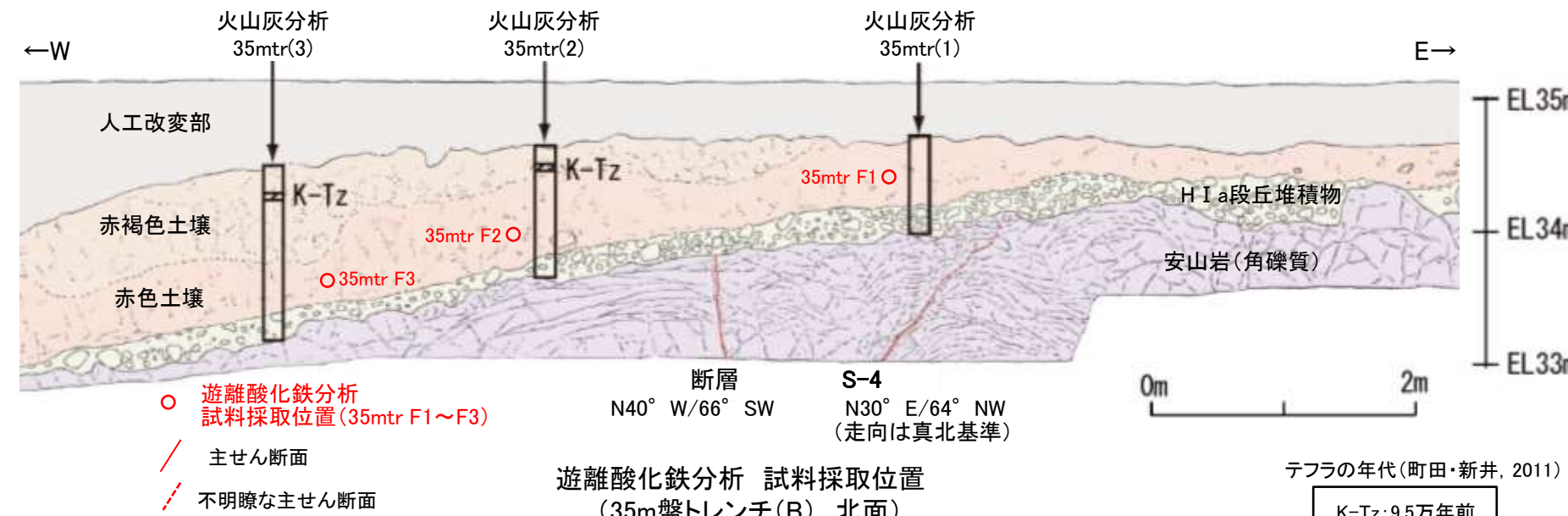
- ◆ 駐車場南側法面におけるK-Tzに含まれる火山ガラスの主成分
- * 古澤・中村(2009)におけるK-Tzに含まれるβ石英中のガラス包有物の主成分

(3) 遊離酸化銹分析結果

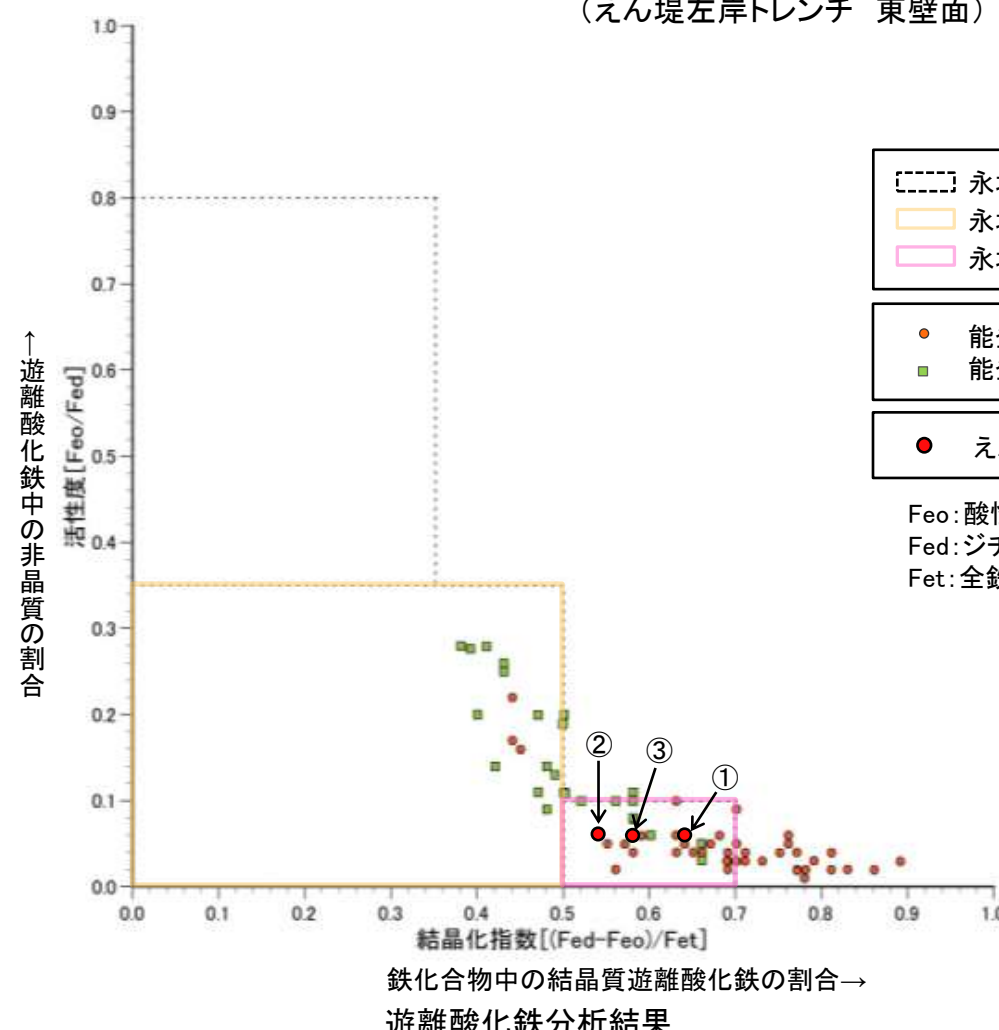
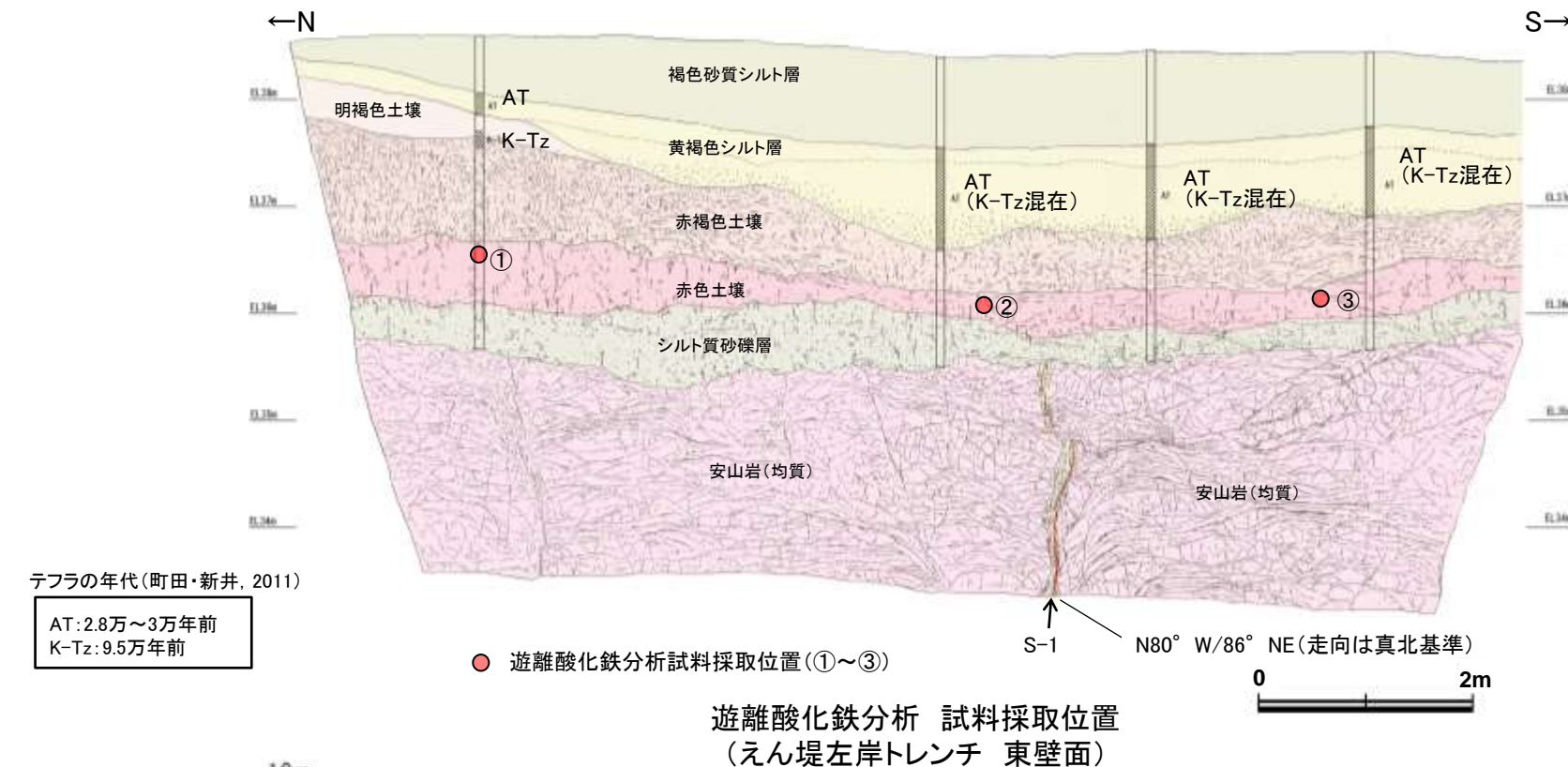
遊離酸化鉄分析結果 35m盤トレンチ



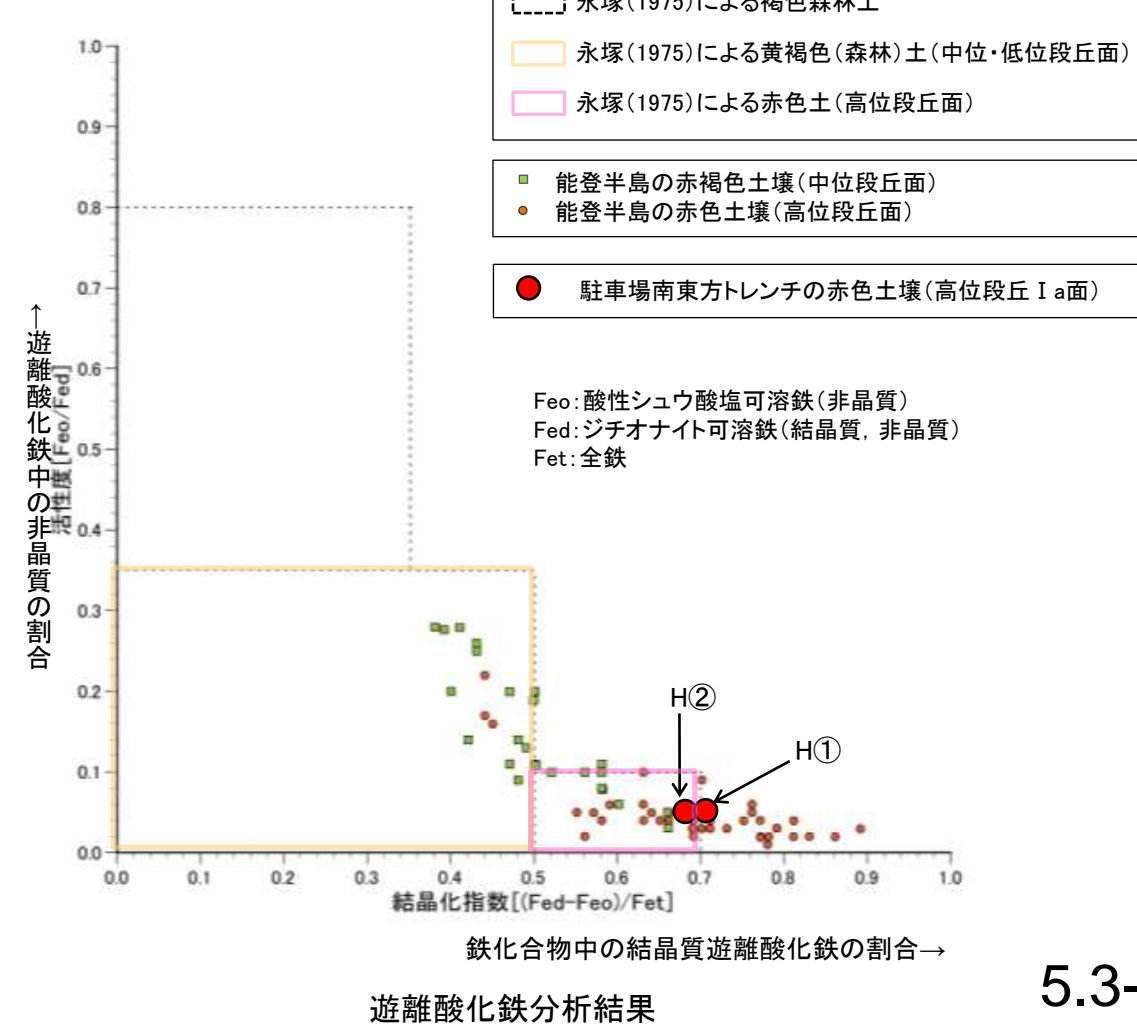
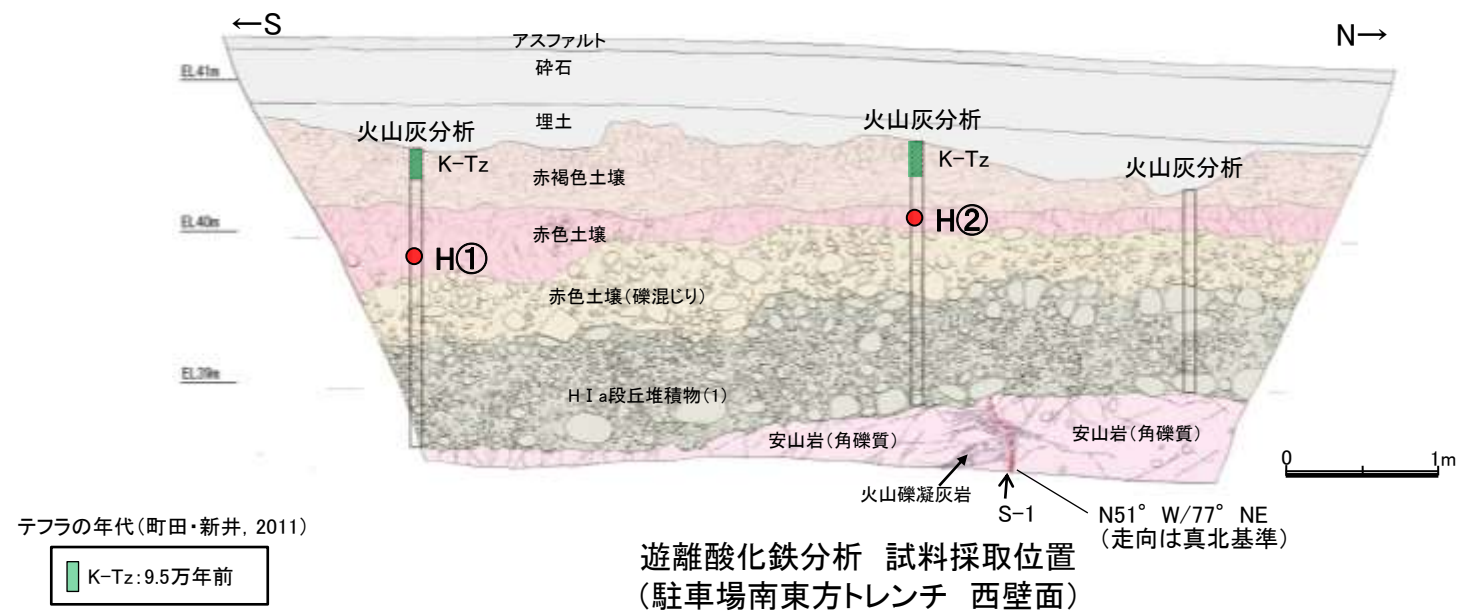
位置図



遊離酸化鉄分析結果 えん堤左岸トレーニチ



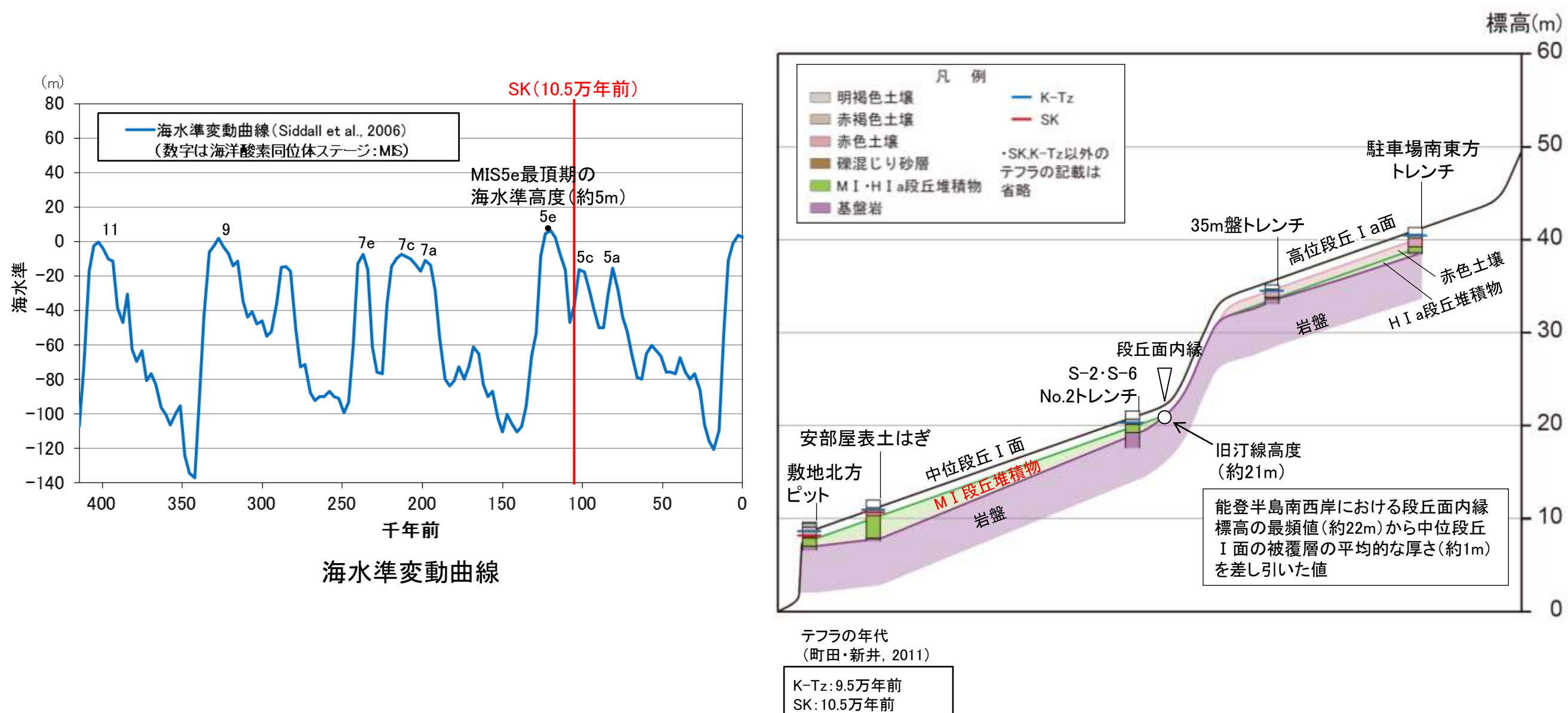
遊離酸化鉄分析結果 駐車場南東方トレンチ



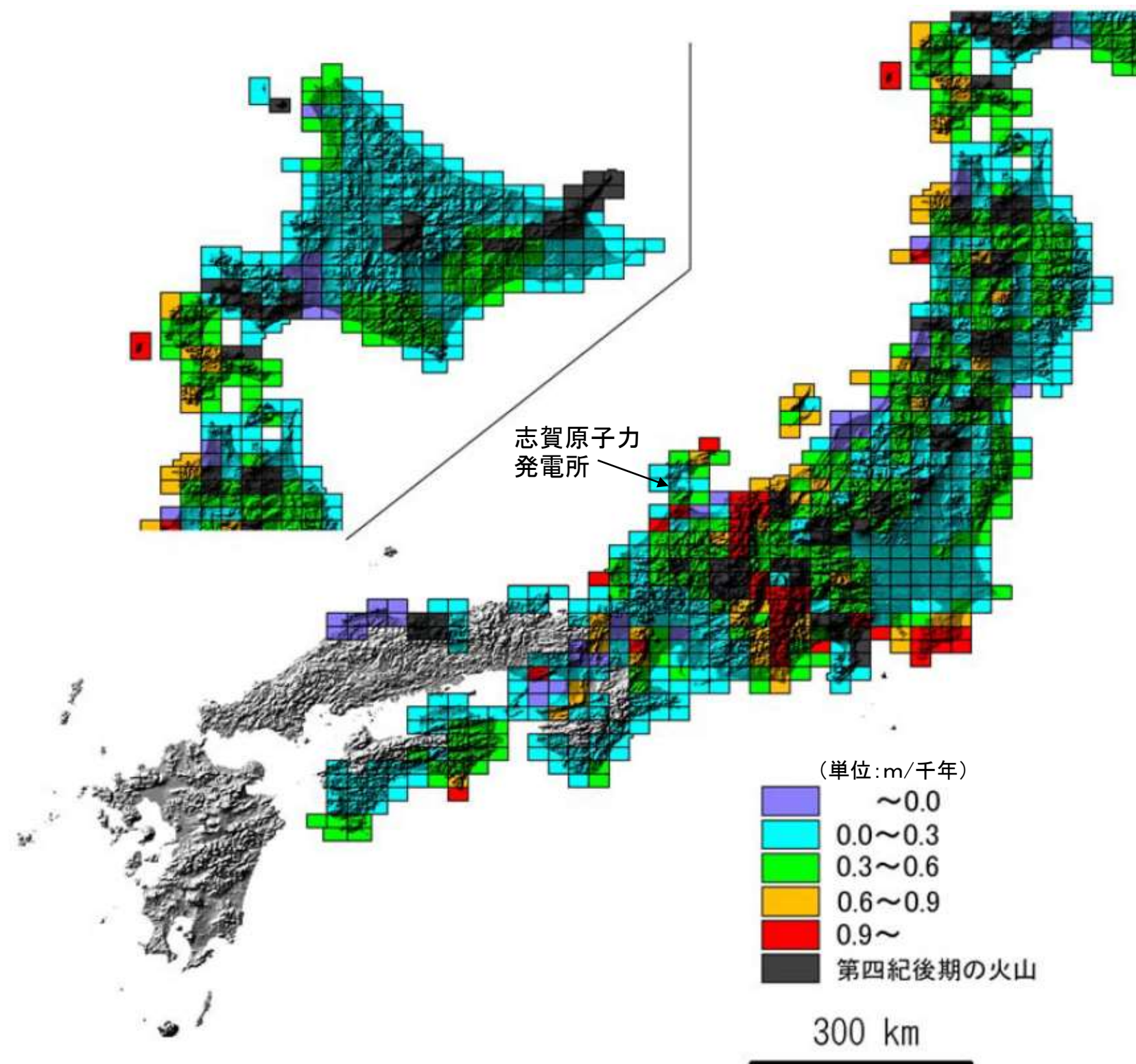
(4) H I a段丘堆積物の堆積年代に関する海水準変動曲線と能登半島南西岸の隆起速度を用いた検討

能登半島南西岸の地盤の隆起速度

- 敷地を含む能登半島南西岸の地盤の隆起速度について、中位段丘 I 面の旧汀線高度と形成年代を用いて推定した。
- M I 段丘堆積物は、海成堆積物であることから、中位段丘 I 面形成時の高海面期に堆積したものであり、段丘面前縁において被覆層である赤褐色土壌の下部にSK(10.5万年前;町田・新井, 2011)が確認されたことから、SK降灰直前の高海面期であるMIS5eに堆積したと判断できる。
- MIS5eの最頂期(約12.3万年前; Lisiecki and Raymo, 2005)の海水準高度は約5mであるのに対し、半島南西岸では旧汀線は約21mに分布する。この差(約16m)が、約12.3万年間の半島南西岸の地盤の隆起量(平均隆起速度: 約0.13m/千年)を示す。
- なお、藤原ほか(2005)によると、能登半島南西岸における地盤の隆起速度は、0.0~0.3m/千年とされる(次頁)。



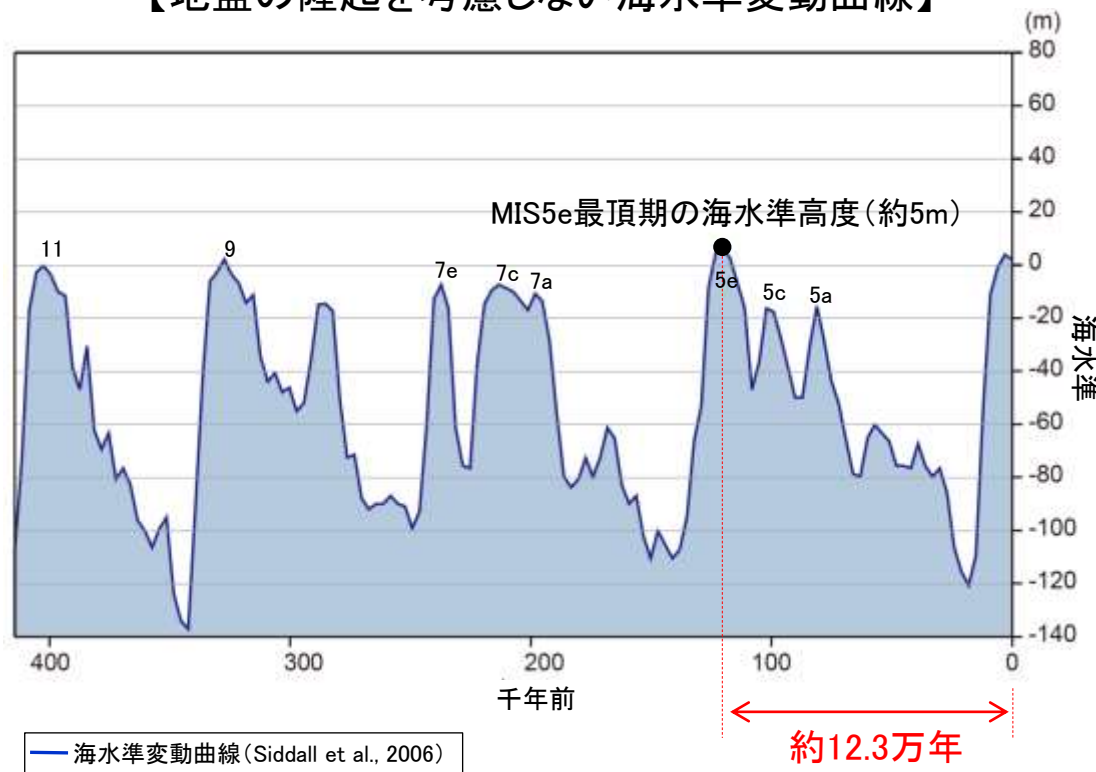
【日本各地の最近10万年間の隆起速度分布】



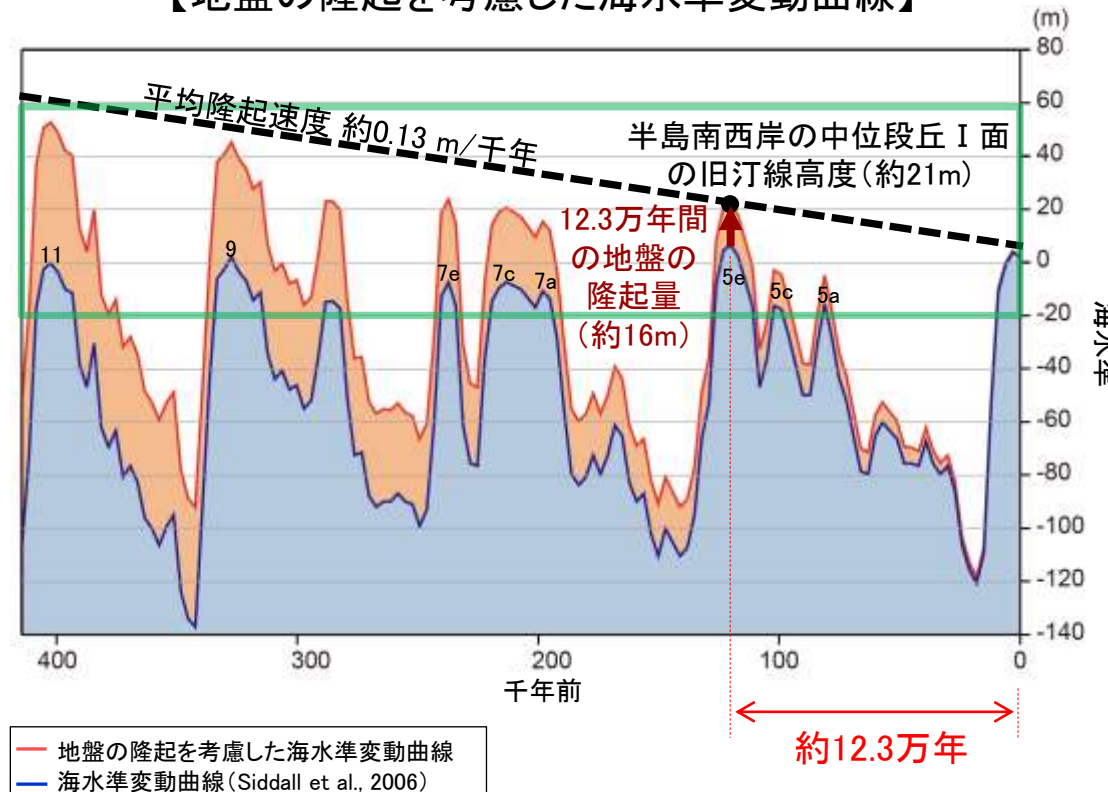
能登半島南西岸の地盤の隆起速度を考慮した海水準変動曲線

- 中位段丘Ⅰ面の一つ上位に分布する高位段丘Ⅰa面を構成するH I a段丘堆積物については、それを覆う土壌にK-Tz(約9.5万年前)より古いテフラが分布しないことから、その堆積時期に関して、過去の海水準高度との比較に基づく検討が必要となる。
- よって、半島南西岸における地盤の平均隆起速度(約0.13m/千年)を考慮した海水準変動曲線について、下記のとおり推定した。

【地盤の隆起を考慮しない海水準変動曲線】

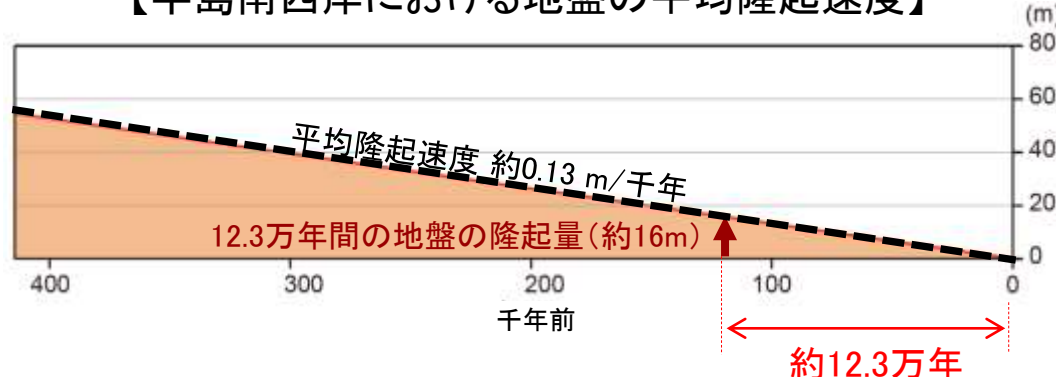


【地盤の隆起を考慮した海水準変動曲線】

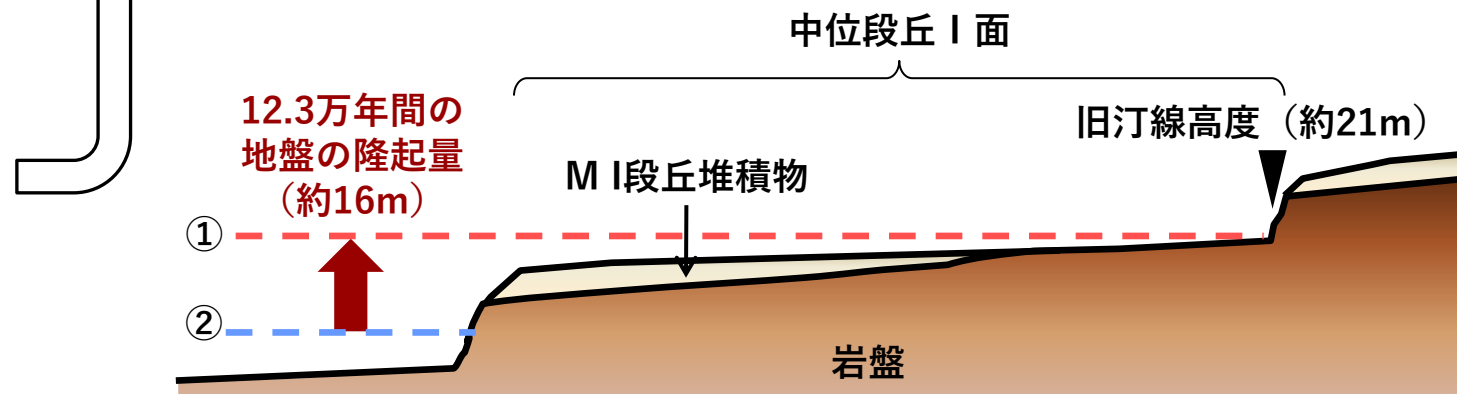


次頁左図
の範囲

【半島南西岸における地盤の平均隆起速度】

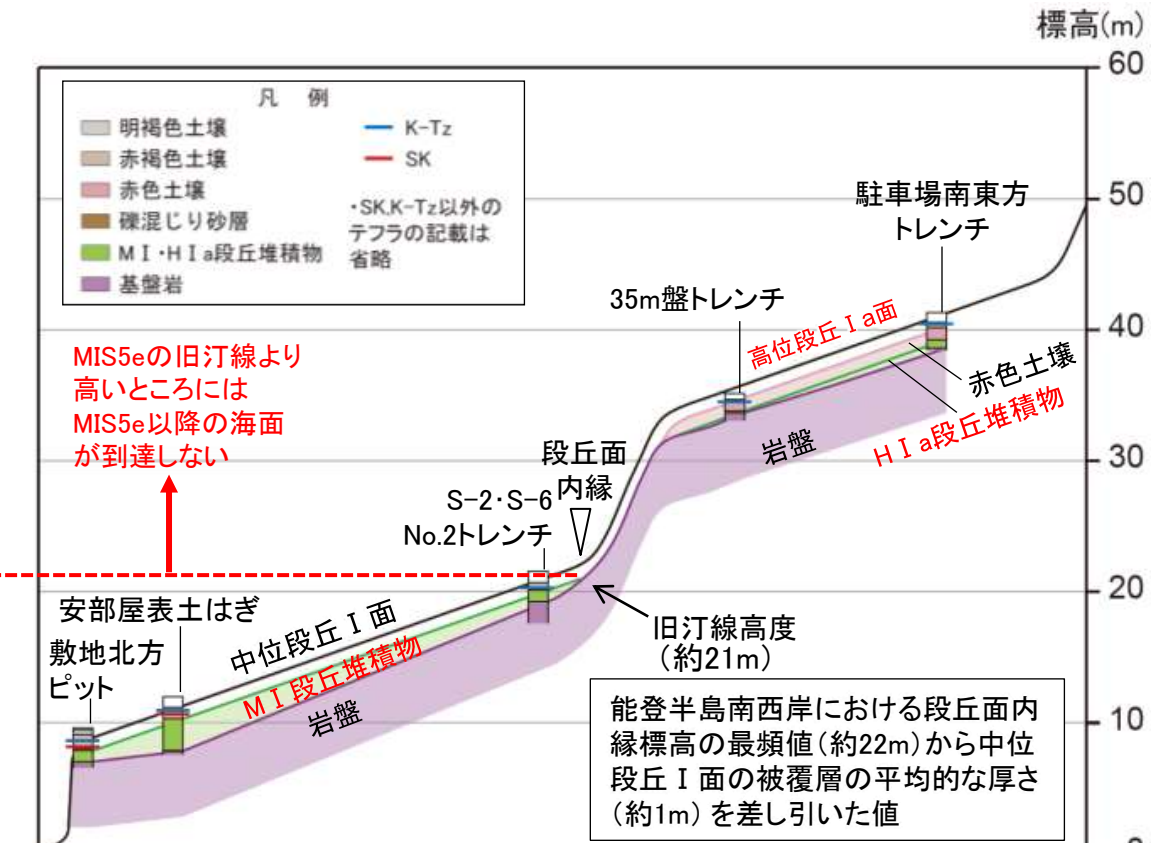
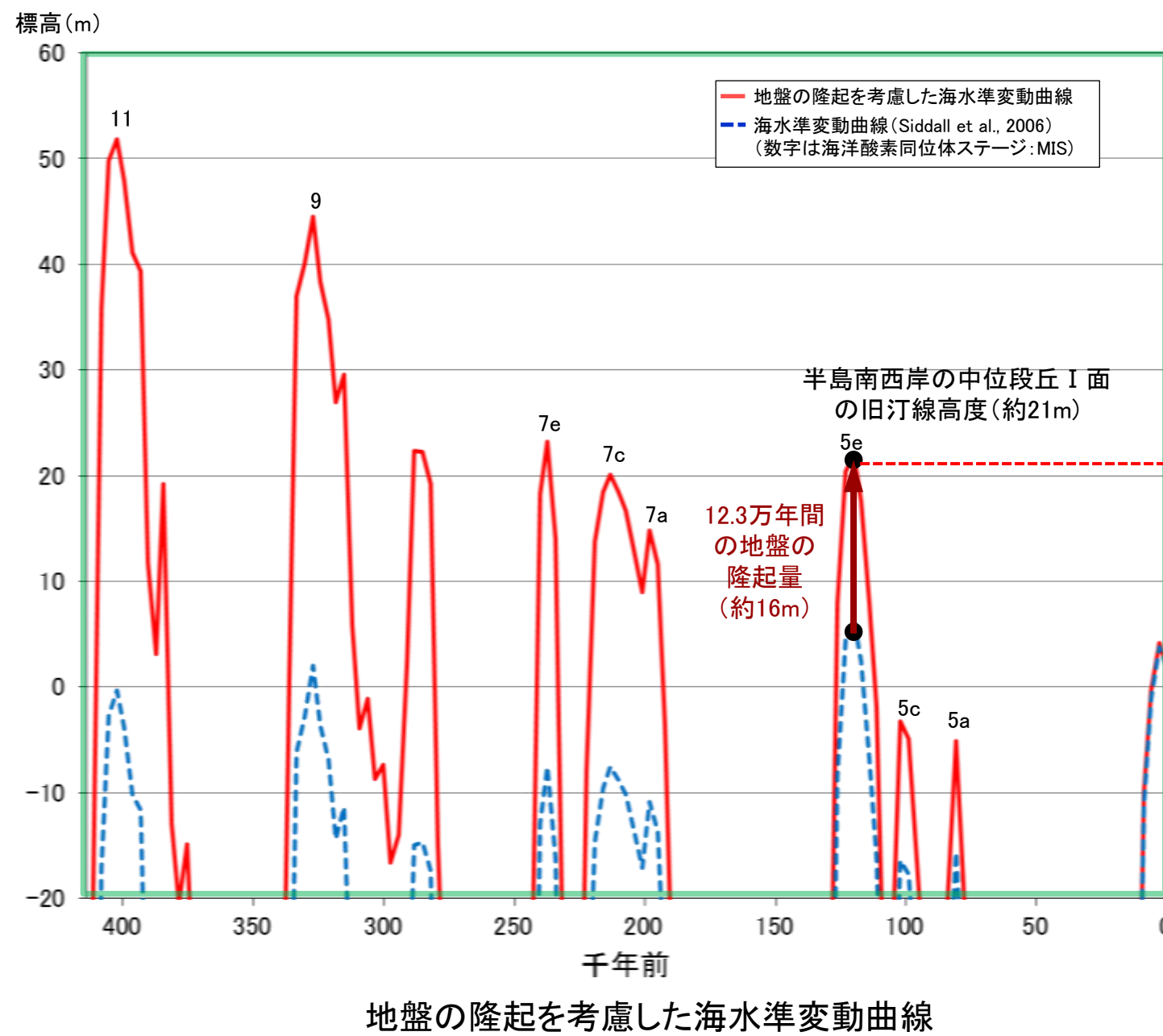


$$\text{平均隆起速度} = 16\text{m} \div 12.3\text{万年} = 0.13\text{m/千年}$$



H I a段丘堆積物の堆積年代

○能登半島南西岸における地盤の平均隆起速度(約0.13m/千年)を考慮した海水準変動曲線によれば、高位段丘 I a面を構成するH I a段丘堆積物は、MIS5e(約12~13万年前)より古い高海面期に堆積し、MIS5e以降の海面が到達できない標高まで隆起したため、侵食されずに保存されたものである。



半島南西岸の段丘面の模式断面図

(5) 古期斜面堆積物の被覆層

(参考)古期斜面堆積物の被覆層

- 古期斜面堆積物と、M I , H I a段丘堆積物の被覆層を比較した。
- M I 段丘堆積物(約12~13万年前に堆積)は赤褐色土壌に覆われるが、赤色土壌は認められない。
- H I a段丘堆積物(約12~13万年前より古い高海面期に堆積)は赤色土壌、赤褐色土壌に覆われる。
- 古期斜面堆積物は、H I a段丘堆積物と同様に赤色土壌、赤褐色土壌に覆われる。

M I , H I a段丘堆積物、古期斜面堆積物の被覆層の比較

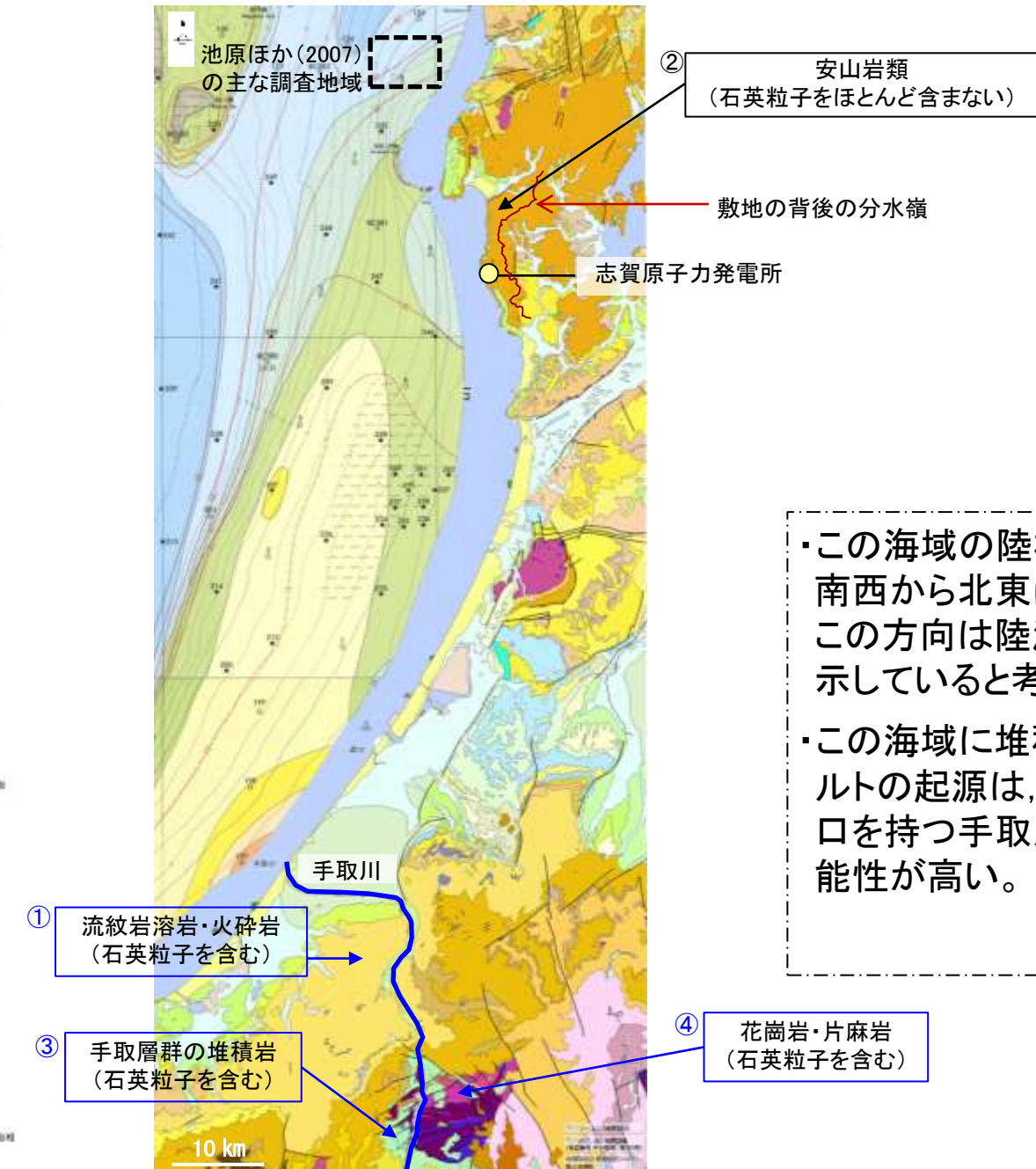
| | M I 段丘堆積物の被覆層 (P.5.3-1-5, 6, 10, 40) | H I a段丘堆積物の被覆層 (P.5.3-1-48, 55) | 古期斜面堆積物の被覆層 (P.5.3-1-70) |
|-----------|--|---|---|
| 赤褐色 土壌 | <ul style="list-style-type: none"> ・K-Tzを含む ・段丘面前縁付近において下部にSKを含む ・土壌構造として不明瞭なトラ斑(斑紋)を呈することがある | <ul style="list-style-type: none"> ・K-Tzを含む ・土壌構造として不明瞭なトラ斑(斑紋)を呈する | <ul style="list-style-type: none"> ・K-Tzを含む ・土壌構造として不明瞭なトラ斑(斑紋)を呈する |
| 赤色 土壌 | | <ul style="list-style-type: none"> ・赤褐色土壌より赤みが強く、土壌構造として明瞭なトラ斑(斑紋)を呈する | <ul style="list-style-type: none"> ・赤褐色土壌より赤みが強く、土壌構造として明瞭なトラ斑(斑紋)を呈する |

えん堤左岸トレンチの堆積物も同様の被覆層
(赤褐色土壠・赤色土壠)に覆われる(P.5.3-1-62)。

(6) 石英粒子の起源

(参考)石英粒子の起源

- 手取川沖～能登半島西方沖の表層堆積図(産業技術総合研究所「地質図navi」)によれば、堆積物が南西から北東に向かって細粒化する傾向が認められ、敷地の沖合では砂サイズの粒子が分布する。
- 池原ほか(2007)によれば、この堆積物の細粒化は、手取川などの河川起源の陸源粒子の輸送方向を示していると考えられる。
- 陸域の地質図(産業技術総合研究所「地質図navi」)によれば、手取川沿いには、石英を含む岩石が広く分布している。また、敷地の内陸側には、別所岳安山岩類の安山岩が広く分布するが、この安山岩には石英粒子はほとんど含まれない(P.2.4-2-3, P.2.4-2-21)。
- 以上より、敷地に認められる石英粒子は、手取川などの河川を起源とし、沿岸流により運ばれたものと考えられる。



・この海域の陸棚上の表層堆積物は南西から北東に向かって細粒化し、この方向は陸源粒子の輸送方向を示していると考えられる。

・この海域に堆積している完新世のシルトの起源は、本海域より南西に河口を持つ手取川などの河川である可能性が高い。

池原ほか(2007)

海洋の表層堆積図及び陸域の地質図
(産業技術総合研究所「地質図navi」より引用、一部加筆)

(7) 碓種及び礫の形状の計測データ

礫種及び礫の形状の計測データ 一安部屋表土はぎ一

| 試料No. | 礫種 | よこ置き(ab面) | | | | | たて置き(ac面) | | | | | | |
|-------|-----|---------------|----------------|--------------------------|-------------|----------------------|-----------------|---------------|---------------|--------------------------|-------------|----------------------|----------------|
| | | 長径(a) (cm) | 中間径(b) (cm) | 面積 (cm ²) | 周囲長 (cm) | 真円度 (Circularity) | 中間径長径比 (b/a) | 長径(a) (cm) | 短径(c) (cm) | 面積 (cm ²) | 周囲長 (cm) | 真円度 (Circularity) | 短径長径比 (c/a) |
| 1 | 安山岩 | 8.894 | 4.439 | 31.008 | 22.709 | 0.756 | 0.499 | 8.934 | 2.118 | 14.858 | 20.230 | 0.456 | 0.237 |
| 2 | 安山岩 | 6.759 | 5.731 | 30.424 | 20.785 | 0.885 | 0.848 | 6.914 | 3.786 | 20.558 | 18.145 | 0.785 | 0.548 |
| 3 | 安山岩 | 7.084 | 5.195 | 28.904 | 20.738 | 0.845 | 0.733 | 7.292 | 2.865 | 16.406 | 17.419 | 0.679 | 0.393 |
| 4 | 安山岩 | 8.556 | 5.307 | 35.661 | 23.513 | 0.811 | 0.620 | 8.567 | 3.029 | 20.378 | 20.315 | 0.620 | 0.354 |
| 5 | 安山岩 | 7.117 | 4.882 | 27.290 | 20.013 | 0.856 | 0.686 | 7.327 | 3.126 | 17.991 | 17.716 | 0.720 | 0.427 |
| 6 | 安山岩 | 8.606 | 5.380 | 36.363 | 24.223 | 0.779 | 0.625 | 8.717 | 3.840 | 26.286 | 21.982 | 0.684 | 0.441 |
| 7 | 安山岩 | 9.508 | 4.998 | 37.322 | 24.723 | 0.767 | 0.526 | 9.461 | 3.945 | 29.314 | 23.003 | 0.696 | 0.417 |
| 8 | 安山岩 | 10.509 | 4.039 | 33.342 | 24.843 | 0.679 | 0.384 | 10.679 | 2.939 | 24.652 | 23.759 | 0.549 | 0.275 |
| 9 | 安山岩 | 8.618 | 5.237 | 35.449 | 23.448 | 0.810 | 0.608 | 8.914 | 2.815 | 19.710 | 20.446 | 0.593 | 0.316 |
| 10 | 安山岩 | 8.952 | 5.214 | 36.659 | 24.172 | 0.788 | 0.582 | 8.951 | 4.849 | 34.093 | 23.780 | 0.758 | 0.542 |
| 11 | 安山岩 | 11.234 | 6.971 | 61.510 | 32.340 | 0.739 | 0.621 | 11.646 | 4.388 | 40.134 | 29.676 | 0.573 | 0.377 |
| 12 | 安山岩 | 7.716 | 5.361 | 32.491 | 22.769 | 0.788 | 0.695 | 8.168 | 1.848 | 11.855 | 17.655 | 0.478 | 0.226 |
| 13 | 安山岩 | 6.964 | 5.135 | 28.088 | 20.559 | 0.835 | 0.737 | 7.314 | 3.476 | 19.967 | 18.632 | 0.723 | 0.475 |
| 14 | 安山岩 | 6.297 | 5.411 | 26.759 | 19.579 | 0.877 | 0.859 | 6.437 | 2.869 | 14.504 | 15.881 | 0.723 | 0.446 |
| 15 | 安山岩 | 7.954 | 4.522 | 28.246 | 21.542 | 0.765 | 0.569 | 8.282 | 2.978 | 19.371 | 19.953 | 0.611 | 0.360 |
| 16 | 安山岩 | 6.679 | 5.427 | 28.469 | 20.768 | 0.829 | 0.813 | 7.315 | 3.399 | 19.528 | 18.609 | 0.709 | 0.465 |
| 17 | 安山岩 | 7.157 | 4.918 | 27.646 | 21.912 | 0.724 | 0.687 | 7.064 | 3.045 | 16.895 | 18.931 | 0.592 | 0.431 |
| 18 | 安山岩 | 5.998 | 5.571 | 26.243 | 19.403 | 0.876 | 0.929 | 6.161 | 2.452 | 11.863 | 15.153 | 0.649 | 0.398 |
| 19 | 安山岩 | 7.132 | 4.403 | 24.666 | 19.444 | 0.820 | 0.617 | 7.243 | 3.341 | 19.008 | 17.964 | 0.740 | 0.461 |
| 20 | 安山岩 | 8.014 | 3.844 | 24.199 | 20.633 | 0.714 | 0.480 | 7.969 | 3.209 | 20.083 | 19.369 | 0.673 | 0.403 |
| 21 | 安山岩 | 7.295 | 4.358 | 24.973 | 19.842 | 0.797 | 0.597 | 7.427 | 3.136 | 18.291 | 18.298 | 0.687 | 0.422 |
| 22 | 安山岩 | 6.578 | 4.277 | 22.096 | 18.317 | 0.828 | 0.650 | 6.648 | 3.355 | 17.519 | 17.080 | 0.755 | 0.505 |
| 23 | 安山岩 | 5.721 | 4.452 | 20.004 | 17.015 | 0.868 | 0.778 | 5.794 | 3.799 | 17.288 | 16.062 | 0.842 | 0.656 |
| 24 | 安山岩 | 7.371 | 4.622 | 26.761 | 20.369 | 0.811 | 0.627 | 7.532 | 3.275 | 19.372 | 18.582 | 0.705 | 0.435 |
| 25 | 安山岩 | 6.066 | 4.492 | 21.399 | 17.799 | 0.849 | 0.741 | 6.306 | 3.230 | 15.996 | 16.543 | 0.734 | 0.512 |
| 26 | 安山岩 | 6.446 | 4.525 | 22.909 | 18.560 | 0.836 | 0.702 | 6.516 | 3.142 | 16.079 | 16.820 | 0.714 | 0.482 |
| 27 | 安山岩 | 6.747 | 5.073 | 26.884 | 19.723 | 0.868 | 0.752 | 7.049 | 1.838 | 10.178 | 15.377 | 0.541 | 0.261 |
| 28 | 安山岩 | 6.122 | 4.789 | 23.028 | 18.270 | 0.867 | 0.782 | 6.443 | 2.111 | 10.680 | 14.896 | 0.605 | 0.328 |
| 29 | 安山岩 | 6.083 | 4.629 | 22.113 | 17.989 | 0.859 | 0.761 | 6.220 | 3.160 | 15.437 | 16.004 | 0.757 | 0.508 |
| 30 | 安山岩 | 5.721 | 4.575 | 20.554 | 17.397 | 0.853 | 0.800 | 5.791 | 3.083 | 14.023 | 15.364 | 0.746 | 0.532 |
| 31 | 安山岩 | 6.171 | 4.075 | 19.749 | 17.199 | 0.839 | 0.660 | 6.320 | 2.472 | 12.269 | 15.156 | 0.671 | 0.391 |
| 32 | 安山岩 | 6.426 | 4.153 | 20.963 | 17.977 | 0.815 | 0.646 | 6.570 | 2.201 | 11.359 | 15.296 | 0.610 | 0.335 |
| 33 | 安山岩 | 5.747 | 5.051 | 22.798 | 18.169 | 0.868 | 0.879 | 5.919 | 3.099 | 14.408 | 15.373 | 0.766 | 0.524 |
| 34 | 安山岩 | 6.259 | 4.329 | 21.279 | 18.186 | 0.809 | 0.692 | 6.467 | 2.586 | 13.136 | 15.810 | 0.660 | 0.400 |
| 35 | 安山岩 | 6.058 | 3.989 | 18.979 | 16.973 | 0.828 | 0.658 | 6.221 | 3.159 | 15.438 | 16.085 | 0.750 | 0.508 |
| 36 | 安山岩 | 6.655 | 3.608 | 18.861 | 17.460 | 0.777 | 0.542 | 6.738 | 3.174 | 16.795 | 17.253 | 0.709 | 0.471 |
| 37 | 安山岩 | 5.298 | 4.653 | 19.360 | 16.675 | 0.875 | 0.878 | 5.572 | 2.165 | 9.474 | 13.275 | 0.676 | 0.389 |
| 38 | 安山岩 | 5.981 | 4.341 | 20.394 | 17.557 | 0.831 | 0.726 | 6.202 | 2.632 | 12.818 | 15.442 | 0.675 | 0.424 |
| 39 | 安山岩 | 5.368 | 4.364 | 18.399 | 16.276 | 0.873 | 0.813 | 5.392 | 2.839 | 12.023 | 13.966 | 0.775 | 0.527 |
| 40 | 安山岩 | 4.747 | 4.408 | 16.433 | 15.237 | 0.889 | 0.929 | 4.725 | 3.520 | 13.065 | 13.779 | 0.865 | 0.745 |
| 41 | 安山岩 | 5.973 | 3.729 | 17.491 | 16.407 | 0.816 | 0.624 | 6.057 | 2.414 | 11.483 | 14.636 | 0.674 | 0.399 |
| 42 | 安山岩 | 5.300 | 3.999 | 16.649 | 16.156 | 0.802 | 0.755 | 5.939 | 2.087 | 9.734 | 13.972 | 0.627 | 0.351 |
| 43 | 安山岩 | 6.089 | 4.177 | 19.977 | 17.568 | 0.813 | 0.686 | 6.284 | 2.182 | 10.768 | 14.773 | 0.620 | 0.347 |
| 44 | 安山岩 | 5.205 | 3.980 | 16.272 | 15.720 | 0.827 | 0.765 | 5.193 | 3.736 | 15.236 | 15.554 | 0.791 | 0.719 |
| 45 | 安山岩 | 5.215 | 3.275 | 13.414 | 14.546 | 0.797 | 0.628 | 5.157 | 2.486 | 10.068 | 13.156 | 0.731 | 0.482 |
| 46 | 安山岩 | 5.583 | 3.500 | 15.346 | 15.450 | 0.808 | 0.627 | 5.603 | 2.636 | 11.600 | 14.251 | 0.718 | 0.470 |
| 47 | 安山岩 | 5.496 | 4.009 | 17.304 | 16.165 | 0.832 | 0.729 | 5.672 | 1.996 | 8.894 | 13.583 | 0.606 | 0.352 |
| 48 | 安山岩 | 6.323 | 2.634 | 13.083 | 16.124 | 0.632 | 0.417 | 6.679 | 3.125 | 16.392 | 16.814 | 0.729 | 0.468 |
| 49 | 安山岩 | 5.724 | 4.021 | 18.078 | 16.407 | 0.844 | 0.702 | 5.824 | 2.499 | 11.432 | 14.250 | 0.707 | 0.429 |
| 50 | 安山岩 | 6.047 | 3.950 | 18.761 | 16.887 | 0.827 | 0.653 | 6.159 | 2.309 | 11.171 | 14.889 | 0.633 | 0.375 |
| 51 | 安山岩 | 5.387 | 3.927 | 16.615 | 15.587 | 0.859 | 0.729 | 5.443 | 2.792 | 11.937 | 13.921 | 0.774 | 0.513 |
| 52 | 安山岩 | 5.110 | 3.859 | 15.486 | 15.979 | 0.762 | 0.755 | 4.995 | 3.111 | 12.206 | 14.290 | 0.751 | 0.623 |
| 53 | 安山岩 | 6.204 | 3.114 | 15.171 | 15.903 | 0.754 | 0.502 | 6.242 | 2.879 | 14.114 | 15.484 | 0.740 | 0.461 |
| 54 | 安山岩 | 5.839 | 3.681 | 16.881 | 16.132 | 0.815 | 0.630 | 6.169 | 2.328 | 11.281 | 14.739 | 0.653 | 0.377 |
| 55 | 安山岩 | 6.001 | 3.207 | 15.117 | 16.134 | 0.730 | 0.534 | 6.271 | 2.387 | 11.759 | 15.165 | 0.643 | 0.381 |
| 56 | 安山岩 | 5.671 | 3.185 | 14.186 | 15.667 | 0. | | | | | | | |

礫の形状の計測データ 一敷地前面海岸(B地点)一

| 試料 No. | よこ置き(ab面) | | | | | たて置き(ac面) | | | | | | |
|-----------|---------------|----------------|--------------------------|-------------|----------------------|-----------------|---------------|---------------|--------------------------|-------------|----------------------|----------------|
| | 長径(a) (cm) | 中間径(b) (cm) | 面積 (cm ²) | 周囲長 (cm) | 真円度 (Circularity) | 中間径長径比 (b/a) | 長径(a) (cm) | 短径(c) (cm) | 面積 (cm ²) | 周囲長 (cm) | 真円度 (Circularity) | 短径長径比 (c/a) |
| 1 | 31.874 | 20.686 | 517.849 | 94.845 | 0.723 | 0.649 | 28.231 | 15.696 | 348.014 | 83.750 | 0.624 | 0.556 |
| 2 | 23.453 | 19.515 | 359.473 | 75.238 | 0.798 | 0.832 | 27.094 | 12.874 | 273.960 | 69.706 | 0.709 | 0.475 |
| 3 | 23.079 | 20.398 | 369.736 | 75.034 | 0.825 | 0.884 | 22.110 | 15.722 | 273.008 | 65.634 | 0.796 | 0.711 |
| 4 | 18.876 | 17.623 | 261.263 | 60.918 | 0.885 | 0.934 | 20.041 | 11.403 | 179.476 | 53.390 | 0.791 | 0.569 |
| 5 | 27.665 | 18.344 | 398.586 | 84.695 | 0.698 | 0.663 | 25.561 | 13.982 | 280.708 | 72.972 | 0.662 | 0.547 |
| 6 | 16.166 | 9.985 | 126.773 | 46.138 | 0.748 | 0.618 | 13.603 | 10.066 | 107.548 | 42.497 | 0.748 | 0.740 |
| 7 | 18.460 | 16.826 | 243.963 | 62.029 | 0.797 | 0.911 | 18.754 | 10.043 | 147.927 | 52.053 | 0.686 | 0.536 |
| 8 | 27.859 | 21.434 | 468.976 | 83.301 | 0.849 | 0.769 | 28.390 | 15.641 | 348.756 | 75.860 | 0.762 | 0.551 |
| 9 | 19.754 | 14.907 | 231.275 | 61.442 | 0.770 | 0.755 | 20.491 | 7.581 | 122.009 | 48.833 | 0.643 | 0.370 |
| 10 | 18.497 | 13.467 | 195.637 | 54.851 | 0.817 | 0.728 | 18.646 | 11.638 | 170.431 | 53.284 | 0.754 | 0.624 |
| 11 | 24.140 | 16.762 | 317.811 | 75.683 | 0.697 | 0.694 | 22.386 | 16.851 | 296.259 | 75.359 | 0.656 | 0.753 |
| 12 | 17.692 | 12.728 | 176.864 | 51.939 | 0.824 | 0.719 | 18.179 | 9.371 | 133.796 | 47.087 | 0.758 | 0.515 |
| 13 | 16.104 | 10.334 | 130.702 | 46.999 | 0.744 | 0.642 | 15.750 | 9.363 | 115.816 | 45.882 | 0.691 | 0.594 |
| 14 | 16.721 | 12.815 | 168.291 | 51.250 | 0.805 | 0.766 | 17.293 | 8.430 | 114.494 | 44.338 | 0.732 | 0.487 |
| 15 | 13.791 | 11.734 | 127.095 | 46.623 | 0.735 | 0.851 | 13.617 | 9.665 | 103.359 | 42.199 | 0.729 | 0.710 |
| 16 | 17.134 | 15.294 | 205.814 | 56.542 | 0.809 | 0.893 | 18.269 | 13.026 | 186.899 | 55.384 | 0.766 | 0.713 |
| 17 | 17.537 | 13.981 | 192.566 | 53.408 | 0.848 | 0.797 | 18.095 | 7.431 | 105.609 | 43.889 | 0.689 | 0.411 |
| 18 | 13.652 | 10.676 | 114.471 | 43.749 | 0.752 | 0.782 | 14.248 | 8.256 | 92.393 | 39.811 | 0.733 | 0.579 |
| 19 | 15.730 | 8.038 | 99.301 | 42.016 | 0.707 | 0.511 | 16.008 | 7.135 | 89.709 | 40.949 | 0.672 | 0.446 |
| 20 | 14.877 | 10.293 | 120.269 | 44.528 | 0.762 | 0.692 | 15.440 | 5.993 | 72.674 | 37.176 | 0.661 | 0.388 |
| 21 | 14.002 | 12.309 | 135.362 | 44.958 | 0.842 | 0.879 | 14.459 | 6.116 | 69.451 | 36.324 | 0.661 | 0.423 |
| 22 | 18.508 | 12.267 | 178.318 | 54.965 | 0.742 | 0.663 | 19.717 | 5.049 | 78.188 | 44.080 | 0.506 | 0.256 |
| 23 | 22.864 | 12.128 | 217.779 | 63.524 | 0.678 | 0.530 | 23.356 | 5.286 | 96.956 | 52.305 | 0.445 | 0.226 |
| 24 | 16.521 | 9.865 | 128.008 | 50.345 | 0.635 | 0.597 | 17.146 | 9.224 | 124.220 | 49.745 | 0.631 | 0.538 |
| 25 | 15.907 | 10.673 | 133.338 | 48.025 | 0.727 | 0.671 | 18.080 | 10.104 | 143.469 | 51.977 | 0.667 | 0.559 |
| 26 | 14.788 | 10.450 | 121.365 | 42.880 | 0.829 | 0.707 | 15.810 | 6.795 | 84.378 | 38.812 | 0.704 | 0.430 |
| 27 | 18.599 | 12.915 | 188.648 | 56.394 | 0.745 | 0.694 | 18.472 | 10.897 | 158.093 | 52.805 | 0.712 | 0.590 |
| 28 | 13.806 | 11.802 | 127.968 | 44.280 | 0.820 | 0.855 | 14.117 | 8.782 | 97.373 | 39.256 | 0.794 | 0.622 |
| 29 | 12.928 | 10.737 | 109.026 | 39.506 | 0.878 | 0.831 | 13.504 | 6.028 | 63.931 | 33.519 | 0.715 | 0.446 |
| 30 | 13.244 | 8.964 | 93.239 | 37.462 | 0.835 | 0.677 | 13.478 | 8.008 | 84.769 | 36.441 | 0.802 | 0.594 |
| 31 | 15.327 | 8.103 | 97.546 | 42.078 | 0.692 | 0.529 | 16.013 | 4.310 | 54.206 | 37.502 | 0.484 | 0.269 |
| 32 | 12.211 | 8.244 | 79.063 | 36.754 | 0.735 | 0.675 | 11.826 | 6.094 | 56.603 | 32.218 | 0.685 | 0.515 |
| 33 | 12.675 | 11.649 | 115.965 | 41.484 | 0.847 | 0.919 | 13.441 | 6.212 | 65.576 | 34.068 | 0.710 | 0.462 |
| 34 | 12.704 | 7.627 | 76.102 | 36.164 | 0.731 | 0.600 | 13.132 | 7.074 | 72.963 | 35.767 | 0.717 | 0.539 |
| 35 | 12.803 | 9.880 | 99.351 | 37.990 | 0.865 | 0.772 | 13.107 | 7.001 | 72.075 | 34.162 | 0.776 | 0.534 |
| 36 | 14.752 | 11.345 | 131.438 | 46.933 | 0.750 | 0.769 | 14.755 | 10.882 | 126.111 | 46.329 | 0.738 | 0.738 |
| 37 | 14.081 | 11.726 | 129.681 | 44.919 | 0.808 | 0.833 | 13.919 | 8.896 | 97.257 | 40.132 | 0.759 | 0.639 |
| 38 | 14.444 | 9.409 | 106.746 | 42.459 | 0.744 | 0.651 | 13.954 | 9.343 | 102.395 | 41.814 | 0.736 | 0.670 |
| 39 | 16.531 | 10.540 | 136.839 | 48.330 | 0.736 | 0.638 | 16.296 | 6.785 | 86.844 | 42.171 | 0.614 | 0.416 |
| 40 | 12.666 | 11.625 | 115.652 | 41.581 | 0.841 | 0.918 | 12.388 | 9.503 | 92.465 | 37.330 | 0.834 | 0.767 |
| 41 | 12.982 | 9.456 | 96.418 | 39.382 | 0.781 | 0.728 | 13.012 | 8.266 | 84.478 | 37.068 | 0.773 | 0.635 |
| 42 | 10.469 | 9.376 | 77.089 | 33.153 | 0.881 | 0.896 | 10.819 | 5.996 | 50.951 | 28.534 | 0.786 | 0.554 |
| 43 | 11.663 | 8.730 | 79.964 | 35.859 | 0.781 | 0.749 | 12.164 | 5.265 | 50.299 | 31.927 | 0.620 | 0.433 |
| 44 | 12.081 | 10.538 | 99.992 | 40.269 | 0.775 | 0.872 | 11.499 | 7.042 | 63.598 | 35.753 | 0.625 | 0.612 |
| 45 | 16.519 | 9.580 | 124.286 | 49.404 | 0.640 | 0.580 | 17.925 | 4.578 | 64.446 | 41.893 | 0.461 | 0.255 |
| 46 | 16.296 | 7.282 | 93.200 | 42.237 | 0.657 | 0.447 | 16.663 | 6.556 | 85.795 | 41.642 | 0.622 | 0.393 |
| 47 | 11.701 | 9.845 | 90.469 | 40.290 | 0.700 | 0.841 | 12.212 | 5.477 | 52.528 | 33.148 | 0.601 | 0.448 |
| 48 | 13.563 | 8.117 | 86.463 | 38.134 | 0.747 | 0.598 | 13.372 | 7.856 | 82.505 | 36.699 | 0.770 | 0.587 |
| 49 | 10.784 | 8.319 | 70.457 | 32.311 | 0.848 | 0.771 | 11.203 | 4.435 | 39.018 | 28.404 | 0.608 | 0.396 |
| 50 | 14.089 | 9.601 | 106.238 | 40.666 | 0.807 | 0.681 | 14.394 | 5.511 | 62.299 | 35.540 | 0.620 | 0.383 |
| 51 | 9.925 | 6.342 | 49.434 | 27.725 | 0.808 | 0.639 | 9.663 | 4.773 | 36.221 | 25.009 | 0.728 | 0.494 |
| 52 | 11.159 | 8.587 | 75.258 | 35.126 | 0.766 | 0.770 | 12.174 | 5.757 | 55.043 | 31.271 | 0.707 | 0.473 |
| 53 | 9.183 | 6.803 | 49.066 | 28.681 | 0.750 | 0.741 | 9.863 | 5.570 | 43.150 | 26.974 | 0.745 | 0.565 |
| 54 | 9.624 | 8.802 | 66.532 | 32.105 | 0.811 | 0.915 | 9.456 | 6.575 | 48.828 | 29.158 | 0.722 | 0.695 |
| 55 | 9.193 | 7.124 | 51.437 | 29.607 | 0.737 | 0.775 | 9.864 | 5.953 | 46.116 | 28.169 | 0.730 | 0.603 |
| 56 | 10.648 | 6.695 | 55.994 | 29.986 | 0.783 | 0.629 | 10.733 | 4.074 | 34.338 | 25.867 | 0.645 | 0.380 |
| 57 | 21.871 | 10.970 | 188.444 | 59.375 | 0.672 | 0.502 | 23.010 | 6.241 | 112.784 | 52.534 | 0.514 | 0.271 |
| 58 | 13.474 | 9.033 | 95.591 | 45. | | | | | | | | |

礫種及び礫の形状の計測データ 一敷地前面海岸(C地点)一

第1049回審査会合 机上配布資料1
P.5.3-1-147 再掲

| 試料No. | 礫種 | よこ置き(ab面) | | | | | たて置き(ac面) | | | | | | |
|-------|-----|---------------|----------------|--------------------------|-------------|----------------------|-----------------|---------------|---------------|--------------------------|-------------|----------------------|----------------|
| | | 長径(a) (cm) | 中間径(b) (cm) | 面積 (cm ²) | 周囲長 (cm) | 真円度 (Circularity) | 中間径長径比 (b/a) | 長径(a) (cm) | 短径(c) (cm) | 面積 (cm ²) | 周囲長 (cm) | 真円度 (Circularity) | 短径長径比 (c/a) |
| 1 | 安山岩 | 31.708 | 26.128 | 650.685 | 98.788 | 0.838 | 0.824 | 35.860 | 7.765 | 218.684 | 76.994 | 0.464 | 0.217 |
| 2 | 安山岩 | 29.884 | 20.409 | 479.022 | 89.869 | 0.745 | 0.683 | 32.890 | 13.303 | 343.635 | 88.400 | 0.553 | 0.404 |
| 3 | 安山岩 | 24.093 | 21.555 | 407.878 | 76.953 | 0.866 | 0.895 | 25.273 | 17.400 | 345.381 | 71.476 | 0.850 | 0.688 |
| 4 | 安山岩 | 22.658 | 19.042 | 338.877 | 72.922 | 0.801 | 0.840 | 22.264 | 15.116 | 264.323 | 67.982 | 0.719 | 0.679 |
| 5 | 安山岩 | 23.087 | 16.608 | 301.155 | 70.974 | 0.751 | 0.719 | 25.136 | 9.382 | 185.216 | 60.869 | 0.628 | 0.373 |
| 6 | 安山岩 | 18.934 | 12.722 | 189.180 | 57.062 | 0.730 | 0.672 | 20.402 | 11.891 | 190.526 | 58.343 | 0.703 | 0.583 |
| 7 | 安山岩 | 17.581 | 16.395 | 226.383 | 57.570 | 0.858 | 0.933 | 18.724 | 15.150 | 222.801 | 58.600 | 0.815 | 0.809 |
| 8 | 安山岩 | 19.110 | 12.347 | 185.318 | 56.466 | 0.730 | 0.646 | 19.034 | 5.963 | 89.146 | 48.645 | 0.473 | 0.313 |
| 9 | 安山岩 | 15.222 | 14.001 | 167.390 | 49.741 | 0.850 | 0.920 | 16.958 | 13.493 | 179.699 | 51.980 | 0.836 | 0.796 |
| 10 | 安山岩 | 24.016 | 9.537 | 179.894 | 60.899 | 0.610 | 0.397 | 24.714 | 5.554 | 107.801 | 54.877 | 0.450 | 0.225 |
| 11 | 安山岩 | 16.525 | 7.982 | 103.588 | 43.683 | 0.682 | 0.483 | 16.960 | 7.312 | 97.401 | 43.833 | 0.637 | 0.431 |
| 12 | 安山岩 | 18.661 | 10.865 | 159.245 | 52.769 | 0.719 | 0.582 | 19.746 | 7.290 | 113.060 | 48.832 | 0.596 | 0.369 |
| 13 | 安山岩 | 15.408 | 10.794 | 130.623 | 45.889 | 0.780 | 0.701 | 16.026 | 8.700 | 109.499 | 45.303 | 0.670 | 0.543 |
| 14 | 安山岩 | 16.518 | 9.401 | 121.952 | 45.289 | 0.747 | 0.569 | 16.996 | 5.468 | 72.988 | 40.076 | 0.571 | 0.322 |
| 15 | 安山岩 | 15.145 | 11.051 | 131.454 | 47.562 | 0.730 | 0.730 | 15.154 | 9.721 | 115.699 | 44.904 | 0.721 | 0.641 |
| 16 | 安山岩 | 22.144 | 9.148 | 159.103 | 62.268 | 0.516 | 0.413 | 22.298 | 6.029 | 105.584 | 53.271 | 0.468 | 0.270 |
| 17 | 安山岩 | 20.024 | 14.214 | 223.540 | 60.483 | 0.768 | 0.710 | 20.451 | 8.234 | 132.253 | 52.084 | 0.613 | 0.403 |
| 18 | 安山岩 | 15.803 | 11.134 | 138.191 | 49.328 | 0.714 | 0.705 | 15.630 | 7.828 | 96.097 | 41.950 | 0.686 | 0.501 |
| 19 | 安山岩 | 15.278 | 11.011 | 132.126 | 50.042 | 0.663 | 0.721 | 17.678 | 5.872 | 81.530 | 42.967 | 0.555 | 0.332 |
| 20 | 安山岩 | 15.076 | 10.204 | 120.826 | 43.804 | 0.791 | 0.677 | 14.866 | 10.189 | 118.961 | 44.159 | 0.767 | 0.685 |
| 21 | 安山岩 | 17.596 | 11.444 | 158.159 | 49.000 | 0.828 | 0.650 | 17.814 | 9.008 | 126.023 | 45.662 | 0.760 | 0.506 |
| 22 | 安山岩 | 15.425 | 9.077 | 109.963 | 43.914 | 0.717 | 0.588 | 16.270 | 6.560 | 83.825 | 40.703 | 0.636 | 0.403 |
| 23 | 安山岩 | 14.908 | 11.673 | 136.673 | 47.378 | 0.765 | 0.783 | 15.545 | 6.212 | 75.836 | 39.074 | 0.624 | 0.400 |
| 24 | 安山岩 | 13.781 | 10.399 | 112.553 | 43.584 | 0.745 | 0.755 | 12.495 | 8.689 | 85.265 | 42.058 | 0.606 | 0.695 |
| 25 | 安山岩 | 14.823 | 9.756 | 113.574 | 41.999 | 0.809 | 0.658 | 15.619 | 4.446 | 54.545 | 34.957 | 0.561 | 0.285 |
| 26 | 安山岩 | 10.884 | 9.303 | 79.524 | 34.350 | 0.847 | 0.855 | 10.526 | 7.500 | 62.002 | 32.048 | 0.759 | 0.713 |
| 27 | 安山岩 | 9.591 | 8.072 | 60.807 | 30.389 | 0.827 | 0.842 | 9.339 | 5.138 | 37.689 | 24.943 | 0.761 | 0.550 |
| 28 | 安山岩 | 12.771 | 8.507 | 85.328 | 36.717 | 0.795 | 0.666 | 12.759 | 6.107 | 61.198 | 32.294 | 0.737 | 0.479 |
| 29 | 安山岩 | 12.069 | 9.796 | 92.860 | 38.352 | 0.793 | 0.812 | 11.402 | 6.914 | 61.914 | 32.901 | 0.719 | 0.606 |
| 30 | 安山岩 | 14.173 | 9.856 | 109.711 | 43.244 | 0.737 | 0.695 | 15.912 | 4.779 | 59.728 | 38.065 | 0.518 | 0.300 |
| 31 | 安山岩 | 11.658 | 8.886 | 81.364 | 34.769 | 0.846 | 0.762 | 12.400 | 5.282 | 51.439 | 30.459 | 0.697 | 0.426 |
| 32 | 安山岩 | 18.518 | 8.527 | 124.018 | 47.079 | 0.703 | 0.460 | 18.990 | 4.636 | 69.148 | 42.474 | 0.482 | 0.244 |
| 33 | 安山岩 | 13.022 | 8.772 | 89.710 | 37.965 | 0.782 | 0.674 | 12.322 | 6.589 | 63.764 | 35.986 | 0.619 | 0.535 |
| 34 | 安山岩 | 13.181 | 10.530 | 109.015 | 44.888 | 0.680 | 0.799 | 14.605 | 6.221 | 71.357 | 38.627 | 0.601 | 0.426 |
| 35 | 安山岩 | 12.302 | 10.296 | 99.481 | 39.355 | 0.807 | 0.837 | 12.263 | 5.648 | 54.399 | 32.250 | 0.657 | 0.461 |
| 36 | 安山岩 | 10.543 | 9.313 | 77.113 | 33.375 | 0.870 | 0.883 | 10.476 | 5.166 | 42.503 | 26.535 | 0.759 | 0.493 |
| 37 | 安山岩 | 13.231 | 7.358 | 76.464 | 35.354 | 0.769 | 0.556 | 13.545 | 4.460 | 47.451 | 31.409 | 0.604 | 0.329 |
| 38 | 安山岩 | 14.959 | 6.896 | 81.019 | 38.645 | 0.682 | 0.461 | 15.784 | 3.149 | 39.034 | 34.484 | 0.413 | 0.199 |
| 39 | 安山岩 | 13.689 | 5.465 | 58.752 | 33.721 | 0.649 | 0.399 | 13.838 | 3.013 | 32.741 | 30.028 | 0.456 | 0.218 |
| 40 | 安山岩 | 10.726 | 8.730 | 73.544 | 32.983 | 0.850 | 0.814 | 10.471 | 6.064 | 49.871 | 28.475 | 0.773 | 0.579 |
| 41 | 安山岩 | 9.908 | 8.314 | 64.695 | 30.767 | 0.859 | 0.839 | 10.141 | 5.022 | 40.000 | 25.570 | 0.769 | 0.495 |
| 42 | 安山岩 | 11.708 | 6.873 | 63.203 | 32.769 | 0.740 | 0.587 | 11.656 | 6.206 | 56.813 | 31.065 | 0.740 | 0.532 |
| 43 | 安山岩 | 10.636 | 8.963 | 74.869 | 32.735 | 0.878 | 0.843 | 10.510 | 6.381 | 52.672 | 28.630 | 0.807 | 0.607 |
| 44 | 安山岩 | 10.607 | 8.377 | 69.789 | 32.050 | 0.854 | 0.790 | 10.514 | 5.926 | 48.934 | 27.709 | 0.801 | 0.564 |
| 45 | 安山岩 | 13.012 | 6.191 | 63.273 | 35.168 | 0.643 | 0.476 | 13.352 | 4.130 | 43.308 | 30.983 | 0.567 | 0.309 |
| 46 | 安山岩 | 12.383 | 6.890 | 67.011 | 33.975 | 0.730 | 0.556 | 12.111 | 3.910 | 37.187 | 29.535 | 0.536 | 0.323 |
| 47 | 安山岩 | 11.138 | 6.480 | 56.685 | 32.116 | 0.691 | 0.582 | 11.739 | 4.719 | 43.511 | 29.706 | 0.620 | 0.402 |
| 48 | 安山岩 | 10.293 | 5.929 | 47.931 | 27.509 | 0.796 | 0.576 | 9.839 | 5.343 | 41.288 | 25.837 | 0.777 | 0.543 |
| 49 | 安山岩 | 9.461 | 7.559 | 56.168 | 29.617 | 0.805 | 0.799 | 9.166 | 7.476 | 53.819 | 28.556 | 0.829 | 0.816 |
| 50 | 安山岩 | 9.850 | 7.696 | 59.538 | 31.107 | 0.773 | 0.781 | 10.143 | 4.285 | 34.136 | 26.103 | 0.630 | 0.422 |
| 51 | 安山岩 | 11.486 | 6.030 | 54.395 | 30.637 | 0.728 | 0.525 | 11.827 | 3.220 | 29.909 | 27.135 | 0.510 | 0.272 |
| 52 | 安山岩 | 9.854 | 6.721 | 52.013 | 29.647 | 0.744 | 0.682 | 10.464 | 4.263 | 35.035 | 26.017 | 0.650 | 0.407 |
| 53 | 安山岩 | 10.421 | 8.394 | 68.700 | 31.505 | 0.870 | 0.806 | 10.467 | 4.910 | 40.360 | 26.761 | 0.708 | 0.469 |
| 54 | 安山岩 | 7.719 | 6.072 | 36.811 | 23.362 | 0.848 | 0.787 | 7.829 | 3.829 | 23.547 | 20.156 | 0.728 | 0.489 |
| 55 | 安山岩 | 9.986 | | | | | | | | | | | |

礫の形状の計測データ 一敷地前面海岸(D地点)一

第1049回審査会合 机上配布資料1
P.5.3-1-148 再掲

| 試料 No. | よこ置き(ab面) | | | | | たて置き(ac面) | | | | | | |
|-----------|---------------|----------------|--------------------------|-------------|----------------------|-----------------|---------------|---------------|--------------------------|-------------|----------------------|----------------|
| | 長径(a) (cm) | 中間径(b) (cm) | 面積 (cm ²) | 周囲長 (cm) | 真円度 (Circularity) | 中間径長径比 (b/a) | 長径(a) (cm) | 短径(c) (cm) | 面積 (cm ²) | 周囲長 (cm) | 真円度 (Circularity) | 短径長径比 (c/a) |
| 1 | 32.347 | 17.884 | 454.345 | 94.366 | 0.641 | 0.553 | 38.045 | 10.570 | 315.827 | 90.914 | 0.480 | 0.278 |
| 2 | 25.860 | 16.357 | 332.223 | 72.073 | 0.804 | 0.633 | 26.560 | 12.171 | 253.890 | 66.752 | 0.716 | 0.458 |
| 3 | 25.412 | 16.266 | 324.646 | 71.930 | 0.789 | 0.640 | 25.871 | 11.218 | 227.941 | 64.987 | 0.678 | 0.434 |
| 4 | 22.204 | 15.331 | 267.361 | 63.766 | 0.826 | 0.690 | 22.925 | 11.961 | 215.361 | 60.957 | 0.728 | 0.522 |
| 5 | 20.580 | 17.284 | 279.371 | 64.659 | 0.840 | 0.840 | 21.630 | 10.515 | 178.633 | 56.732 | 0.697 | 0.486 |
| 6 | 21.684 | 13.528 | 230.389 | 67.718 | 0.631 | 0.624 | 22.179 | 13.415 | 233.679 | 64.014 | 0.717 | 0.605 |
| 7 | 24.032 | 20.559 | 388.040 | 77.982 | 0.802 | 0.855 | 24.599 | 16.608 | 320.866 | 73.251 | 0.751 | 0.675 |
| 8 | 17.936 | 15.725 | 221.509 | 57.566 | 0.840 | 0.877 | 18.140 | 10.267 | 146.273 | 48.813 | 0.771 | 0.566 |
| 9 | 18.945 | 15.900 | 236.576 | 58.820 | 0.859 | 0.839 | 18.647 | 8.205 | 120.156 | 46.832 | 0.688 | 0.440 |
| 10 | 18.983 | 13.302 | 198.329 | 54.763 | 0.831 | 0.701 | 19.203 | 8.604 | 129.756 | 48.408 | 0.696 | 0.448 |
| 11 | 22.391 | 17.503 | 307.810 | 69.267 | 0.806 | 0.782 | 23.300 | 10.870 | 198.916 | 59.640 | 0.703 | 0.467 |
| 12 | 27.704 | 17.595 | 382.833 | 78.057 | 0.790 | 0.635 | 28.062 | 10.496 | 231.333 | 67.641 | 0.635 | 0.374 |
| 13 | 17.882 | 13.671 | 192.003 | 54.762 | 0.805 | 0.765 | 18.356 | 9.493 | 136.854 | 48.086 | 0.744 | 0.517 |
| 14 | 20.792 | 13.969 | 228.111 | 61.478 | 0.758 | 0.672 | 21.361 | 7.174 | 120.365 | 52.232 | 0.554 | 0.336 |
| 15 | 17.841 | 14.333 | 200.840 | 56.845 | 0.781 | 0.803 | 19.787 | 9.601 | 149.210 | 50.334 | 0.740 | 0.485 |
| 16 | 19.765 | 13.393 | 207.909 | 57.511 | 0.790 | 0.678 | 20.535 | 8.824 | 142.325 | 52.799 | 0.642 | 0.430 |
| 17 | 20.919 | 16.769 | 275.507 | 63.734 | 0.852 | 0.802 | 20.687 | 9.368 | 152.206 | 52.022 | 0.707 | 0.453 |
| 18 | 21.693 | 14.329 | 244.139 | 62.018 | 0.798 | 0.661 | 21.282 | 8.711 | 145.604 | 53.699 | 0.635 | 0.409 |
| 19 | 16.085 | 11.929 | 150.698 | 46.830 | 0.864 | 0.742 | 16.451 | 9.519 | 122.988 | 44.366 | 0.785 | 0.579 |
| 20 | 14.073 | 13.113 | 144.935 | 45.381 | 0.884 | 0.932 | 14.436 | 9.431 | 106.931 | 40.486 | 0.820 | 0.653 |
| 21 | 16.275 | 13.937 | 178.143 | 51.420 | 0.847 | 0.856 | 16.851 | 6.323 | 83.681 | 40.799 | 0.632 | 0.375 |
| 22 | 14.835 | 13.356 | 155.611 | 47.295 | 0.874 | 0.900 | 14.496 | 8.704 | 99.098 | 39.132 | 0.813 | 0.600 |
| 23 | 15.221 | 11.035 | 131.923 | 44.705 | 0.830 | 0.725 | 15.150 | 8.589 | 102.194 | 40.693 | 0.776 | 0.567 |
| 24 | 14.027 | 13.064 | 143.931 | 45.642 | 0.868 | 0.931 | 14.521 | 7.820 | 89.193 | 38.344 | 0.762 | 0.539 |
| 25 | 16.714 | 10.174 | 133.555 | 46.103 | 0.790 | 0.609 | 16.685 | 6.664 | 87.332 | 41.378 | 0.641 | 0.399 |
| 26 | 15.668 | 11.308 | 139.148 | 47.301 | 0.782 | 0.722 | 15.948 | 6.692 | 83.816 | 40.681 | 0.636 | 0.420 |
| 27 | 17.462 | 11.693 | 160.361 | 49.127 | 0.835 | 0.670 | 18.305 | 8.108 | 116.562 | 46.134 | 0.688 | 0.443 |
| 28 | 16.198 | 12.342 | 157.023 | 48.147 | 0.851 | 0.762 | 16.538 | 8.185 | 106.316 | 42.297 | 0.747 | 0.495 |
| 29 | 22.664 | 19.239 | 342.451 | 78.312 | 0.702 | 0.849 | 21.883 | 11.427 | 196.396 | 63.404 | 0.614 | 0.522 |
| 30 | 18.987 | 11.146 | 166.213 | 51.740 | 0.780 | 0.587 | 19.417 | 6.952 | 106.019 | 46.477 | 0.617 | 0.358 |
| 31 | 18.847 | 14.030 | 207.670 | 58.018 | 0.775 | 0.744 | 18.553 | 9.142 | 133.203 | 50.038 | 0.669 | 0.493 |
| 32 | 15.558 | 12.183 | 148.876 | 47.550 | 0.827 | 0.783 | 16.135 | 10.019 | 126.964 | 45.813 | 0.760 | 0.621 |
| 33 | 14.677 | 12.715 | 146.569 | 46.352 | 0.857 | 0.866 | 15.267 | 5.843 | 70.061 | 37.397 | 0.630 | 0.383 |
| 34 | 15.824 | 14.966 | 185.994 | 52.510 | 0.848 | 0.946 | 15.842 | 9.197 | 114.428 | 43.415 | 0.763 | 0.581 |
| 35 | 13.740 | 11.912 | 128.549 | 43.079 | 0.870 | 0.867 | 14.383 | 5.884 | 66.466 | 35.307 | 0.670 | 0.409 |
| 36 | 17.116 | 11.336 | 152.388 | 49.194 | 0.791 | 0.662 | 17.407 | 6.247 | 85.401 | 41.890 | 0.612 | 0.359 |
| 37 | 12.433 | 10.373 | 101.294 | 38.472 | 0.860 | 0.834 | 12.421 | 7.214 | 70.376 | 33.698 | 0.779 | 0.581 |
| 38 | 12.301 | 9.700 | 93.719 | 37.808 | 0.824 | 0.789 | 12.341 | 6.617 | 64.138 | 32.822 | 0.748 | 0.536 |
| 39 | 13.201 | 7.956 | 82.488 | 36.553 | 0.776 | 0.603 | 13.528 | 4.787 | 50.866 | 32.808 | 0.594 | 0.354 |
| 40 | 10.272 | 9.195 | 74.176 | 32.686 | 0.872 | 0.895 | 9.922 | 5.617 | 43.770 | 26.906 | 0.760 | 0.566 |
| 41 | 10.688 | 9.455 | 79.365 | 33.706 | 0.878 | 0.885 | 11.095 | 5.707 | 49.729 | 28.813 | 0.753 | 0.514 |
| 42 | 13.205 | 10.612 | 110.061 | 40.120 | 0.859 | 0.804 | 13.874 | 6.284 | 68.469 | 35.313 | 0.690 | 0.453 |
| 43 | 9.777 | 8.886 | 68.241 | 31.376 | 0.871 | 0.909 | 9.494 | 6.686 | 49.853 | 27.926 | 0.803 | 0.704 |
| 44 | 16.259 | 10.946 | 139.781 | 47.073 | 0.793 | 0.673 | 16.731 | 8.454 | 111.092 | 43.707 | 0.731 | 0.505 |
| 45 | 12.760 | 11.960 | 119.859 | 42.690 | 0.826 | 0.937 | 12.791 | 8.601 | 86.403 | 36.962 | 0.795 | 0.672 |
| 46 | 14.476 | 9.785 | 111.248 | 43.093 | 0.753 | 0.676 | 15.288 | 5.868 | 70.465 | 37.732 | 0.622 | 0.384 |
| 47 | 15.739 | 9.432 | 116.594 | 48.874 | 0.613 | 0.599 | 16.676 | 4.724 | 61.877 | 42.502 | 0.430 | 0.283 |
| 48 | 12.597 | 9.796 | 96.921 | 37.818 | 0.852 | 0.778 | 12.599 | 9.364 | 92.662 | 38.622 | 0.781 | 0.743 |
| 49 | 16.377 | 13.724 | 176.529 | 51.072 | 0.850 | 0.838 | 17.243 | 7.162 | 96.996 | 42.546 | 0.673 | 0.415 |
| 50 | 12.403 | 7.545 | 73.499 | 33.888 | 0.804 | 0.608 | 11.822 | 6.645 | 61.695 | 32.178 | 0.749 | 0.562 |
| 51 | 12.387 | 10.030 | 97.573 | 40.688 | 0.741 | 0.810 | 13.322 | 6.961 | 72.826 | 36.750 | 0.678 | 0.522 |
| 52 | 13.242 | 9.519 | 99.004 | 39.115 | 0.813 | 0.719 | 14.055 | 5.648 | 62.341 | 34.143 | 0.672 | 0.402 |
| 53 | 11.422 | 9.108 | 81.711 | 34.788 | 0.848 | 0.797 | 11.882 | 7.864 | 73.391 | 33.698 | 0.812 | 0.662 |
| 54 | 12.990 | 9.689 | 98.843 | 38.986 | 0.817 | 0.746 | 13.009 | 7.509 | 76.725 | 36.231 | 0.734 | 0.577 |
| 55 | 15.046 | 7.974 | 94.234 | 39.642 | 0.754 | 0.530 | 15.325 | 5.953 | 71.656 | 39.051 | 0.590 | 0.388 |
| 56 | 11.950 | 9.066 | 85.096 | 36.731 | 0.793 | 0.759 | 11.071 | 7.224 | 62.811 | 33.036 | 0.723 | 0.652 |
| 57 | 10.610 | 8.685 | 72.372 | 33.935 | 0.790 | 0.819 | 10.247 | 5.439 | 43.773 | 28.269 | 0.688 | 0.531 |
| 58 | 12.710 | 8. | | | | | | | | | | |

礫種及び礫の形状の計測データ 一生神南部一

| 試料No. | 礫種 | よこ置き(ab面) | | | | | | たて置き(ac面) | | | | | |
|-------|-----|---------------|----------------|--------------------------|-------------|----------------------|-----------------|---------------|---------------|--------------------------|-------------|----------------------|----------------|
| | | 長径(a) (cm) | 中間径(b) (cm) | 面積 (cm ²) | 周囲長 (cm) | 真円度 (Circularity) | 中間径長径比 (b/a) | 長径(a) (cm) | 短径(c) (cm) | 面積 (cm ²) | 周囲長 (cm) | 真円度 (Circularity) | 短径長径比 (c/a) |
| 1 | 安山岩 | 20.269 | 19.210 | 305.803 | 68.573 | 0.817 | 0.948 | 23.817 | 10.004 | 187.138 | 60.074 | 0.652 | 0.420 |
| 2 | 安山岩 | 20.087 | 13.279 | 209.489 | 58.757 | 0.763 | 0.661 | 18.992 | 12.131 | 180.950 | 56.235 | 0.719 | 0.639 |
| 3 | 安山岩 | 15.686 | 10.620 | 130.838 | 46.492 | 0.761 | 0.677 | 14.437 | 8.467 | 96.004 | 41.791 | 0.691 | 0.586 |
| 4 | 安山岩 | 13.613 | 9.271 | 99.125 | 39.681 | 0.791 | 0.681 | 14.089 | 7.058 | 78.101 | 37.038 | 0.715 | 0.501 |
| 5 | 安山岩 | 20.561 | 9.291 | 150.042 | 53.788 | 0.652 | 0.452 | 21.745 | 6.558 | 112.005 | 50.722 | 0.547 | 0.302 |
| 6 | 安山岩 | 14.767 | 9.942 | 115.305 | 44.179 | 0.742 | 0.673 | 14.980 | 7.854 | 92.399 | 40.574 | 0.705 | 0.524 |
| 7 | 安山岩 | 14.259 | 9.293 | 104.073 | 43.633 | 0.687 | 0.652 | 14.416 | 4.903 | 55.519 | 34.697 | 0.580 | 0.340 |
| 8 | 安山岩 | 11.966 | 8.820 | 82.891 | 36.295 | 0.791 | 0.737 | 12.318 | 6.502 | 62.906 | 32.770 | 0.736 | 0.528 |
| 9 | 安山岩 | 6.418 | 4.769 | 24.042 | 19.434 | 0.800 | 0.743 | 6.393 | 4.639 | 23.294 | 19.325 | 0.784 | 0.726 |
| 10 | 安山岩 | 10.531 | 8.019 | 66.324 | 33.048 | 0.763 | 0.761 | 10.973 | 6.380 | 54.987 | 30.841 | 0.726 | 0.581 |
| 11 | 安山岩 | 9.517 | 8.361 | 62.496 | 30.649 | 0.836 | 0.879 | 10.242 | 4.760 | 38.292 | 26.312 | 0.695 | 0.465 |
| 12 | 安山岩 | 12.094 | 8.215 | 78.035 | 35.755 | 0.767 | 0.679 | 12.521 | 4.646 | 45.686 | 31.631 | 0.574 | 0.371 |
| 13 | 安山岩 | 11.415 | 7.741 | 69.401 | 33.995 | 0.755 | 0.678 | 11.738 | 5.433 | 50.090 | 29.904 | 0.704 | 0.463 |
| 14 | 安山岩 | 7.726 | 5.704 | 34.611 | 23.853 | 0.764 | 0.738 | 8.419 | 5.132 | 33.935 | 23.334 | 0.783 | 0.610 |
| 15 | 安山岩 | 8.402 | 5.542 | 36.570 | 25.774 | 0.692 | 0.660 | 8.865 | 4.288 | 29.858 | 24.128 | 0.644 | 0.484 |
| 16 | 安山岩 | 12.056 | 8.373 | 79.280 | 35.939 | 0.771 | 0.695 | 13.101 | 6.273 | 64.547 | 34.411 | 0.685 | 0.479 |
| 17 | 安山岩 | 12.121 | 7.613 | 72.468 | 34.698 | 0.756 | 0.628 | 11.987 | 7.031 | 66.191 | 33.544 | 0.739 | 0.587 |
| 18 | 安山岩 | 5.885 | 5.401 | 24.965 | 19.585 | 0.818 | 0.918 | 5.879 | 3.996 | 18.452 | 17.193 | 0.784 | 0.680 |
| 19 | 安山岩 | 7.378 | 5.388 | 31.220 | 22.601 | 0.768 | 0.730 | 7.835 | 4.281 | 26.343 | 22.399 | 0.660 | 0.546 |
| 20 | 安山岩 | 12.361 | 8.246 | 80.057 | 35.842 | 0.783 | 0.667 | 12.338 | 5.609 | 54.353 | 33.524 | 0.608 | 0.455 |
| 21 | 安山岩 | 10.531 | 6.294 | 52.052 | 29.915 | 0.731 | 0.598 | 10.779 | 3.744 | 31.692 | 26.151 | 0.582 | 0.347 |
| 22 | 安山岩 | 10.220 | 7.658 | 61.469 | 31.869 | 0.761 | 0.749 | 11.947 | 4.049 | 37.991 | 28.751 | 0.578 | 0.339 |
| 23 | 安山岩 | 16.604 | 7.475 | 97.480 | 46.863 | 0.558 | 0.450 | 17.382 | 4.307 | 58.798 | 41.848 | 0.422 | 0.248 |
| 24 | 安山岩 | 7.526 | 4.870 | 28.783 | 22.071 | 0.742 | 0.647 | 7.654 | 3.684 | 22.146 | 20.047 | 0.692 | 0.481 |
| 25 | 安山岩 | 8.374 | 6.411 | 42.164 | 25.211 | 0.834 | 0.766 | 8.085 | 6.034 | 38.316 | 24.488 | 0.803 | 0.746 |
| 26 | 安山岩 | 9.229 | 4.605 | 33.377 | 23.972 | 0.730 | 0.499 | 8.683 | 3.803 | 25.934 | 22.055 | 0.670 | 0.438 |
| 27 | 安山岩 | 9.017 | 7.972 | 56.458 | 29.777 | 0.800 | 0.884 | 9.591 | 6.202 | 46.724 | 27.885 | 0.755 | 0.647 |
| 28 | 安山岩 | 15.634 | 11.007 | 135.149 | 49.365 | 0.697 | 0.704 | 16.963 | 5.163 | 68.784 | 41.799 | 0.495 | 0.304 |
| 29 | 安山岩 | 8.009 | 7.719 | 48.555 | 27.413 | 0.812 | 0.964 | 7.434 | 6.527 | 38.106 | 25.224 | 0.753 | 0.878 |
| 30 | 安山岩 | 11.852 | 7.847 | 73.043 | 34.593 | 0.767 | 0.662 | 11.646 | 6.782 | 62.031 | 32.139 | 0.755 | 0.582 |
| 31 | 安山岩 | 9.108 | 5.904 | 42.233 | 26.633 | 0.748 | 0.648 | 9.427 | 5.785 | 42.831 | 26.357 | 0.775 | 0.614 |
| 32 | 安山岩 | 6.274 | 5.614 | 27.667 | 20.758 | 0.807 | 0.895 | 6.887 | 3.651 | 19.751 | 18.087 | 0.759 | 0.530 |
| 33 | 安山岩 | 9.492 | 6.103 | 45.493 | 27.876 | 0.736 | 0.643 | 10.521 | 3.102 | 25.631 | 24.322 | 0.544 | 0.295 |
| 34 | 安山岩 | 8.323 | 6.846 | 44.752 | 27.827 | 0.726 | 0.823 | 9.160 | 4.428 | 31.854 | 24.068 | 0.691 | 0.483 |
| 35 | 安山岩 | 6.454 | 4.928 | 24.981 | 20.575 | 0.742 | 0.764 | 7.024 | 4.296 | 23.697 | 19.589 | 0.776 | 0.612 |
| 36 | 安山岩 | 6.860 | 5.277 | 28.434 | 21.109 | 0.802 | 0.769 | 6.992 | 4.369 | 23.991 | 20.005 | 0.753 | 0.625 |
| 37 | 安山岩 | 5.985 | 5.319 | 25.002 | 20.180 | 0.771 | 0.889 | 5.768 | 4.225 | 19.140 | 17.178 | 0.815 | 0.732 |
| 38 | 安山岩 | 7.172 | 6.296 | 35.466 | 23.807 | 0.786 | 0.878 | 7.795 | 2.964 | 18.148 | 19.093 | 0.626 | 0.380 |
| 39 | 安山岩 | 6.93 | 5.663 | 30.822 | 21.414 | 0.845 | 0.817 | 6.920 | 5.059 | 27.496 | 20.618 | 0.813 | 0.731 |
| 40 | 安山岩 | 9.566 | 6.337 | 47.610 | 30.305 | 0.651 | 0.662 | 9.924 | 4.757 | 37.078 | 26.579 | 0.660 | 0.479 |
| 41 | 安山岩 | 6.304 | 5.509 | 27.276 | 21.288 | 0.756 | 0.874 | 6.554 | 2.970 | 15.289 | 17.671 | 0.615 | 0.453 |
| 42 | 安山岩 | 8.972 | 5.642 | 39.759 | 25.032 | 0.797 | 0.629 | 8.636 | 5.121 | 34.738 | 23.946 | 0.761 | 0.593 |
| 43 | 安山岩 | 5.406 | 4.438 | 18.844 | 17.229 | 0.798 | 0.821 | 5.653 | 4.118 | 18.284 | 17.061 | 0.789 | 0.728 |
| 44 | 安山岩 | 7.462 | 4.670 | 27.366 | 22.231 | 0.696 | 0.626 | 7.937 | 2.145 | 13.374 | 18.438 | 0.494 | 0.270 |
| 45 | 安山岩 | 6.388 | 5.761 | 28.906 | 21.503 | 0.786 | 0.902 | 5.819 | 4.922 | 22.496 | 19.405 | 0.751 | 0.846 |
| 46 | 安山岩 | 7.692 | 6.410 | 38.728 | 23.983 | 0.846 | 0.833 | 8.321 | 2.702 | 17.660 | 19.699 | 0.572 | 0.325 |
| 47 | 安山岩 | 7.882 | 5.791 | 35.846 | 23.183 | 0.838 | 0.735 | 7.804 | 5.565 | 34.109 | 22.793 | 0.825 | 0.713 |
| 48 | 安山岩 | 8.793 | 3.815 | 26.344 | 22.680 | 0.644 | 0.434 | 9.175 | 3.042 | 21.919 | 22.076 | 0.565 | 0.332 |
| 49 | 安山岩 | 6.487 | 5.300 | 27.000 | 21.044 | 0.766 | 0.817 | 6.709 | 4.350 | 22.919 | 19.244 | 0.778 | 0.648 |
| 50 | 安山岩 | 6.058 | 5.011 | 23.838 | 18.837 | 0.844 | 0.827 | 6.171 | 4.105 | 19.896 | 17.859 | 0.784 | 0.665 |
| 51 | 安山岩 | 5.881 | 4.460 | 20.599 | 17.711 | 0.825 | 0.758 | 5.176 | 4.047 | 16.451 | 17.580 | 0.669 | 0.782 |
| 52 | 安山岩 | 5.83 | 4.226 | 19.348 | 17.337 | 0.809 | 0.725 | 5.756 | 3.684 | 16.657 | 16.633 | 0.757 | 0.640 |
| 53 | 安山岩 | 5.385 | 3.752 | 15.869 | 15.583 | 0.821 | 0.697 | 5.169 | 3.701 | 15.026 | 15.451 | 0.791 | 0.716 |
| 54 | 珪化岩 | 6.343 | 3.574 | 17.805 | 17.623 | 0.720 | 0.563 | 6.039 | 3.571 | 16.938 | 16.891 | 0.746 | 0.591 |
| 55 | 珪化岩 | 8.798 | 6.818 | 47.113 | 26.277 | 0.857 | 0.775 | 8.987 | 4.170 | 29.438 | 22.919 | 0.704 | 0.464 |

礫種及び礫の形状の計測データ ー事務本館前トレンチー

| 試料No. | 礫種 | よこ置き(ab面) | | | | | たて置き(ac面) | | | | |
|-------|-----|---------------|----------------|--------------------------|-------------|----------------------|-----------------|---------------|---------------|--------------------------|-------------|
| | | 長径(a) (cm) | 中間径(b) (cm) | 面積 (cm ²) | 周囲長 (cm) | 真円度 (Circularity) | 中間径長径比 (b/a) | 長径(a) (cm) | 短径(c) (cm) | 面積 (cm ²) | 周囲長 (cm) |
| 1 | 安山岩 | 14.685 | 13.278 | 153.140 | 48.959 | 0.803 | 0.904 | 15.024 | 5.221 | 61.607 | 36.427 |
| 2 | 安山岩 | 8.549 | 7.275 | 48.848 | 27.693 | 0.800 | 0.851 | 8.989 | 5.778 | 40.794 | 27.174 |
| 3 | 安山岩 | 7.271 | 6.291 | 35.926 | 24.044 | 0.781 | 0.865 | 8.045 | 3.399 | 21.478 | 21.174 |
| 4 | 安山岩 | 6.006 | 3.979 | 18.769 | 18.048 | 0.724 | 0.663 | 5.241 | 3.964 | 16.316 | 16.227 |
| 5 | 安山岩 | 5.965 | 4.214 | 19.744 | 18.111 | 0.756 | 0.706 | 5.942 | 1.639 | 7.648 | 14.206 |
| 6 | 安山岩 | 7.323 | 4.799 | 27.603 | 21.140 | 0.776 | 0.655 | 7.479 | 2.793 | 16.408 | 18.470 |
| 7 | 安山岩 | 9.068 | 8.044 | 57.295 | 29.692 | 0.817 | 0.887 | 9.695 | 6.262 | 47.681 | 27.911 |
| 8 | 安山岩 | 6.010 | 5.052 | 23.846 | 18.702 | 0.857 | 0.841 | 6.165 | 3.046 | 14.752 | 16.483 |
| 9 | 安山岩 | 7.358 | 5.739 | 33.164 | 23.407 | 0.761 | 0.780 | 7.508 | 4.709 | 27.767 | 22.429 |
| 10 | 安山岩 | 7.038 | 5.262 | 29.086 | 22.770 | 0.705 | 0.748 | 6.931 | 4.733 | 25.764 | 21.722 |
| 11 | 安山岩 | 5.210 | 4.412 | 18.056 | 17.266 | 0.761 | 0.847 | 4.796 | 4.142 | 15.599 | 15.744 |
| 12 | 安山岩 | 6.687 | 4.376 | 22.983 | 19.884 | 0.730 | 0.654 | 6.706 | 3.413 | 17.977 | 18.344 |
| 13 | 安山岩 | 8.558 | 6.118 | 41.118 | 25.738 | 0.780 | 0.715 | 8.365 | 3.962 | 26.031 | 22.528 |
| 14 | 安山岩 | 14.895 | 7.406 | 86.636 | 40.313 | 0.670 | 0.497 | 14.615 | 6.911 | 79.329 | 41.218 |
| 15 | 安山岩 | 5.164 | 5.027 | 20.388 | 18.181 | 0.775 | 0.973 | 5.463 | 3.039 | 13.040 | 14.905 |
| 16 | 安山岩 | 7.370 | 6.274 | 36.316 | 23.851 | 0.802 | 0.851 | 6.961 | 3.741 | 20.454 | 19.130 |
| 17 | 安山岩 | 6.427 | 4.794 | 24.201 | 19.299 | 0.817 | 0.746 | 6.811 | 4.197 | 22.450 | 19.470 |
| 18 | 安山岩 | 6.316 | 5.716 | 28.358 | 20.822 | 0.822 | 0.905 | 5.914 | 3.534 | 16.418 | 16.708 |
| 19 | 安山岩 | 6.509 | 3.540 | 18.097 | 18.473 | 0.666 | 0.544 | 6.715 | 3.264 | 17.216 | 18.109 |
| 20 | 安山岩 | 8.415 | 5.438 | 35.943 | 25.777 | 0.680 | 0.646 | 8.993 | 4.924 | 34.779 | 24.954 |
| 21 | 安山岩 | 9.735 | 4.301 | 32.885 | 25.546 | 0.633 | 0.442 | 9.730 | 2.910 | 22.234 | 23.440 |
| 22 | 安山岩 | 5.472 | 4.686 | 20.140 | 17.858 | 0.794 | 0.856 | 5.678 | 4.604 | 20.531 | 17.934 |
| 23 | 安山岩 | 7.655 | 5.675 | 34.119 | 23.785 | 0.758 | 0.741 | 7.319 | 4.889 | 28.101 | 21.622 |
| 24 | 安山岩 | 7.802 | 5.825 | 35.696 | 24.438 | 0.751 | 0.747 | 9.092 | 2.558 | 18.268 | 21.016 |
| 25 | 安山岩 | 9.988 | 8.247 | 64.696 | 32.982 | 0.747 | 0.826 | 11.158 | 2.781 | 24.376 | 25.697 |
| 26 | 安山岩 | 8.624 | 5.762 | 39.026 | 26.606 | 0.693 | 0.668 | 9.178 | 2.559 | 18.451 | 21.175 |
| 27 | 安山岩 | 4.914 | 3.824 | 14.756 | 14.737 | 0.854 | 0.778 | 5.185 | 1.614 | 6.574 | 11.862 |
| 28 | 安山岩 | 5.815 | 4.721 | 21.562 | 18.861 | 0.762 | 0.812 | 6.328 | 2.078 | 10.325 | 14.930 |
| 29 | 安山岩 | 10.106 | 6.746 | 53.546 | 30.224 | 0.737 | 0.668 | 10.248 | 5.448 | 43.844 | 27.618 |
| 30 | 安山岩 | 6.439 | 5.041 | 25.494 | 20.818 | 0.739 | 0.783 | 6.486 | 4.053 | 20.648 | 19.132 |
| 31 | 安山岩 | 6.300 | 5.651 | 27.961 | 20.796 | 0.812 | 0.897 | 7.055 | 3.466 | 19.206 | 18.538 |
| 32 | 安山岩 | 8.719 | 4.936 | 33.804 | 25.052 | 0.677 | 0.566 | 8.969 | 4.459 | 31.413 | 24.379 |
| 33 | 安山岩 | 15.101 | 9.814 | 116.394 | 45.203 | 0.716 | 0.650 | 14.896 | 9.387 | 109.815 | 43.784 |

| データ数 | 平均真円度(ab面) | 平均中間径長径比 | 平均短径長径比 |
|------|------------|----------|---------|
| 24 | 0.749 | 0.735 | 0.511 |

風化による形状への影響が大きい径5cm未満の礫を除くために、ab面における(a+b)/2の値、ac面における(a+c)/2の値のいずれかが5cm未満の礫(灰色の網掛け部)は、平均値の計算に含めない。

礫種及び礫の形状の計測データ -No.1トレンチ-

| 試料 No. | 礫種 | よこ置き(ab面) | | | | | たて置き(ac面) | | | | |
|-----------|-----|---------------|----------------|--------------------------|-------------|----------------------|-----------------|---------------|---------------|--------------------------|-------------|
| | | 長径(a) (cm) | 中間径(b) (cm) | 面積 (cm ²) | 周囲長 (cm) | 真円度 (Circularity) | 中間径長径比 (b/a) | 長径(a) (cm) | 短径(c) (cm) | 面積 (cm ²) | 周囲長 (cm) |
| 1 | 安山岩 | 12.960 | 9.015 | 91.766 | 38.654 | 0.772 | 0.696 | 14.001 | 3.589 | 39.470 | 33.020 |
| 2 | 安山岩 | 10.253 | 7.084 | 57.043 | 30.338 | 0.779 | 0.691 | 10.403 | 3.821 | 31.218 | 25.577 |
| 3 | 安山岩 | 10.566 | 8.092 | 67.151 | 32.718 | 0.788 | 0.766 | 11.093 | 5.725 | 49.881 | 30.208 |
| 4 | 安山岩 | 9.736 | 8.842 | 67.612 | 32.299 | 0.814 | 0.908 | 10.443 | 3.432 | 28.149 | 25.280 |
| 5 | 安山岩 | 10.394 | 9.425 | 76.939 | 35.408 | 0.771 | 0.907 | 10.523 | 4.874 | 40.281 | 27.128 |
| 6 | 安山岩 | 5.536 | 4.729 | 20.559 | 18.084 | 0.790 | 0.854 | 5.410 | 4.487 | 19.067 | 16.825 |
| 7 | 安山岩 | 6.699 | 5.306 | 27.918 | 21.139 | 0.785 | 0.792 | 6.897 | 4.841 | 26.224 | 20.553 |
| 8 | 安山岩 | 6.956 | 5.813 | 31.758 | 24.082 | 0.688 | 0.836 | 7.156 | 4.155 | 23.350 | 20.835 |
| 9 | 安山岩 | 8.578 | 5.061 | 34.093 | 24.047 | 0.741 | 0.590 | 8.961 | 3.578 | 25.182 | 22.486 |
| 10 | 安山岩 | 8.667 | 5.159 | 35.119 | 23.939 | 0.770 | 0.595 | 9.153 | 3.097 | 22.261 | 21.934 |
| 11 | 安山岩 | 21.904 | 13.280 | 228.469 | 62.308 | 0.740 | 0.606 | 22.976 | 10.167 | 183.474 | 61.893 |
| 12 | 安山岩 | 10.120 | 6.597 | 52.430 | 29.217 | 0.772 | 0.652 | 10.972 | 4.666 | 40.208 | 27.644 |
| 13 | 安山岩 | 4.394 | 4.034 | 13.922 | 15.757 | 0.705 | 0.918 | 4.833 | 3.518 | 13.356 | 14.719 |
| 14 | 安山岩 | 9.743 | 5.507 | 42.139 | 27.834 | 0.683 | 0.565 | 8.721 | 5.402 | 36.999 | 25.684 |
| 15 | 安山岩 | 7.282 | 4.420 | 25.280 | 20.057 | 0.790 | 0.607 | 7.298 | 4.038 | 23.146 | 19.891 |
| 16 | 安山岩 | 11.540 | 6.139 | 55.646 | 31.397 | 0.709 | 0.532 | 11.532 | 5.074 | 45.956 | 30.691 |
| 17 | 安山岩 | 9.156 | 4.564 | 32.820 | 25.281 | 0.645 | 0.498 | 9.123 | 4.231 | 30.317 | 24.294 |
| 18 | 安山岩 | 13.765 | 7.118 | 76.951 | 37.427 | 0.690 | 0.517 | 15.181 | 7.047 | 84.022 | 39.448 |
| 19 | 安山岩 | 20.481 | 16.366 | 263.263 | 63.209 | 0.828 | 0.799 | 20.105 | 14.700 | 232.121 | 59.829 |
| 20 | 安山岩 | 12.742 | 10.401 | 104.087 | 41.867 | 0.746 | 0.816 | 11.248 | 6.998 | 61.823 | 32.858 |
| 21 | 安山岩 | 6.451 | 5.301 | 26.858 | 21.119 | 0.757 | 0.822 | 6.032 | 5.146 | 24.379 | 19.242 |
| 22 | 安山岩 | 7.926 | 6.104 | 37.998 | 24.792 | 0.777 | 0.770 | 7.836 | 5.922 | 36.448 | 24.379 |
| 23 | 安山岩 | 4.616 | 3.406 | 12.347 | 14.007 | 0.791 | 0.738 | 4.694 | 2.590 | 9.549 | 12.713 |
| 24 | 安山岩 | 5.650 | 3.541 | 15.711 | 16.085 | 0.763 | 0.627 | 5.991 | 3.373 | 15.871 | 16.872 |
| 25 | 安山岩 | 7.516 | 5.198 | 30.686 | 22.488 | 0.762 | 0.692 | 7.270 | 4.883 | 27.881 | 21.476 |
| 26 | 安山岩 | 10.521 | 9.487 | 78.394 | 34.786 | 0.814 | 0.902 | 10.762 | 4.604 | 38.919 | 27.570 |
| 27 | 安山岩 | 5.878 | 4.076 | 18.821 | 17.961 | 0.733 | 0.693 | 6.598 | 4.030 | 20.888 | 19.155 |
| 28 | 安山岩 | 9.644 | 5.703 | 43.199 | 27.135 | 0.737 | 0.591 | 9.990 | 3.898 | 30.582 | 25.081 |
| 29 | 安山岩 | 6.547 | 5.323 | 27.372 | 20.227 | 0.841 | 0.813 | 6.260 | 3.238 | 15.917 | 16.619 |
| 30 | 安山岩 | 7.362 | 6.322 | 36.556 | 24.089 | 0.792 | 0.859 | 7.951 | 5.296 | 33.069 | 23.234 |
| 31 | 安山岩 | 8.847 | 5.635 | 39.159 | 25.161 | 0.777 | 0.637 | 8.254 | 4.341 | 28.141 | 23.592 |
| 32 | 安山岩 | 5.853 | 3.902 | 17.936 | 16.752 | 0.803 | 0.667 | 5.948 | 2.914 | 13.615 | 15.471 |
| 33 | 安山岩 | 7.267 | 6.936 | 39.588 | 24.577 | 0.824 | 0.954 | 7.647 | 4.416 | 26.523 | 21.172 |
| 34 | 安山岩 | 8.505 | 5.456 | 36.447 | 25.008 | 0.732 | 0.642 | 9.539 | 3.759 | 28.164 | 24.290 |
| 35 | 安山岩 | 9.600 | 5.945 | 44.827 | 27.783 | 0.730 | 0.619 | 10.147 | 3.428 | 27.321 | 24.482 |
| 36 | 安山岩 | 8.670 | 5.800 | 39.493 | 25.330 | 0.773 | 0.669 | 8.500 | 3.654 | 24.393 | 21.864 |
| 37 | 安山岩 | 7.304 | 4.906 | 28.144 | 21.520 | 0.764 | 0.672 | 7.342 | 3.206 | 18.487 | 18.961 |
| 38 | 安山岩 | 6.565 | 5.812 | 29.971 | 21.421 | 0.821 | 0.885 | 6.871 | 4.325 | 23.337 | 19.365 |
| 39 | 安山岩 | 5.919 | 3.331 | 15.486 | 16.420 | 0.722 | 0.563 | 6.380 | 3.004 | 15.049 | 16.448 |
| 40 | 安山岩 | 7.877 | 2.778 | 17.188 | 19.375 | 0.575 | 0.353 | 8.104 | 2.690 | 17.123 | 19.615 |
| 41 | 安山岩 | 5.759 | 3.697 | 16.721 | 16.378 | 0.783 | 0.642 | 5.962 | 2.692 | 12.604 | 15.358 |
| 42 | 安山岩 | 5.282 | 3.413 | 14.162 | 14.939 | 0.797 | 0.646 | 5.500 | 2.936 | 12.685 | 14.607 |
| 43 | 安山岩 | 7.220 | 4.806 | 27.252 | 20.842 | 0.788 | 0.666 | 7.644 | 2.918 | 17.518 | 19.241 |
| 44 | 安山岩 | 6.294 | 4.637 | 22.922 | 19.242 | 0.778 | 0.737 | 6.622 | 3.401 | 17.688 | 17.564 |
| 45 | 安山岩 | 5.006 | 4.137 | 16.264 | 15.705 | 0.829 | 0.826 | 4.936 | 3.017 | 11.696 | 13.888 |
| 46 | 安山岩 | 5.334 | 4.364 | 18.284 | 17.447 | 0.755 | 0.818 | 5.386 | 3.401 | 14.385 | 15.756 |
| 47 | 安山岩 | 4.808 | 4.024 | 15.195 | 15.574 | 0.787 | 0.837 | 4.969 | 2.878 | 11.232 | 13.691 |
| 48 | 安山岩 | 4.494 | 3.874 | 13.672 | 14.703 | 0.795 | 0.862 | 4.400 | 2.298 | 7.943 | 11.851 |
| 49 | 安山岩 | 4.515 | 3.849 | 13.646 | 14.645 | 0.800 | 0.852 | 4.884 | 3.181 | 12.203 | 14.123 |
| 50 | 安山岩 | 5.100 | 4.129 | 16.538 | 16.060 | 0.806 | 0.810 | 5.118 | 3.004 | 12.073 | 14.443 |

風化による形状への影響が大きい径5cm未満の礫を除くために、ab面における $(a+b)/2$ の値、ac面における $(a+c)/2$ の値のいずれかが5cm未満の礫(灰色の網掛け部)は、平均値の計算に含めない。

| データ数 | 平均真円度(ab面) | 平均中間径長径比 | 平均短径長径比 |
|------|------------|----------|---------|
| 34 | 0.756 | 0.701 | 0.501 |

礫種及び礫の形状の計測データ —神川(本流)ー

| 試料No. | 礫種 | よこ置き(ab面) | | | | | たて置き(ac面) | | | | | | |
|-------|-----|---------------|----------------|--------------------------|-------------|----------------------|-----------------|---------------|---------------|--------------------------|-------------|----------------------|----------------|
| | | 長径(a) (cm) | 中間径(b) (cm) | 面積 (cm ²) | 周囲長 (cm) | 真円度 (Circularity) | 中間径長径比 (b/a) | 長径(a) (cm) | 短径(c) (cm) | 面積 (cm ²) | 周囲長 (cm) | 真円度 (Circularity) | 短径長径比 (c/a) |
| 1 | 安山岩 | 29.444 | 18.099 | 418.546 | 87.588 | 0.686 | 0.615 | 30.175 | 14.562 | 345.123 | 81.285 | 0.656 | 0.483 |
| 2 | 安山岩 | 16.731 | 12.239 | 160.826 | 51.200 | 0.771 | 0.732 | 17.258 | 6.945 | 94.139 | 43.439 | 0.627 | 0.402 |
| 3 | 安山岩 | 9.292 | 6.278 | 45.819 | 26.985 | 0.791 | 0.676 | 8.958 | 5.411 | 38.071 | 25.465 | 0.738 | 0.604 |
| 4 | 安山岩 | 12.449 | 9.716 | 94.997 | 38.038 | 0.825 | 0.780 | 12.941 | 7.025 | 71.406 | 36.115 | 0.688 | 0.543 |
| 5 | 安山岩 | 11.496 | 9.153 | 82.648 | 37.814 | 0.726 | 0.796 | 11.962 | 7.162 | 67.293 | 33.367 | 0.760 | 0.599 |
| 6 | 安山岩 | 6.049 | 3.650 | 17.344 | 16.762 | 0.776 | 0.603 | 5.697 | 2.653 | 11.873 | 14.897 | 0.672 | 0.466 |
| 7 | 安山岩 | 7.149 | 4.394 | 24.672 | 20.632 | 0.728 | 0.615 | 6.617 | 3.423 | 17.789 | 18.069 | 0.685 | 0.517 |
| 8 | 安山岩 | 7.423 | 4.892 | 28.522 | 21.902 | 0.747 | 0.659 | 8.441 | 3.361 | 22.284 | 20.794 | 0.648 | 0.398 |
| 9 | 安山岩 | 8.6 | 7.484 | 50.550 | 28.236 | 0.797 | 0.870 | 8.086 | 5.355 | 34.012 | 23.618 | 0.766 | 0.662 |
| 10 | 安山岩 | 12.169 | 8.390 | 80.187 | 37.986 | 0.698 | 0.689 | 11.897 | 8.086 | 75.556 | 36.744 | 0.703 | 0.680 |
| 11 | 安山岩 | 7.18 | 6.546 | 36.916 | 24.314 | 0.785 | 0.912 | 7.761 | 5.776 | 35.208 | 23.730 | 0.786 | 0.744 |
| 12 | 安山岩 | 5.719 | 5.190 | 23.311 | 18.877 | 0.822 | 0.908 | 6.048 | 3.568 | 16.948 | 16.425 | 0.789 | 0.590 |
| 13 | 安山岩 | 8.196 | 6.949 | 44.734 | 25.742 | 0.848 | 0.848 | 8.219 | 3.957 | 25.543 | 21.934 | 0.667 | 0.481 |
| 14 | 安山岩 | 5.998 | 5.539 | 26.095 | 19.676 | 0.847 | 0.923 | 6.165 | 4.969 | 24.059 | 19.873 | 0.766 | 0.806 |
| 15 | 安山岩 | 8.937 | 6.991 | 49.072 | 27.265 | 0.830 | 0.782 | 9.086 | 5.827 | 41.582 | 26.752 | 0.730 | 0.641 |
| 16 | 安山岩 | 8.933 | 8.503 | 59.655 | 30.177 | 0.823 | 0.952 | 8.823 | 6.574 | 45.552 | 26.595 | 0.809 | 0.745 |
| 17 | 安山岩 | 8.777 | 7.366 | 50.779 | 27.958 | 0.816 | 0.839 | 8.954 | 5.245 | 36.887 | 24.684 | 0.761 | 0.586 |
| 18 | 安山岩 | 9.92 | 8.271 | 64.438 | 31.661 | 0.808 | 0.834 | 9.886 | 7.068 | 54.879 | 30.327 | 0.750 | 0.715 |
| 19 | 安山岩 | 13.478 | 8.117 | 85.923 | 38.402 | 0.732 | 0.602 | 14.684 | 4.641 | 53.524 | 35.026 | 0.548 | 0.316 |
| 20 | 安山岩 | 5.52 | 4.437 | 19.235 | 18.134 | 0.735 | 0.804 | 6.148 | 2.917 | 14.084 | 15.929 | 0.698 | 0.474 |
| 21 | 安山岩 | 17.869 | 9.673 | 135.755 | 50.210 | 0.677 | 0.541 | 20.029 | 4.106 | 64.588 | 44.808 | 0.404 | 0.205 |
| 22 | 安山岩 | 7.68 | 5.665 | 34.173 | 22.781 | 0.827 | 0.738 | 7.868 | 4.277 | 26.428 | 21.051 | 0.749 | 0.544 |
| 23 | 安山岩 | 11.303 | 8.737 | 77.562 | 34.086 | 0.839 | 0.773 | 11.280 | 5.747 | 50.915 | 29.691 | 0.726 | 0.509 |
| 24 | 安山岩 | 7.193 | 5.910 | 33.387 | 22.651 | 0.818 | 0.822 | 7.607 | 1.914 | 11.436 | 17.230 | 0.484 | 0.252 |
| 25 | 安山岩 | 9.755 | 5.595 | 42.868 | 27.127 | 0.732 | 0.574 | 9.603 | 3.794 | 28.618 | 25.942 | 0.534 | 0.395 |
| 26 | 安山岩 | 6.755 | 6.057 | 32.136 | 22.664 | 0.786 | 0.897 | 7.536 | 5.329 | 31.539 | 23.018 | 0.748 | 0.707 |
| 27 | 安山岩 | 6.255 | 5.268 | 25.880 | 20.410 | 0.781 | 0.842 | 6.323 | 3.758 | 18.663 | 17.536 | 0.763 | 0.594 |
| 28 | 安山岩 | 7.675 | 6.548 | 39.472 | 25.180 | 0.782 | 0.853 | 7.757 | 3.645 | 22.207 | 20.867 | 0.641 | 0.470 |
| 29 | 安山岩 | 6.037 | 4.103 | 19.453 | 17.734 | 0.777 | 0.680 | 6.285 | 2.305 | 11.376 | 14.971 | 0.638 | 0.367 |
| 30 | 安山岩 | 6.323 | 4.398 | 21.844 | 19.168 | 0.747 | 0.696 | 6.038 | 2.075 | 9.841 | 15.496 | 0.515 | 0.344 |
| 31 | 安山岩 | 5.574 | 3.752 | 16.424 | 16.189 | 0.787 | 0.673 | 5.644 | 2.976 | 13.191 | 15.200 | 0.717 | 0.527 |
| 32 | 安山岩 | 6.856 | 4.658 | 25.082 | 20.323 | 0.763 | 0.679 | 7.023 | 3.106 | 17.130 | 17.954 | 0.668 | 0.442 |
| 33 | 安山岩 | 6.333 | 5.806 | 28.878 | 20.873 | 0.833 | 0.917 | 6.583 | 3.813 | 19.718 | 18.568 | 0.719 | 0.579 |
| 34 | 安山岩 | 5.743 | 4.252 | 19.181 | 17.898 | 0.752 | 0.740 | 5.767 | 2.503 | 11.338 | 15.894 | 0.564 | 0.434 |
| 35 | 安山岩 | 5.717 | 3.526 | 15.831 | 17.296 | 0.665 | 0.617 | 6.353 | 2.674 | 13.344 | 16.270 | 0.633 | 0.421 |
| 36 | 安山岩 | 6.404 | 4.858 | 24.433 | 19.346 | 0.820 | 0.759 | 6.625 | 1.939 | 10.089 | 16.232 | 0.481 | 0.293 |
| 37 | 安山岩 | 7.474 | 4.822 | 28.304 | 21.839 | 0.746 | 0.645 | 7.831 | 3.258 | 20.037 | 19.553 | 0.659 | 0.416 |
| 38 | 安山岩 | 7.024 | 5.923 | 32.673 | 23.242 | 0.760 | 0.843 | 6.592 | 5.259 | 27.231 | 21.547 | 0.737 | 0.798 |
| 39 | 安山岩 | 6.588 | 4.855 | 25.121 | 22.123 | 0.645 | 0.737 | 7.180 | 4.039 | 22.779 | 20.471 | 0.683 | 0.563 |
| 40 | 安山岩 | 9.729 | 8.485 | 64.832 | 35.749 | 0.638 | 0.872 | 11.385 | 4.333 | 38.748 | 29.679 | 0.553 | 0.381 |
| 41 | 安山岩 | 6.315 | 3.643 | 18.069 | 17.512 | 0.740 | 0.577 | 6.798 | 2.347 | 12.531 | 16.009 | 0.614 | 0.345 |
| 42 | 安山岩 | 6.774 | 4.996 | 26.579 | 19.846 | 0.848 | 0.738 | 6.880 | 3.104 | 16.771 | 17.047 | 0.725 | 0.451 |
| 43 | 安山岩 | 5.035 | 4.814 | 19.037 | 17.489 | 0.782 | 0.956 | 4.933 | 4.267 | 16.533 | 16.080 | 0.803 | 0.865 |
| 44 | 安山岩 | 5.808 | 4.452 | 20.308 | 18.038 | 0.784 | 0.767 | 6.028 | 3.809 | 18.033 | 17.530 | 0.737 | 0.632 |
| 45 | 安山岩 | 5.483 | 4.395 | 18.929 | 17.223 | 0.802 | 0.802 | 5.224 | 3.999 | 16.408 | 16.206 | 0.785 | 0.766 |
| 46 | 安山岩 | 5.318 | 4.642 | 19.385 | 17.093 | 0.834 | 0.873 | 5.254 | 2.458 | 10.146 | 13.851 | 0.665 | 0.468 |
| 47 | 安山岩 | 8.975 | 6.701 | 47.233 | 27.346 | 0.794 | 0.747 | 8.862 | 4.807 | 33.461 | 23.759 | 0.745 | 0.542 |
| 48 | 安山岩 | 6.084 | 3.567 | 17.045 | 17.078 | 0.734 | 0.586 | 6.081 | 1.695 | 8.097 | 14.173 | 0.507 | 0.279 |
| 49 | 安山岩 | 5.8 | 4.769 | 21.725 | 18.559 | 0.793 | 0.822 | 5.692 | 1.643 | 7.344 | 13.238 | 0.527 | 0.289 |
| 50 | 安山岩 | 5.155 | 3.807 | 15.416 | 15.742 | 0.782 | 0.739 | 4.953 | 3.591 | 13.969 | 14.987 | 0.782 | 0.725 |
| 51 | 安山岩 | 12.727 | 10.880 | 108.759 | 42.415 | 0.760 | 0.855 | 12.525 | 10.380 | 102.106 | 39.620 | 0.817 | 0.829 |
| 52 | 安山岩 | 5.301 | 4.560 | 18.986 | 17.183 | 0.808 | 0.860 | 5.008 | 2.810 | 11.051 | 15.131 | 0.607 | 0.561 |
| 53 | 安山岩 | 6 | 4.575 | 21.562 | 18.071 | 0.830 | 0.763 | 6.133 | 3.941 | 18.982 | 16.998 | 0.826 | 0.643 |
| 54 | 安山岩 | 6.563 | 4.696 | 24.206 | 19.952 | 0.764 | 0.716 | 7.041 | 3.732 | 20.637 | 19.410 | 0.688 | 0.530 |
| 55 | 安山岩 | 10.181 | 8.112 | 64.862 | 32.157 | 0.788 | 0.797 | 11.088 | 5.135 | 44.716 | 29.255 | 0.657 | 0.463 |
| 56 | 安山岩 | 8.81 | 7.103 | | | | | | | | | | |

礫種及び礫の形状の計測データ - 神川(支流) -

| 試料No. | 礫種 | よこ置き(ab面) | | | | | たて置き(ac面) | | | | | | |
|-------|-----|---------------|----------------|--------------------------|-------------|----------------------|-----------------|---------------|---------------|--------------------------|-------------|----------------------|----------------|
| | | 長径(a) (cm) | 中間径(b) (cm) | 面積 (cm ²) | 周囲長 (cm) | 真円度 (Circularity) | 中間径長径比 (b/a) | 長径(a) (cm) | 短径(c) (cm) | 面積 (cm ²) | 周囲長 (cm) | 真円度 (Circularity) | 短径長径比 (c/a) |
| 1 | 安山岩 | 25.071 | 13.390 | 263.654 | 68.273 | 0.711 | 0.534 | 24.882 | 11.917 | 232.884 | 64.857 | 0.696 | 0.479 |
| 2 | 安山岩 | 17.605 | 12.006 | 166.008 | 51.894 | 0.775 | 0.682 | 15.999 | 8.190 | 102.921 | 44.950 | 0.640 | 0.512 |
| 3 | 安山岩 | 15.487 | 12.001 | 145.978 | 48.733 | 0.772 | 0.775 | 15.900 | 8.503 | 106.190 | 44.625 | 0.670 | 0.535 |
| 4 | 安山岩 | 13.489 | 8.440 | 89.418 | 41.025 | 0.668 | 0.626 | 13.987 | 7.351 | 80.759 | 38.747 | 0.676 | 0.526 |
| 5 | 安山岩 | 17.243 | 8.731 | 118.241 | 48.509 | 0.631 | 0.506 | 18.682 | 5.894 | 86.479 | 45.407 | 0.527 | 0.315 |
| 6 | 安山岩 | 12.916 | 10.153 | 102.993 | 39.981 | 0.810 | 0.786 | 12.835 | 9.908 | 99.874 | 41.343 | 0.734 | 0.772 |
| 7 | 安山岩 | 13.503 | 11.151 | 118.256 | 44.074 | 0.765 | 0.826 | 13.696 | 10.056 | 108.173 | 42.737 | 0.744 | 0.734 |
| 8 | 安山岩 | 22.149 | 14.928 | 259.690 | 63.414 | 0.812 | 0.674 | 23.164 | 10.991 | 199.951 | 62.345 | 0.646 | 0.474 |
| 9 | 安山岩 | 21.096 | 16.618 | 275.351 | 68.225 | 0.743 | 0.788 | 23.598 | 5.675 | 105.182 | 52.831 | 0.474 | 0.240 |
| 10 | 安山岩 | 21.969 | 17.681 | 305.071 | 70.075 | 0.781 | 0.805 | 21.468 | 9.963 | 167.984 | 60.476 | 0.577 | 0.464 |
| 11 | 安山岩 | 16.785 | 14.245 | 187.791 | 55.891 | 0.755 | 0.849 | 17.361 | 6.013 | 81.990 | 43.521 | 0.544 | 0.346 |
| 12 | 安山岩 | 15.027 | 10.401 | 122.756 | 46.196 | 0.723 | 0.692 | 16.347 | 3.255 | 41.795 | 36.365 | 0.397 | 0.199 |
| 13 | 安山岩 | 16.559 | 10.495 | 136.495 | 47.887 | 0.748 | 0.634 | 16.496 | 6.064 | 78.567 | 40.835 | 0.592 | 0.368 |
| 14 | 安山岩 | 13.193 | 8.722 | 90.376 | 39.634 | 0.723 | 0.661 | 12.420 | 8.274 | 80.702 | 36.217 | 0.773 | 0.666 |
| 15 | 安山岩 | 12.191 | 7.739 | 74.101 | 35.327 | 0.746 | 0.635 | 12.737 | 5.972 | 59.740 | 33.079 | 0.686 | 0.469 |
| 16 | 安山岩 | 10.096 | 9.260 | 73.425 | 33.778 | 0.809 | 0.917 | 10.624 | 4.957 | 41.361 | 27.862 | 0.670 | 0.467 |
| 17 | 安山岩 | 9.646 | 7.876 | 59.665 | 30.994 | 0.781 | 0.817 | 9.961 | 7.358 | 57.561 | 31.482 | 0.730 | 0.739 |
| 18 | 安山岩 | 8.896 | 8.577 | 59.929 | 30.025 | 0.835 | 0.964 | 9.410 | 4.451 | 32.898 | 24.500 | 0.689 | 0.473 |
| 19 | 安山岩 | 7.039 | 6.241 | 34.502 | 22.794 | 0.834 | 0.887 | 7.607 | 4.243 | 25.348 | 20.766 | 0.739 | 0.558 |
| 20 | 安山岩 | 6.594 | 4.178 | 21.638 | 19.081 | 0.747 | 0.634 | 6.484 | 3.566 | 18.163 | 18.028 | 0.702 | 0.550 |
| 21 | 安山岩 | 6.659 | 5.458 | 28.545 | 21.300 | 0.791 | 0.820 | 6.999 | 2.514 | 13.820 | 17.661 | 0.557 | 0.359 |
| 22 | 安山岩 | 5.378 | 4.355 | 18.394 | 16.909 | 0.809 | 0.810 | 5.590 | 4.034 | 17.713 | 16.664 | 0.802 | 0.722 |
| 23 | 安山岩 | 7.563 | 4.205 | 24.979 | 21.899 | 0.655 | 0.556 | 7.969 | 2.239 | 14.013 | 18.764 | 0.500 | 0.281 |
| 24 | 安山岩 | 6.385 | 4.774 | 23.939 | 19.630 | 0.781 | 0.748 | 6.726 | 2.843 | 15.018 | 16.830 | 0.666 | 0.423 |
| 25 | 安山岩 | 11.806 | 10.401 | 96.442 | 39.235 | 0.787 | 0.881 | 13.798 | 3.839 | 41.601 | 31.856 | 0.515 | 0.278 |
| 26 | 安山岩 | 9.412 | 8.155 | 60.279 | 31.744 | 0.752 | 0.866 | 10.098 | 2.309 | 18.311 | 22.889 | 0.439 | 0.229 |
| 27 | 安山岩 | 12.061 | 8.960 | 84.876 | 36.462 | 0.802 | 0.743 | 13.220 | 6.007 | 62.369 | 34.198 | 0.670 | 0.454 |
| 28 | 安山岩 | 12.620 | 7.743 | 76.748 | 35.302 | 0.774 | 0.614 | 12.333 | 5.135 | 49.737 | 31.529 | 0.629 | 0.416 |
| 29 | 安山岩 | 7.918 | 6.562 | 40.811 | 25.685 | 0.777 | 0.829 | 8.524 | 5.186 | 34.722 | 23.980 | 0.759 | 0.608 |
| 30 | 安山岩 | 12.101 | 6.449 | 61.294 | 32.615 | 0.724 | 0.533 | 12.293 | 5.087 | 49.113 | 31.224 | 0.633 | 0.414 |
| 31 | 安山岩 | 11.696 | 8.235 | 75.648 | 34.960 | 0.778 | 0.704 | 11.934 | 3.816 | 35.767 | 28.922 | 0.537 | 0.320 |
| 32 | 安山岩 | 7.516 | 6.559 | 38.716 | 25.198 | 0.766 | 0.873 | 8.197 | 2.572 | 16.561 | 19.554 | 0.544 | 0.314 |
| 33 | 安山岩 | 10.362 | 4.836 | 39.362 | 27.588 | 0.650 | 0.467 | 10.543 | 3.565 | 29.516 | 25.596 | 0.566 | 0.338 |
| 34 | 安山岩 | 6.990 | 6.507 | 35.728 | 23.221 | 0.833 | 0.931 | 7.511 | 3.666 | 21.623 | 19.691 | 0.701 | 0.488 |
| 35 | 安山岩 | 8.192 | 7.529 | 48.445 | 27.079 | 0.830 | 0.919 | 8.983 | 5.525 | 38.978 | 24.804 | 0.796 | 0.615 |
| 36 | 安山岩 | 8.826 | 4.408 | 30.558 | 24.012 | 0.666 | 0.499 | 9.050 | 2.993 | 21.273 | 22.985 | 0.506 | 0.331 |
| 37 | 安山岩 | 6.182 | 4.891 | 23.748 | 18.842 | 0.841 | 0.791 | 6.864 | 2.614 | 14.094 | 16.841 | 0.624 | 0.381 |
| 38 | 安山岩 | 8.435 | 4.862 | 32.209 | 23.498 | 0.733 | 0.576 | 8.409 | 3.801 | 25.102 | 22.111 | 0.645 | 0.452 |
| 39 | 安山岩 | 6.354 | 4.548 | 22.698 | 18.644 | 0.821 | 0.716 | 6.429 | 2.870 | 14.489 | 16.799 | 0.645 | 0.446 |
| 40 | 安山岩 | 5.660 | 5.437 | 24.170 | 18.901 | 0.850 | 0.961 | 5.586 | 2.524 | 11.072 | 14.364 | 0.674 | 0.452 |
| 41 | 安山岩 | 7.150 | 5.814 | 32.650 | 22.781 | 0.791 | 0.813 | 6.808 | 4.084 | 21.838 | 19.729 | 0.705 | 0.600 |
| 42 | 安山岩 | 8.519 | 7.216 | 48.280 | 27.952 | 0.777 | 0.847 | 9.533 | 5.012 | 37.524 | 25.354 | 0.734 | 0.526 |
| 43 | 安山岩 | 7.158 | 6.004 | 33.751 | 22.391 | 0.846 | 0.839 | 7.582 | 3.945 | 23.494 | 20.207 | 0.723 | 0.520 |
| 44 | 安山岩 | 6.999 | 4.395 | 24.159 | 20.328 | 0.735 | 0.628 | 7.154 | 3.377 | 18.974 | 18.732 | 0.680 | 0.472 |
| 45 | 安山岩 | 8.077 | 7.207 | 45.722 | 26.920 | 0.793 | 0.892 | 8.525 | 5.225 | 34.987 | 24.191 | 0.751 | 0.613 |
| 46 | 安山岩 | 6.740 | 3.915 | 20.723 | 18.948 | 0.725 | 0.581 | 7.181 | 2.398 | 13.526 | 17.145 | 0.578 | 0.334 |
| 47 | 安山岩 | 6.874 | 5.917 | 31.946 | 22.828 | 0.770 | 0.861 | 7.386 | 3.391 | 19.673 | 19.454 | 0.653 | 0.459 |
| 48 | 安山岩 | 5.973 | 5.181 | 24.306 | 22.139 | 0.623 | 0.867 | 6.687 | 1.499 | 7.871 | 15.325 | 0.421 | 0.224 |
| 49 | 安山岩 | 9.651 | 6.438 | 48.801 | 29.990 | 0.682 | 0.667 | 10.422 | 4.240 | 34.709 | 26.099 | 0.640 | 0.407 |
| 50 | 安山岩 | 10.454 | 3.735 | 30.666 | 26.130 | 0.564 | 0.357 | 10.586 | 2.767 | 23.009 | 25.378 | 0.449 | 0.261 |
| 51 | 安山岩 | 8.732 | 6.931 | 47.528 | 28.910 | 0.715 | 0.794 | 10.218 | 4.142 | 33.240 | 25.277 | 0.654 | 0.405 |
| 52 | 安山岩 | 7.713 | 4.186 | 25.360 | 21.521 | 0.688 | 0.543 | 7.784 | 3.302 | 20.186 | 19.769 | 0.649 | 0.424 |
| 53 | 安山岩 | 7.545 | 4.385 | 25.986 | 21.806 | 0.687 | 0.581 | 7.917 | 3.849 | 23.931 | 20.721 | 0.700 | 0.486 |
| 54 | 安山岩 | 6.811 | 5.773 | 30.879 | 21.926 | 0.807 | 0.848 | 6.170 | 4.954 | 24.006 | 19.426 | 0.799 | 0.803 |
| 55 | 安山岩 | 5.941 | 5.189 | 24.213 | 18.898 | 0.852 | 0.873 | 5.841 | 4.747 | 21.779 | 1 | | |

礫種及び礫の形状の計測データ -小浦川(1/2)-

| 試料No. | 礫種 | よこ置き(ab面) | | | | | たて置き(ac面) | | | | | | |
|-------|-----|---------------|----------------|--------------------------|-------------|----------------------|-----------------|---------------|---------------|--------------------------|-------------|----------------------|----------------|
| | | 長径(a) (cm) | 中間径(b) (cm) | 面積 (cm ²) | 周囲長 (cm) | 真円度 (Circularity) | 中間径長径比 (b/a) | 長径(a) (cm) | 短径(c) (cm) | 面積 (cm ²) | 周囲長 (cm) | 真円度 (Circularity) | 短径長径比 (c/a) |
| 1 | 安山岩 | 12.143 | 7.555 | 72.054 | 37.104 | 0.658 | 0.622 | 12.571 | 3.485 | 34.412 | 31.022 | 0.449 | 0.277 |
| 2 | 安山岩 | 13.226 | 8.215 | 85.334 | 40.982 | 0.638 | 0.621 | 14.162 | 2.710 | 30.143 | 31.425 | 0.384 | 0.191 |
| 3 | 安山岩 | 13.617 | 6.204 | 66.357 | 37.067 | 0.607 | 0.456 | 13.809 | 5.899 | 63.983 | 36.524 | 0.603 | 0.427 |
| 4 | 安山岩 | 11.518 | 7.517 | 67.996 | 34.532 | 0.717 | 0.653 | 12.276 | 5.021 | 48.409 | 30.985 | 0.634 | 0.409 |
| 5 | 安山岩 | 8.048 | 5.842 | 36.927 | 24.401 | 0.779 | 0.726 | 8.631 | 1.540 | 10.442 | 19.113 | 0.359 | 0.178 |
| 6 | 安山岩 | 12.228 | 7.180 | 68.954 | 34.088 | 0.746 | 0.587 | 12.946 | 4.692 | 47.707 | 31.811 | 0.592 | 0.362 |
| 7 | 安山岩 | 15.029 | 5.953 | 70.273 | 40.285 | 0.544 | 0.396 | 15.214 | 4.545 | 54.306 | 37.164 | 0.494 | 0.299 |
| 8 | 安山岩 | 11.445 | 10.020 | 90.071 | 41.660 | 0.652 | 0.875 | 13.309 | 2.614 | 27.322 | 30.262 | 0.375 | 0.196 |
| 9 | 安山岩 | 8.037 | 6.712 | 42.367 | 26.212 | 0.775 | 0.835 | 8.365 | 2.743 | 18.021 | 20.061 | 0.563 | 0.328 |
| 10 | 安山岩 | 11.937 | 7.126 | 66.808 | 33.738 | 0.738 | 0.597 | 11.539 | 6.800 | 61.625 | 33.754 | 0.680 | 0.589 |
| 11 | 安山岩 | 12.348 | 10.261 | 99.516 | 39.712 | 0.793 | 0.831 | 12.216 | 5.958 | 57.169 | 33.813 | 0.628 | 0.488 |
| 12 | 安山岩 | 6.670 | 6.187 | 32.409 | 22.837 | 0.781 | 0.928 | 7.094 | 3.732 | 20.793 | 19.448 | 0.691 | 0.526 |
| 13 | 安山岩 | 7.042 | 5.858 | 32.394 | 23.005 | 0.769 | 0.832 | 7.786 | 3.479 | 21.273 | 19.926 | 0.673 | 0.447 |
| 14 | 安山岩 | 11.768 | 5.363 | 49.569 | 29.890 | 0.697 | 0.456 | 11.172 | 4.508 | 39.554 | 28.356 | 0.618 | 0.404 |
| 15 | 安山岩 | 7.995 | 5.159 | 32.393 | 23.729 | 0.723 | 0.645 | 8.377 | 2.754 | 18.116 | 21.397 | 0.497 | 0.329 |
| 16 | 安山岩 | 6.177 | 5.373 | 26.068 | 19.487 | 0.863 | 0.870 | 6.414 | 3.234 | 16.294 | 16.741 | 0.731 | 0.504 |
| 17 | 安山岩 | 6.116 | 5.230 | 25.121 | 19.671 | 0.816 | 0.855 | 6.993 | 3.433 | 18.854 | 18.456 | 0.696 | 0.491 |
| 18 | 安山岩 | 8.007 | 5.189 | 32.631 | 23.436 | 0.747 | 0.648 | 7.773 | 4.282 | 26.142 | 21.526 | 0.709 | 0.551 |
| 19 | 安山岩 | 17.404 | 13.625 | 186.248 | 58.118 | 0.693 | 0.783 | 20.027 | 9.149 | 143.905 | 52.044 | 0.668 | 0.457 |
| 20 | 安山岩 | 9.362 | 4.560 | 33.526 | 25.451 | 0.650 | 0.487 | 9.179 | 2.843 | 20.492 | 21.706 | 0.547 | 0.310 |
| 21 | 安山岩 | 10.406 | 7.738 | 63.246 | 32.321 | 0.761 | 0.744 | 9.969 | 3.814 | 29.862 | 26.107 | 0.551 | 0.383 |
| 22 | 安山岩 | 6.971 | 5.900 | 32.305 | 22.407 | 0.809 | 0.846 | 7.114 | 2.684 | 14.999 | 17.676 | 0.603 | 0.377 |
| 23 | 安山岩 | 14.571 | 12.728 | 145.655 | 48.047 | 0.793 | 0.874 | 13.498 | 9.206 | 97.599 | 42.219 | 0.688 | 0.682 |
| 24 | 安山岩 | 19.275 | 11.315 | 171.284 | 54.776 | 0.717 | 0.587 | 20.828 | 6.444 | 105.420 | 50.353 | 0.522 | 0.309 |
| 25 | 安山岩 | 9.497 | 6.093 | 45.449 | 27.177 | 0.773 | 0.642 | 9.185 | 5.075 | 36.609 | 26.143 | 0.673 | 0.553 |
| 26 | 安山岩 | 13.390 | 8.028 | 84.427 | 37.840 | 0.741 | 0.600 | 13.655 | 6.838 | 73.334 | 36.859 | 0.678 | 0.501 |
| 27 | 安山岩 | 9.555 | 8.726 | 65.478 | 32.574 | 0.775 | 0.913 | 10.339 | 2.398 | 19.474 | 22.994 | 0.463 | 0.232 |
| 28 | 安山岩 | 8.456 | 7.159 | 47.546 | 28.881 | 0.716 | 0.847 | 10.521 | 3.346 | 27.651 | 25.176 | 0.548 | 0.318 |
| 29 | 安山岩 | 9.892 | 2.871 | 22.309 | 23.677 | 0.500 | 0.290 | 9.059 | 2.422 | 17.234 | 22.280 | 0.436 | 0.267 |
| 30 | 安山岩 | 5.877 | 4.732 | 21.839 | 18.863 | 0.771 | 0.805 | 6.345 | 3.660 | 18.236 | 17.661 | 0.735 | 0.577 |
| 31 | 安山岩 | 10.501 | 7.880 | 64.987 | 32.851 | 0.757 | 0.750 | 10.236 | 6.791 | 54.598 | 30.724 | 0.727 | 0.663 |
| 32 | 安山岩 | 13.284 | 8.957 | 93.454 | 39.273 | 0.761 | 0.674 | 12.921 | 6.546 | 66.432 | 35.376 | 0.667 | 0.507 |
| 33 | 安山岩 | 8.473 | 6.203 | 41.279 | 26.155 | 0.758 | 0.732 | 8.625 | 3.163 | 21.424 | 20.807 | 0.622 | 0.367 |
| 34 | 安山岩 | 6.839 | 5.498 | 29.531 | 21.705 | 0.788 | 0.804 | 6.903 | 3.145 | 17.053 | 18.134 | 0.652 | 0.456 |
| 35 | 安山岩 | 10.059 | 4.671 | 36.899 | 26.736 | 0.649 | 0.464 | 9.704 | 3.895 | 29.681 | 25.251 | 0.585 | 0.401 |
| 36 | 安山岩 | 13.179 | 9.843 | 101.886 | 40.691 | 0.773 | 0.747 | 15.700 | 5.318 | 65.569 | 38.425 | 0.558 | 0.339 |
| 37 | 安山岩 | 6.190 | 4.860 | 23.629 | 20.009 | 0.742 | 0.785 | 6.573 | 3.433 | 17.720 | 17.995 | 0.688 | 0.522 |
| 38 | 安山岩 | 7.124 | 5.615 | 31.415 | 22.682 | 0.767 | 0.788 | 7.312 | 2.701 | 15.509 | 18.176 | 0.590 | 0.369 |
| 39 | 安山岩 | 7.759 | 5.065 | 30.866 | 22.662 | 0.755 | 0.653 | 8.847 | 2.832 | 19.676 | 20.647 | 0.580 | 0.320 |
| 40 | 安山岩 | 6.556 | 6.006 | 30.926 | 21.137 | 0.870 | 0.916 | 6.574 | 4.142 | 21.389 | 18.381 | 0.796 | 0.630 |
| 41 | 安山岩 | 12.641 | 9.974 | 99.017 | 40.985 | 0.741 | 0.789 | 13.437 | 4.734 | 49.958 | 32.512 | 0.594 | 0.352 |
| 42 | 安山岩 | 17.043 | 10.616 | 142.096 | 50.115 | 0.711 | 0.623 | 18.048 | 5.195 | 73.633 | 43.926 | 0.480 | 0.288 |
| 43 | 安山岩 | 13.586 | 9.283 | 99.058 | 41.726 | 0.715 | 0.683 | 14.974 | 2.804 | 32.979 | 33.103 | 0.378 | 0.187 |
| 44 | 安山岩 | 8.467 | 5.517 | 36.685 | 26.129 | 0.675 | 0.652 | 9.979 | 2.033 | 15.931 | 21.821 | 0.420 | 0.204 |
| 45 | 安山岩 | 7.738 | 6.419 | 39.008 | 24.576 | 0.812 | 0.830 | 8.116 | 4.698 | 29.947 | 22.742 | 0.728 | 0.579 |
| 46 | 安山岩 | 6.994 | 5.497 | 30.194 | 21.782 | 0.800 | 0.786 | 7.638 | 2.273 | 13.634 | 17.929 | 0.533 | 0.298 |
| 47 | 安山岩 | 10.247 | 4.593 | 36.961 | 27.453 | 0.616 | 0.448 | 10.782 | 3.891 | 32.952 | 26.002 | 0.612 | 0.361 |
| 48 | 安山岩 | 9.474 | 7.038 | 52.369 | 30.721 | 0.697 | 0.743 | 9.901 | 2.768 | 21.524 | 23.853 | 0.475 | 0.280 |
| 49 | 安山岩 | 14.751 | 4.274 | 49.514 | 36.401 | 0.470 | 0.290 | 14.992 | 5.110 | 60.173 | 37.491 | 0.538 | 0.341 |
| 50 | 安山岩 | 8.779 | 4.753 | 32.768 | 23.942 | 0.718 | 0.541 | 9.065 | 3.476 | 24.749 | 22.325 | 0.624 | 0.383 |
| 51 | 安山岩 | 10.056 | 5.083 | 40.144 | 27.263 | 0.679 | 0.505 | 10.399 | 1.436 | 11.732 | 22.268 | 0.297 | 0.138 |
| 52 | 安山岩 | 8.029 | 6.689 | 42.181 | 26.522 | 0.754 | 0.833 | 9.729 | 2.423 | 18.519 | 21.742 | 0.492 | 0.249 |
| 53 | 安山岩 | 12.993 | 8.336 | 85.065 | 40.209 | 0.661 | 0.642 | 12.368 | 4.649 | 45.157 | 32.826 | 0.527 | 0.376 |
| 54 | 安山岩 | 12.806 | 5.326 | 53.566 | 33.699 | 0.593 | 0.416 | 13.128 | 6.183 | 63.745 | 33.842 | 0.699 | 0.471 |
| 55 | 安山岩 | 15.232 | 6.643 | 79.471 | 40.704 | 0.603 | 0.436 | 15.280 | 3.848 | 46.179 | 37.271 | 0.418 | 0.252</ |

礫種及び礫の形状の計測データ －小浦川(2/2)－

| 試料 No. | 礫種 | よこ置き(ab面) | | | | | | たて置き(ac面) | | | | | |
|-----------|-----|---------------|----------------|--------------------------|-------------|----------------------|-----------------|---------------|---------------|--------------------------|-------------|----------------------|----------------|
| | | 長径(a) (cm) | 中間径(b) (cm) | 面積 (cm ²) | 周囲長 (cm) | 真円度 (Circularity) | 中間径長径比 (b/a) | 長径(a) (cm) | 短径(c) (cm) | 面積 (cm ²) | 周囲長 (cm) | 真円度 (Circularity) | 短径長径比 (c/a) |
| 136 | 安山岩 | 9.792 | 4.916 | 37.807 | 25.792 | 0.714 | 0.502 | 9.905 | 4.081 | 31.746 | 24.996 | 0.639 | 0.412 |
| 137 | 安山岩 | 8.853 | 4.337 | 30.153 | 23.758 | 0.671 | 0.490 | 9.099 | 1.798 | 12.849 | 21.123 | 0.362 | 0.198 |
| 138 | 安山岩 | 7.068 | 5.786 | 32.117 | 22.611 | 0.789 | 0.819 | 7.825 | 2.330 | 14.321 | 17.868 | 0.564 | 0.298 |
| 139 | 安山岩 | 5.834 | 4.027 | 18.455 | 17.064 | 0.797 | 0.690 | 6.086 | 3.493 | 16.695 | 16.710 | 0.751 | 0.574 |
| 140 | 安山岩 | 9.682 | 5.320 | 40.456 | 25.798 | 0.764 | 0.549 | 9.139 | 3.476 | 24.950 | 23.059 | 0.590 | 0.380 |
| 141 | 安山岩 | 6.011 | 4.592 | 21.676 | 18.443 | 0.801 | 0.764 | 6.196 | 3.294 | 16.032 | 16.665 | 0.725 | 0.532 |
| 142 | 安山岩 | 6.355 | 4.290 | 21.412 | 18.365 | 0.798 | 0.675 | 7.054 | 2.324 | 12.874 | 16.792 | 0.574 | 0.329 |
| 143 | 安山岩 | 7.036 | 5.537 | 30.595 | 23.524 | 0.695 | 0.787 | 7.788 | 2.199 | 13.453 | 18.002 | 0.522 | 0.282 |
| 144 | 安山岩 | 10.220 | 6.249 | 50.159 | 28.215 | 0.792 | 0.611 | 10.105 | 4.848 | 38.478 | 26.737 | 0.676 | 0.480 |
| 145 | 安山岩 | 7.895 | 7.310 | 45.327 | 25.846 | 0.853 | 0.926 | 7.893 | 3.158 | 19.574 | 19.578 | 0.642 | 0.400 |
| 146 | 安山岩 | 7.096 | 4.448 | 24.787 | 20.100 | 0.771 | 0.627 | 7.013 | 3.074 | 16.934 | 17.673 | 0.681 | 0.438 |
| 147 | 安山岩 | 8.430 | 5.403 | 35.774 | 24.023 | 0.779 | 0.641 | 8.912 | 3.130 | 21.908 | 22.331 | 0.552 | 0.351 |
| 148 | 安山岩 | 7.502 | 7.338 | 43.241 | 25.312 | 0.848 | 0.978 | 7.669 | 2.880 | 17.346 | 18.611 | 0.629 | 0.376 |
| 149 | 安山岩 | 6.642 | 4.293 | 22.397 | 19.328 | 0.753 | 0.646 | 6.671 | 2.981 | 15.616 | 17.125 | 0.669 | 0.447 |
| 150 | 安山岩 | 8.333 | 4.884 | 31.966 | 22.871 | 0.768 | 0.586 | 8.312 | 2.372 | 15.487 | 19.139 | 0.531 | 0.285 |
| 151 | 安山岩 | 6.030 | 5.122 | 24.256 | 19.414 | 0.809 | 0.849 | 6.032 | 3.010 | 14.260 | 15.731 | 0.724 | 0.499 |
| 152 | 安山岩 | 8.096 | 5.796 | 36.854 | 24.629 | 0.763 | 0.716 | 8.764 | 2.991 | 20.589 | 21.794 | 0.545 | 0.341 |
| 153 | 安山岩 | 7.990 | 3.689 | 23.153 | 21.339 | 0.639 | 0.462 | 8.281 | 2.631 | 17.111 | 19.698 | 0.554 | 0.318 |
| 154 | 安山岩 | 7.050 | 3.786 | 20.963 | 18.947 | 0.734 | 0.537 | 7.531 | 2.746 | 16.244 | 17.864 | 0.640 | 0.365 |
| 155 | 安山岩 | 6.844 | 4.521 | 24.305 | 20.661 | 0.715 | 0.661 | 7.308 | 3.321 | 19.063 | 18.966 | 0.666 | 0.454 |

風化による形状への影響が大きい径5cm未満の礫を除くために、ab面における(a+b)/2の値、ac面における(a+c)/2の値のいずれかが5cm未満の礫(灰色の網掛け部)は、平均値の計算に含めない。

| データ数 | 平均真円度(ab面) | 平均中間径長径比 | 平均短径長径比 |
|------|------------|----------|---------|
| 132 | 0.728 | 0.674 | 0.413 |

礫種及び礫の形状の計測データ — No.2トレーニチ, 35m盤トレーニチ

第1049回審査会合 机上配布資料1
P.5.3-1-156 再掲

【No.2トレーニチ】

| 試料 No. | 礫種 | よこ置き(ab面) | | | | | | たて置き(ac面) | | | | | |
|-----------|-----|---------------|----------------|--------------------------|-------------|----------------------|-----------------|---------------|---------------|--------------------------|-------------|----------------------|----------------|
| | | 長径(a) (cm) | 中間径(b) (cm) | 面積 (cm ²) | 周囲長 (cm) | 真円度 (Circularity) | 中間径長径比 (b/a) | 長径(a) (cm) | 短径(c) (cm) | 面積 (cm ²) | 周囲長 (cm) | 真円度 (Circularity) | 短径長径比 (c/a) |
| 1 | 安山岩 | 35.861 | 25.284 | 712.140 | 107.677 | 0.772 | 0.705 | 36.261 | 20.025 | 570.309 | 96.734 | 0.766 | 0.552 |
| 2 | 安山岩 | 16.067 | 9.915 | 125.111 | 45.081 | 0.774 | 0.617 | 17.777 | 4.127 | 57.614 | 39.639 | 0.461 | 0.232 |
| 3 | 安山岩 | 11.264 | 10.593 | 93.713 | 36.957 | 0.862 | 0.940 | 11.080 | 9.461 | 82.326 | 34.824 | 0.853 | 0.854 |
| 4 | 安山岩 | 13.539 | 8.727 | 92.798 | 38.768 | 0.776 | 0.645 | 13.609 | 6.882 | 73.558 | 36.137 | 0.708 | 0.506 |
| 5 | 安山岩 | 10.981 | 9.401 | 81.078 | 36.105 | 0.782 | 0.856 | 10.885 | 7.007 | 59.904 | 32.347 | 0.719 | 0.644 |
| 6 | 安山岩 | 8.319 | 6.317 | 41.276 | 24.945 | 0.834 | 0.759 | 9.048 | 3.811 | 27.079 | 22.143 | 0.694 | 0.421 |
| 7 | 安山岩 | 8.758 | 5.715 | 39.311 | 25.157 | 0.781 | 0.653 | 9.148 | 5.236 | 37.615 | 24.953 | 0.759 | 0.572 |
| 8 | 安山岩 | 9.074 | 5.881 | 41.912 | 26.135 | 0.771 | 0.648 | 9.589 | 3.194 | 24.053 | 23.073 | 0.568 | 0.333 |
| 9 | 安山岩 | 10.700 | 8.007 | 67.293 | 33.871 | 0.737 | 0.748 | 10.865 | 7.264 | 61.984 | 31.884 | 0.766 | 0.669 |
| 10 | 安山岩 | 13.904 | 12.306 | 134.384 | 44.695 | 0.845 | 0.885 | 14.436 | 6.864 | 77.818 | 37.122 | 0.710 | 0.475 |
| 11 | 安山岩 | 12.243 | 9.743 | 93.686 | 37.762 | 0.826 | 0.796 | 12.549 | 7.195 | 70.920 | 34.589 | 0.745 | 0.573 |
| 12 | 安山岩 | 18.517 | 11.268 | 163.873 | 52.731 | 0.741 | 0.609 | 18.415 | 8.154 | 117.934 | 48.255 | 0.636 | 0.443 |
| 13 | 安山岩 | 18.337 | 12.124 | 174.608 | 53.212 | 0.775 | 0.661 | 17.132 | 11.938 | 160.641 | 51.013 | 0.776 | 0.697 |
| 14 | 安山岩 | 12.844 | 8.640 | 87.158 | 37.885 | 0.763 | 0.673 | 12.351 | 5.508 | 53.426 | 33.713 | 0.591 | 0.446 |
| 15 | 安山岩 | 18.362 | 16.311 | 235.226 | 59.209 | 0.843 | 0.888 | 19.289 | 7.942 | 120.316 | 47.418 | 0.672 | 0.412 |
| 16 | 安山岩 | 19.293 | 12.646 | 191.627 | 55.875 | 0.771 | 0.655 | 20.346 | 7.483 | 119.569 | 50.588 | 0.587 | 0.368 |
| 17 | 安山岩 | 18.225 | 15.049 | 215.406 | 59.443 | 0.766 | 0.826 | 20.731 | 7.822 | 127.359 | 51.405 | 0.606 | 0.377 |

【35m盤トレーニチ】

| 試料 No. | 礫種 | よこ置き(ab面) | | | | | | たて置き(ac面) | | | | | |
|-----------|-----|---------------|----------------|--------------------------|-------------|----------------------|-----------------|---------------|---------------|--------------------------|-------------|----------------------|----------------|
| | | 長径(a) (cm) | 中間径(b) (cm) | 面積 (cm ²) | 周囲長 (cm) | 真円度 (Circularity) | 中間径長径比 (b/a) | 長径(a) (cm) | 短径(c) (cm) | 面積 (cm ²) | 周囲長 (cm) | 真円度 (Circularity) | 短径長径比 (c/a) |
| 1 | 安山岩 | 35.467 | 32.106 | 894.358 | 116.275 | 0.831 | 0.905 | 38.979 | 18.840 | 576.769 | 101.885 | 0.698 | 0.483 |
| 2 | 安山岩 | 10.369 | 7.151 | 58.239 | 30.795 | 0.772 | 0.690 | 10.493 | 5.549 | 45.730 | 28.827 | 0.692 | 0.529 |
| 3 | 安山岩 | 10.900 | 7.137 | 61.099 | 31.050 | 0.796 | 0.655 | 10.981 | 6.879 | 59.326 | 30.575 | 0.797 | 0.626 |
| 4 | 安山岩 | 11.431 | 10.919 | 98.028 | 38.008 | 0.853 | 0.955 | 12.025 | 8.165 | 77.108 | 34.698 | 0.805 | 0.679 |
| 5 | 安山岩 | 8.914 | 6.902 | 48.319 | 26.884 | 0.840 | 0.774 | 8.820 | 4.323 | 29.945 | 23.025 | 0.710 | 0.490 |
| 6 | 安山岩 | 10.068 | 7.184 | 56.805 | 29.806 | 0.804 | 0.714 | 10.224 | 5.857 | 47.031 | 28.315 | 0.737 | 0.573 |
| 7 | 安山岩 | 14.395 | 10.841 | 122.569 | 44.181 | 0.789 | 0.753 | 16.232 | 7.755 | 98.859 | 42.198 | 0.698 | 0.478 |
| 8 | 安山岩 | 7.966 | 4.310 | 26.967 | 21.694 | 0.720 | 0.541 | 7.404 | 3.917 | 22.778 | 20.533 | 0.679 | 0.529 |
| 9 | 安山岩 | 15.708 | 8.552 | 105.512 | 43.134 | 0.713 | 0.544 | 16.705 | 6.183 | 81.117 | 40.716 | 0.615 | 0.370 |
| 10 | 安山岩 | 13.028 | 9.867 | 100.961 | 41.634 | 0.732 | 0.757 | 13.293 | 7.270 | 75.898 | 38.109 | 0.657 | 0.547 |

| データ数 | 平均真円度(ab面) | 平均中間径長径比 | 平均短径長径比 |
|------|------------|----------|---------|
| 10 | 0.785 | 0.729 | 0.530 |

| データ数 | 平均真円度(ab面) | 平均中間径長径比 | 平均短径長径比 |
|------|------------|----------|---------|
| 17 | 0.789 | 0.739 | 0.504 |

礫種及び礫の形状の計測データ 一駐車場南東方トレンチ, 35m盤法面一

第1049回審査会合 机上配布資料1
P.5.3-1-157 再掲

【駐車場南東方トレンチ】

| 試料No. | 礫種 | よこ置き(ab面) | | | | | たて置き(ac面) | | | | | | |
|-------|-----|---------------|----------------|--------------------------|-------------|----------------------|-----------------|---------------|---------------|--------------------------|-------------|----------------------|----------------|
| | | 長径(a) (cm) | 中間径(b) (cm) | 面積 (cm ²) | 周囲長 (cm) | 真円度 (Circularity) | 中間径長径比 (b/a) | 長径(a) (cm) | 短径(c) (cm) | 面積 (cm ²) | 周囲長 (cm) | 真円度 (Circularity) | 短径長径比 (c/a) |
| 1 | 安山岩 | 14.478 | 10.332 | 117.485 | 43.329 | 0.786 | 0.714 | 14.710 | 7.963 | 92.000 | 39.338 | 0.747 | 0.541 |
| 2 | 安山岩 | 16.011 | 11.713 | 147.294 | 49.041 | 0.770 | 0.732 | 16.819 | 8.315 | 109.834 | 46.163 | 0.648 | 0.494 |
| 3 | 安山岩 | 6.900 | 4.735 | 25.658 | 20.249 | 0.786 | 0.686 | 6.977 | 3.223 | 17.659 | 17.643 | 0.713 | 0.462 |
| 4 | 安山岩 | 12.185 | 5.471 | 52.359 | 34.379 | 0.557 | 0.449 | 13.045 | 4.265 | 43.692 | 31.726 | 0.545 | 0.327 |
| 5 | 安山岩 | 7.671 | 6.387 | 38.479 | 24.690 | 0.793 | 0.833 | 8.085 | 4.332 | 27.511 | 21.646 | 0.738 | 0.536 |
| 6 | 安山岩 | 7.924 | 6.823 | 42.464 | 25.197 | 0.841 | 0.861 | 8.672 | 3.733 | 25.428 | 21.446 | 0.695 | 0.430 |
| 7 | 安山岩 | 7.436 | 5.047 | 29.472 | 22.334 | 0.742 | 0.679 | 7.668 | 3.797 | 22.868 | 20.428 | 0.689 | 0.495 |
| 8 | 安山岩 | 6.606 | 5.847 | 30.336 | 21.590 | 0.818 | 0.885 | 7.124 | 4.009 | 22.433 | 19.728 | 0.724 | 0.563 |
| 9 | 安山岩 | 7.596 | 6.528 | 38.944 | 23.573 | 0.881 | 0.859 | 7.751 | 5.382 | 32.763 | 21.929 | 0.856 | 0.694 |
| 10 | 安山岩 | 8.353 | 7.068 | 46.367 | 27.244 | 0.785 | 0.846 | 9.663 | 5.049 | 38.320 | 25.648 | 0.732 | 0.523 |
| 11 | 安山岩 | 9.449 | 5.608 | 41.620 | 26.093 | 0.768 | 0.594 | 9.233 | 5.596 | 40.578 | 25.599 | 0.778 | 0.606 |
| 12 | 安山岩 | 8.641 | 6.930 | 47.029 | 26.706 | 0.829 | 0.802 | 8.128 | 5.511 | 35.181 | 24.024 | 0.766 | 0.678 |
| 13 | 安山岩 | 6.037 | 5.724 | 27.140 | 19.911 | 0.860 | 0.948 | 6.067 | 3.548 | 16.907 | 16.476 | 0.783 | 0.585 |
| 14 | 安山岩 | 8.224 | 5.318 | 34.346 | 22.976 | 0.818 | 0.647 | 8.343 | 4.816 | 31.558 | 22.357 | 0.793 | 0.577 |
| 15 | 安山岩 | 11.263 | 9.069 | 80.220 | 35.550 | 0.798 | 0.805 | 12.086 | 8.252 | 78.330 | 34.443 | 0.830 | 0.683 |
| 16 | 安山岩 | 9.961 | 5.937 | 46.451 | 27.831 | 0.754 | 0.596 | 10.118 | 4.623 | 36.739 | 25.649 | 0.702 | 0.457 |
| 17 | 安山岩 | 8.444 | 5.496 | 36.451 | 24.314 | 0.775 | 0.651 | 7.821 | 4.028 | 24.746 | 21.092 | 0.699 | 0.515 |
| 18 | 安山岩 | 7.577 | 5.112 | 30.420 | 21.985 | 0.791 | 0.675 | 7.793 | 4.582 | 28.043 | 21.347 | 0.773 | 0.588 |
| 19 | 安山岩 | 10.161 | 9.431 | 75.262 | 33.201 | 0.858 | 0.928 | 10.736 | 6.309 | 53.191 | 28.925 | 0.799 | 0.588 |
| 20 | 安山岩 | 5.541 | 4.771 | 20.761 | 17.591 | 0.843 | 0.861 | 5.651 | 3.279 | 14.552 | 15.175 | 0.794 | 0.580 |
| 21 | 安山岩 | 6.731 | 4.187 | 22.137 | 19.050 | 0.767 | 0.622 | 6.975 | 3.287 | 18.008 | 17.840 | 0.711 | 0.471 |
| 22 | 安山岩 | 7.610 | 7.101 | 42.444 | 24.601 | 0.881 | 0.933 | 7.830 | 5.841 | 35.920 | 22.801 | 0.868 | 0.746 |
| 23 | 安山岩 | 7.119 | 6.439 | 36.004 | 22.678 | 0.880 | 0.904 | 7.284 | 4.522 | 25.869 | 20.231 | 0.794 | 0.621 |
| 24 | 安山岩 | 7.000 | 5.785 | 31.804 | 22.199 | 0.811 | 0.826 | 6.993 | 4.979 | 27.347 | 20.625 | 0.808 | 0.712 |
| 25 | 安山岩 | 8.631 | 6.822 | 46.247 | 26.689 | 0.816 | 0.790 | 9.365 | 4.103 | 30.174 | 23.314 | 0.698 | 0.438 |
| 26 | 安山岩 | 10.417 | 6.480 | 53.018 | 29.045 | 0.790 | 0.622 | 10.634 | 4.338 | 36.234 | 26.652 | 0.641 | 0.408 |
| 27 | 安山岩 | 13.313 | 7.364 | 76.993 | 36.769 | 0.716 | 0.553 | 13.948 | 7.198 | 78.856 | 36.593 | 0.740 | 0.516 |
| 28 | 安山岩 | 7.431 | 5.212 | 30.419 | 21.226 | 0.848 | 0.701 | 7.554 | 3.966 | 23.531 | 19.640 | 0.767 | 0.525 |
| 29 | 安山岩 | 6.938 | 5.287 | 28.810 | 20.464 | 0.865 | 0.762 | 7.286 | 2.746 | 15.715 | 17.509 | 0.644 | 0.377 |
| 30 | 安山岩 | 11.580 | 8.717 | 79.280 | 35.372 | 0.796 | 0.753 | 12.371 | 5.354 | 52.025 | 30.667 | 0.695 | 0.433 |
| 31 | 安山岩 | 9.255 | 8.170 | 59.389 | 29.731 | 0.844 | 0.883 | 9.133 | 5.800 | 41.607 | 26.289 | 0.757 | 0.635 |
| 32 | 安山岩 | 7.205 | 4.318 | 24.433 | 19.720 | 0.790 | 0.599 | 7.039 | 3.897 | 21.546 | 18.877 | 0.760 | 0.554 |
| 33 | 安山岩 | 7.011 | 5.872 | 32.331 | 22.422 | 0.808 | 0.838 | 7.818 | 4.924 | 30.236 | 21.857 | 0.795 | 0.630 |
| 34 | 安山岩 | 8.778 | 4.886 | 33.682 | 23.720 | 0.752 | 0.557 | 9.091 | 3.892 | 27.786 | 22.511 | 0.689 | 0.428 |
| 35 | 安山岩 | 6.294 | 5.902 | 29.174 | 20.732 | 0.853 | 0.938 | 6.149 | 5.119 | 24.724 | 19.832 | 0.790 | 0.832 |
| 36 | 安山岩 | 11.219 | 7.946 | 70.016 | 33.725 | 0.774 | 0.708 | 11.636 | 8.086 | 73.896 | 34.295 | 0.790 | 0.695 |
| 37 | 安山岩 | 7.180 | 5.440 | 30.681 | 21.751 | 0.815 | 0.758 | 7.711 | 3.714 | 22.496 | 20.196 | 0.693 | 0.482 |
| 38 | 安山岩 | 8.406 | 5.799 | 38.286 | 24.026 | 0.833 | 0.690 | 8.247 | 3.848 | 24.929 | 21.158 | 0.700 | 0.467 |
| 39 | 安山岩 | 12.597 | 6.099 | 60.344 | 32.467 | 0.719 | 0.484 | 12.654 | 4.510 | 44.820 | 31.035 | 0.585 | 0.356 |
| 40 | 安山岩 | 12.604 | 6.279 | 62.155 | 34.361 | 0.662 | 0.498 | 12.514 | 4.370 | 42.951 | 30.924 | 0.564 | 0.349 |

風化による形状への影響が大きい径5cm未満の礫を除くために、ab面における(a+b)/2の値、ac面における(a+c)/2の値のいずれかが5cm未満の礫(灰色の網掛け部)は、平均値の計算に含めない。

| データ数 | 平均真円度(ab面) | 平均中間径長径比 | 平均短径長径比 |
|------|------------|----------|---------|
| 38 | 0.794 | 0.728 | 0.538 |

【35m盤法面】

| 試料No. | 礫種 | よこ置き(ab面) | | | | | たて置き(ac面) | | | | | | |
|-------|-----|---------------|----------------|--------------------------|-------------|----------------------|-----------------|---------------|---------------|--------------------------|-------------|----------------------|----------------|
| | | 長径(a) (cm) | 中間径(b) (cm) | 面積 (cm ²) | 周囲長 (cm) | 真円度 (Circularity) | 中間径長径比 (b/a) | 長径(a) (cm) | 短径(c) (cm) | 面積 (cm ²) | 周囲長 (cm) | 真円度 (Circularity) | 短径長径比 (c/a) |
| 1 | 安山岩 | 36.870 | 29.509 | 854.527 | 114.643 | 0.817 | 0.800 | 38.297 | 24.227 | 728.696 | 108.280 | 0.781 | 0.633 |
| 2 | 安山岩 | 21.997 | 16.000 | 276.436 | 68.621 | 0.738 | 0.727 | 24.556 | 12.173 | 234.773 | 63.852 | 0.724 | 0.496 |
| 3 | 安山岩 | 15.630 | 9.678 | 118.797 | 43.441 | 0.791 | 0.619 | 16.774 | 4.584 | 60.393 | 37.687 | 0.534 | 0.273 |
| 4 | 安山岩 | 13.486 | 8.121 | 86.014 | 37.620 | 0.764 | 0.602 | 14.107 | 6.689 | 74.116 | 36.654 | 0.693 | 0.474 |
| 5 | 安山岩 | 12.958 | 10.471 | 106.567 | 39.545 | 0.856 | 0.808 | 13.145 | 7.991 | 82.497 | 35.855 | 0.806 | 0.608 |
| 6 | 安山岩 | 12.054 | 10.481 | 99.226 | 39.462 | 0.801 | 0.870 | 12.954 | 8.111 | 82.522 | 36.786 | 0.766 | 0.626 |
| 7</ | | | | | | | | | | | | | |

礫種及び礫の形状の計測データ 一えん堤左岸トレーニング(追加部)一

第1049回審査会合 机上配布資料1
P.5.3-1-158 再掲

【えん堤左岸トレーニング(追加部)】

| 試料No. | 礫種 | トレーニング壁面でのみかけの形状 | | | | | |
|-------|-----|------------------|---------------|--------------------------|-------------|----------------------|----------------|
| | | 長径(a) (cm) | 短径(b) (cm) | 面積 (cm ²) | 周囲長 (cm) | 真円度 (Circularity) | 短径長径比 (b/a) |
| 1 | 安山岩 | 2.938 | 1.142 | 2.635 | 7.411 | 0.603 | 0.389 |
| 2 | 安山岩 | 2.468 | 1.401 | 2.715 | 6.718 | 0.756 | 0.568 |
| 3 | 安山岩 | 5.264 | 3.799 | 15.705 | 16.047 | 0.766 | 0.722 |
| 4 | 安山岩 | 3.550 | 1.415 | 3.945 | 9.101 | 0.598 | 0.399 |
| 5 | 安山岩 | 2.750 | 1.214 | 2.623 | 7.072 | 0.659 | 0.442 |
| 6 | 安山岩 | 4.143 | 2.374 | 7.725 | 11.320 | 0.758 | 0.573 |
| 7 | 安山岩 | 6.387 | 3.056 | 15.330 | 16.778 | 0.684 | 0.479 |
| 8 | 安山岩 | 2.970 | 1.774 | 4.138 | 8.225 | 0.768 | 0.597 |
| 9 | 安山岩 | 1.898 | 1.617 | 2.410 | 5.872 | 0.878 | 0.852 |
| 10 | 安山岩 | 2.045 | 1.561 | 2.508 | 6.004 | 0.874 | 0.763 |
| 11 | 安山岩 | 1.826 | 1.583 | 2.270 | 5.699 | 0.878 | 0.867 |
| 12 | 安山岩 | 2.143 | 1.316 | 2.215 | 5.875 | 0.806 | 0.614 |
| 13 | 安山岩 | 2.049 | 1.501 | 2.415 | 6.918 | 0.634 | 0.733 |
| 14 | 安山岩 | 6.116 | 3.650 | 17.535 | 16.895 | 0.772 | 0.597 |
| 15 | 安山岩 | 1.708 | 1.523 | 2.043 | 5.533 | 0.838 | 0.892 |
| 16 | 安山岩 | 2.829 | 1.005 | 2.233 | 6.870 | 0.594 | 0.355 |
| 17 | 安山岩 | 2.605 | 1.810 | 3.703 | 7.453 | 0.838 | 0.695 |
| 18 | 安山岩 | 3.903 | 1.835 | 5.625 | 10.306 | 0.665 | 0.470 |
| 19 | 安山岩 | 2.507 | 1.854 | 3.650 | 7.311 | 0.858 | 0.739 |
| 20 | 安山岩 | 5.130 | 3.177 | 12.800 | 14.575 | 0.757 | 0.619 |
| 21 | 安山岩 | 2.161 | 1.196 | 2.030 | 5.965 | 0.717 | 0.554 |
| 22 | 安山岩 | 2.715 | 2.001 | 4.268 | 8.160 | 0.805 | 0.737 |
| 23 | 安山岩 | 2.947 | 2.815 | 6.515 | 9.570 | 0.894 | 0.955 |
| 24 | 安山岩 | 2.432 | 1.182 | 2.258 | 6.170 | 0.745 | 0.486 |
| 25 | 安山岩 | 3.891 | 2.099 | 6.415 | 10.820 | 0.689 | 0.539 |
| 26 | 安山岩 | 2.076 | 1.369 | 2.233 | 5.704 | 0.862 | 0.659 |
| 27 | 安山岩 | 1.913 | 1.728 | 2.595 | 6.341 | 0.811 | 0.903 |
| 28 | 安山岩 | 3.168 | 1.914 | 4.763 | 9.040 | 0.732 | 0.604 |
| 29 | 安山岩 | 2.031 | 1.275 | 2.035 | 6.148 | 0.677 | 0.628 |
| 30 | 安山岩 | 3.391 | 2.418 | 6.440 | 9.869 | 0.831 | 0.713 |
| 31 | 安山岩 | 2.539 | 1.249 | 2.490 | 6.499 | 0.741 | 0.492 |
| 32 | 安山岩 | 2.381 | 1.982 | 3.705 | 7.289 | 0.876 | 0.832 |
| 33 | 安山岩 | 2.285 | 2.013 | 3.613 | 7.196 | 0.877 | 0.881 |
| 34 | 安山岩 | 3.605 | 2.940 | 8.323 | 11.252 | 0.826 | 0.816 |
| 35 | 安山岩 | 2.911 | 2.744 | 6.275 | 10.518 | 0.713 | 0.943 |
| 36 | 安山岩 | 2.798 | 2.122 | 4.663 | 8.455 | 0.820 | 0.758 |
| 37 | 安山岩 | 2.662 | 1.919 | 4.013 | 7.811 | 0.826 | 0.721 |
| 38 | 安山岩 | 2.357 | 1.330 | 2.463 | 6.577 | 0.715 | 0.564 |
| 39 | 安山岩 | 4.103 | 1.869 | 6.023 | 10.736 | 0.657 | 0.455 |
| 40 | 安山岩 | 3.185 | 1.941 | 4.855 | 8.660 | 0.814 | 0.609 |

礫径が小さく礫を採取することが困難であったため、トレーニング西壁面の写真から礫をトレースして計測を実施。

計測した礫のみかけの長径と短径の平均値は1試料を除きすべて5cm未満(灰色の網掛け部)である。

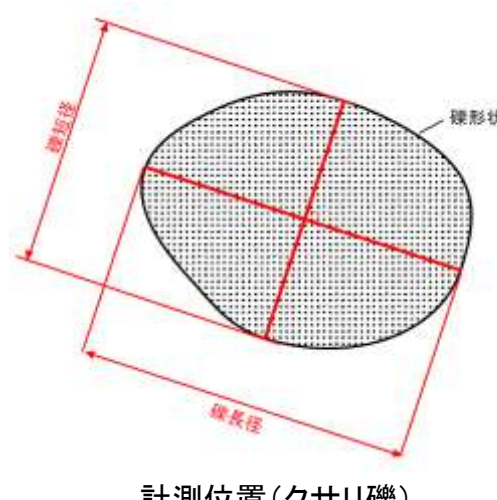
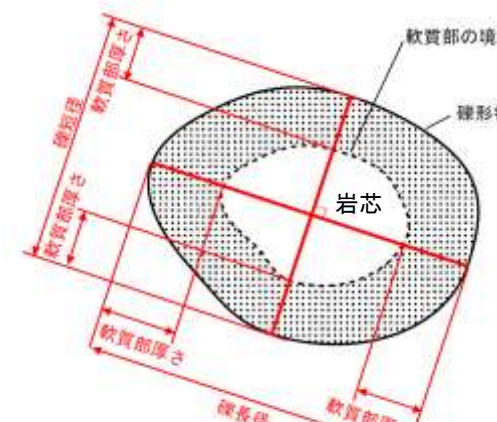
| 試料No. | 礫種 | トレーニング壁面でのみかけの形状 | | | | | |
|-------|-----|------------------|---------------|--------------------------|-------------|----------------------|----------------|
| | | 長径(a) (cm) | 短径(b) (cm) | 面積 (cm ²) | 周囲長 (cm) | 真円度 (Circularity) | 短径長径比 (b/a) |
| 41 | 安山岩 | 2.968 | 1.530 | 3.568 | 7.796 | 0.738 | 0.516 |
| 42 | 安山岩 | 2.855 | 2.145 | 4.810 | 8.608 | 0.816 | 0.751 |
| 43 | 安山岩 | 4.650 | 3.022 | 11.038 | 12.969 | 0.825 | 0.650 |
| 44 | 安山岩 | 3.518 | 2.273 | 6.280 | 10.225 | 0.755 | 0.646 |
| 45 | 安山岩 | 2.385 | 1.276 | 2.390 | 6.175 | 0.788 | 0.535 |
| 46 | 安山岩 | 5.401 | 4.263 | 18.085 | 16.297 | 0.856 | 0.789 |
| 47 | 安山岩 | 2.035 | 1.316 | 2.103 | 5.641 | 0.830 | 0.647 |
| 48 | 安山岩 | 2.065 | 1.544 | 2.505 | 6.070 | 0.854 | 0.748 |
| 49 | 安山岩 | 6.395 | 3.966 | 19.918 | 18.151 | 0.760 | 0.620 |
| 50 | 安山岩 | 2.665 | 1.796 | 3.760 | 7.699 | 0.797 | 0.674 |
| 51 | 安山岩 | 5.039 | 2.849 | 11.275 | 13.374 | 0.792 | 0.565 |
| 52 | 安山岩 | 2.388 | 1.938 | 3.635 | 7.231 | 0.874 | 0.812 |
| 53 | 安山岩 | 2.240 | 1.754 | 3.085 | 7.048 | 0.781 | 0.783 |
| 54 | 安山岩 | 2.853 | 2.390 | 5.355 | 8.860 | 0.857 | 0.838 |
| 55 | 安山岩 | 2.827 | 1.896 | 4.210 | 8.218 | 0.783 | 0.670 |
| 56 | 安山岩 | 3.511 | 1.210 | 3.338 | 8.720 | 0.552 | 0.345 |
| 57 | 安山岩 | 2.085 | 1.302 | 2.133 | 5.799 | 0.797 | 0.624 |
| 58 | 安山岩 | 2.571 | 1.591 | 3.213 | 7.096 | 0.802 | 0.619 |
| 59 | 安山岩 | 3.523 | 2.562 | 7.090 | 10.206 | 0.855 | 0.727 |
| 60 | 安山岩 | 2.165 | 1.414 | 2.405 | 6.382 | 0.742 | 0.653 |
| 61 | 安山岩 | 2.341 | 1.606 | 2.953 | 6.565 | 0.861 | 0.686 |
| 62 | 安山岩 | 2.388 | 1.315 | 2.465 | 6.441 | 0.747 | 0.551 |
| 63 | 安山岩 | 4.553 | 2.954 | 10.563 | 12.698 | 0.823 | 0.649 |
| 64 | 安山岩 | 4.764 | 2.401 | 8.983 | 12.625 | 0.708 | 0.504 |
| 65 | 安山岩 | 4.129 | 2.130 | 6.908 | 10.840 | 0.739 | 0.516 |
| 66 | 安山岩 | 2.244 | 1.353 | 2.385 | 6.070 | 0.813 | 0.603 |
| 67 | 安山岩 | 4.546 | 1.830 | 6.533 | 11.259 | 0.648 | 0.403 |
| 68 | 安山岩 | 2.453 | 1.605 | 3.093 | 7.094 | 0.772 | 0.654 |
| 69 | 安山岩 | 1.901 | 1.755 | 2.620 | 5.982 | 0.920 | 0.923 |
| 70 | 安山岩 | 1.963 | 1.888 | 2.910 | 6.536 | 0.856 | 0.962 |
| 71 | 安山岩 | 5.212 | 3.850 | 15.760 | 15.494 | 0.825 | 0.739 |
| 72 | 安山岩 | 2.366 | 1.309 | 2.433 | 6.282 | 0.775 | 0.553 |
| 73 | 安山岩 | 2.306 | 1.310 | 2.373 | 6.199 | 0.776 | 0.568 |
| 74 | 安山岩 | 2.223 | 1.565 | 2.733 | 6.423 | 0.832 | 0.704 |
| 75 | 安山岩 | 2.365 | 1.442 | 2.678 | 6.611 | 0.770 | 0.610 |
| 76 | 安山岩 | 2.061 | 1.369 | 2.215 | 5.748 | 0.843 | 0.664 |
| 77 | 安山岩 | 1.935 | 1.517 | 2.305 | 5.792 | 0.863 | 0.784 |
| 78 | 安山岩 | 2.715 | 2.021 | 4.310 | 7.848 | 0.879 | 0.744 |

| データ数 | 平均真円度 | 平均短径長径比 |
|------|-------|---------|
| 78 | 0.781 | 0.657 |

(8) 碓のクサリの程度に関する調査データ

礫のクサリの程度に関する調査データ －35m盤法面－

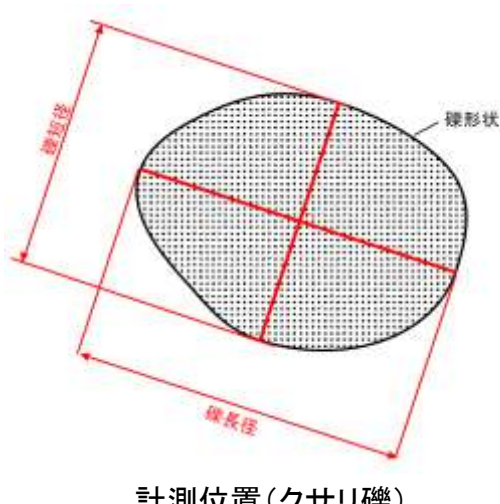
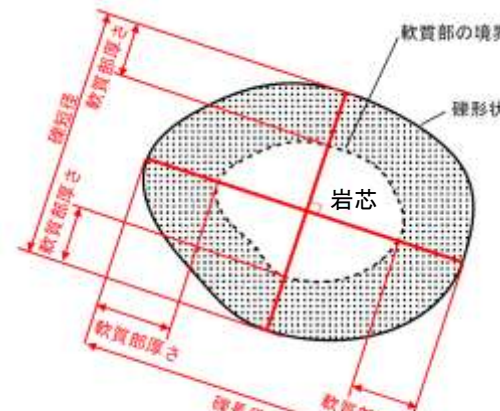
| 試料No. | 区分 | 岩芯 | 長径(cm) | 軟質部(cm) | | 短径(cm) | 軟質部(cm) | | 長径と短径の平均値(cm) | 軟質部の平均値(cm) |
|-------|-------|----|--------|---------|-----|--------|---------|-----|---------------|-------------|
| | | | | 左 | 右 | | 左 | 右 | | |
| 1 | 半クサリ礫 | 有 | 10.9 | 2.8 | 4.2 | 9.0 | 3.6 | 2.1 | 10.0 | 3.2 |
| 2 | 半クサリ礫 | 有 | 16.4 | 2.3 | 3.7 | 9.2 | 2.5 | 2.2 | 12.8 | 2.7 |
| 3 | 半クサリ礫 | 有 | 9.1 | 2.4 | 2.4 | 7.6 | 1.4 | 2.2 | 8.4 | 2.1 |
| 4 | クサリ礫 | 無 | 11.2 | — | — | 6.8 | — | — | 9.0 | — |
| 5 | クサリ礫 | 無 | 11.6 | — | — | 8.0 | — | — | 9.8 | — |
| 6 | クサリ礫 | 無 | 8.7 | — | — | 7.2 | — | — | 8.0 | — |
| 7 | クサリ礫 | 無 | 13.5 | — | — | 12.8 | — | — | 13.2 | — |
| 8 | 半クサリ礫 | 有 | 10.4 | 2.6 | 3.8 | 8.6 | 2.6 | 2.8 | 9.5 | 3.0 |
| 9 | クサリ礫 | 無 | 9.6 | — | — | 6.2 | — | — | 7.9 | — |
| 10 | 半クサリ礫 | 有 | 12.8 | 4.9 | 4.1 | 7.9 | 2.5 | 2.6 | 10.4 | 3.5 |
| 11 | 半クサリ礫 | 有 | 12.6 | 3.5 | 4.6 | 11.8 | 2.7 | 3.6 | 12.2 | 3.6 |
| 12 | 半クサリ礫 | 有 | 8.6 | 2.9 | 3.8 | 6.2 | 2.2 | 2.6 | 7.4 | 2.9 |
| 13 | 半クサリ礫 | 有 | 7.4 | 2.4 | 2.6 | 5.8 | 2.2 | 1.8 | 6.6 | 2.3 |
| 14 | クサリ礫 | 無 | 9.8 | — | — | 6.0 | — | — | 7.9 | — |
| 15 | 半クサリ礫 | 有 | 14.5 | 2.4 | 1.8 | 7.7 | 2.2 | 1.2 | 11.1 | 1.9 |
| 16 | 半クサリ礫 | 有 | 10.2 | 3.3 | 4.6 | 10.0 | 4.0 | 3.9 | 10.1 | 4.0 |
| 17 | クサリ礫 | 無 | 7.8 | — | — | 5.8 | — | — | 6.8 | — |
| 18 | 半クサリ礫 | 有 | 11.2 | 4.1 | 4.6 | 6.6 | 3.4 | 2.2 | 8.9 | 3.6 |
| 19 | クサリ礫 | 無 | 7.4 | — | — | 6.4 | — | — | 6.9 | — |
| 20 | クサリ礫 | 無 | 11.4 | — | — | 6.0 | — | — | 8.7 | — |
| 21 | 半クサリ礫 | 有 | 11.0 | 3.3 | 3.8 | 8.7 | 4.3 | 1.8 | 9.9 | 3.3 |
| 22 | 半クサリ礫 | 有 | 12.5 | 3.2 | 2.7 | 5.9 | 1.4 | 1.6 | 9.2 | 2.2 |
| 23 | 半クサリ礫 | 有 | 15.2 | 2.6 | 2.8 | 10.2 | 2.6 | 1.6 | 12.7 | 2.4 |
| 24 | 半クサリ礫 | 有 | 11.8 | 3.5 | 5.1 | 6.0 | 2.4 | 1.6 | 8.9 | 3.2 |
| 25 | 半クサリ礫 | 有 | 13.4 | 3.4 | 5.0 | 7.6 | 2.5 | 2.4 | 10.5 | 3.3 |
| 26 | 半クサリ礫 | 有 | 12.8 | 2.5 | 5.6 | 6.4 | 1.6 | 2.2 | 9.6 | 3.0 |
| 27 | 半クサリ礫 | 有 | 14.2 | 5.9 | 6.0 | 8.0 | 3.2 | 2.2 | 11.1 | 4.3 |
| 28 | 半クサリ礫 | 有 | 12.2 | 2.7 | 1.5 | 10.3 | 2.0 | 2.1 | 11.3 | 2.1 |
| 29 | 半クサリ礫 | 有 | 11.4 | 2.5 | 4.4 | 9.6 | 2.6 | 4.0 | 10.5 | 3.4 |
| 30 | 半クサリ礫 | 有 | 12.5 | 2.4 | 2.0 | 9.5 | 3.6 | 2.6 | 11.0 | 2.7 |
| 31 | クサリ礫 | 無 | 14.5 | — | — | 6.9 | — | — | 10.7 | — |
| 32 | クサリ礫 | 無 | 10.5 | — | — | 7.5 | — | — | 9.0 | — |
| 33 | 半クサリ礫 | 有 | 13.4 | 4.2 | 5.2 | 6.2 | 2.3 | 1.0 | 9.8 | 3.2 |
| 34 | クサリ礫 | 無 | 7.5 | — | — | 5.8 | — | — | 6.7 | — |
| 35 | クサリ礫 | 無 | 13.8 | — | — | 6.9 | — | — | 10.4 | — |
| 36 | クサリ礫 | 無 | 9.5 | — | — | 4.2 | — | — | 6.9 | — |
| 37 | クサリ礫 | 無 | 13.0 | — | — | 10.1 | — | — | 11.6 | — |
| 38 | 半クサリ礫 | 有 | 12.0 | 2.3 | 5.1 | 9.3 | 3.4 | 2.6 | 10.7 | 3.4 |
| 39 | 半クサリ礫 | 有 | 14.2 | 2.7 | 3.7 | 9.8 | 2.7 | 1.5 | 12.0 | 2.7 |
| 40 | 半クサリ礫 | 有 | 12.4 | 1.4 | 1.6 | 8.7 | 1.8 | 1.4 | 10.6 | 1.6 |
| 41 | 半クサリ礫 | 有 | 14.6 | 4.3 | 5.2 | 5.5 | 1.8 | 1.7 | 10.1 | 3.3 |
| 42 | 半クサリ礫 | 有 | 11.7 | 2.0 | 2.0 | 8.7 | 1.9 | 2.0 | 10.2 | 2.0 |
| 43 | クサリ礫 | 無 | 9.4 | — | — | 8.5 | — | — | 9.0 | — |
| 44 | クサリ礫 | 無 | 10.8 | — | — | 7.0 | — | — | 8.9 | — |
| 45 | クサリ礫 | 無 | 9.4 | — | — | 8.0 | — | — | 8.7 | — |
| 46 | 半クサリ礫 | 有 | 11.3 | 1.4 | 3.8 | 7.3 | 1.5 | 2.7 | 9.3 | 2.4 |
| 47 | 半クサリ礫 | 有 | 9.7 | 3.6 | 2.9 | 8.4 | 2.3 | 2.8 | 9.1 | 2.9 |
| 48 | 半クサリ礫 | 有 | 12.6 | 4.3 | 3.8 | 7.1 | 2.2 | 1.4 | 9.9 | 2.9 |
| 49 | 半クサリ礫 | 有 | 13.6 | 2.6 | 4.8 | 8.2 | 2.2 | 1.1 | 10.9 | 2.7 |
| 50 | クサリ礫 | 無 | 12.1 | — | — | 6.6 | — | — | 9.4 | — |
| 51 | 半クサリ礫 | 有 | 11.4 | 4.6 | 4.1 | 7.6 | 3.2 | 2.6 | 9.5 | 3.6 |
| 52 | 半クサリ礫 | 有 | 8.8 | 2.6 | 3.2 | 6.3 | 1.6 | 1.8 | 7.6 | 2.3 |
| 53 | 半クサリ礫 | 有 | 12.2 | 2.3 | 4.7 | 10.8 | 2.7 | 2.1 | 11.5 | 3.0 |
| 54 | 半クサリ礫 | 有 | 14.2 | 5.1 | 5.4 | 6.9 | 2.6 | 2.4 | 10.6 | 3.9 |
| 55 | 半クサリ礫 | 有 | 9.8 | 1.8 | 1.7 | 7.9 | 2.1 | 2.2 | 8.9 | 2.0 |
| 56 | 半クサリ礫 | 有 | 16.6 | 4.4 | 5.5 | 10.6 | 3.1 | 3.6 | 13.6 | 4.2 |
| 57 | 半クサリ礫 | 有 | 13.0 | 4.9 | 5.4 | 7.6 | 3.0 | 2.9 | 10.3 | 4.1 |
| 58 | 半クサリ礫 | 有 | 10.6 | 2.8 | 2.8 | 6.7 | 1.4 | 1.8 | 8.7 | 2.2 |



—: 完全に風化しており、礫全体が軟質部であるもの

礫のクサリの程度に関する調査データ –35m盤トレンチ-

| 試料No. | 区分 | 岩芯 | 長径(cm) | 軟質部(cm) | | 短径(cm) | 軟質部(cm) | | 長径と短径の平均値(cm) | 軟質部の平均値(cm) |
|-------|-------|----|--------|---------|-----|--------|---------|-----|---------------|-------------|
| | | | | 左 | 右 | | 左 | 右 | | |
| 1 | 半クサリ礫 | 有 | 9.3 | 3.1 | 1.8 | 7.3 | 1.5 | 2.0 | 8.3 | 2.1 |
| 2 | 半クサリ礫 | 有 | 8.9 | 2.0 | 2.3 | 7.5 | 2.1 | 2.2 | 8.2 | 2.2 |
| 3 | 半クサリ礫 | 有 | 11.0 | 3.7 | 4.5 | 5.2 | 1.9 | 2.2 | 8.1 | 3.1 |
| 4 | 半クサリ礫 | 有 | 8.2 | 1.4 | 1.3 | 4.9 | 1.1 | 0.8 | 6.6 | 1.2 |
| 5 | 半クサリ礫 | 有 | 7.2 | 2.2 | 2.1 | 5.3 | 1.6 | 1.4 | 6.3 | 1.8 |
| 6 | 半クサリ礫 | 有 | 7.8 | 1.5 | 1.8 | 4.4 | 0.8 | 1.9 | 6.1 | 1.5 |
| 7 | クサリ礫 | 無 | 7.5 | – | – | 5.4 | – | – | 6.5 | – |
| 8 | クサリ礫 | 無 | 10.7 | – | – | 4.4 | – | – | 7.6 | – |
| 9 | 半クサリ礫 | 有 | 8.3 | 0.9 | 1.6 | 5.9 | 1.1 | 1.0 | 7.1 | 1.2 |
| 10 | 半クサリ礫 | 有 | 18.8 | 1.2 | 0.8 | 8.4 | 1.1 | 0.5 | 13.6 | 0.9 |
| 11 | 半クサリ礫 | 有 | 10.2 | 0.9 | 1.3 | 7.5 | 1.3 | 1.2 | 8.9 | 1.2 |
| 12 | 半クサリ礫 | 有 | 10.4 | 1.9 | 3.2 | 4.4 | 1.1 | 1.0 | 7.4 | 1.8 |
| 13 | 半クサリ礫 | 有 | 14.5 | 2.9 | 2.2 | 10.8 | 1.8 | 2.0 | 12.7 | 2.2 |
| 14 | 半クサリ礫 | 有 | 8.2 | 3.4 | 2.2 | 5.2 | 1.6 | 0.9 | 6.7 | 2.0 |
| 15 | 半クサリ礫 | 有 | 10.2 | 4.8 | 3.5 | 6.8 | 2.0 | 3.2 | 8.5 | 3.4 |
| 16 | 半クサリ礫 | 有 | 12.8 | 1.2 | 0.9 | 8.1 | 0.7 | 0.7 | 10.5 | 0.9 |
| 17 | 半クサリ礫 | 有 | 7.1 | 1.9 | 1.0 | 5.1 | 0.8 | 0.6 | 6.1 | 1.1 |
| 18 | 半クサリ礫 | 有 | 11.8 | 1.6 | 3.1 | 7.0 | 1.2 | 0.5 | 9.4 | 1.6 |
| 19 | 半クサリ礫 | 有 | 18.2 | 2.3 | 3.1 | 9.6 | 2.4 | 2.5 | 13.9 | 2.6 |
| 20 | 半クサリ礫 | 有 | 9.9 | 1.7 | 3.1 | 4.0 | 1.1 | 0.9 | 7.0 | 1.7 |
| 21 | 半クサリ礫 | 有 | 8.8 | 2.6 | 2.4 | 6.0 | 2.2 | 1.5 | 7.4 | 2.2 |
| 22 | 半クサリ礫 | 有 | 9.3 | 4.3 | 2.6 | 4.9 | 1.1 | 1.7 | 7.1 | 2.4 |
| 23 | クサリ礫 | 無 | 6.7 | – | – | 5.5 | – | – | 6.1 | – |
| 24 | 半クサリ礫 | 有 | 12.3 | 2.2 | 1.5 | 6.5 | 1.2 | 0.9 | 9.4 | 1.5 |
| 25 | 半クサリ礫 | 有 | 12.0 | 2.8 | 2.2 | 8.1 | 1.7 | 1.5 | 10.1 | 2.1 |
| 26 | 半クサリ礫 | 有 | 14.5 | 3.2 | 1.2 | 10.1 | 0.8 | 0.9 | 12.3 | 1.5 |
| 27 | 半クサリ礫 | 有 | 14.4 | 3.8 | 3.0 | 5.9 | 0.3 | 1.1 | 10.2 | 2.1 |
| 28 | 半クサリ礫 | 有 | 8.2 | 1.7 | 1.9 | 3.9 | 0.8 | 0.6 | 6.1 | 1.3 |
| 29 | 半クサリ礫 | 有 | 13.4 | 0.8 | 0.7 | 8.0 | 0.4 | 0.8 | 10.7 | 0.7 |
| 30 | 半クサリ礫 | 有 | 14.5 | 2.3 | 1.2 | 11.0 | 1.8 | 1.6 | 12.8 | 1.7 |
| 31 | 半クサリ礫 | 有 | 13.8 | 0.9 | 0.8 | 10.2 | 1.0 | 0.9 | 12.0 | 0.9 |
| 32 | 半クサリ礫 | 有 | 9.3 | 2.6 | 2.4 | 6.0 | 1.7 | 2.0 | 7.7 | 2.2 |
| 33 | 半クサリ礫 | 有 | 8.6 | 0.7 | 1.4 | 4.2 | 0.6 | 0.3 | 6.4 | 0.8 |
| 34 | 半クサリ礫 | 有 | 12.4 | 3.0 | 2.2 | 8.2 | 1.4 | 1.3 | 10.3 | 2.0 |
| 35 | クサリ礫 | 無 | 8.5 | – | – | 6.1 | – | – | 7.3 | – |
| 36 | 半クサリ礫 | 有 | 8.2 | 1.6 | 2.2 | 5.6 | 1.2 | 1.9 | 6.9 | 1.7 |
| 37 | クサリ礫 | 無 | 6.4 | – | – | 5.8 | – | – | 6.1 | – |
| 38 | 半クサリ礫 | 有 | 8.7 | 2.9 | 3.0 | 6.4 | 2.6 | 1.7 | 7.6 | 2.6 |
| 39 | 半クサリ礫 | 有 | 10.4 | 2.5 | 1.2 | 5.2 | 1.2 | 1.7 | 7.8 | 1.7 |
| 40 | 半クサリ礫 | 有 | 8.8 | 3.0 | 4.0 | 5.3 | 1.8 | 2.2 | 7.1 | 2.8 |
| 41 | 半クサリ礫 | 有 | 10.4 | 1.8 | 5.7 | 4.4 | 1.2 | 1.0 | 7.4 | 2.4 |
| 42 | 半クサリ礫 | 有 | 7.9 | 2.8 | 1.9 | 5.7 | 1.4 | 1.7 | 6.8 | 2.0 |
| 43 | クサリ礫 | 無 | 8.7 | – | – | 5.0 | – | – | 6.9 | – |
| 44 | クサリ礫 | 無 | 8.0 | – | – | 4.8 | – | – | 6.4 | – |
| 45 | 半クサリ礫 | 有 | 12.5 | 2.6 | 2.7 | 6.1 | 1.8 | 1.4 | 9.3 | 2.1 |
| 46 | 半クサリ礫 | 有 | 7.3 | 2.1 | 1.9 | 5.7 | 1.1 | 1.6 | 6.5 | 1.7 |
| 47 | クサリ礫 | 無 | 8.0 | – | – | 4.9 | – | – | 6.5 | – |
| 48 | 半クサリ礫 | 有 | 8.8 | 2.6 | 1.0 | 3.8 | 1.2 | 1.0 | 6.3 | 1.5 |
| 49 | クサリ礫 | 無 | 8.7 | – | – | 6.8 | – | – | 7.8 | – |
| 50 | クサリ礫 | 無 | 10.0 | – | – | 4.8 | – | – | 7.4 | – |
| 51 | クサリ礫 | 無 | 7.8 | – | – | 5.1 | – | – | 6.5 | – |
| 52 | 半クサリ礫 | 有 | 7.4 | 3.5 | 1.7 | 4.7 | 2.2 | 0.5 | 6.1 | 2.0 |
| 53 | 半クサリ礫 | 有 | 8.3 | 3.4 | 1.0 | 4.4 | 1.0 | 1.0 | 6.4 | 1.6 |



–: 完全に風化しており、礫全体
が軟質部であるもの

補足資料5. 3－2

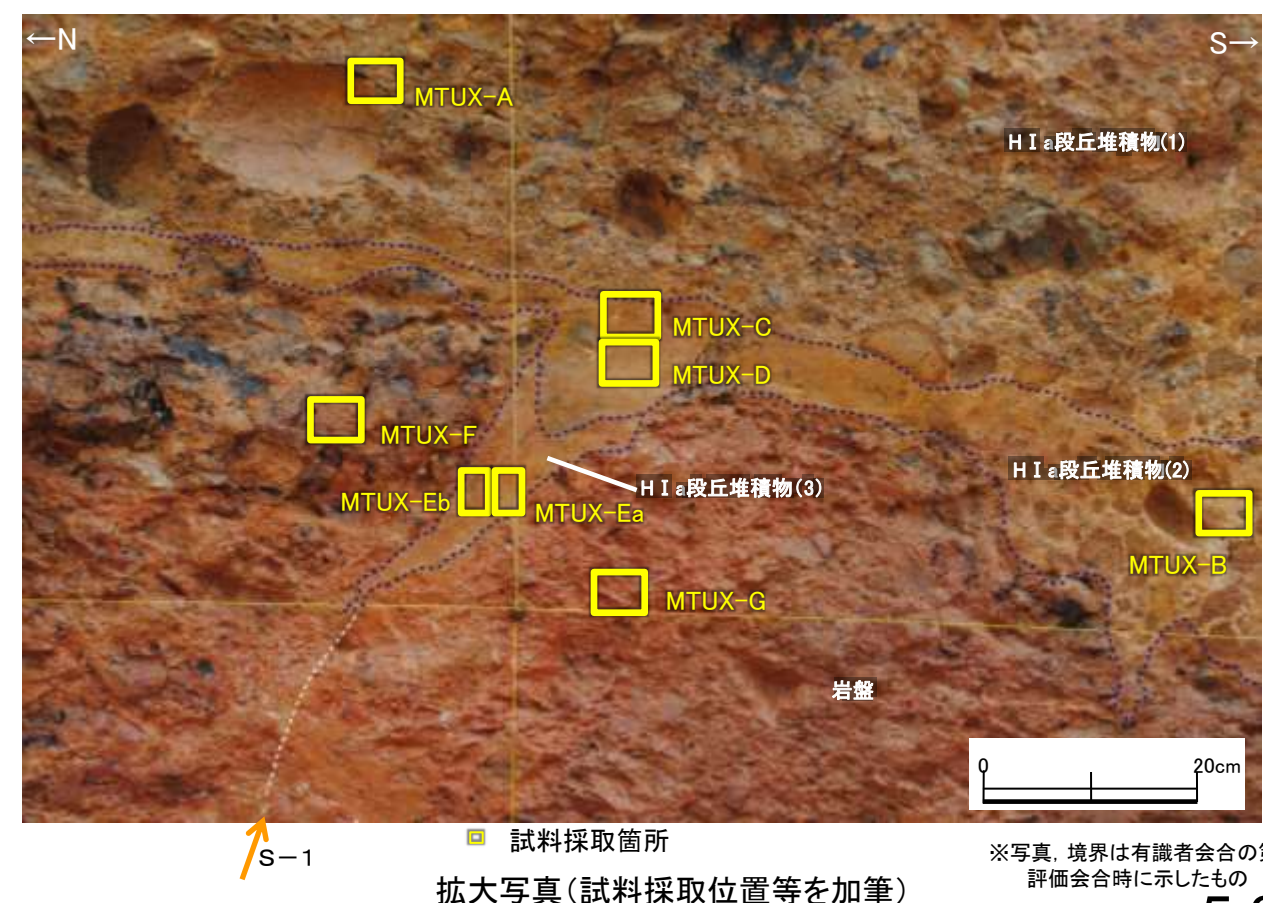
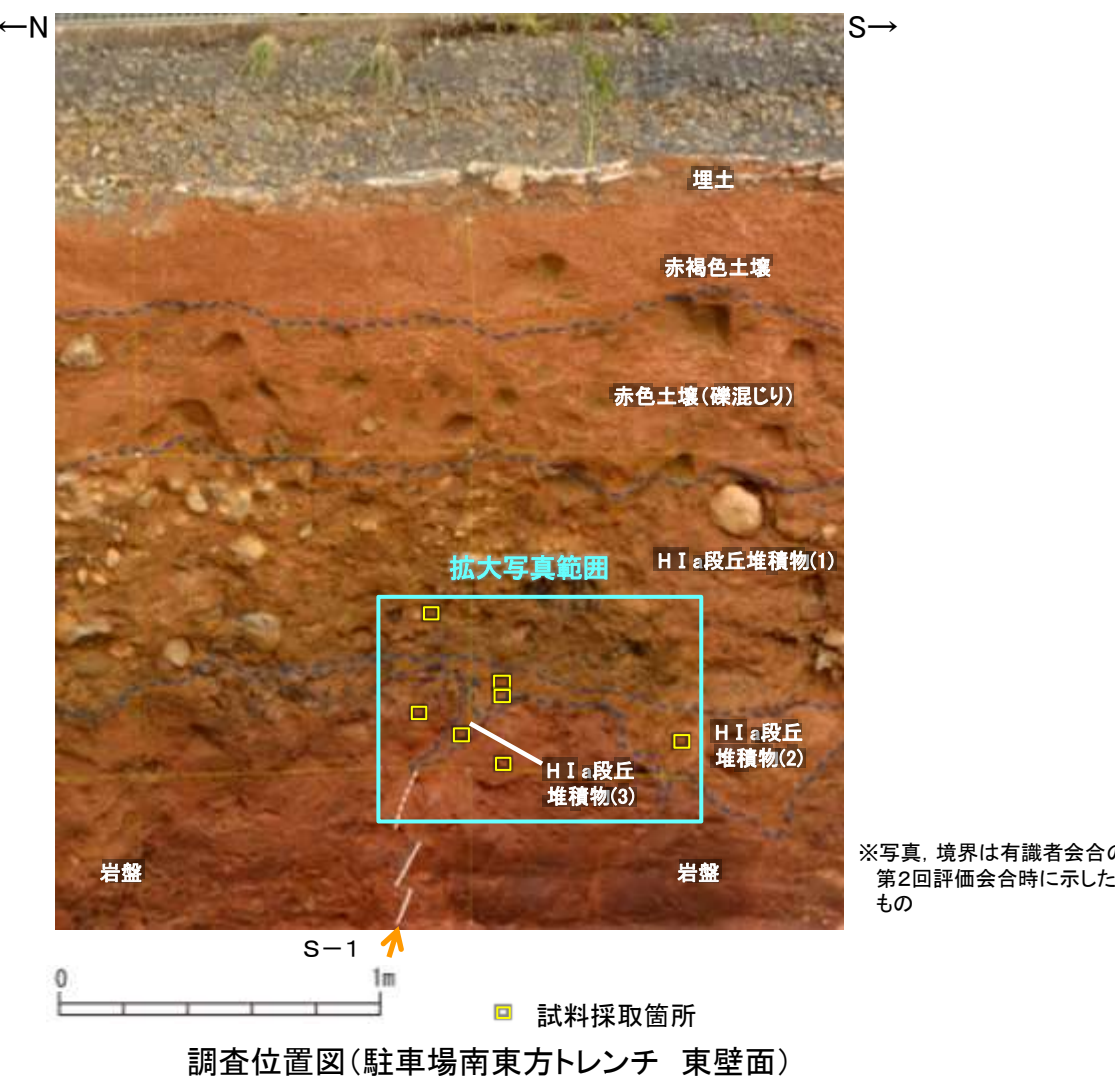
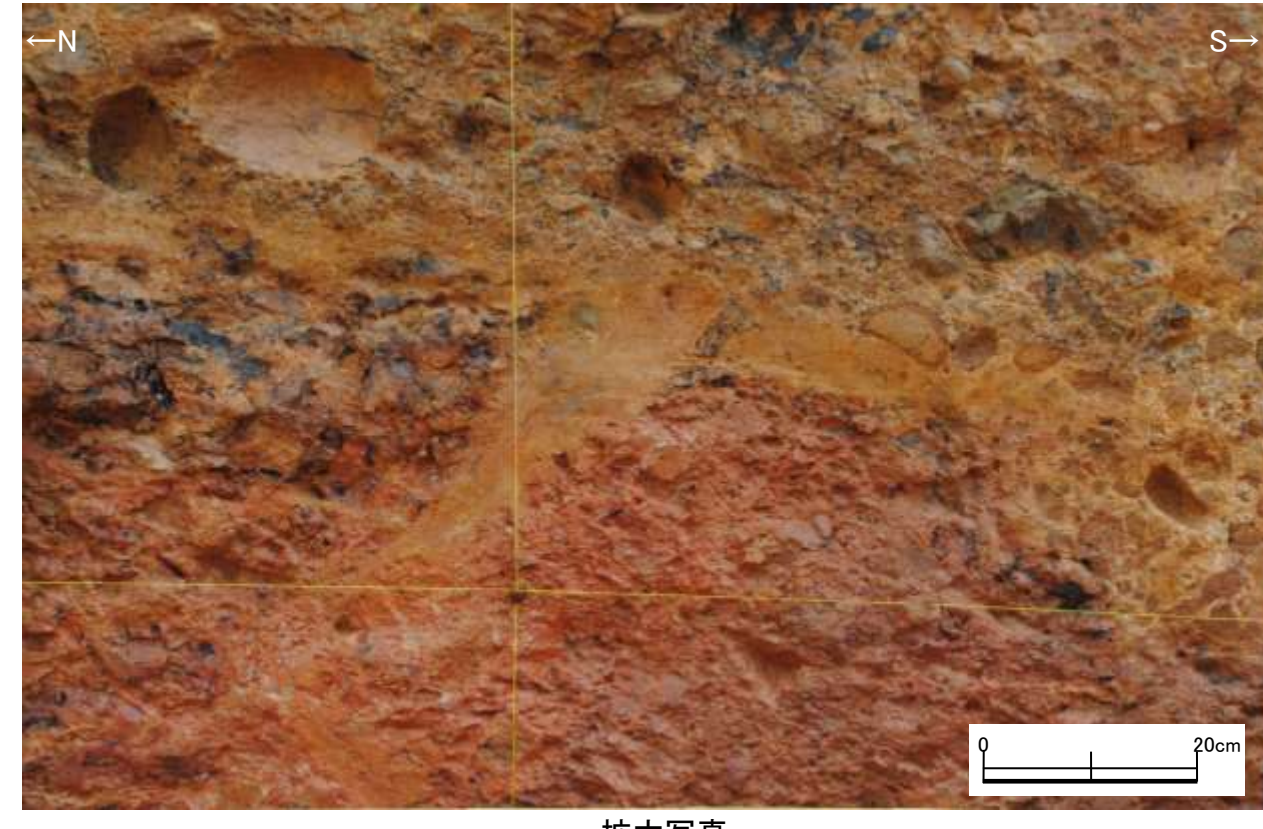
上載地層法に関する調査結果(S-1)

(1) 駐車場南東方トレンチ

(1)-1 岩盤と堆積物の境界に関する調査結果

駐車場南東方トレンチ 試料採取位置

■駐車場南東方トレンチにおいて、岩盤と堆積物の境界について、試料採取前に肉眼観察を行い、その結果を基に薄片観察、XRD分析、XRF分析の試料採取箇所を決定した。以下に、試料採取箇所を示す。

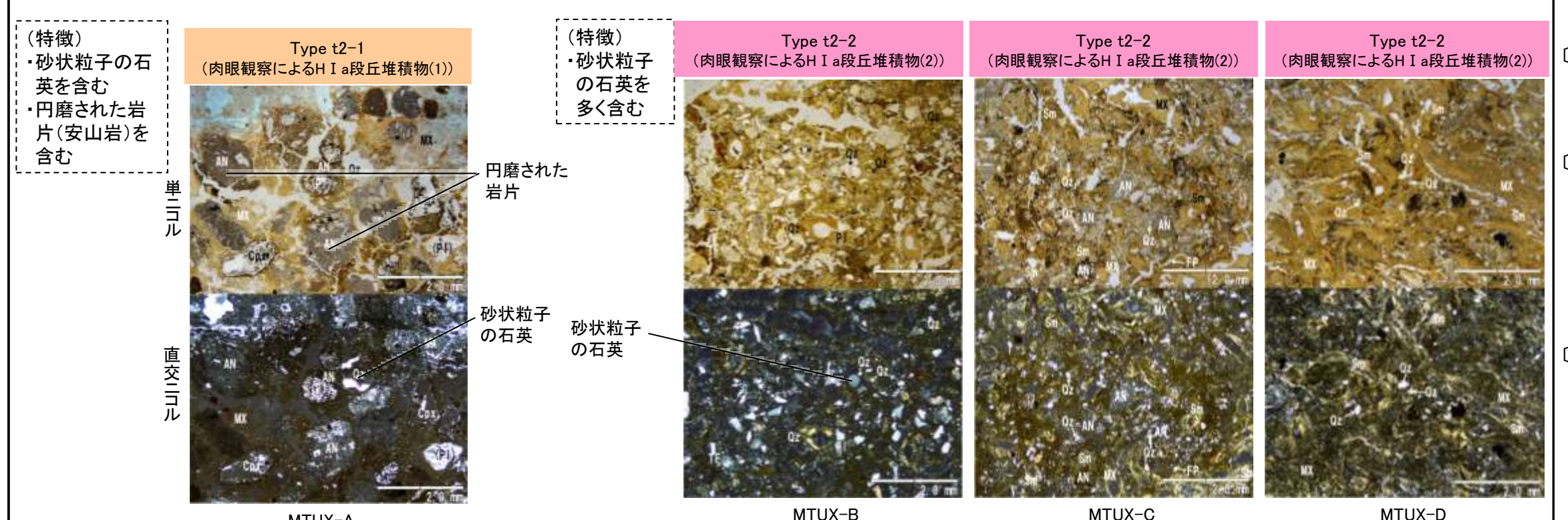


駐車場南東方トレンチ 試料採取箇所の特徴等

| 試料採取位置 | 肉眼観察による区分 | 採取物の特徴 |
|---------|---------------|---|
| MTUX-A | H I a段丘堆積物(1) | 基質は中～粗粒砂からなり、砂粒子の間隙をシルト～粘土分が充填する。安山岩円～亜円礫を含む。 |
| MTUX-B | H I a段丘堆積物(2) | 基質は中～粗粒砂からなり、砂粒子の間隙をシルト～粘土分が充填する。色調は黄褐～明褐色を呈する。安山岩円～亜円礫を含む。 |
| MTUX-C | H I a段丘堆積物(2) | 砂質シルト～粘土からなり、黄褐～黄灰色を呈する。 |
| MTUX-D | H I a段丘堆積物(2) | 砂混じりシルト～粘土からなり、黄褐～黄灰色を呈する。 |
| MTUX-Ea | H I a段丘堆積物(3) | 楔状凹部に分布する砂質シルト～粘土。黄褐～黄灰色を呈する。 |
| MTUX-Eb | H I a段丘堆積物(3) | 楔状凹部に分布する砂質シルト～粘土。明褐～赤褐色を呈する。 |
| MTUX-F | 岩盤 | 強風化した安山岩(角礫質)の基質部。明灰色を呈し、割目に黒色皮膜および明褐色粘土が付着する。 |
| MTUX-G | 岩盤 | 強風化した安山岩質火碎岩。灰色を呈する凝灰岩基質中に白灰～灰色安山岩角～亜円礫を含む。 |

駐車場南東方トレンチ ①薄片観察結果

■駐車場南東方トレンチにおいて試料採取した計8枚の薄片観察結果を以下に示す。



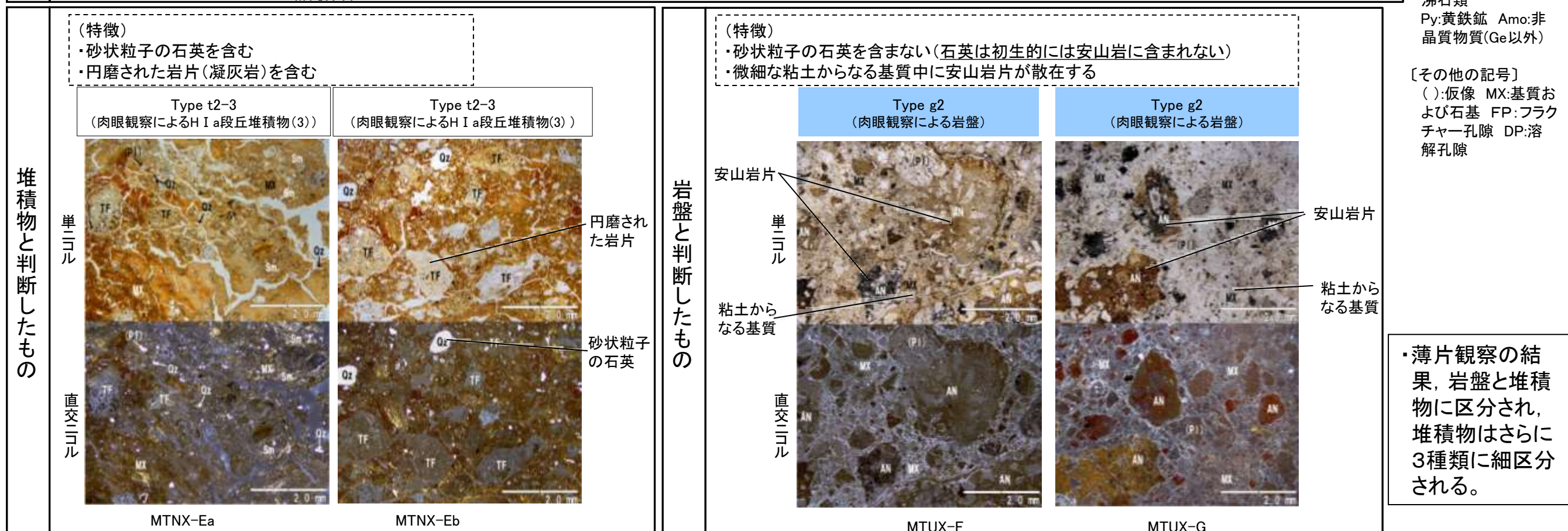
凡例(鉱物名)

[岩片・生物遺骸]
AN:安山岩 TF:凝灰岩
GN:花崗岩質岩 SI:珪化岩 MS:泥岩

[初成鉱物・鉱物片]
Qz:石英 Pl:斜長石
Kf:カリ長石 Bi:黒雲母
Hb:普通角閃石 Opx:斜方輝石 Cpx:
单斜輝石 Mf:(詳細不明)苦鉄質鉱物
Op:不透明鉱物

[2次鉱物]
Si:(詳細不明)シリカ
鉱物 Ver:バーミュライト
Sm:スメクタイト Cl:(詳細不明)粘土鉱物
Ge:水酸化鉄 Zeo:
沸石類 Py:黄鉄鉱 Amo:非
晶質物質(Ge以外)

[その他の記号]
():仮像 MX:基質および石基 FP:フラクチャー孔隙 DP:溶解孔隙



・薄片観察の結果、岩盤と堆積物に区分され、堆積物はさらに3種類に細区分される。

駐車場南東方トレント ②XRD分析結果

■XRD分析による検出鉱物を薄片観察結果と比較した。

| 位置 | 試料名 | 薄片観察による岩相区分 | | 石英最強ピーク | XRDによる検出鉱物 | | | | | | | | | | | | | | | |
|------------|---------|-------------|-----------|---------|------------|------|-----|-----|------|------|-----------|------|-----|--------|----------|-------|-----|------|-----|-----|
| | | 石英 | クリストバライト | | トリーディマイト | カリ長石 | 斜長石 | 角閃石 | 斜方輝石 | 単斜輝石 | 7A型ハロイサイト | 雲母鉱物 | 緑泥石 | スメクタイト | バーミキュライト | ギブサイト | 磁鐵鉱 | 磁赤鐵鉱 | 赤鐵鉱 | 針鐵鉱 |
| 駐車場南東方トレント | MTUX-A | 堆積物 | Type t2-1 | 1882 | △ | ○ | | | | | + | | | | △ | | | | | |
| | MTUX-B | 堆積物 | Type t2-2 | 2747 | ○ | + | | ± | | | △ | ± | | | △ | | | | | |
| | MTUX-C | | | 1551 | △ | △ | | ± | | | △ | | | ± | | + | | | | |
| | MTUX-D | | | 1251 | △ | + | | | | | △ | | | | ± | | | | | |
| | MTUX-Ea | 堆積物 | Type t2-3 | 2642 | ○ | + | | | | | △ | ± | | | | ± | | | | |
| | MTUX-Eb | | | 1426 | △ | + | | ± | | | △ | ± | | | | | | | | |
| | MTUX-F | 岩盤 | Type g2 | 128 | ± | + | | | | | △ | | | | | | | | | |
| | MTUX-G | | | 107 | ± | ± | | | | | △ | | | | | | | | | |

◎:多量>5000cps ○:中量2500~5000cps △:少量500~2500cps +:微量250~500cps ±:きわめて微量<250cps

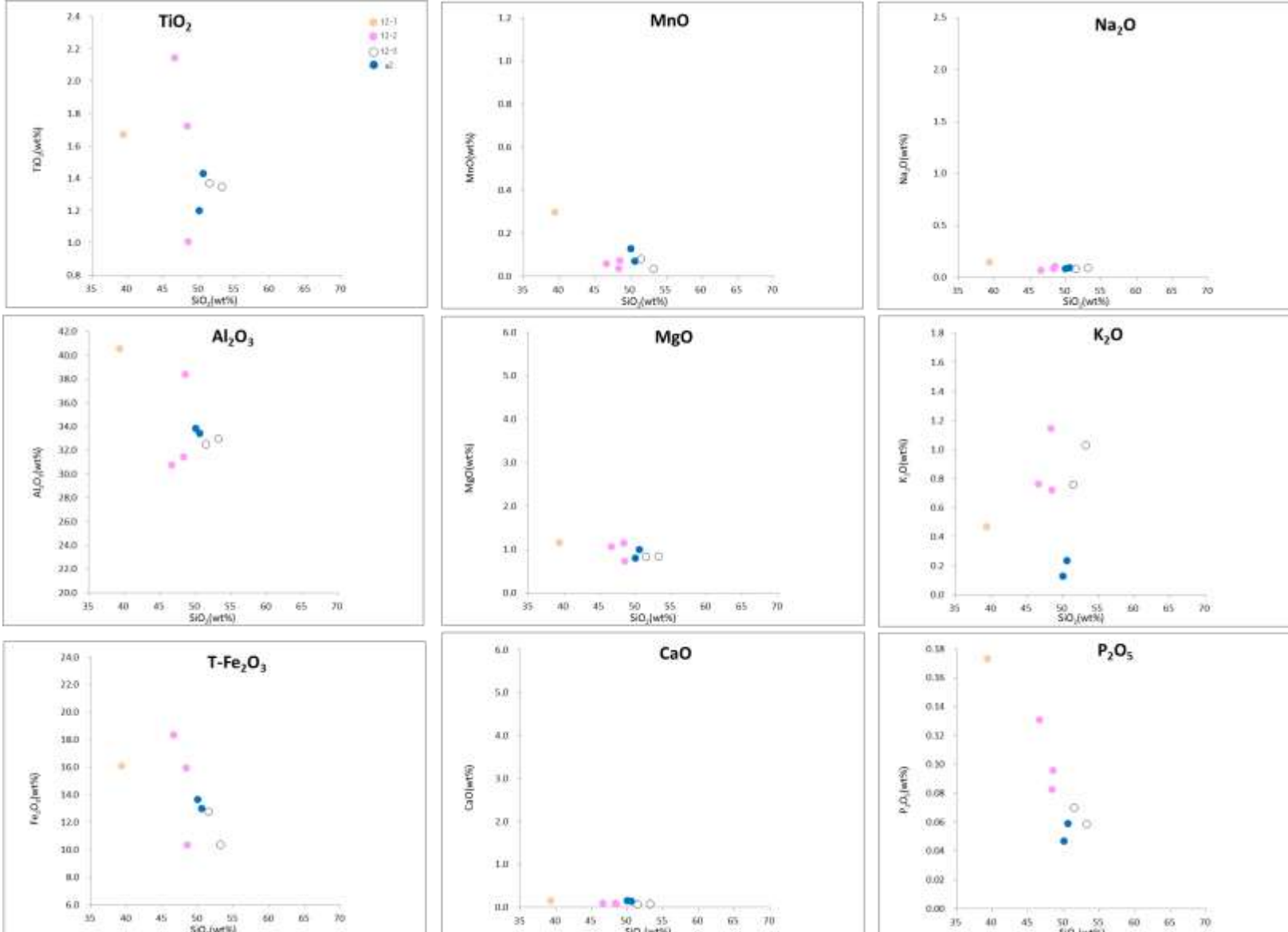
標準石英最強回折線強度(3回繰り返し測定, 平均53,376cps)

- ・薄片にてType g2と区分された岩盤は、石英最強ピークが107~128cpsと堆積物に比べて少ない。
- ・薄片にてType t2-1, t2-2, t2-3と区分された堆積物は、石英最強ピークが1,251~2,747cpsで、カリ長石、雲母鉱物、ギブサイトが検出されることが多い。

・石英のピーク値及び鉱物組成を比較した結果、薄片観察結果(岩盤と堆積物の区分)を支持する結果が得られた。

駐車場南東方トレンチ ③XRF分析結果

■XRF分析による主要化学組成を薄片観察結果と比較した。



主要化学組成(lg.Loss規格化後)

| 試料名 | Type | SiO ₂ | TiO ₂ | Al ₂ O ₃ | T-Fe ₂ O ₃ | MnO | MgO | CaO | Na ₂ O | K ₂ O | P ₂ O ₅ | Total |
|---------|------|------------------|------------------|--------------------------------|----------------------------------|------|------|------|-------------------|------------------|-------------------------------|--------|
| MTUX-A | t2-1 | 39.33 | 1.67 | 40.52 | 16.07 | 0.30 | 1.16 | 0.15 | 0.15 | 0.47 | 0.17 | 100.00 |
| MTUX-B | t2-2 | 48.51 | 1.01 | 38.37 | 10.32 | 0.07 | 0.73 | 0.07 | 0.11 | 0.72 | 0.10 | 100.00 |
| MTUX-C | t2-2 | 46.61 | 2.14 | 30.74 | 18.32 | 0.06 | 1.07 | 0.10 | 0.07 | 0.76 | 0.13 | 100.00 |
| MTUX-D | t2-3 | 48.34 | 1.72 | 31.41 | 15.94 | 0.04 | 1.15 | 0.09 | 0.08 | 1.15 | 0.08 | 100.00 |
| MTUX-Ea | t2-3 | 53.17 | 1.35 | 32.97 | 10.35 | 0.04 | 0.86 | 0.08 | 0.09 | 1.03 | 0.06 | 100.00 |
| MTUX-Eb | | 51.44 | 1.37 | 32.51 | 12.78 | 0.08 | 0.84 | 0.07 | 0.08 | 0.76 | 0.07 | 100.00 |
| MTUX-F | g2 | 50.01 | 1.20 | 33.82 | 13.63 | 0.13 | 0.80 | 0.15 | 0.08 | 0.13 | 0.05 | 100.00 |
| MTUX-G | g2 | 50.57 | 1.43 | 33.43 | 12.96 | 0.07 | 1.00 | 0.14 | 0.09 | 0.24 | 0.06 | 100.00 |

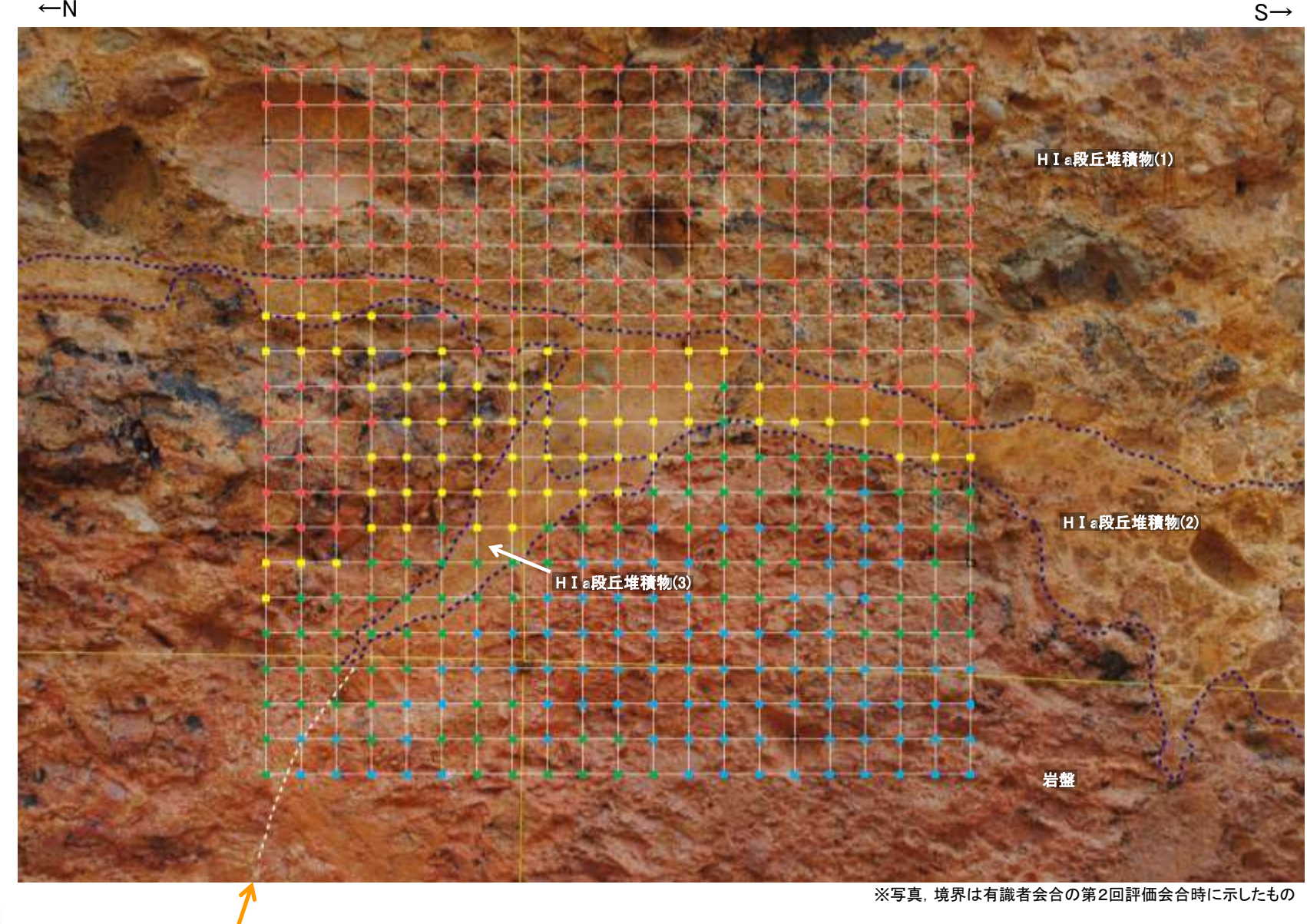
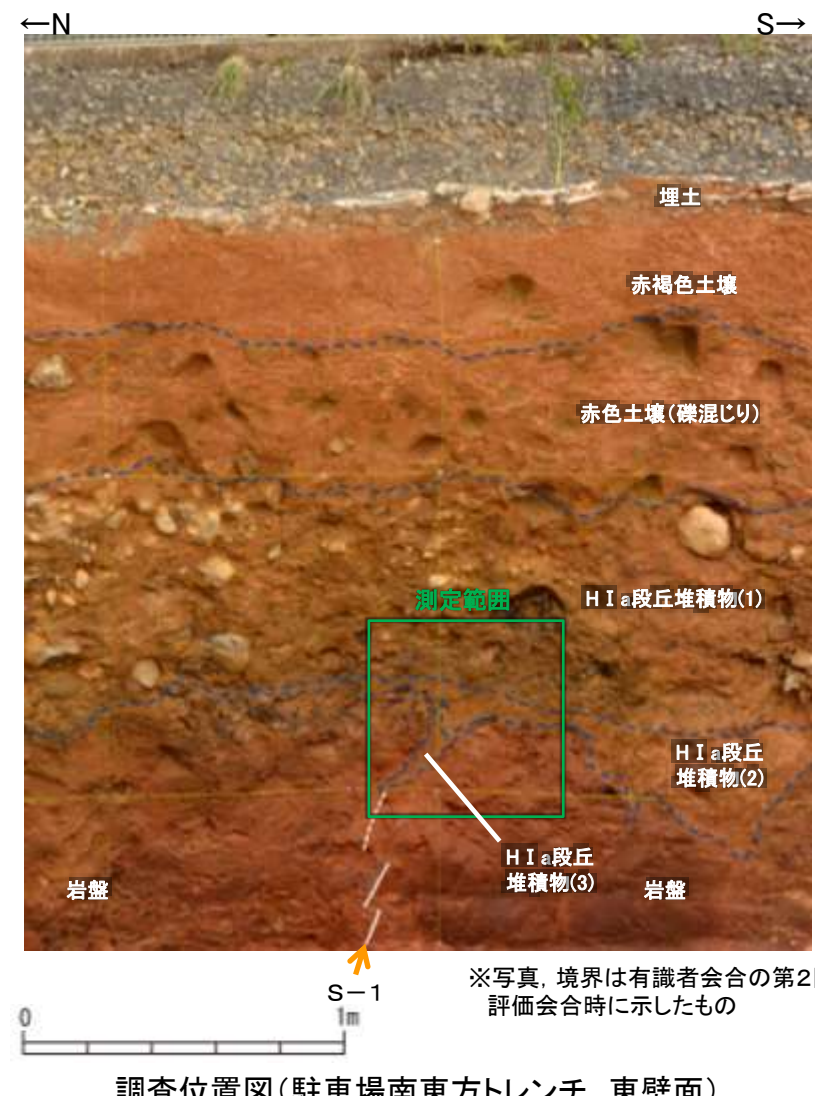
ハーカー図

- 堆積物 Type t2-1
- 堆積物 Type t2-2
- 堆積物 Type t2-3
- 岩盤 Type g2

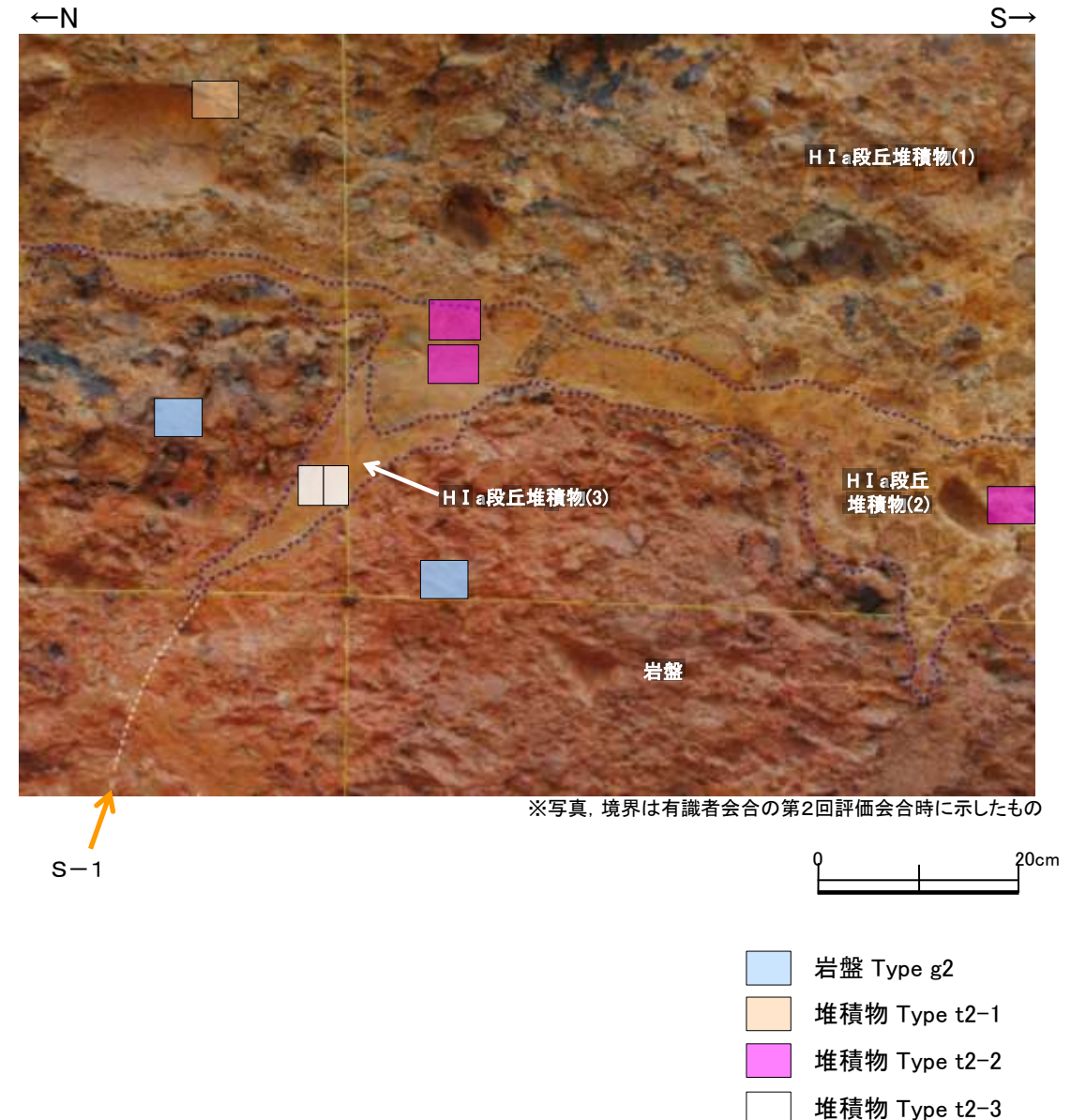
・主要化学組成を比較した結果、SiO₂等の量比から薄片観察結果(岩盤と堆積物の区分)を概ね支持する結果が得られたものの、明瞭な境界の区分は見られなかった。

駐車場南東方トレンチ ④帶磁率測定結果

■駐車場南東方トレンチの東壁面において帶磁率測定を実施し、肉眼観察による岩盤と堆積物の境界と比較した。



・岩盤と堆積物の境界について、肉眼観察結果と概ね整合的な結果が得られた。



駐車場南東方トレンチにおいて、肉眼観察の結果を基本とし、各種分析による客観的かつ定量的なデータを整理することにより岩盤と堆積物の境界を判断すると、上図の通りとなる。

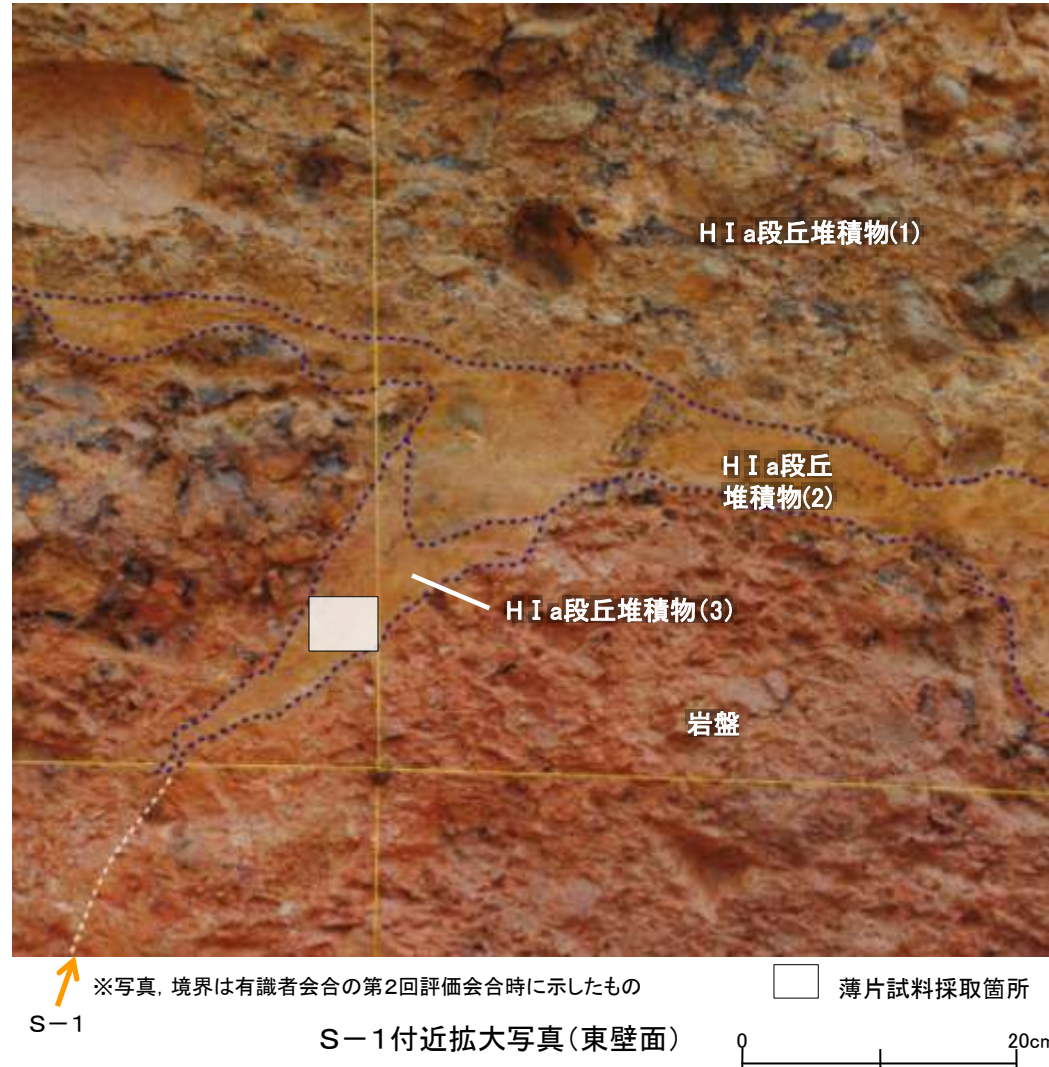
(1)-2 駐車場南東方トレンチにおけるウェッジ状の構造に関する調査結果

駐車場南東方トレンチにおけるウェッジ状の構造に関する調査結果

■駐車場南東方トレンチの東壁面において確認されたウェッジ状の構造について、詳細観察を実施。

←N

S→



※写真、境界は有識者会合の第2回評価会合時に示したもの

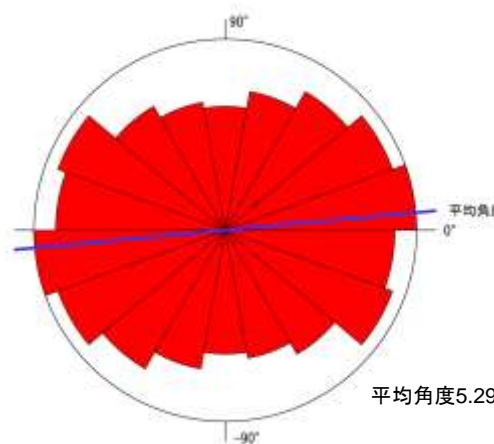
□ 薄片試料採取箇所

S-1

S-1付近拡大写真(東壁面)

0 20cm

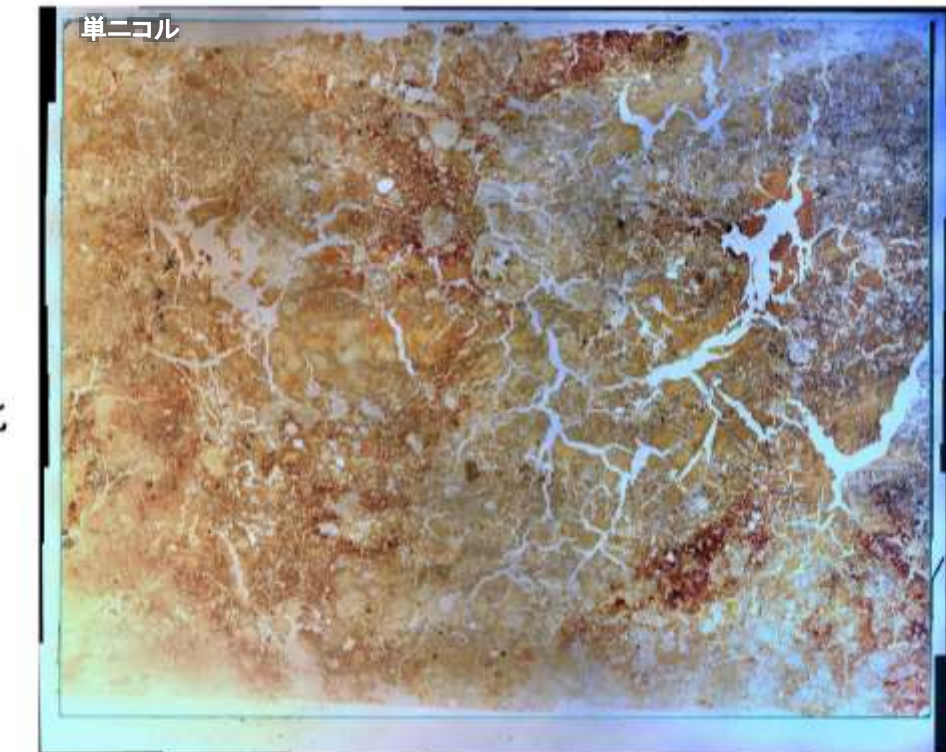
- ・S-1付近において、シルト質細～中粒砂からなるH I a段丘堆積物(3)がウェッジ状に堆積している。
- ・H I a段丘堆積物(1)に変位、変形は認められない。



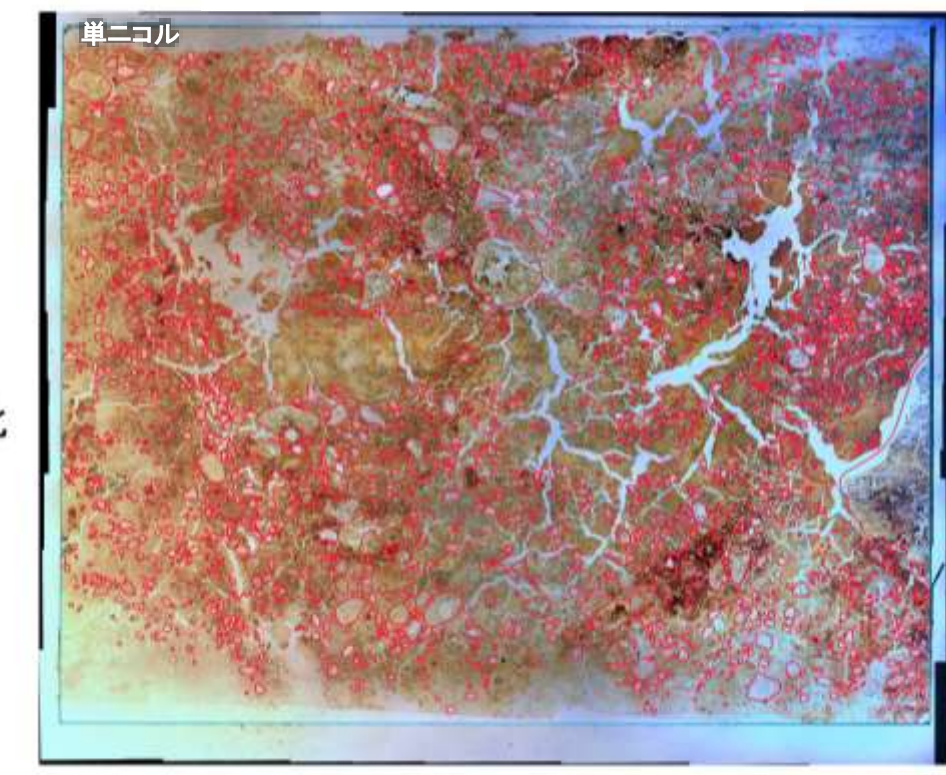
薄片に見られる礫等の長軸の角度分布
(ローズダイアグラム)



右の薄片観察写真から礫等のみ表示



薄片観察写真(左右反転)



0 1cm

- ・S-1付近のH I a段丘堆積物(3)から採取した定方位の薄片について、粒子や岩片の傾斜方向等を観察した結果、礫等の長軸は水平が卓越しており、S-1に沿った礫等の定向配列や堆積構造の乱れは認められない。

・ウェッジ状の構造に堆積するH I a段丘堆積物(3)に礫等の定向配列や堆積構造の乱れは認められず、その上位のH I a段丘堆積物(1)に変位、変形は認められない。

上

南

下

上

南

下

(2) えん堤左岸トレンチ

(2)-1 評価結果

S-1 えん堤左岸トレンチ -評価結果-

【有識者会合時の当社評価】

- 駐車場南東方トレーニングと同様に高位段丘 I a面を判読した位置において、トレーニング調査(えん堤左岸トレーニング)を実施した。
 - えん堤左岸トレーニングにおいて、幅20~30cmの固結した破碎部及び幅フィルム状~3.5cmの粘土状破碎部からなるS-1を確認。
 - 岩盤の安山岩(均質)の上位には、下位からシルト質砂礫層、赤色土壤、赤褐色土壤、明褐色土壤、黄褐色シルト層、褐色砂質シルト層が分布する。
 - S-1は岩盤直上のシルト質砂礫層に変位・変形を与えていない。

【有識者の評価】

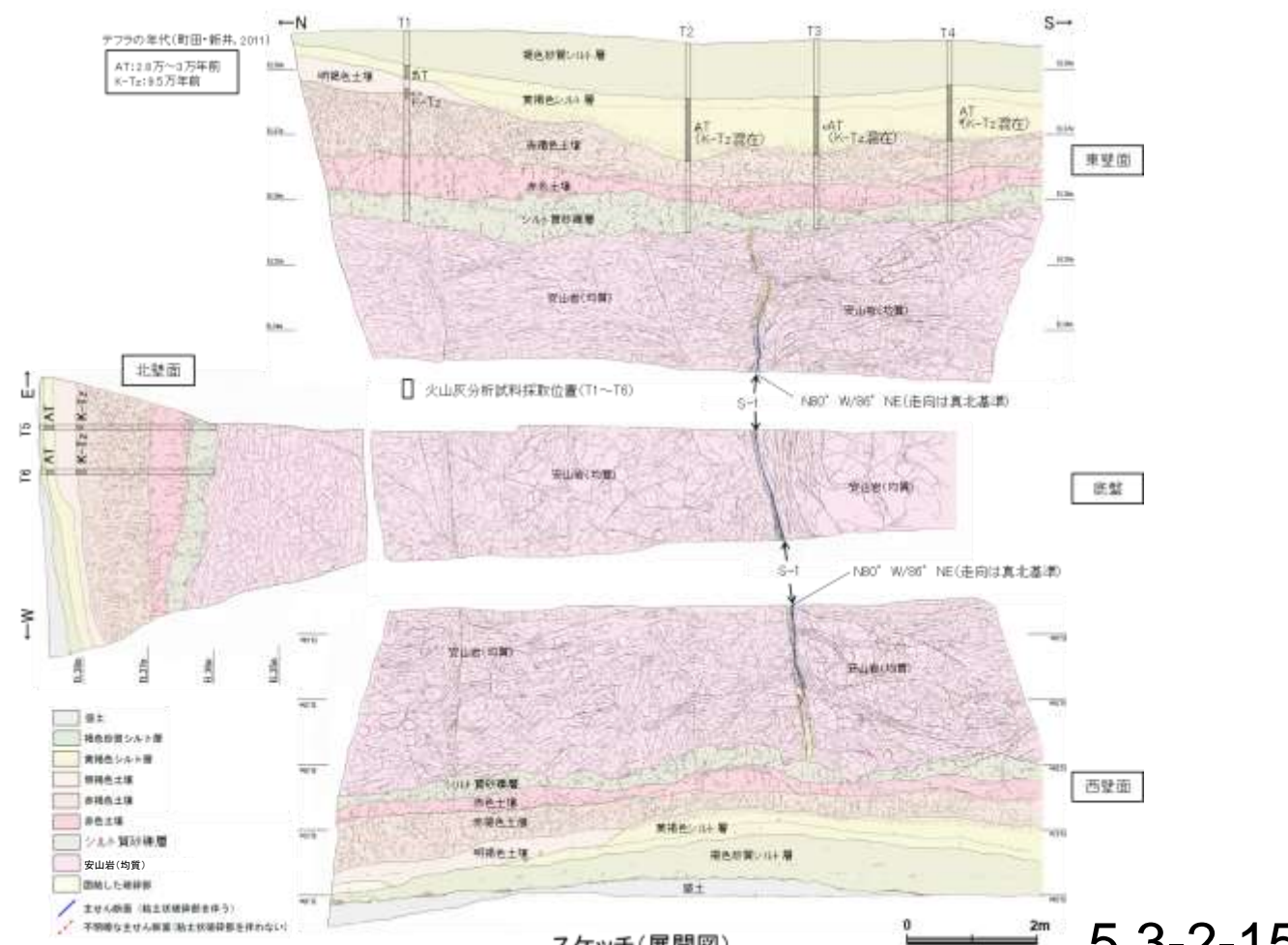
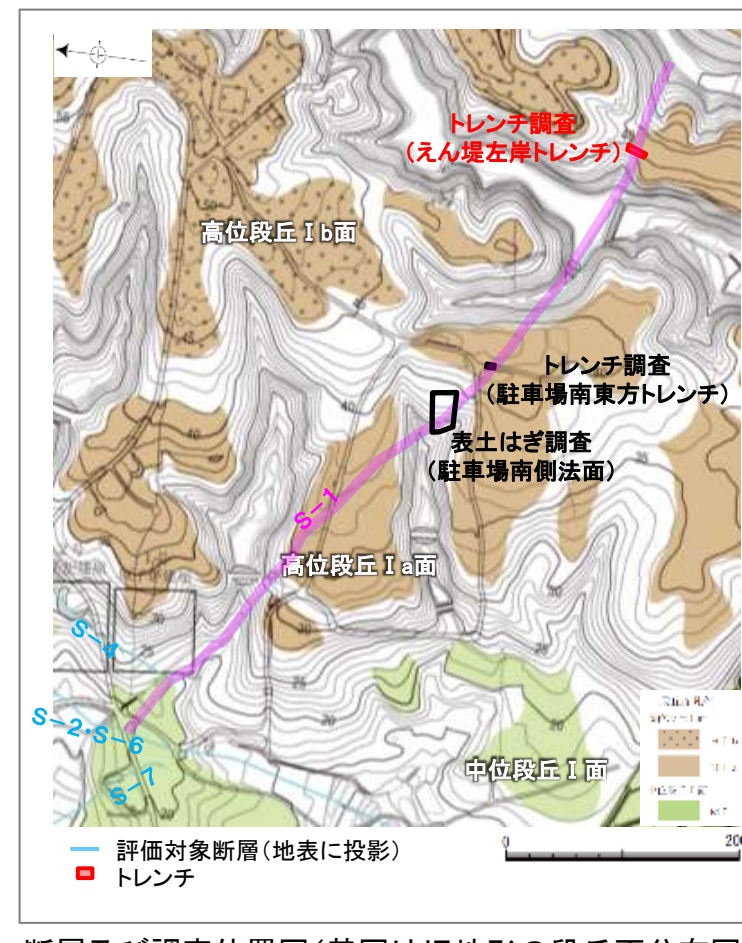
- OS-1は岩盤上面及びH I a段丘堆積物に変位・変形を与えておらず、後期更新世以降には活動していないと考えられる。

【有識者会合以降の追加検討】

- 岩盤直上の堆積物は、火山灰分析、遊離酸化鉄分析等の結果、約12～13万年前以前に堆積したとも考えられるが、礫の平均真円度により海成堆積物と確実に認定することができない（検討結果は5.3.1）。

【現在の当社評価】

- えん堤左岸トレンチにおいて、S-1は岩盤直上の堆積物に変位・変形を与えていない。この堆積物の年代評価については、火山灰分析、遊離酸化鉄分析等の結果からは約12~13万年前以前に堆積したとも考えられるが、礫の平均真円度により海成堆積物と確實に認定することができないことから、MISとの対比による明確な年代評価はできない。



断層及び調査位置図(基図は旧地形の段丘面分布図)

5.3-2-15

S-1 えん堤左岸トレンチ – S-1と上載地層の関係 –

○上載地層との関係を詳細に観察した結果、S-1は岩盤直上のシルト質砂礫層に変位・変形を与えていない(次頁、次々頁)。

- 褐色砂質シルト層
 - ・色調5YR4/6～7.5YR5/4。
- 黄褐色シルト層
 - ・色調10YR5/6～7.5YR5/4。
- 明褐色土壤
 - ・色調7.5YR5/6～4/6。
- 赤褐色土壤
 - ・色調5YR4/8～2.5YR4/6(赤褐色部),
7.5YR5/3～10YR5/4(淡色部)。
 - ・明瞭なトラ斑あり。赤褐色部と淡色部の割合は同程度。
- 赤色土壤
 - ・色調2.5YR4/8～10R4/6(赤色部),
7.5YR5/3～10YR5/4(淡色部)。
 - ・トラ斑あり。赤色部が卓越し、淡色部は少ない。
- シルト質砂礫層
 - ・基質はシルト質な細～中粒砂。
 - ・径0.5～5cmの亜角～亜円礫を5～10%含む。
 - ・礫は安山岩くさり礫からなり、軟質である。

S-1

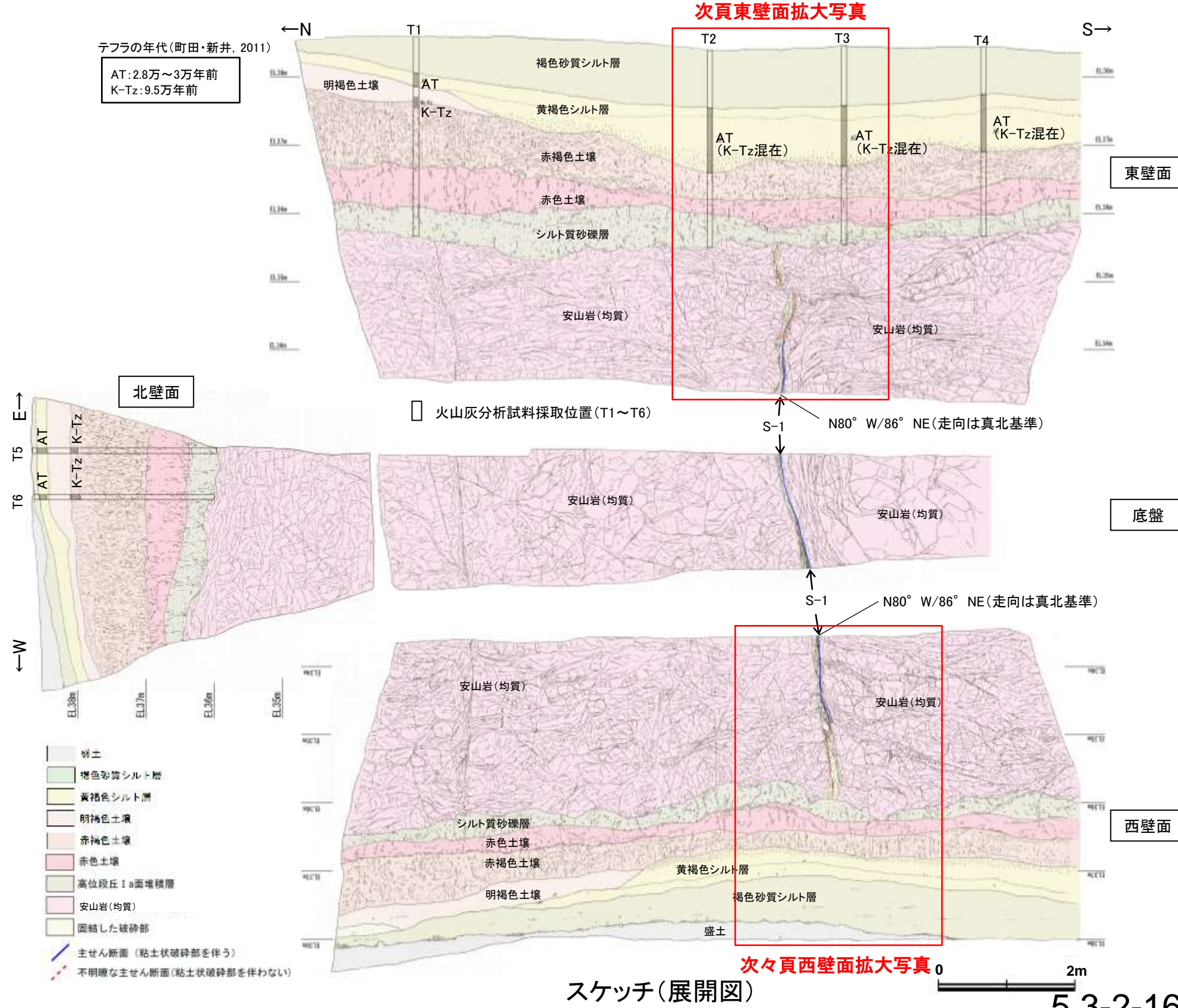
- ・S-1は、走向・傾斜N80° W/86° NE(走向は真北基準)で、幅20～30cmの固結した破碎部及び幅フィルム状～3.5cmの明灰緑～明灰褐色を呈する粘土状破碎部からなり、別所岳安山岩類の岩盤の上面まで認められる。
- ・S-1は、岩盤直上のシルト質砂礫層に変位・変形を与えていない。

- ・岩盤と堆積物の境界に関する調査結果については
補足資料5.3-2(2)-2

遊離酸化鉄分析・火山灰分析結果

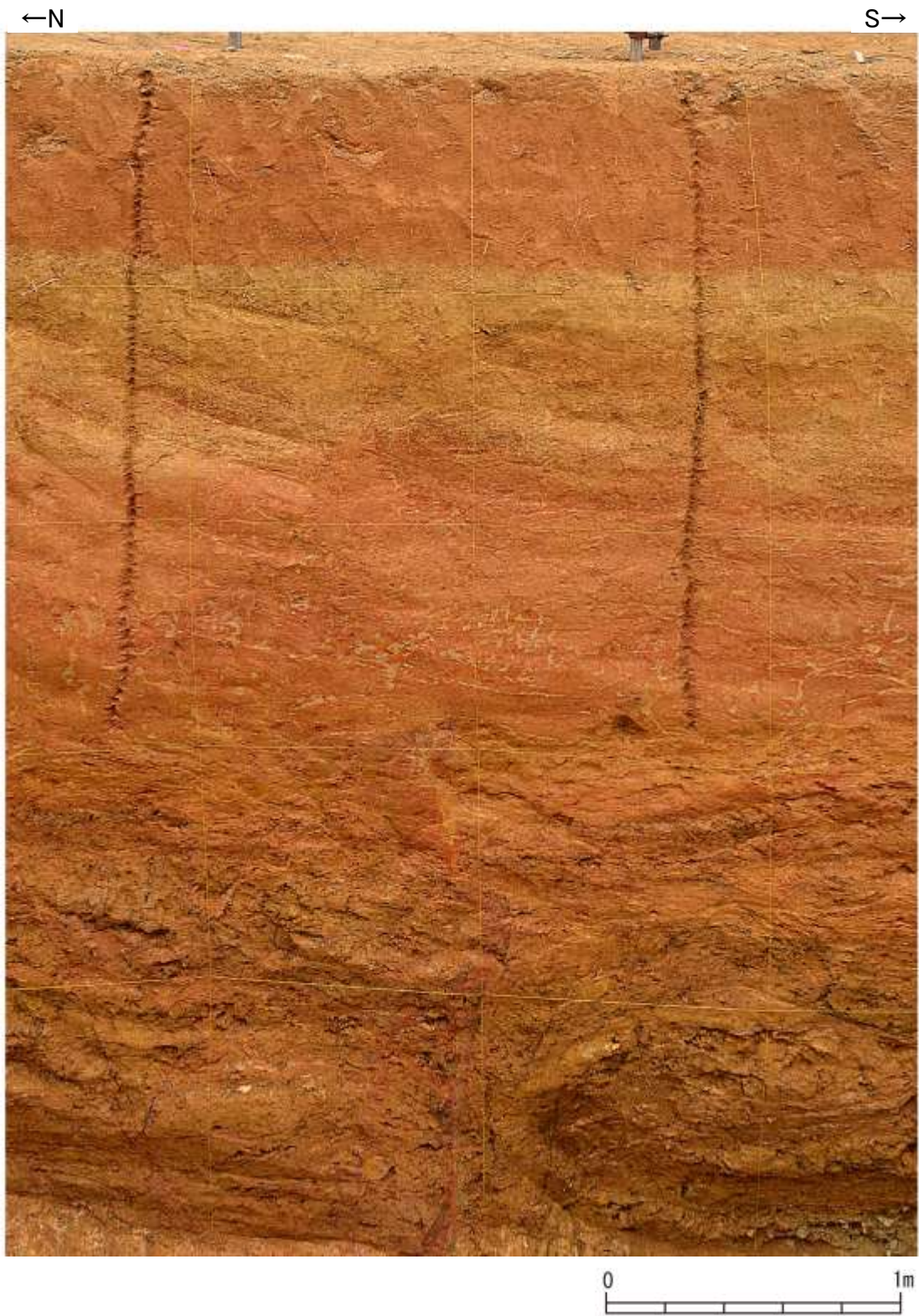
- ・赤色土壌について実施した遊離酸化鉄分析の結果、能登半島の赤色土壌と同程度である。(補足資料
5.3-1(3) P.5.3-1-92)
 - ・火山灰分析の結果、明褐色土壌及び赤褐色土壌が分布するT1, T5, T6では、赤褐色土壌の上部においてK-Tzが認められる。
 - ・なお、黄褐色シルト層においてAT及びK-Tz(β石英リワーク)が認められる※1。

※1:T2～T4で赤褐色土壌においてK-Tzが認められないのは、赤褐色土壌の上位層である黄褐色シルト層等がK-Tzの降灰層を削剥したためであり、その際に黄褐色シルト層中にK-Tzの β 石英がリワークにより混入したとのと考えられる。

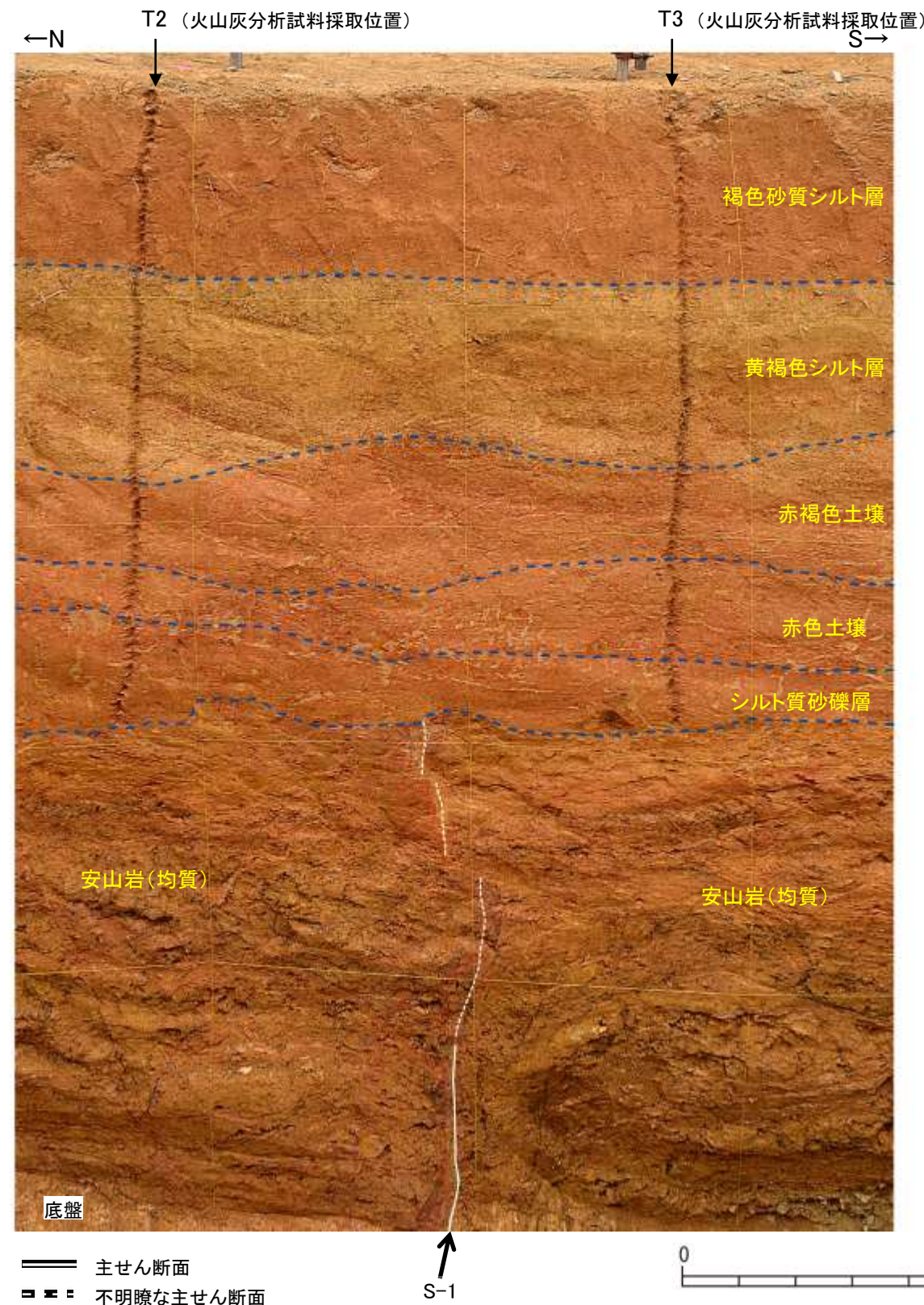


S-1 えん堤左岸トレーニチ

【東壁面拡大写真】



東壁面拡大写真



東壁面拡大写真(S-1等を加筆)

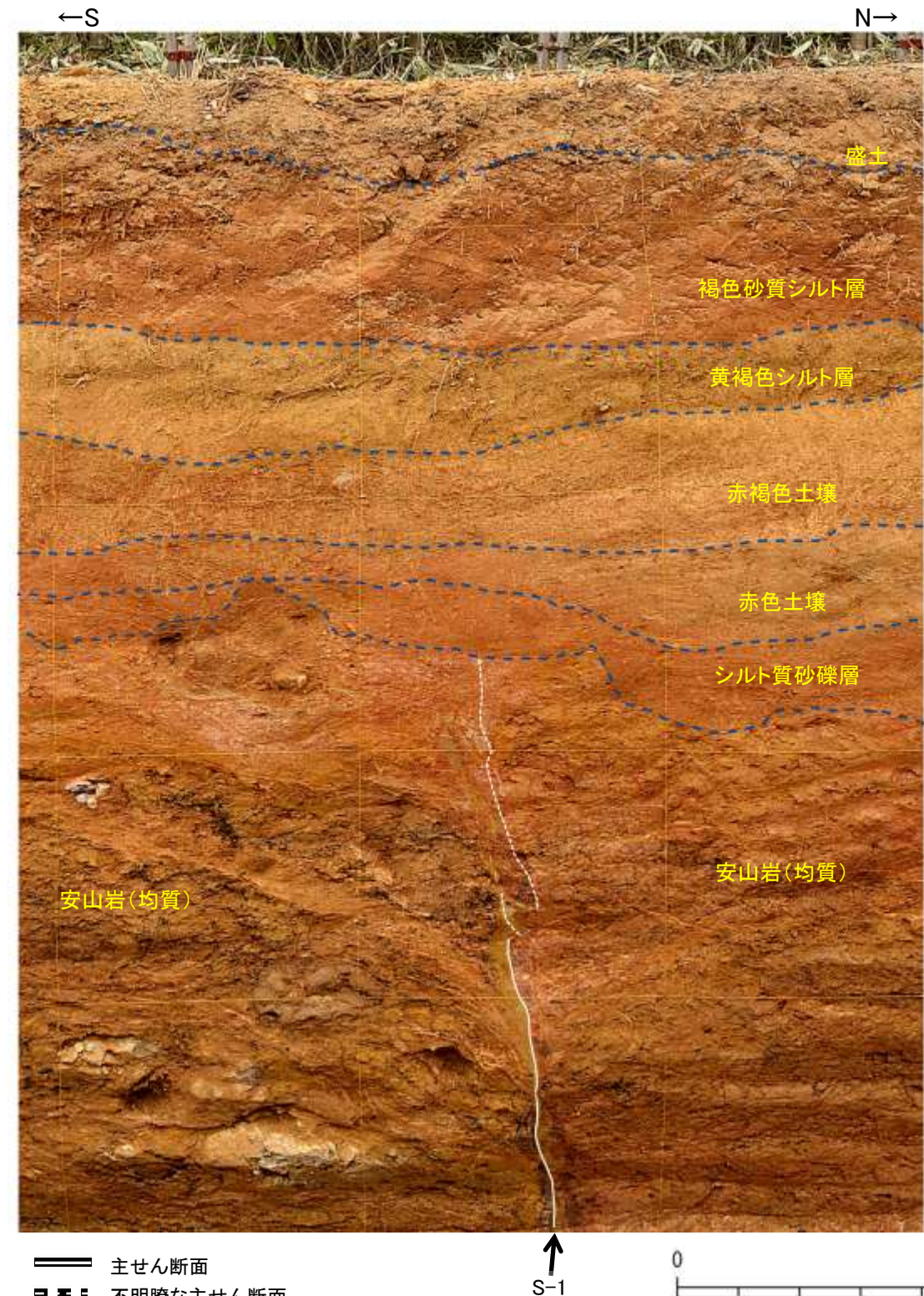
5.3-2-17

S-1 えん堤左岸トレーニチ

【西壁面拡大写真】



西壁面拡大写真

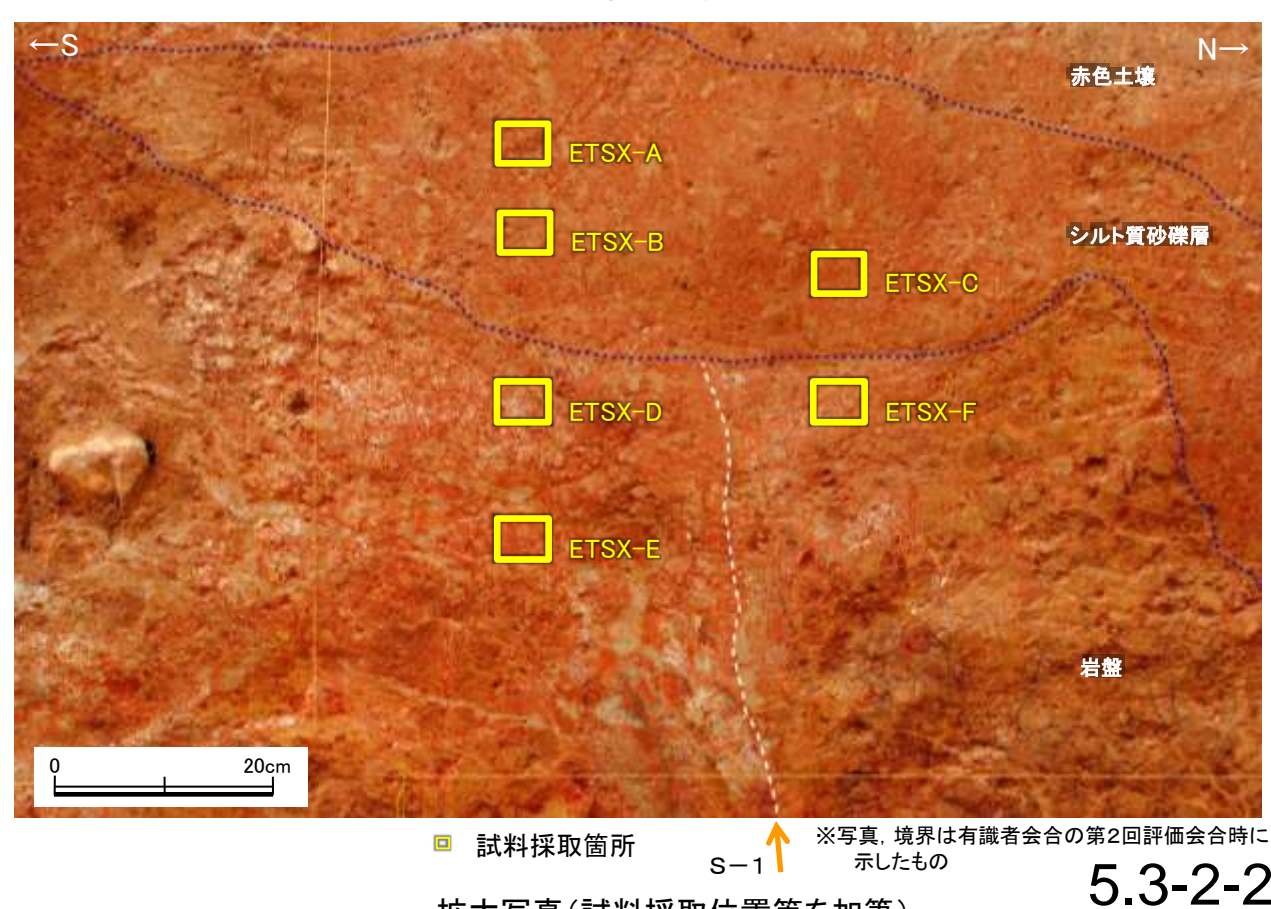
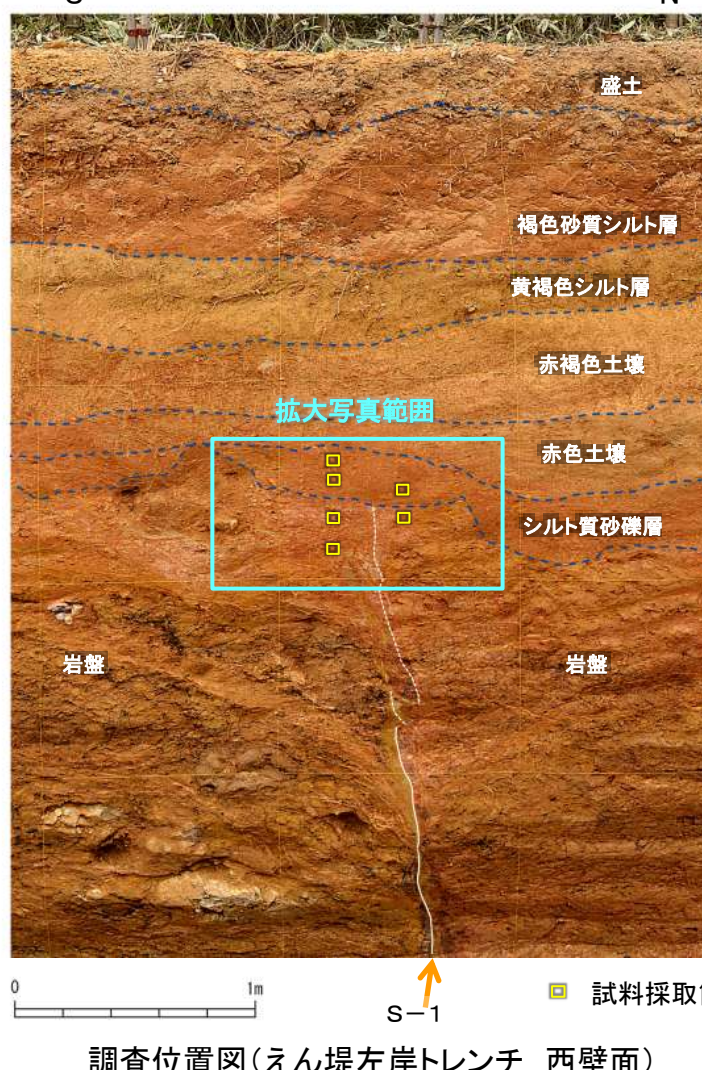
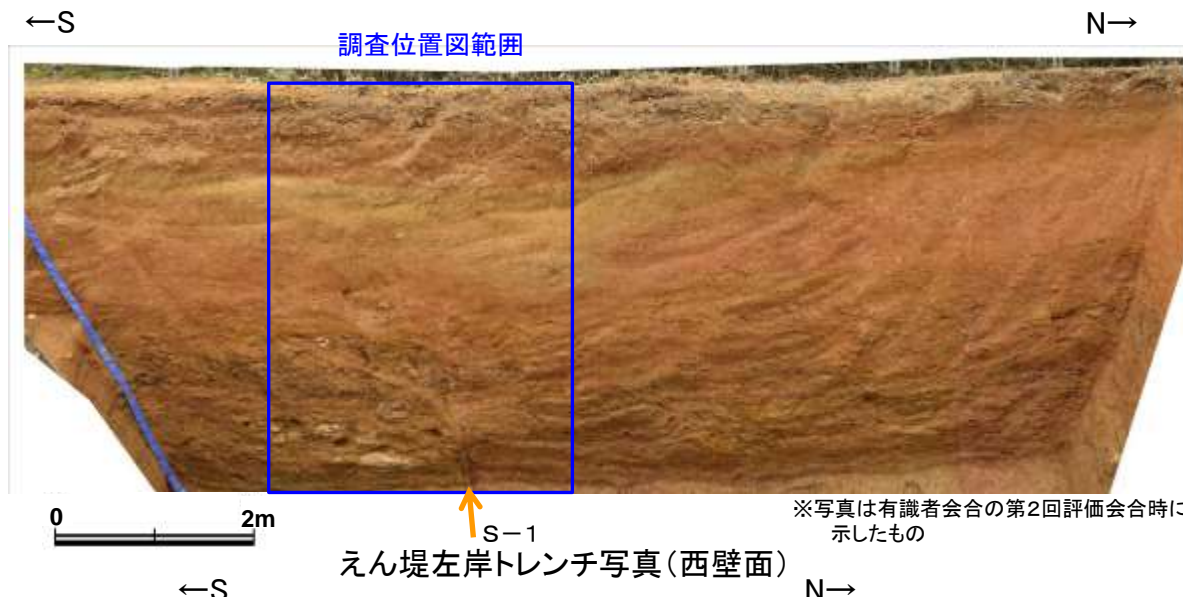


西壁面拡大写真(S-1等を加筆)

(2)-2 岩盤と堆積物の境界に関する調査結果

えん堤左岸トレーンチ 試料採取位置

■えん堤左岸トレーンチにおいて、岩盤と堆積物の境界について、試料採取前に肉眼観察を行い、その結果を基に薄片観察、XRD分析、XRF分析の試料採取箇所を決定した。以下に、試料採取箇所を示す。

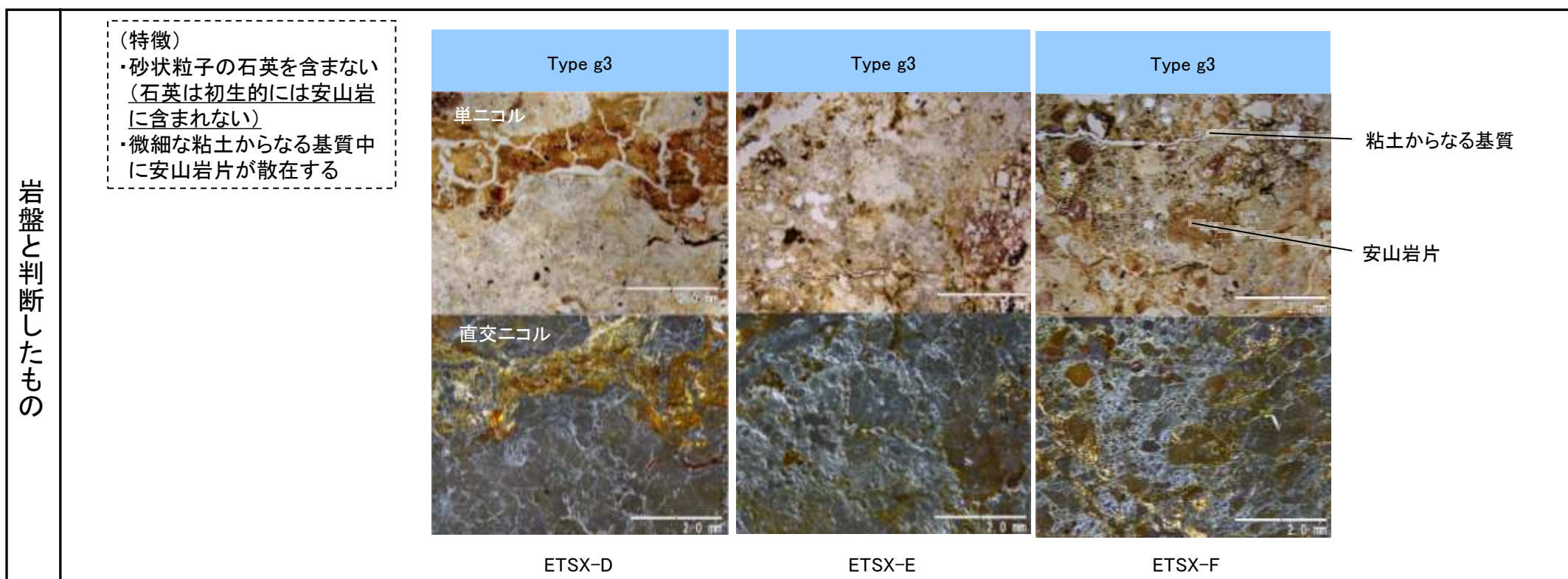
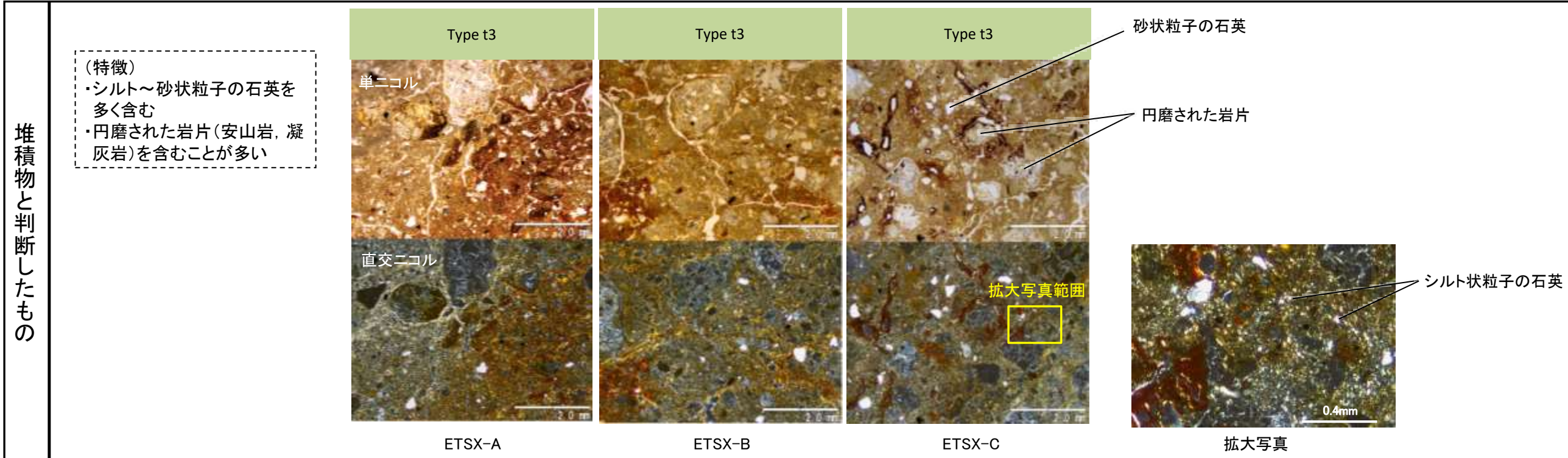


えん堤左岸トレーンチ 試料採取箇所の特徴等

| 試料採取位置 | 肉眼観察による区分 | 採取物の特徴 |
|--------|-----------|--|
| ETSX-A | シルト質砂礫層 | 基質は褐～明褐色を呈するシルト質な細～中粒砂からなり、安山岩円～亜角礫を含む。 |
| ETSX-B | シルト質砂礫層 | 基質は褐～明褐色を呈するシルト質な細～中粒砂からなり、安山岩円～亜角礫を含む。 |
| ETSX-C | シルト質砂礫層 | 基質は褐～明褐色を呈するシルト質な細～中粒砂からなり、安山岩円～亜角礫を含む。 |
| ETSX-D | 岩盤 | 強風化した安山岩(均質)。黄灰～白色を呈し、部分的に褐色を帯びる。粘土化し、ナイフで容易に削ることができる。 |
| ETSX-E | 岩盤 | 強風化した安山岩(均質)。黄灰色を呈し、部分的に褐色を帯びる。粘土化し、ナイフで容易に削ることができる。 |
| ETSX-F | 岩盤 | 強風化した安山岩(均質)。黄灰色を呈し、部分的に褐色を帯びる。粘土化し、ナイフで容易に削ることができる。 |

えん堤左岸トレーニング ①薄片観察結果

■えん堤左岸トレーニングにおいて試料採取した計6枚の薄片観察結果を以下に示す。



・薄片観察の結果、岩盤と堆積物に区分される。

えん堤左岸トレーンチ ②XRD分析結果

■XRD分析による検出鉱物を薄片観察結果と比較した。

| 位置 | 試料名 | 薄片観察による岩相区分 | 石英最強ピーク | XRDによる検出鉱物 | | | | | | | | | | | | | | |
|------------|--------|-------------|---------|------------|----------|---------|------|-----|-----|------|------|-----------|------|-----|--------|----------|-------|-----|
| | | | | 石英 | クリストバライト | トリディマイト | カリ長石 | 斜長石 | 角閃石 | 斜方輝石 | 単斜輝石 | 7Å型ハロイサイト | 雲母鉱物 | 緑泥石 | スメクタイト | バーミキュライト | ギブサイト | 磁鉄鉱 |
| えん堤左岸トレーンチ | ETSX-A | 堆積物 | Type t3 | 6536 | ◎ | ± | ± | ± | | | | △ | ± | | | ± | | |
| | ETSX-B | | | 5575 | ◎ | ± | ± | ± | | | | △ | ± | | | ± | | |
| | ETSX-C | | | 5002 | ◎ | ± | | | | | | △ | ± | | | ± | | |
| | ETSX-D | 岩盤 | Type g3 | 675 | △ | | | | | | | △ | | | | | | |
| | ETSX-E | | | 930 | △ | | | ± | | | | △ | ± | | | ± | | |
| | ETSX-F | | | 550 | △ | | | | | | | △ | | | | | | |

◎:多量>5000cps ○:中量2500~5000cps △:少量500~2500cps +:微量250~500cps ±:きわめて微量<250cps
標準石英最強回折線強度(3回繰り返し測定, 平均53,376cps)

- ・薄片にてType g3と区分された岩盤は、石英最強ピークが550~930cpsと堆積物に比べて少ない。
- ・薄片にてType t3と区分された堆積物は、石英最強ピークが5,002~6,536cpsで、クリストバライトが検出され、カリ長石、雲母鉱物、ギブサイトが検出されることが多い。

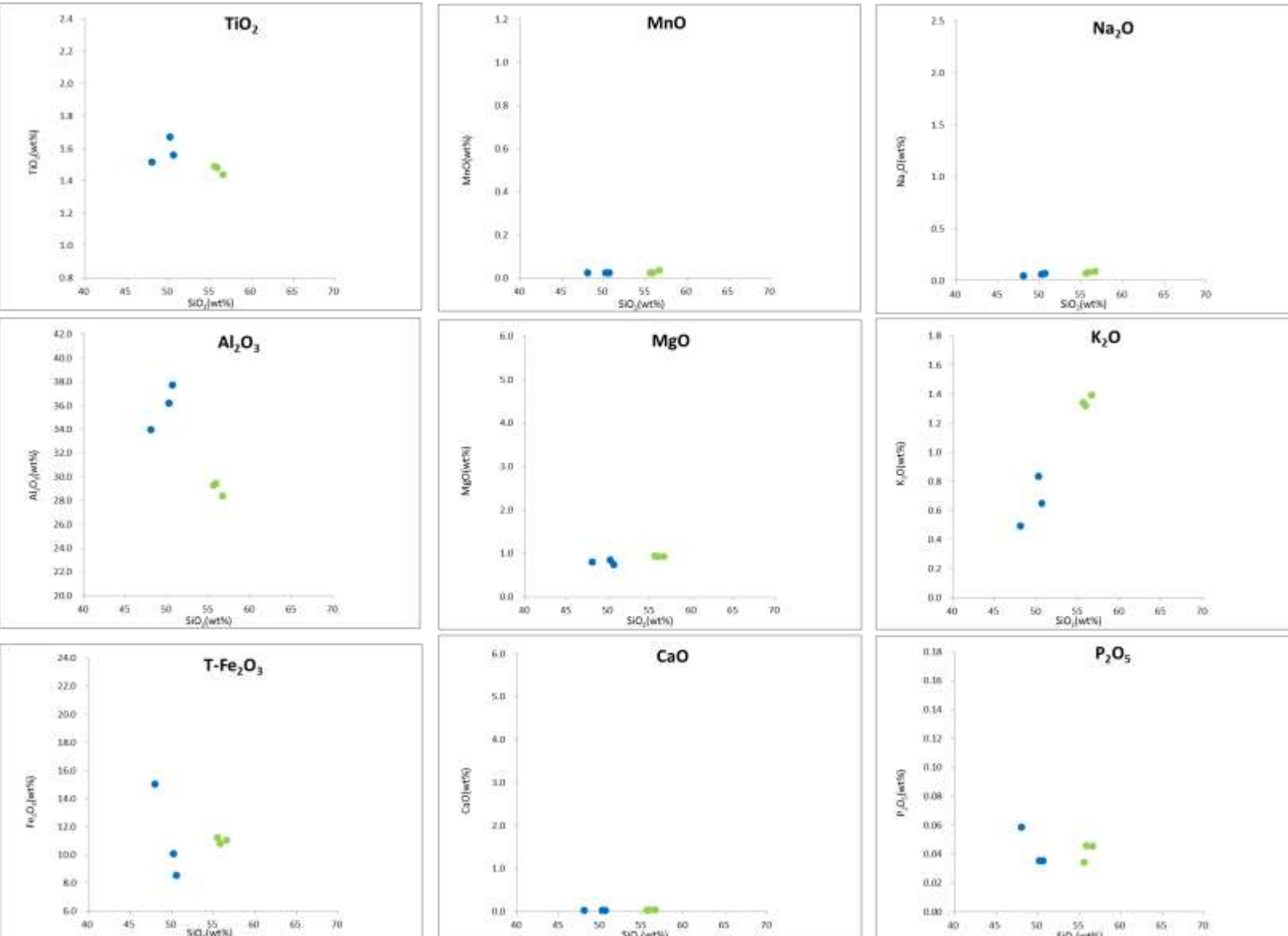
・石英のピーク値及び鉱物組成を比較した結果、薄片観察結果(岩盤と堆積物の区分)を支持する結果が得られた。

◎:多量>5000cps ○:中量2500~5000cps △:少量500~2500cps +:微量250~500cps ±:きわめて微量<250cps

標準石英最強回折線強度(3回繰り返し測定, 平均53,376cps)

えん堤左岸トレンチ ③XRF分析結果

■XRF分析による主要化学組成を薄片観察結果と比較した。



ハーカー図

● 堆積物 Type t3
● 岩盤 Type g3

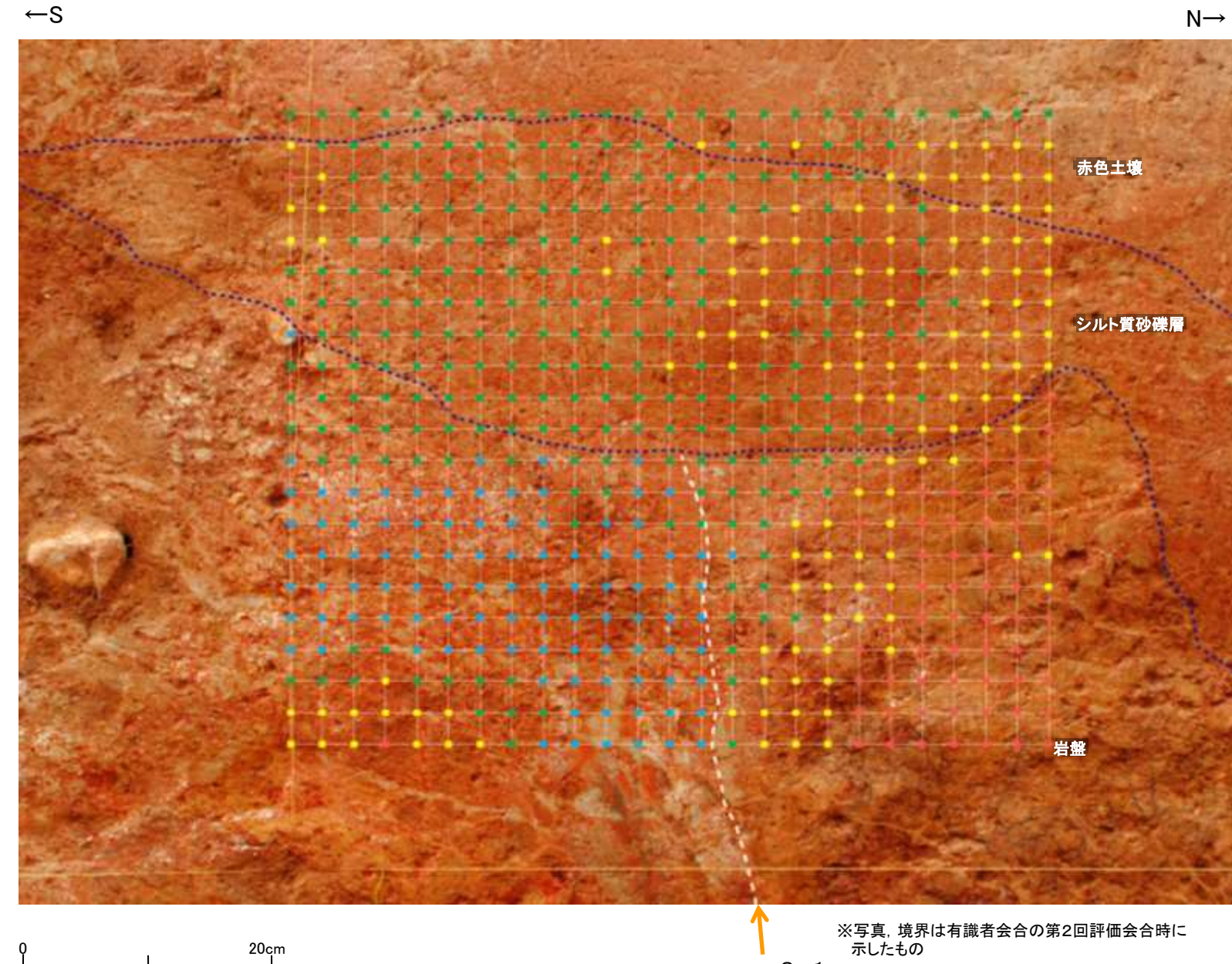
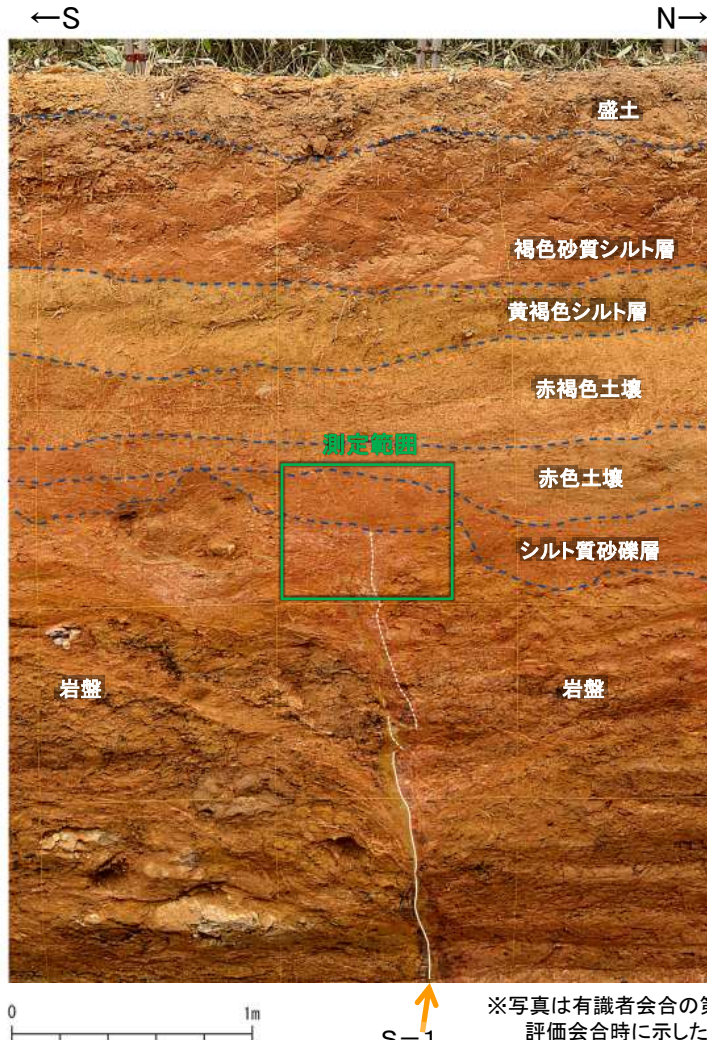
主要化学組成(lg.Loss規格化後)

| 試料名 | Type | SiO ₂ | TiO ₂ | Al ₂ O ₃ | T-Fe ₂ O ₃ | MnO | MgO | CaO | Na ₂ O | K ₂ O | P ₂ O ₅ | Total |
|--------|------|------------------|------------------|--------------------------------|----------------------------------|------|------|------|-------------------|------------------|-------------------------------|--------|
| ETSX-A | T3 | 56.63 | 1.44 | 28.37 | 11.02 | 0.03 | 0.94 | 0.03 | 0.09 | 1.39 | 0.05 | 100.00 |
| ETSX-B | | 55.57 | 1.49 | 29.29 | 11.22 | 0.02 | 0.94 | 0.02 | 0.07 | 1.34 | 0.03 | 100.00 |
| ETSX-C | | 55.88 | 1.48 | 29.43 | 10.78 | 0.02 | 0.93 | 0.03 | 0.08 | 1.32 | 0.05 | 100.00 |
| ETSX-D | g3 | 50.64 | 1.56 | 37.72 | 8.54 | 0.02 | 0.74 | 0.02 | 0.07 | 0.65 | 0.04 | 100.00 |
| ETSX-E | | 50.23 | 1.67 | 36.20 | 10.07 | 0.02 | 0.85 | 0.02 | 0.06 | 0.84 | 0.04 | 100.00 |
| ETSX-F | | 48.06 | 1.52 | 33.96 | 15.03 | 0.02 | 0.80 | 0.02 | 0.05 | 0.49 | 0.06 | 100.00 |

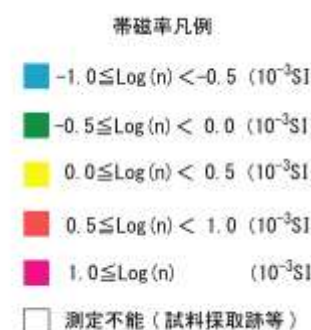
・主要化学組成を比較した結果、SiO₂等の量比から薄片観察結果(岩盤と堆積物の区分)を支持する結果が得られた。

えん堤左岸トレーンチ ④ 帯磁率測定結果

■えん堤左岸トレーンチの西壁面において帯磁率測定を実施し、肉眼観察による岩盤と堆積物の境界と比較した。

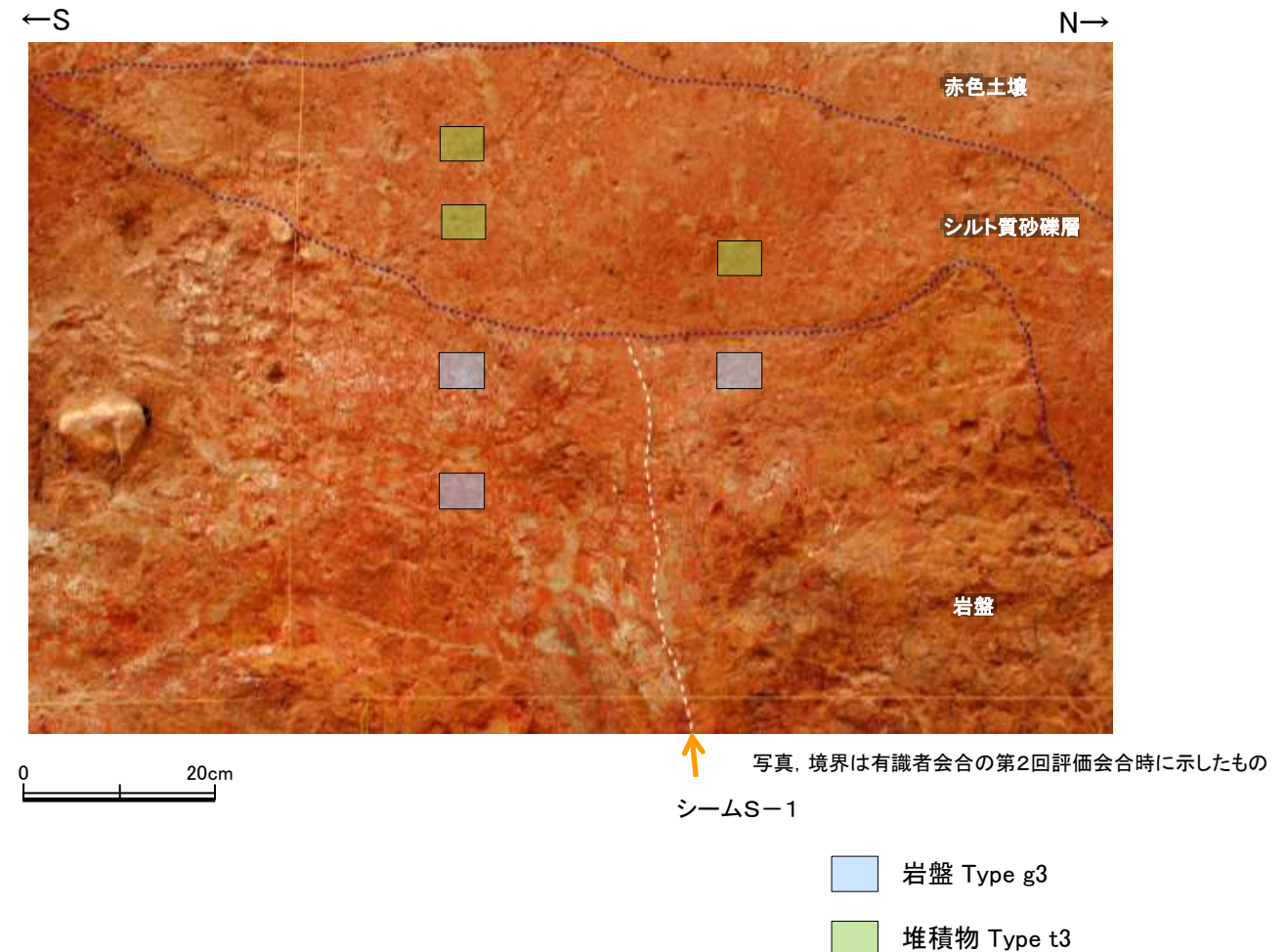


調査位置図(えん堤左岸トレーンチ 西壁面)



・岩盤とシルト質砂礫層で帯磁率にギャップが見られる。

・岩盤と堆積物の境界について、肉眼観察結果と概ね整合的な結果が得られた。



えん堤左岸トレーニングにおいて、肉眼観察の結果を基本とし、各種分析による客観的かつ定量的なデータを整理することにより
岩盤と堆積物の境界を判断すると上図の通りとなる。

(3) 駐車場南側法面

(3)-1 評価結果

S-1 駐車場南側法面 -評価結果-

【有識者会合時の当社評価】

- 高位段丘 I a面分布域に位置する開析谷の谷壁斜面において、表土はぎ調査(駐車場南側法面)を実施した。
- 駐車場南側法面において、幅5~10cmの固結した破碎部及び幅フィルム状~2cmの粘土状破碎部からなるS-1を確認。
- 岩盤の安山岩(均質)の上位には、下位から古期斜面堆積物(灰色シルト質礫層、灰色シルト層、褐色シルト層)、赤色土壤、赤褐色土壤、明褐色土壤、暗褐色土壤が分布する。
- S-1は古期斜面堆積物に変位・変形を与えていない。

【有識者の評価】

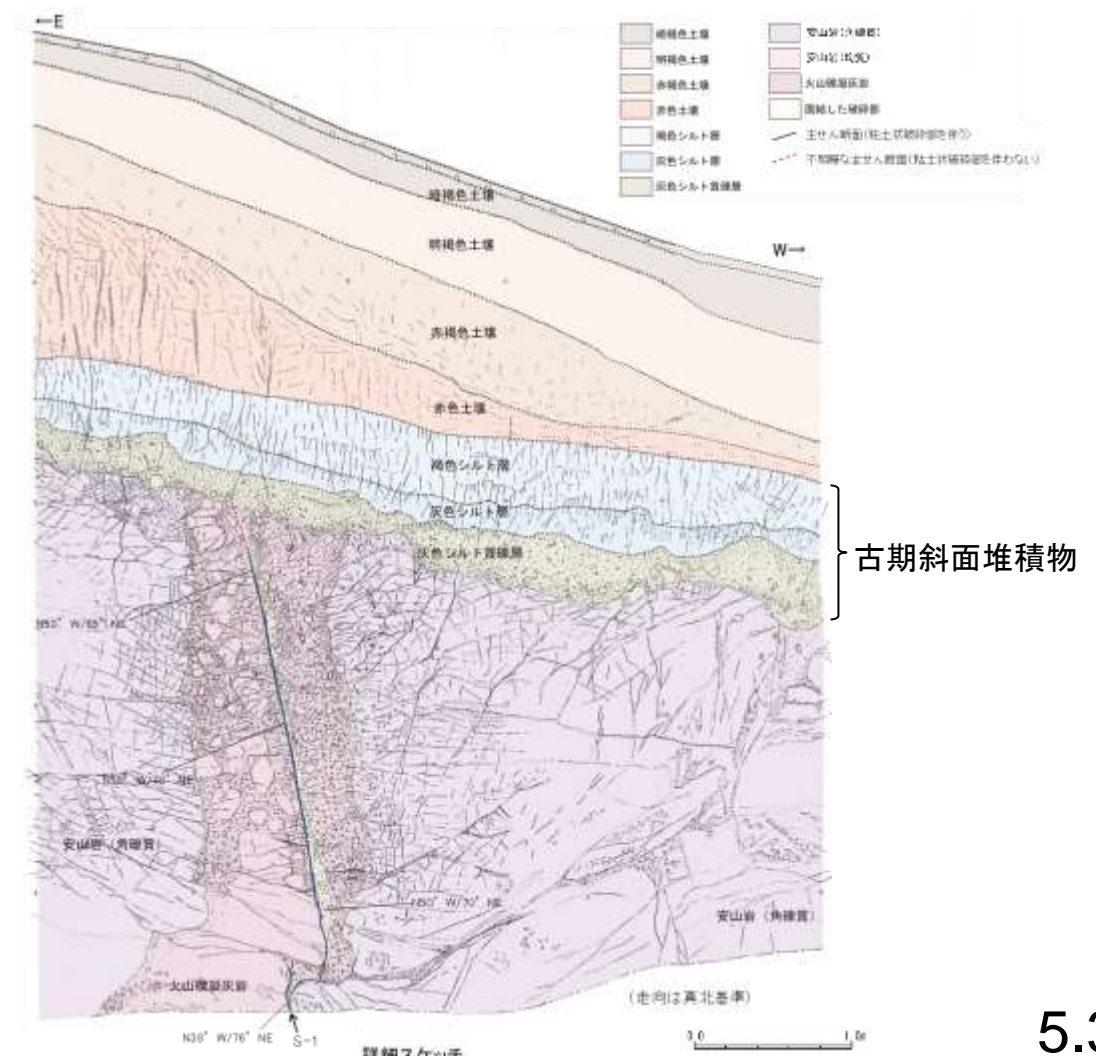
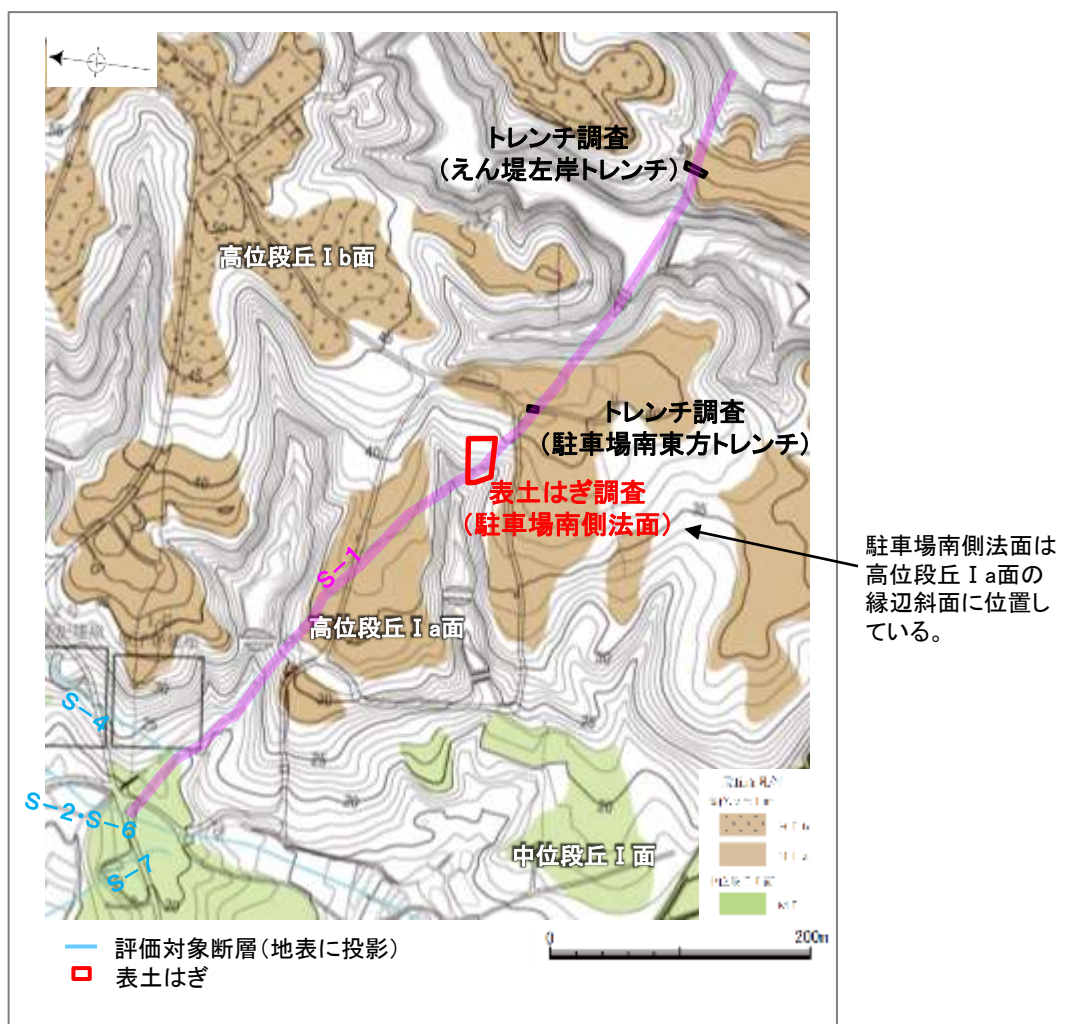
- S-1は岩盤上面や堆積物に変位・変形を与えた様子は認められないものの、上載層は再堆積である可能性が高く、S-1の後期更新世以降の活動を判断することができない。

【有識者会合以降の追加検討】

- 駐車場南側法面の堆積物を被覆する赤色土壤等について、CT画像観察等を行い、再堆積の可能性について検討した結果、赤色土壤には明瞭な斑紋構造が認められ、この斑紋構造は数万年スケールの時間で生じるとされていることから、再堆積の可能性はない。

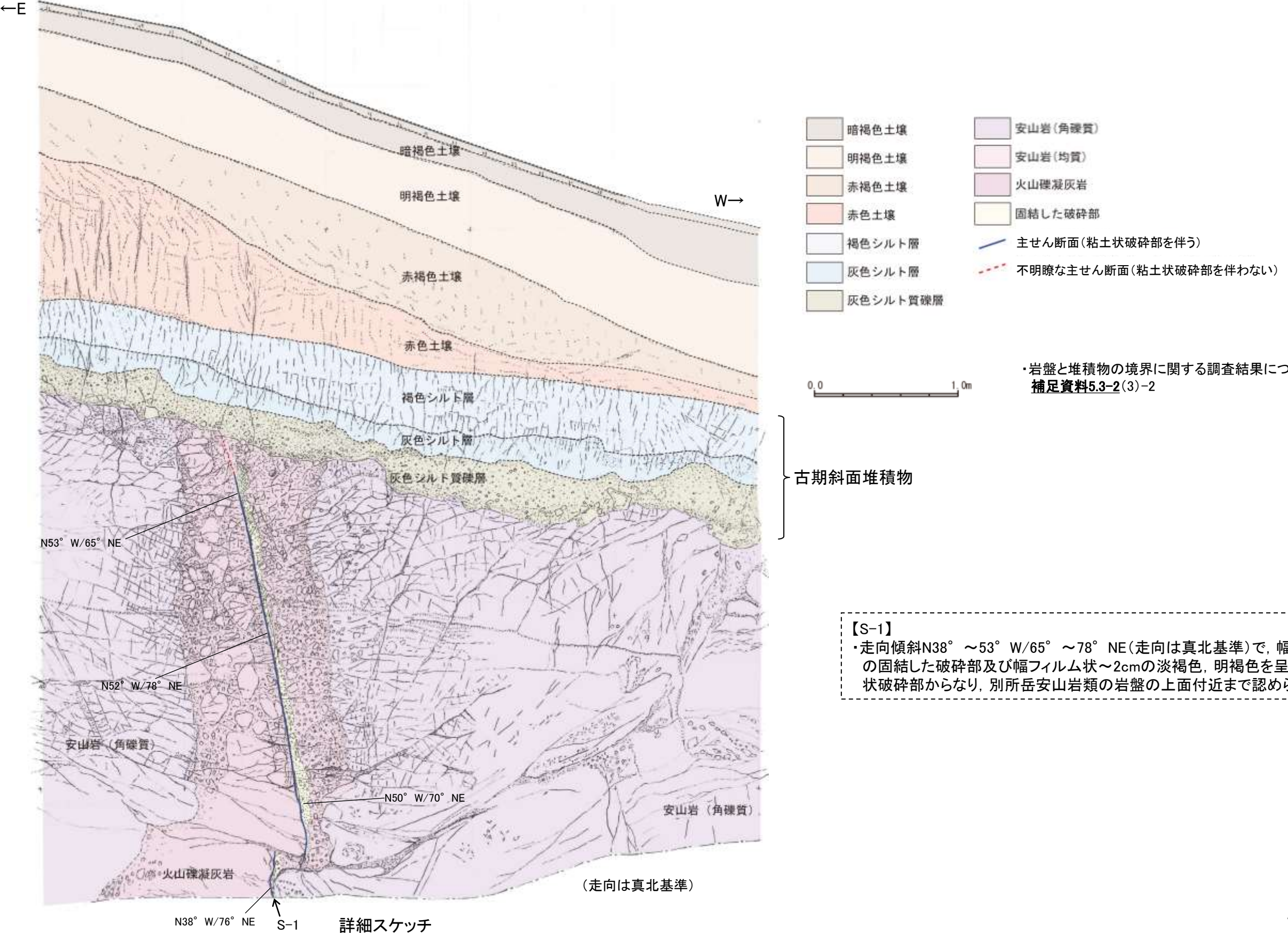
【現在の当社評価】

- 以上のこと踏まえると、駐車場南側法面において、S-1は岩盤上面や堆積物に変位・変形を与えていない。この堆積物の年代評価については、火山灰分析、遊離酸化鉄分析等の結果からは約12~13万年前以前に堆積したとも考えられるが、本法面は高位段丘 I a面の縁辺斜面に位置しており、再堆積の可能性がある古期斜面堆積物であることから、MISとの対比による明確な年代評価はできない。



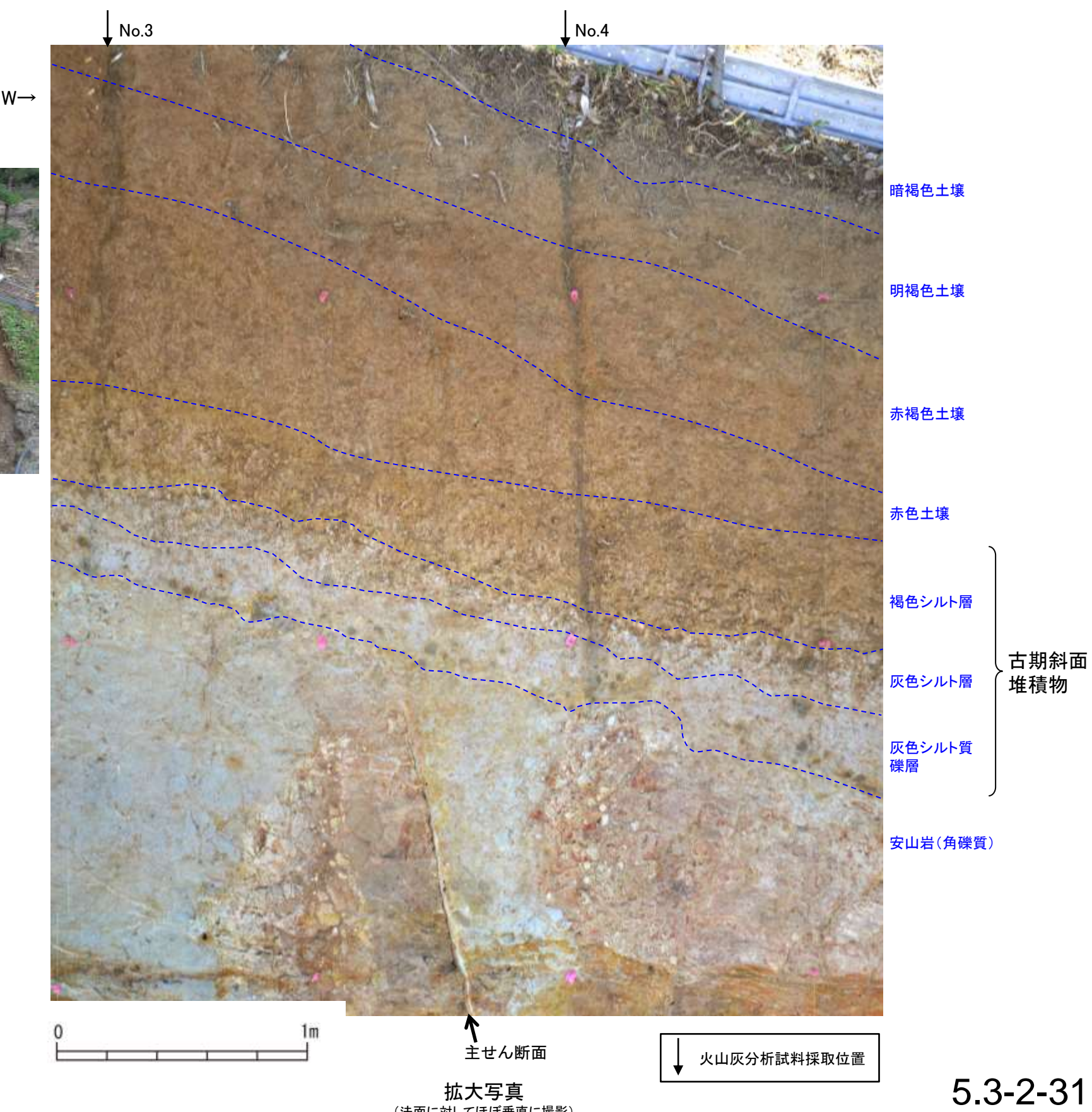
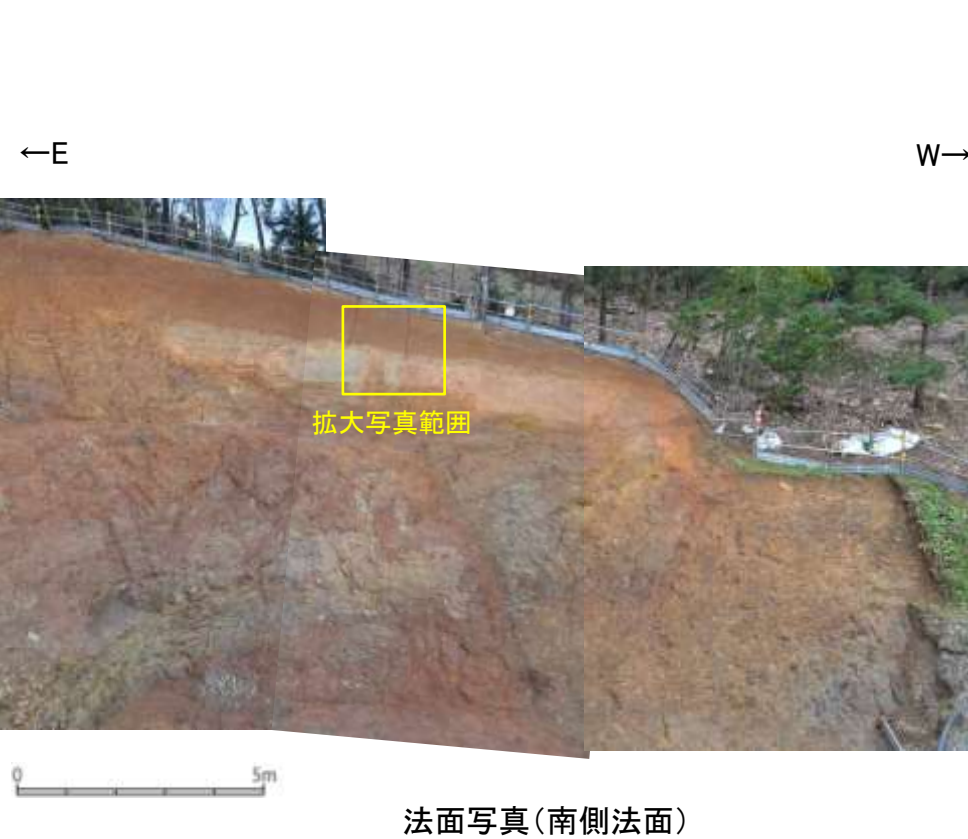
S-1 駐車場南側法面 -S-1と上載地層の関係-

OS-1は、岩盤直上の古期斜面堆積物(灰色シルト質礫層、灰色シルト層、褐色シルト層)に、変位・変形を与えていない。



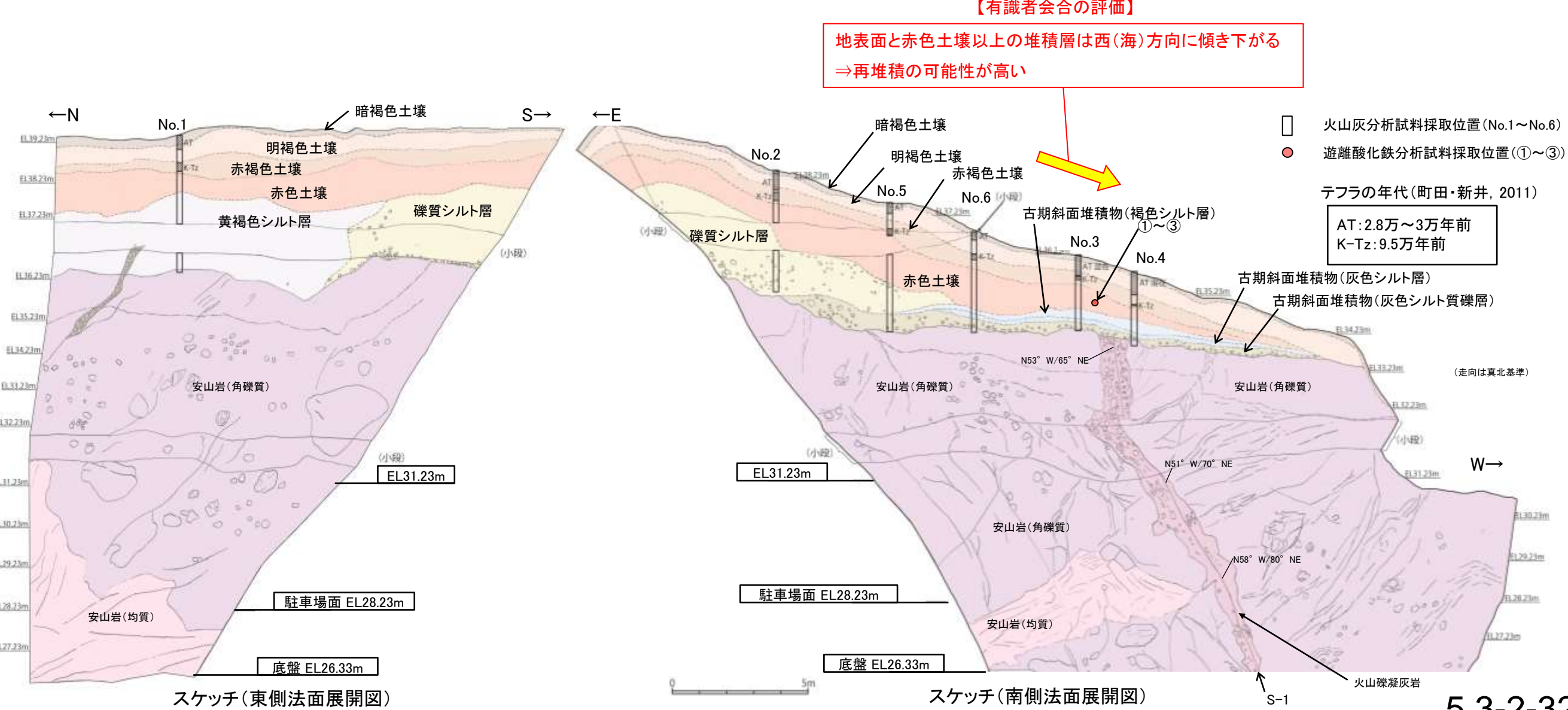
S-1 駐車場南側法面

【拡大写真】



S-1 駐車場南側法面 -検討1:再堆積に関する検討-

- 有識者会合は、駐車場南側法面は高位段丘Ⅰ面の端部の斜面であり、地表面、層理面ともに西(海)方向へ傾き下がることから、岩盤直上の堆積物は斜面堆積物であり、テフラやそれを含む赤色土は再堆積である可能性が高いと評価している。
- そこで、赤色土壤及び赤褐色土壤の斑紋構造の有無に着目し、土壤の斑紋構造はその形成後の再堆積が無いことを示している知見(濱田・幡谷, 2015)に基づき、肉眼観察及び内部構造を把握するためのCT画像観察を行い、再堆積の可能性についての検討を行った。
- 検討の結果、S-1付近(斜面下側)において、赤褐色土壤については、全体的に乱れており、斑紋が認められることから、再堆積物を含む可能性があるものの、赤色土壤については、明瞭な斑紋構造が認められる(次頁)。この斑紋構造は、数万年スケールの時間で生じる(次々頁)とされていることから、赤色土壤は再堆積の可能性はない。



S-1 駐車場南側法面

【斑紋構造の観察】

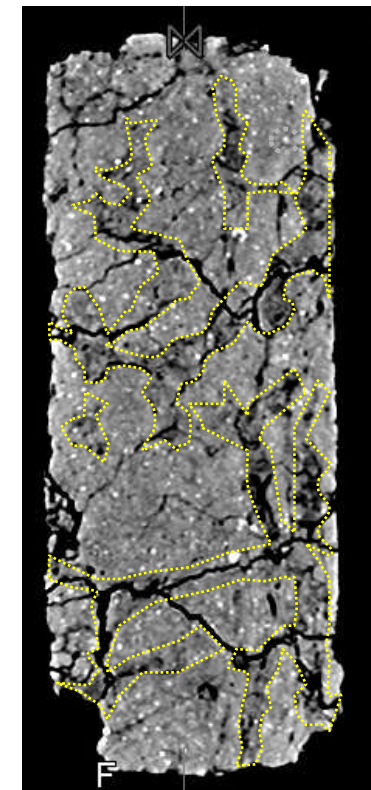
【再堆積の検討の着目点】

- ・肉眼観察において、斑紋が明瞭。(CT画像において、密度のコントラストが明瞭。)
- ・肉眼観察において、斑紋が認められない。(CT画像において、乱れている。)

⇒再堆積ではない(=整然相)
⇒再堆積物を含んでいる可能性



肉眼観察



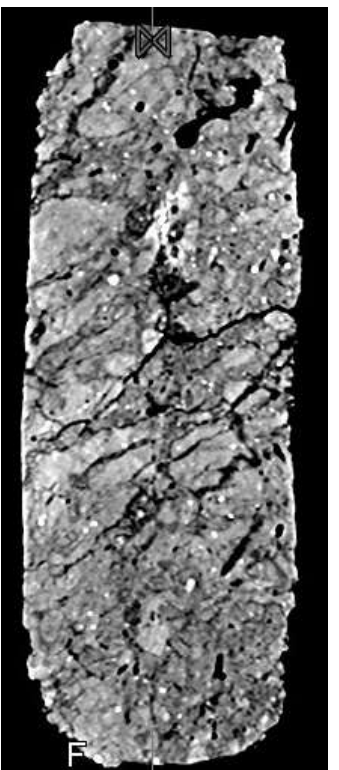
XCT画像
(密度の高い部分が白く映る)

試料4:赤色土壤

- ・肉眼観察において、赤色部を呈した土壤中に、淡色の明瞭な斑紋(図中黄枠部)が認められる。
 - ・CT画像において、密度のコントラストが明瞭。(図中黄枠部が密度が高く、肉眼観察の斑紋に相当)
- ⇒ 再堆積ではない(=整然相)



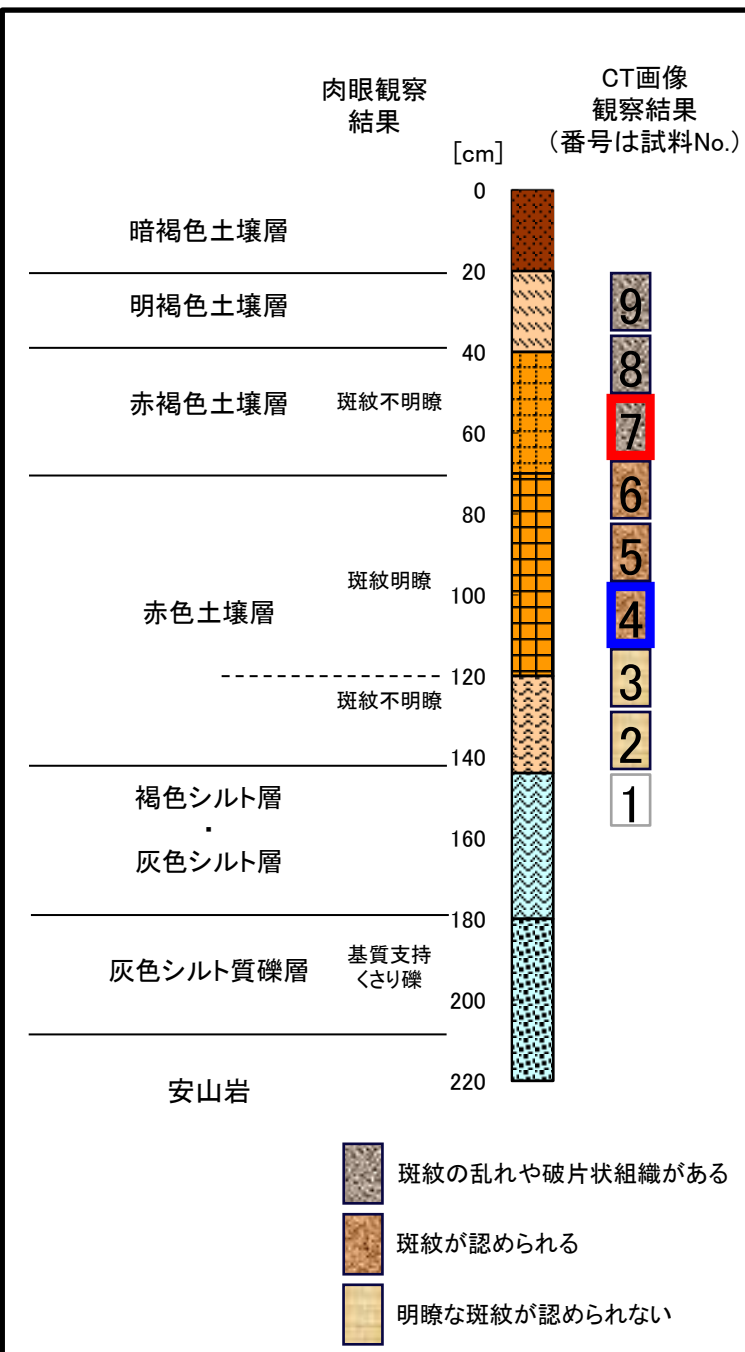
肉眼観察



XCT画像
(密度の高い部分が白く映る)

試料7:赤褐色土壤

- ・肉眼観察において、全体的に赤褐色を呈しており、色調のコントラストが不明瞭であり、斑紋が認められない。
 - ・CT画像において、全体的に乱れている。
- ⇒ 再堆積物を含む可能性

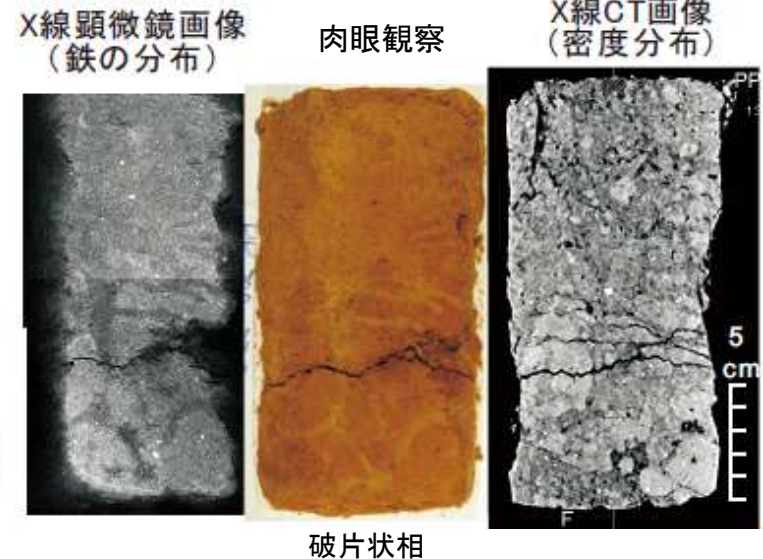
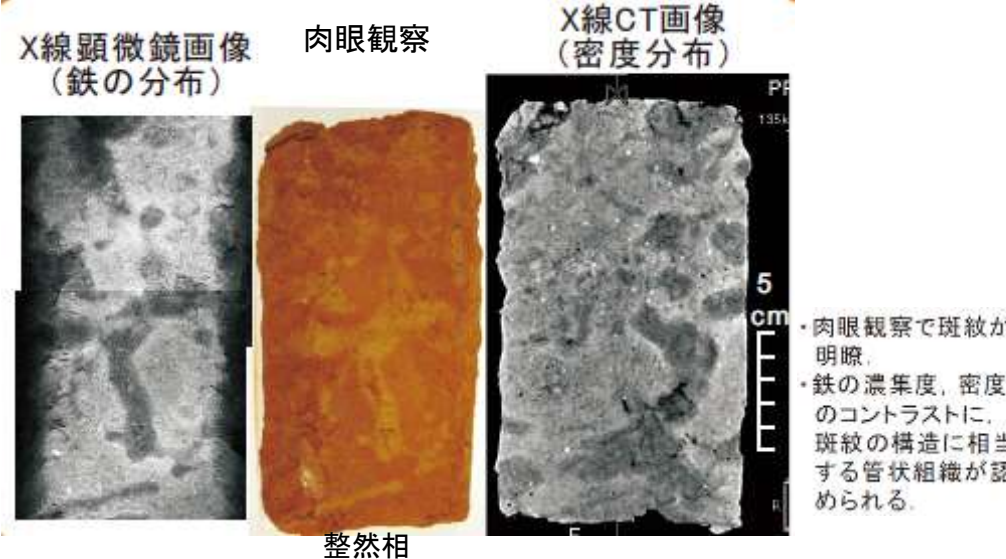


肉眼観察及びCT画像観察結果

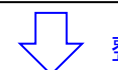
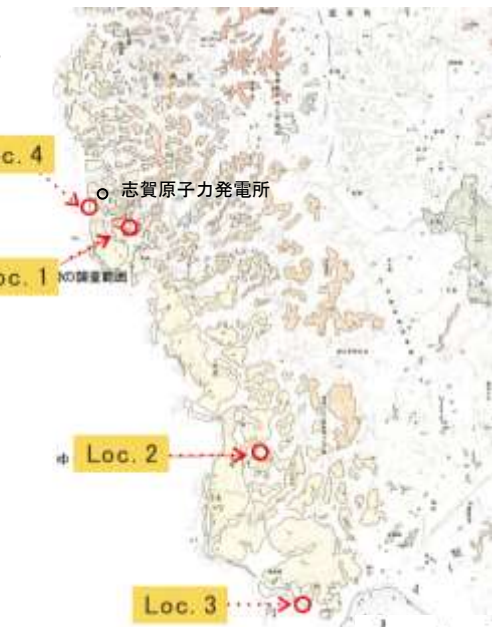
S-1 駐車場南側法面 【斑紋構造の形成期間や再堆積との関係等に関する知見(濱田・幡谷, 2015)】

・能登半島中部西岸の中位段丘及び高位段丘の土壤を対象に、斑紋構造を肉眼観察・X線CT・X線顕微鏡により詳細観察し、斑紋を赤色部・淡色部に分離し、XRD・XRF・遊離酸化鉄分析等を実施。

① 高位段丘被覆層の露頭(Loc.1)における整然相と破片状相(=整然相が崩れて再堆積したもの)における組織の特徴



➤ 整然相では破片状相に比べて、斑紋が明瞭であり、斑紋構造に相当するように、鉄の濃集度や密度のコントラストが明瞭。



整然相に関する観察結果

② 斑紋構造の成因

⇒ 赤色部は褐色部よりも密度及び鉄の含有率が高いことから、斑紋構造は鉄の濃集を伴う疑似グライ化によるものと判断。(疑似グライ化作用は生物作用が活発になる温暖期により進む。)

③ 赤色部と褐色部の比較

⇒ 赤色部は褐色部よりも赤鉄鉱の割合が多く、結晶化していることから、赤色部は疑似グライ化後の酸化・結晶化により赤鉄鉱が増加したことによるもの。
・一旦酸化・結晶化した赤鉄鉱は、非常に安定でほとんど移動しない。
・赤鉄鉱は高温条件の場合に形成。

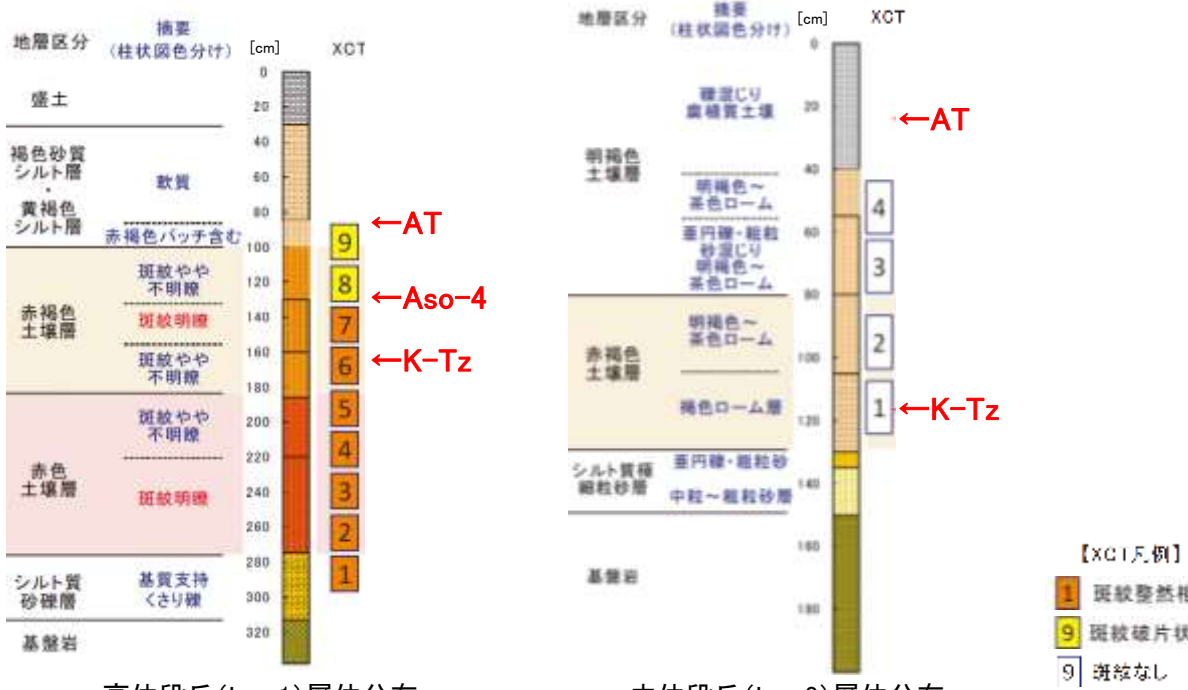
➤ 斑紋の赤色化は赤鉄鉱の含有量に相関し、赤鉄鉱形成が高温時であることから、赤鉄鉱の増加は、主に過去の温暖期に形成されたと考えられる。

④ 赤色土壤と赤褐色土壤の比較

⇒ 赤色土壤は赤褐色土壤よりも鉄の含有率及び赤鉄鉱の割合が高く、結晶化していることから、赤色土壤のほうが、より長期の温暖期の風化を受けている。

➤ 斑紋構造中の赤鉄鉱の増加は、数万年スケールの時間で生じる。

⑤ 赤色土壤の形成年代: 考察

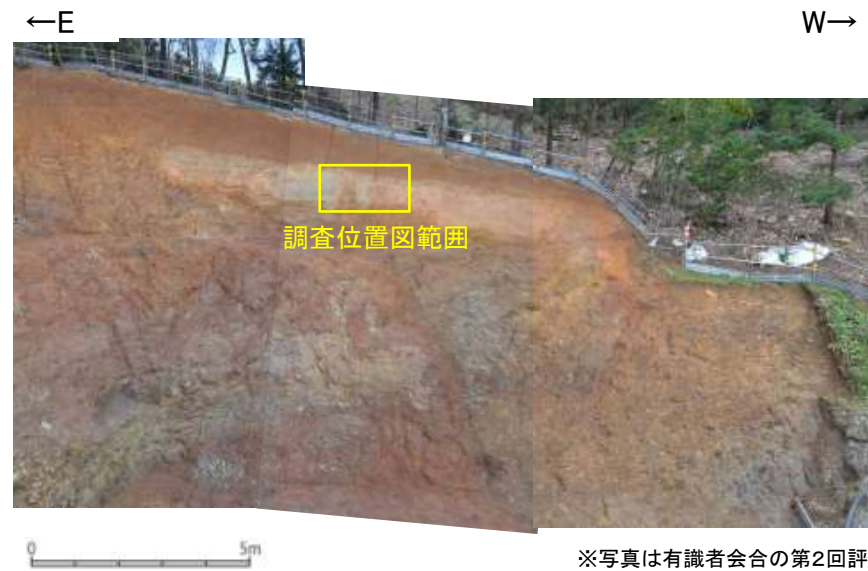


➤ 高位段丘には赤色土壤と赤褐色土壤の両方が認められるが、中位段丘には赤褐色土壤しか認められない。また、赤色土壤の斑紋構造は、K-Tz(9.5万年前)等を含む赤褐色土壤より下位に位置し、より長期の温暖化の風化を受けていることから、その形成年代は少なくとも12~13万年前以前と判断される。

(3)-2 岩盤と堆積物の境界に関する調査結果

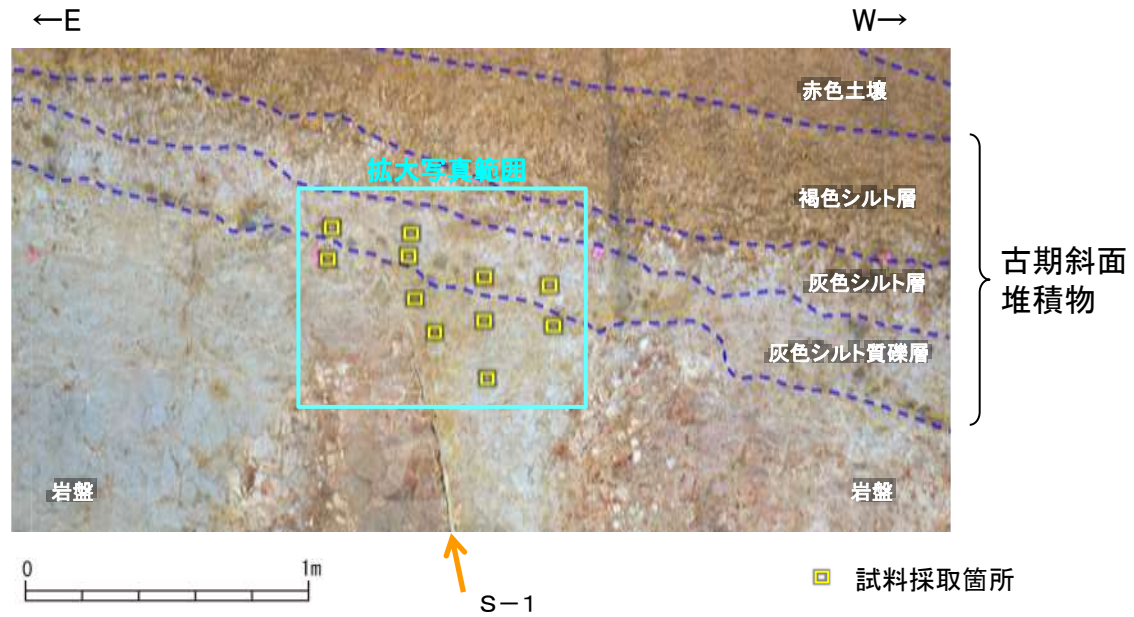
駐車場南側法面 試料採取位置

■駐車場南側法面において、岩盤と堆積物の境界について、試料採取前に肉眼観察を行い、その結果を基に薄片観察、XRD分析、XRF分析の試料採取箇所を決定した。以下に、試料採取箇所を示す。

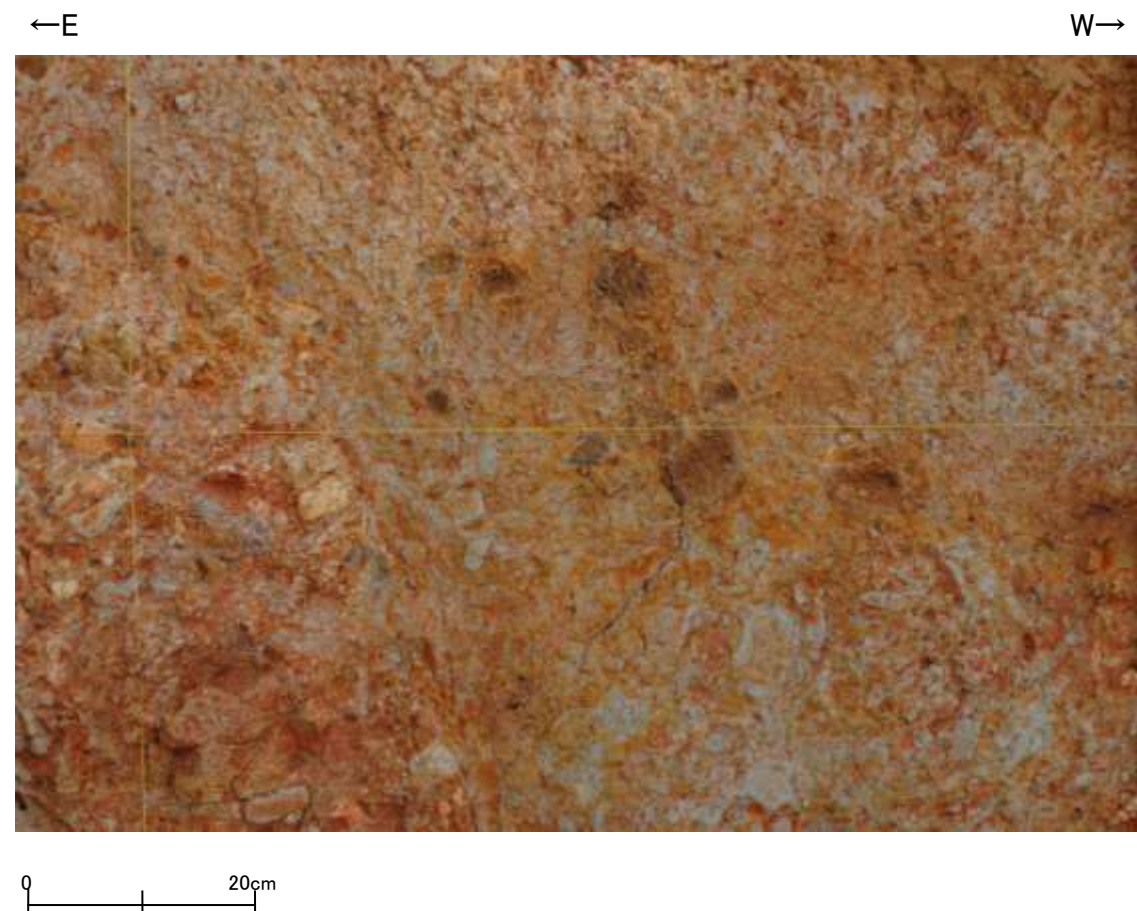


駐車場南側法面全景写真

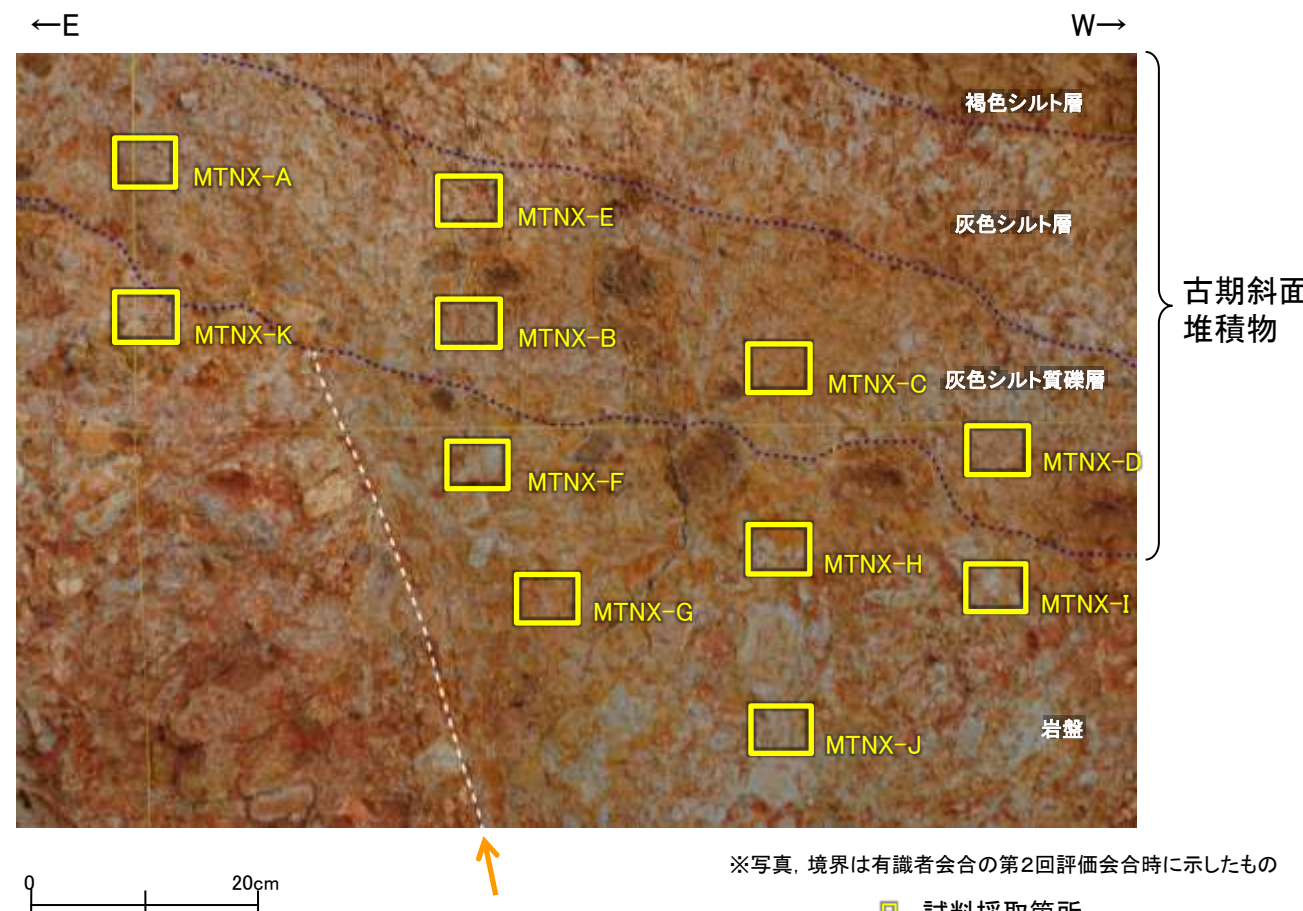
※写真は有識者会合の第2回評価会合時に示したもの



調査位置図(駐車場南側法面)



拡大写真



※写真、境界は有識者会合の第2回評価会合時に示したもの
□ 試料採取箇所

拡大写真(試料採取位置等を加筆)

駐車場南側法面 試料採取箇所の特徴等

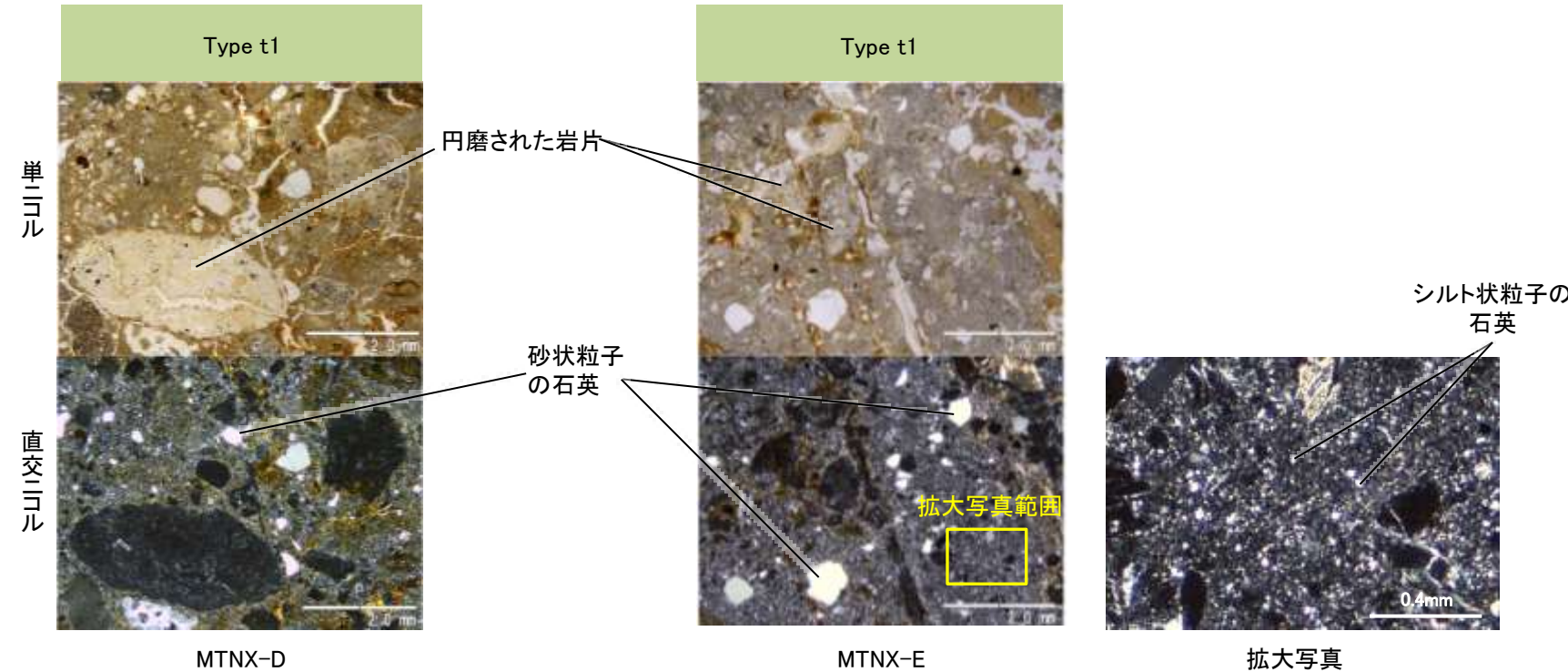
| 試料採取位置 | 肉眼観察による区分 | 採取物の特徴 |
|--------|-----------|--|
| MTNX-A | 灰色シルト質礫層 | 基質は白灰色を呈する砂混じりシルト～粘土からなり、灰色安山岩円～亜円礫を含む。 |
| MTNX-B | 灰色シルト質礫層 | 基質は白灰色を呈する砂混じりシルト～粘土からなり、灰色安山岩円～亜円礫を含む。 |
| MTNX-C | 灰色シルト質礫層 | 基質は白灰色を呈する砂混じりシルト～粘土からなり、灰色安山岩円～亜円礫を含む。 |
| MTNX-D | 灰色シルト質礫層 | 基質は白灰色を呈する砂混じりシルト～粘土からなり、灰色安山岩円～亜円礫を含む。 |
| MTNX-E | 灰色シルト質礫層 | 基質は白灰色を呈する砂混じりシルト～粘土からなり、灰色安山岩円～亜円礫を含む。 |
| MTNX-F | 岩盤 | 強風化した安山岩質火碎岩。白灰色を呈する凝灰岩基質中に白灰～灰色安山岩角～亜角礫を含む。 |
| MTNX-G | 岩盤 | 強風化した安山岩質火碎岩。白灰色を呈する凝灰岩基質中に白灰～灰色安山岩角～亜角礫を含む。 |
| MTNX-H | 岩盤 | 強風化した安山岩質火碎岩。白灰色を呈する凝灰岩基質中に白灰～灰色安山岩角～亜角礫を含む。 |
| MTNX-I | 岩盤 | 強風化した安山岩質火碎岩。白灰色を呈する凝灰岩基質中に白灰～灰色安山岩角～亜角礫を含む。 |
| MTNX-J | 岩盤 | 強風化した安山岩質火碎岩。白灰色を呈する凝灰岩基質中に白灰～灰色安山岩角～亜角礫を含む。 |
| MTNX-K | 岩盤 | 強風化した安山岩質火碎岩。白灰～灰色を呈する凝灰岩基質中に白灰～灰色安山岩角～亜角礫を含む。 |

駐車場南側法面 ①薄片観察結果

■駐車場南側法面において試料採取した計11枚の薄片観察結果を以下に示す。

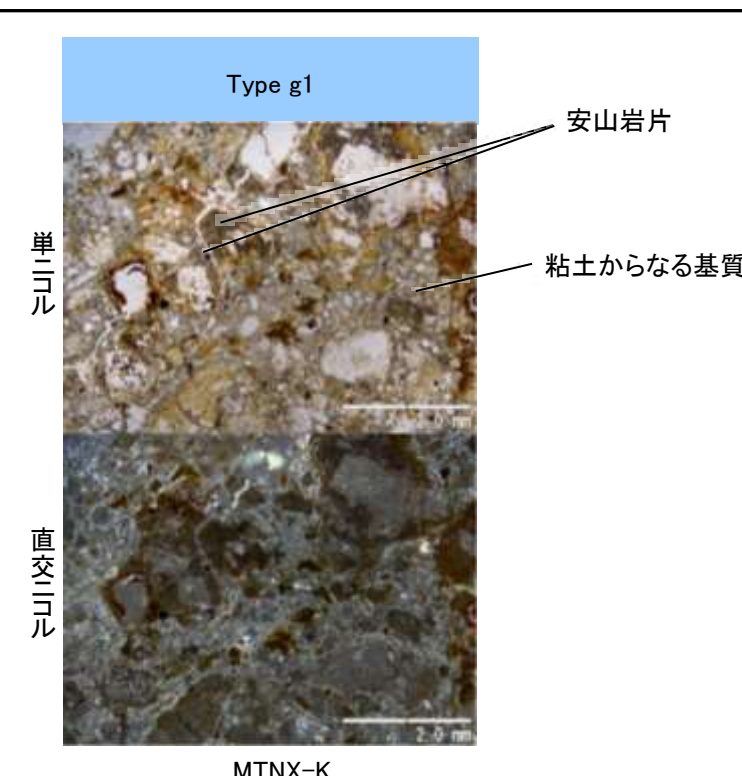
堆積物と判断したもの

(特徴)
・シルト～砂状粒子の石英を多く含む
・円磨された岩片(安山岩, 凝灰岩)を含むことが多い



岩盤と判断したもの

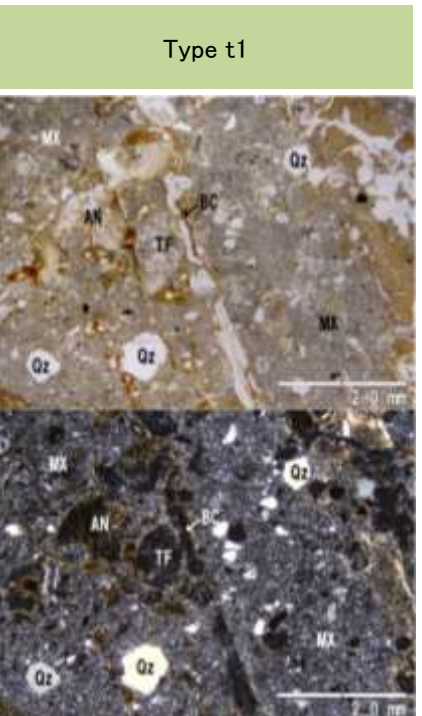
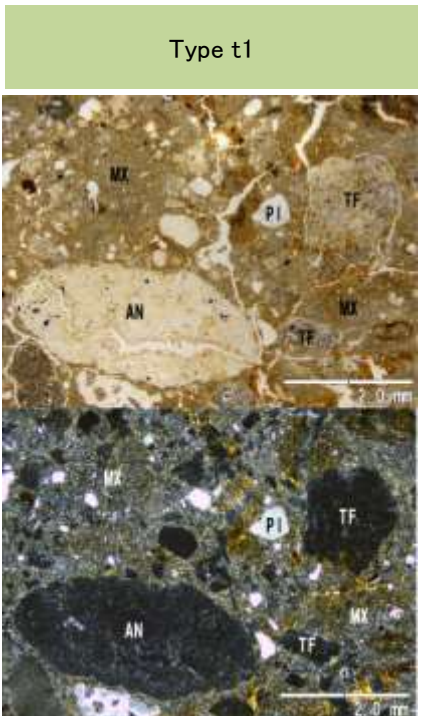
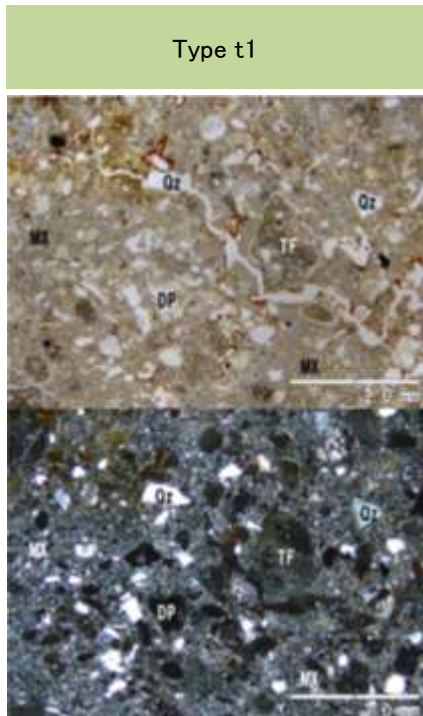
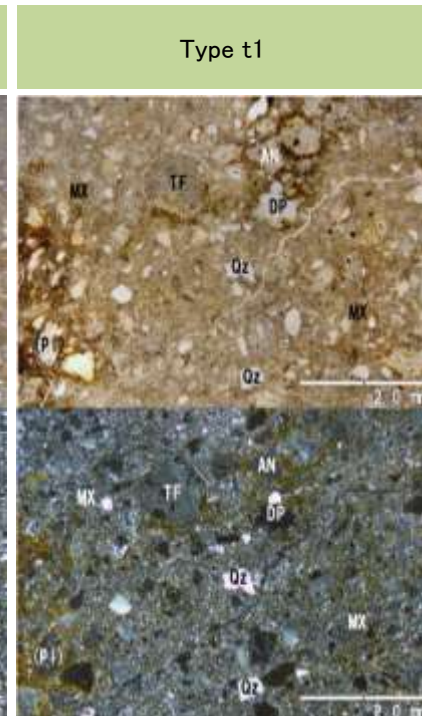
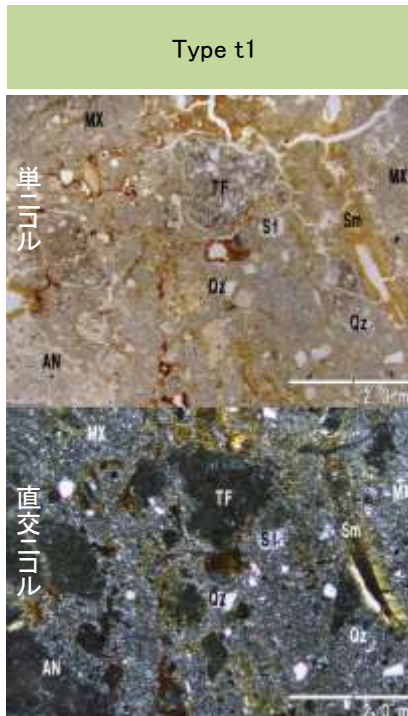
(特徴)
・砂状粒子の石英をほとんど含まない
・微細な粘土からなる基質中に安山岩片が散在する



・薄片観察の結果、岩盤と堆積物に区分される。

駐車場南側法面 ①薄片観察結果

凡例(鉱物名)



MTNX-A

MTNX-B

MTNX-C

MTNX-D

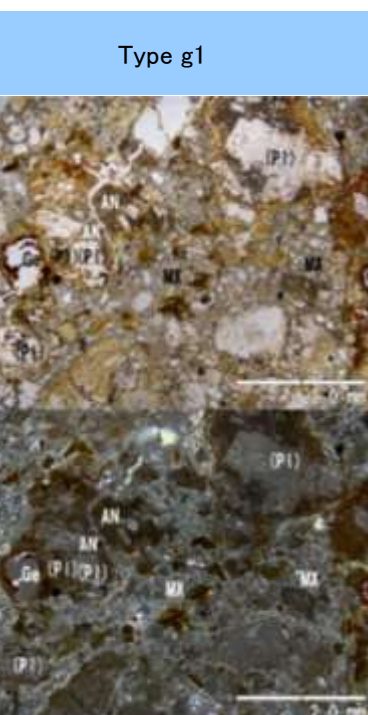
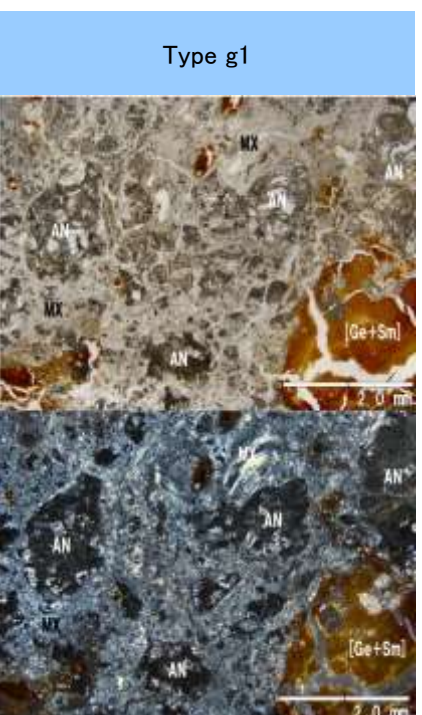
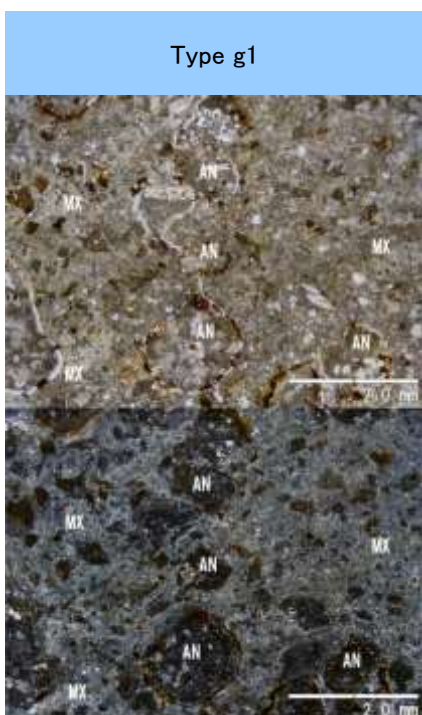
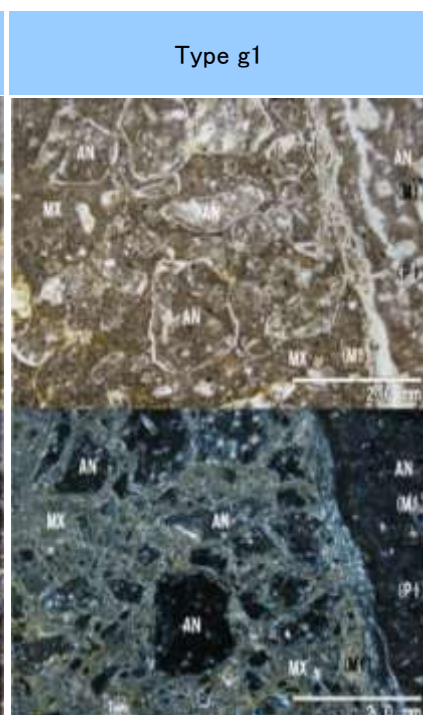
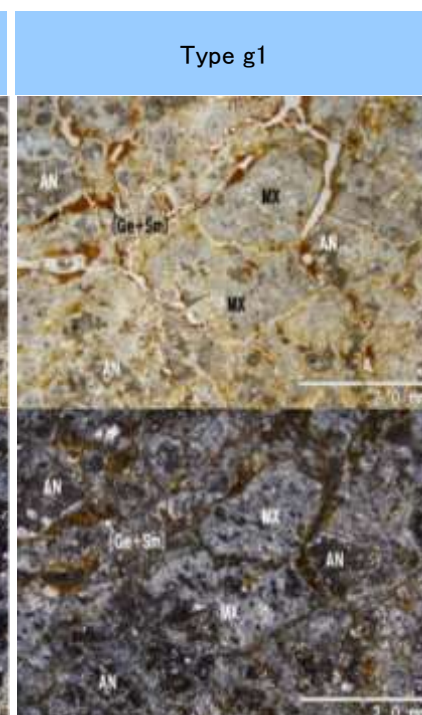
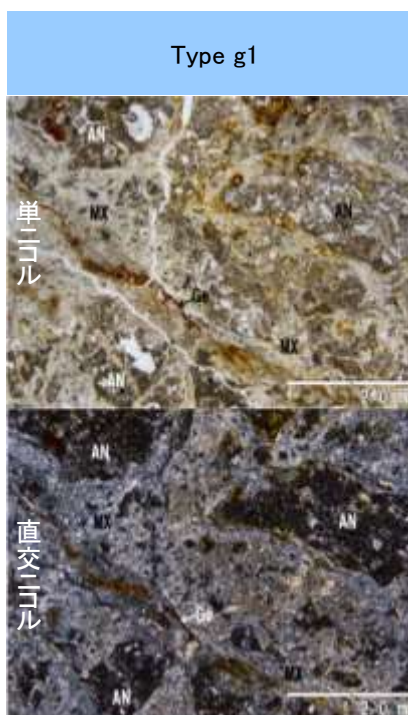
MTNX-E

[岩片・生物遺骸]
AN:安山岩 TF:凝灰岩
GN:花崗岩質岩 SI:珪化岩
MS:泥岩

[初成鉱物・鉱物片]
Qz:石英 Pl:斜長石
Kf:カリ長石 Bi:黒雲母
Hb:普通角閃石 Opx:斜方輝石
Cpx:単斜輝石
Mf:(詳細不明)苦鉄質鉱物
Op:不透明鉱物

[2次鉱物]
Si:(詳細不明)シリカ鉱物
Ver:バーミュライト
Sm:スメクタイト Cl:(詳細不明)
粘土鉱物
Ge:水酸化鉄 Zeo:沸石類
Py:黄鉄鉱 Amo:非晶質物質
(Ge以外)

[その他の記号]
():仮像 MX:基質および石基
FP:フラクチャー孔隙 DP:溶解孔隙



MTNX-F

MTNX-G

MTNX-H

MTNX-I

MTNX-J

MTNX-K

駐車場南側法面 ②XRD分析結果

■XRD分析による検出鉱物を薄片観察結果と比較した。

| 位置 | 試料名 | 薄片観察による岩相区分 | 石英最強ピーク | XRDによる検出鉱物 | | | | | | | | | | | | | | |
|---------|--------|-------------|---------|------------|----------|---------|------|-----|-----|------|------|-----------|------|-----|--------|----------|-------|--|
| | | | | 石英 | クリストバライト | トリディマイト | カリ長石 | 斜長石 | 角閃石 | 斜方輝石 | 単斜輝石 | 7A型ハロイサイト | 雲母鉱物 | 緑泥石 | スメクタイト | バーミキュライト | ギブサイト | |
| 駐車場南側法面 | MTNX-A | 堆積物 | 12867 | ◎ | △ | | ± | | | | | △ | ± | | | ± | | |
| | MTNX-B | | 10846 | ◎ | △ | | ± | | | | | △ | ± | | | ± | | |
| | MTNX-C | | 11454 | ◎ | △ | | ± | | | | | △ | ± | | | ± | | |
| | MTNX-D | | 13686 | ◎ | △ | | ± | | | | | △ | ± | | | ± | | |
| | MTNX-E | | 13079 | ◎ | △ | | ± | | | | | △ | ± | | | ± | | |
| | MTNX-F | 岩盤 | 2396 | △ | ◎ | | | | | | | △ | | ± | | | | |
| | MTNX-G | | 2021 | △ | ◎ | | | | | | | △ | | ± | | | | |
| | MTNX-H | | 2478 | △ | ◎ | | | | | | | △ | | | | | | |
| | MTNX-I | | 3442 | ○ | ◎ | | | | | | | △ | | | | | | |
| | MTNX-J | | 2322 | △ | ◎ | | | | | | | △ | | ± | | | | |
| | MTNX-K | | 1525 | △ | + | | | | | | | △ | | | | | | |

◎:多量>5000cps ○:中量2500~5000cps △:少量500~2500cps +:微量250~500cps ±:きわめて微量<250cps

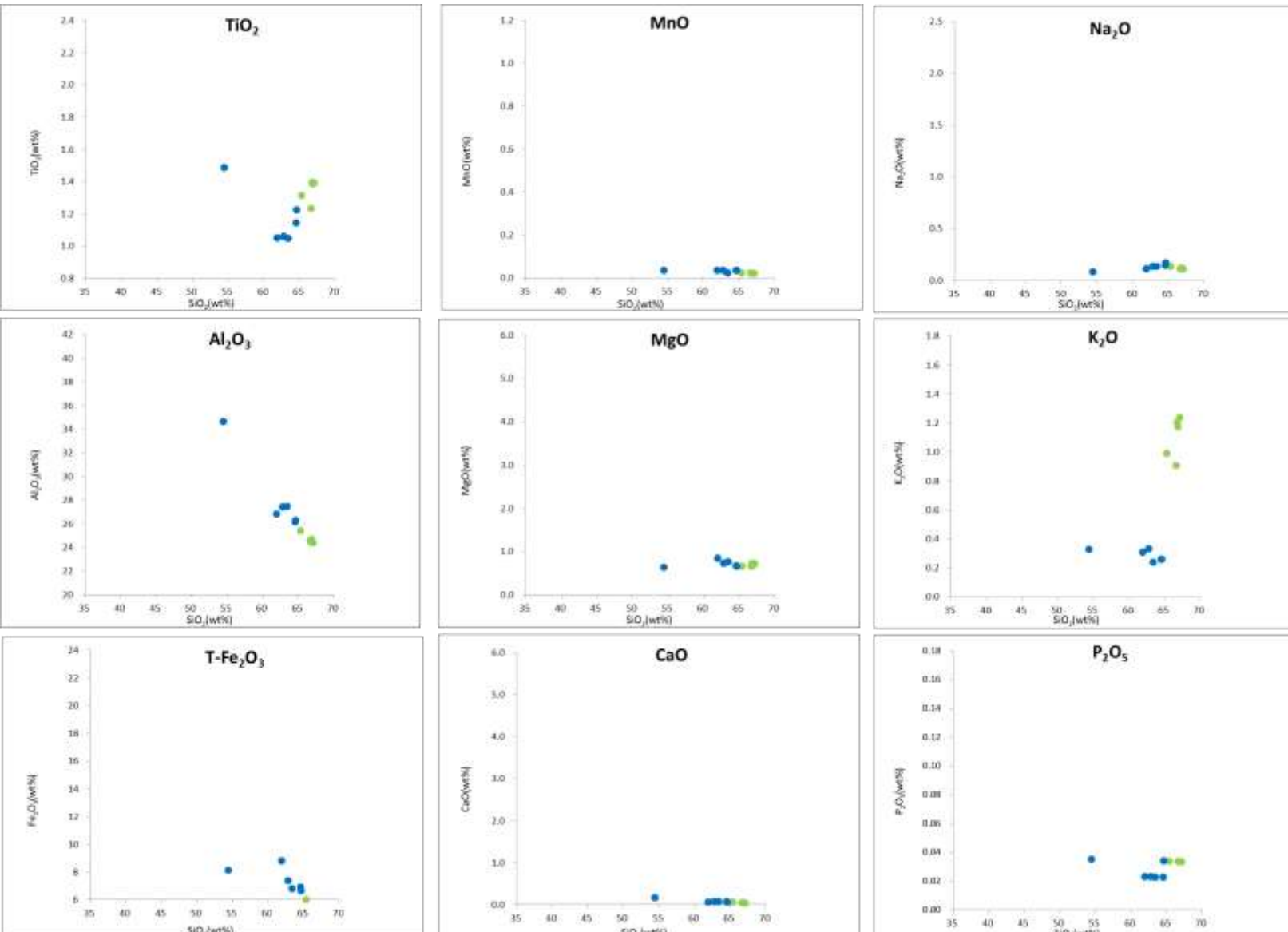
標準石英最強回折線強度(3回繰り返し測定, 平均53,376cps)

- ・薄片にてType g1と区分された岩盤は、石英最強ピークが1,525~3,442cpsと堆積物に比べて少なく、クリストバライトが多量に検出され、スメクタイトが検出されるものが多い。
- ・薄片にてType t1と区分された堆積物は、石英最強ピークが10,846~13,686cpsで、カリ長石、雲母鉱物、ギブサイトが検出される。

・石英のピーク値及び鉱物組成を比較した結果、薄片観察結果(岩盤と堆積物の区分)を支持する結果が得られた。

駐車場南側法面 ③XRF分析結果

■XRF分析による主要化学組成を薄片観察結果と比較した。



ハーカー図

● 堆積物 Type t1
● 岩盤 Type g1

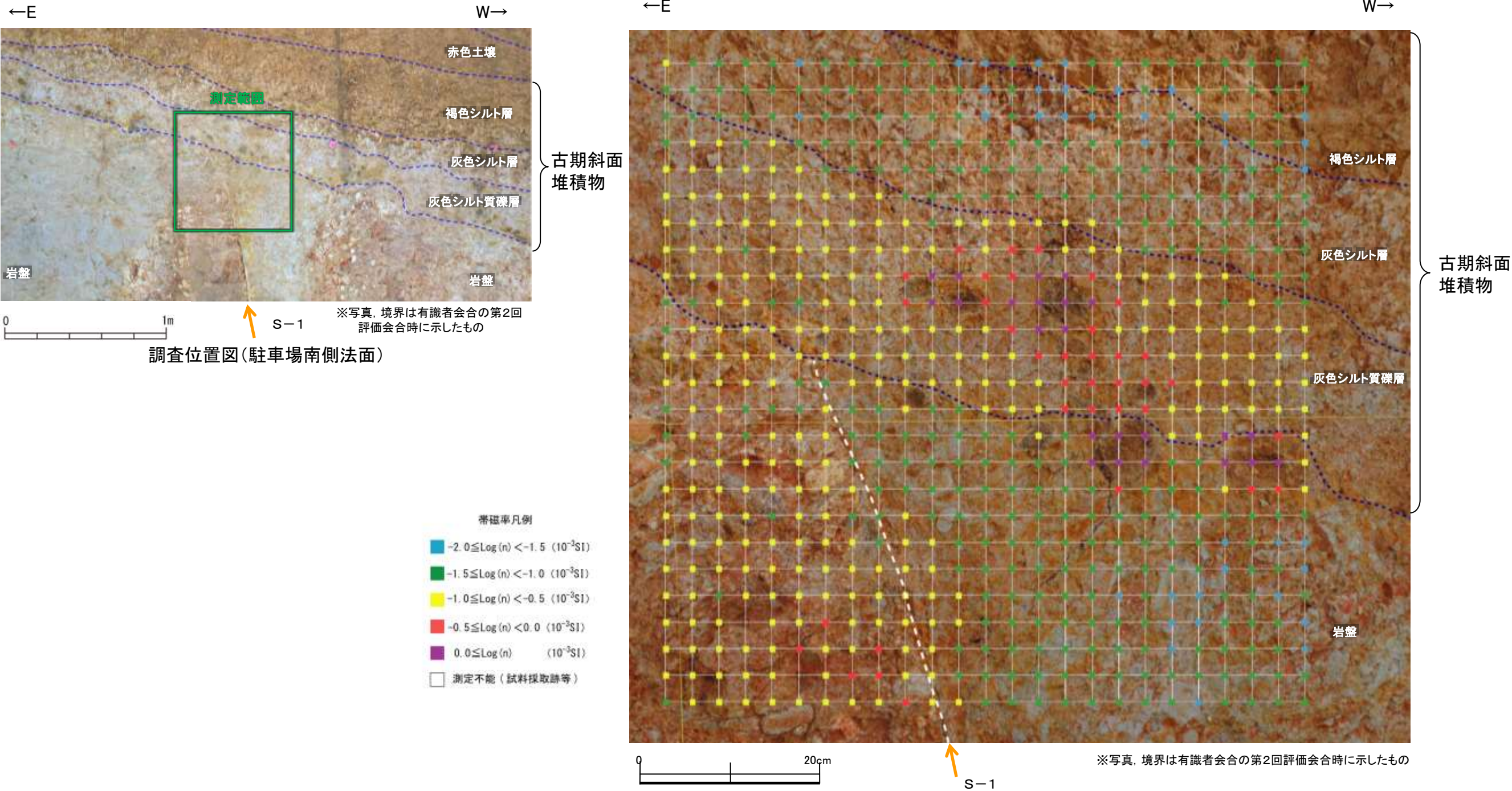
主要化学組成(lg.Loss規格化後)

| 試料名 | Type | SiO ₂ | TiO ₂ | Al ₂ O ₃ | T-Fe ₂ O ₃ | MnO | MgO | CaO | Na ₂ O | K ₂ O | P ₂ O ₅ | Total |
|--------|------|------------------|------------------|--------------------------------|----------------------------------|------|------|------|-------------------|------------------|-------------------------------|--------|
| MTNX-A | t1 | 66.81 | 1.39 | 24.43 | 5.19 | 0.02 | 0.74 | 0.06 | 0.12 | 1.20 | 0.03 | 100.00 |
| MTNX-B | | 66.65 | 1.23 | 24.53 | 5.80 | 0.02 | 0.66 | 0.04 | 0.11 | 0.91 | 0.03 | 100.00 |
| MTNX-C | | 65.36 | 1.32 | 25.41 | 6.01 | 0.02 | 0.66 | 0.06 | 0.13 | 0.99 | 0.03 | 100.00 |
| MTNX-D | | 66.90 | 1.38 | 24.68 | 4.97 | 0.02 | 0.68 | 0.06 | 0.11 | 1.17 | 0.03 | 100.00 |
| MTNX-E | | 67.12 | 1.39 | 24.38 | 4.96 | 0.02 | 0.72 | 0.03 | 0.11 | 1.24 | 0.03 | 100.00 |
| MTNX-F | g1 | 64.63 | 1.22 | 26.26 | 6.66 | 0.03 | 0.67 | 0.06 | 0.17 | 0.26 | 0.03 | 100.00 |
| MTNX-G | | 61.93 | 1.05 | 26.82 | 8.82 | 0.03 | 0.85 | 0.06 | 0.11 | 0.31 | 0.02 | 100.00 |
| MTNX-H | | 62.79 | 1.06 | 27.43 | 7.39 | 0.03 | 0.73 | 0.07 | 0.14 | 0.33 | 0.02 | 100.00 |
| MTNX-I | | 64.57 | 1.14 | 26.18 | 6.90 | 0.03 | 0.68 | 0.07 | 0.15 | 0.26 | 0.02 | 100.00 |
| MTNX-J | | 63.41 | 1.05 | 27.47 | 6.82 | 0.02 | 0.76 | 0.07 | 0.14 | 0.24 | 0.02 | 100.00 |
| MTNX-K | | 54.42 | 1.49 | 34.66 | 8.15 | 0.04 | 0.64 | 0.16 | 0.08 | 0.33 | 0.04 | 100.00 |

・主要化学組成を比較した結果、SiO₂等の量比から薄片観察結果(岩盤と堆積物の区分)を支持する結果が得られた。

駐車場南側法面 ④帯磁率測定結果

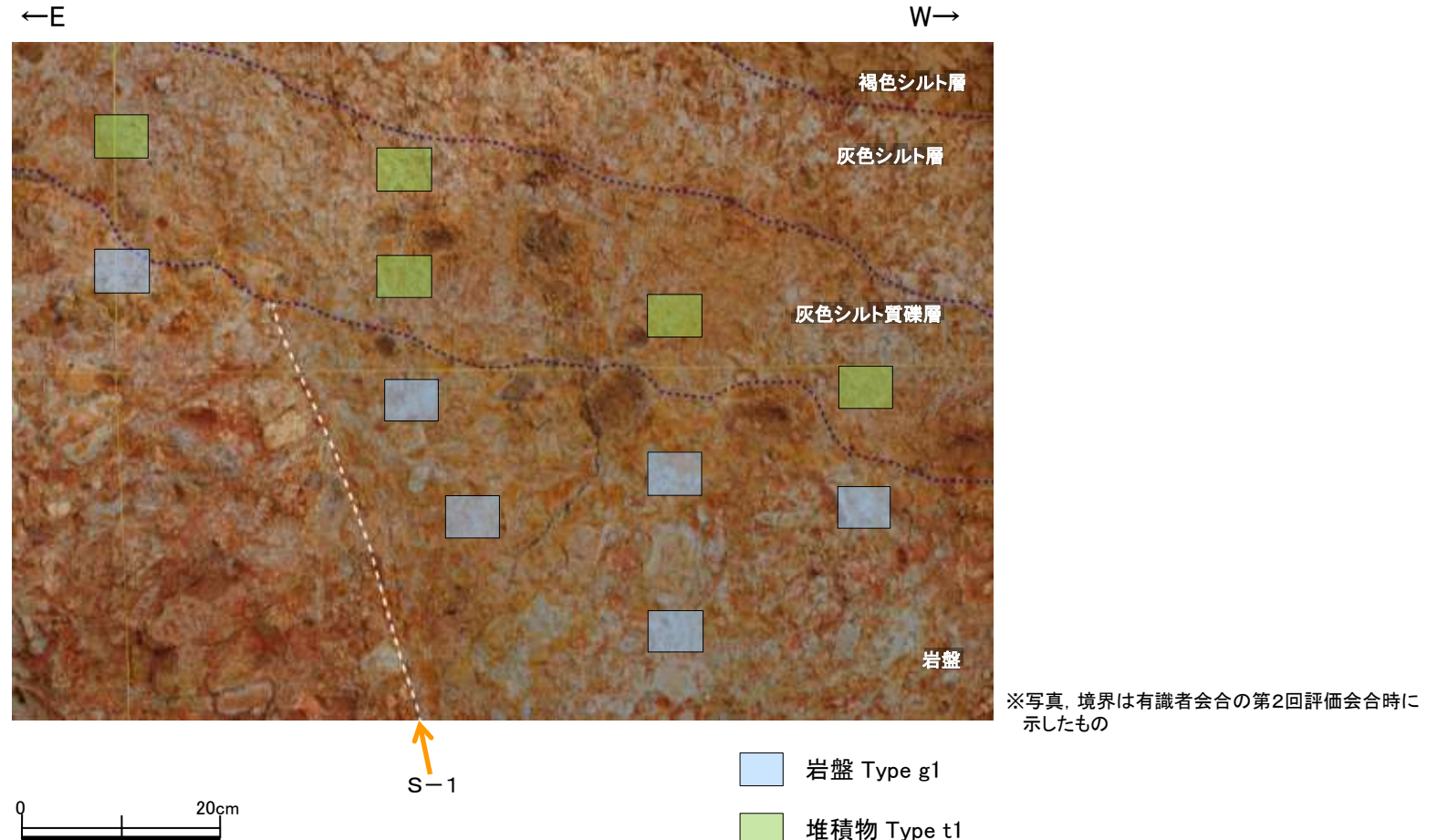
■駐車場南側法面において帯磁率測定を実施し、肉眼観察による岩盤と堆積物の境界と比較した。



- ・S-1の西側において、岩盤と灰色シルト質礫層で帯磁率のギャップが見られる。
- ・肉眼観察により礫と判断される箇所においては帯磁率が大きくなる。

・S-1の西側においては、肉眼観察結果と概ね整合的な結果が得られた。

駐車場南側法面 岩盤と堆積物の境界に関する調査結果のまとめ



駐車場南側法面において、肉眼観察の結果を基本とし、各種分析による客観的かつ定量的なデータを整理することにより
岩盤と堆積物の境界を判断すると上図の通りとなる。

(4) 旧A・Bトレンチ

S-1 旧A・Bトレンチ ー評価結果ー

【有識者会合時の当社評価】

- 建設時にS-1の活動性評価を行うため、中位段丘Ⅰ面を判読した位置において、トレント調査(旧A・Bトレント)を実施した。
- 旧A・Bトレントにおいて、幅フィルム状～1cmの粘土からなるS-1を確認した。
- S-1は中位段丘Ⅰ面を構成する堆積物に変位・変形を与えていないと判断される。
- また、砂礫層が断層変位を受けた場合の変位・変形の出現形態について検討を行った結果、岩盤上面の段差が砂礫層堆積後に断層運動により変位したものと仮定した場合、段差付近の砂礫層中にはせん断面や地層の擾乱が生じると判断される。

【有識者の評価】

- (1) S-1に沿ってMIS5eの波食面の岩盤上面に一様な段差が認められる。
 - (2) 段差沿い及び肩部分に軟質な凝灰質な細粒部が分布する。
 - (3) 上位の堆積物の層理面は全て南西側に傾斜し、一部の壁面を除き、段差直上で層理面の増傾斜も認められる。
- ⇒ MIS5eの海成堆積物堆積後にS-1が変位したと解釈するのが最も合理的と判断する。

【有識者会合以降の追加検討】

旧A・Bトレントは現存せず、トレント壁面での直接的なデータ拡充はできないため、有識者会合の上記(1)～(3)の個別評価に関して、下記の追加検討を行った。

(1) 岩盤上面の段差の検討

- 旧A・Bトレント周辺の地形と岩盤上面形状のデータから、旧A・Bトレントの岩盤上面の段差の成因を検討した結果、同段差は、河川の侵食作用によりS-1沿いに形成されたものと考えられる。

(2) 凝灰質な細粒部の硬さに関する検討

- 軟質と評価された凝灰質な細粒部について、針貫入試験を行い、硬軟を確認した結果、同細粒部は岩盤と同程度の硬度を有しており、段差部において侵食されずに残ったものと考えられる。

(3) 層理面の傾斜等に関する検討

- 旧A・Bトレントを模擬した堆積実験及び断層変位実験を行い、層理面の傾斜の成因について検討した結果、同傾斜は、S-1の変位により形成されたものではなく、段差を埋める堆積構造であると考えられる。

【現在の当社評価】

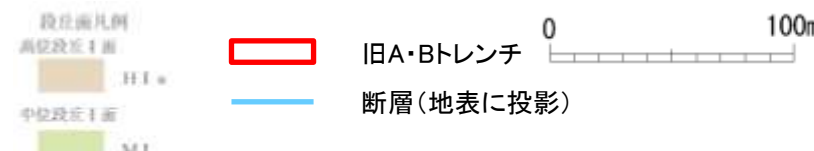
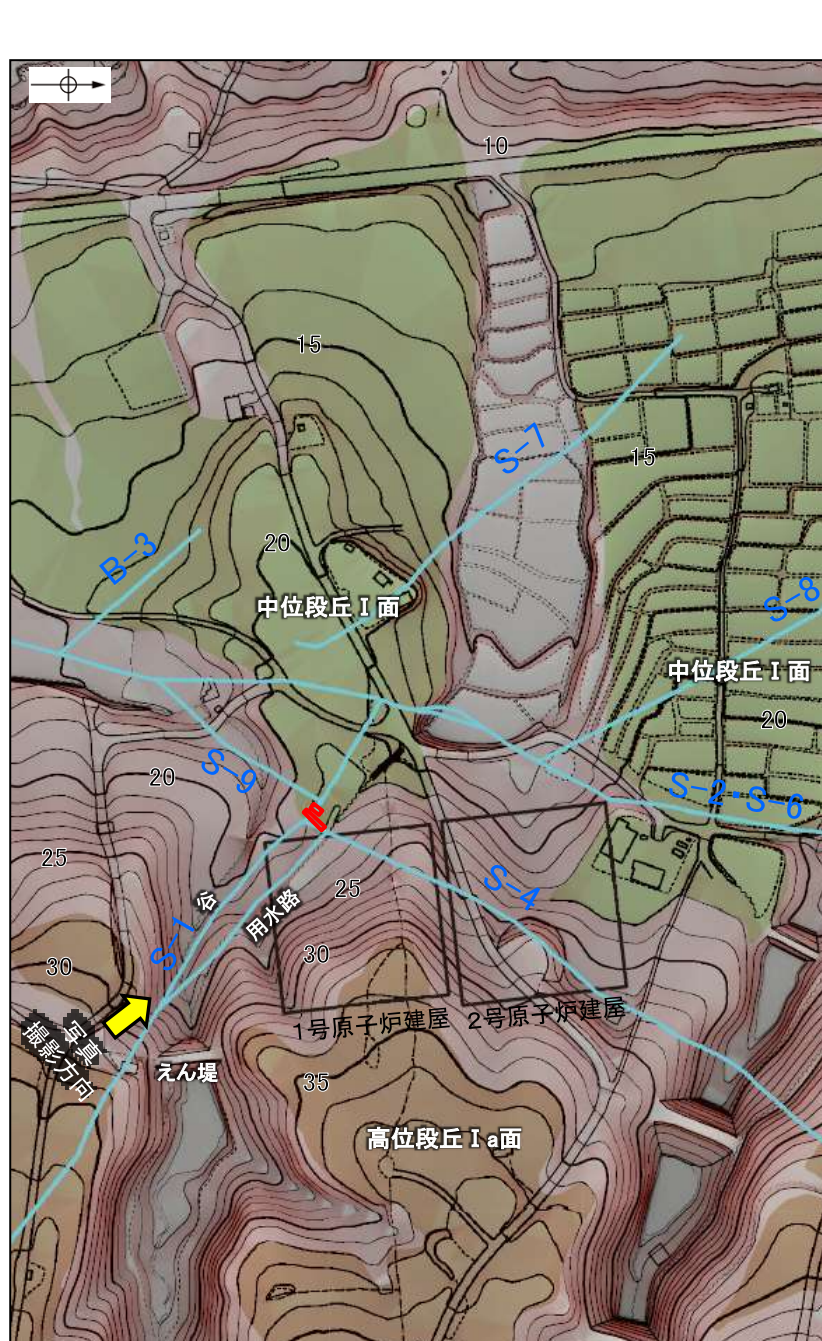
- 有識者会合時の当社評価を支持するデータを取得したものの、直接的な地質データではないため、断層による変位・変形の有無については明確に判断できない。
- また、露頭が現存しないため、礫の平均真円度により海成堆積物と確実に認定することができず、上載地層の年代が明確に判断できない。
- したがって、より正確・確実な評価を行うために、旧A・Bトレントの地下延長部等において、有識者会合の「今後の課題」にも対応する鉱物脈法により評価。



旧A・Bトレントの地下延長部における鉱物脈法による評価の結果、S-1を横断する粘土鉱物(I/S混合層)に、変位・変形は認められない(P.5.3-2-79)。

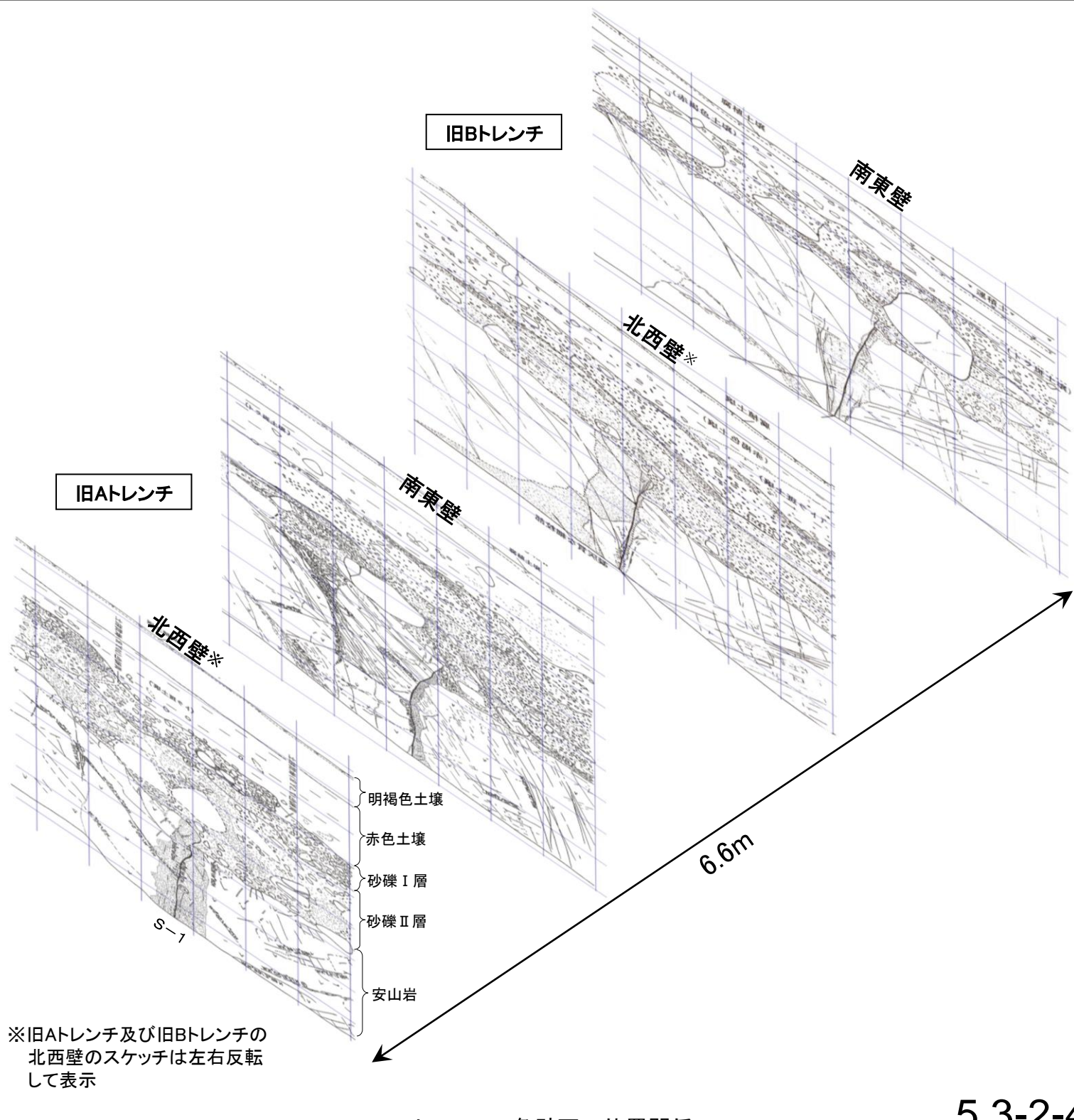
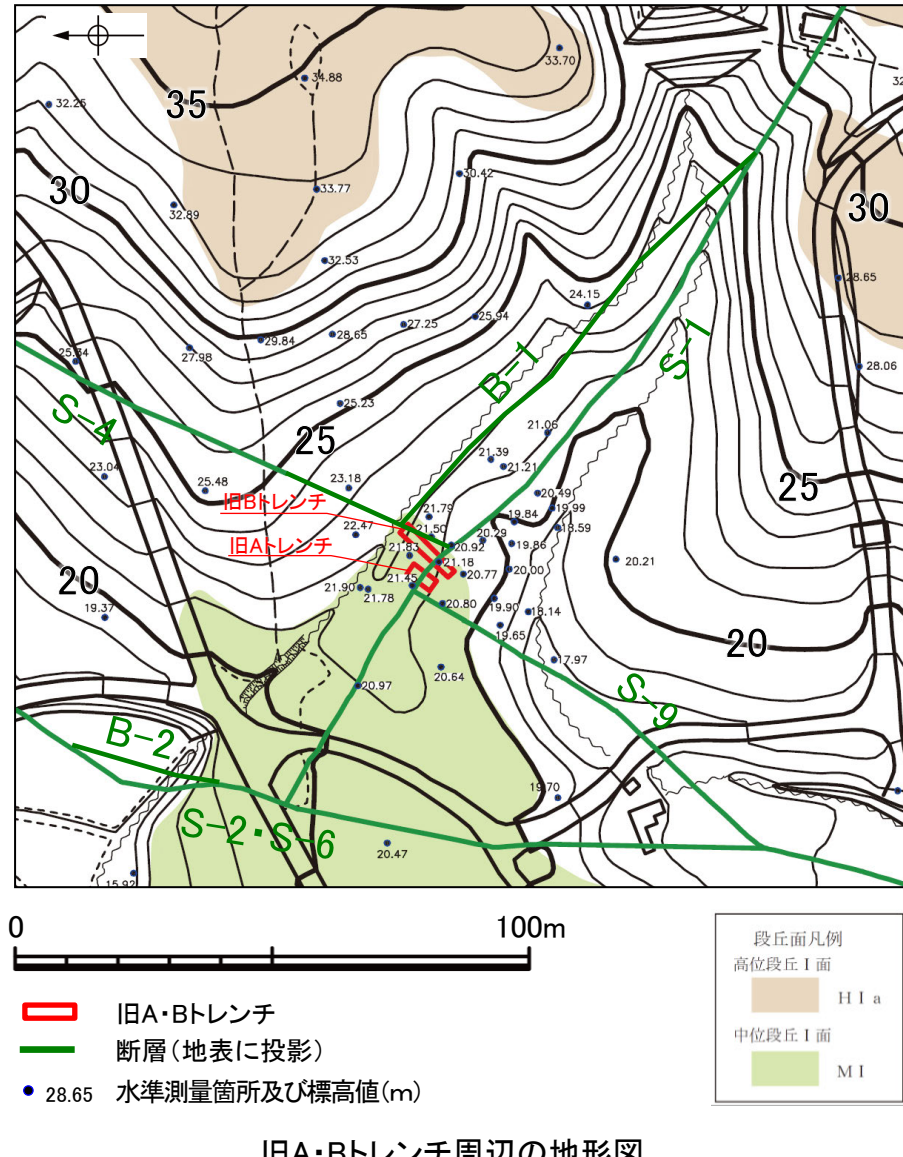
S-1 旧A・Bトレンチ ー周辺の地形ー

○旧A・Bトレンチはほぼ平坦な地形(中位段丘 I 面)に位置し、旧A・Bトレンチ位置には傾斜変換等の地形の異常は認められない。



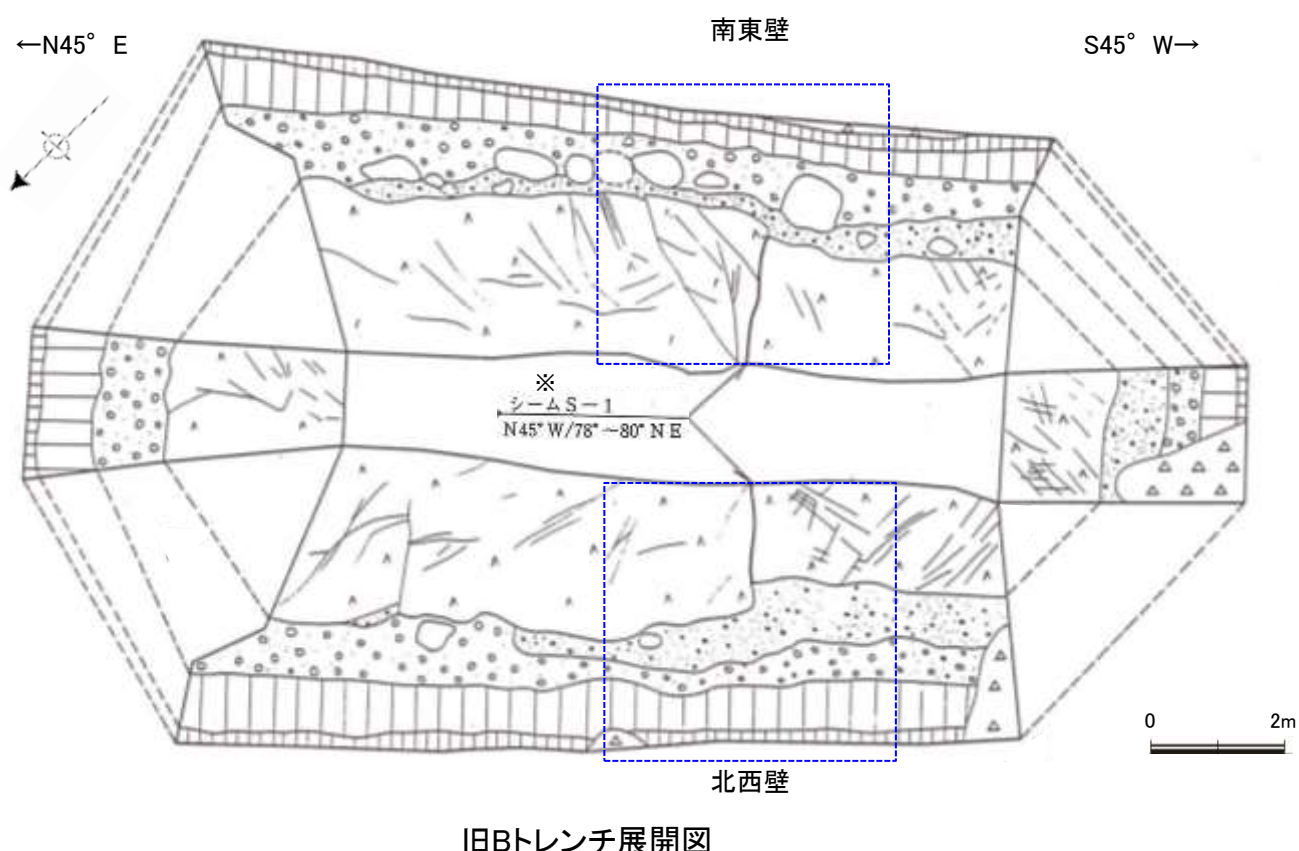
S-1 旧A・Bトレンチ 一壁面の位置関係一

- 旧A・Bトレンチ周辺等において水準測量を実施しており、旧Aトレンチの地盤標高はEL21～21.5m、旧Bトレンチの地盤標高はEL21～22mである。
- 旧A・Bトレンチの4壁面は近接した位置関係にあり(6.6m区間にS-1にほぼ直交してならぶ)，各壁面に見られる地質の性状等にも共通性がある。

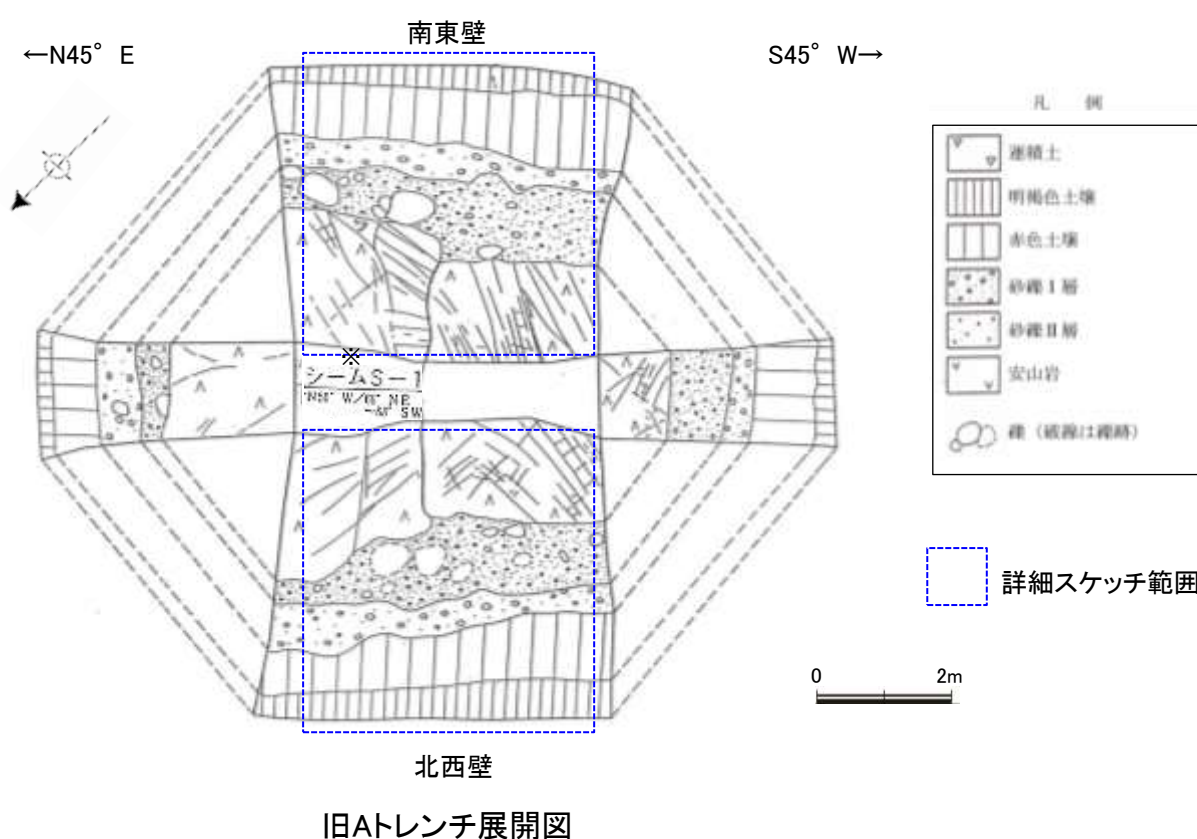


S-1 旧A・Bトレンチースケッチ(展開図)－

- 別所岳安山岩類の安山岩を中位段丘Ⅰ面を構成する堆積層が不整合に覆う。
- 安山岩中にS-1が認められる。
- 堆積層は下位から、砂礫Ⅱ層、砂礫Ⅰ層、赤色土壤、明褐色土壤の順で構成される。



旧Bトレンチ展開図



旧Aトレンチ展開図

※:スケッチ時の記載用語。
「粘土状破碎部」に対応する。

S-1 旧A・Bトレンチ - 旧Aトレンチ南東壁面の詳細観察① -

- 旧A・BトレンチにおけるS-1の岩盤部、段差部及び堆積物の状況について、スケッチの観察結果を整理するとともに、写真においても確認した。
- 下記スケッチ及び全景写真は、トレント壁面に記録された測量基準点を利用し、基準線枠(50cmメッシュ)を重ねて表示した。横軸は水平、縦軸は鉛直を示す(アルファベットは4壁面で同一の標高)。

明褐色土壌(輕埴土)
色調: 7.5YR5/6 ~ 10YR5/4.
土壌構造: きわめて弱い

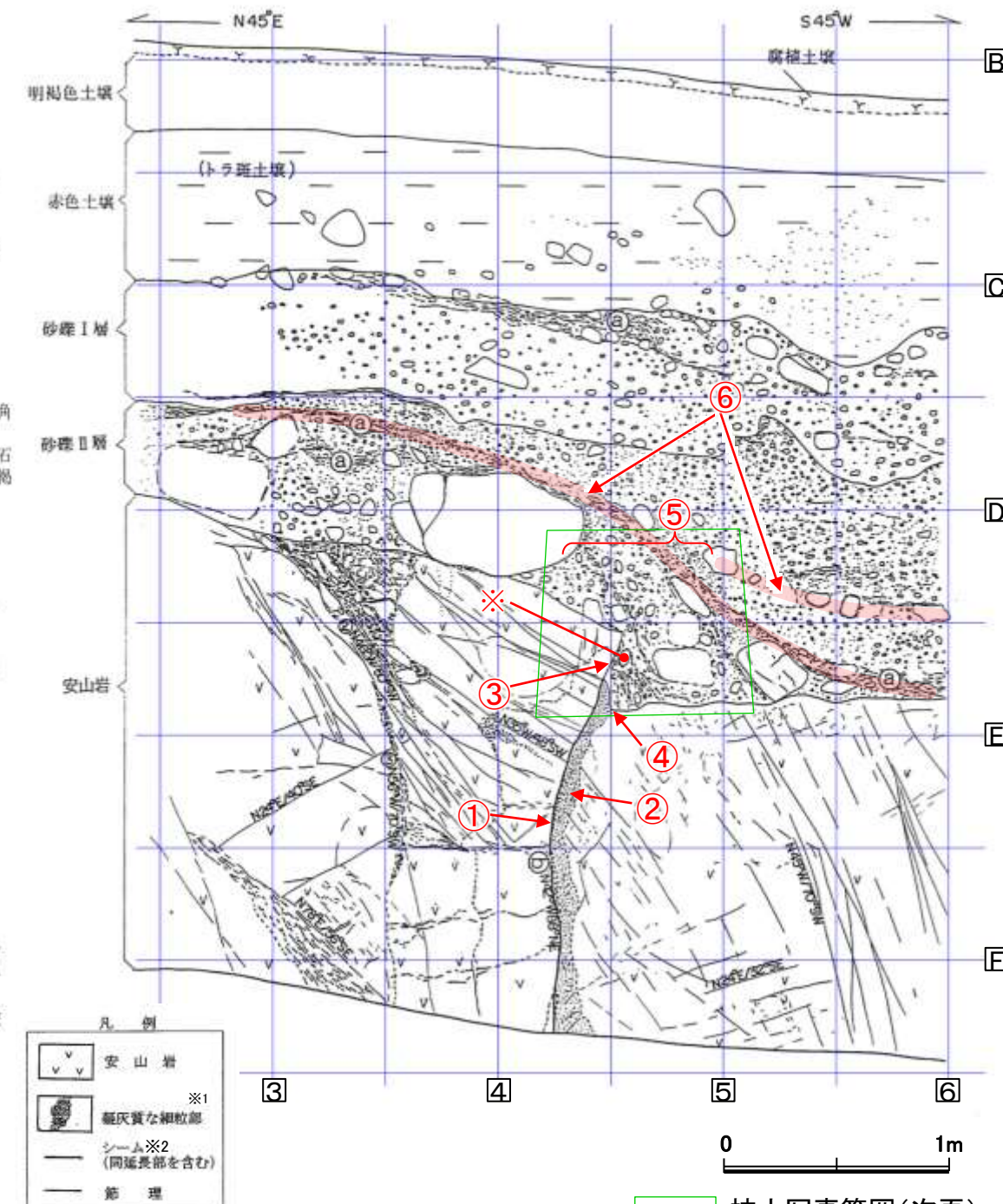
赤色土壌
トロ斑土壌(輕埴土)
色調: 2.5YR4/8 & 7.5YR7/3 からなるやや明瞭な横縞～まだら状の斑紋が認められる。
土壌構造: 中～強度、細粒重角塊状構造。
礫: 径1～20cm程度の安山岩半くさり～くさり礫が点在する。
砂礫I層との境界は比較的明瞭。

砂礫I層
色調: 黄褐～雜色。
礫: 最大径20cm、平均径3～5cm、安山岩角～亜円礫主体、一部くさり礫化。
基質: 固結した粗粒砂～細緻で安山岩片及び石英・長石を主体とする。粒子間は淡黄褐色膠結物質が充填する。
砂礫II層との境界はおおむね明瞭。

砂礫II層
全体にくさり礫を多数含有し砂礫I層と比較して軟質である。
色調: 明褐～雜色。
礫: 最大径85cm、平均径1～3cm、安山岩角～亜円礫主体。くさり礫多い。
基質: 安山岩起源の粗粒砂及び細緻を主体とする。しまり良好。

⑥ 厚さ2～10cm、白色軟質物質が水平～網目状に分布する。砂礫II層の上部～下部にかけて及び砂礫I層上部に分布する。

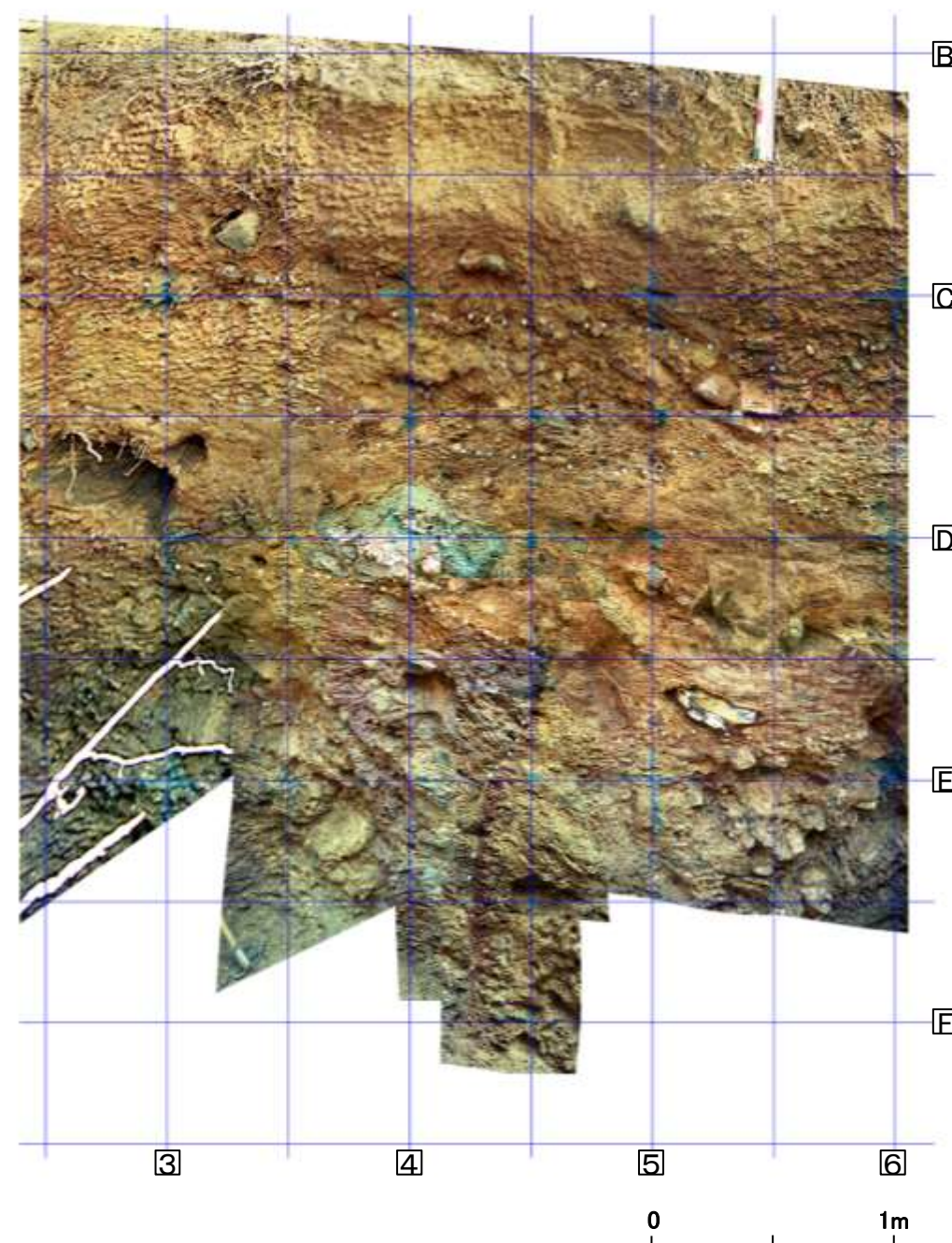
※2 S-1
幅フィルム状～1cmの明黄色～赤灰色粘土。
走向傾斜 N42°W/66°～88°NE。
比較的明瞭な面が緩く波曲しながら上方ほど低角となる。面の表面には鏡肌が認められ一部に継ぎ目性条線が刻まれている。
砂礫II層と岩盤付近では粘土は不明瞭となり鏡肌は断続的となる。
岩盤上限面の見掛け上の段差は20cm。



※1:スケッチ時の記載用語。
「細粒凝灰岩」あるいは「固結した破碎部」に対応する。

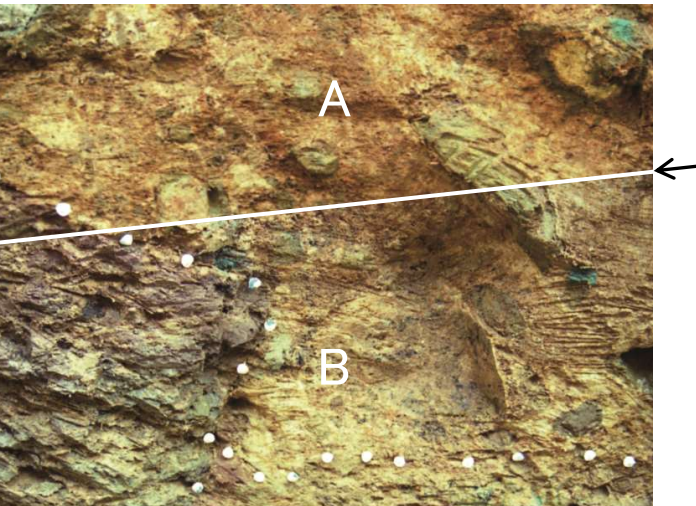
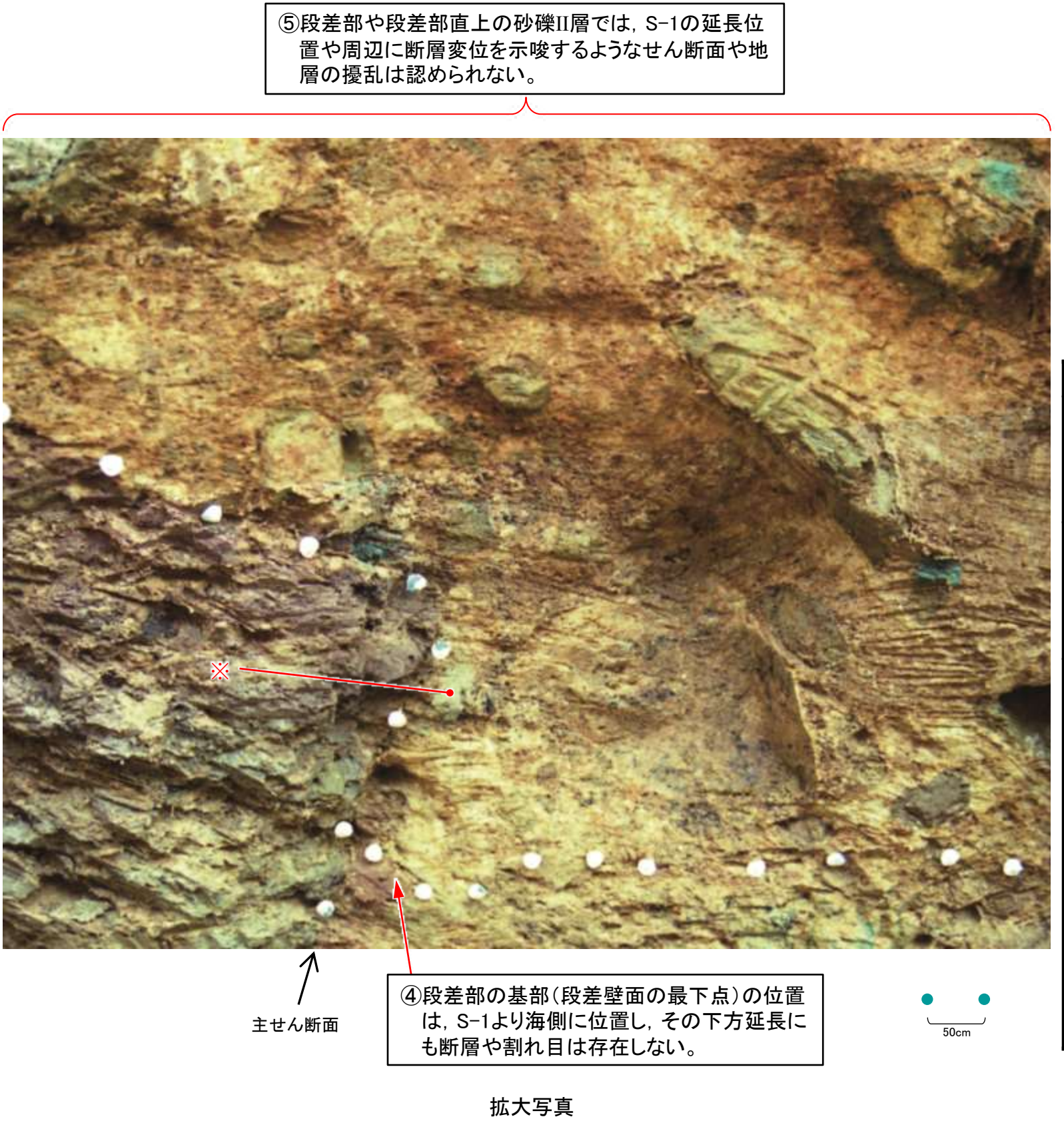
※2:スケッチ時の記載用語。
「粘土状破碎部」に対応する。

S-1周辺部については上記の詳細スケッチ(原縮尺1/20)を作成しており、壁面全体については展開図(原縮尺1/50)を作成している。(他3断面も同様)



壁面写真から確認できる測量基準点(青色のスプレー)を利用して、基準線枠(50cmメッシュ)に合わせて、壁面写真を加工した。(他3断面も同様)

S-1 旧A・Bトレンチ -旧Aトレンチ南東壁面の詳細観察②-



左拡大写真は上記の2枚の写真を接合したもの

| | 観察結果 |
|-----|--|
| 岩盤部 | <p>①幅フィルム状～1cmの明黄色～赤灰色粘土が分布する。</p> <p>②主せん断面に沿って下盤側に凝灰質な細粒部が分布する。同細粒部は、軟弱層ではなく、細粒岩相である（他3壁面の記載についても同様）。</p> |
| 段差部 | <p>③段差部において、S-1上方延長位置の岩盤と砂礫II層の境界に沿って粘土（断層ガウジ）は分布しない*1。</p> <p>④段差部の基部（段差壁面の最下点）の位置は、S-1より海側に位置し、その下方延長にも断層や割れ目は存在しない。</p> |
| 堆積物 | <p>⑤段差部や段差部直上の砂礫II層では、S-1の延長位置や周辺に断層変位を示唆するようなせん断面や地層の擾乱は認められない。</p> <p>⑥砂礫II層では、段差を埋積する際に形成された礫や砂の配列からなる堆積構造が認められ、S-1の延長位置で、この堆積構造に変位や擾乱は認められない。また、この礫の配列より下側の地層が海側に向かってせん滅していることから、引きずられた撓曲変形とは説明できず、段差部を堆積物が埋めた自然な堆積構造を呈しているものと判断される。</p> <p>*段差部に近接して位置する径約5cmの礫（長軸方向が高角度で傾斜）については、同礫周辺の堆積物に擾乱（引きずりの構造）や再配列を示唆する傾向（段差に沿って複数の礫が配列する）は認められない。なお、このような礫は、防潮堤基礎部で侵食により形成された凹部を埋める堆積物中においても確認される。</p> |

* 1 壁面スケッチの記載によれば、「礫層II層と岩盤の境界付近で粘土は不明瞭となり …」とある。これは、岩盤中のS-1は薄い粘土の挟み層であるが、段差部の岩盤と堆積物の境界には、詳細な観察によっても粘土が確認できなかったことを記載したものである。〈この状況については、再度、当時実際に壁面観察を行いスケッチ作成にかかわった地質技術者に確認した。〉（他3壁面の記載についても同様）

S-1 旧A・Bトレンチ - 旧Aトレンチ北西壁面の詳細観察① -

明褐色土壤(軽植土)
色調 7.5YR5/6, 無構造

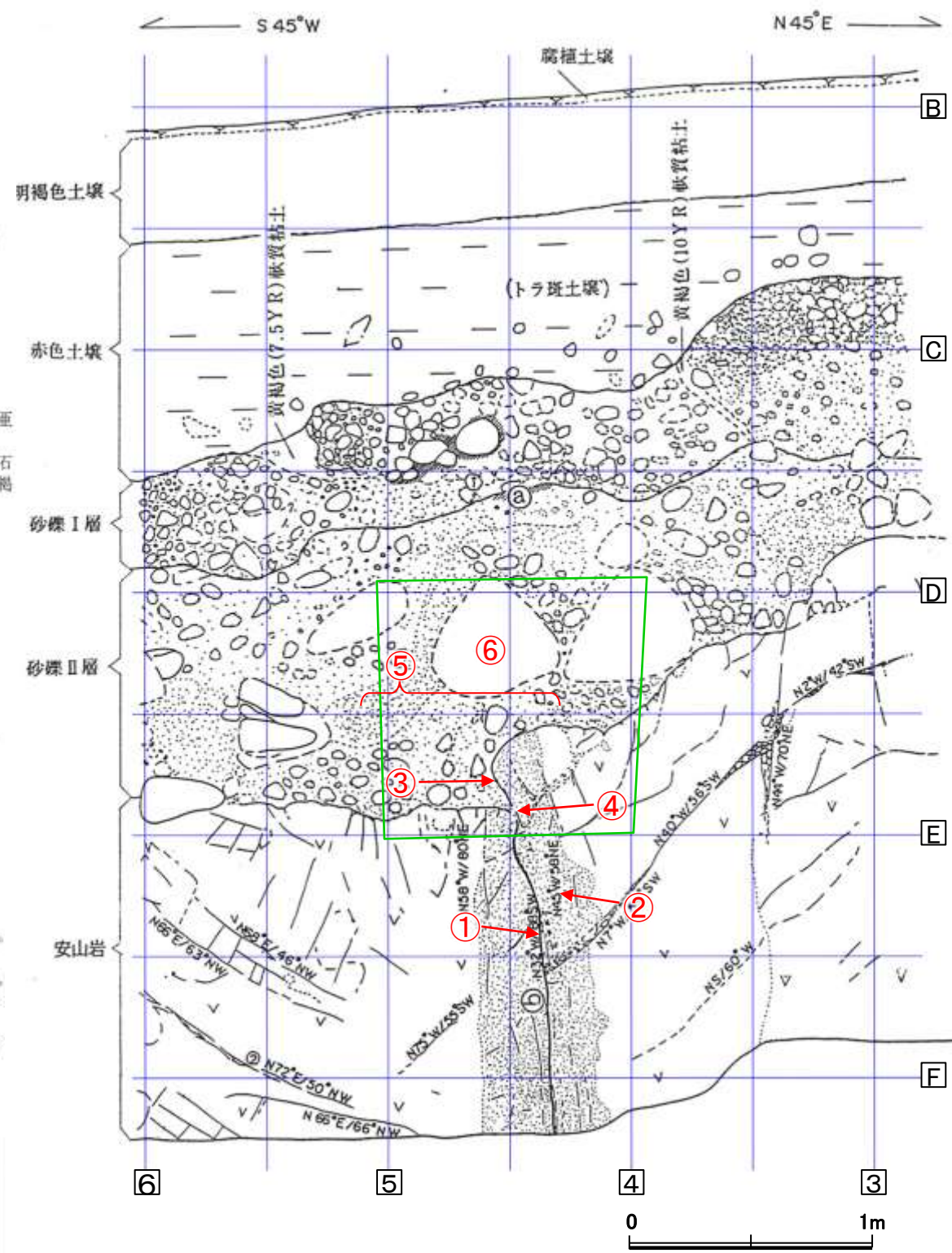
赤色土壤
トラ斑土壤(軽植土)
色調: 2.5YR4/8 と 7.5YR7/3 からなる明瞭な横縞～まだら状の斑紋が認められる。
土壤構造: 中～強度、細～中粒亜角塊状構造。
礫: 径 1～8cm 程度の安山岩くさり礫が点在する。
砂礫 I 層との境界は比較的明瞭。

砂礫 I 層
色調: 黄褐色～雜色。
礫: 最大径 20cm, 平均径 2～5cm, 安山岩亜角～亜円礫主体、一部くさり礫化。
基質: 固結した粗粒砂～細礫で安山岩片及び石英・長石を主体とする。粒子間は淡黄褐色膠結物質が充填する。
砂礫 II 層との境界はおおむね明瞭。

砂礫 II 層
全体にくさり礫を多数含有し砂礫 I 層と比較して軟質である。
色調: 明褐～雜色。
礫: 最大径 80cm, 平均径 1～4cm, 安山岩亜角～亜円礫主体。くさり礫多い。
基質: 安山岩起源の粗粒砂及び細礫よりなる。

⑥ 厚さ 2～8cm。白色軟質物質が砂礫 I 層・II 層中に局部的に分布する。

※2 シーム S-1
幅フィルム状～1cm の褐色～暗黃灰色粘土。
走向傾斜 N32°W/88°SW。
比較的明瞭な面が連続ないしは一部断続する。
面の表面には鏡肌が認められ一部に縱ずれ性条線が刻されている。
砂礫 II 層と岩盤の境界付近では粘土は不明瞭となり鏡肌は断続的となる。
岩盤上限面の見掛け上の段差は 20cm。



拡大写真範囲(次頁)

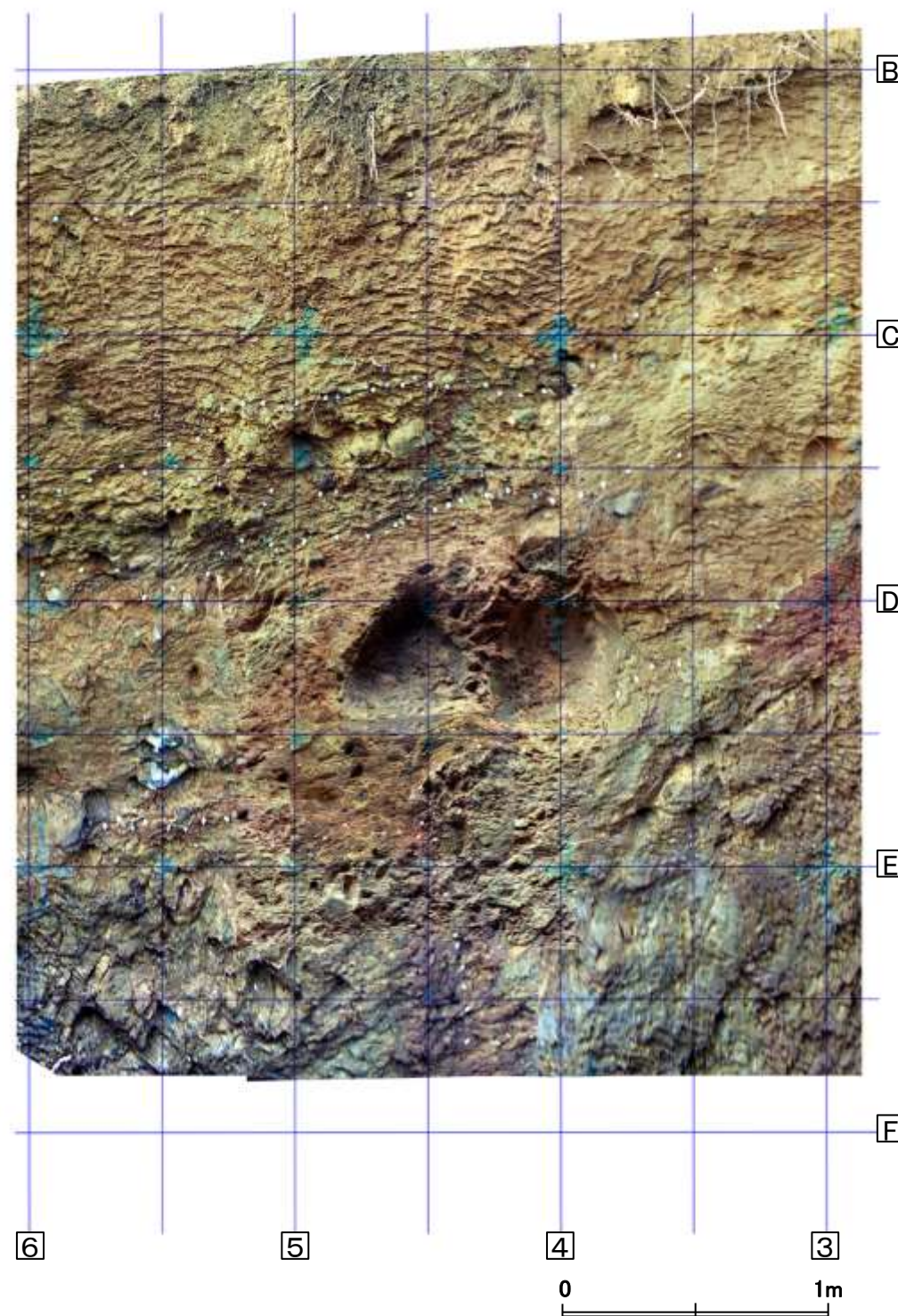
スケッチ

※1: スケッチ時の記載用語。

「細粒凝灰岩」あるいは「固結した破碎部」に対応する。

※2: スケッチ時の記載用語。

「粘土状破碎部」に対応する。

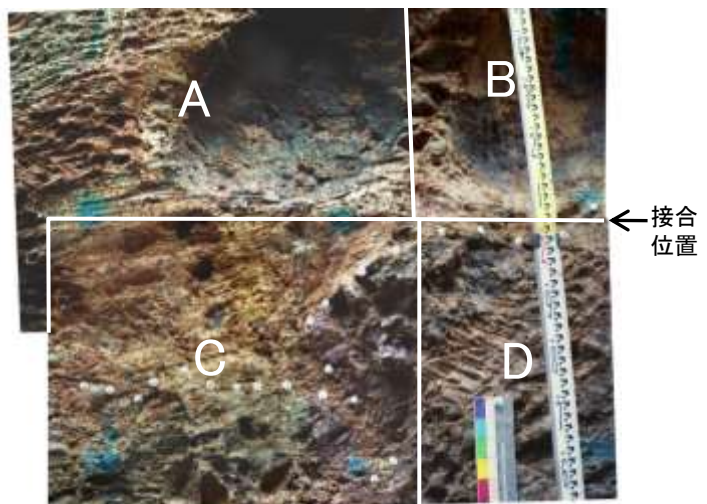
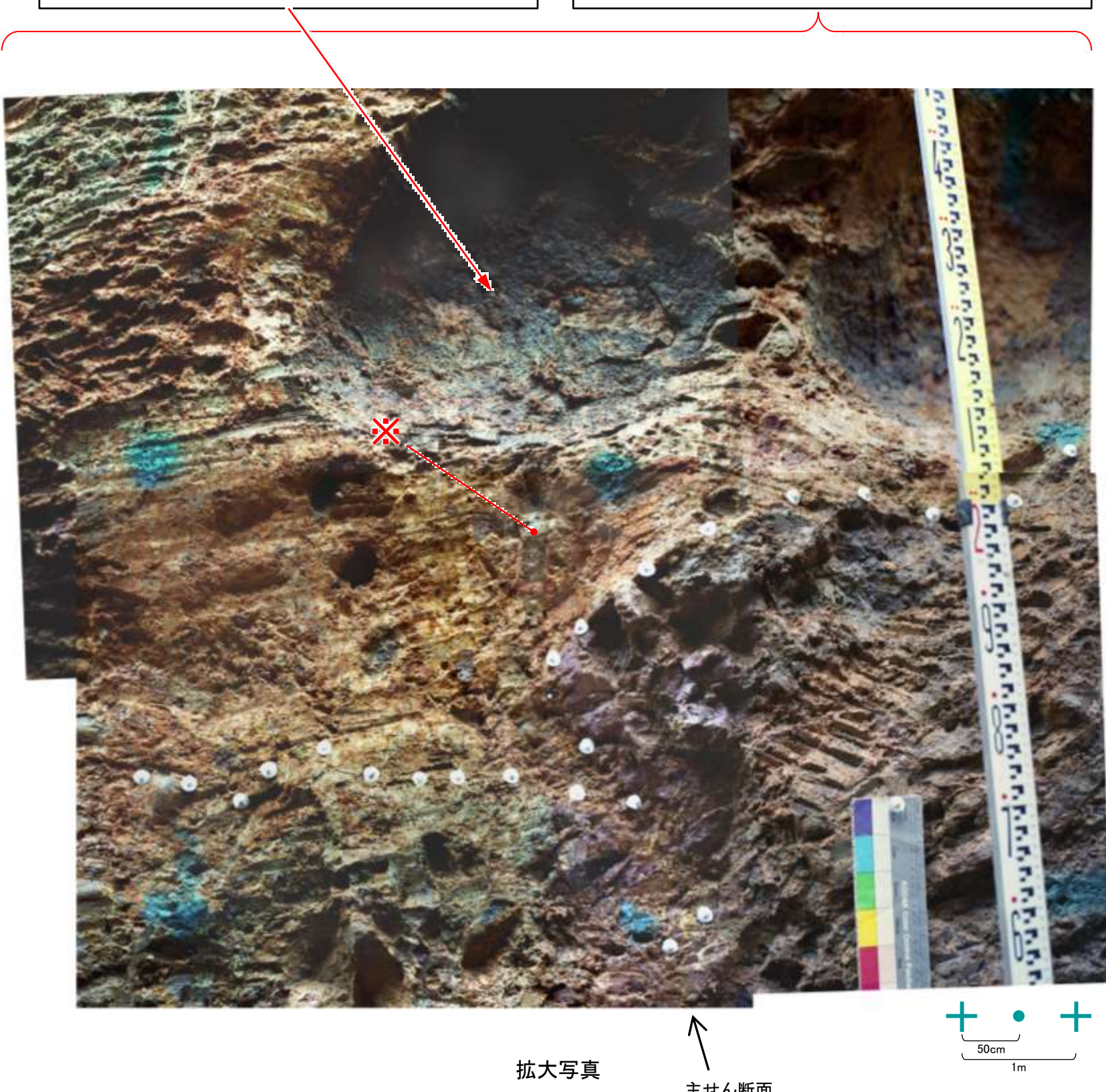


全景写真

S-1 旧A・Bトレンチ - 旧Aトレンチ北西壁面の詳細観察② -

⑥砂礫II層では段差部の凸部直上に巨礫が分布し、これに段差部が断層変位とした場合に想定される凹地側への倒れ込みや回転は認められない。

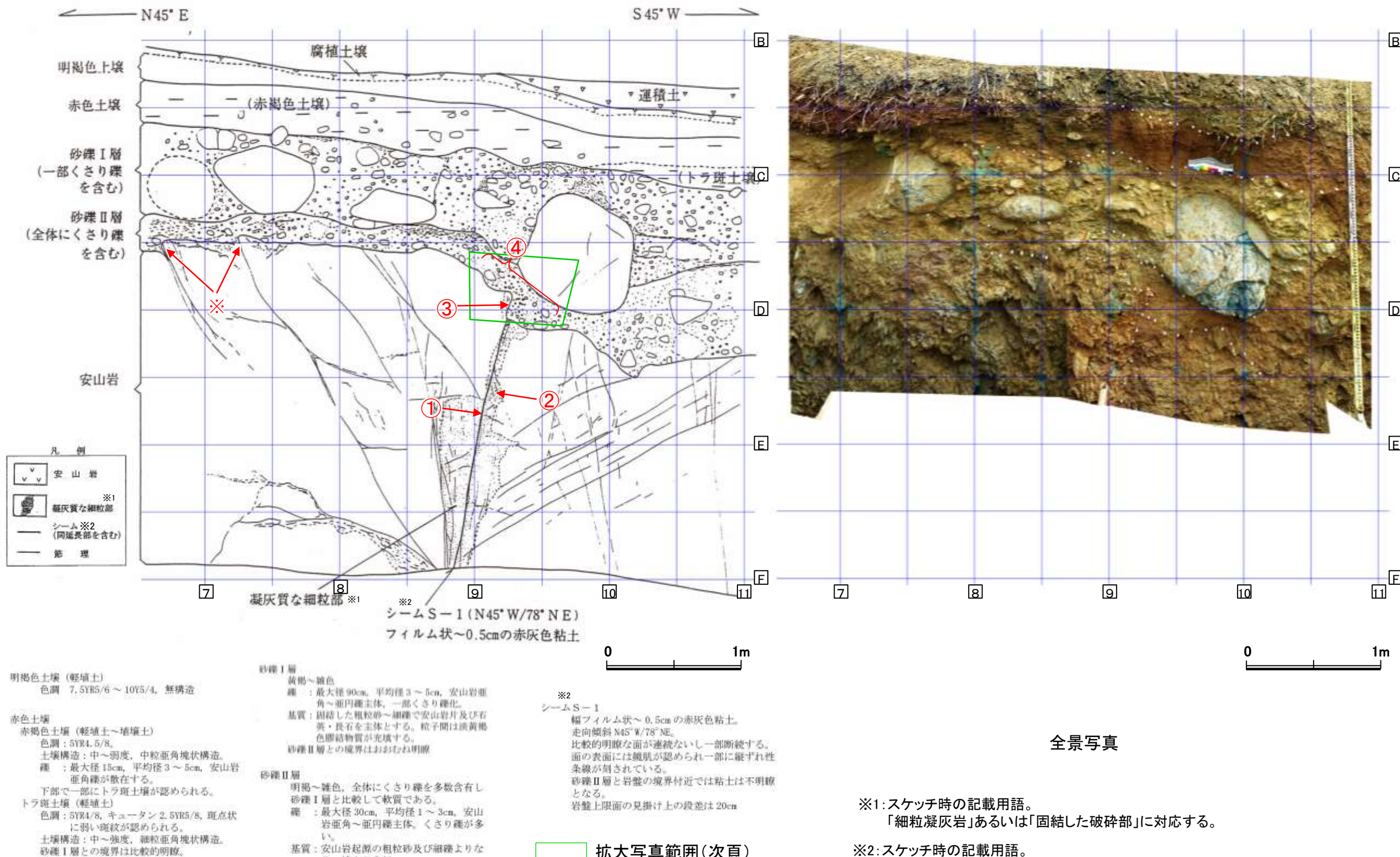
⑤段差部や段差部直上の砂礫II層では、S-1の延長位置や周辺に断層変位を示唆するようなせん断面や地層の擾乱は認められない。



左拡大写真是上記の4枚の写真を接合したもの

| | 観察結果 |
|-----|--|
| 岩盤部 | ①幅フィルム状～1cmの褐灰色～暗黄灰色粘土が分布する。 ②主せん断面に沿って凝灰質な細粒部が分布する。 |
| 段差部 | ③段差部において、S-1上方延長位置の岩盤(凝灰質な細粒部)と砂礫II層の境界に沿って粘土(断層ガウジ)は分布しない。また、同境界はS-1延長位置より海側に張り出し、湾曲した形状を示す。 ④段差部直下の岩盤中ではS-1は不明瞭となる。 |
| 堆積物 | ⑤段差部や段差部直上の砂礫II層では、S-1の延長位置や周辺に断層変位を示唆するようなせん断面や地層の擾乱は認められない。 ⑥砂礫II層では段差部の凸部直上に巨礫が分布し、これに段差部が断層変位とした場合に想定される凹地側への倒れ込みや回転は認められない。 ※拡大写真において、段差部と上記巨礫間に、矩形を呈する様に映る礫については、調査鎌での削り痕(礫芯部を確認)によるものである。 |

S-1 旧A・Bトレンチ -旧Bトレンチ南東壁面の詳細観察①-



全景写真

※1:スケッチ時の記載用語。
「細粒凝灰岩」あるいは「固結した破碎部」に対応する。

※2:スケッチ時の記載用語。
「粘土状破碎部」に対応する。

拡大写真範囲(次頁)

スケッチ

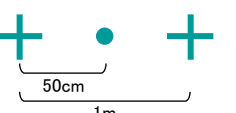
S-1 旧A・Bトレンチ －旧Bトレンチ南東壁面の詳細観察②－

④段差部や段差部直上の砂礫II層では、S-1の延長位置や周辺に断層変位を示唆するようなせん断面や地層の擾乱は認められない。



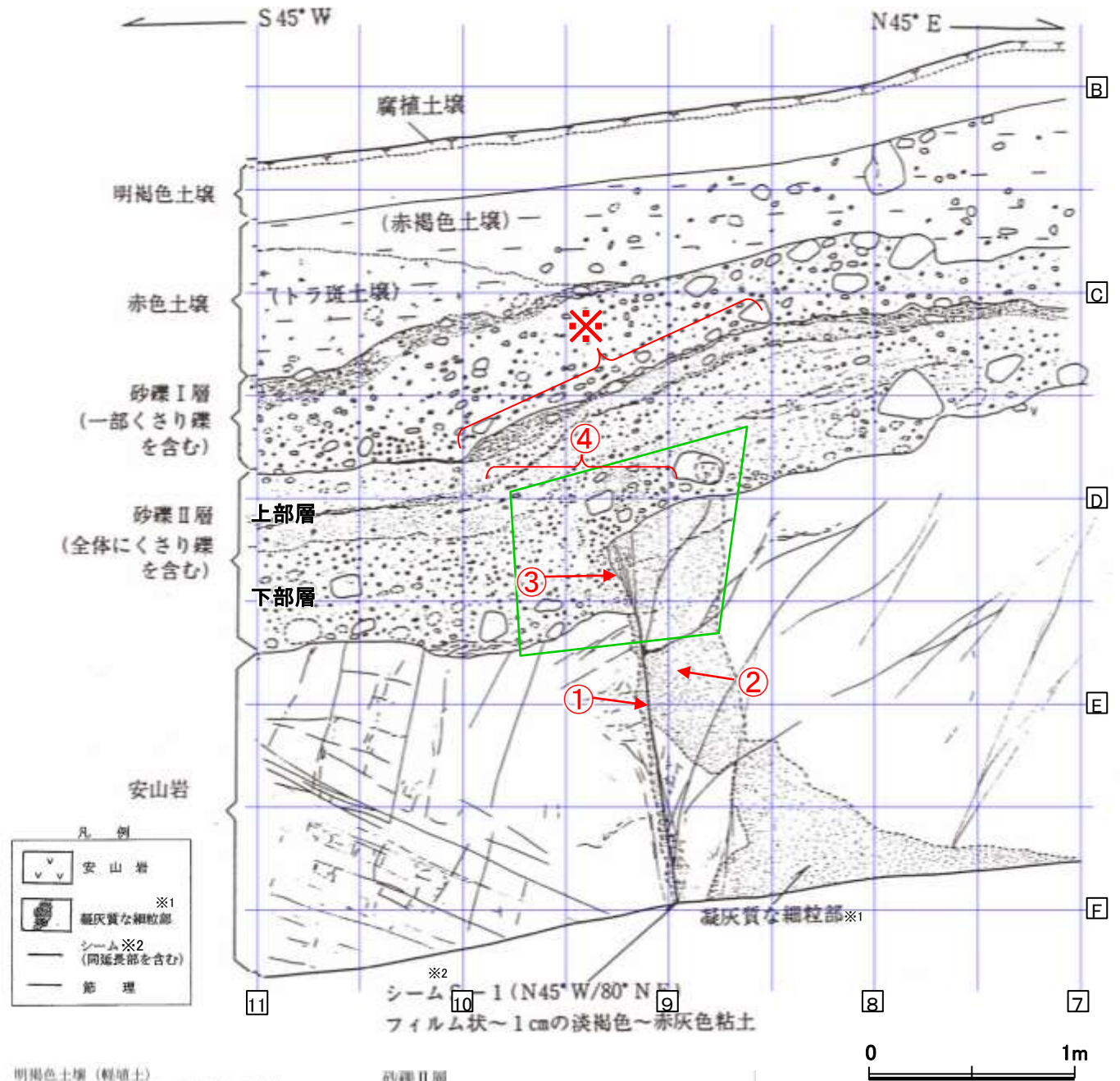
↑
S-1上方延長

拡大写真



| | 観察結果 |
|-----|--|
| 岩盤部 | ①幅フィルム状～0.5cmの赤灰色粘土が分布する。 ②主せん断面に沿って凝灰質な細粒部が分布する。 |
| 段差部 | ③段差部において、S-1上方延長位置の岩盤（凝灰質な細粒部）と砂礫II層の境界に沿って粘土（断層ガウジ）は分布せず、同境界はS-1延長位置より山側に弧状に入り込む形状を示す。 ※段差部の山側約2mの2箇所で、西側傾斜の節理に沿った岩盤上面に小さな段差が認められるが、砂礫II層に埋積されており、また、山側の節理は岩盤下方まで連続しない。なお、このような岩盤上面の段差は、岩盤が露出する海岸部の随所で見られる事象である。 |
| 堆積物 | ④段差部や段差部直上の砂礫II層では、S-1の延長位置や周辺に断層変位を示唆するようなせん断面や地層の擾乱は認められない。 |

S-1 旧A・Bトレンチ - 旧Bトレンチ北西壁面の詳細観察①-



明褐色土壤（軽埴土）
色調：7.5YR5/0 ~ 10Y5/4、無構造

赤色土壤（軽埴土～埴壤土）

色調：5YR4.5/8.

土壤構造：中～強度、縦～中粒亜角塊状構造。
縦：最大径 25cm、平均径 3 ~ 5cm、安山岩
亜角塊が散在する。

下部で一部にトラ斑土壤が認められる。

トラ斑土壤（軽埴土）

色調：5YR4.5/8、キュータン 2.5YR5/8、斑点
状に弱い斑紋が認められる。

土壤構造：中～強度、縦粒亜角塊状構造。
縦：径 1 ~ 8cm 程度の安山岩くさり縦点在。

砂砾Ⅰ層との境界は比較的明瞭。

砂砾Ⅰ層

黄褐～褐色
縦：最大径 20cm、平均径 3 ~ 5cm、安山岩亜
角～亜円縦主体、一部くさり縫化。

基質：固結した粗粒砂～細縫で安山岩片及び右
英・長石を主体とする。粒子間は淡黄褐色
色膠結物質が充填する。

砂砾Ⅱ層との境界はおおむね明瞭。

砂砾Ⅱ層
明褐～褐色、全体にくさり縛を多数含有し
砂砾Ⅰ層と比較して軟質である。

上部層：厚さ 30 ~ 40cm

縦：安山岩起源の細縫

基質：粗粒砂と白色粒状物質を主体とす
る。しまり良好。
下部層に比べ層理の識別が可能。

下部層：厚さ 30 ~ 40cm (上盤側) 及び 50
~ 60cm (下盤側)。

縦：最大径 30cm、平均径 1 ~ 3cm、安
山岩亜角～亜円縦主体。くさり縛
が多い。

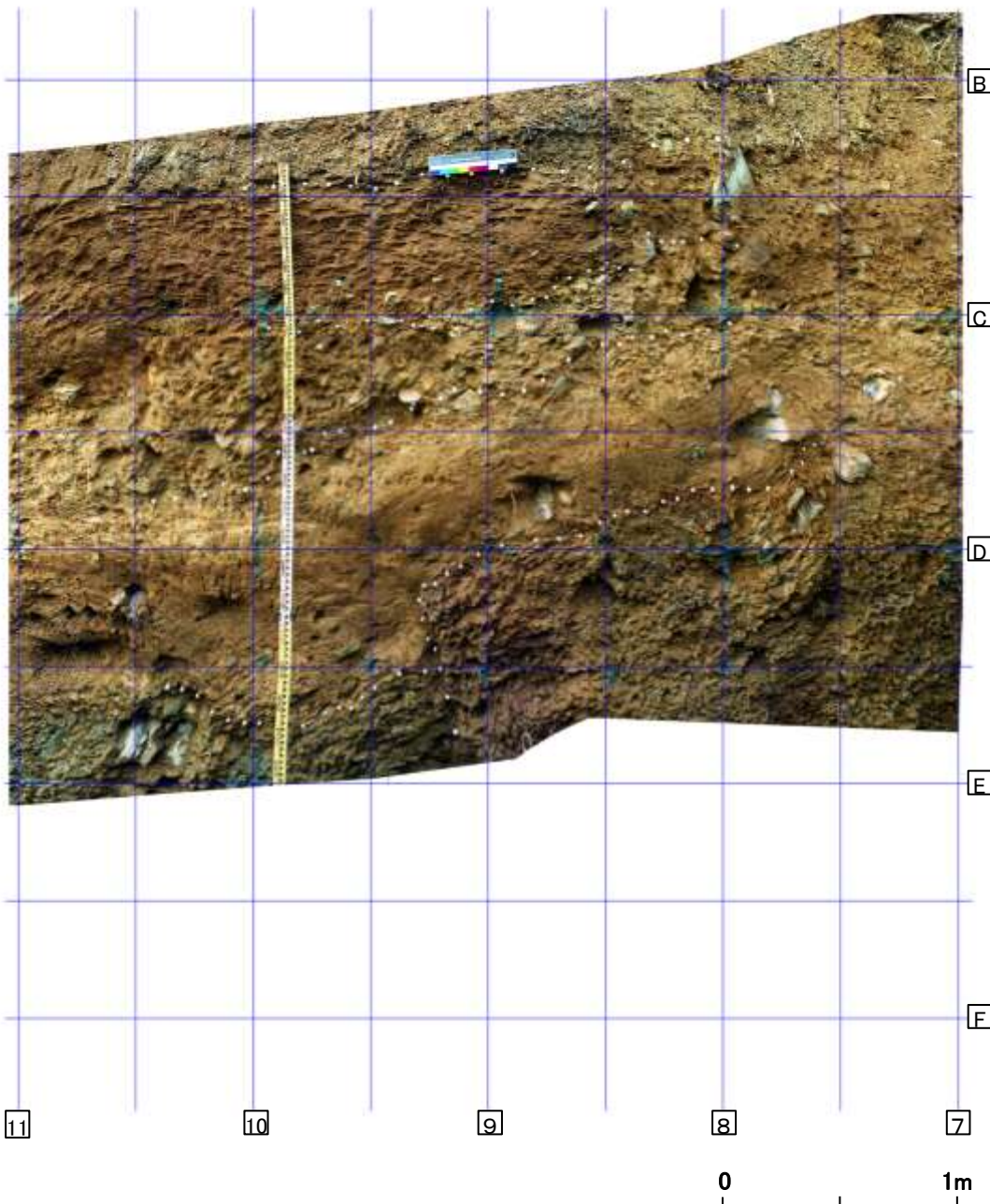
基質：上部層と同質の粗粒砂及び細縫よ
りなる。しまり良好。白色粒状物
質の混入は減少する。

上部層と下部層の境界は上盤側ではやや
不明瞭。

※2
シーム S-1
幅 フィルム状～1cm の淡褐色～赤灰色粘土。
走向傾斜 N45°W/80°NE。
比較的明瞭な面が連続ないし一部断続す
る。
面の表面には鏡肌が認められ一部に縦す
れ性条縫が刻まれている。
砂砾Ⅱ層と岩盤の境界付近では粘土は不
明瞭となる。
岩盤上限面の見掛け上の段差は 35cm、
上盤側の岩盤には N40°E/80°NW ~ 80°SE
の断裂が分布する。

□ 拡大写真範囲(次頁)

スケッチ



全景写真

※1:スケッチ時の記載用語。

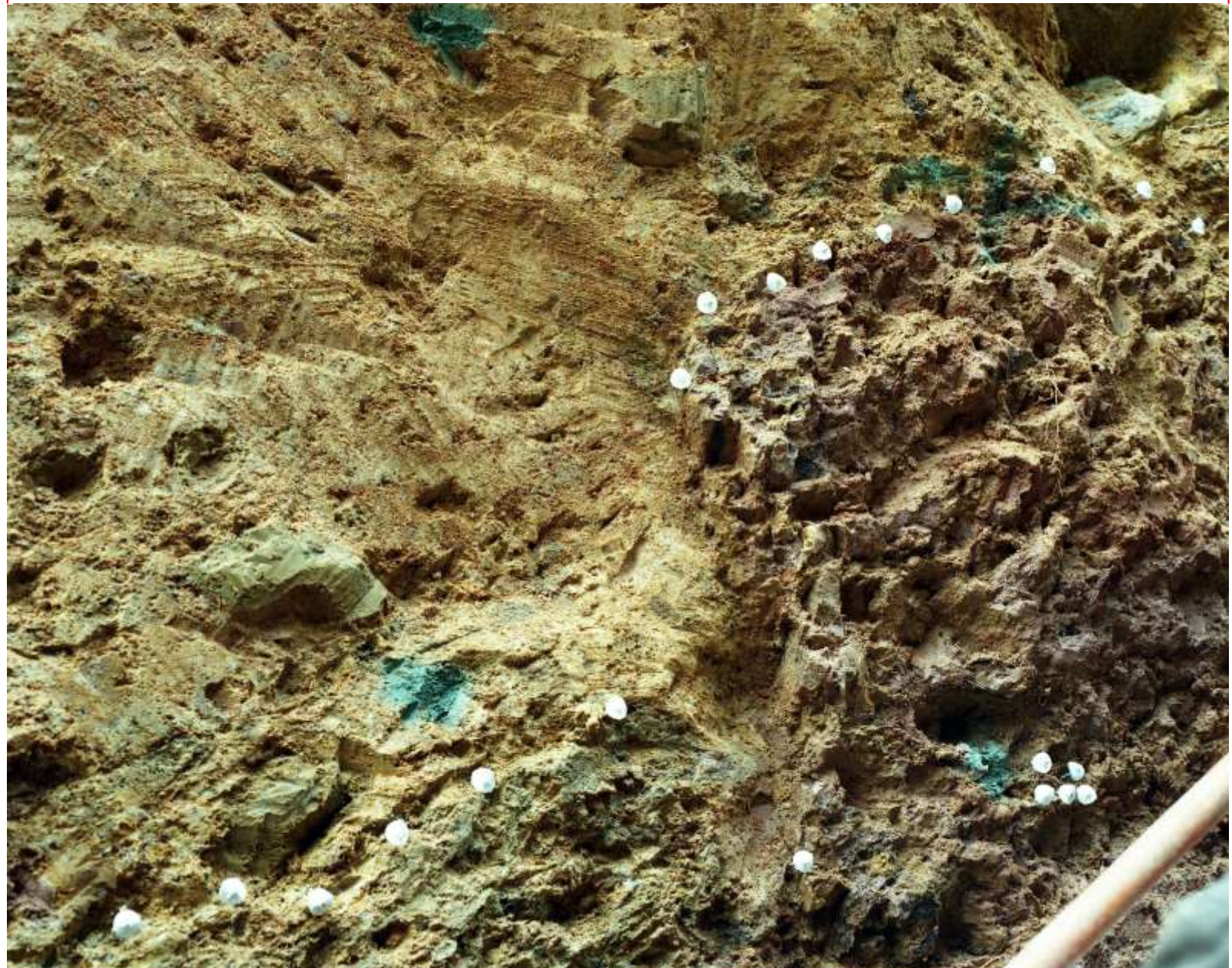
「細粒凝灰岩」あるいは「固結した破碎部」に対応する。

※2:スケッチ時の記載用語。

「粘土状破碎部」に対応する。

S-1 旧A・Bトレンチ －旧Bトレンチ北西壁面の詳細観察②－

④段差部や段差部直上の砂礫Ⅱ層では、S-1の延長位置や周辺に断層変位を示唆するようなせん断面や地層の擾乱は認められない。



拡大写真

| | 観察結果 |
|-----|---|
| 岩盤部 | ①幅フィルム状～1cmの淡褐色～赤灰色粘土が分布する。 ②主せん断面に沿って凝灰質な細粒部が分布する。 |
| 段差部 | ③段差部において、S-1上方延長位置の岩盤(凝灰質な細粒部)と砂礫Ⅱ層の境界に沿って粘土(断層ガウジ)は分布しない。 |
| 堆積物 | ④段差部や段差部直上の砂礫Ⅱ層では、S-1の延長位置や周辺に断層変位を示唆するようなせん断面や地層の擾乱は認められない。 ※段差部付近の砂礫Ⅱ層上面に認められる地層の曲りを想定させるような形状については、同様の形状が他の3壁面には認められること及び上述④のとおり、砂礫Ⅱ層中には断層変位を示唆するようなせん断面や地層の擾乱は認められないことから、岩盤上面の段差形状を反映した堆積構造と考えられる。 |

S-1 旧A・Bトレンチ 一壁面の詳細観察(まとめ)一

○旧A・Bトレンチについては、いずれの壁面においても、段差部周辺の砂礫Ⅱ層には断層変位を示唆するようなせん断面や地層の擾乱は認められないこと等から、S-1は中位段丘Ⅰ面を構成する堆積層に変位・変形を与えていない。

| | 旧Aトレンチ | | 旧Bトレンチ | |
|-----|---|--|---|---|
| | 南東壁 | 北西壁 | 南東壁 | 北西壁 |
| 岩盤部 | ①幅フィルム状～1cmの明黄色～赤灰色粘土が分布する。 ②主せん断面に沿って下盤側に凝灰質な細粒部※が分布する。 | ①幅フィルム状～1cmの褐灰色～暗黃灰色粘土が分布する。 ②主せん断面に沿って凝灰質な細粒部※が分布する。 | ①幅フィルム状～0.5cmの赤灰色粘土が分布する。 ②主せん断面に沿って凝灰質な細粒部※が分布する。 | ①幅フィルム状～1cmの淡褐色～赤灰色粘土が分布する。 ②主せん断面に沿って凝灰質な細粒部※が分布する。 |
| 段差部 | <u>③段差部において、S-1上方延長位置の岩盤と砂礫Ⅱ層の境界に沿つて粘土は分布しない。</u> ④段差部の基部の位置は、S-1より海側に位置し、その下方延長にも断層や割れ目は存在しない。 | <u>③段差部において、S-1上方延長位置の岩盤と砂礫Ⅱ層の境界に沿つて粘土は分布しない。</u> また、同境界はS-1延長位置より海側に張り出し、湾曲した形状を示す。 ④段差部直下の岩盤中ではS-1は不明瞭となる。 | <u>③段差部において、S-1上方延長位置の岩盤と砂礫Ⅱ層の境界に沿つて粘土は分布せず、同境界はS-1延長位置より山側に弧状に入り込む形状を示す。</u> | <u>③段差部において、S-1上方延長位置の岩盤と砂礫Ⅱ層の境界に沿つて粘土は分布しない。</u> |
| 堆積物 | <u>⑤段差部や段差部直上の砂礫Ⅱ層では、S-1の延長位置や周辺に断層変位を示唆するようなせん断面や地層の擾乱は認められない。</u> ⑥砂礫Ⅱ層では、段差を埋積する際に形成された礫や砂の配列からなる堆積構造が認められ、S-1の延長位置で、この堆積構造に変位や擾乱は認められない。 | <u>⑤段差部や段差部直上の砂礫Ⅱ層では、S-1の延長位置や周辺に断層変位を示唆するようなせん断面や地層の擾乱は認められない。</u> ⑥砂礫Ⅱ層では段差部の凸部直上に巨礫が分布し、これに段差部が断層変位とした場合に想定される凹地側への倒れ込みや回転は認められない。 | <u>④段差部や段差部直上の砂礫Ⅱ層では、S-1の延長位置や周辺に断層変位を示唆するようなせん断面や地層の擾乱は認められない。</u> | <u>④段差部や段差部直上の砂礫Ⅱ層では、S-1の延長位置や周辺に断層変位を示唆するようなせん断面や地層の擾乱は認められない。</u> |

下線：4壁面共通に見られる事象

※凝灰質な細粒部：スケッチ時の記載用語。軟弱層ではなく、細粒岩相である。

S-1 旧A・Bトレンチ -断層変位を受けた堆積物の変位・変形の出現形態-

○砂礫層が断層変位を受けた場合の変位・変形の出現形態について、①国内の断層調査の事例、②模型実験（上田・谷（1999）等）、③数値シミュレーション（Ando（2013）に基づく計算）の観点から調査、検討を行った。

○その結果、いずれの検討においても、旧トレンチの岩盤上面の段差が砂礫層堆積後に断層運動により変位したものと仮定した場合、段差付近の砂礫層中にはせん断面や地層の擾乱が生じると判断される。

【①国内の断層調査の事例】

第4回評価会合（H26.12.26）資料
「志賀・現調5-2」より抜粋

○断層活動を受けた堆積物（礫層、砂礫層、砂層）のせん断構造の出現形態について、国内で実施された活断層調査等の文献調査を行った。

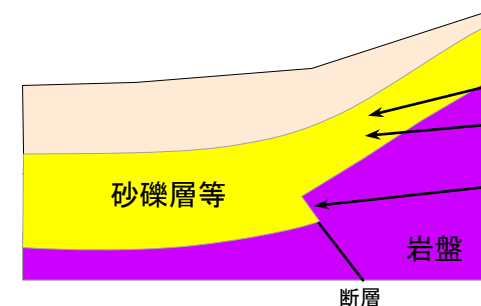
○その結果、今回調査した事例では、断層活動の影響ありと評価されている段差直上の砂礫層等において、せん断面・地層の擾乱が認められないとした事例は確認されず、少なくとも段差直上付近にせん断面や地層の擾乱が報告されている。

○今回調査の事例を考慮すれば、旧A・Bトレンチの岩盤上面の段差が砂礫層堆積後に断層運動により変位したものと仮定した場合、段差付近の砂礫層中にはせん断面や地層の擾乱が生じると考えられる。

全753の露頭データ※

※：調査にあたっては、地震調査委員会による活断層長期評価で用いられた参考文献、活断層データベースから活断層調査等に関連する文献を調査対象とした。用いた露頭データは次頁、次々頁。

■旧トレンチの地質状況を考慮し、下記3つの条件を満たす露頭データを抽出した。



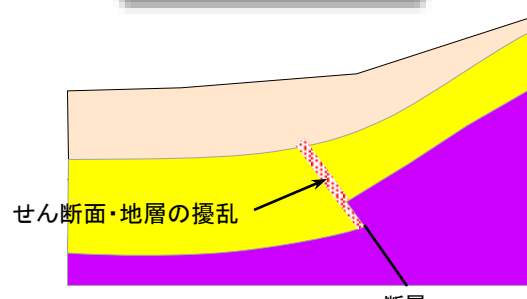
- ① 岩盤の上位には「砂礫層又は砂層又は礫層」が堆積する。
- ② 上記の砂礫層等の地層が「断層活動の影響あり」と評価されている。
- ③ 「断層延長位置の岩盤上面に段差」が見られる。

118データ

■上記118データについて、砂礫層等の変位・変形の状況から以下のタイプに区分された。

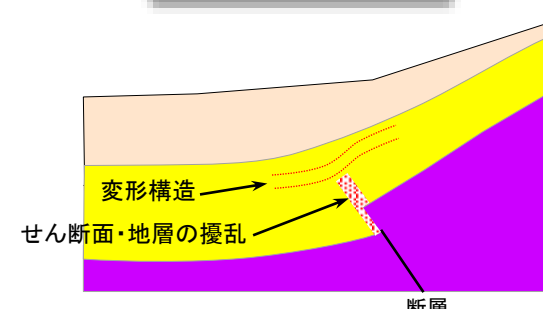
■タイプA
せん断面・地層の擾乱が、砂礫層等の上面まで見られる。

99データ



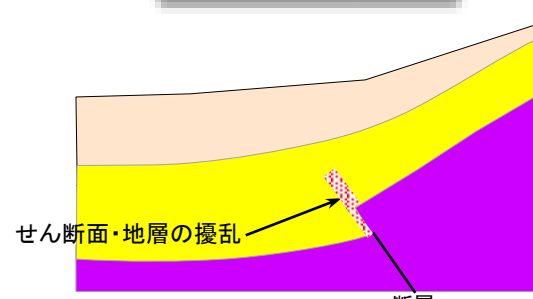
■タイプB
下部にせん断面・地層の擾乱、
上部に変形構造が見られる。

10データ



■タイプC
下部にせん断面・地層の擾乱
が見られ、地層中で消失する。

9データ



・せん断面・地層の擾乱の上方延長の状況が不明なものを含む

【①国内の断層調査の事例(露頭データ(1))】

| タイプ | 断層 | 露頭 | 文献 | 地震調査委員会長期評価における参考文献 |
|-----|-------------------------|-------------------|--|---------------------|
| A | 阿寺断層 | 福岡町田瀬 林道沿い露頭 | 遠田晋次・井上大栄・高瀬信一・久保内明彦・富岡伸芳(1994):阿寺断層の最新活動時期:1586年天正地震の可能性. 地震 第2輯, 47, 1, p.73-77.. | |
| | 阿寺断層 | 小野沢峠の断層露頭 | 岡田篤正・松田時彦(1976):岐阜県東部、小野沢峠における阿寺断層の露頭と新期断層運動. 地理学評論, 49, 9, p.632-639.. | |
| | 阿寺断層帯 | 湯ヶ峰断層三ヶ石地点:トレチ | 佃 栄吉・粟田泰夫・山崎晴雄・杉山雄一・下川浩一・水野清秀(1993):2. 5万分の1阿寺断層系ストリップマップ説明書. 構造図(7), 地質調査所, 39p. | 地震調査委員会 長期評価(2004) |
| | 阿寺断層帯 | 小和知断層小和知地点:トレチ | 佃 栄吉・粟田泰夫・山崎晴雄・杉山雄一・下川浩一・水野清秀(1993):2. 5万分の1阿寺断層系ストリップマップ説明書. 構造図(7), 地質調査所, 39p. | 地震調査委員会 長期評価(2004) |
| | 阿寺断層帯 下呂断層 | 竹原川西方山地内の断層露頭 | 安江健一・廣内大助(2004):阿寺断層帶下呂断層の第四紀における活動と河谷変化. 活断層研究, 24, p.85-93.. | |
| | 阿寺断層帯 小和知断層 | 断層露頭(地点D) | 安江健一・廣内大助(2002):阿寺断層系中北部の第四紀後期における活動性と構造発達様式. 第四紀研究, 41, 5, p.347-359.. | |
| | 阿寺断層帯 阿寺断層 | 倉屋地区 | 佃 栄吉・山崎晴雄(1986):1981年阿寺断層(倉屋地区)トレチ調査. 活断層研究, 3, p.37-43.. | |
| | 阿寺断層帯 阿寺断層 | 馬籠トレンチ | 粟田泰夫(1988):1985年阿寺断層(馬籠地区)トレチ調査. 活断層研究, 5, p.50-54.. | |
| | 阿寺断層帯(佐見断層帯) | 小野Cトレンチ | 産業技術総合研究所(2012):阿寺断層帯(佐見断層帯)の活動性および活動履歴調査. 「活断層の補完調査」成果報告書No.H23-3 | |
| | 阿寺断層帯 湯ヶ峰断層 | 乗政地区bトレンチ | 粟田泰夫・佃 栄吉・杉山雄一(1993):1990年阿寺断層系・湯ヶ峰断層(乗政地区)トレチ調査. 活断層研究, 11, p.78-81.. | |
| | 阿寺断層帯 敦原断層 | 乗政地区トレンチ | 岡田篤正(1988):1986年阿寺断層系・敦原断層(乗政地区)トレチ調査. 活断層研究, 5, p.65-70.. | |
| | 跡津川断層 | 跡津川断層 野首トレチ | 岡田篤正・佃 炙成・三雲 健・竹内 章・小林武彦・竹村利夫・平野信一・升本真二・竹花康夫・池田安隆・渡辺満久・奥村晃史(1983):跡津川断層のトレチ発掘調査. 日本地理学会予稿集, 23, 40-41. 跡津川断層発掘調査団(1983):跡津川断層におけるトレチ掘削調査(速報). 月刊地球, 5, 335-340.. | 地震調査委員会 長期評価(2004) |
| | 跡津川断層 | 跡津川断層 野首トレチ | 粟田泰夫・佃 栄吉(1993):最近1万年ににおける跡津川断層の活動. 日本地震学会講演予稿集, 2, 199-199.. | 地震調査委員会 長期評価(2004) |
| | 跡津川断層 塵津川断層 | 真川露頭(A露頭) | 片川秀基・穴田文浩・吉田 進・伊藤 孝(2002):跡津川断層東端付近の最新活動時期について. 第四紀研究, 41, 2, p.73-83.. | |
| | 糸魚川-静岡構造線活断層系 | トレチ | 谷口 薫・渡辺満久・鈴木康弘・澤 祥(2011):糸魚川-静岡構造線活断層系中北部で新たに得られた活動時期. 地震 第2輯, 64, 1, p.11-21.. | |
| | 出水断層 | 内木場東地点第3トレチ南西壁 | 鹿児島県(2001):「平成12年度地震関係基礎調査交付金 出水断層に関する調査 成果報告書」. 鹿児島県, 128p.. | 地震調査委員会 長期評価(2004) |
| | 出水断層 | 内木場地点第1トレチ東壁面 | 鹿児島県(1999):「平成10年度地震関係基礎調査交付金 鹿児島湾西縁断層及び出水断層に関する調査 成果報告書」. 鹿児島県, 133p.. | 地震調査委員会 長期評価(2004) |
| | 岩国断層帯 | 近延地区トレチ | 佃 栄吉(1998):岩国断層帯の活動履歴調査結果について. 地震予知連絡会会報, 59, p.514-520.. | |
| | 牛首断層 | 大双嶺ピット | 宮下由香里・小林健太・二階堂 学・高瀬信一・尾尻敏彦(2005):牛首断層北東部地域の活動履歴調査(2)-大双嶺トレチ調査結果-. 活断層・古地震研究報告, No.5(2005年), p.85-93.. | |
| | 宇美断層帯 | 山浦地区トレチ | 福岡県(2006):「宇美断層に関する調査委託業務報告書」. 227p.. | 地震調査委員会 長期評価(2013) |
| | 山形盆地断層帯 大高根断層 | Loc.1の露頭 | 鈴木康弘・阿子島 功(1987):山形盆地北西縁、大高根における完新世断層露頭. 活断層研究, 4, p.21-27.. | |
| | 大原湖断層帯 宇部東部断層 | 宇部東部断層のトレチ | 小松原 琢・水野清秀・金折裕司・小笠原洋・新見 健・木下博久(2005):山口県大原湖断層帯西部、宇部東部断層のトレチ調査. 活断層・古地震研究報告, No.5(2005年), p.139-145.. | |
| | 菊川断層帯 | 上岡枝下流地区トレチ | 山口県(1998a):平成9年度地震関係基礎調査交付金 菊川断層に関する調査成果報告書. 99p.. | 地震調査委員会 長期評価(2003) |
| | 木曾山脈西縁断層帯 馬籠峠断層 | ALピット | 宍倉正展・遠田晋次・刈谷愛彦・永井節治・二階堂 学・高瀬信一(2002):木曾山脈西縁断層帯における活動履歴調査(2)馬籠峠断層福根沢地区における地形・地質調査. 活断層・古地震研究報告, No.2(2002年), p.57-68.. | |
| | 木曾山脈西縁断層帯 馬籠峠断層 | CLピット | 宍倉正展・遠田晋次・刈谷愛彦・永井節治・二階堂 学・高瀬信一(2002):木曾山脈西縁断層帯における活動履歴調査(2)馬籠峠断層福根沢地区における地形・地質調査. 活断層・古地震研究報告, No.2(2002年), p.57-68.. | |
| | 木曾山脈西縁断層帯 馬籠峠断層 | DLピット | 宍倉正展・遠田晋次・刈谷愛彦・永井節治・二階堂 学・高瀬信一(2002):木曾山脈西縁断層帯における活動履歴調査(2)馬籠峠断層福根沢地区における地形・地質調査. 活断層・古地震研究報告, No.2(2002年), p.57-68.. | |
| | 北伊豆断層帯 浮橋中央断層 | 浮橋トレチ | 山崎晴雄・佃 栄吉(1986):1980年浮橋中央断層(浮橋地区)トレチ調査. 活断層研究, 3, p.24-27.. | |
| | 北上低地西縁断層帯 | 花巻市下堰田地区的断層露頭F1断層 | 小坂英輝・立石 良・三輪敦志・市川八州夫・鎌滝孝信・今泉俊文(2009):北上低地西縁断層帯・花巻市下堰田地区的断層露頭と地層変形—バランス断面による地下断層形状の推定-. 活断層研究, 30, p.37-46.. | |
| | 木津川断層帯 | 奥田トレチ | 苅谷愛彦・宮地良典・水野清秀・井村隆介(2000b):木津川断層系の第2次古地震調査—島ヶ原断層の最新活動時期と安政伊賀上野地震時の伊賀断層の変位量-. 地質調査所報(平成11年度活断層・古地震研究調査概要報告書), no. EQ/OO/2, 151-163.. | 地震調査委員会 長期評価(2004) |
| | 黒松内低地断層帯 | 熱郛原野の断層露頭 | 猪原京子・黒澤英樹・小坂英輝・三輪敦志・今泉俊文(2013):黒松内低地断層帯・熱郛原野の断層露頭. 活断層研究, 38, p.17-28.. | |
| | 小倉東断層 | 志井地区トレチ | 北九州市(1997):「平成8年度地震調査研究交付金 小倉東断層に関する調査成果報告書」. 147p.. | 地震調査委員会 長期評価(2013) |
| | 小倉東断層 | 母原地区トレチ | 北九州市(1997):「平成8年度地震調査研究交付金 小倉東断層に関する調査成果報告書」. 147p.. | 地震調査委員会 長期評価(2013) |
| | 湖北山地断層帯 駄口断層 | 駄口断層 北部ピット | 金田平太郎・井上 勉・金原正明・竹村恵二(2005):山地斜面におけるピット調査から推定された琵琶湖北方・駄口断層の活動履歴. 地学雑誌, 114, 5, p.724-738.. | |
| | 湖北山地断層帯 駄口断層 | 黒河山サイト | 金田平太郎・井上 勉・金原正明・竹村恵二(2005):山地斜面におけるピット調査から推定された琵琶湖北方・駄口断層の活動履歴. 地学雑誌, 114, 5, p.724-738.. | |
| | 零石盆地西縁-真屋山地東縁断層帯 | 八つ又地点、トレチ | 大山隆弘・曾根賢治・上田圭一(1991b):沖積層下の断層活動性評価-(3)川舟断層トレチ調査-. 電力中央研究所報告, U91032, 1-35.. | 地震調査委員会 長期評価(2005) |
| | 下円井断層 | 下円井の活断層露頭 | 平川一臣・神沢公男・浅川一郎(1989):巨摩山地北東縁・下円井の活断層露頭. 活断層研究, 6, p.43-46.. | |
| | 下原断層 | Loc.2の露頭 | 鈴木郁夫(1993):新潟県下田村、下原断層の断層露頭および断層変位地形. 第四紀研究, 32, 2, p.61-74.. | |
| | 下原断層 | Loc.5の露頭 | 鈴木郁夫(1993):新潟県下田村、下原断層の断層露頭および断層変位地形. 第四紀研究, 32, 2, p.61-74.. | |
| | 鈴鹿東縁断層帯 | 宇賀川地点におけるトレチ | 三重県(2003):「平成14年度地震関係基礎調査交付金 鈴鹿東縁断層帯に関する調査 成果報告書」. I-1-I-III-12.. | 地震調査委員会 長期評価(2005) |
| | 横手盆地東縁断層帯 千屋断層 | Mトレチ | 今泉俊文・松田時彦(1986):1982年千屋断層(小森地区)のトレチ調査. 活断層研究, 3, p.65-73.. | |
| | 横手盆地東縁断層帯 千屋断層 | 一丈木南地区トレチ | 今泉俊文・平野信一(1989):1988年千屋断層(一丈木南地区)トレチ調査—日本の活断層発掘調査[32]—. 活断層研究, 6, p.87-92.. | |
| | 高山・大原断層帯 | No. 4トレチ | 岐阜県(2001):「平成12年度 地震関係基礎調査交付金 高山・大原断層帯に関する調査 成果報告書」. 岐阜県. | 地震調査委員会 長期評価(2003) |
| | 高山・大原断層帯(高山断層帯) | 餅谷Aピット | 産業技術総合研究所(2009):高山・大原断層帯(高山断層帯)の活動性および活動履歴調査、「活断層の追加・補完調査」成果報告書No.H20-6 | |
| | 高山・大原断層帯(高山断層帯) | 餅谷Bピット | 産業技術総合研究所(2009):高山・大原断層帯(高山断層帯)の活動性および活動履歴調査、「活断層の追加・補完調査」成果報告書No.H20-6 | |
| | 高山・大原断層帯(高山断層帯) | ヌクイ谷トレチ | 産業技術総合研究所(2009):高山・大原断層帯(高山断層帯)の活動性および活動履歴調査、「活断層の追加・補完調査」成果報告書No.H20-6 | |
| | 築別背斜断層 | D地点 | 山岸宏光(1986):北海道におけるいくつかの活断層露頭. 活断層研究, 2, p.19-28.. | |
| | 中央構造線断層帯(和泉山脈南縁-金剛山地東縁) | 竹尾地区ピット | 地域・地盤環境研究所(2008):中央構造線(和泉山脈南縁-金剛山地東縁)の活動性および活動履歴調査. 「活断層の追加・補完調査」成果報告書No.H19-5 | |
| | 中央構造線断層帯(金剛山地東縁-伊予灘) | 金剛断層 名柄地点第2トレチ | 佐竹健治・須貝俊彦・寒川 旭・柳田 誠・横田 裕・岩崎孝明・小俣雅志・石川 琳(1999):奈良県金剛断層系の構造と最新活動時期. 地震, 第2輯, 52, 65-79.. | 地震調査委員会 長期評価(2011) |
| | 中央構造線断層帯 伊予断層 | 三秋トレチ | 池田倫治・後藤秀昭・堤 浩之・露口耕治・大野裕記・西坂直樹・小林修二(2012):四国北西部の中央構造線断層系伊予断層の完新世活動履歴. 地質学雑誌, 118, 4, p.220-235.. | |
| | 中央構造線断層帯 伊予断層 | 市場ATトレチ | 池田倫治・後藤秀昭・堤 浩之・露口耕治・大野裕記・西坂直樹・小林修二(2012):四国北西部の中央構造線断層系伊予断層の完新世活動履歴. 地質学雑誌, 118, 4, p.220-235.. | |
| | 中央構造線断層帯 伊予断層 | 市場BTトレチ | 池田倫治・後藤秀昭・堤 浩之・露口耕治・大野裕記・西坂直樹・小林修二(2012):四国北西部の中央構造線断層系伊予断層の完新世活動履歴. 地質学雑誌, 118, 4, p.220-235.. | |
| | 中央構造線断層帯 根来断層 | 仁王谷トレチ | 岡田篤正・松井和夫・遠藤 理・有吉道春・齊藤 勝(1999):中央構造線断層系根来断層の性状と最新活動-和歌山市今瀧(仁王谷)でのトレチ調査-. 活断層研究, 18, p.37-54.. | |
| | 鳥取県西部 小町リニアメント | 小町地点 | 杉山雄一・宮下由香里・小林健太・佐藤 寧・宮脇明子・宮脇理一郎(2005):鳥取県西部、小町-大谷リニアメント系のトレチ調査. 活断層・古地震研究報告, No.5(2005年), p.115-138.. | |
| | 長良川上流断層帯 | 谷多和地点 | 産業技術総合研究所(2013):長良川上流断層帯の活動性および活動履歴調査. 「活断層の補完調査」成果報告書No.H24-3 | |
| | 西之表断層 | B露頭 | 吉岡敏和・鈴木毅彦・竹下秀敏(1985):種子島・西之表断層南東部における断層露頭および断層変位地形. 活断層研究, 1, p.97-106.. | |
| | 西山断層 | 福間大和の断層露頭 | 木原敏夫・竹下 寿・湯浅 司・堀 雅臣・檀原 弘(1981):福岡県北部の活断層露頭. 九州工業大学研究報告(工学), 42, p.1-9.. | |
| | 西山断層 | 津屋先須多田の断層露頭 | 木原敏夫・竹下 寿・湯浅 司・堀 雅臣・檀原 弘(1981):福岡県北部の活断層露頭. 九州工業大学研究報告(工学), 42, p.1-9.. | |
| | 西山断層帯 | 飯塚市明星寺地区トレチ | 磯 望・下山正一・峯元 愛・千田 昇・松田時彦・松村一良・杉山雄一・鈴木貞臣・茂木 透・岡村 真・熊井教寿・松山尚典・黒木瑞昭・川口小由美(2000):西山断層帯(福岡県)の津屋崎町におけるトレチ調査報告. 活断層研究, 19, 91-101.. | 地震調査委員会 長期評価(2013) |
| | 西山断層帯 | 潤野トレチ1 | 産業技術総合研究所(2012):西山断層帯の活動性および活動履歴調査. 「活断層の補完調査」成果報告書No.H23-2 | |
| | 西山断層帯 | 潤野トレチ2 | 産業技術総合研究所(2012):西山断層帯の活動性および活動履歴調査. 「活断層の補完調査」成果報告書No.H23-2 | |
| | 濃尾断層帯 根尾谷断層 | 金原地区トレチ | 隈元 崇・岡田篤正・遠田晋次・上田圭一・池田安隆(1992):1991年濃尾活断層系根尾谷断層(金原地区)トレチ調査-日本の活断層発掘調査 [35] - 活断層研究, 10, p.85-91.. | |

第4回評価会合(H26.12.26)資料
「志賀・現調5-2」より抜粋

【①国内の断層調査の事例(露頭データ(2))】

| タイプ | 断層 | 露頭 | 文献 | 地震調査委員会長期評価における参考文献 |
|-----|---------------------------|------------------------------|---|---------------------|
| A | 濃尾断層帯 根尾谷断層 | 水鳥断層崖トレチ北西壁面(N面) | 佐藤比呂志・岡田篤正・松田時彦・隈元 崇(1992):根尾谷断層水鳥断層崖のトレチ壁面の地質. 地学雑誌, 101, 7, p.556-572.. | |
| | 濃尾断層帯 根尾谷断層 | 水鳥断層崖トレチ南東壁面(S面) | 佐藤比呂志・岡田篤正・松田時彦・隈元 崇(1992):根尾谷断層水鳥断層崖のトレチ壁面の地質. 地学雑誌, 101, 7, p.556-572.. | |
| | 濃尾断層帯(揖斐川断層帯) | 大井トレチ | 産業技術総合研究所(2009):濃尾断層帯(揖斐川断層帯)の活動性および活動履歴調査. 「活断層の追加・補完調査」成果報告書No.H20-7 | |
| | 濃尾断層帯(武儀川断層帯) | 奥谷平曾洞地点風隙トレチ | 産業技術総合研究所(2009):濃尾断層帯(揖斐川断層帯)の活動性および活動履歴調査. 「活断層の追加・補完調査」成果報告書No.H20-7 | |
| | 濃尾断層帯 武儀川断層 | 塙後地区断層露頭 | 吉岡敏和・苅谷愛彦・吾妻 崇・松崎達二・川崎輝雄(2001):武儀川断層系の活動履歴調査. 活断層・古地震研究報告, No.1(2001年), p.107-114.. | |
| | 濃尾断層帯 根尾谷断層 | 金原地区トレチ(1985年二次トレチ) | 宮腰勝義・猪原芳樹・角田隆彦・金折裕司・佐竹義典(1993):1985年濃尾活断層系・根尾谷断層(金原地区)トレチ調査. 活断層研究, 11, p.8-15.. | |
| | 屏風山・恵那山断層帯及び猿投山断層帯 | 猿投一高浜断層(猿投一境川断層) | 愛知県(1999):「平成10年度 地震関係基礎調査交付金 猿投山断層帯に関する調査 成果報告書」. 148p. | 地震調査委員会 長期評価(2004) |
| | 深溝断層 | 深見地点トレチ | 曾根賢治・上田圭一(1990):沖積層下の断層活動性評価—(1)深溝断層トレチ調査—. 電力中央研究所報告, U90029, 32pp.. | |
| | 深溝断層 | 東光寺トレチ | 曾根賢治・上田圭一(1990):沖積層下の断層活動性評価—(1)深溝断層トレチ調査—. 電力中央研究所報告, U90029, 32pp.. | |
| | 福井平野東縁断層帯 見当山断層 | 西深溝トレチ | 廣内大助・安江健一(2001):福井平野東縁最北部における見当山断層の発見とその意義. 第四紀研究, 40, 1, p.67-74.. | |
| | 福智山断層 | 見当山断層の断層露頭(1) | 木原敏夫・竹下 寿・湯浅 司・堀 雅臣・檀原 弘(1981):福岡県北部の活断層露頭. 九州工業大学研究報告(工学), 42, p.1-9.. | |
| | 福智山断層帯 | 上野断層露頭 | 千田昇・下山正一・松田時彦・鈴木貞臣・茂木透・岡村眞・渡辺満久(2001):福智山断層系の新期活動. 活断層研究, 20, 79-91.. | 地震調査委員会 長期評価(2013) |
| | 双葉断層(大谷断層) | 笹田トレチ | 鈴木毅彦・小荒井 衛(1989):福島県相馬郡鹿島町における双葉断層(大谷断層)の断層露頭と最近の活動に関する一考察. 活断層研究, 6, p.23-29.. | |
| | 双葉断層(大谷断層) | 樺原の断層露頭 | 鈴木毅彦・小荒井 衛(1989):福島県相馬郡鹿島町における双葉断層(大谷断層)の断層露頭と最近の活動に関する一考察. 活断層研究, 6, p.23-29.. | |
| | 幌延断層帯 | 柘窪周辺の断層露頭 | 北海道立地質研究所・産業技術総合研究所(2010):幌延断層帯に関する調査. 「活断層の追加・補完調査」成果報告書No.H21-1 | |
| | 三方・花折断層帯 花折断層 | 露頭 II-2 | 東郷正美・佐藤比呂志・嶋本利彦・堤 昭人・馬 勝利・中村俊夫(1997):花折断層の最新活動について. 活断層研究, 16, p.44-52.. | |
| | 水繩断層帯 | 今津町中谷 トレチA | 千田昇・松村一良・寒川 旭・松田時彦(1994):水繩断層系の最近の活動について—久留米市山川町前田遺跡でのトレチ発掘—. 第四紀研究, 33, 4, p.261-267.. | |
| | 水繩断層帯 | 第1トレチ 壁面1-E | 千田 昇・松村一良・寒川 旭・松田時彦(1994):水繩断層系の最近の活動について—久留米市山川町前田遺跡でのトレチ発掘—. 第四紀研究, 33, 4, p.261-267.. | |
| | 三峠・京都西山断層帯 | 第1トレチ 壁面1-W | 植村善博・岡田篤正・金田平太郎・川畠大作・竹村恵二・松浦旅人(2000):三峠断層系・殿田断層世木林地区的トレチ調査と最近の活動履歴. 地学雑誌, 109, 73-86.. | 地震調査委員会 長期評価(2005) |
| | 柳ヶ瀬・関ヶ原断層帯 柳ヶ瀬断層 | 殿田断層世木林トレチ | 杉山雄一・栗田泰夫・佃 栄吉・吉岡敏和(1993):1992年柳ヶ瀬断層(椿坂地区)トレチ調査. 活断層研究, 11, p.100-109.. | |
| | 柳ヶ瀬・関ヶ原断層帯(主部／南部) | Bトレチ | 産業技術総合研究所(2011):柳ヶ瀬・関ヶ原断層帯(主部／南部)の活動性および活動履歴調査. 「活断層の補完調査」成果報告書No.H22-3 | |
| | 山形盆地断層帯 | 鍛冶屋断層鍛冶屋地点Bトレチ | 山野井徹(2000):山形自動車道の開設で現れた活断層. 地質学雑誌, 106, XV-XVI. | 地震調査委員会 長期評価(2007) |
| | 山崎断層帯 | 高瀬山地点の断層露頭 | 岡山県(1996):「平成7年度地震調査研究交付金 大原断層に関する調査成果報告書」. 岡山県, 232p. | 地震調査委員会 長期評価(2013) |
| | 山田断層帯 | 大原断層西町A'トレチ | 佃 栄吉・杉山雄一(1989):1985年郷村断層(網野町下岡地区)トレチ調査—日本の活断層発掘調査[29]—. 活断層研究, 6, 72-75.. | 地震調査委員会 長期評価(2004) |
| | 山田断層帯(主部) | 郷地点トレチ | 産業技術総合研究所(2011):山田断層帯(主部)の活動性および活動履歴調査. 「活断層の補完調査」成果報告書No.H22-4 | |
| | 山田断層帯(主部) | 坂野地点トレチ | 中藤地点断層(主部)の活動性および活動履歴調査. 「活断層の補完調査」成果報告書No.H22-4 | |
| | 横手盆地東縁断層帯 | 中藤地点断層露頭 | 千屋断層研究グループ(1986a):千屋断層(秋田県)の完新世の活動と断層先端部の形態—千畳小森での発掘調査. 地震研究所彙報, 61, 339-402.. | 地震調査委員会 長期評価(2005) |
| | 横手盆地東縁断層帯 | 小森地点 Kトレチ | 千屋断層研究グループ(1986a):千屋断層(秋田県)の完新世の活動と断層先端部の形態—千畳小森での発掘調査. 地震研究所彙報, 61, 339-402.. | 地震調査委員会 長期評価(2005) |
| | 六甲・淡路島断層帯 | 小森地点 Zトレチ | Maruyama T. and Lin, A. (2000):Tectonic history of the Rokko active fault zone (southwest Japan) as inferred from cumulative of stream channels and basement rocks . Tectonophysics, 323, 197-216.. | 地震調査委員会 長期評価(2005) |
| | 六甲・淡路島断層帯 | 五助橋断層逆瀬川上流地点でのトレチ | 粟田泰夫・角井昭昭(1996a):淡路島北部、楠本・東浦・野田尾断層のトレチ掘削等による活動履歴調査. 地質調査所研究資料集, No. 228, 138p.. | 地震調査委員会 長期評価(2005) |
| | 六甲・淡路島断層帯 | 東浦断層馬場地点第4-4トレチ | 粟田泰夫・鈴木康弘 (1996a):淡路島北部、野島・小倉断層のトレチ掘削等による活動履歴調査. 地質調査所研究資料集, No. 225, 248p.. | 地震調査委員会 長期評価(2005) |
| | 六甲・淡路島断層帯 | 野島断層梨本地点第1トレチ | 鈴木康弘・渡辺満久・吾妻 崇・岡田篤正(1996):六甲・淡路島活断層系と1995年兵庫県南部地震の地震断層—変動地形学的・古地震学的研究と課題—. 地理学評論, 69A, 7, p.469-482.. | |
| | 六甲・淡路島断層帯 野島断層 | 第2次トレチ | 井上大榮・宮腰勝義・上田圭一・宮脇明子・松浦一樹(2002):2000年鳥取県西部地震震源域の活断層調査. 地震 第2輯, 54, 4, p.557-573.. | |
| | 2000年鳥取県西部地震震源域 | 久住リニアメント沿いの断層露頭Loc.7 | 井上大榮・宮腰勝義・上田圭一・宮脇明子・松浦一樹(2002):2000年鳥取県西部地震震源域の活断層調査. 地震 第2輯, 54, 4, p.557-573.. | |
| | 2000年鳥取県西部地震震源域 | Loc.7裏のトレチ | 伏島祐一郎・井村隆介・森野道夫・杉山雄一・水野清秀(2002):2000年鳥取県西部地震断層のトレチ掘削調査. 活断層・古地震研究報告, No.2(2002年), p.183-208.. | |
| | 2000年鳥取県西部地震断層 | P2-2 | 深沢 浩(1989):出羽山地内部、由利町前郷付近で見出した活断層露頭. 活断層研究, 6, p.18-22.. | |
| | — | 由利町前郷付近断層露頭 | 尾崎正紀(1989):北九州市西部の最終間氷期堆積物を切る断層露頭. 活断層研究, 7, p.99-104.. | |
| | — | 地点2 | 尾崎正紀(1989):北九州市西部の最終間氷期堆積物を切る断層露頭. 活断層研究, 7, p.99-104.. | |
| | — | 地点3 | 尾崎正紀(1989):北九州市西部の最終間氷期堆積物を切る断層露頭. 活断層研究, 7, p.99-104.. | |
| B | 石狩低地東縁断層帯 | フモンケ川沿いトレチ | 北海道(2001):「石狩低地東縁断層帯 活断層図とその解説」. 北海道活断層図No. 3, 157p. | 地震調査委員会 長期評価(2010) |
| | 木津川断層帯 | 東高倉トレチ | 苅谷愛彦・伏島祐一郎・宮地良典・水野清秀・寒川 旭・佐竹健治・井村隆介・奥村晃史・柳田 誠・佐藤 賢(1999):嘉永・安政伊賀地震の震源断層としての木津川断層系—上野市東高倉におけるトレチ掘削調査から—. 歴史地震, 15, p.163-170.. | |
| | 鈴鹿東縁断層帯 | 青川上地点におけるトレチ | 三重県(2003):「平成14年度地震関係基礎調査交付金 鈴鹿東縁断層帯に関する調査 成果報告書」. I-1-I-III-12.. | 地震調査委員会 長期評価(2005) |
| | 鳥取県西部 日南湖リニアメント | 呼子西方地点 | 杉山雄一・宮下由香里・伏島祐一郎・小林健太・家村克敏・宮脇明子・新谷加代(2004):鳥取県西部、日南湖リニアメント上のトレチ調査. 活断層・古地震研究報告, No.4(2004年), p.193-207.. | |
| | 長尾断層帯 | 氷上宮下地点の東トレチ | 杉山雄一・寒川 旭・田村栄治・露口耕治・藤川 聰・長谷川修一・伊藤 孝・興津昌宏(2001):長尾断層(香川県高松市南方)の活動履歴—三木町氷上宮下におけるトレチ調査結果—. 活断層・古地震研究報告, No. 1, 175-198.. 産業技術総合研究所地質調査総合センター. | 地震調査委員会 長期評価(2003) |
| | 布引山地東縁断層帯 | 笛川地区での露頭剥ぎ | 三重県(2001):「平成12年度地震関係基礎調査交付金 布引山地東縁断層帯に関する調査」. 成果報告書, I-1-1-I-III-3-1.. | 地震調査委員会 長期評価(2004) |
| | 屏風山・恵那山断層帯及び猿投山断層帯 | 恵那山-猿投山北断層帯(猿投山北断層) 東白坂地点トレチ | 愛知県建築部・玉野総合コンサルタント(株)(1997):「平成8年度 濑戸市南東部開発事業地質調査報告書(2) 第2編 断層調査」. 60p. | 地震調査委員会 長期評価(2004) |
| | 水繩断層系 宮園断層 | 宮園トレチ | 千田 昇・松田時彦・磯 望・下山正一・鈴木貞臣・茂木 透・松村一良・岡村 真・杉山雄一・松山尚典・黒木瑞昭・田中武徳(1998):水繩断層系・宮園断層のトレチ調査報告. 活断層研究, 17, p.141-150.. | |
| | 2008年岩手・宮城内陸地震に伴う地震断層 | 餅軒Bトレチ | 丸山 正・遠田晋次・吉見雅行・小俣雅志・郡谷順英・梶谷忠司・岩崎孝明・石川 玲・山崎 誠(2009):2008年岩手・宮城内陸地震に伴う地震断層のトレチ掘削調査. 活断層・古地震研究報告, No.9(2009年), p.19-54.. | |
| | 2008年岩手・宮城内陸地震に伴う地震断層 | 枳木立トレチ | 丸山 正・遠田晋次・吉見雅行・小俣雅志・郡谷順英・梶谷忠司・岩崎孝明・石川 玲・山崎 誠(2009):2008年岩手・宮城内陸地震に伴う地震断層のトレチ掘削調査. 活断層・古地震研究報告, No.9(2009年), p.19-54.. | |
| C | 阿寺断層帯(佐見断層帯) | 小野Bトレチ | 産業技術総合研究所(2012):阿寺断層帯(佐見断層帯)の活動性および活動履歴調査. 「活断層の補完調査」成果報告書No.H23-3 | |
| | 岩国断層帯 | 廿木トレチ | 原子力発電技術機構(1997):平成8年度原子力発電立地確認調査に関する報告書(2). 238p. | 地震調査委員会 長期評価(2004) |
| | 鈴鹿東縁断層帯 石榑北山断層 | 断層露頭B | 東郷正美・岡田篤正(1989):鈴鹿山地東麓・大安町付近における一志断層系の性状. 活断層研究, 7, p.71-81.. | |
| | 鳥取県西部 大谷リニアメント | 大谷地点 | 杉山雄一・宮下由香里・小林健太・佐藤 賢・宮脇明子・宮脇理一郎(2005):鳥取県西部、小町—大谷リニアメント系のトレチ調査. 活断層・古地震研究報告, No.5(2005年), p.115-138.. | |
| | 砺波平野断層帯・吳羽山断層帯(砺波平野断層帯西部) | 高岡市上向田地区 | 産業技術総合研究所(2012):砺波平野断層帯・吳羽山断層帯(砺波平野断層帯西部)の活動性および活動履歴調査. 「活断層の補完調査」成果報告書No.H23-1 | |
| | 双葉断層 | 柘窪南トレチ | 福島県(1999):「平成10年度地震関係基礎調査交付金 双葉断層に関する調査成果報告書」. 109p. | 地震調査委員会 長期評価(2005) |
| | 山田断層帯 仲禪寺断層 | 矢田地区トレチ | 杉山雄一・佃 栄吉(1993):1985年北丹後活断層系・仲禪寺断層(矢田地区)トレチ調査. 活断層研究, 11, p.16-21.. | |
| | — | 地点1 | 尾崎正紀(1989):北九州市西部の最終間氷期堆積物を切る断層露頭. 活断層研究, 7, p.99-104.. | |
| | — | 断層露頭 | 中村洋介・水野清秀(2012):福岡県宗像市池田において発見された活断層露頭. 地学雑誌, 121(6), p.1052-1062.. | |

【② 模型実験(上田・谷(1999)等)】

第4回評価会合(H26.12.26)資料
「志賀・現調5-2」より抜粋

- 模型実験の結果によれば、未固結な砂からなる堆積物においては、断層変位量が小さい初期の段階で底盤の断層からせん断層が認められる結果となっている。
- 旧A・Bトレーナーの岩盤を覆う砂礫Ⅱ層が、基質支持の粗粒砂からなる堆積物であることを考慮すると、岩盤上面の段差が断層変位であれば同層中にせん断層が認められるものと考えられる。

■上田・谷(1999)は、未固結な砂層を対象とし、岩盤に断層変位を与えた場合の断層変位の出現の仕方(形状、地表の出現位置、範囲)を解明するために模型実験を行った。

■実験では、岩盤の断層の断層型、断層傾斜角、断層変位量、地盤材料の粒度、層厚の違いがどのような影響を与えるかについて検討している。

■実験結果

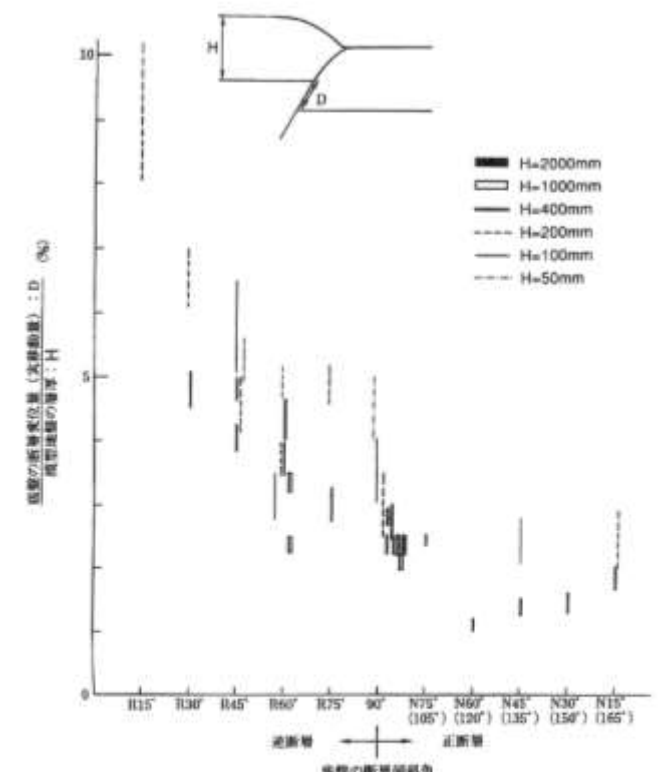
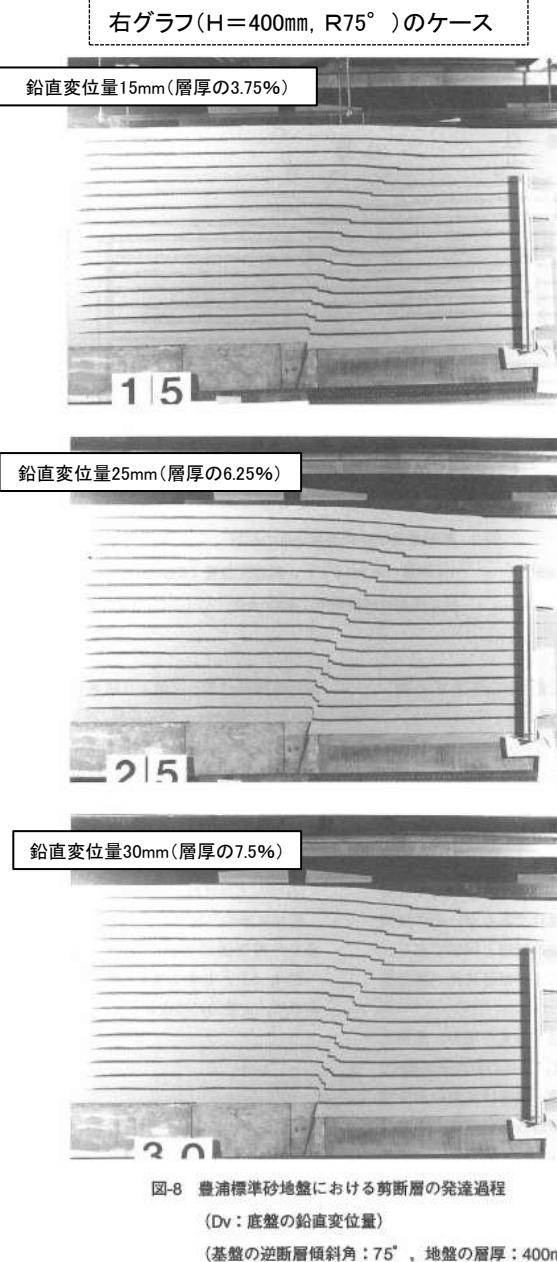


図-17 豊浦標準砂地盤におけるD/Hの地盤層厚による変化
D: 剪断層が最初に地盤表面に到達した時の底盤の断層変位量
H: 横盤地盤の層厚

- ・上田・谷(1999)は、底盤の断層変位量が小さい初期の段階では、模型地盤内のマーカー及び地盤表面がゆるやかに曲がり傾斜する連続的変形が観察されると共に、底盤の断層から模型地盤下部へ伸びるせん断層がマーカーのずれ変位により認められ、その後せん断層は地盤表面に向かって成長するとしている。
- ・なお、断層傾斜角75°(旧トレーナーのS-1の傾斜角に類似)のケースにおいては、層厚の約3~5%の変位量でせん断層が地盤表面まで到達している。

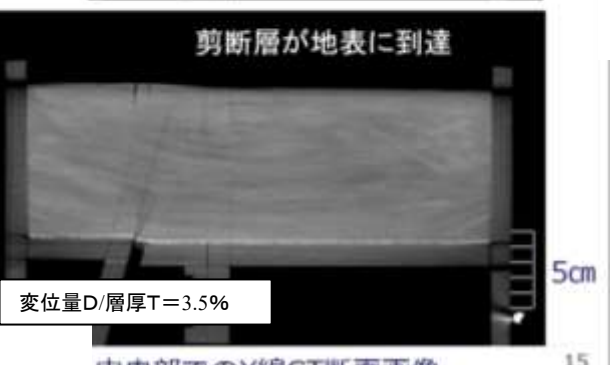
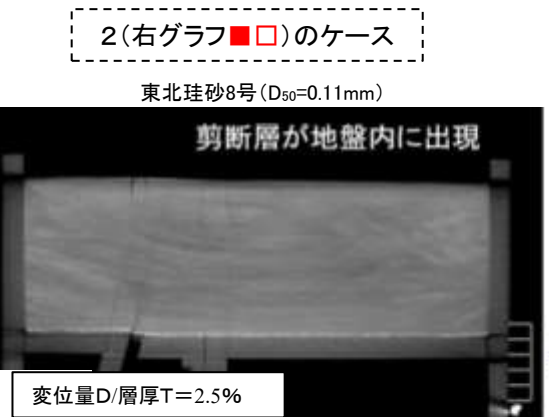
■電力中央研究所より、岩盤に断層変位を与えた場合の断層変位の出現の仕方について実験データの提供を受けた。

■実験では、粒径、層厚が異なる試料ごとに締固めの違いがどのような影響を与えるかについて定性的に検討している。

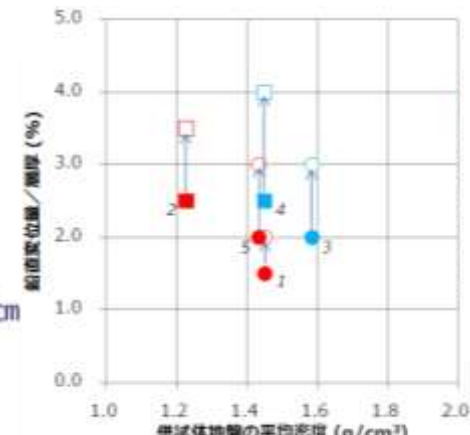
■実験条件

- ・試料: 東北珪砂8号($D_{50}=0.11\text{mm}$)、豊浦標準砂7号($D_{50}=0.17\text{mm}$)
- ・厚さ: 10cm, 5cm
- ・断層変位: 0.1mm/秒で0.5mmもしくは1mm毎に小刻みに与え、その都度CT撮影
- ・断層傾斜角: 75°

■実験結果



※岩盤の断層の上方延長上に映る線は偽像である。



- <添数字>
- 実験番号
- <試料の中央粒径>
- 赤: $D_{50}=0.11\text{mm}$ (東北珪砂8号)
- 青: $D_{50}=0.17\text{mm}$ (豊浦標準砂7号)
- <供試体地盤の厚さ>
- 実験番号1~4: 10cm
- 実験番号5: 5cm
- <締固め>
- 丸: 有り
- 四角: 無し
- <変位量/層厚(%)>
- 塗りつぶし: 剪断層が地盤内に発生
- 白抜き: 剪断層が地表に到達

・層厚の2~4%程度の変位量でせん断層が地表まで認められた。

【③数値シミュレーション(Ando(2013)に基づく計算)】

第4回評価会合(H26.12.26)資料
「志賀・現調5-2」より抜粋

- 旧Bトレンチ北西壁のスケッチに基づき安山岩と砂礫I・II層をモデル化し、Ando(2013)の手法により変位シミュレーションを行い、砂礫I・II層に発生するせん断構造の出現形態を検討した。
- その結果、旧Bトレンチ北西壁の砂礫層中において、断層直上から地表まで達するせん断帯が形成されるとの結果を得た(次頁)。

■検討内容

- ・旧Bトレンチ北西壁のスケッチに基づき安山岩と砂礫I・II層をモデル化し、Ando(2013)の手法により変位シミュレーションを行い、砂礫I・II層に発生するせん断構造の出現形態を求める。

■Ando(2013)の手法

- ・岩盤を剛体、未固結の上載層をビンガム流体と仮定し、差分法の一種であるCIP(Constrained Interpolation Profile)法を用いて、岩盤の断層運動により生じる上載層の変形を計算する。ダイレイタンシー(砂層が変形する際に体積が変化する現象)については、内部摩擦角の変化として考慮する。

■計算条件

砂礫I・II層の物性値

| | 密度(g/cm ³) | 粘着力(N/mm ²) | 内部摩擦角(°)※1 | 備考 |
|------|------------------------|-------------------------|------------|--|
| 物性値A | 1.846 | 0.0017 | 39.1 | 埼玉県鴻巣市のボーリング試料(細粒砂、深度6.07-7.00m)の土質試験より得られた値(吉見・竿本、2006) |
| 物性値B | 1.75 | 0.041 | 13.1 | 原子炉設置位置付近の表土(深度0.5-0.75m)の土質試験より得られた値 |

※1 ダイレイタンシーを考慮した内部摩擦角の増加量は、榎原ほか(2008)の圧密を受けた砂層における値を参考に最大25°とした。

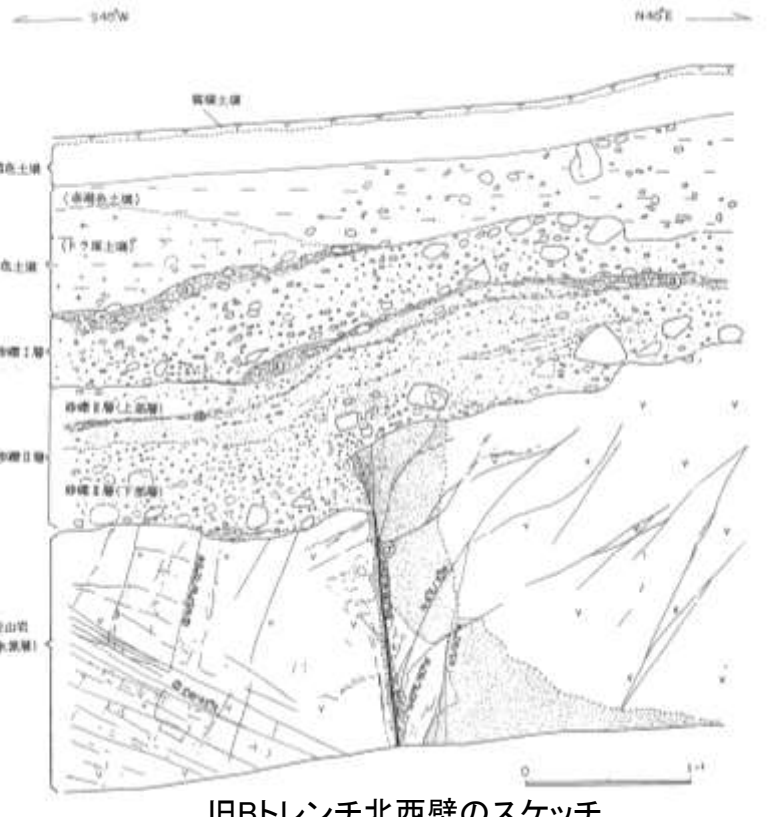
計算ケース

| ケース | 単位変位量(cm) | 最大すべり速度(m/s)※2 | 砂礫I・II層の物性値 |
|-----|-----------|----------------|-------------|
| ① | 35 | 1.0 | 物性値A |
| ② | 35 | 0.5 | 物性値A |
| ③ | 10※3 | 0.5 | 物性値A |
| ④ | 35 | 0.5 | 物性値B |

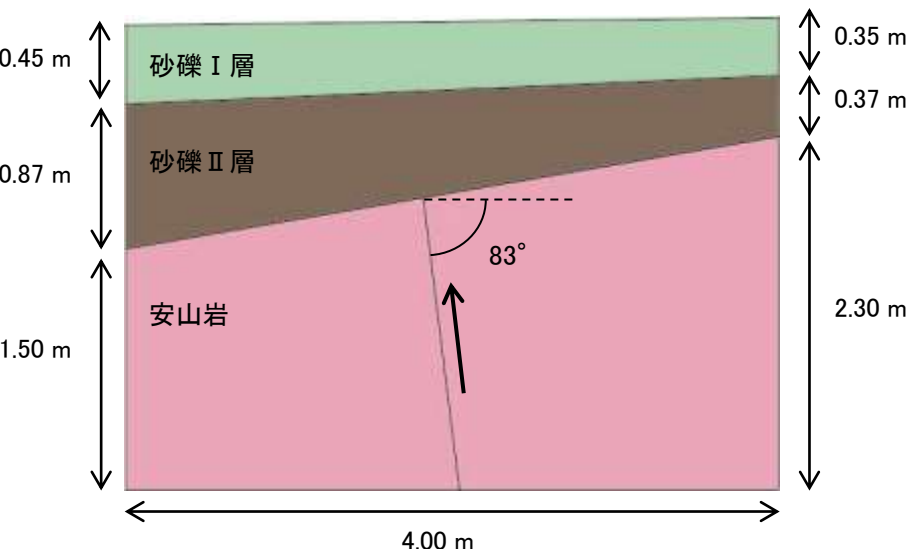
※2 地震時における断層のくい違い速度は0.5~6.3m/sとされている(中田・宮内、1985)

※3 複数回の変位を考慮し、設定した数値

■モデルの設定



旧Bトレンチ北西壁のスケッチ



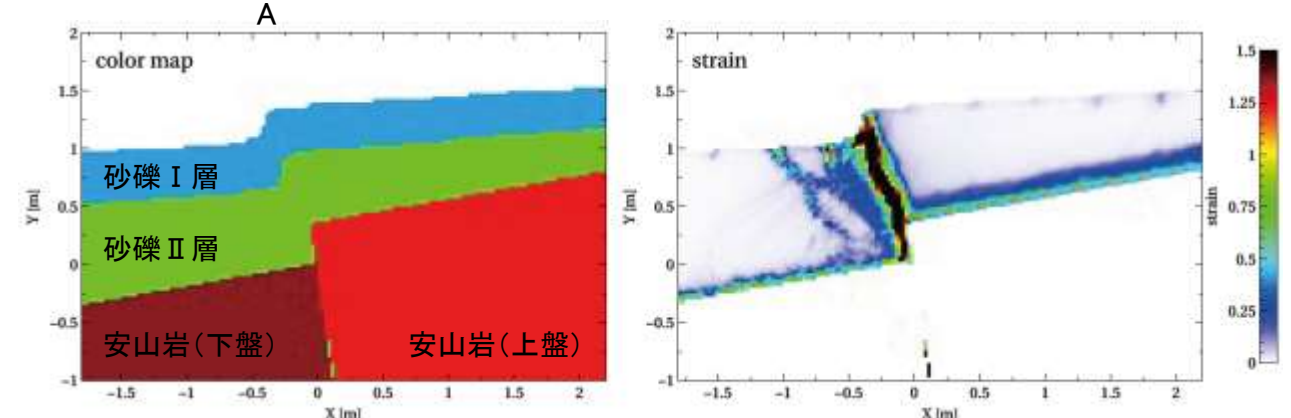
計算に使用するモデル

上図のS-1上盤側を35cm低下させ、地層境界を直線に単純化した

【③数値シミュレーション(Ando(2013)に基づく計算結果)】

第4回評価会合(H26.12.26)資料
「志賀・現調5-2」より抜粋

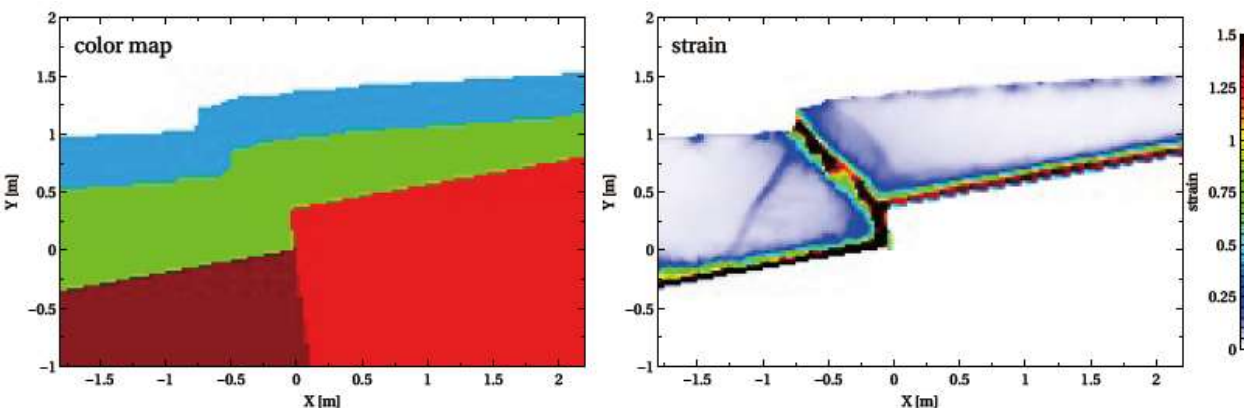
①単位変位量 : 35cm, 最大すべり速度 : 1.0m/s, 物性



変形図

せん断ひずみ分布図

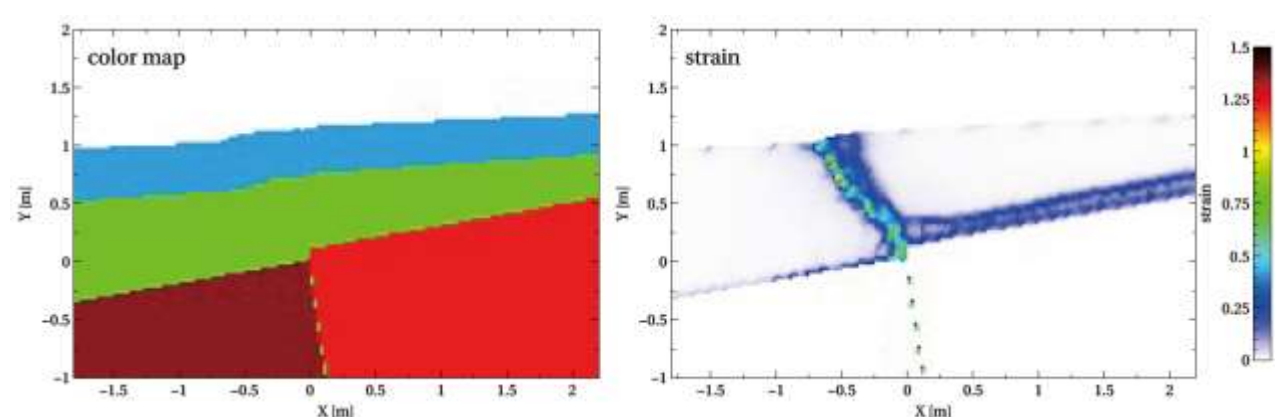
②単位変位量 : 35cm, 最大すべり速度 : 0.5m/s, 物性A



変形図

せん断ひずみ分布図

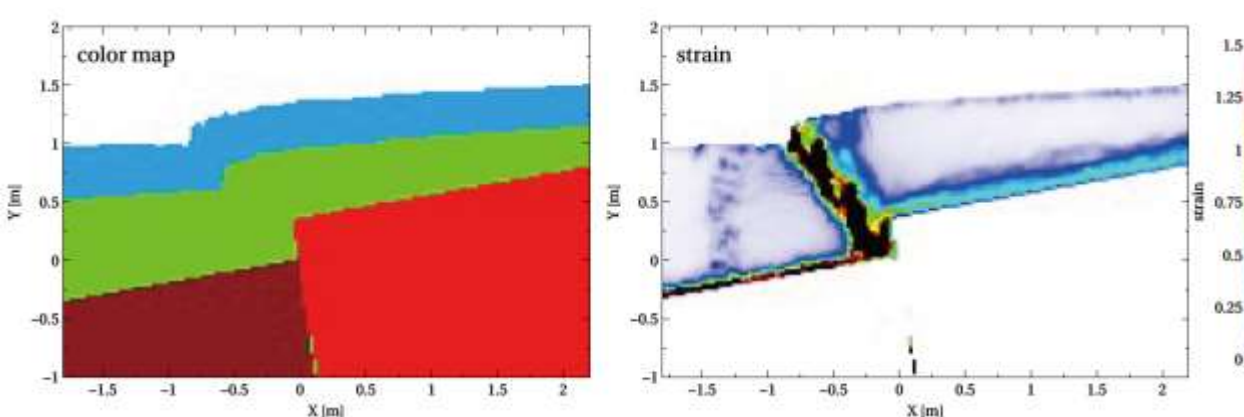
③単位変位量 : 10cm, 最大すべり速度 : 0.5m/s, 物性A



変形図

せん断ひずみ分布図

④単位変位量 : 35cm, 最大すべり速度 : 0.5m/s, 物性B



変形図

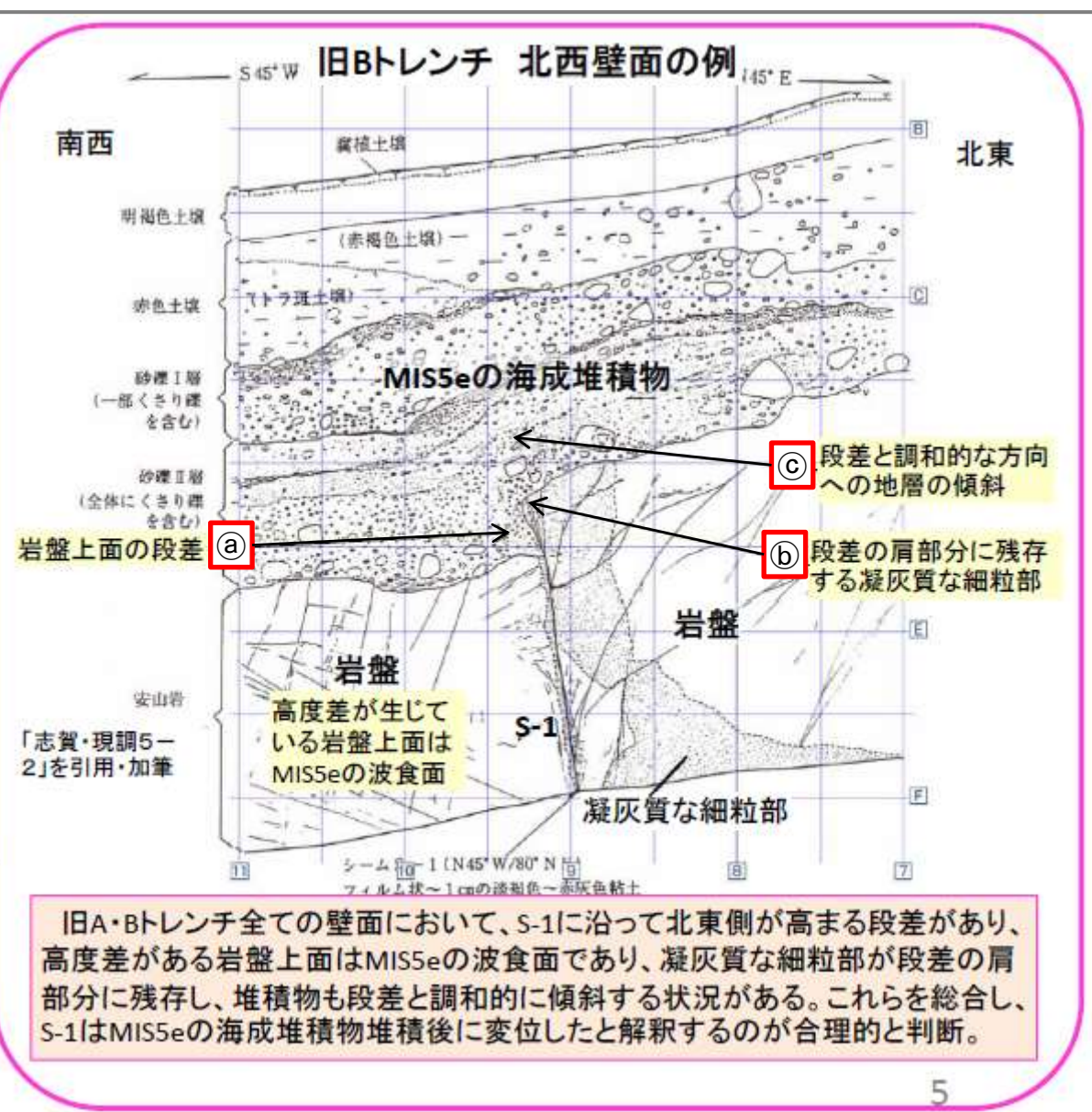
せん断ひずみ分布図

S-1 旧A・Bトレーンチ ー有識者会合以降の追加検討ー

○有識者会合は、旧A・Bトレーンチにおいて、S-1に沿ってMIS5eの波食面である岩盤上面にほぼ一様な段差が認められること(下図①)，その段差沿い及び肩部分の岩盤には軟質な細粒部が認められること(下図②)，堆積物の層理面はすべて南西側(段差と調和的な方向)に傾斜しており、段差直上において層理面の系統的な増傾斜も認められること(下図③)から、S-1はMIS5eの海成堆積物堆積後に変位したと解釈するのが合理的であると評価している。

○この有識者会合の評価について、下記右に示す検討(a)～(c)を行った。

○なお、有識者会合は、旧A・Bトレーンチの岩盤の上位に分布する砂礫I層・II層を「MIS5eの海成堆積物」としているが、礫の平均真円度により海成堆積物と確実に認定することができないことから、陸成堆積物の可能性も考慮して検討を行った。



有識者会合による旧A・Bトレーンチの評価

(「北陸電力株式会社志賀原子力発電所の敷地内破碎帯の評価について(報告)
平成28年4月27日原子力規制庁」に加筆)

有識者会合の評価

① 岩盤上面の段差

- ・旧A・Bトレーンチにおいて、S-1に沿って岩盤上面にほぼ一様な段差が認められる。
- ・岩盤上面はMIS5eの波食面であり、波食面に系統的な段差が認められるることは、岩盤上面がほぼ平坦に削剥された後に、S-1のずれによって段差が生じたことを示唆する。

② 岩盤部の凝灰質な細粒部

- ・段差沿い及び肩部分には軟質な細粒部が分布する。
- ・段差が侵食により形成された場合、S-1の南西側の硬質な安山岩だけが侵食され、軟質と思われる細粒部が肩部分や壁面に残ることは難しいと思われる。

③ 堆積物の変位・変形の有無

- ・上位の堆積物の層理面は全て南西側に傾斜しており、一部の壁面を除けば段差直上において層理面の増傾斜も認められる。
- ・これらの地層の傾斜は、個々には、堆積構造と解釈する余地もあるが、S-1の変位によって形成されたとも解釈できる。

データ拡充・検討内容

(a) 岩盤上面の段差の検討

(建設時のデータによる検討) 今後の課題①に対応
内容: 旧A・Bトレーンチ付近に位置する建設時の掘削面において、岩盤上面の段差の連続性の有無を確認した(P.5.3-2-65～68)。
また、発電所建設前の地形との関係から、旧A・Bトレーンチの岩盤上面の段差の成因について考察を行った(P.5.3-2-69)。

(b) 凝灰質な細粒部の硬さに関する検討

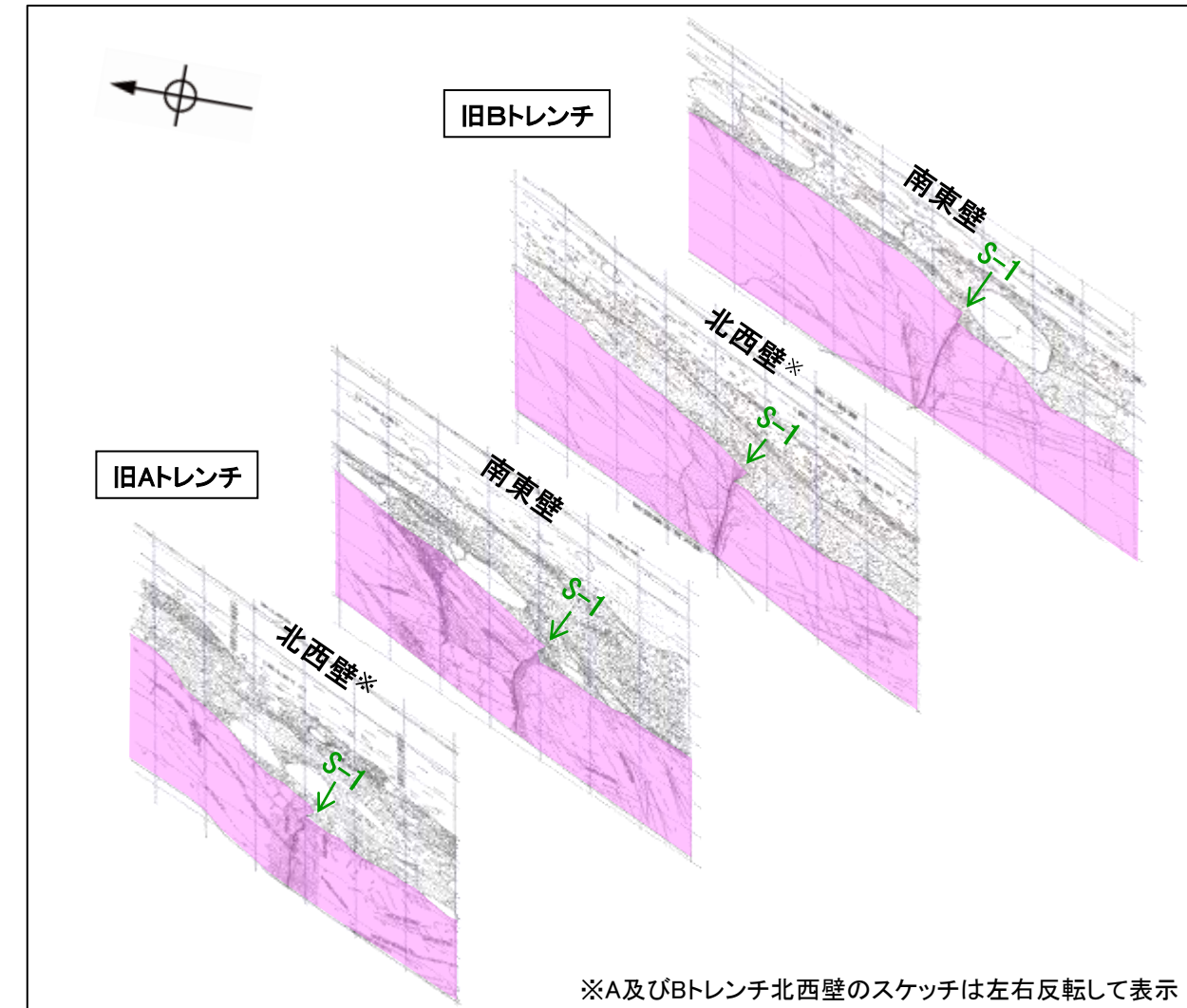
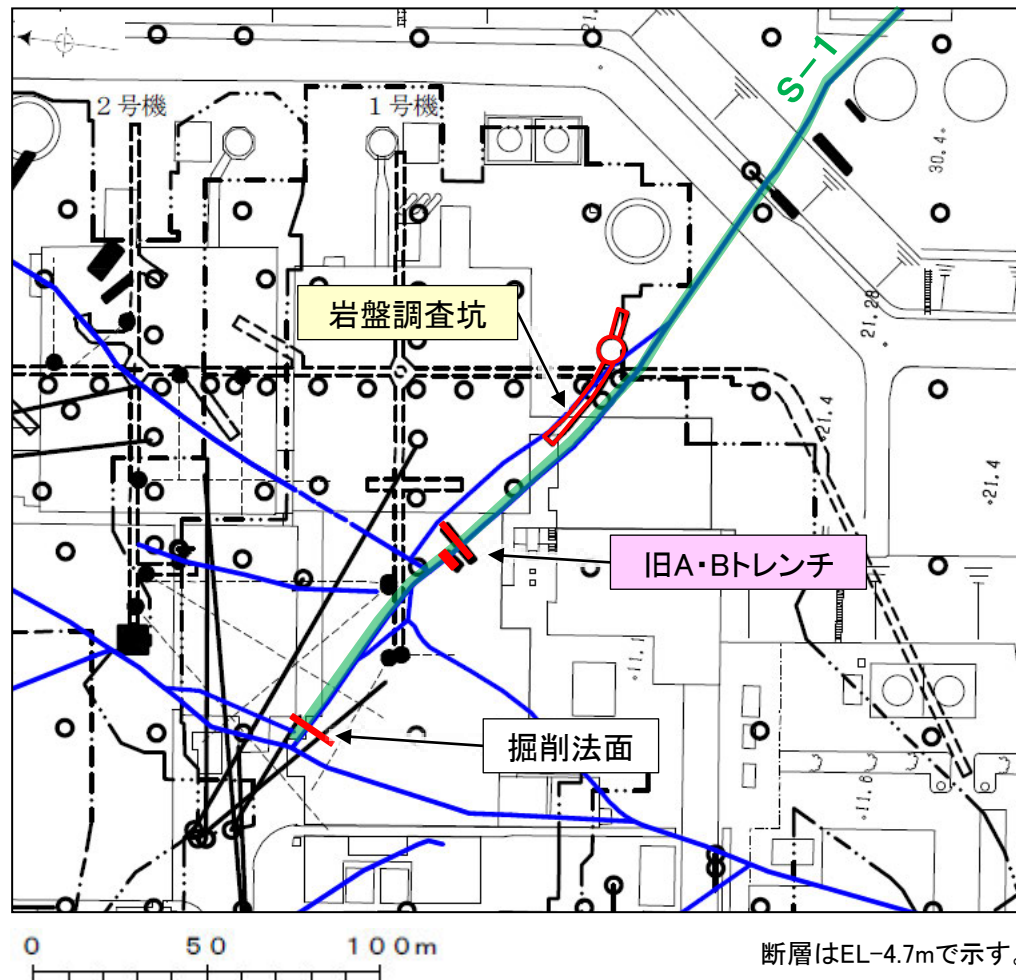
(細粒部の針貫入試験)
内容: 段差の地下延長部にあたる岩盤調査坑において、S-1沿いに分布する凝灰質な細粒部(固結した破碎部)と周辺の母岩(凝灰角礫岩)の硬さを、針貫入試験により比較した(P.5.3-2-70, 71)。

(c) 層理面の傾斜等に関する検討

(堆積実験、断層変位実験)
内容: 段差と調和的な方向への地層の傾斜が、堆積構造か、断層運動によるものか判断するための知見を得るために、旧A・Bトレーンチを模擬した堆積実験・断層変位実験を行った(P.5.3-2-72～74)。

S-1 旧A・Bトレンチ ー(а)岩盤上面の段差の検討(概要)ー

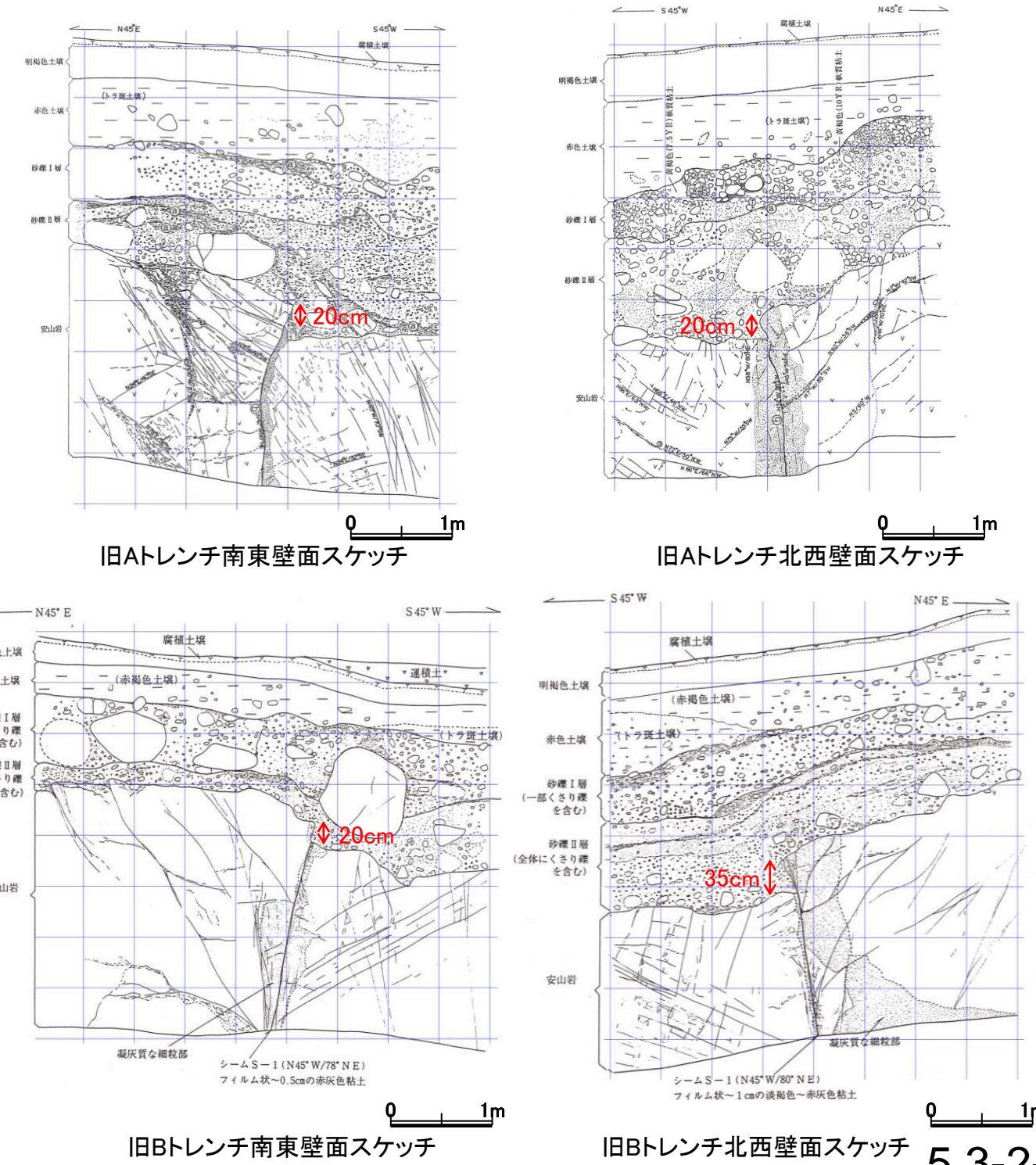
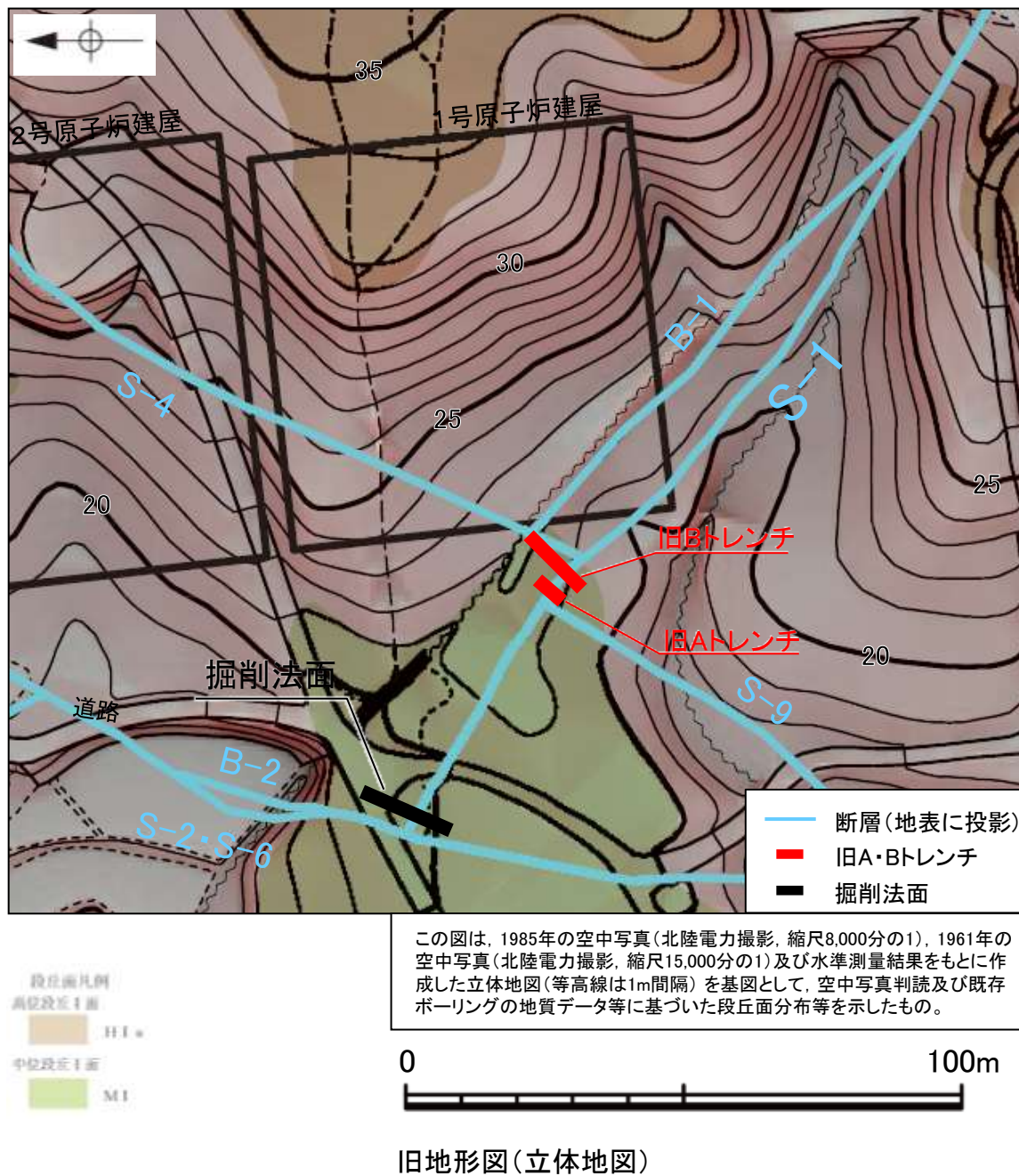
- 有識者会合は、旧A・Bトレンチの4つの全ての壁面において、S-1に沿って岩盤上面にほぼ一様な段差が認められ(右下図)、この岩盤上面はMIS5eの波食面であることから、波食面に系統的な高度差が認められることは、岩盤上面がほぼ平坦に削剥された後に、S-1のずれによって段差が生じたことを示唆すると評価している。
- 有識者会合は、上記評価は限られた資料やデータに基づいて行われていることから、より正確・確実な評価にするために、1号原子炉建屋建設時等におけるS-1とその周囲の形状を示す未提示の写真やスケッチの提示を今後の課題①としている。
- 今後の課題①を踏まえ、仮にS-1のずれにより、MIS5eの波食面に高度差が生じたとした場合、同じ中位段丘Ⅰ面上に位置する建設時の掘削法面にも同程度の高度差を持つ段差が認められるはずであるが、そのような状況が見られるか否かについて検討を行った(P.5.3-2-66～68)。
- また、旧A・Bトレンチの4つの壁面と人工改変前の地形との関係から、段差の成因について考察を行った(P.5.3-2-69)。
- 以上の検討の結果、旧A・Bトレンチの岩盤上面の段差は、河川の侵食作用によりS-1沿いに形成されたものと考えられる。



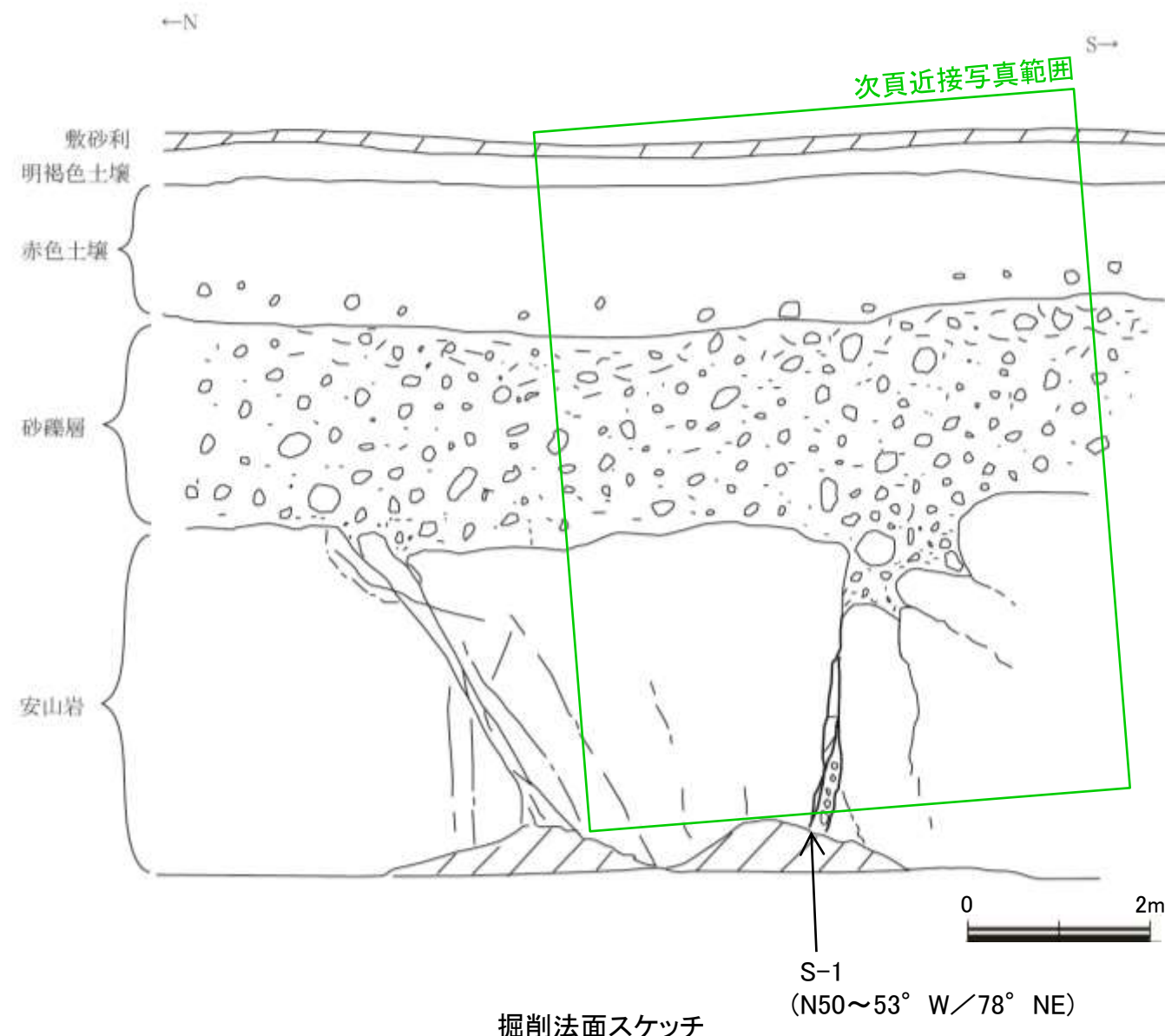
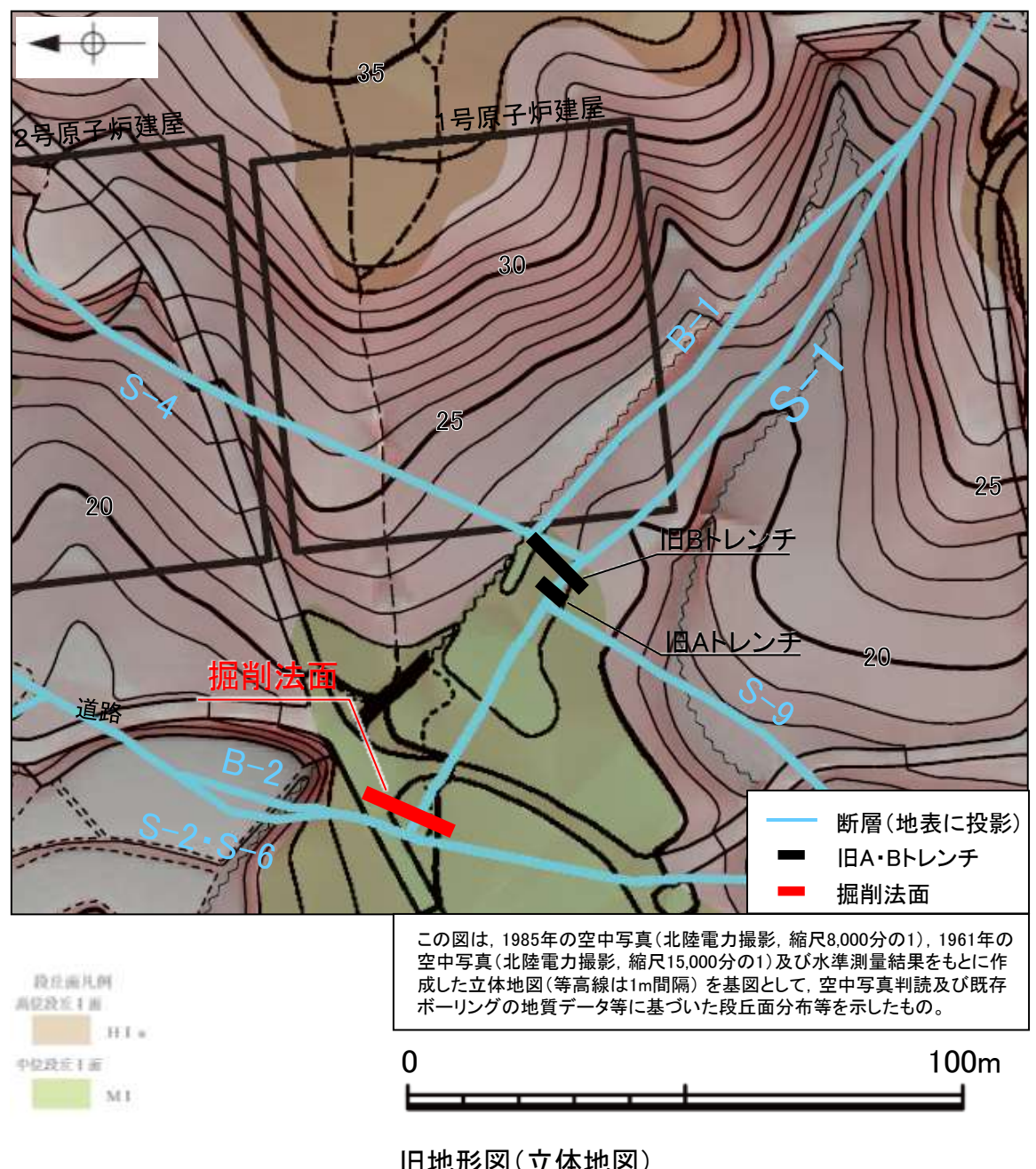
S-1 旧A・Bトレンチ -(a)岩盤上面の段差の検討(掘削法面との比較)

- 旧A・Bトレンチにおいては、岩盤上面がS-1を境にして北東側が南西側に対して見かけ20~35cm高い段差が認められる。
- 仮にS-1のずれにより、MIS5eの波食面に高度差が生じた場合、同じ中位段丘Ⅰ面上に位置する建設時の掘削法面にも同程度の高度差を持つ段差が認められるはずであるが、掘削法面における調査の結果、そのような波食面の高度差は認められない(次頁)。
- このことからも、旧A・Bトレンチの岩盤上面の段差は、後期更新世以降にS-1の変位により形成されたものではないと判断される。

【旧A・Bトレンチ 位置図及びスケッチ】



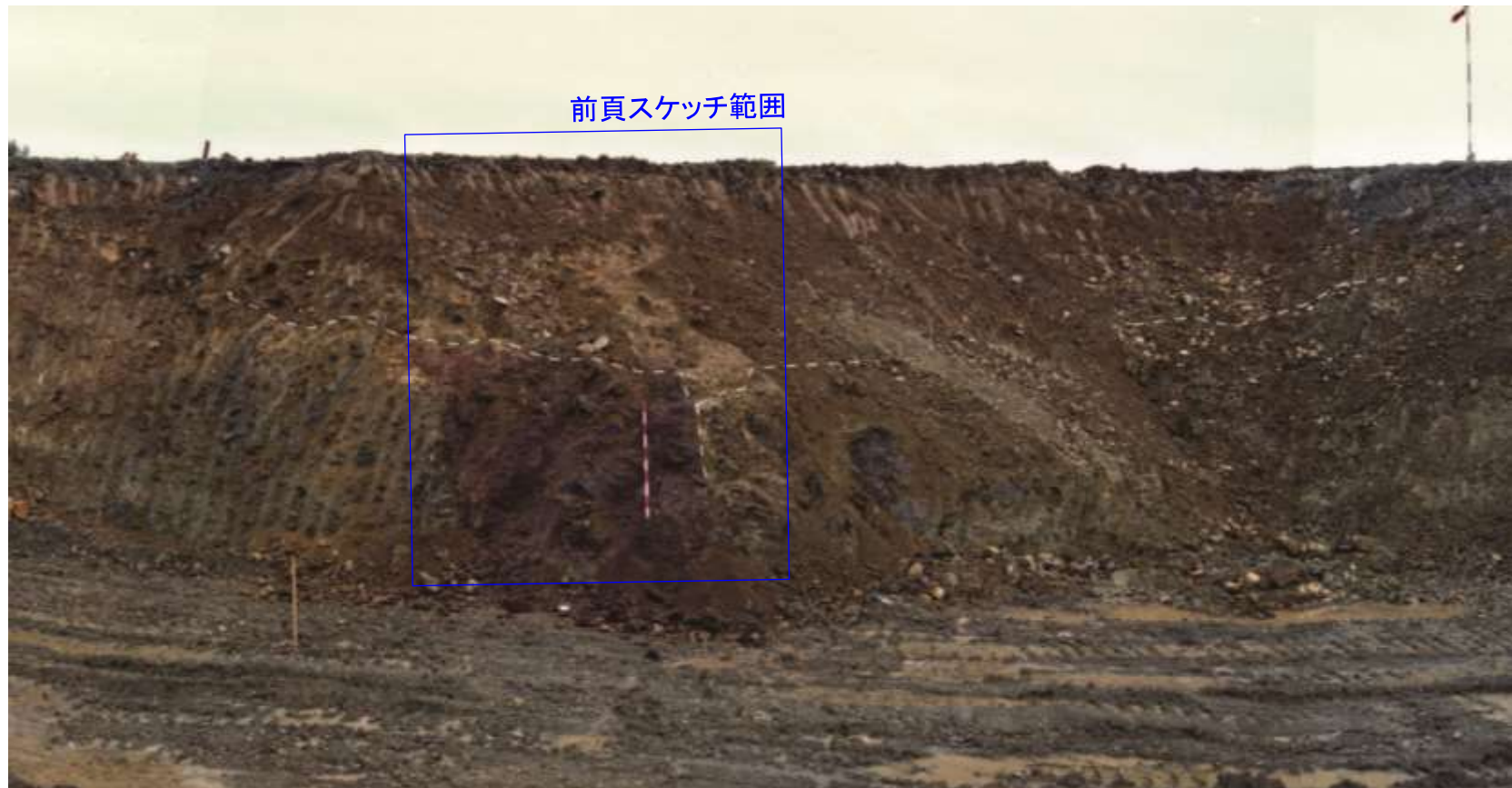
【掘削法面 位置図及びスケッチ】



・S-1沿いに侵食による岩盤の窪みが認められるものの、その窪みを挟んで岩盤上面の高度差は認められない。

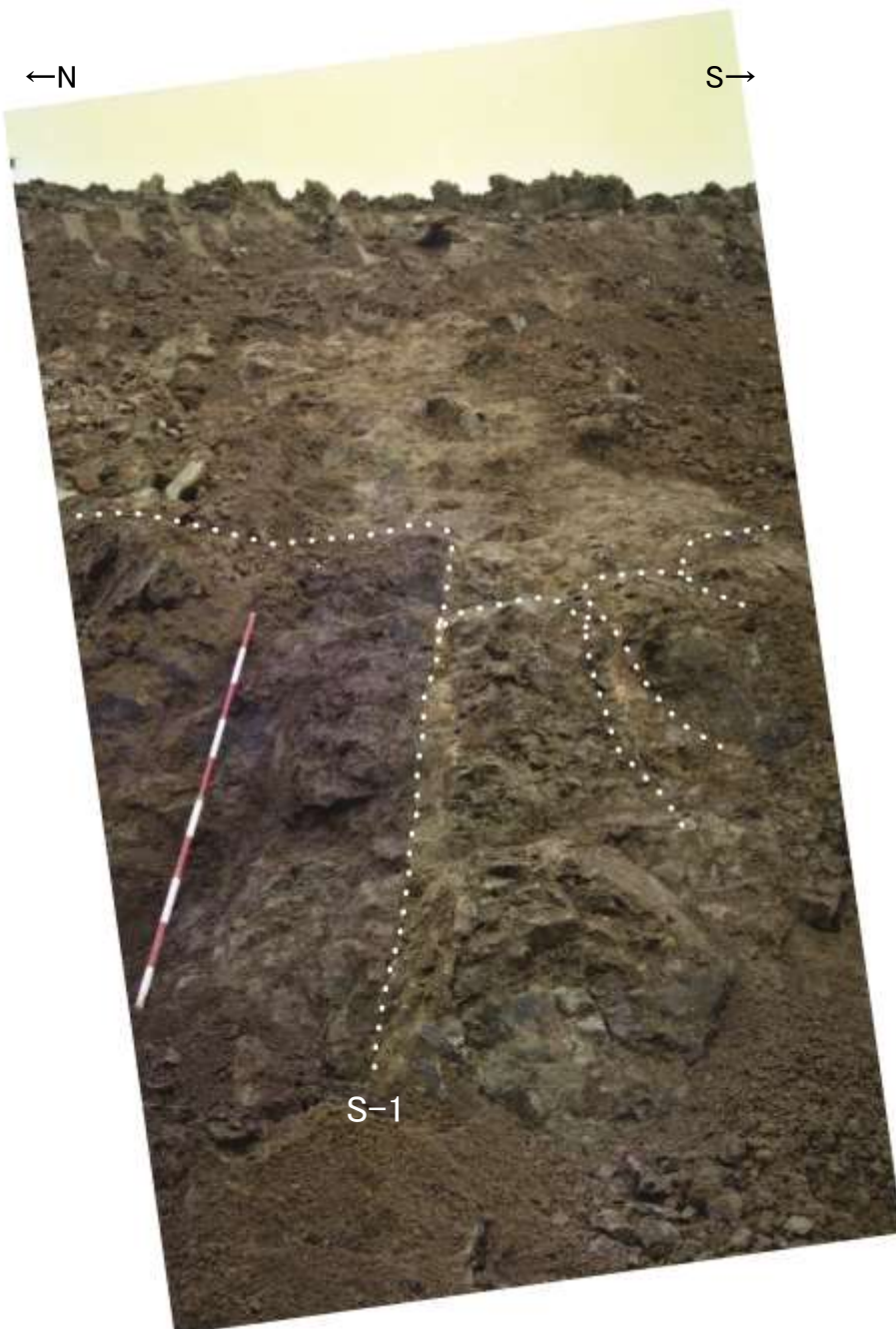
【掘削法面 S-1近接写真】

←N



掘削法面 全景写真
(岩盤上面, S-1を白破線で加筆)

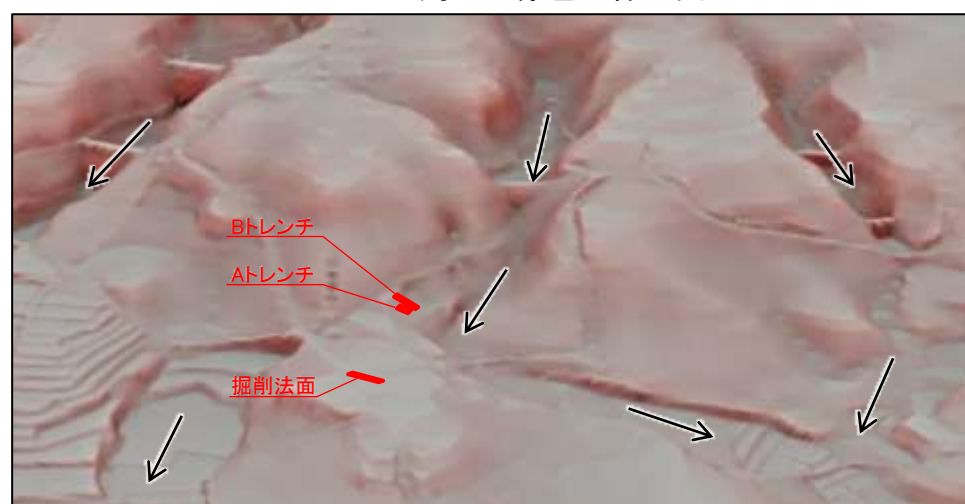
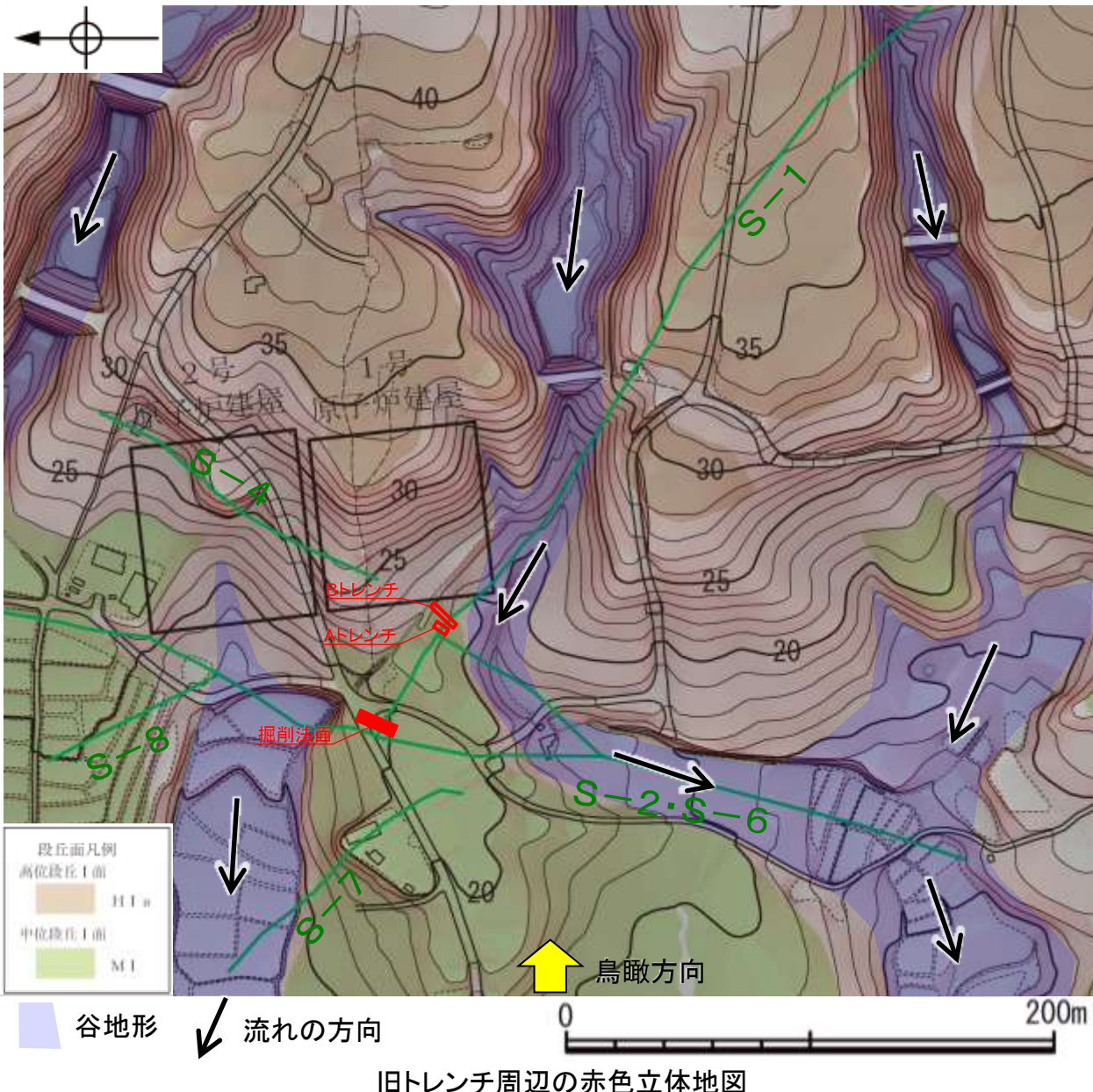
←N



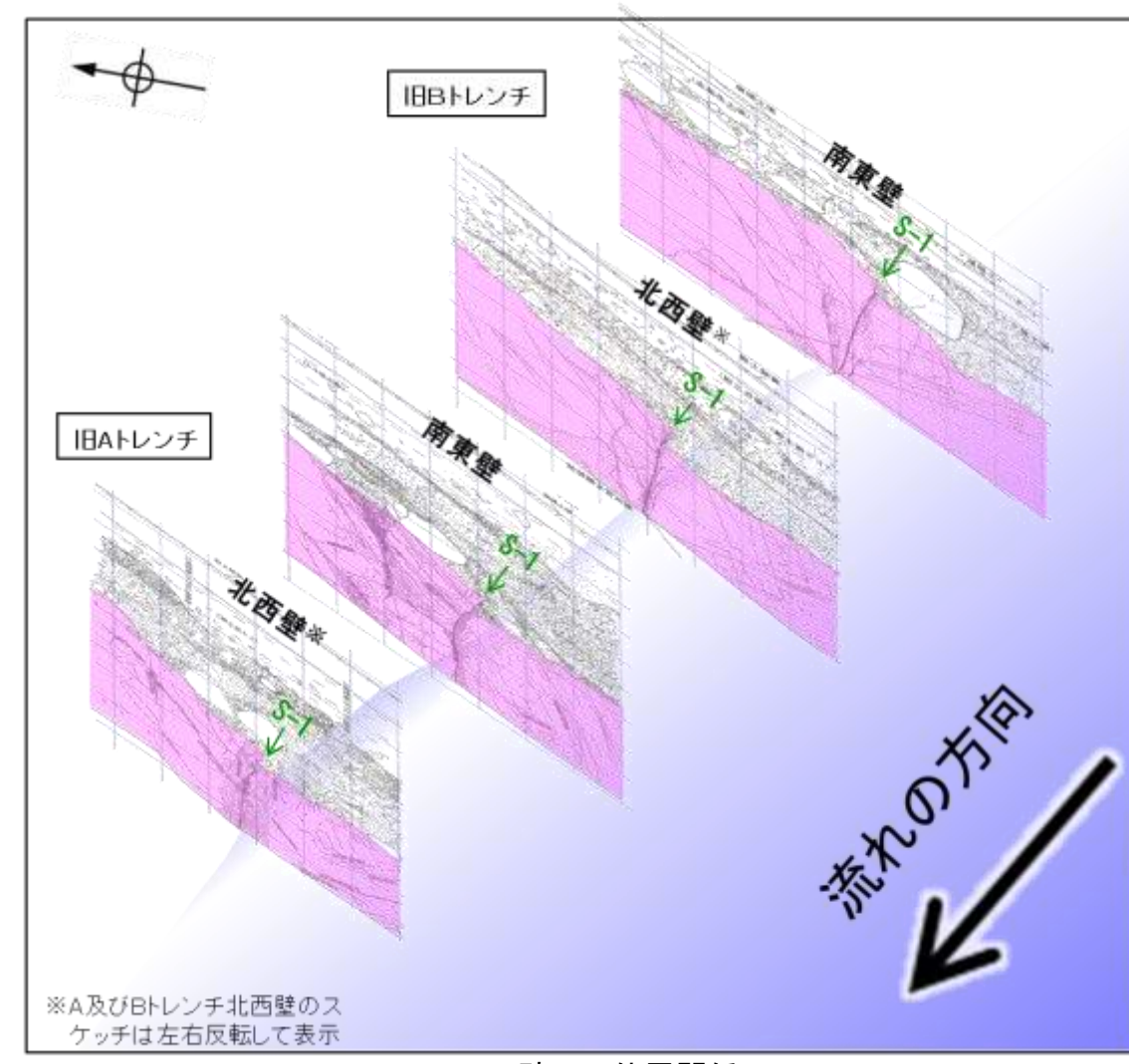
掘削法面 近接写真
(岩盤上面, 割れ目, S-1を白点で加筆)

※全景写真, 拡大写真にある赤白ポールの長さは2m
(赤, 白部分が20cmで交互に色分けされている)

S-1 旧A・Bトレンチ -(a)岩盤上面の段差の検討(段差の成因の考察) -

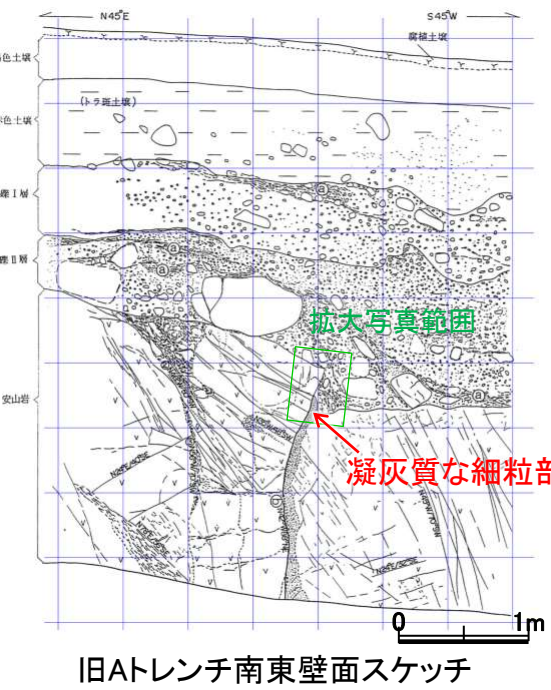


- 旧A・Bトレンチでは岩盤上面に段差が認められたが、掘削法面では岩盤上面に高度差が認められなかったことについて、地形の観点から考察を行った。
- 旧A・Bトレンチは、中位段丘 I 面の縁辺部に位置し、南側には高位段丘 I a面と中位段丘 I 面を開析する谷が近接しているため、同トレンチの南西側は河川の営力を受けやすい位置関係にある。
- それに対して、掘削法面は、中位段丘 I 面上で、河川の営力を受けにくい位置にある。
- このことから、旧A・Bトレンチでは、S-1の割れ目を介して、南西側の一部の岩盤が侵食作用を受け、段差が形成されたものと考えられる。

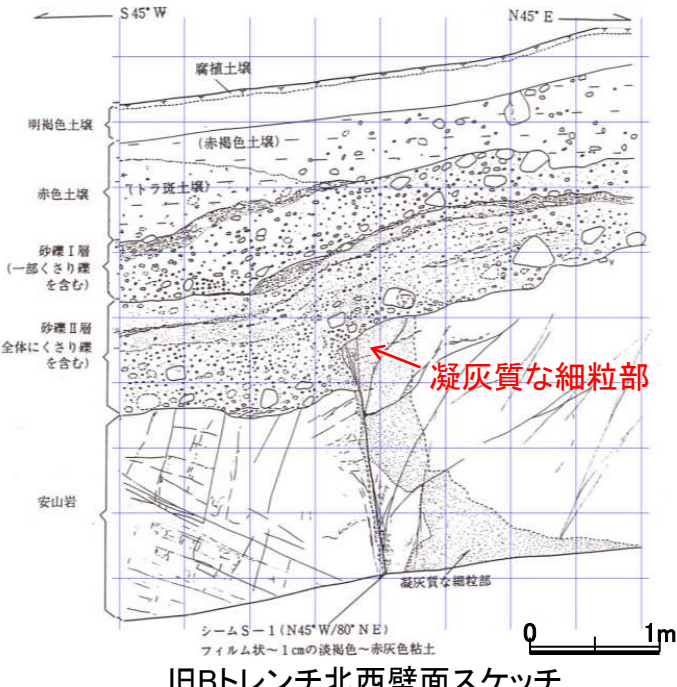
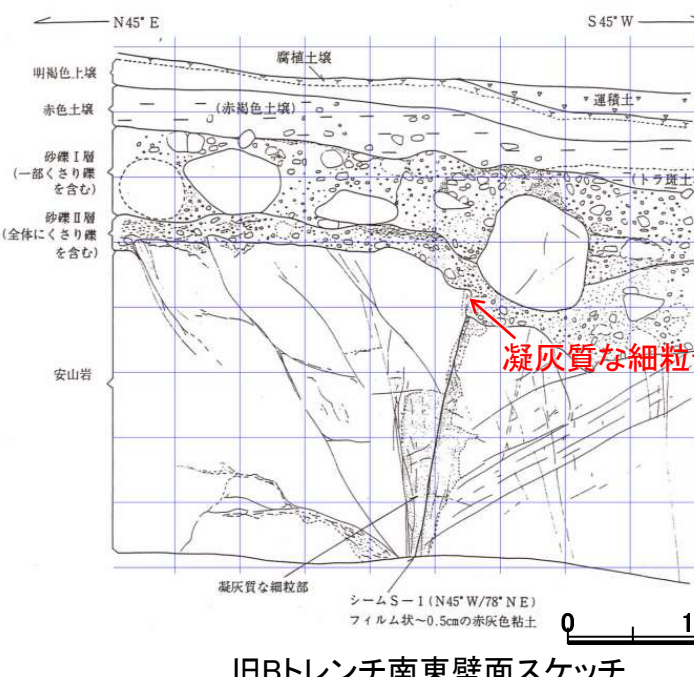


S-1 旧A・Bトレーンチ -(b)凝灰質な細粒部の硬さに関する検討(概要)-

- 有識者会合は、旧A・Bトレーンチにおいて、岩盤上面の段差沿い及び肩部分の岩盤には“軟質な”細粒部が存在することから、S-1沿いの差別侵食ではなく、S-1のずれによって段差が生じたことを示唆すると評価している。
- 当社は、当時のスケッチの記載での「凝灰質な細粒部」は固結した破碎部あるいは細粒凝灰岩であり、周辺母岩と同程度の硬さを有していることから、当該細粒部は、差別侵食により段差が形成された際に、侵食されずに残ったものと評価している。
- この評価を検証するために、旧A・Bトレーンチに近接した位置にある岩盤調査坑において、針貫入試験により、S-1に沿って分布する凝灰質な細粒部の硬度について定量的に測定を行った結果、凝灰質な細粒部は岩盤と同程度の硬度を有している(次頁)。
- したがって、旧A・Bトレーンチの段差の肩部分や壁面に分布する細粒部は、段差部において侵食されずに残ったものと考えられる。



旧Aトレーンチ南東壁面 シーム付近拡大写真
(シーム及び岩盤／堆積物境界を加筆)



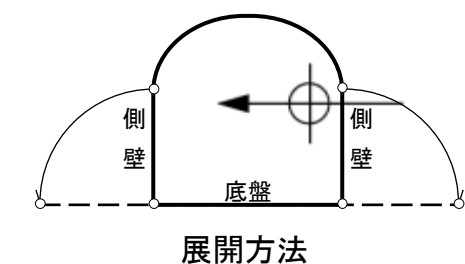
・旧Aトレーンチ南東壁において、S-1に沿って分布する凝灰質な細粒部は、段差の下側のみに存在しており、差別侵食により段差が形成された際に残ったものと考えられる。

S-1 旧A・Bトレーンチ -(b)凝灰質な細粒部の硬さに関する検討(針貫入試験)

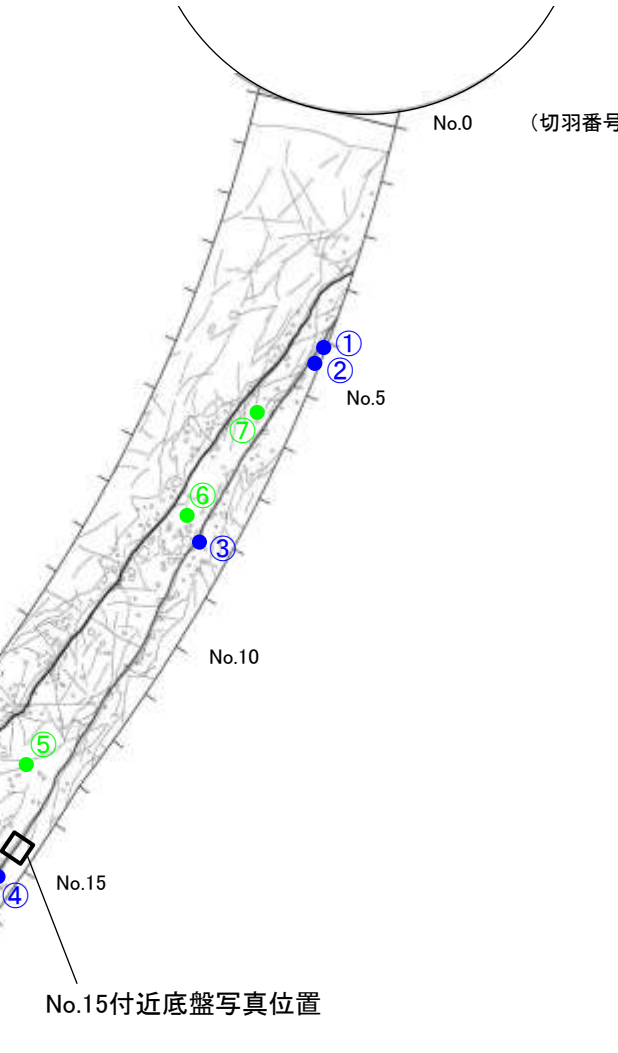
○旧A・Bトレーンチに近接した位置にある岩盤調査坑において、S-1に沿って分布する凝灰質な細粒部の硬度を定量的に測定するために、針貫入試験を行った結果、周辺の凝灰角礫岩と同程度の値を示しており、敷地の別所岳安山岩類の安山岩(角礫質)や凝灰角礫岩と同程度の硬度を有している。



位置図



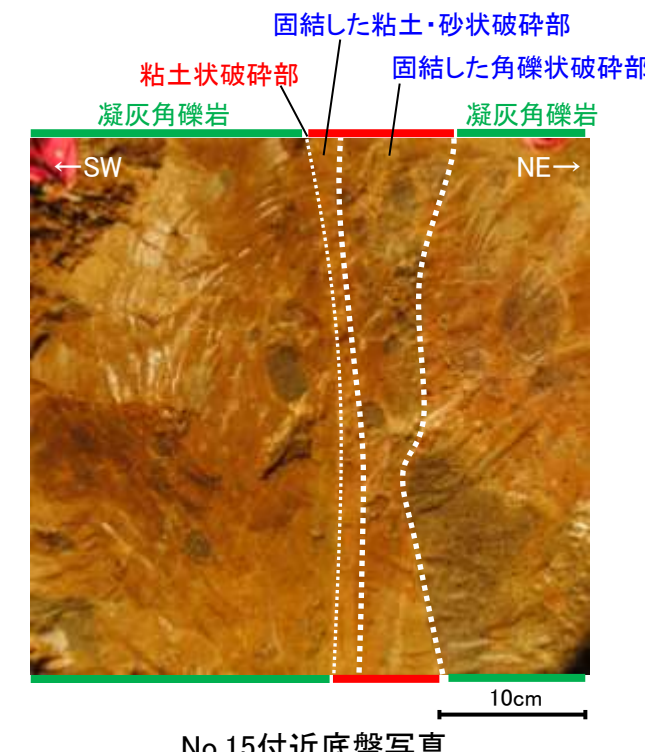
展開方法



No.15付近底盤写真位置

- 凝灰角礫岩の針貫入試験実施位置
- 凝灰質な細粒部(固結した破碎部)の針貫入試験実施位置

岩盤調査坑 針貫入試験実施位置



No.15付近底盤写真

※針貫入勾配からの一軸圧縮強度の換算式(宗村・北村, 2009)

$$y=0.978x+2.621 \text{ (相関係数} 0.914)$$

y:一軸圧縮強度の対数値
x:針貫入勾配($N_p = \text{貫入力}(N)/\text{貫入量}(mm)$)の対数値

針貫入試験結果

凝灰角礫岩

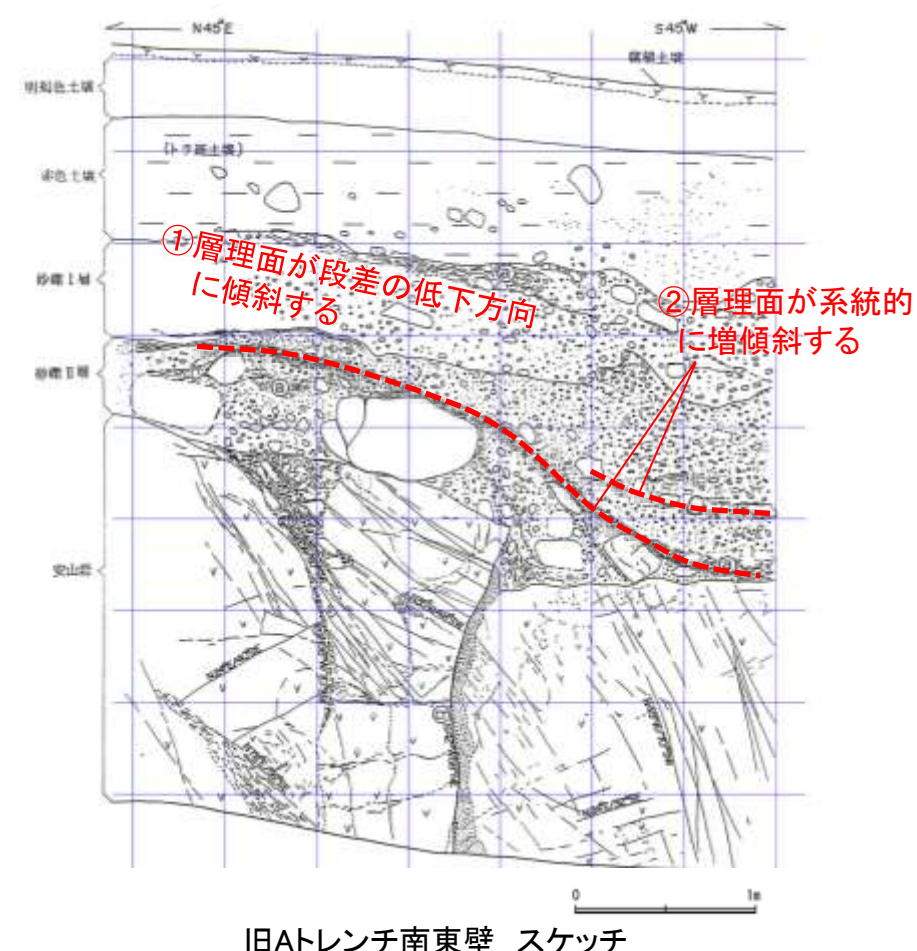
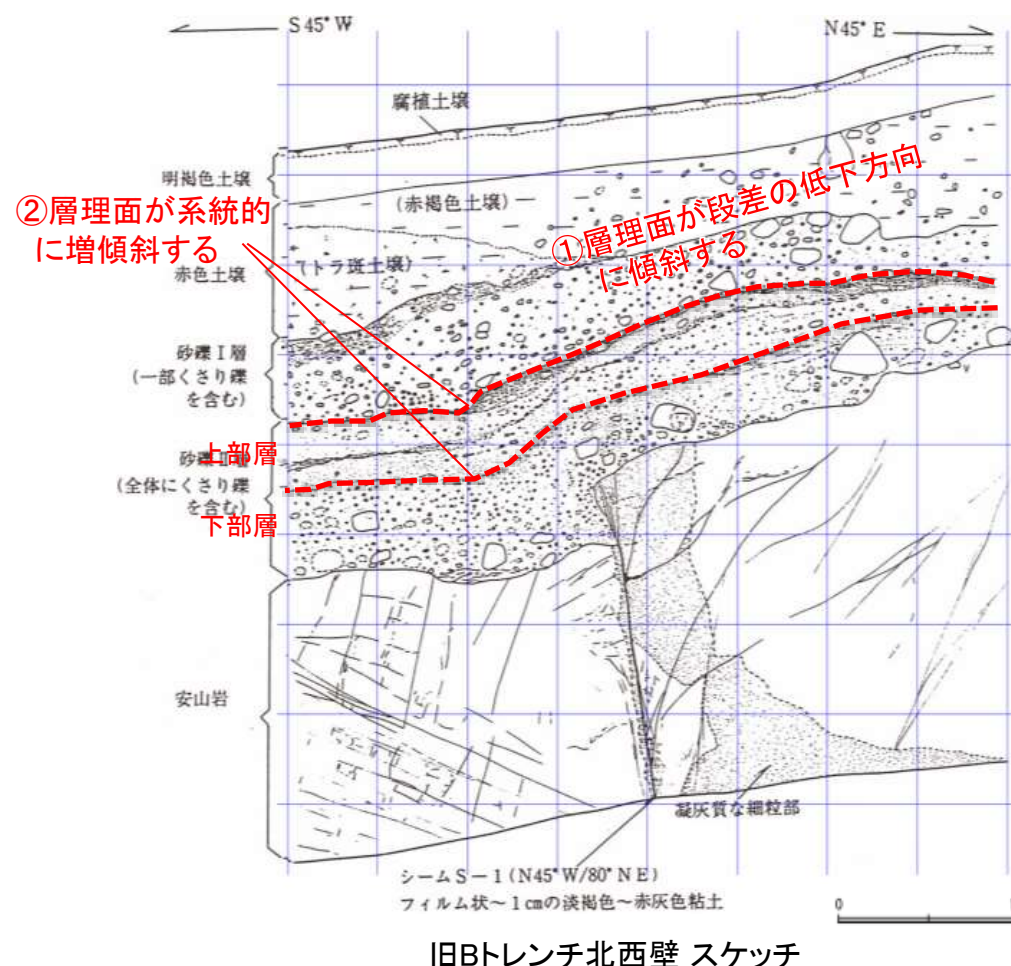
| No. | 貫入長さ L(mm) | 貫入荷重 P(N) | 針貫入勾配 $N_p(P/L)$ | 一軸圧縮強度 (kN/m ²)※ |
|-----|------------|-----------|------------------|------------------------------|
| ① | 5 | 100 | 20.0 | 7824 |
| ② | 3 | 100 | 33.3 | 12894 |
| ③ | 2 | 100 | 50.0 | 19169 |
| ④ | 2 | 100 | 50.0 | 19169 |
| ⑤ | 1 | 100 | 100.0 | 37757 |
| ⑥ | 2 | 100 | 50.0 | 19169 |
| ⑦ | 2 | 100 | 50.0 | 19169 |
| 全平均 | | | 50.48 | 19347 |

凝灰質な細粒部(固結した破碎部)

| No. | 貫入長さ L(mm) | 貫入荷重 P(N) | 針貫入勾配 $N_p(P/L)$ | 一軸圧縮強度 (kN/m ²)※ |
|-----|------------|-----------|------------------|------------------------------|
| ① | 3 | 100 | 33.3 | 12894 |
| ② | 2 | 100 | 50.0 | 19169 |
| ③ | 2 | 100 | 50.0 | 19169 |
| ④ | 2 | 100 | 50.0 | 19169 |
| ⑤ | 3 | 100 | 33.3 | 12894 |
| 全平均 | | | 43.33 | 16665 |

S-1 旧A・Bトレーンチ 一(c)層理面の傾斜等に関する検討(概要)一

- 有識者会合は、旧A・Bトレーンチにおいて、岩盤の上位に分布する堆積物の層理面は、全て南西側(S-1の段差と調和的な方向)に傾斜しており(下図①)、一部の壁面を除けば段差直上において層理面の系統的な増傾斜も認められる(下図②)ことから、この堆積物(砂礫Ⅱ層)の堆積後にS-1が変位したと解釈するのが最も合理的であると評価している。
- 当社は、段差部周辺の砂礫Ⅱ層には断層変位を示唆するようなせん断面や地層の擾乱は認められないことから、上記①②は、既存の段差を砂礫層が埋めるように堆積した堆積構造を示していると評価している。
- この評価を検証するために、既存の段差を陸側(山側)からの堆積物が埋めるケースを模擬した堆積実験(次頁)及び砂礫層が断層変位を受けたケースを模擬した断層変位実験(次々頁)を実施し、旧A・Bトレーンチの堆積物でみられる構造との比較検討を行った。
- 検討の結果、層理面の傾斜等は、S-1の変位により形成されたものではなく、段差を埋める堆積構造であると考えられる。



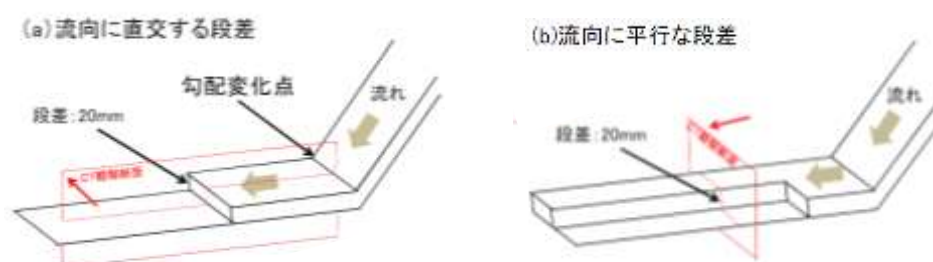
S-1 旧A・Bトレーンチ -(c)層理面の傾斜等に関する検討(堆積実験) -

○旧A・Bトレーンチを模擬して、既存の段差を陸側(山側)からの堆積物(砂礫)が埋める場合の段差付近の砂礫層内部に見られる構造の特徴について確認した。

○実験の結果、旧A・Bトレーンチに見られる砂礫層の構造について、既存の段差を砂礫層が埋積したとする評価を支持する知見が得られた。

実験条件

設置: アクリル製小型水路
基盤の段差: 水平区間の底盤に段差を配置
段差の形状: 高さ20mm、傾斜は90°とオーバーハングで60°と75°
段差の向き: 流向に対して平行と直交
材料: 1号砂利、3号砂利、8号珪砂、水の混合
(砂礫含有量は約50vol%)
(粒子径は中央値でそれぞれ約6.2.0.08mm)
撮影: 堆積時をビデオカメラで、
堆積後に医療用X線CTで撮影



【主な成果】

- 磯を含む高濃度密度流を模擬した堆積物は、粗粒な礫に富む下部層と砂に富む上部層に分けられた。
- 基盤岩に段差がある場合、段差が流向に直交する場合も平行な場合も、段差の直近では礫の長軸が立ち上がるこことや下段方向に傾斜することが確認された。
- 段差近傍で上段から下段に層構造が傾斜すること、地層が撓むような形状を示すことが確認された。

堆積作用によっても断層の直近で礫の長軸が急傾斜になることや地層が撓むような構造が生じることが確認できた。

(a) 流向に直交する段差がある場合の堆積構造

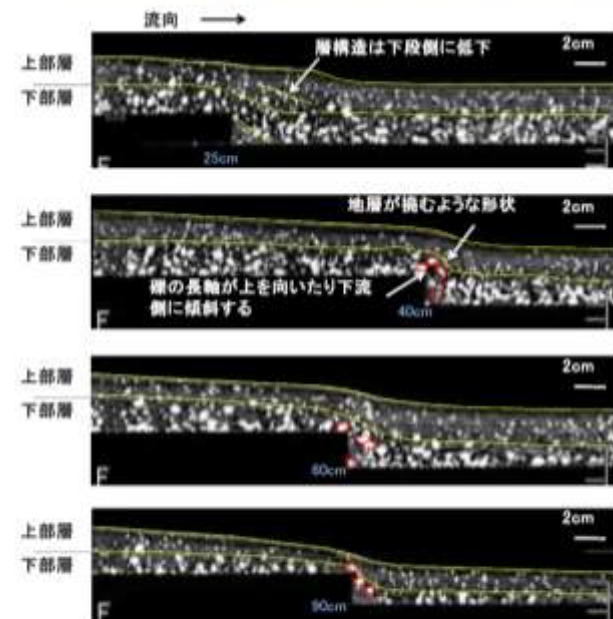


図-6 流向に直交する段差(90°)を埋めた堆積物。青字は勾配変化点からの距離



図-7 流向に直交する段差(75°)を埋めた堆積物



図-8 流向に直交する段差(75°)に衝突した堆積物

段差付近では礫の長軸が上を向いたり下流側に傾斜する。下部層と上部層を分ける層構造は段差の直上もしくはやや下流側で地層が上に撓むような形状を示す(図-6, 7)。

(b) 流向に平行な段差がある場合の堆積構造

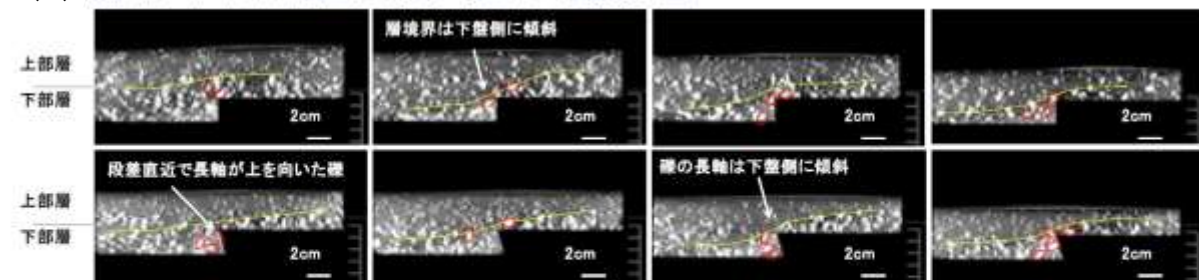


図-9 流向に平行な段差を埋めた堆積物。左がより上流側の断面。上段: 段差角度90°、下段: 段差角度75°

段差の上段から下段の方向に層構造が緩く傾斜する。段差近傍の下段側では礫の長軸方向が鉛直方向に近くなったり、下段側に傾斜する。段差の傾斜角によらず同様な傾向が見られた(図-9)

S-1 旧A・Bトレンチ 一(c)層理面の傾斜等に関する検討(断層変位実験)一

- 有識者会合は、淘汰の悪い砂礫層の場合や、含水条件で流動性を持つ場合、せん断面や地層の擾乱は必ずしも判断できないため、旧A・Bトレンチの砂礫Ⅱ層が変位・変形を受けている可能性は否定できないと評価している。
- そこで、砂礫層の断層運動による変形様式を実験的に検討することを目的に、乾燥状態・浸水状態における砂礫の混合試料を用いた断層変位実験を実施した結果、いずれの場合も同様にせん断面や地層の擾乱が生じることが確認された。
- この知見を踏まえると、旧A・Bトレンチの砂礫Ⅱ層にはせん断面や地層の擾乱が認められないことから、断層運動による変位・変形を受けないと判断される。

実験条件

装 置：アクリル製土槽（2種類）（図-3）

地盤材料：砂（8号珪砂）、礫（3号砂利、1号砂利）

礫層配合：8号珪砂：3号砂利：1号砂利=15：2：3（重量比）

層 厚：約40～50mm

湿潤状態：乾燥状態¹⁾、湿潤状態（含水比約26%）、浸水状態（図-4）

断層運動：逆断層運動（傾斜角=60°、75°）

変位速度：0.01mm/s（鉛直成分）

撮 影：変位量2mm毎にX線CTで撮影



図-3 断層模型実験に用いたアクリル製の土槽（写真は水中用）

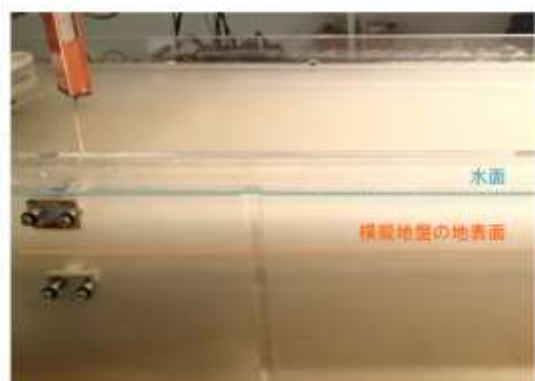
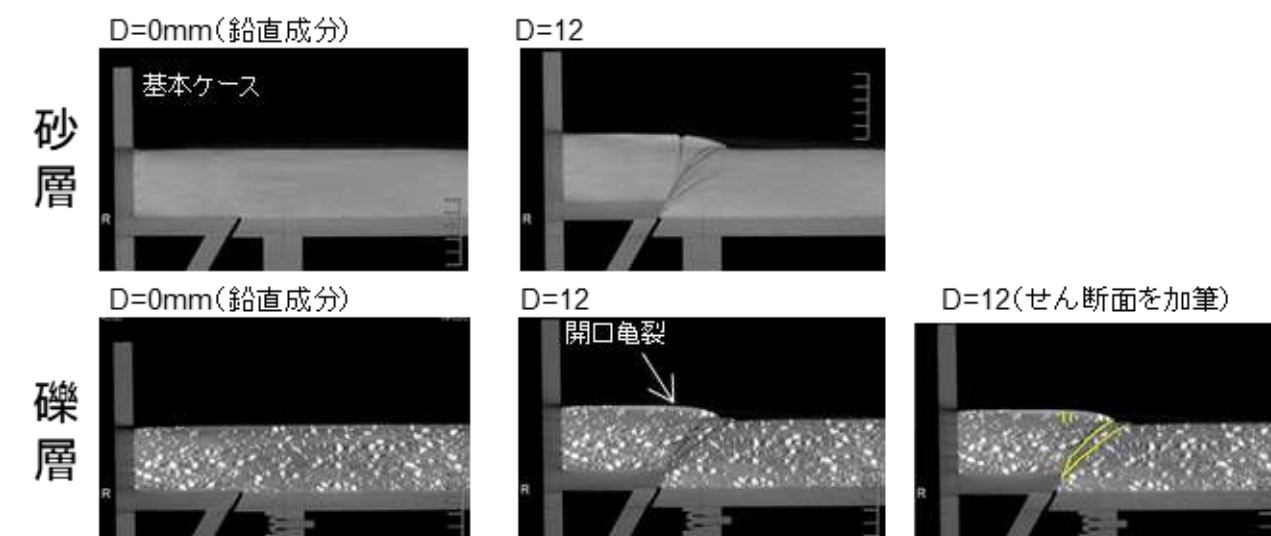


図-4 土槽を浸水させることで水中の未固結堆積物を模擬

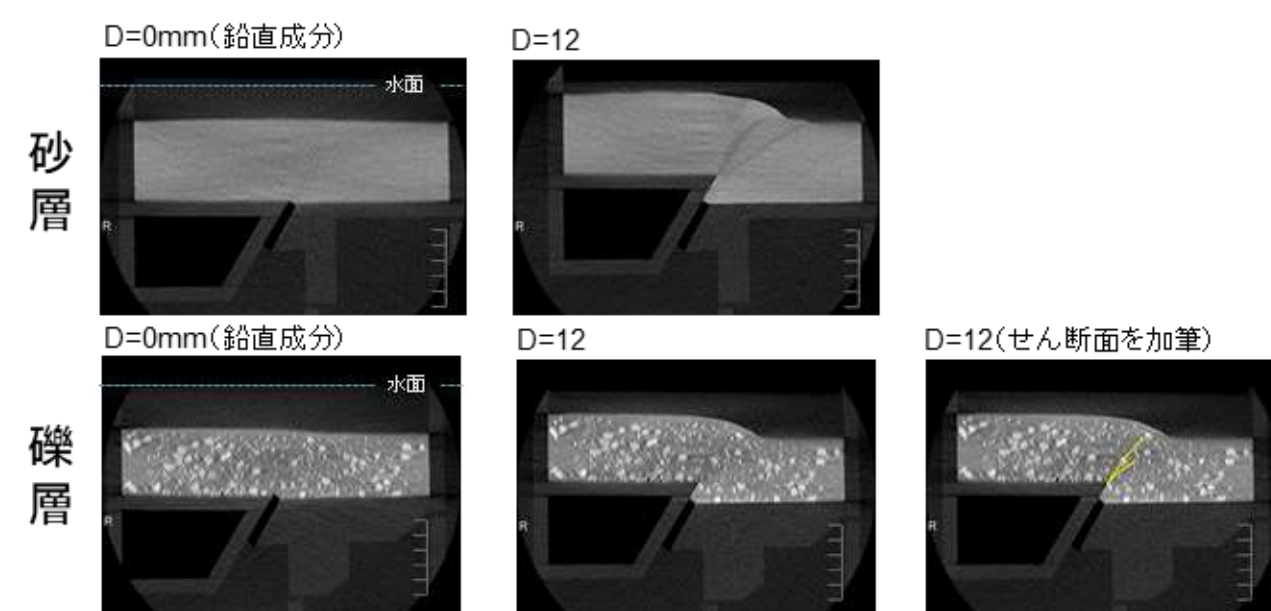
【主な成果】

- 乾燥状態、浸水状態（水中）いずれにおいても、礫層が変位・変形を受けた場合、淘汰の良い砂層の場合と同様に、せん断面や礫の回転が生じることが確認された。

(a)乾燥状態



(b)浸水状態(水中)



(5) 掘削法面

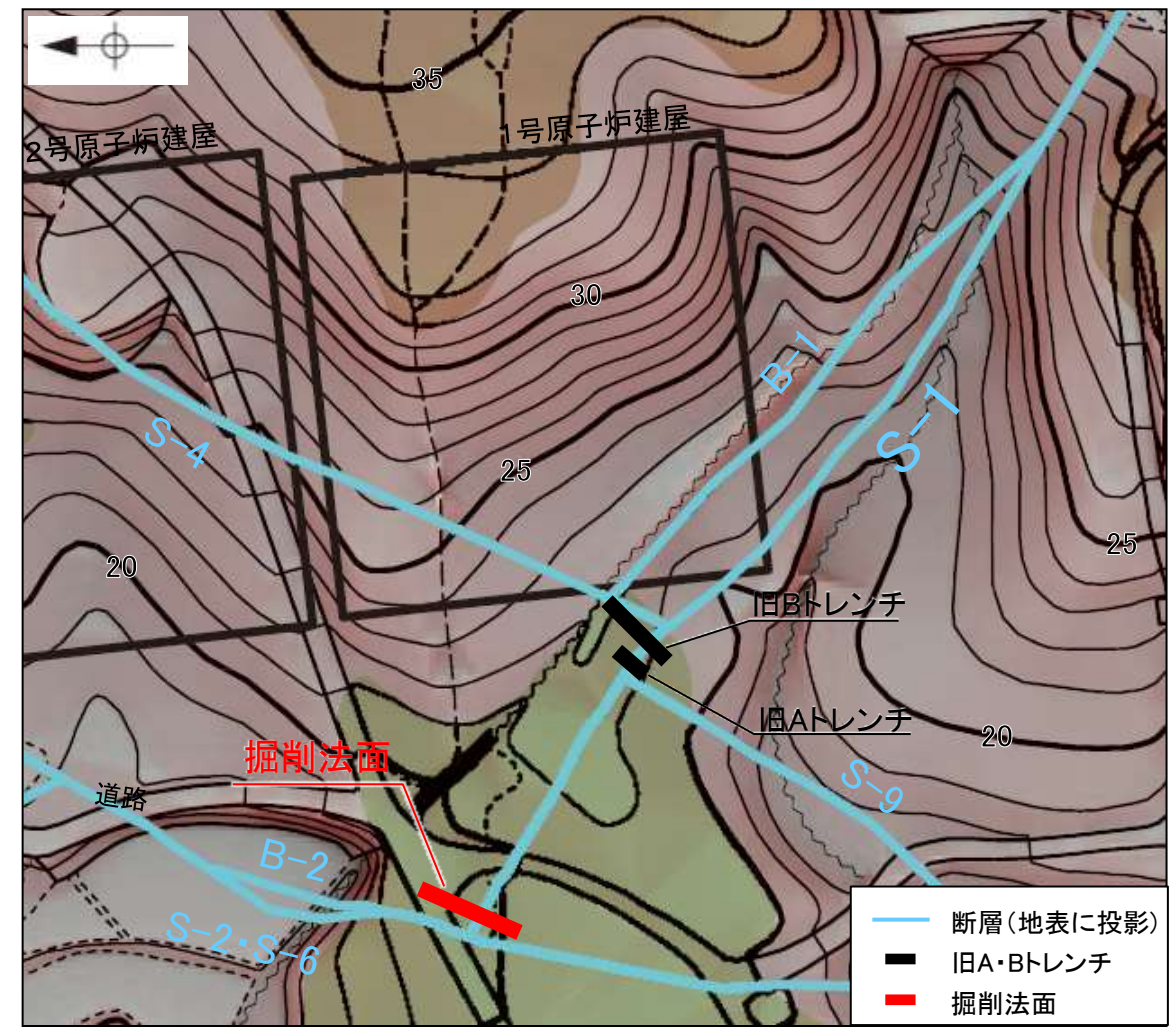
S-1 掘削法面 -評価結果-

【有識者会合時の当社評価】

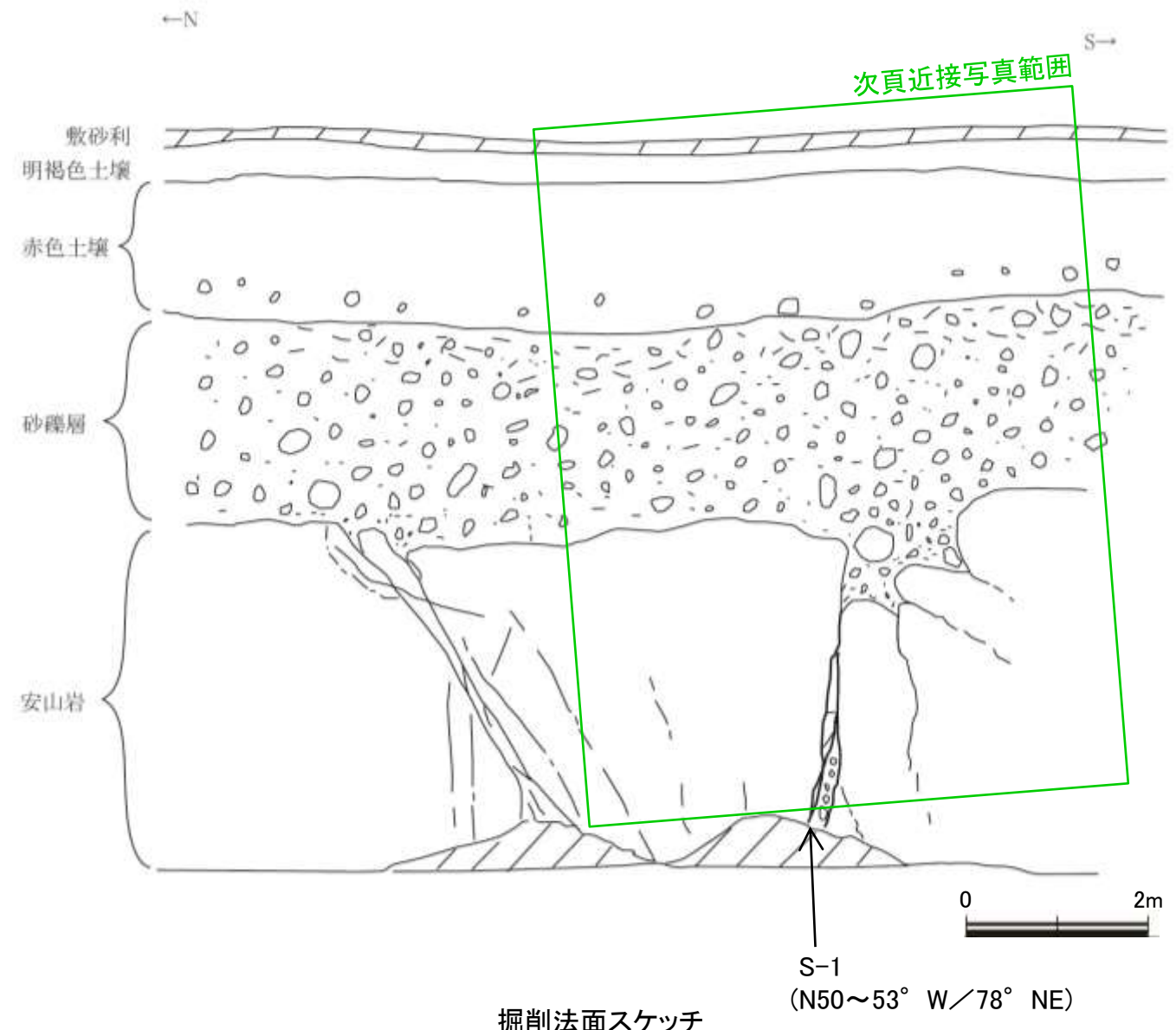
- 建設時に、中位段丘 I 面を判読した位置において掘削法面を調査した結果、S-1を確認した。
- S-1は中位段丘 I 面を構成する堆積物に変位・変形を与えていない。

【現在の当社評価】

- 掘削法面において、S-1は中位段丘 I 面を構成する堆積物に変位・変形を与えていない。
- ただし、露頭が現存しないため、上載地層の年代が明確に判断できない。



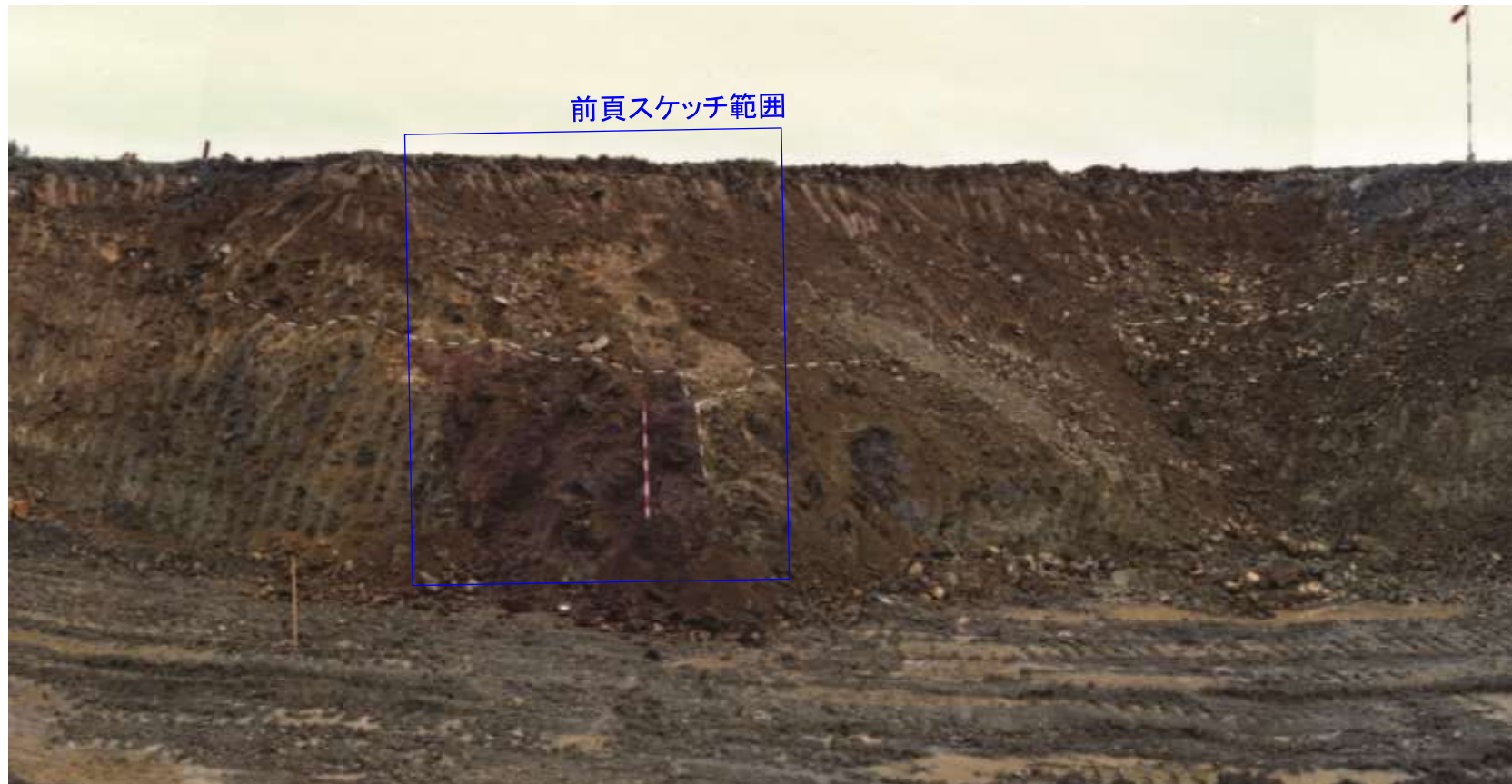
【掘削法面 スケッチ】



- ・S-1は中位段丘Ⅰ面を構成する堆積物に変位・変形を与えていない。
- ・S-1沿いに侵食による岩盤の窪みが認められるものの、その窪みを挟んで岩盤上面の高度差は認められない。

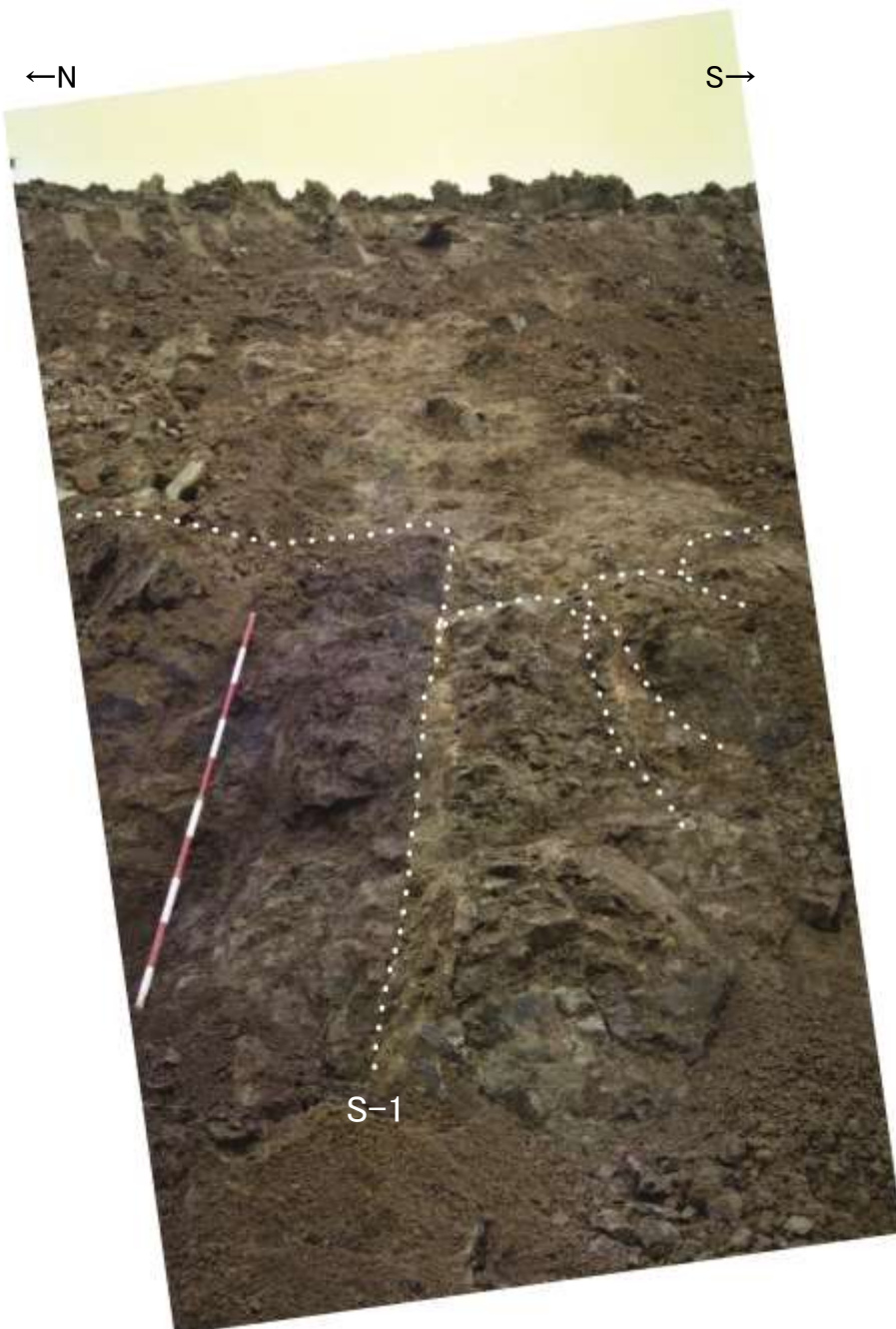
【掘削法面 S-1近接写真】

←N



掘削法面 全景写真
(岩盤上面, S-1を白破線で加筆)

←N

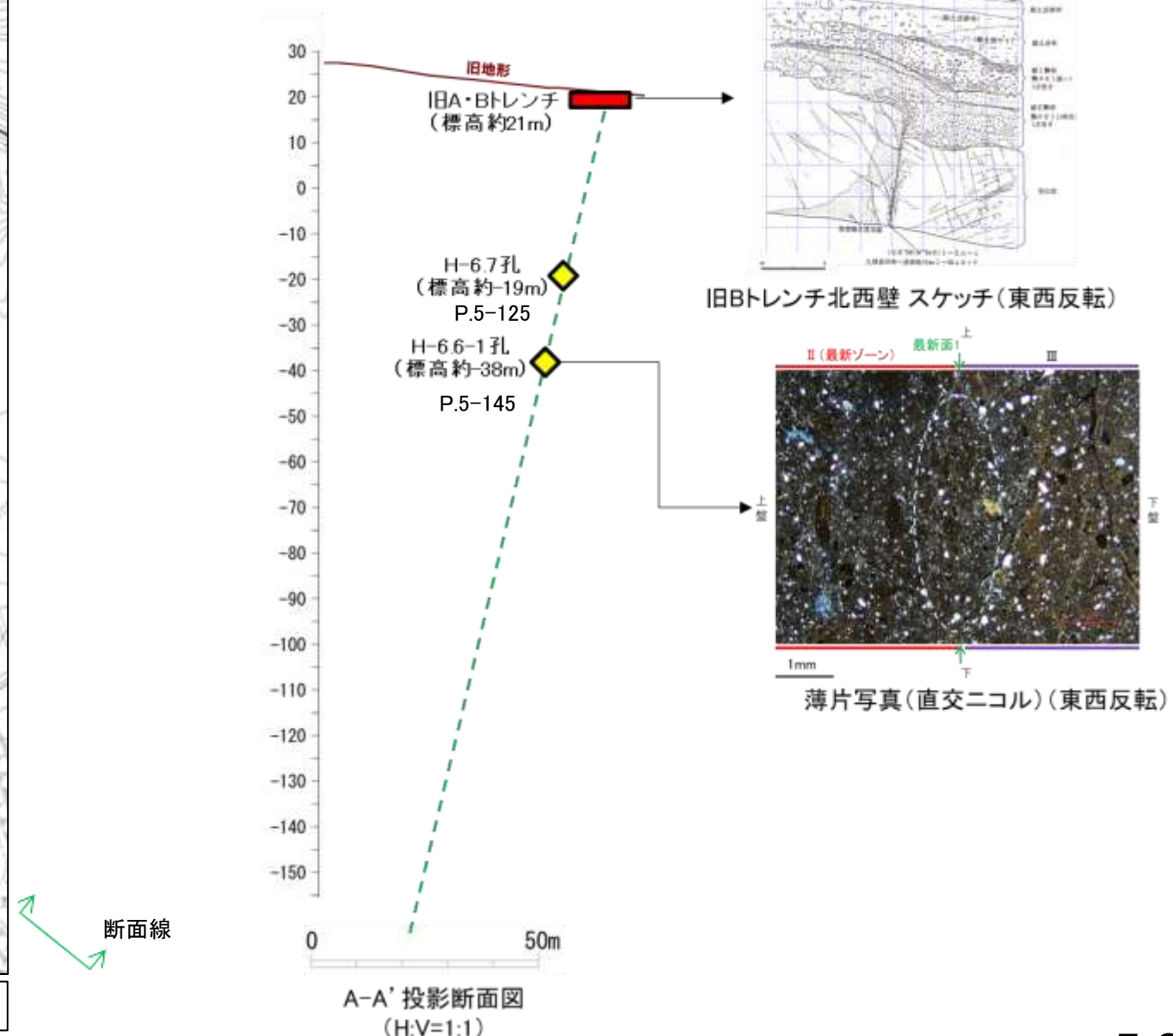


掘削法面 近接写真
(岩盤上面, 割れ目, S-1を白点で加筆)

※全景写真, 拡大写真にある赤白ポールの長さは2m
(赤, 白部分が20cmで交互に色分けされている)

S-1北西部の活動性評価 –地下延長部における鉱物脈法による評価–

- 有識者会合は、S-1の南東部については後期更新世以降の活動はないと評価しているが、旧A・Bトレンチ既往スケッチ及び写真等の情報から、S-1の北西部については、後期更新世以降に、北東側隆起の逆断層活動により変位したと解釈するのが合理的であると評価している。
- 有識者会合によれば、**上記評価は、限られた資料やデータに基づいて行われており、より正確・確実な評価にするためには、「今後の課題」に示すデータ等の拡充が必要**としていることから、「今後の課題」を踏まえ、旧A・Bトレンチ地下延長部において、鉱物脈法による評価を実施した。
- 仮にS-1北西部が北東側隆起の逆断層活動により変位したとした場合、地下延長部のS-1も同センスの変位が生じているはずであるが、鉱物脈法による評価の結果、粘土鉱物(I/S混合層)が最新面を横断して分布し、最新面が不連続になっており、不連続箇所の粘土鉱物(I/S混合層)に変位・変形は認められない。
- したがって、S-1の北西部についても、後期更新世以降の活動はないと判断される。



余白

補足資料5. 3－3

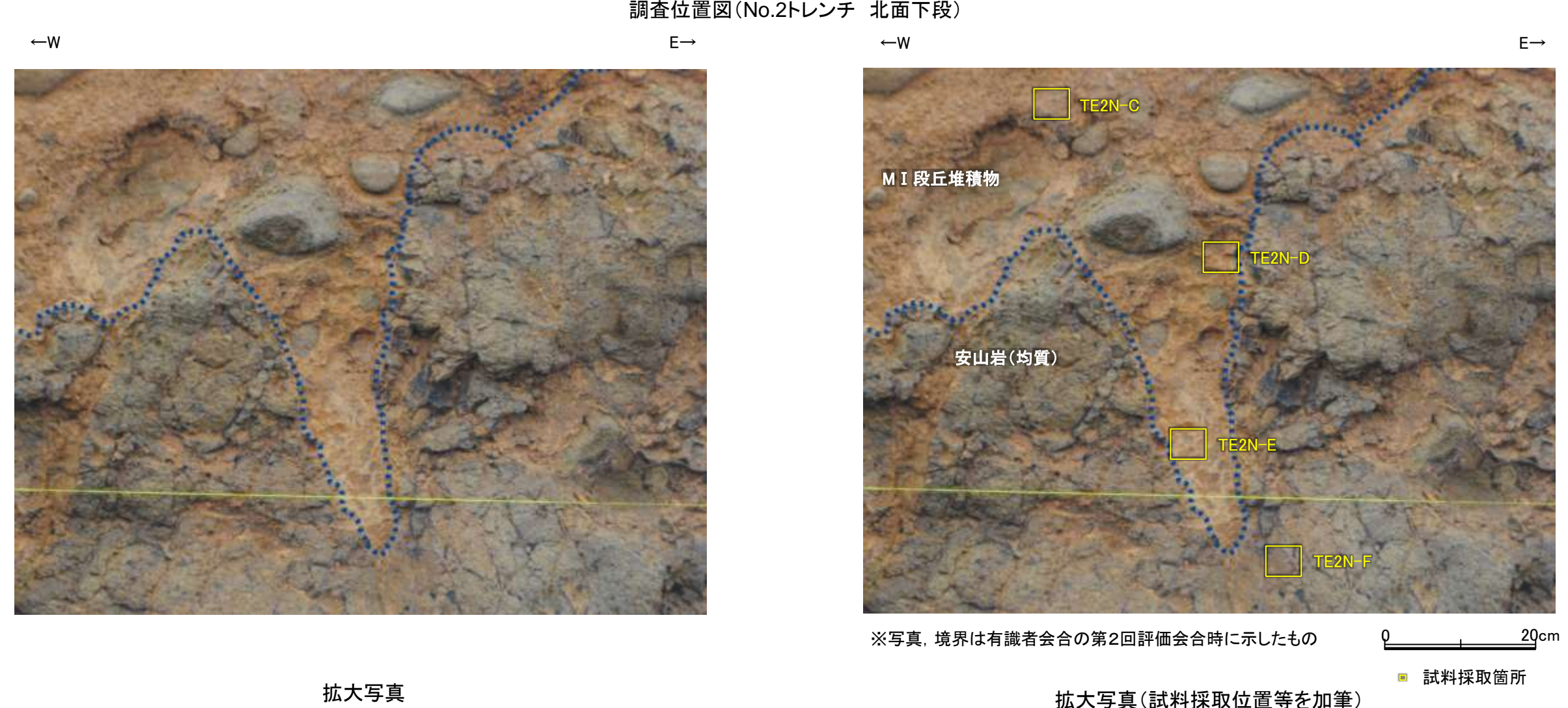
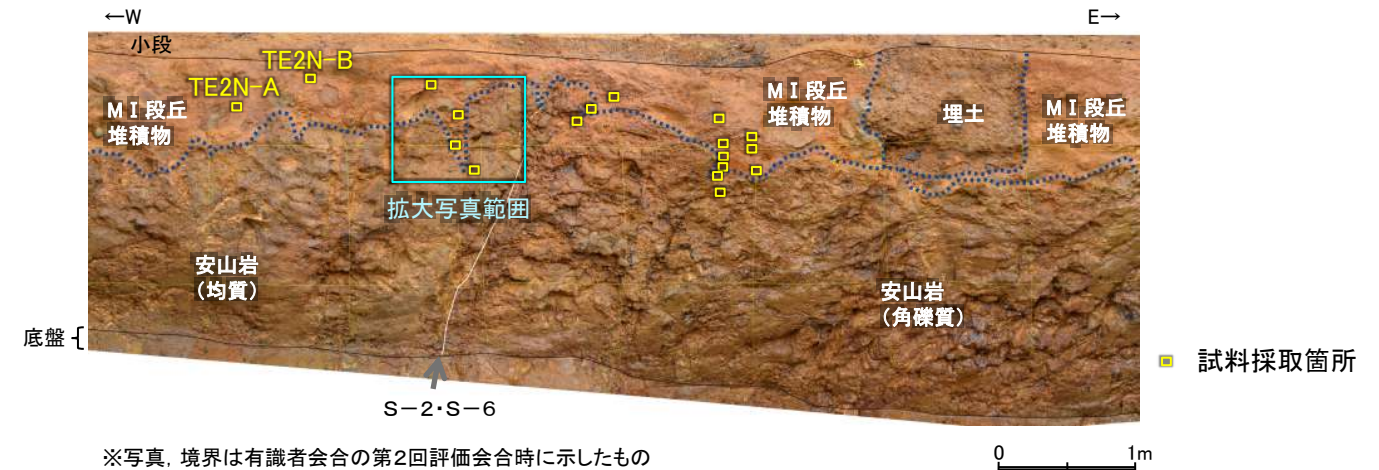
上載地層法に関する調査結果(S-2・S-6)

(1) No.2トレンチ

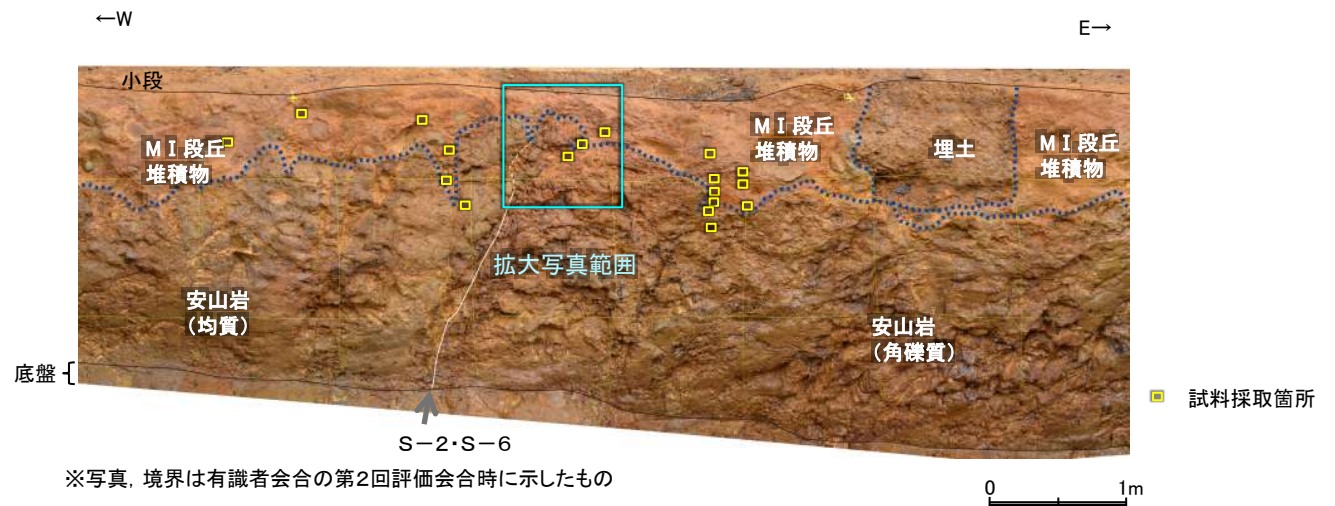
(1)-1 岩盤と堆積物の境界に関する調査結果

No.2トレーニング 試料採取位置(北面西側)

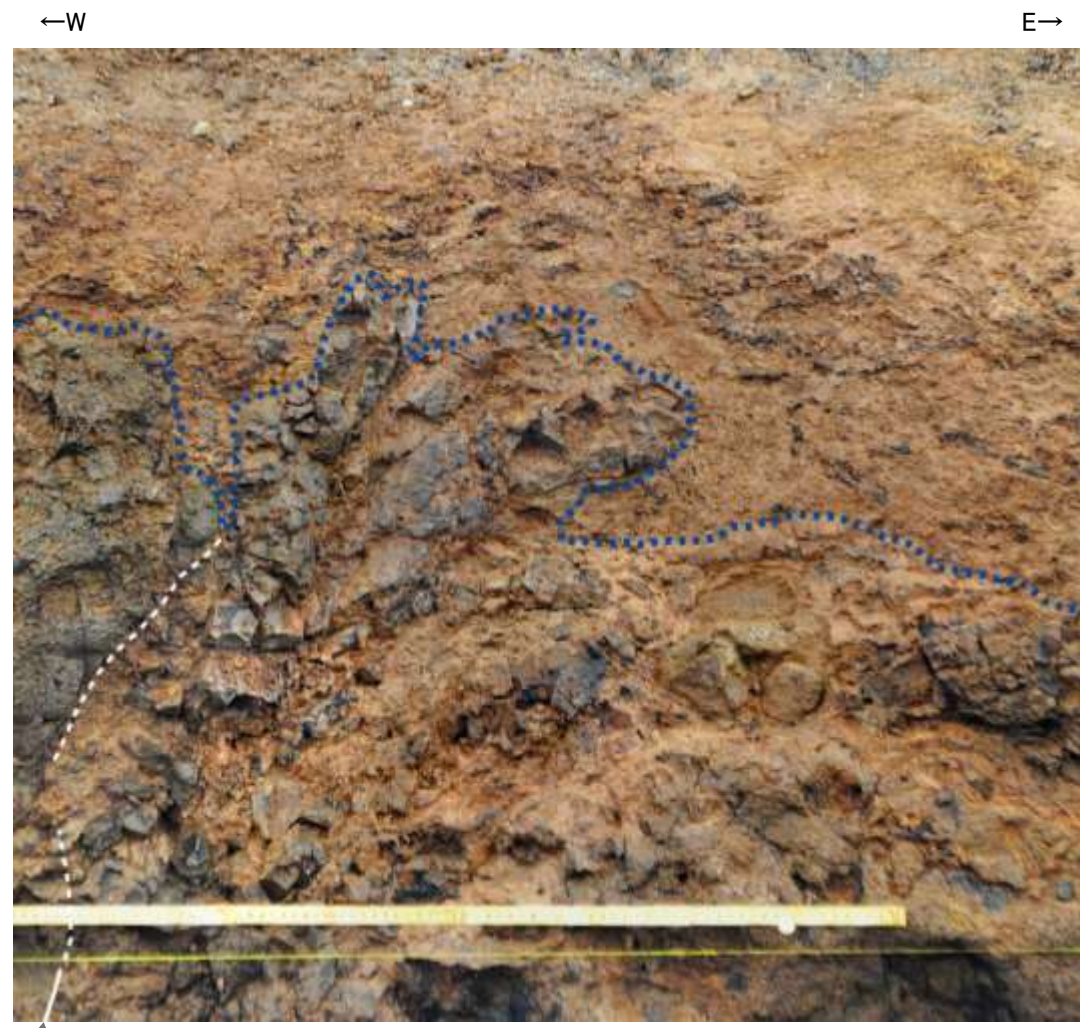
■No.2トレーニングの北面、南面において、岩盤と堆積物の境界について、試料採取前に肉眼観察を行い、その結果を基に薄片観察、XRD分析、XRF分析の試料採取箇所を決定した。以下に、北面、南面の試料採取箇所を示す。



No.2トレンチ 試料採取位置(北面中央)

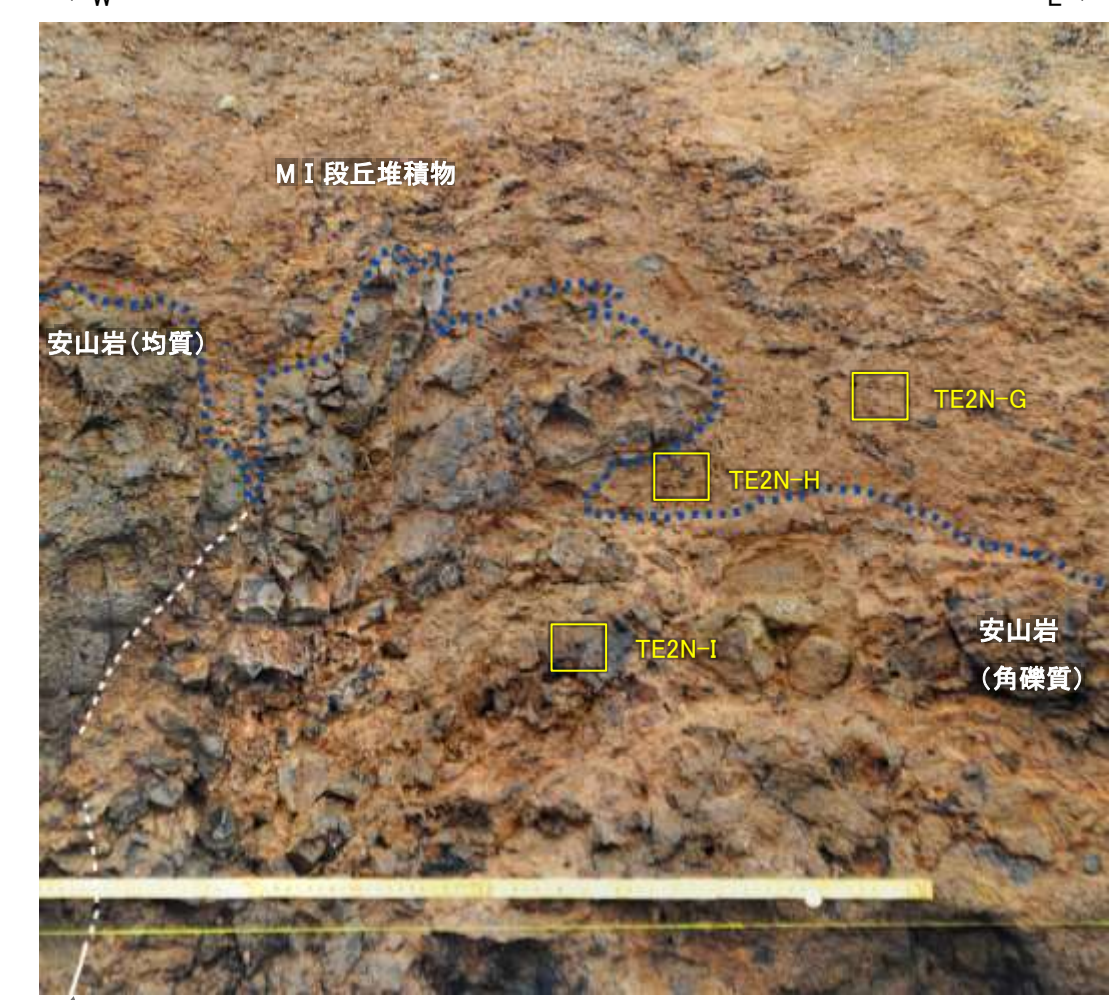


調査位置図(No.2トレンチ 北面下段)



S-2・S-6

拡大写真



S-2・S-6

※写真、境界は有識者会合の第2回評価会合時に示したもの

拡大写真(試料採取位置等を加筆)

■ 試料採取箇所

5.3-3-5

No.2トレーニー 試料採取位置(北面東側)



拡大写真

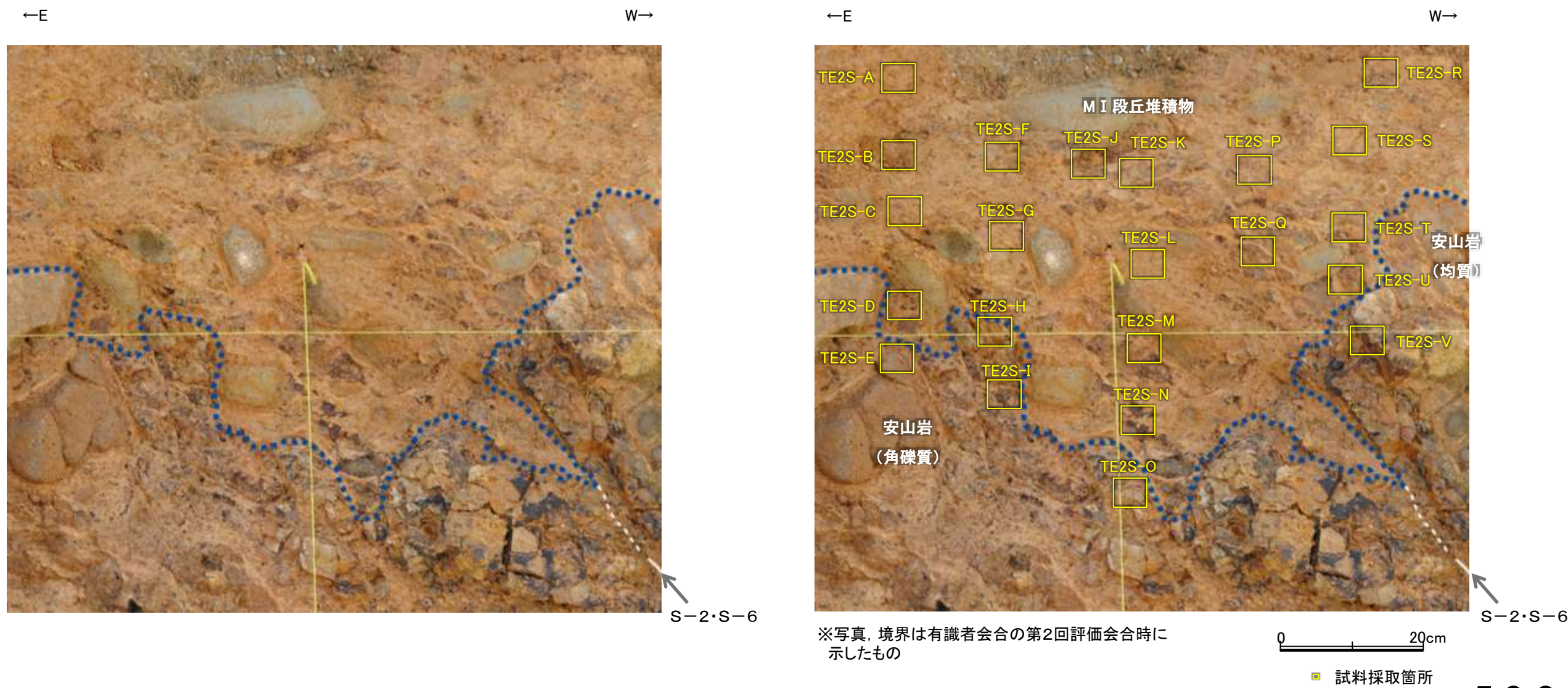
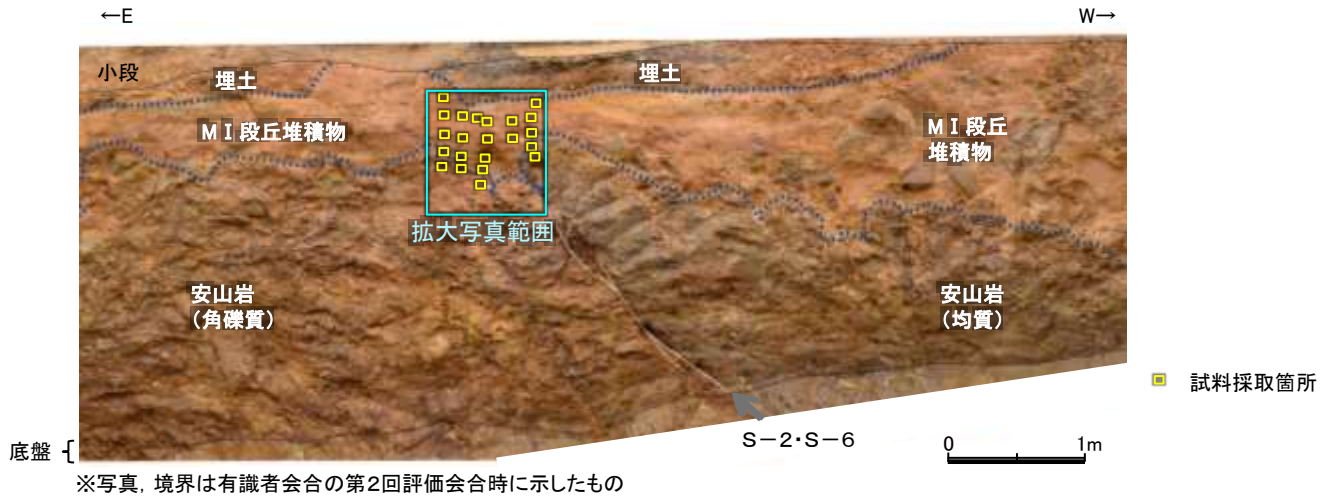
拡大写真(試料採取位置等を加筆)

5.3-3-6

No.2トレーナー 試料採取位置(北面)

| 試料採取位置 | 肉眼観察による区分 | 採取物の特徴 |
|--------|-----------|--|
| TE2N-A | M I 段丘堆積物 | 明褐～褐色の砂混じりシルトに径1～3mmの灰色安山岩粒子を含む。 |
| TE2N-B | M I 段丘堆積物 | 明褐～褐色の砂混じりシルトに径1～3mmの灰色安山岩粒子を含む。 |
| TE2N-C | M I 段丘堆積物 | 岩盤の楔状の凹部の上部に分布するシルト混じり砂。明褐～黄褐色を呈し、径1～3mmの灰色安山岩粒子を含む。 |
| TE2N-D | M I 段丘堆積物 | 岩盤の楔状の凹部に分布するシルト混じり砂。明褐～黄褐色を呈し、径1～3mmの灰色安山岩粒子を含む。 |
| TE2N-E | M I 段丘堆積物 | 岩盤の楔状の凹部に分布するシルト混じり砂。明褐～黄褐色を呈する。 |
| TE2N-F | 安山岩(均質) | 強風化した安山岩。明灰色を呈し、割目に黒色皮膜および明褐色粘土が付着する。 |
| TE2N-G | M I 段丘堆積物 | 明褐～褐色の砂混じりシルトに径1～3mmの灰色安山岩粒子を含む。斑紋状に黒色を帯びる。 |
| TE2N-H | M I 段丘堆積物 | 岩盤部に楔状に入り込んだ明褐～褐色の流入粘土。岩片の他に径数mmの粒子状に黒色部を含む。 |
| TE2N-I | 安山岩(角礫質) | 強風化した安山岩角礫質の基質部。明灰色を呈する。 |
| TE2N-J | M I 段丘堆積物 | 明褐～褐色の砂混じりシルトに径1～3mmの灰色安山岩粒子を含む。 |
| TE2N-K | M I 段丘堆積物 | 明褐～褐色の砂混じりシルトに径1～3mmの灰色安山岩粒子を含む。 |
| TE2N-L | M I 段丘堆積物 | 岩盤の楔状の凹部に分布する砂混じりシルト。黄褐～明褐色を呈する。 |
| TE2N-M | M I 段丘堆積物 | 岩盤の楔状の凹部に分布する砂混じりシルト。黄褐～明褐色を呈する。 |
| TE2N-N | 安山岩(角礫質) | 強風化した安山岩角礫質の基質部。明灰色を呈し、開口した割目に明褐色の砂混じり粘土が流入する。 |
| TE2N-O | 安山岩(角礫質) | 強風化した安山岩角礫質の基質部。明灰色を呈し、開口した割目に明褐色の粘土が流入する。 |
| TE2N-P | M I 段丘堆積物 | 明褐～褐色の砂混じりシルトに径1～3mmの灰色安山岩粒子を含む。 |
| TE2N-Q | M I 段丘堆積物 | 岩盤の楔状の凹部に分布する砂混じりシルト。黄褐～明褐色を呈する。 |
| TE2N-R | M I 段丘堆積物 | 岩盤の楔状の凹部に分布する砂混じりシルト。黄褐～明褐色を呈する。 |

No.2トレーニチ 試料採取位置(南面)



No.2トレーナー 試料採取箇所の特徴等(南面)

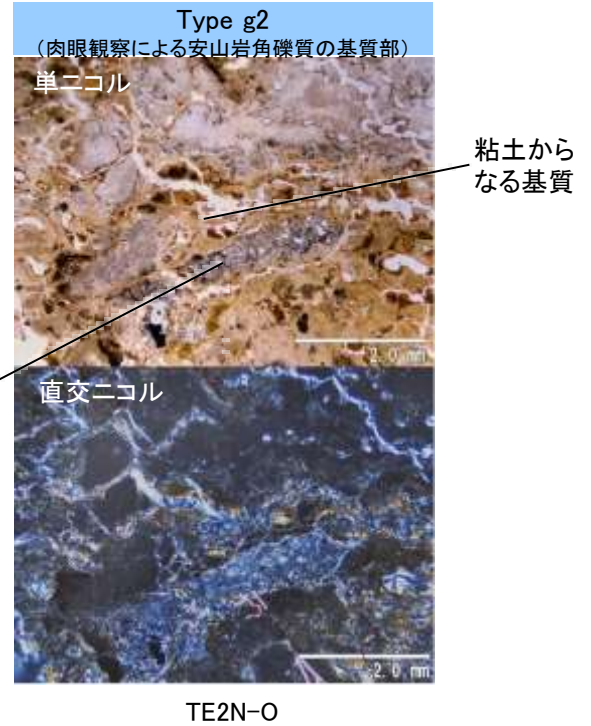
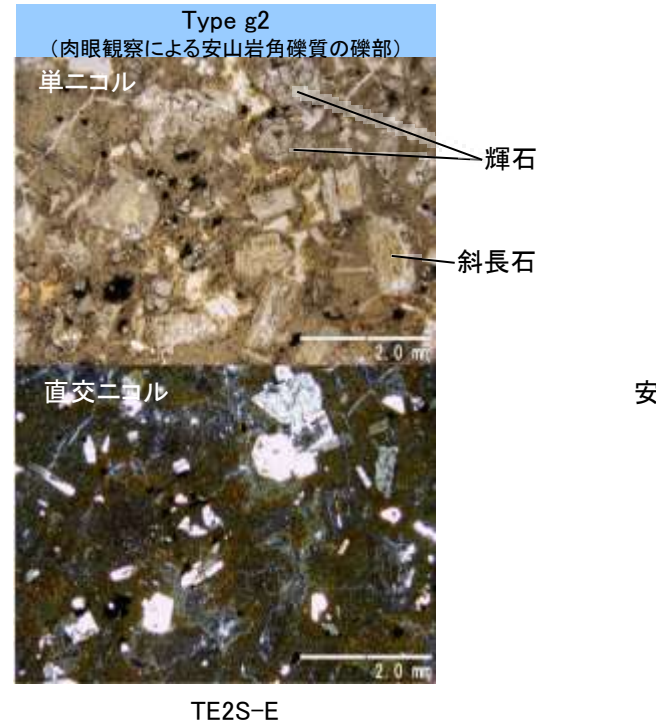
| 試料採取位置 | 肉眼観察による区分 | 採取物の特徴 |
|--------|-----------|---|
| TE2S-A | M I 段丘堆積物 | 明褐～黄褐色の砂混じリシルトに径1～3mmの灰色安山岩粒子を含む。 |
| TE2S-B | M I 段丘堆積物 | 明褐～黄褐色の砂混じリシルトに径1～3mmの灰色安山岩粒子を含む。 |
| TE2S-C | M I 段丘堆積物 | 明褐～黄褐色の砂質シルトに径1～3mmの灰色安山岩粒子を含む。 |
| TE2S-D | M I 段丘堆積物 | 明褐～黄褐色を呈し、径1～3mmの灰色安山岩粒子を含む。 |
| TE2S-E | 安山岩(角礫質) | 明灰色の安山岩角礫質の礫部。風化残留核の一部であり、ナイフで傷が付く程度の硬さである。斜長石や輝石の斑晶が認められる。 |
| TE2S-F | M I 段丘堆積物 | 明褐～暗褐色のシルト質砂。ナイフで削れる程度に固結している。径1～3mmの灰色安山岩粒子を僅かに含む。 |
| TE2S-G | M I 段丘堆積物 | 明褐～暗褐色のシルト質砂。ナイフで削れる程度に固結しているが一部で明褐色粘土を含む。 |
| TE2S-H | 安山岩(角礫質) | 強風化した安山岩角礫質の基質部。明灰色を呈し、割目に黒色皮膜および明褐色粘土が付着する。 |
| TE2S-I | 安山岩(角礫質) | 強風化した安山岩角礫質の基質部。明灰色を呈し、割目に黒色皮膜および明褐色粘土が付着する。 |
| TE2S-J | M I 段丘堆積物 | 明褐～暗褐色のシルト質砂。ナイフで削れる程度に固結している。 |
| TE2S-K | M I 段丘堆積物 | 明褐～暗褐色のシルト質砂。斑紋状に黒色を帯び、ナイフで削れる程度に固結している。径1～3mmの灰色安山岩粒子を僅かに含む。 |
| TE2S-L | M I 段丘堆積物 | 明褐～黄褐色のシルト質砂であるが、一部で褐色を帶びシルト・粘土分に富む。径1～3mmの灰色安山岩粒子を僅かに含む。 |
| TE2S-M | M I 段丘堆積物 | 明褐～暗褐色を呈し、斑紋状に黒色を帯び、ナイフで削れる程度に固結している。径1～3mmの灰色安山岩粒子を含む。 |
| TE2S-N | M I 段丘堆積物 | 明褐～暗褐色を呈し、斑紋状に黒色を帯び、ナイフで削れる程度に固結している。径1～3mmの灰色安山岩粒子を含む。 |
| TE2S-O | 安山岩(角礫質) | 強風化した安山岩角礫質の基質部。明灰色を呈し、割目に黒色皮膜および明褐色粘土が付着する。 |
| TE2S-P | M I 段丘堆積物 | 明褐～暗褐色を呈し、斑紋状に黒色を帯び、ナイフで削れる程度に固結している。径1～3mmの灰色安山岩粒子を含む。 |
| TE2S-Q | M I 段丘堆積物 | 明褐～黄褐色を呈し、径1～3mmの灰色安山岩粒子を含む。 |
| TE2S-R | M I 段丘堆積物 | 明褐～黄褐色の砂質シルトに、径1～3mmの灰色安山岩粒子を含む。 |
| TE2S-S | M I 段丘堆積物 | 明褐～暗褐色のシルト質砂。ナイフで削れる程度に固結している。径1～3mmの灰色安山岩粒子を含む。 |
| TE2S-T | M I 段丘堆積物 | 明褐～暗褐色を呈しナイフで削れる程度に固結している。径1～3mmの灰色安山岩粒子を含む。 |
| TE2S-U | M I 段丘堆積物 | 明褐～暗褐色を呈し、斑紋状に黒色を帯び、ナイフで削れる程度に固結している。径1～3mmの灰色安山岩粒子を含む。 |
| TE2S-V | 安山岩(均質) | 明灰色の安山岩。ナイフで傷が付く程度の硬さである。斜長石の斑晶が認められる。 |

No.2トレーナー ①薄片観察結果

■No.2トレーナーの北面、南面において試料採取した計40枚の薄片観察結果を以下に示す。

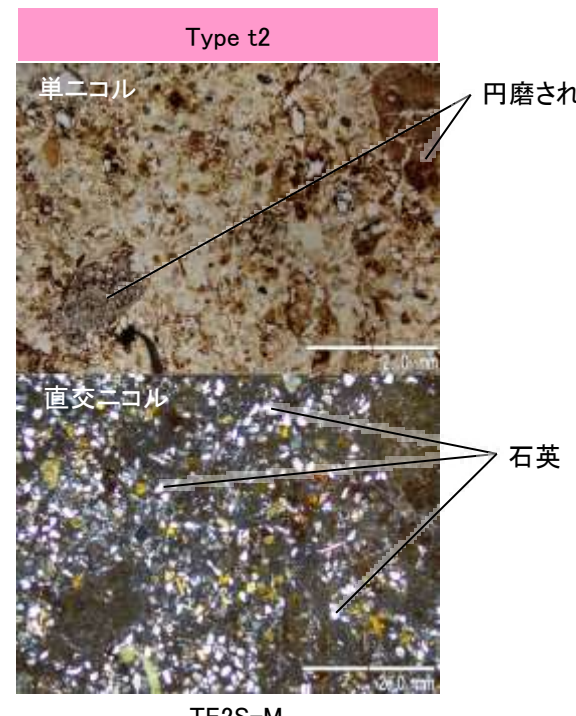
岩盤と判断したもの

- (特徴)
- 砂状粒子の石英をほとんど含まない(石英は初生的には安山岩に含まれない)
 - 斜長石や輝石が自形の斑晶として認められるなし、基質部では微細な粘土からなる基質中にやや角ばった安山岩片が含まれることが多い



堆積物と判断したもの

- (特徴)
- 砂状粒子の石英を含む
 - 円磨された岩片(安山岩、凝灰岩)を含むことが多い



次頁以降の凡例(鉱物名)

[岩片・生物遺骸]
AN:安山岩 TF:凝灰岩 GN:花崗岩質岩 SI:珪化岩 MS:泥岩

[初成鉱物・鉱物片]
Qz:石英 Pl:斜長石 Kf:カリ長石 Bi:黒雲母 Hb:普通角閃石
Opx:斜方輝石 Cpx:単斜輝石
Mf:(詳細不明)苦鉄質鉱物 Op:不透明鉱物

[2次鉱物]
Si:(詳細不明)シリカ鉱物 Ver:バーミュライト
Sm:スメクタイト Cl:(詳細不明)粘土鉱物
Ge:水酸化鉄 Zeo:沸石類 Py:黄鉄鉱 Amo:非晶質物質(Ge以外)

[その他の記号]
():仮像 MX:基質および石基 FP:フラクチャー孔隙
DP:溶解孔隙

・薄片観察の結果、岩盤と堆積物に区分される。

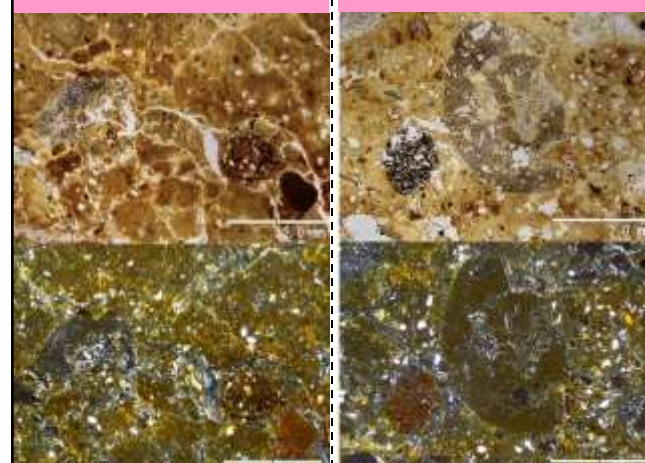
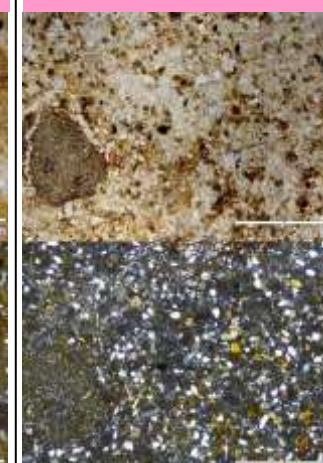
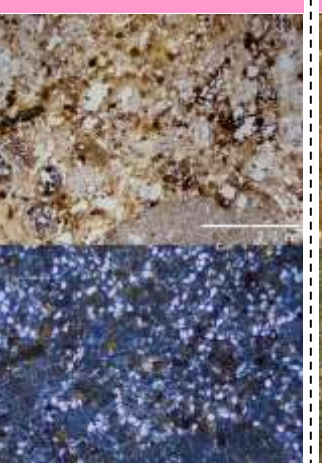
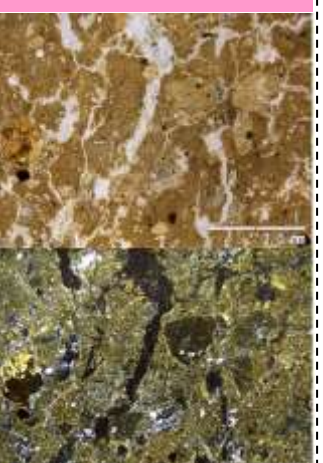
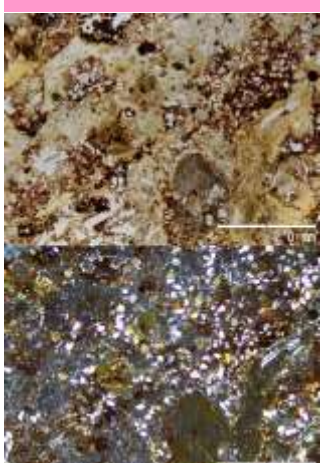
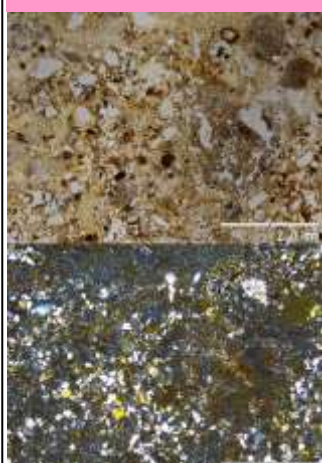
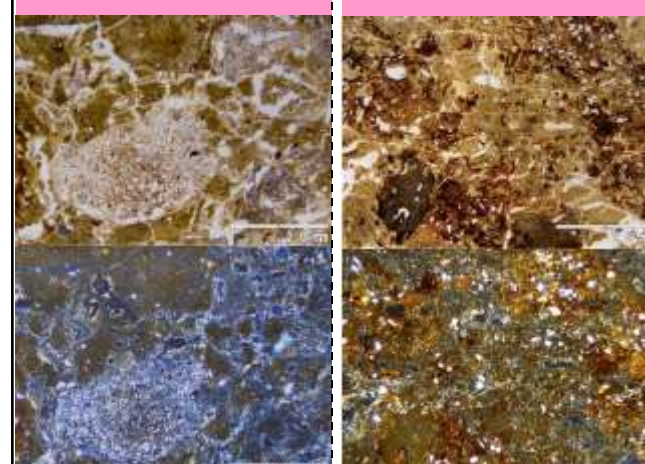
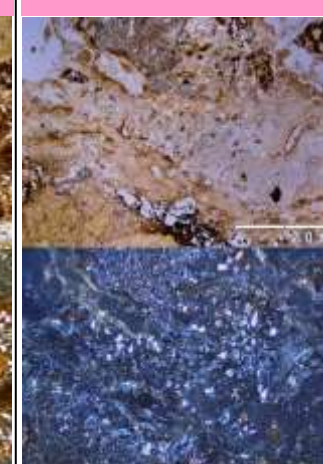
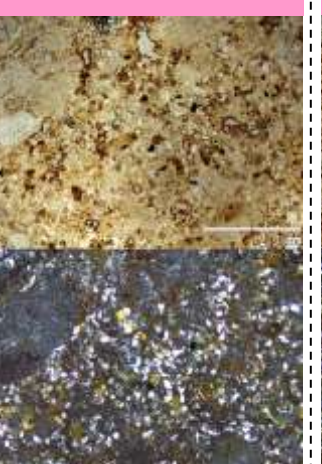
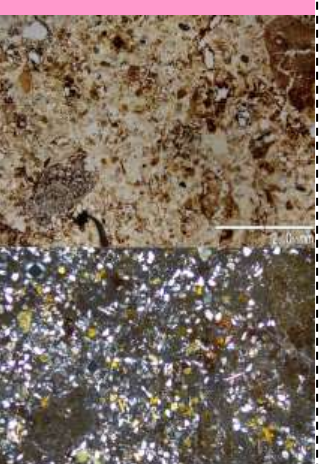
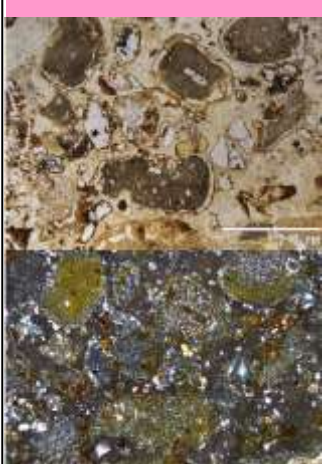
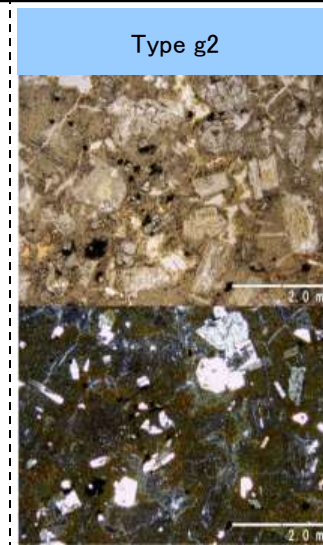
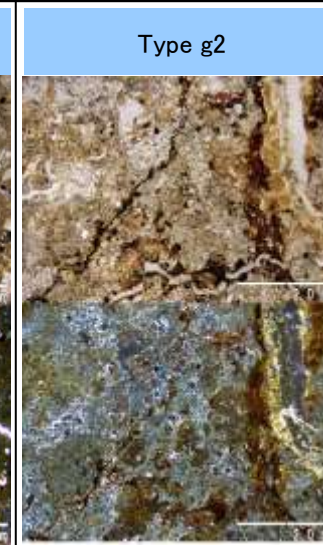
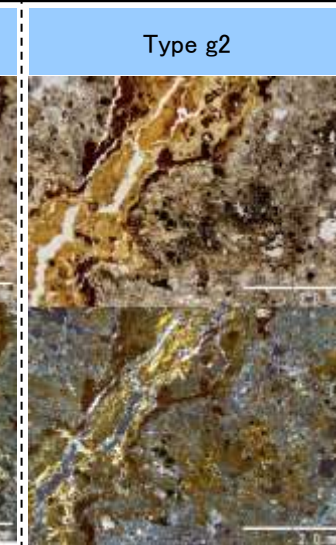
No.2トレーナー ①薄片観察結果一覧(北面)

| | 西側 | | | 中央 | | 東側 | | | |
|-----|---------|---------|---------|---------|---------|---------|---------|---------|---------|
| 堆積物 | Type t2 |
| | TE2N-A | TE2N-C | TE2N-E | TE2N-G | TE2N-J | TE2N-L | TE2N-P | TE2N-R | |
| 岩盤 | Type t2 | Type t2 | | Type t2 | Type t2 | Type t2 | Type t2 | | |
| | TE2N-B | TE2N-D | | TE2N-H | TE2N-K | TE2N-M | TE2N-Q | | |
| | | | Type g2 | Type g2 | Type g2 | Type g2 | | | |
| | | | TE2N-F | TE2N-I | TE2N-N | TE2N-O | | | |

※写真上は単ニコル、写真下は直交ニコル

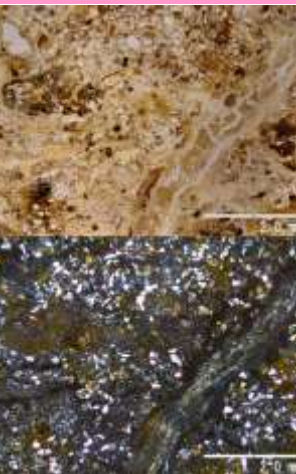
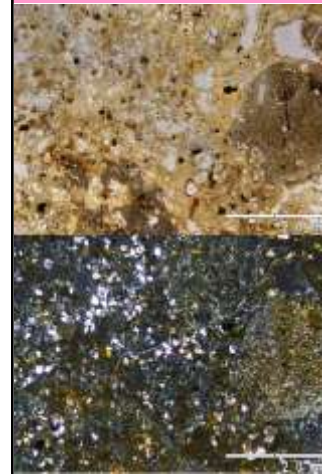
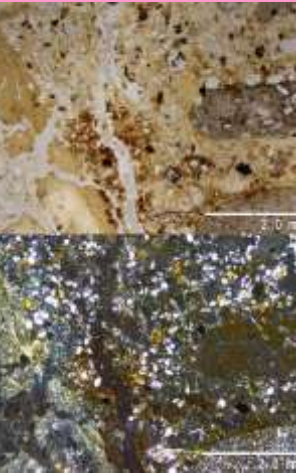
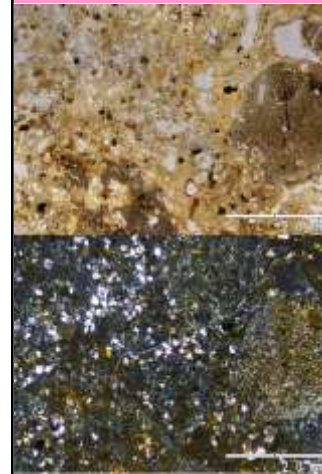
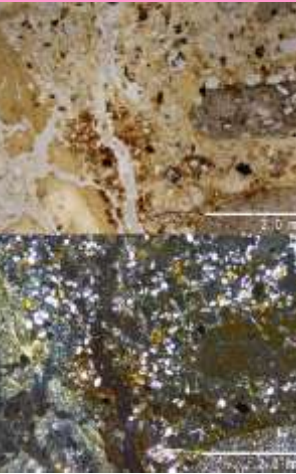
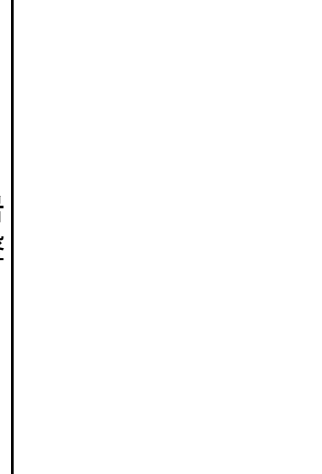
No.2トレーナー ①薄片観察結果一覧(南面)(1)

東側← →西側

| | | | | | | | |
|---|---|--|---|--|--|---|--|
| Type t2 | Type t2 | Type t2 | | Type t2 | Type t2 | Type t2 | Type t2 |
|  |  |  | |  |  |  |  |
| 堆積物 | TE2S-A | TE2S-C | TE2S-F | TE2S-J | TE2S-L | TE2S-N | TE2S-P |
| Type t2 | Type t2 | Type t2 | | Type t2 | Type t2 | | Type t2 |
|  |  |  | |  |  | |  |
| TE2S-B | TE2S-D | TE2S-G | | TE2S-K | TE2S-M | | TE2S-Q |
| 岩盤 | Type g2 | Type g2 | Type g2 | | | Type g2 | |
| |  |  |  | | |  | |
| | TE2S-E | TE2S-H | TE2S-I | | | TE2S-O | |

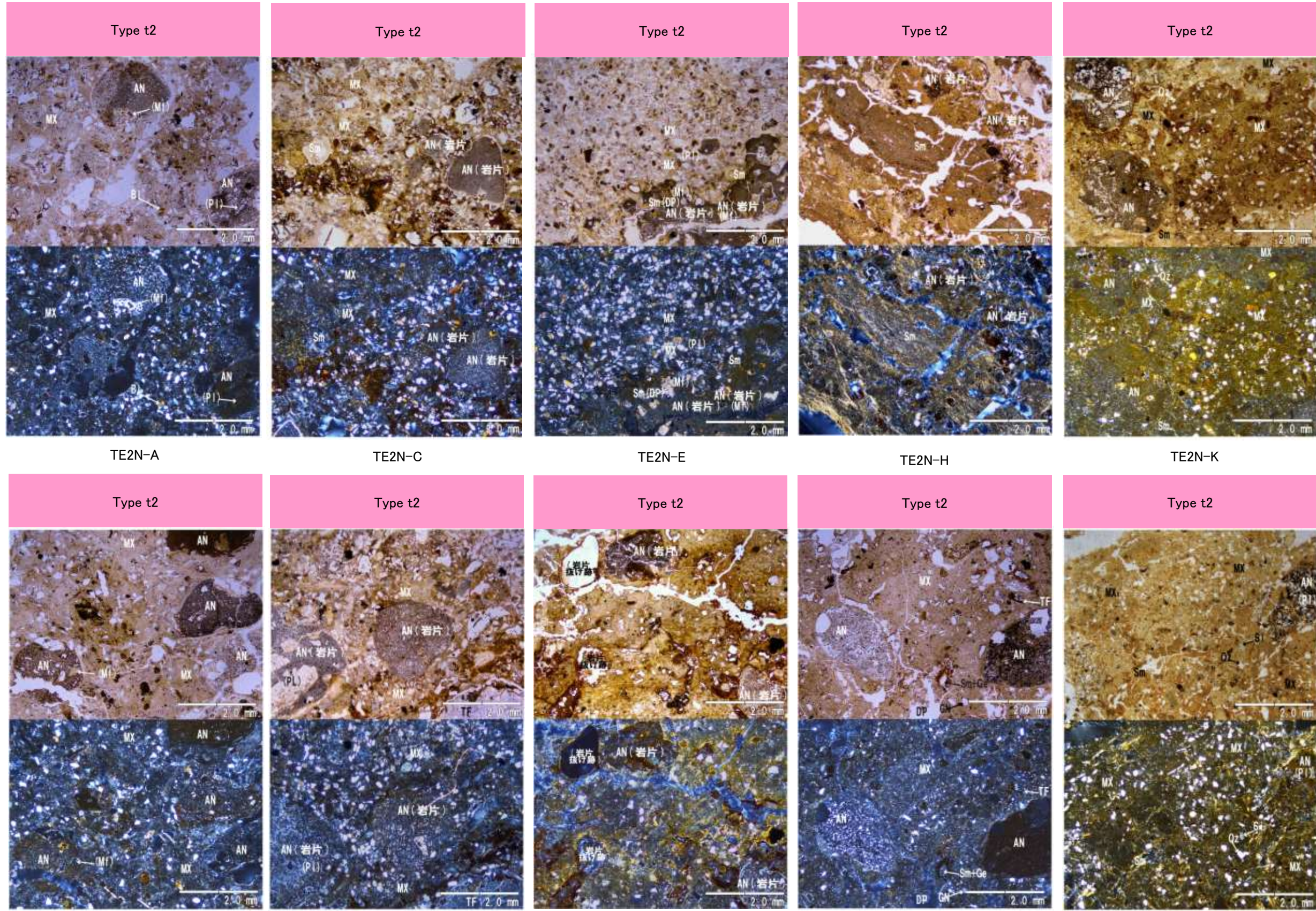
※写真上は単ニコル、写真下は直交ニコル

No.2トレーニング ①薄片観察結果一覧(南面)(2)

| 東側← →西側 | |
|---|--|
| Type t2 | Type t2 |
|  |  |
| 堆積物 | |
| TE2S-R | TE2S-T |
|  |  |
| Type t2 | Type t2 |
|  |  |
| 岩盤 | |
| | Type g2 |
|  |  |
| | TE2S-V |

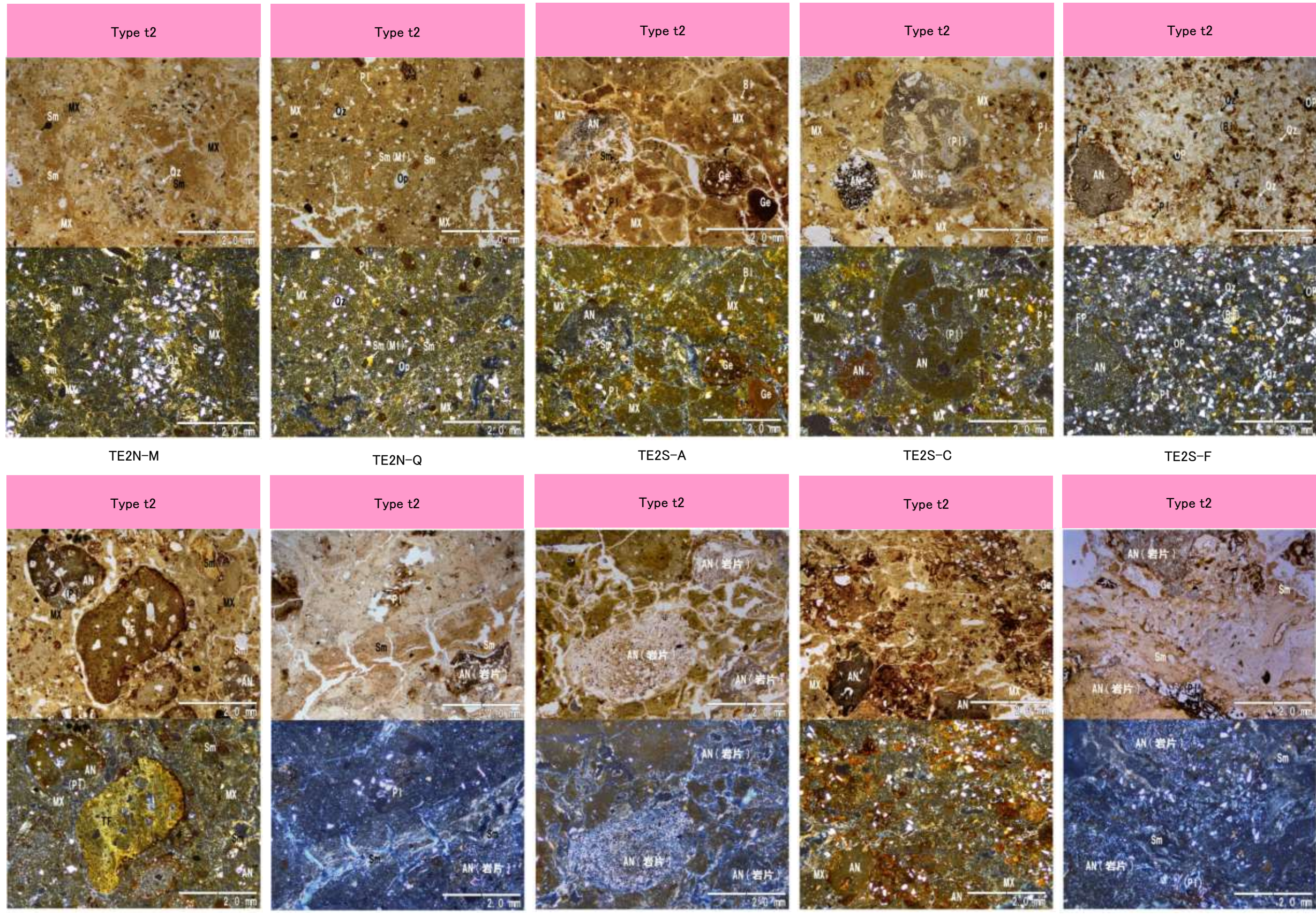
※写真上は単ニコル、写真下は直交ニコル

No.2トレーナー ①薄片観察結果 (Type t2)(1)



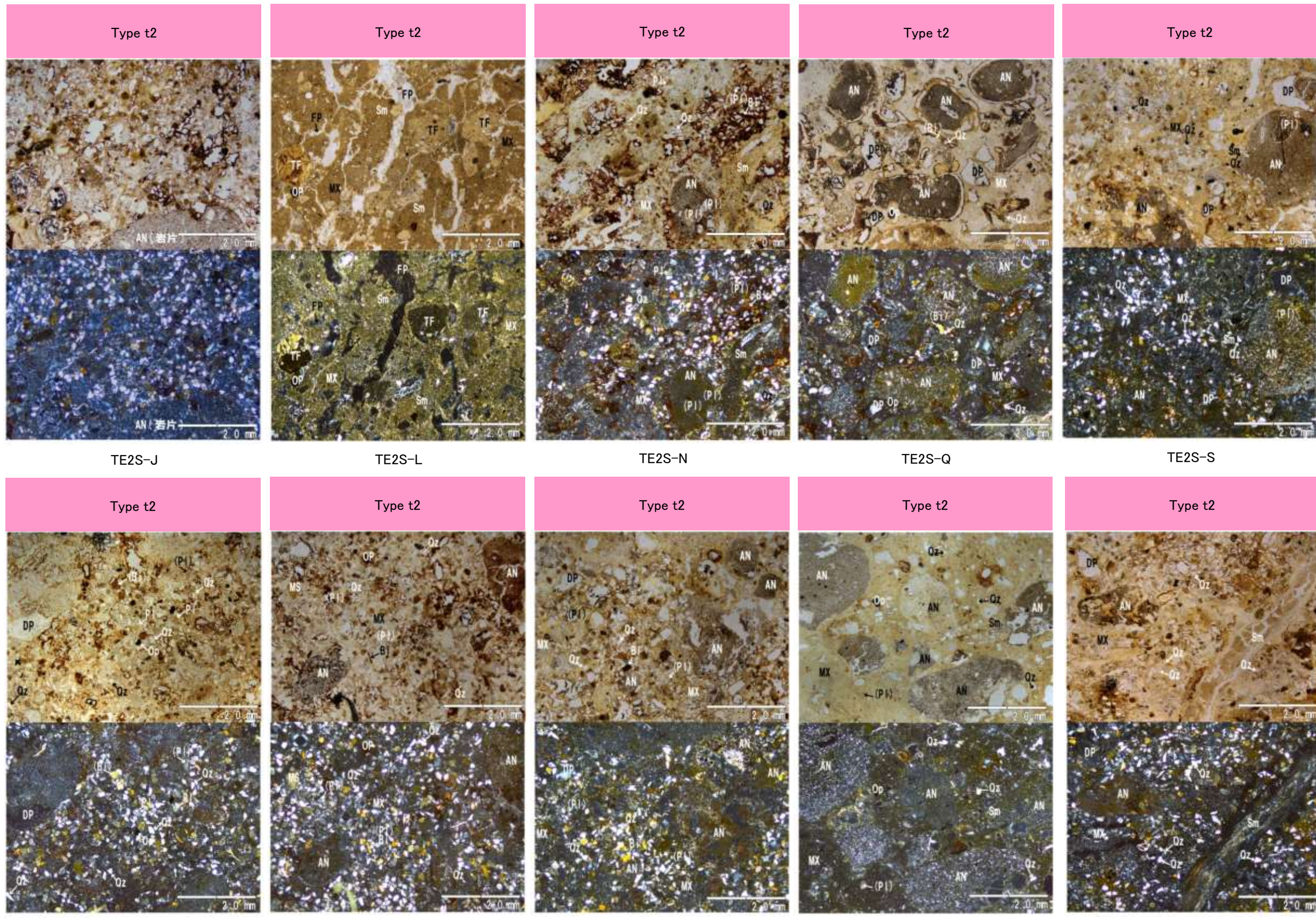
※写真上は単ニコル、写真下は直交ニコル。鉱物名の凡例は補足資料P.5.3-3-17参照

No.2トレーナー ①薄片観察結果 (Type t2) (2)



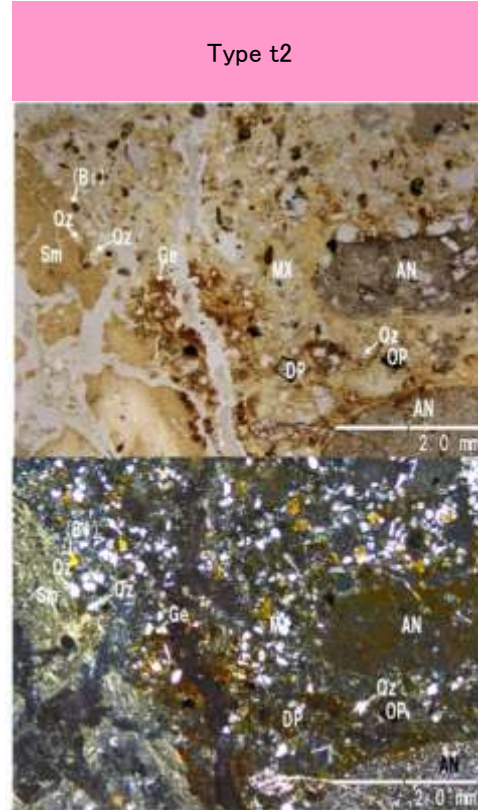
※写真上は単ニコル、写真下は直交ニコル。鉱物名の凡例は次々頁参照

No.2トレンチ ①薄片観察結果 (Type t2) (3)



※写真上は単ニコル、写真下は直交ニコル。鉱物名の凡例は次頁参照

No.2トレーナー ①薄片観察結果 (Type t2) (4)



凡例(鉱物名)

[岩片・生物遺骸]

AN:安山岩 TF:凝灰岩 GN:花崗岩質岩 SI:珪化岩 MS:泥岩

[初成鉱物・鉱物片]

Qz:石英 Pl:斜長石 Kf:カリ長石 Bi:黒雲母 Hb:普通角閃石
Opx:斜方輝石 Cpx:単斜輝石
Mf:(詳細不明)苦鉄質鉱物 Op:不透明鉱物

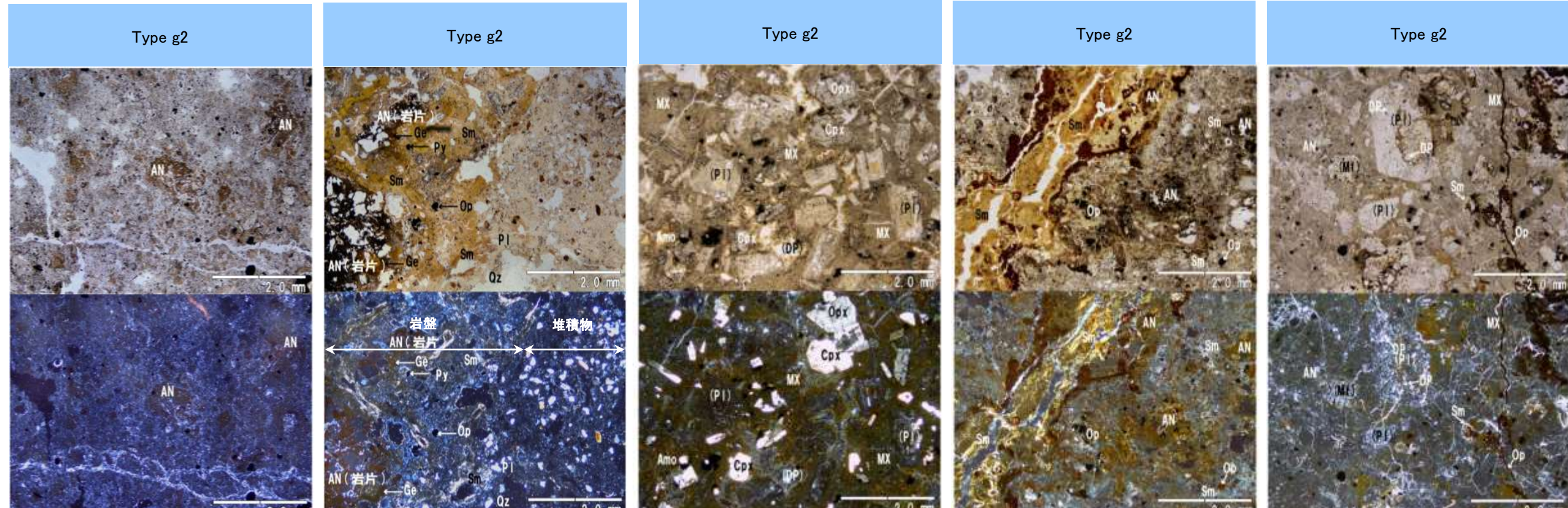
[2次鉱物]

Si:(詳細不明)シリカ鉱物 Ver:バーミュライト
Sm:スメクタイト Cl:(詳細不明)粘土鉱物
Ge:水酸化鉄 Zeo:沸石類 Py:黄鉄鉱 Amo:非晶質物質(Ge以外)

[その他の記号]

():仮像 MX:基質および石基 FP:フラクチャ一孔隙
DP:溶解孔隙

No.2トレーニチ ①薄片観察結果 (Type g2)



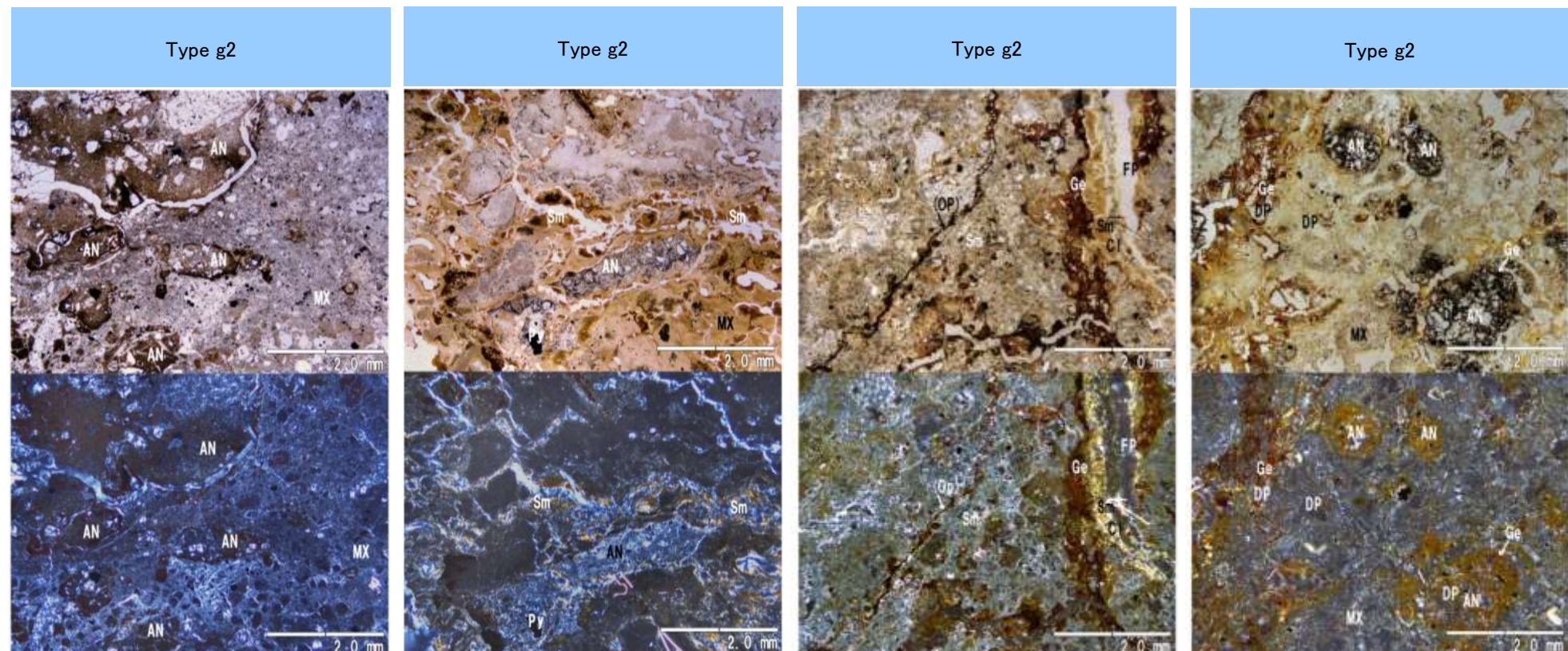
TE2N-F

TE2N-N

TE2S-E

TE2S-I

TE2S-V



TE2N-I

TE2N-

TE2S-H

TE2S-O

No.2トレンチ ②XRD分析結果

■XRD分析による検出鉱物を薄片観察結果と比較した。

| トレンチ位置 | 試料名 | 薄片観察による岩相区分 | XRDによる検出鉱物 | | | | | | | | | | | | | | | | |
|--------|--------|-------------|------------|----|----------|---------|------|-----|-----|------|------|-----------|------|-----|--------|----------|-------|-----|------|
| | | | 石英最強ピーク | 石英 | クリストバライト | トリディマイド | カリ長石 | 斜長石 | 角閃石 | 斜方輝石 | 単斜輝石 | 7Å型ハロイサイト | 雲母鉱物 | 緑泥石 | スメクタイト | バーミキュライト | ギブサイト | 磁鉄鉱 | 磁赤鉄鉱 |
| No.2 | TE2N-A | 堆積物 Type t2 | 3440 | ○ | △ | | ± | | | | ± | △ | ± | | | | | ± | ± |
| | TE2N-B | | 2217 | △ | △ | | ± | | | | ± | △ | ± | | | ± | | ± | ± |
| | TE2N-C | | 3440 | ○ | △ | | ± | | | | △ | ± | | | | | + | ± | ± |
| | TE2N-D | | 5454 | ◎ | △ | | △ | ± | | | △ | ± | | | | | ± | ± | ± |
| | TE2N-E | | 5745 | ◎ | △ | | ± | ± | | | △ | ± | | | | | ± | ± | ± |
| | TE2N-G | | 2291 | △ | △ | | | | | | △ | ± | | | ± | ± | | ± | ± |
| | TE2N-H | | 3367 | ○ | △ | | | | | | △ | ± | | | ± | | | ± | ± |
| | TE2N-J | | 2406 | △ | △ | | | | | ± | △ | ± | | | ± | | | ± | ± |
| | TE2N-K | | 4060 | ○ | △ | | ± | ± | | | △ | ± | | | + | | + | ± | ± |
| | TE2N-L | | 4757 | ○ | △ | | ± | | | | △ | ± | | | | ± | | ± | ± |
| | TE2N-M | | 4818 | ○ | △ | | ± | | | | △ | ± | | | ± | | | ± | ± |
| | TE2N-P | | 2008 | △ | △ | | | | | | △ | | | | ± | | | ± | ± |
| | TE2N-Q | | 2394 | △ | △ | | | | | | △ | ± | | ± | ± | ± | | ± | ± |
| | TE2N-R | | 2902 | ○ | △ | | ± | | | | △ | ± | | | ± | ± | | ± | ± |
| | TE2S-A | | 1919 | △ | △ | | ± | | | | △ | | | | ± | ± | | ± | ± |
| | TE2S-B | | 2107 | △ | △ | | | | | | △ | ± | | | | | | ± | ± |
| | TE2S-C | | 1613 | △ | △ | | | | | | △ | | | | ± | | ± | ± | ± |
| | TE2S-D | | 1132 | △ | △ | | | | | | △ | | | | ± | | ± | ± | ± |
| | TE2S-F | | 3191 | ○ | △ | | ± | ± | | | △ | ± | | | | | ± | ± | ± |
| | TE2S-G | | 4355 | ○ | △ | | ± | | | | △ | ± | | | | | | ± | ± |
| | TE2S-J | | 4807 | ○ | △ | | ± | ± | | | △ | ± | | | | | | ± | ± |
| | TE2S-K | | 4357 | ○ | △ | | ± | ± | | | △ | ± | | | | | ± | ± | ± |
| | TE2S-L | | 2941 | ○ | △ | | ± | | | | △ | ± | | ± | ± | | ± | ± | ± |
| | TE2S-M | | 2153 | △ | △ | | ± | ± | | | △ | ± | | ± | | | + | ± | ± |
| | TE2S-N | | 2893 | ○ | △ | | ± | | | | △ | | | | | | ± | ± | ± |
| | TE2S-P | | 3808 | ○ | △ | | ± | ± | | | △ | ± | | | | | ± | ± | ± |
| | TE2S-Q | | 2018 | △ | △ | | ± | | | | △ | | | | | | ± | ± | ± |
| | TE2S-R | | 1826 | △ | △ | | ± | | | | △ | | | | | | ± | ± | ± |
| | TE2S-S | | 4730 | ○ | △ | | ± | ± | | | △ | ± | | | | | ± | ± | ± |
| | TE2S-T | | 3706 | ○ | △ | | ± | ± | | | △ | | | | | | ± | ± | ± |
| | TE2S-U | | 3997 | ○ | △ | | ± | ± | | | △ | | | | | | ± | ± | ± |
| | TE2N-F | 岩盤 Type g2 | 65 | ± | △ | | | | | | △ | | | ± | | | + | ± | |
| | TE2N-I | | 999 | △ | △ | | | | | | △ | ± | | + | | | + | ± | |
| | TE2N-N | | 1120 | △ | △ | | + | + | | | △ | ± | | ± | | | ± | ± | |
| | TE2N-O | | 105 | ± | △ | | | ± | | | △ | | | ± | | + | | △ | |
| | TE2S-E | | 139 | ± | ± | | | △ | | △ | △ | | | + | ± | | | + | |
| | TE2S-H | | 80 | ± | | | | | | | △ | | | ± | | | ± | + | ± |
| | TE2S-I | | 365 | + | ± | | | | | | △ | | | ± | | | + | + | ± |
| | TE2S-O | | 553 | △ | ± | | | | | | △ | | | ± | | | ± | + | ± |
| | TE2S-V | | 92 | ± | ± | ○ | | | | | △ | | | ± | | | + | ± | |

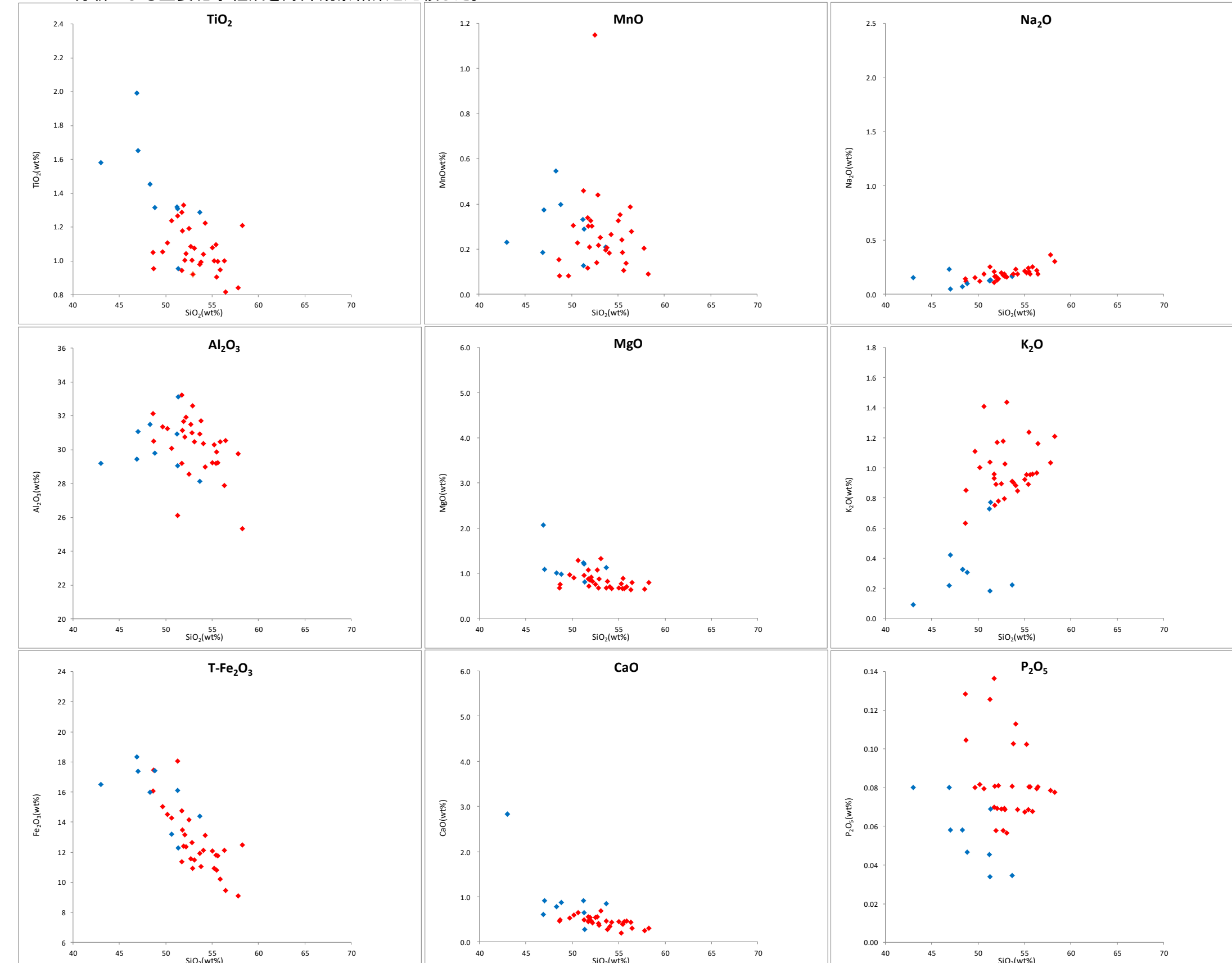
- ・薄片観察にてType t2と区分された堆積物は、石英最強ピークが1,132～5,745cpsで、カリ長石が検出されるものが多い。
- ・薄片観察にてType g2と区分された岩盤は、石英最強ピークが65～1,120cpsと堆積物に比べて小さく、スメクタイトが検出されるものが多い。

◎: 多量 > 5000cps ○: 中量 2500～5000cps
 △: 少量 500～2500cps +: 微量 250～500cps
 ±: きわめて微量 < 250cps
 標準石英最強回折線強度（3回繰り返し測定、平均53,376cps）

・石英のピーク値及び鉱物組成を比較した結果、薄片観察結果（岩盤と堆積物の区分）を支持する結果が得られた。

No.2トレンチ ③XRF分析結果 ハーイター図

■XRF分析による主要化学組成を薄片観察結果と比較した。



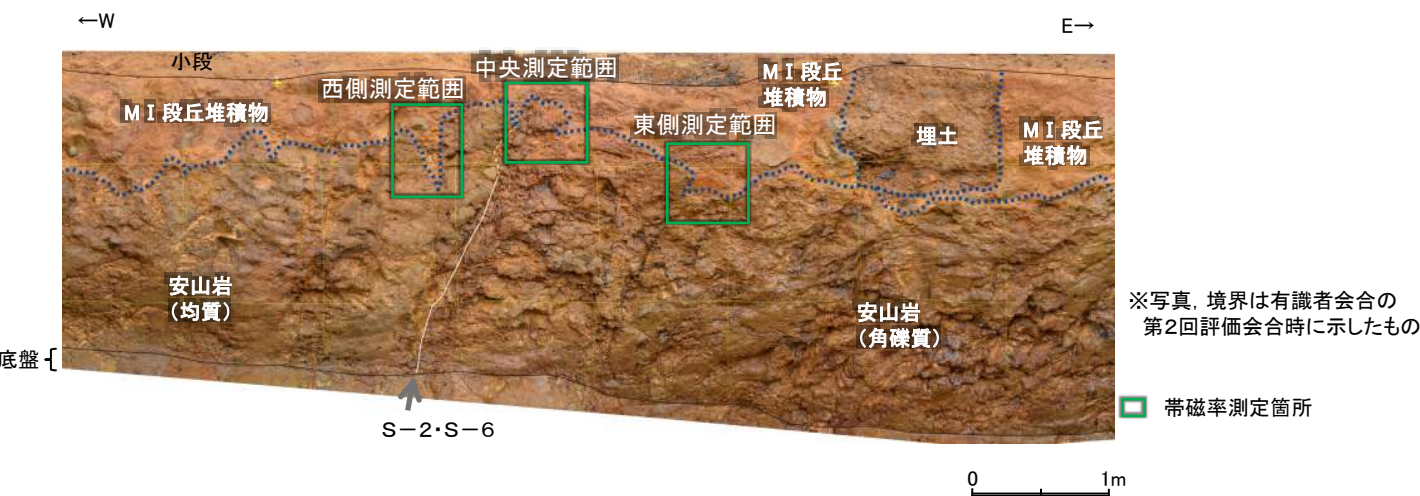
No.2トレント ③XRF分析結果 主要化学組成一覧表

主要化学組成(Ig.Loss規格化後)

| 試料名 | Type | SiO ₂ | TiO ₂ | Al ₂ O ₃ | T-Fe ₂ O ₃ | MnO | MgO | CaO | Na ₂ O | K ₂ O | P ₂ O ₅ | Total |
|--------|------|------------------|------------------|--------------------------------|----------------------------------|------|------|------|-------------------|------------------|-------------------------------|--------|
| TE2N-A | t2 | 55.28 | 1.00 | 30.27 | 10.90 | 0.35 | 0.76 | 0.19 | 0.19 | 0.95 | 0.10 | 100.00 |
| TE2N-B | | 53.81 | 0.99 | 31.68 | 11.04 | 0.21 | 0.81 | 0.27 | 0.18 | 0.90 | 0.10 | 100.00 |
| TE2N-C | | 54.11 | 1.04 | 30.33 | 12.09 | 0.18 | 0.69 | 0.34 | 0.23 | 0.88 | 0.11 | 100.00 |
| TE2N-D | | 57.81 | 0.84 | 29.72 | 9.09 | 0.20 | 0.64 | 0.24 | 0.36 | 1.03 | 0.08 | 100.00 |
| TE2N-E | | 58.29 | 1.21 | 25.31 | 12.44 | 0.09 | 0.79 | 0.29 | 0.30 | 1.21 | 0.08 | 100.00 |
| TE2N-G | | 50.67 | 1.24 | 30.05 | 14.23 | 0.23 | 1.28 | 0.63 | 0.18 | 1.41 | 0.08 | 100.00 |
| TE2N-H | | 53.13 | 1.07 | 30.45 | 11.45 | 0.25 | 1.31 | 0.68 | 0.16 | 1.44 | 0.06 | 100.00 |
| TE2N-J | | 51.79 | 1.28 | 29.18 | 14.73 | 0.11 | 1.07 | 0.55 | 0.20 | 0.95 | 0.14 | 100.00 |
| TE2N-K | | 51.31 | 1.27 | 26.11 | 18.02 | 0.46 | 0.95 | 0.48 | 0.25 | 1.04 | 0.13 | 100.00 |
| TE2N-L | | 55.48 | 0.90 | 29.85 | 10.79 | 0.18 | 0.88 | 0.39 | 0.21 | 1.24 | 0.08 | 100.00 |
| TE2N-M | | 56.46 | 0.82 | 30.52 | 9.42 | 0.28 | 0.78 | 0.30 | 0.18 | 1.16 | 0.08 | 100.00 |
| TE2N-P | | 52.22 | 1.04 | 31.89 | 12.32 | 0.30 | 0.81 | 0.42 | 0.14 | 0.78 | 0.08 | 100.00 |
| TE2N-Q | | 52.09 | 1.00 | 30.74 | 13.13 | 0.32 | 0.90 | 0.45 | 0.13 | 1.17 | 0.07 | 100.00 |
| TE2N-R | | 52.92 | 0.92 | 32.56 | 10.90 | 0.22 | 0.87 | 0.36 | 0.16 | 1.03 | 0.07 | 100.00 |
| TE2S-A | | 48.75 | 0.95 | 30.49 | 17.44 | 0.08 | 0.74 | 0.48 | 0.12 | 0.85 | 0.10 | 100.00 |
| TE2S-B | | 49.73 | 1.05 | 31.31 | 15.02 | 0.08 | 0.96 | 0.51 | 0.15 | 1.11 | 0.08 | 100.00 |
| TE2S-C | | 48.65 | 1.05 | 32.11 | 16.02 | 0.15 | 0.66 | 0.45 | 0.14 | 0.63 | 0.13 | 100.00 |
| TE2S-D | | 51.74 | 0.94 | 33.21 | 11.35 | 0.34 | 0.87 | 0.44 | 0.10 | 0.93 | 0.07 | 100.00 |
| TE2S-F | | 53.73 | 0.98 | 30.92 | 11.89 | 0.20 | 0.67 | 0.46 | 0.17 | 0.91 | 0.08 | 100.00 |
| TE2S-G | | 55.89 | 0.94 | 30.44 | 10.18 | 0.13 | 0.70 | 0.45 | 0.25 | 0.96 | 0.07 | 100.00 |
| TE2S-J | | 55.06 | 1.08 | 29.20 | 12.04 | 0.33 | 0.66 | 0.44 | 0.21 | 0.92 | 0.07 | 100.00 |
| TE2S-K | | 56.33 | 1.00 | 27.86 | 12.11 | 0.39 | 0.62 | 0.43 | 0.22 | 0.96 | 0.08 | 100.00 |
| TE2S-L | | 52.73 | 1.08 | 31.48 | 11.54 | 0.14 | 1.07 | 0.55 | 0.17 | 1.17 | 0.06 | 100.00 |
| TE2S-M | | 51.95 | 1.33 | 31.64 | 12.39 | 0.21 | 0.84 | 0.53 | 0.16 | 0.89 | 0.06 | 100.00 |
| TE2S-N | | 52.55 | 1.19 | 28.54 | 14.14 | 1.15 | 0.74 | 0.53 | 0.19 | 0.89 | 0.07 | 100.00 |
| TE2S-P | | 54.31 | 1.22 | 28.95 | 13.08 | 0.26 | 0.65 | 0.43 | 0.18 | 0.84 | 0.07 | 100.00 |
| TE2S-Q | | 51.80 | 1.18 | 31.11 | 13.46 | 0.30 | 0.70 | 0.46 | 0.16 | 0.75 | 0.08 | 100.00 |
| TE2S-R | | 50.20 | 1.11 | 31.23 | 14.47 | 0.30 | 0.90 | 0.59 | 0.12 | 1.00 | 0.08 | 100.00 |
| TE2S-S | | 55.62 | 1.00 | 29.22 | 11.76 | 0.10 | 0.65 | 0.44 | 0.18 | 0.95 | 0.08 | 100.00 |
| TE2S-T | | 52.84 | 1.00 | 30.99 | 12.62 | 0.44 | 0.67 | 0.40 | 0.18 | 0.79 | 0.07 | 100.00 |
| TE2S-U | | 55.45 | 1.09 | 29.18 | 11.80 | 0.24 | 0.65 | 0.39 | 0.24 | 0.89 | 0.07 | 100.00 |
| TE2N-F | g2 | 51.30 | 1.31 | 29.01 | 16.08 | 0.12 | 1.20 | 0.64 | 0.12 | 0.18 | 0.03 | 100.00 |
| TE2N-I | | 51.24 | 1.32 | 30.90 | 13.18 | 0.33 | 1.23 | 0.91 | 0.12 | 0.73 | 0.05 | 100.00 |
| TE2N-N | | 51.36 | 0.95 | 33.10 | 12.27 | 0.29 | 0.79 | 0.26 | 0.13 | 0.77 | 0.07 | 100.00 |
| TE2N-O | | 46.93 | 1.99 | 29.42 | 18.29 | 0.18 | 2.06 | 0.61 | 0.23 | 0.22 | 0.08 | 100.00 |
| TE2S-E | | 43.01 | 1.58 | 29.18 | 16.48 | 0.23 | 6.36 | 2.83 | 0.15 | 0.09 | 0.08 | 100.00 |
| TE2S-H | | 47.07 | 1.65 | 31.03 | 17.37 | 0.37 | 1.08 | 0.91 | 0.05 | 0.42 | 0.06 | 100.00 |
| TE2S-I | | 48.33 | 1.45 | 31.46 | 15.98 | 0.55 | 1.00 | 0.78 | 0.07 | 0.32 | 0.06 | 100.00 |
| TE2S-O | | 48.84 | 1.31 | 29.79 | 17.38 | 0.39 | 0.98 | 0.87 | 0.09 | 0.30 | 0.05 | 100.00 |
| TE2S-V | | 53.68 | 1.29 | 28.09 | 14.36 | 0.21 | 1.11 | 0.84 | 0.16 | 0.22 | 0.03 | 100.00 |

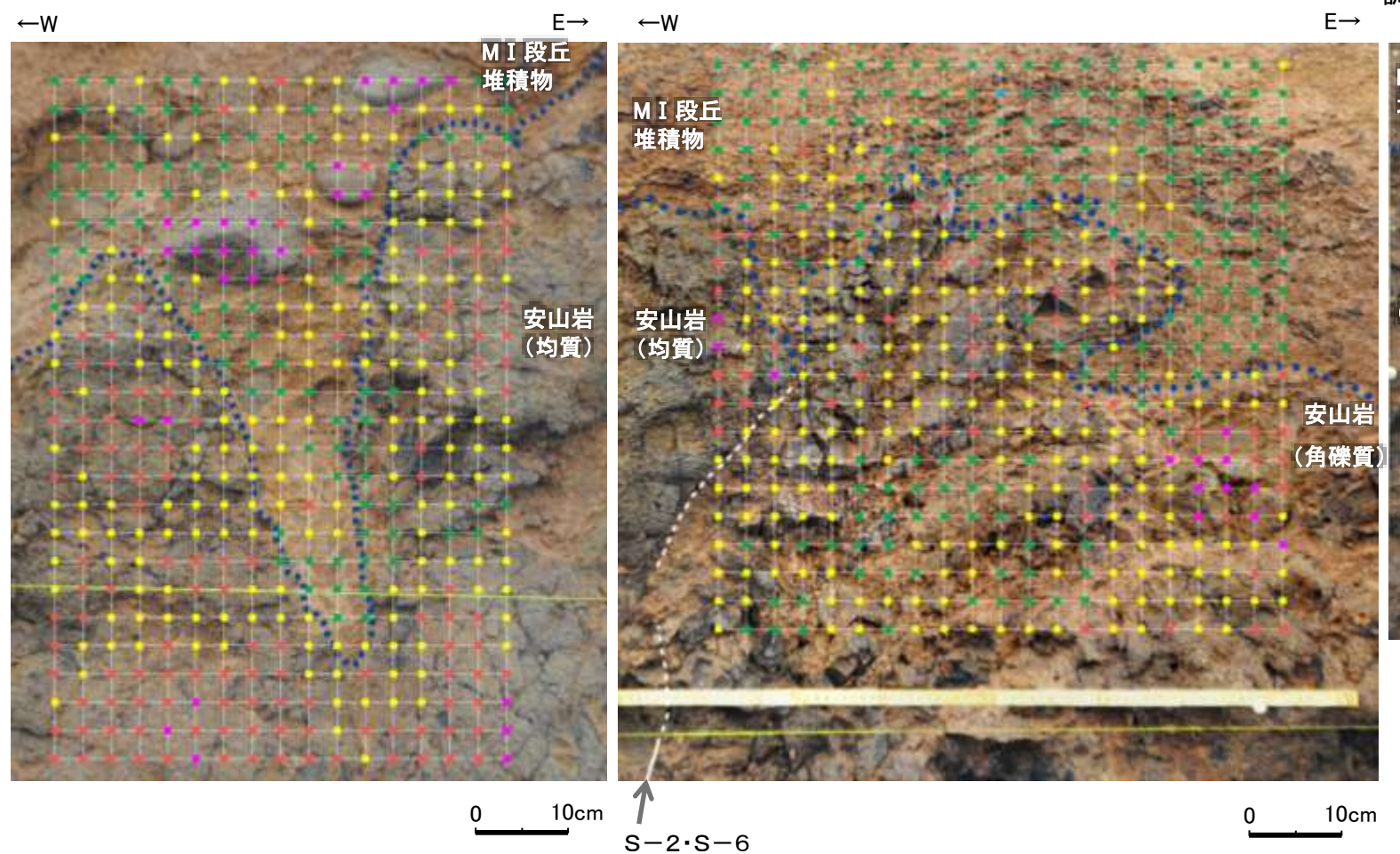
No.2トレーニング ④ 帯磁率測定結果(北面)

■No.2トレーニングの北面、南面において帯磁率測定を実施し、肉眼観察による岩盤と堆積物の境界と比較した。



※写真、境界は有識者会合の第2回評価会合時に示したもの

□ 帯磁率測定箇所



※写真、境界は有識者会合の第2回評価会合時に示したもの

西側測定結果

- ・肉眼観察により相対的に新鮮な岩盤や礫と判断される箇所においては帯磁率が大きくなる。

中央測定結果

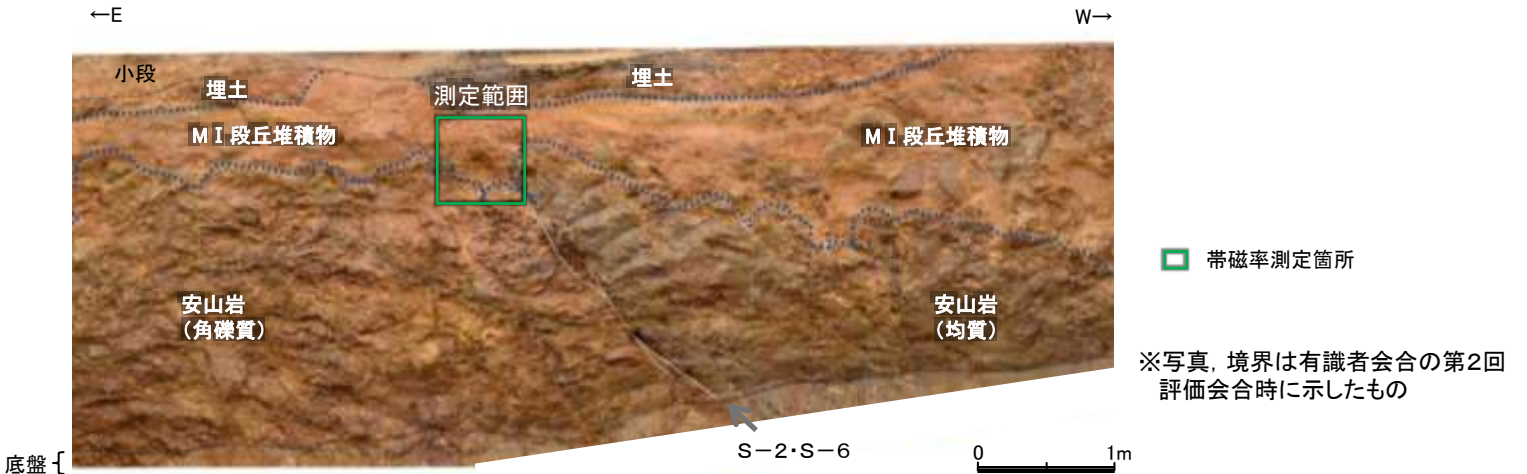
- ・肉眼観察により相対的に新鮮な岩盤や礫と判断される箇所においては帯磁率が大きくなる。

東側測定結果

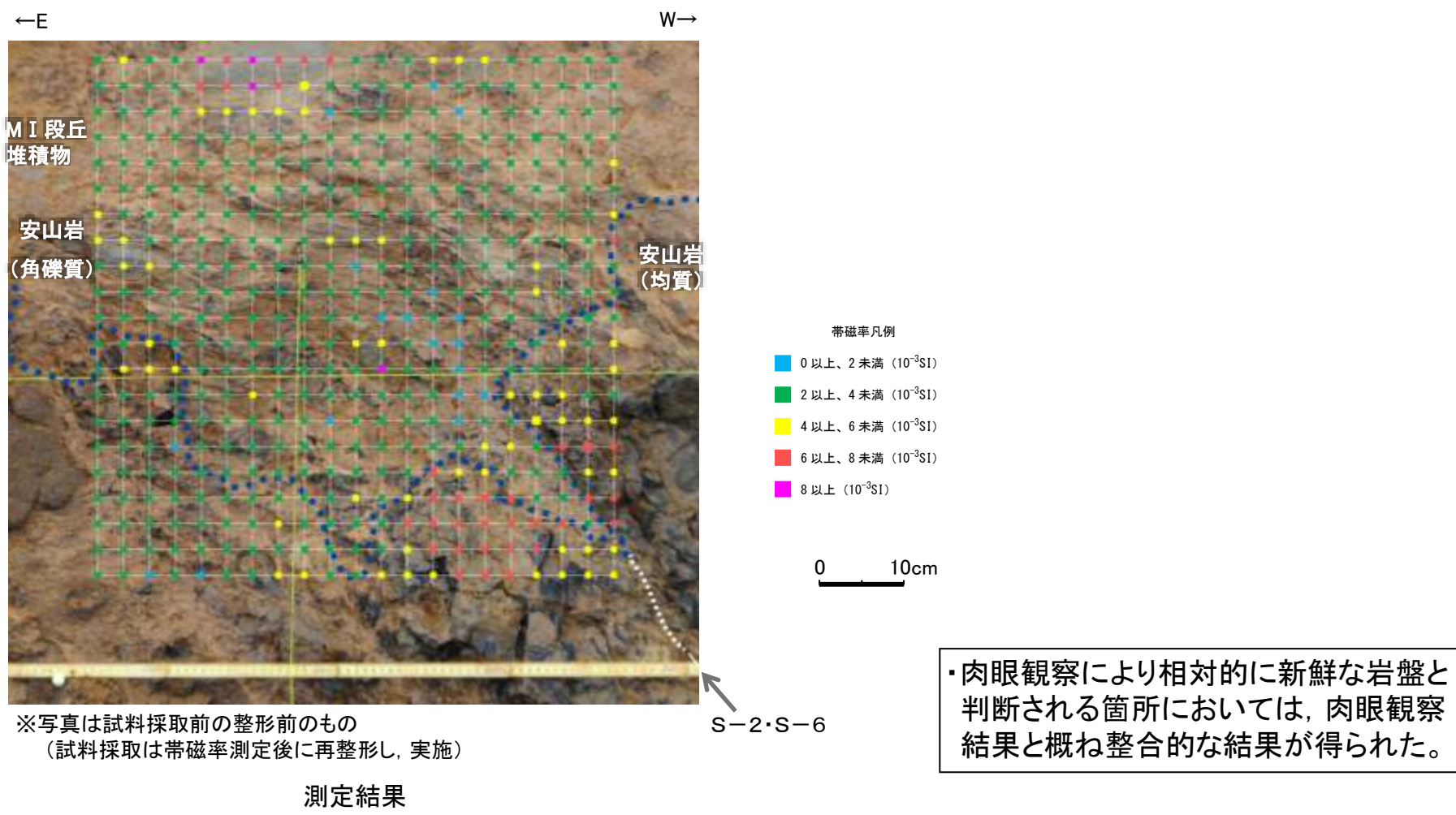
- ・肉眼観察により相対的に新鮮な岩盤や礫と判断される箇所においては帯磁率が大きくなる。

| 帯磁率凡例 |
|-------------------------|
| 0以上、2未満 (10^{-3} SI) |
| 2以上、4未満 (10^{-3} SI) |
| 4以上、6未満 (10^{-3} SI) |
| 6以上、8未満 (10^{-3} SI) |
| 8以上 (10^{-3} SI) |
| □ 測定不能 (試料採取跡等) |

No.2トレンチ ④帶磁率測定結果(南面)

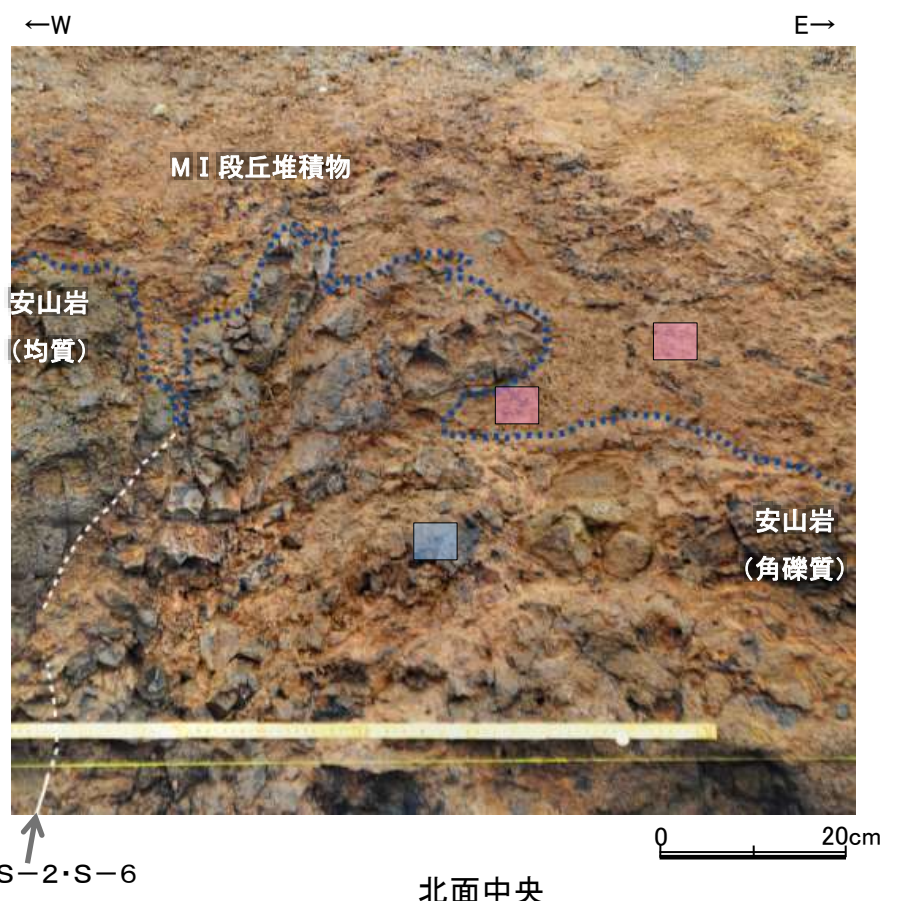
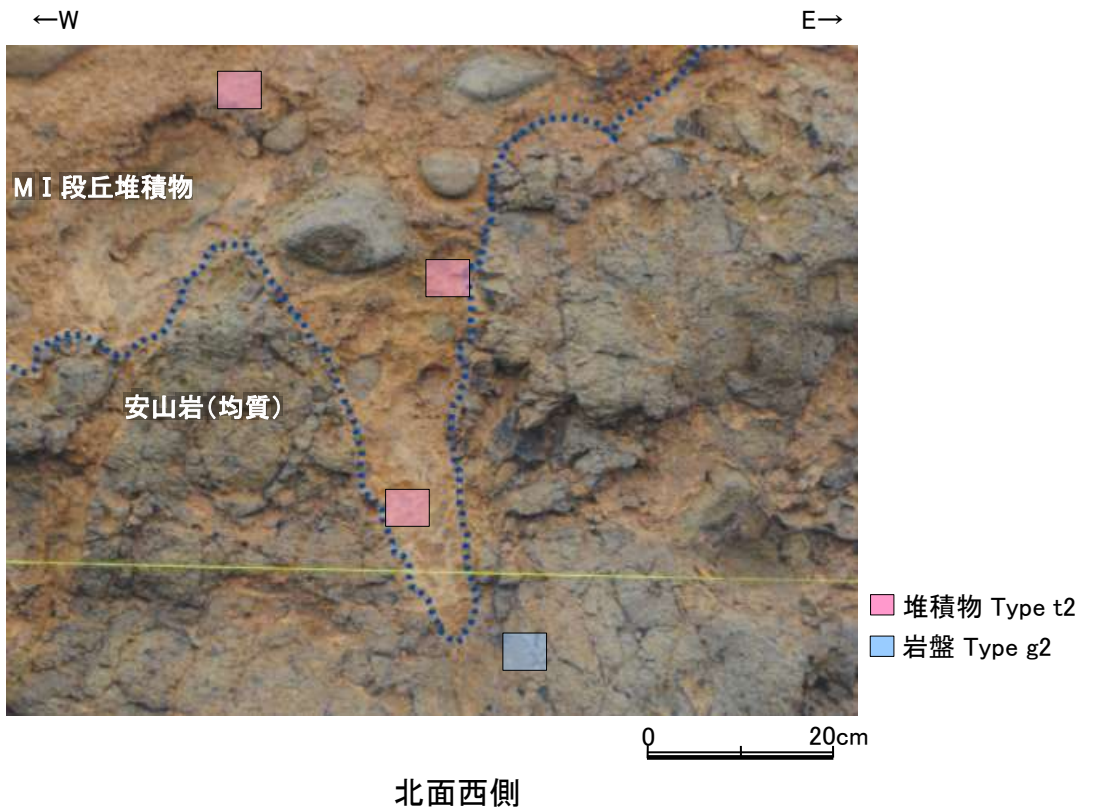


調査位置図(No.2トレンチ 南面下段)



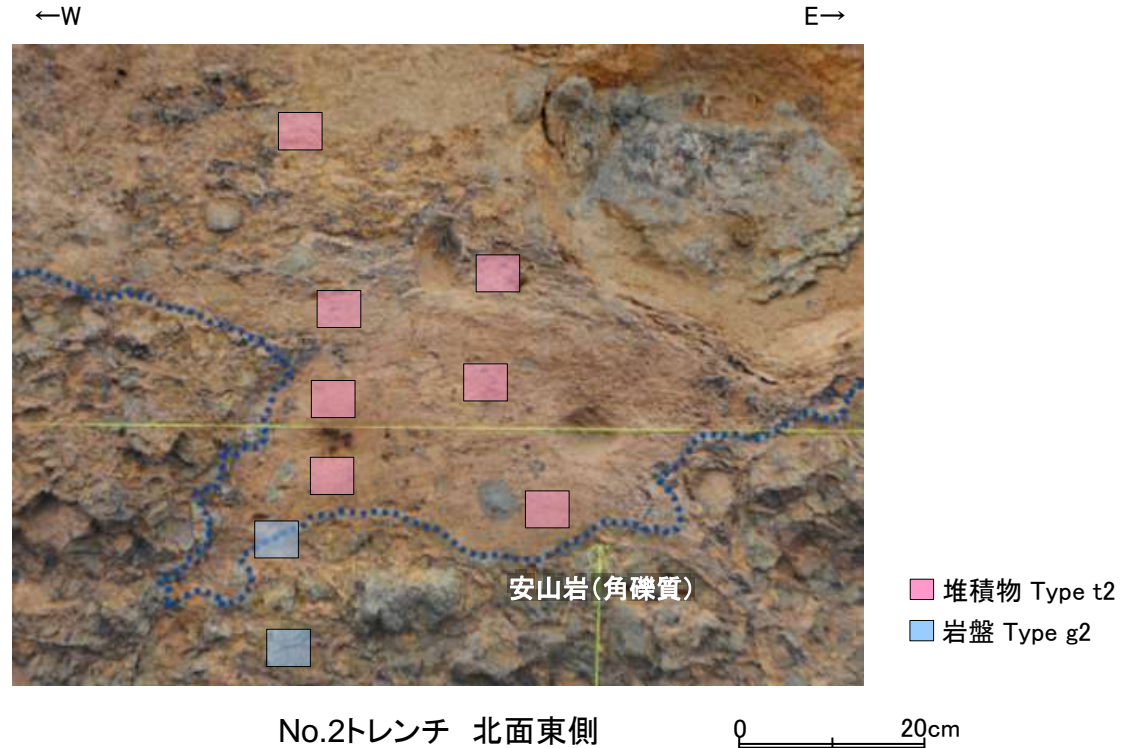
測定結果

- ・肉眼観察により相対的に新鮮な岩盤や礫と判断される箇所においては、帯磁率が大きくなる。

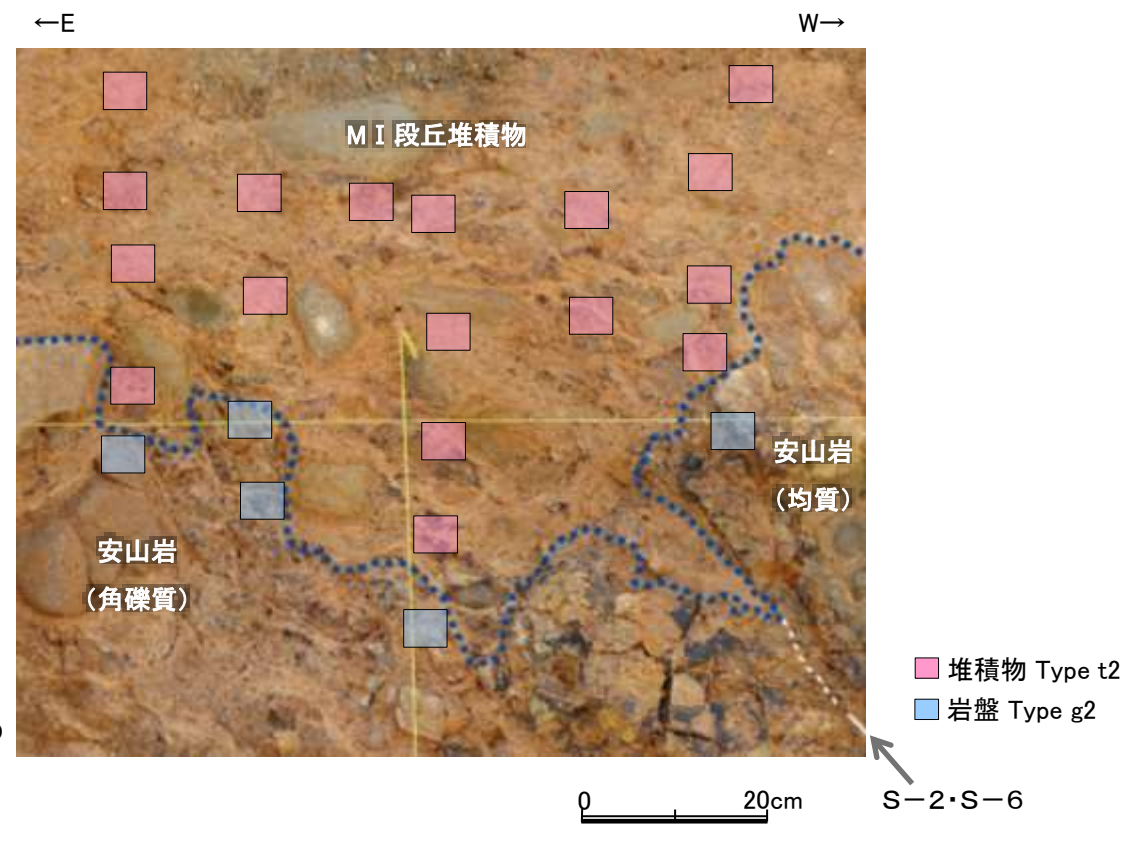


No.2トレーニング(北面西側, 北面中央)において、肉眼観察の結果を基本とし、各種分析による客観的かつ定量的なデータを整理することにより岩盤と堆積物の境界すると左図のとおりとなる。

※写真、境界は有識者会合の
第2回評価会合時に示したもの



※写真、境界は有識者会合の
第2回評価会合時に示したもの

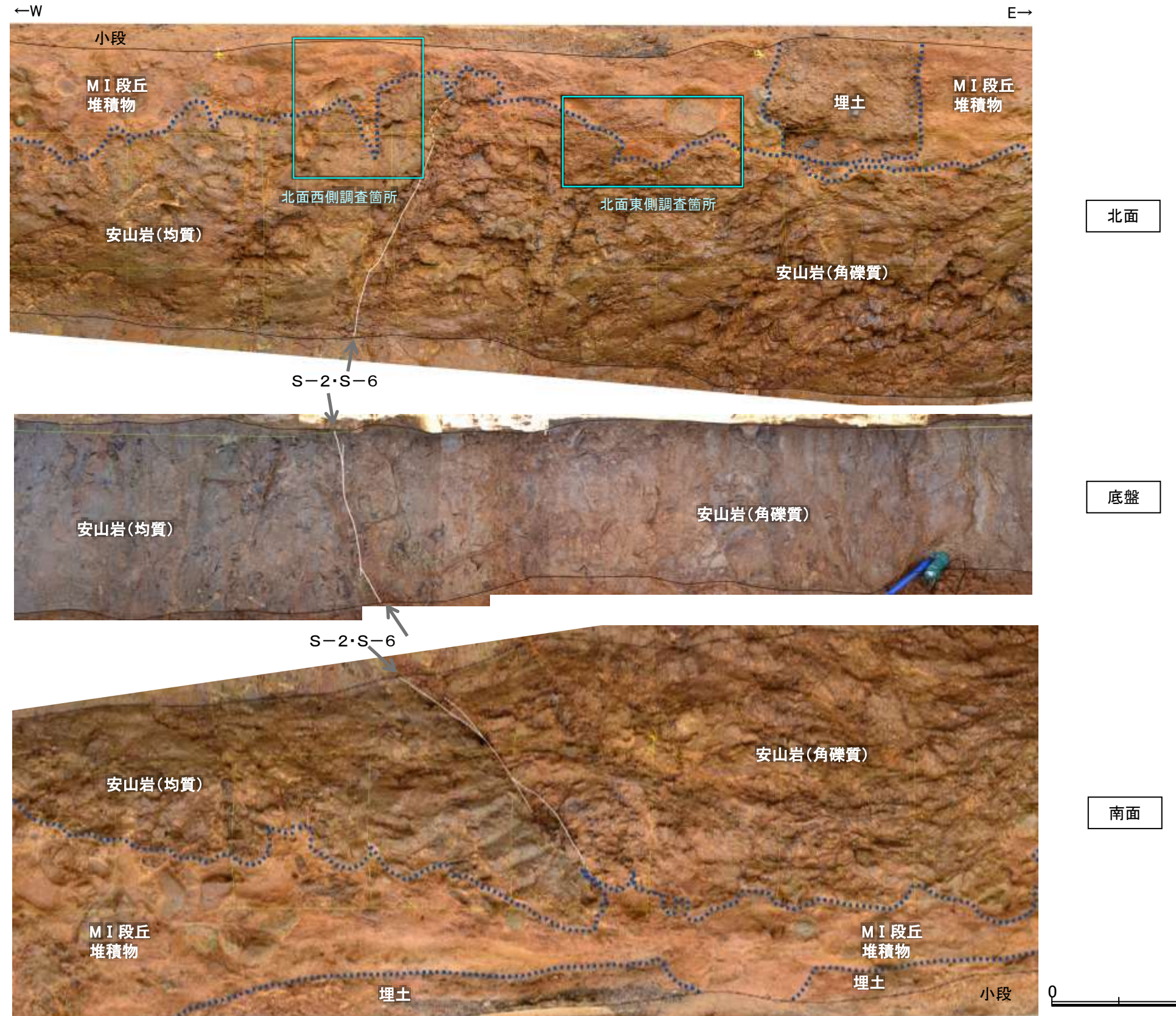


No.2トレーニチ(北面東側, 南面)において、
肉眼観察の結果を基本とし、各種分析に
よる客観的かつ定量的なデータを整理す
ることにより岩盤と堆積物の境界すると左
図のとおりとなる。

(1)-2 No.2トレンチにおけるS-2・S-6周辺の割れ目に関する調査結果

No.2トレンチの割れ目に関する調査結果 調査位置図

■S-2・S-6周辺の割れ目について、上載地層との関係に関する調査を実施した。



※写真、境界は有識者会合の第2回評価会合時に示したもの

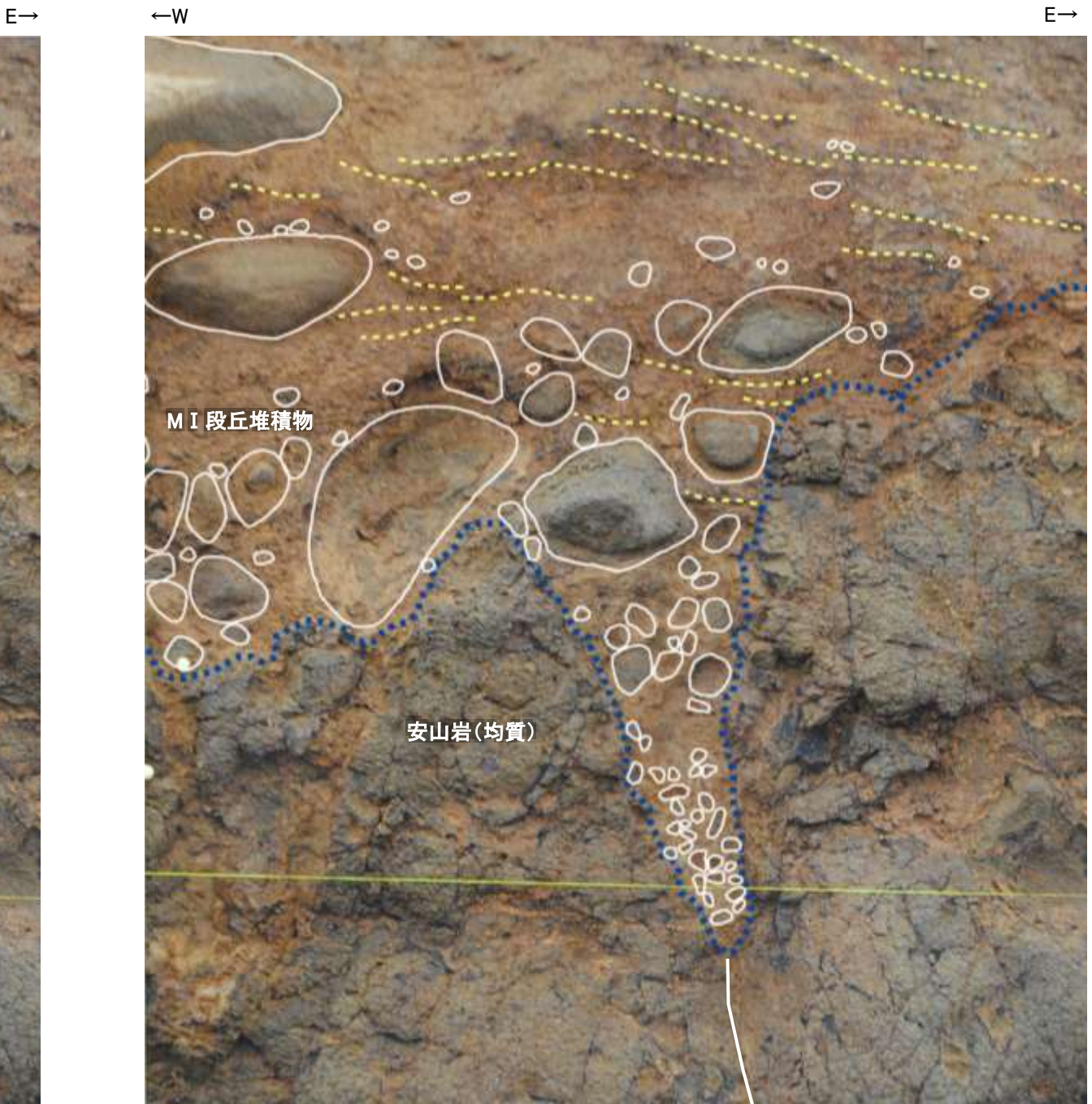
No.2トレンチ写真(断層等を加筆)

5.3-3-27

No.2トレーニング北面西側調査箇所



北面西側調査箇所 拡大写真

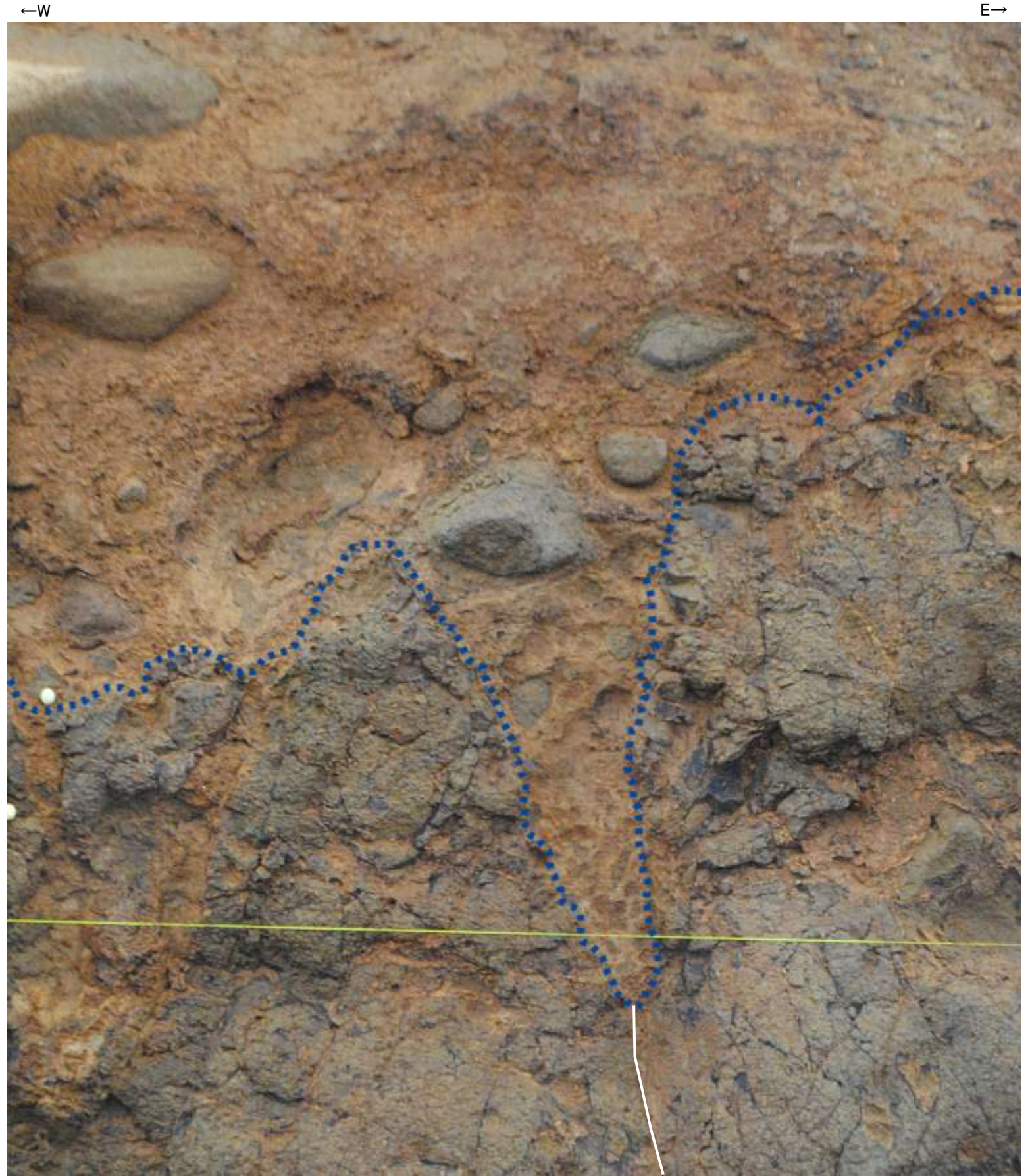


※写真、境界は有識者会合の第2回
評価会合時に示したもの

北面西側調査箇所 拡大写真(礫、構造等を加筆)

- ・岩盤上面のくさび部には、MI段丘堆積物が入り込むように堆積している。
- ・くさび部を挟んで両側の岩盤は、ほぼ同じ高さである。
- ・割れ目直上のMI段丘堆積物中には、せん断面は認められない（次頁拡大写真参照）。
- ・くさび部を埋めるように堆積するMI段丘堆積物層中の礫には定向性を示す傾向は認められず、また上方のMI段丘堆積物層中に認められる堆積構造（図中黄点線）は、岩盤上面とほぼ平行に分布し、堆積構造の乱れは認められない。

No.2トレーナー北面西側調査箇所 拡大写真



※写真、境界は有識者会合の
第2回評価会合時に示したもの

北面西側調査箇所 拡大写真(岩盤境界等を加筆)

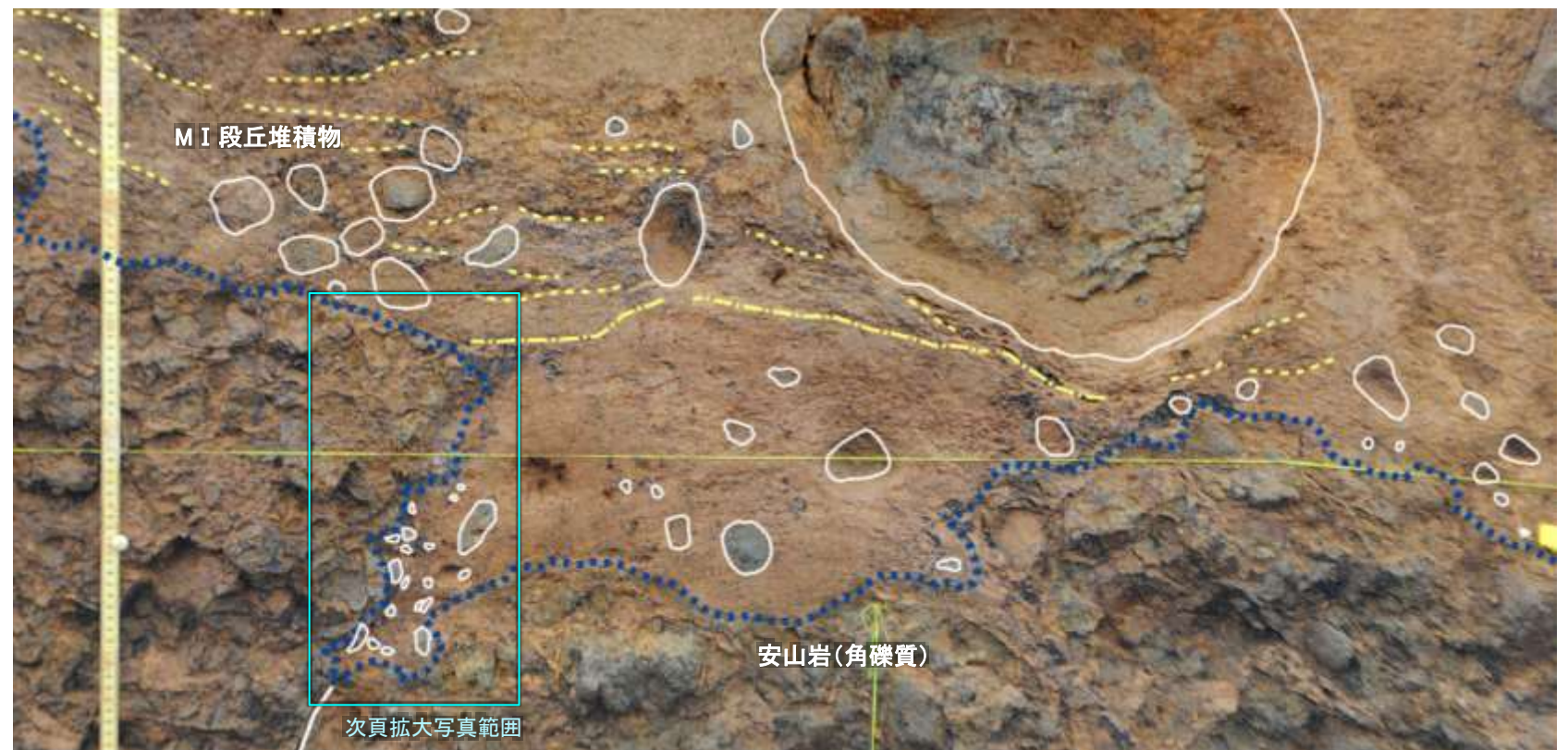
0 10cm

5.3-3-29

No.2トレーニング北面東側調査箇所①



北面東側調査箇所 拡大写真



※写真、境界は有識者会合の第2回 評価会合時に示したもの

北面東側調査箇所 拡大写真(礫、構造等を加筆)

0 20cm

- ・割れ目付近の岩盤上面の凹部には、M I 段丘堆積物が入り込むように堆積している。
- ・凹部を挟んで両側の岩盤は、ほぼ同じ高さである。
- ・割れ目直上のM I 段丘堆積物中には、せん断面は認められない(次頁参照)。
- ・上方のM I 段丘堆積物中に認められる堆積構造(図中黄点線)や層理(図中黄一点鎖線)は、岩盤上面とほぼ平行に分布し、堆積構造の乱れは認められない。

※凹部西側下部の岩盤と堆積物の境界付近に認められる段差に沿う礫についての詳細検討結果を次頁以降に示す。

↑
割れ目

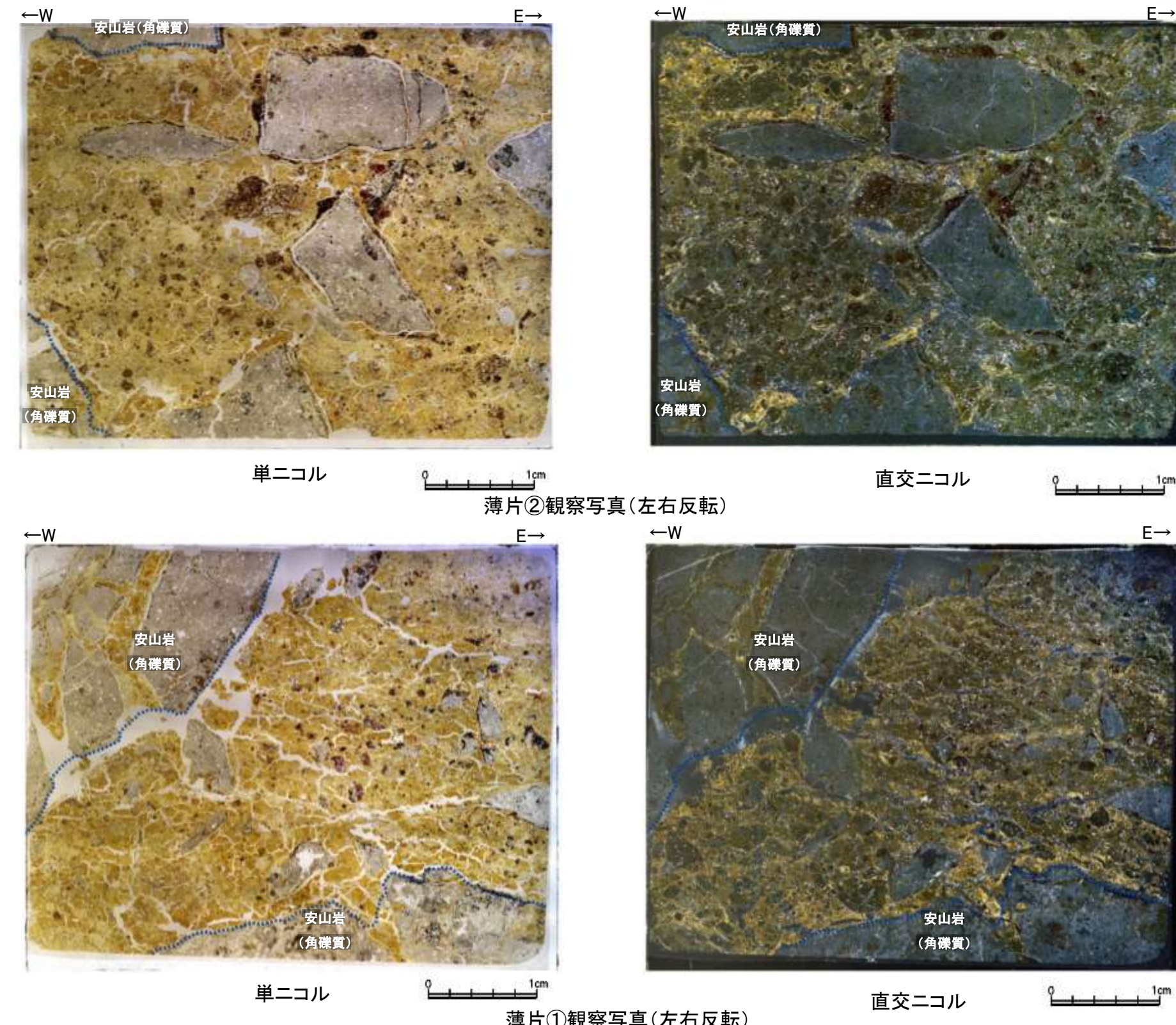
No.2トレーンチ北面東側調査箇所②

■岩盤と堆積物の境界付近には段差に沿う礫が一部認められることから、より詳細に観察するため、岩盤と堆積物の境界付近において薄片観察を実施した。



※写真、境界は有識者会合の第2回評価会合時に示したもの
□ 薄片による
せん断面の確認箇所

拡大写真

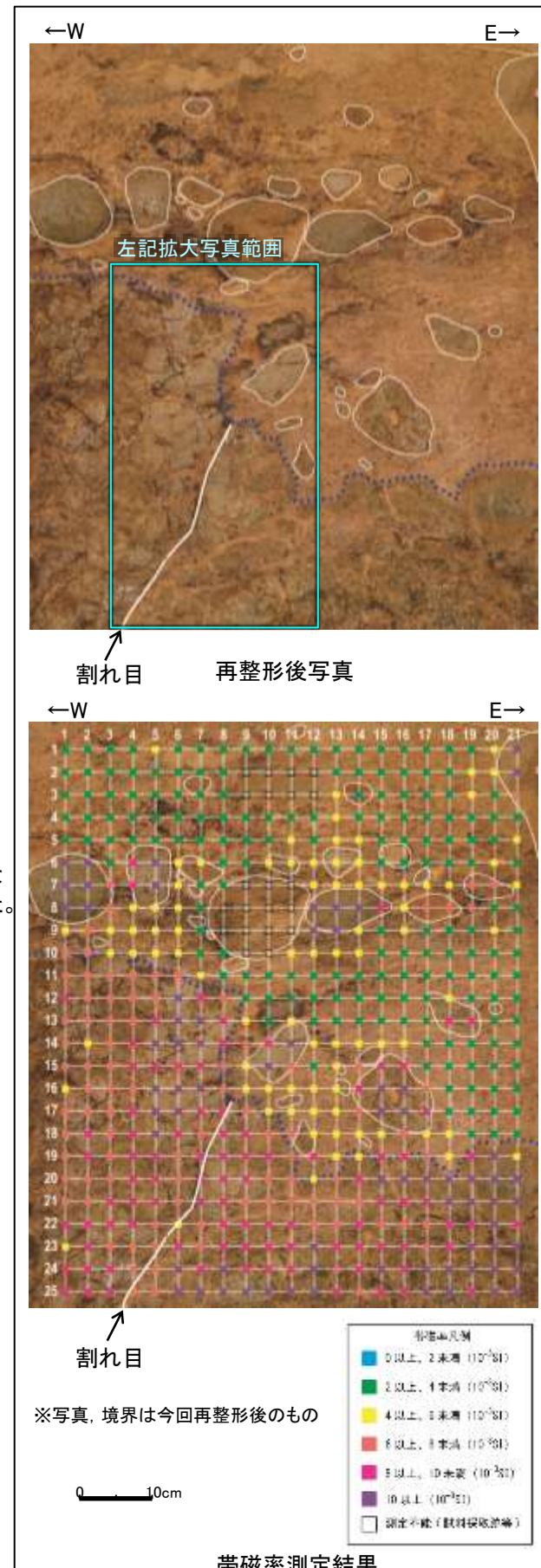
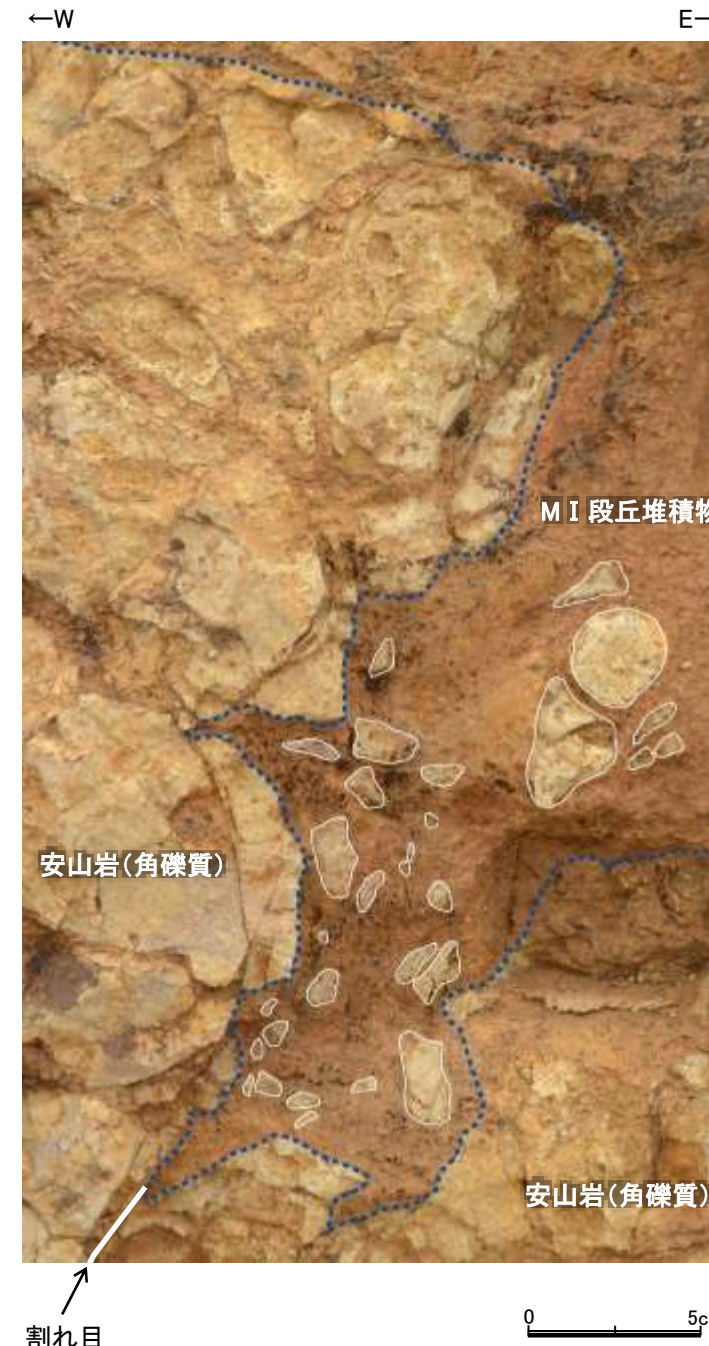


・いずれの薄片においても割れ目の延長線上には、せん断面は認められない。

・なお、岩盤と堆積物の境界付近に認められた段差に沿う礫については、岩盤中の割れ目が風化等の影響により開放され、そこに堆積物が流入したことにより母岩から分離するような様相で分布したものと考えられる。いずれにしても、薄片試料採取後に再整形したところ、この背面には岩盤が分布しており、このような状況は連続性がない局所的な現象であったことが確認された(次頁参照)。

No.2トレーンチ北面東側調査箇所の再整形後の状況

■薄片試料採取後、割れ目箇所付近において、再整形を実施した。

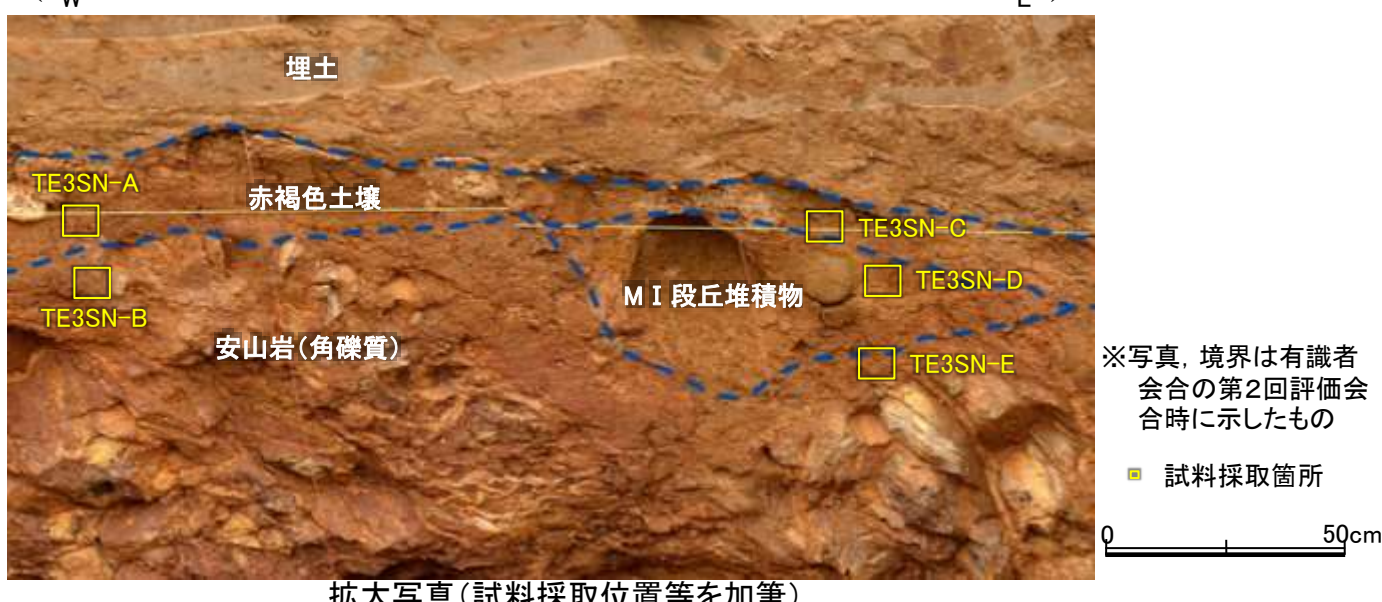
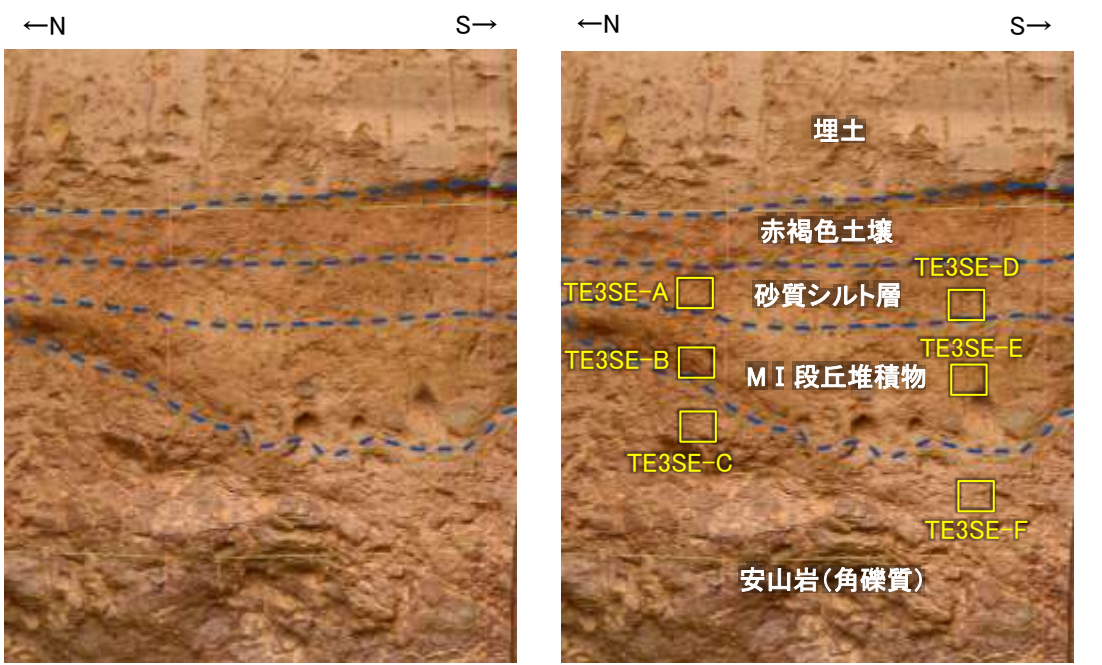
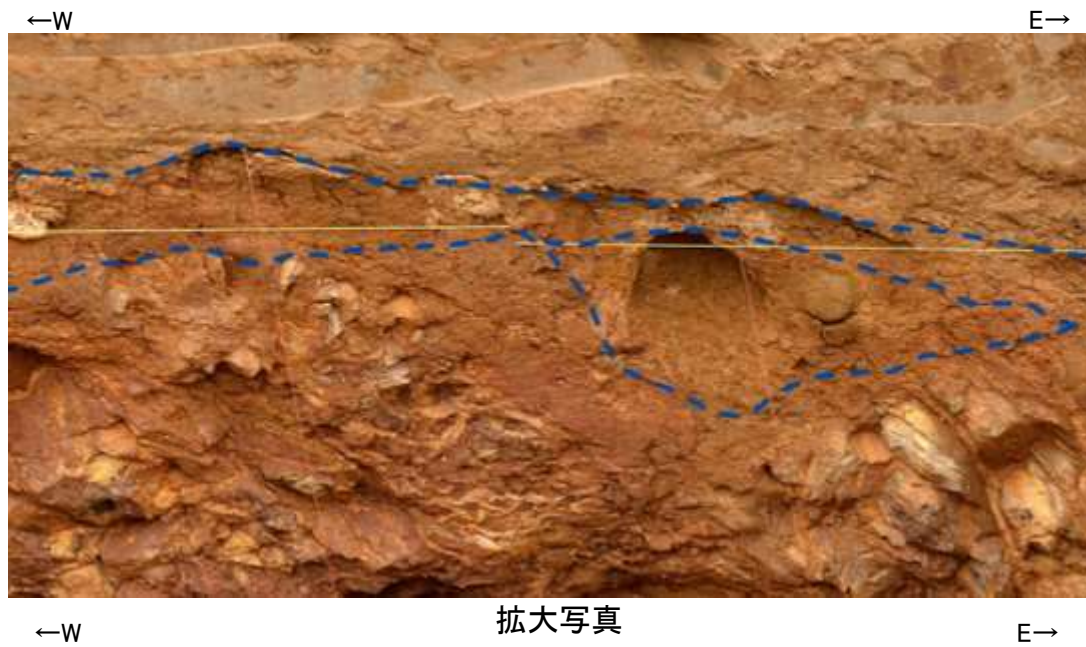
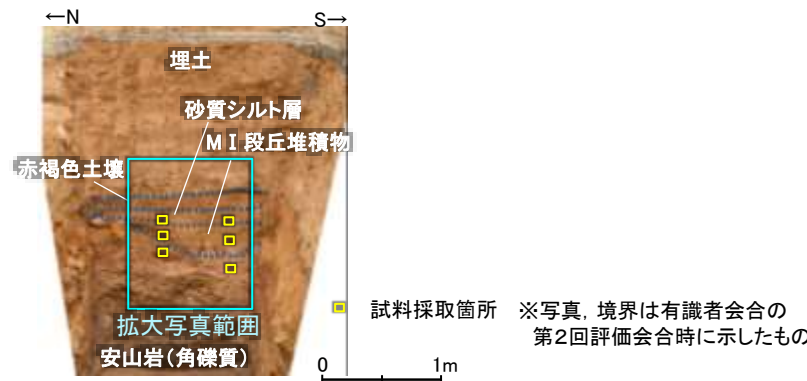


・当初凹地西側で岩盤に沿う礫が認められたものの、再整形することによりその背面には岩盤が分布し、岩盤境界は緩やかな凹地形状を呈することが確認された。

(2) No.3トレンチ

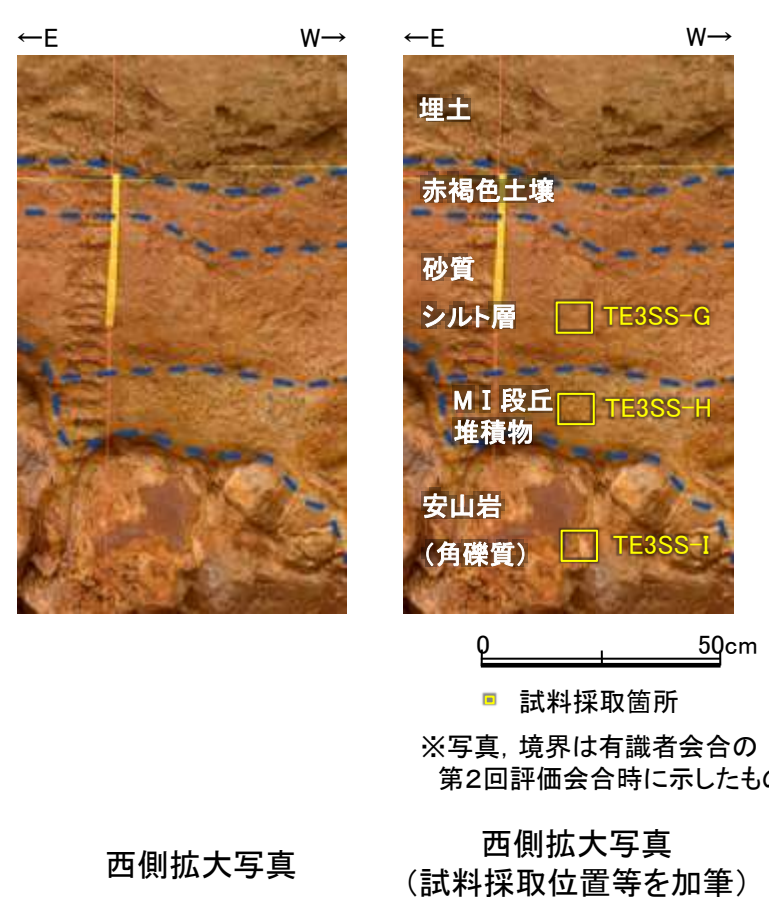
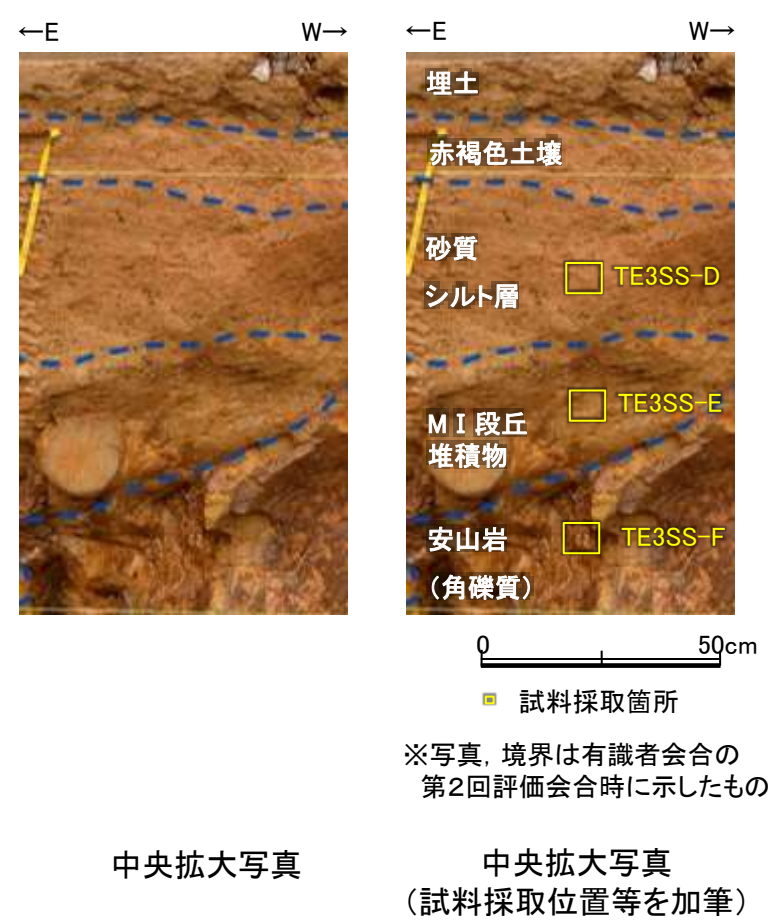
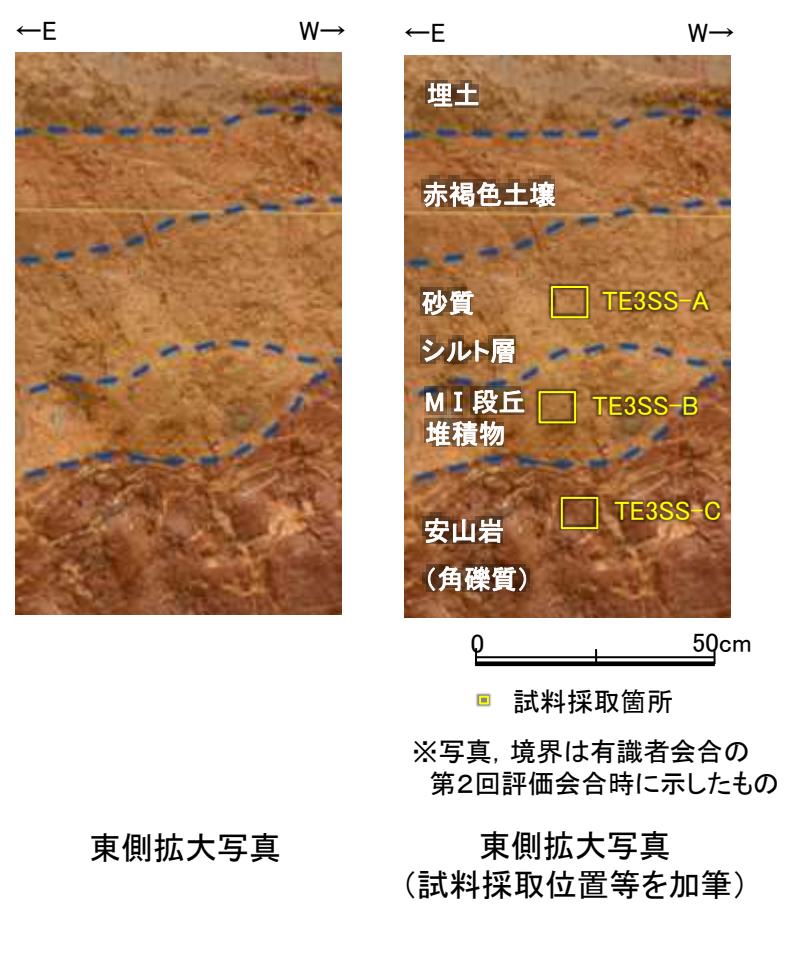
No.3トレーニー 試料採取位置(南側トレーニー 北面, 東面)

■No.3南側トレーニーの北面, 東面, 南面において岩盤と堆積物の境界について, 試料採取前に肉眼観察を行い, その結果を基に薄片観察, XRD分析, XRF分析の試料採取箇所を決定した。以下に, 北面, 東面, 南面の試料採取箇所を示す。



拡大写真(試料採取位置等を加筆)

No.3トレンチ 試料採取位置(南側トレンチ 南面)



No.3トレーニング 試料採取位置(南側トレーニング)

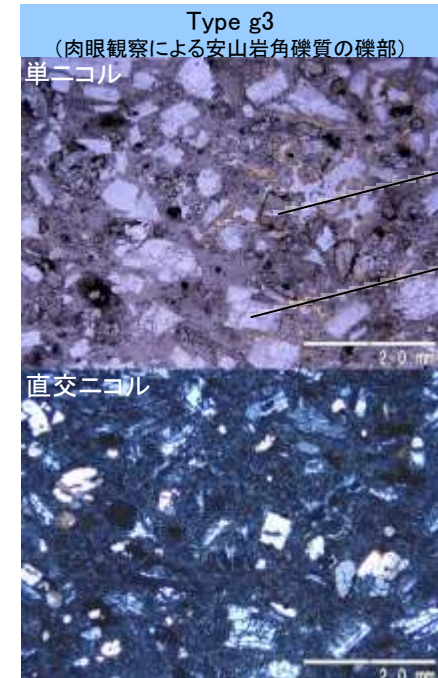
| 試料採取位置 | 肉眼観察による区分 | 採取物の特徴 |
|---------|-----------|---|
| TE3SN-A | 赤褐色土壤 | 赤褐～明褐色を呈するシルト質粘土、中程度の亜角塊状土壤構造が認められる。 |
| TE3SN-B | 安山岩(角礫質) | 強風化した安山岩角礫質の基質部。褐～黄灰色を呈し、割目に黒色皮膜および明褐色粘土が付着する。 |
| TE3SN-C | 赤褐色土壤 | 赤褐～明褐色を呈するシルト質粘土、中程度の亜角塊状土壤構造が認められる。 |
| TE3SN-D | M I 段丘堆積物 | 明褐～黄灰色の砂質シルトに径1～3mmの灰色安山岩粒子を含む。 |
| TE3SN-E | 安山岩(角礫質) | 強風化した安山岩角礫質の基質部。褐～暗褐色を呈し、開口した割目に明褐色の砂混じり粘土が流入する。 |
| TE3SE-A | 砂質シルト層 | にぶい褐色を呈するシルトからなり砂分が僅かに混じる。 |
| TE3SE-B | M I 段丘堆積物 | 明褐～黄灰色の砂質シルトに径1～3mmの灰色安山岩粒子を含む。一部で風化により粘土化し褐色を帯びる。 |
| TE3SE-C | 安山岩(角礫質) | 強風化した安山岩角礫質の基質部。褐～黄灰色を呈し割目に黒色皮膜および明褐色粘土が付着する。 |
| TE3SE-D | 砂質シルト層 | にぶい褐色を呈するシルトからなり砂分が僅かに混じる。 |
| TE3SE-E | M I 段丘堆積物 | 明褐～黄灰色の砂質シルトに、径1～3mmの灰色安山岩粒子を含む。一部で風化により粘土化し褐色を帯びる。 |
| TE3SE-F | 安山岩(角礫質) | 強風化した安山岩角礫質の基質部。褐～暗褐色を呈し、開口した割目に明褐色の砂混じり粘土が流入する。 |
| TE3SS-A | 砂質シルト層 | にぶい褐色を呈するシルトからなり砂分が僅かに混じる。 |
| TE3SS-B | M I 段丘堆積物 | 明褐～黄灰色を呈し、径1～3mmの灰色安山岩粒子を含む。 |
| TE3SS-C | 安山岩(角礫質) | 強風化した安山岩角礫質の基質部。褐～暗褐色を呈し、割目に黒色皮膜および明褐色粘土が付着する。 |
| TE3SS-D | 砂質シルト層 | にぶい褐色を呈するシルトからなり砂分が僅かに混じる。 |
| TE3SS-E | M I 段丘堆積物 | 明褐～黄灰色を呈し、径1～3mmの灰色安山岩粒子を含む。 |
| TE3SS-F | 安山岩(角礫質) | 明灰色の安山岩角礫質の礫部。風化残留核の一部であり、ナイフで傷が付く程度の硬さである。斜長石や輝石の斑晶が認められる。 |
| TE3SS-G | 砂質シルト層 | にぶい褐色を呈するシルトからなり砂分が僅かに混じる。 |
| TE3SS-H | M I 段丘堆積物 | 褐～暗褐色を呈し、径1～3mmの灰色安山岩粒子を含む。 |
| TE3SS-I | 安山岩(角礫質) | 明灰色の安山岩角礫質の礫部。風化残留核の一部であり、ナイフで傷が付く程度の硬さである。斜長石や輝石の斑晶が認められる。 |

No.3トレーナー ①薄片観察結果(南側トレーナー)

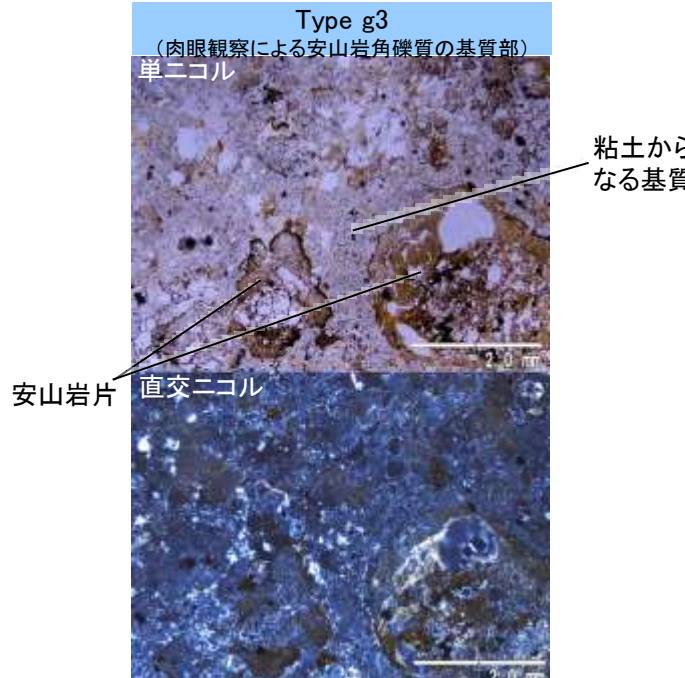
■No.3南側トレーナーの北面、東面、南面において試料採取した計20枚の薄片観察結果を以下に示す。

岩盤と判断したもの

- (特徴)
- ・砂状粒子の石英をほとんど含まない(石英は初生的には安山岩に含まれない)
 - ・斜長石や輝石が自形の斑晶として認められるないし、基質部では微細な粘土からなる基質中にやや角ばった安山岩片が含まれることが多い



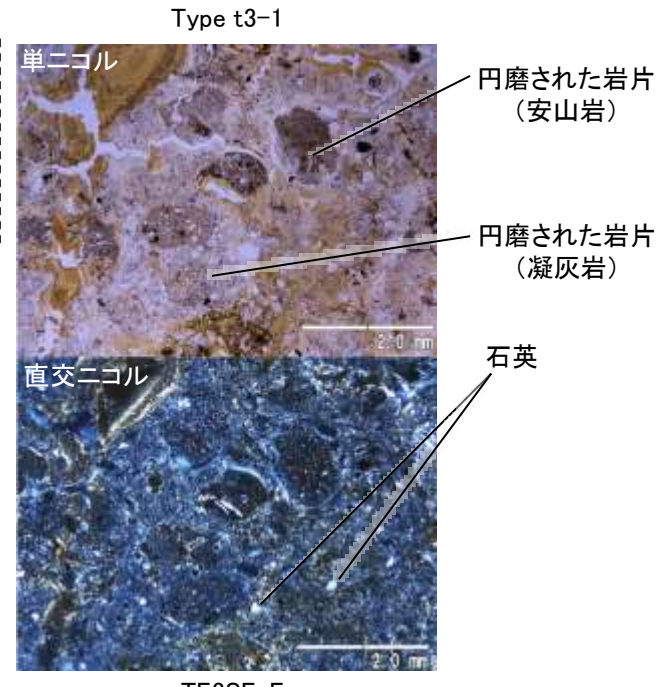
TE3SS-F



TE3SE-F

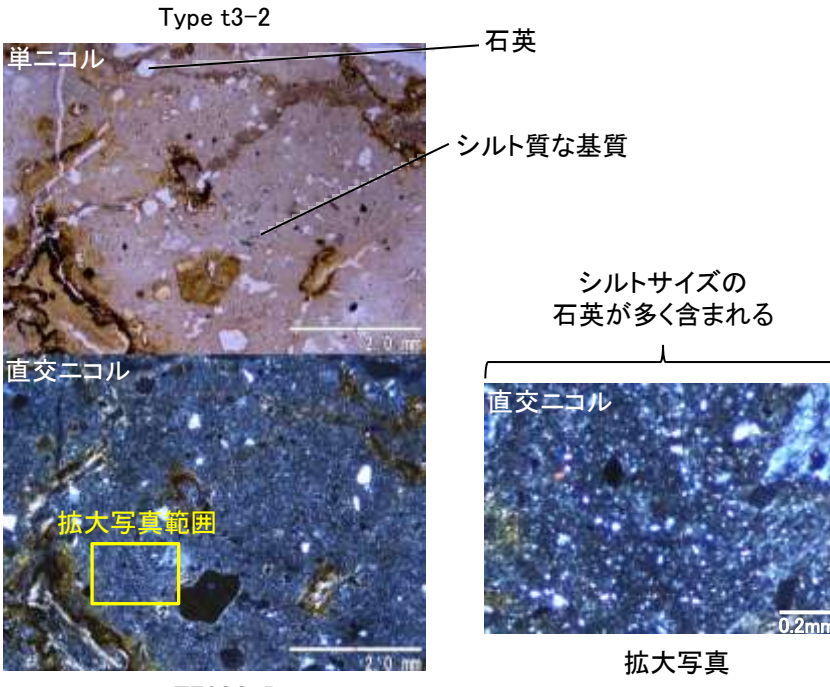
堆積物と判断したもの

- (特徴)
- ・砂状粒子の石英を含む
 - ・円磨された岩片(安山岩、凝灰岩)を含むことが多い



TE3SE-E

- (特徴)
- ・シルト質の基質に砂状やシルト状粒子の石英を多く含む



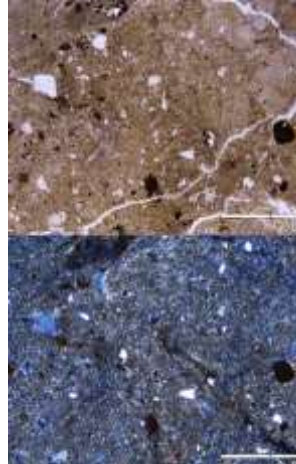
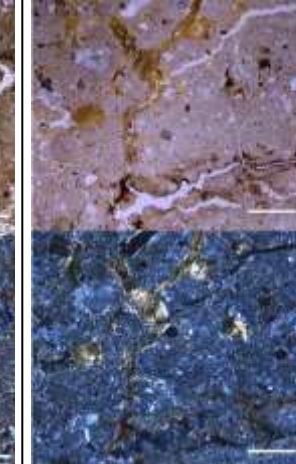
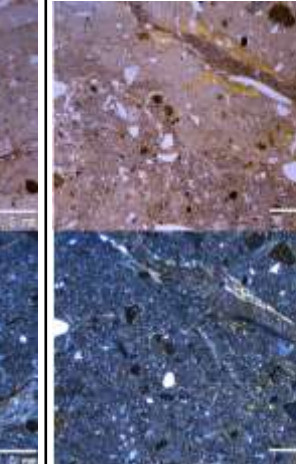
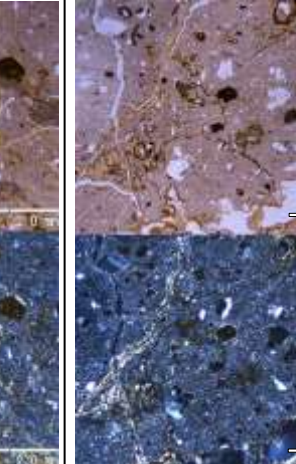
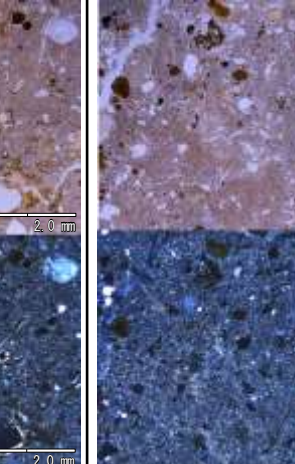
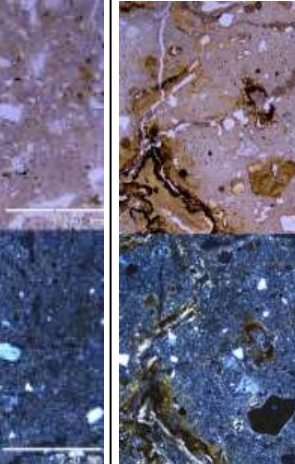
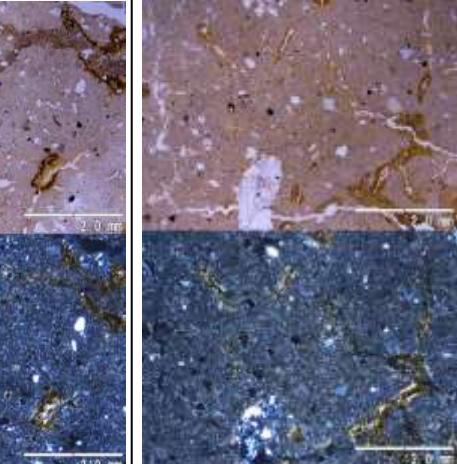
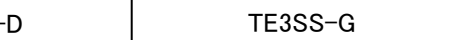
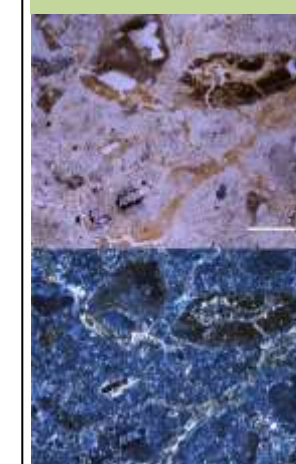
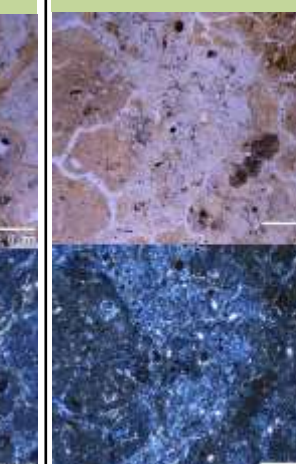
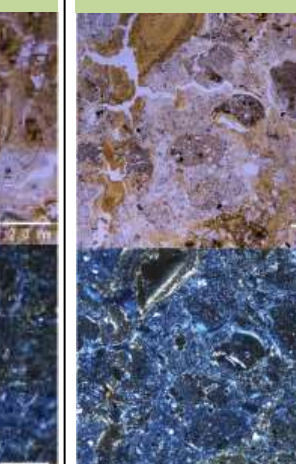
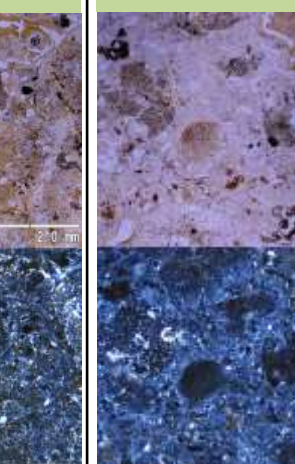
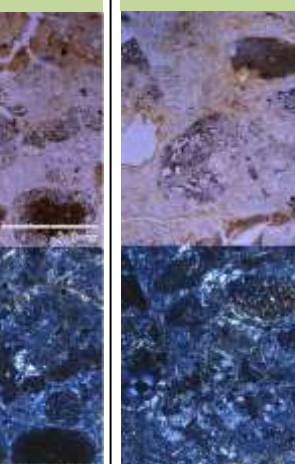
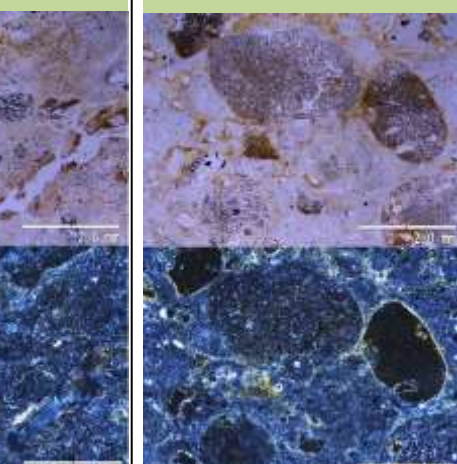
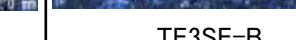
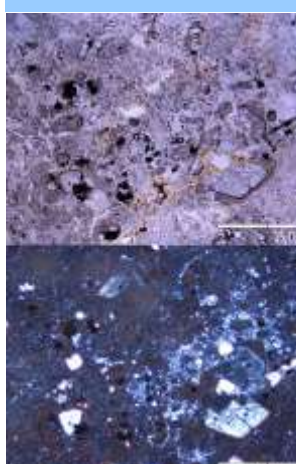
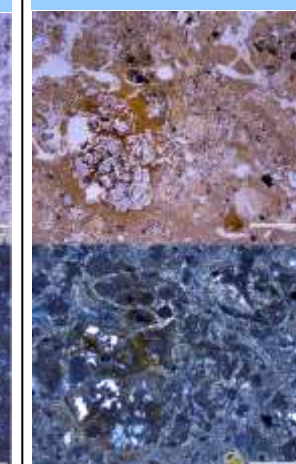
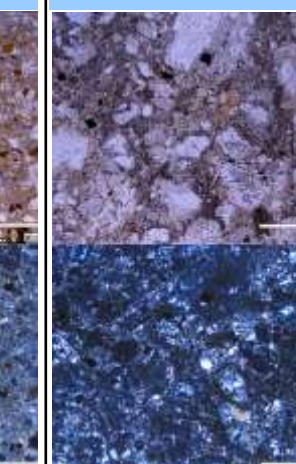
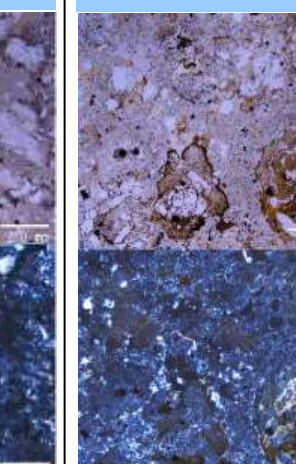
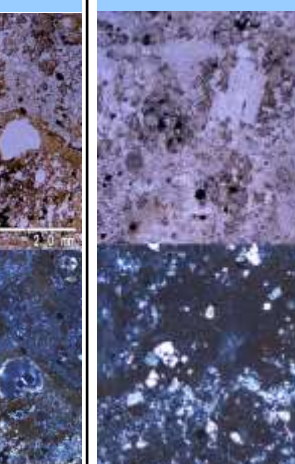
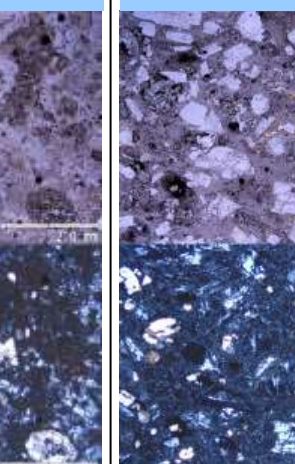
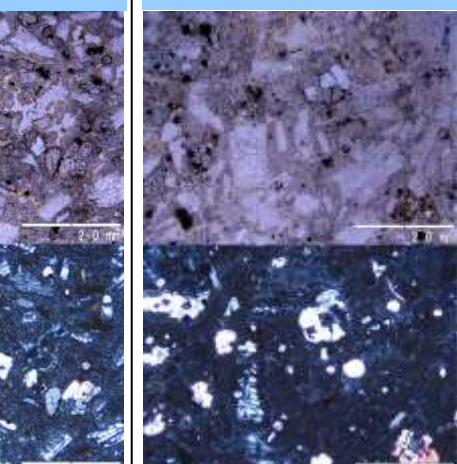
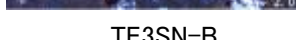
TE3SS-D



拡大写真

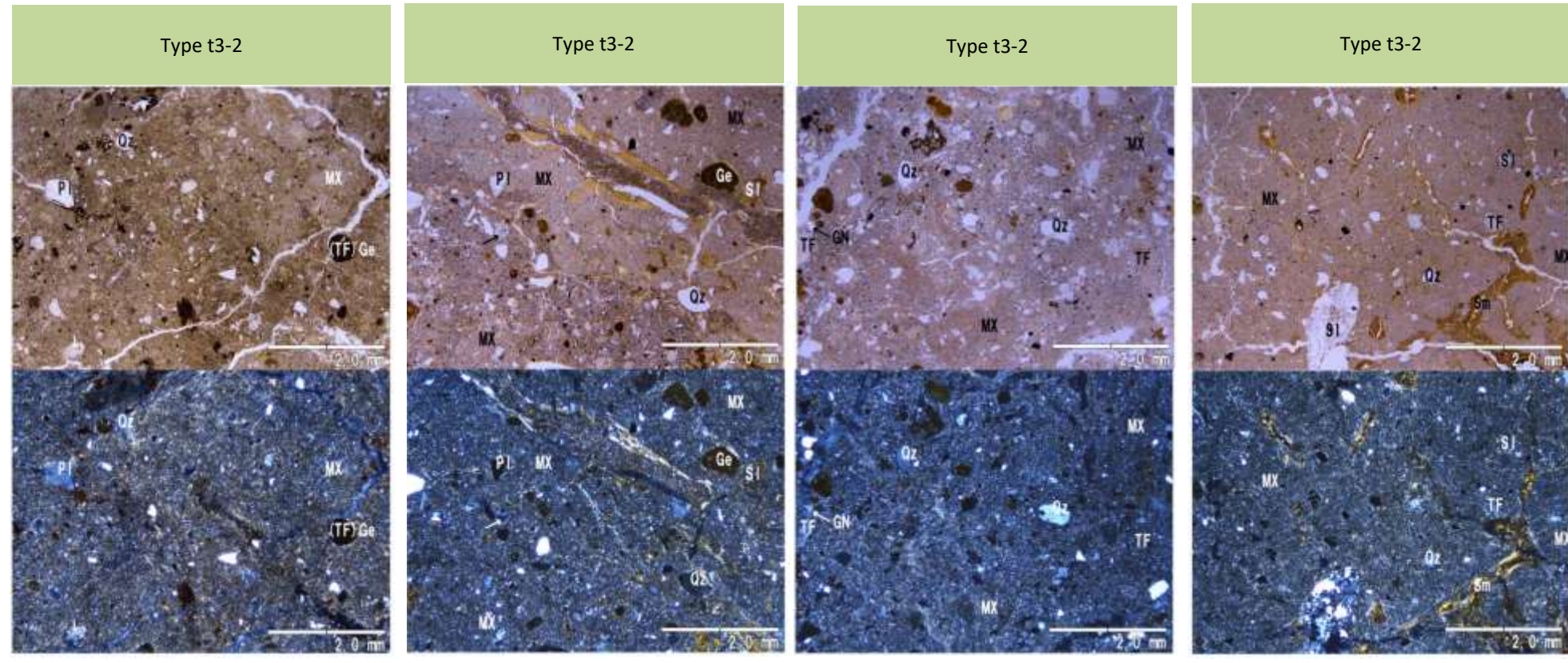
・薄片観察の結果、岩盤と堆積物に区分され、堆積物はさらに2種類に細区分される。

No.3トレーニング ①薄片観察結果一覧(南側トレーニング)

| | 北面 | | 東面 | | 南面 | | |
|--------------------|--|---|--|---|---|---|---|
| 堆積物 (Type t3-2) | Type t3-2  | Type t3-2  | Type t3-2  | Type t3-2  | Type t3-2  | Type t3-2  | Type t3-2  |
| | TE3SN-A  | TE3SN-C  | TE3SE-A  | TE3SE-D  | TE3SS-A  | TE3SS-D  | TE3SS-G  |
| 堆積物 (Type t3-1) | | Type t3-1  | Type t3-1  | Type t3-1  | Type t3-1  | Type t3-1  | Type t3-1  |
| | | TE3SN-D  | TE3SE-B  | TE3SE-E  | TE3SS-B  | TE3SS-E  | TE3SS-H  |
| 岩盤 | Type g3  | Type g3  | Type g3  | Type g3  | Type g3  | Type g3  | Type g3  |
| | TE3SN-B  | TE3SN-E  | TE3SE-C  | TE3SE-F  | TE3SS-C  | TE3SS-F  | TE3SS-I  |

※写真上は単ニコル、写真下は直交ニコル

No.3トレーナー ①薄片観察結果(南側トレーナー Type t3-2)

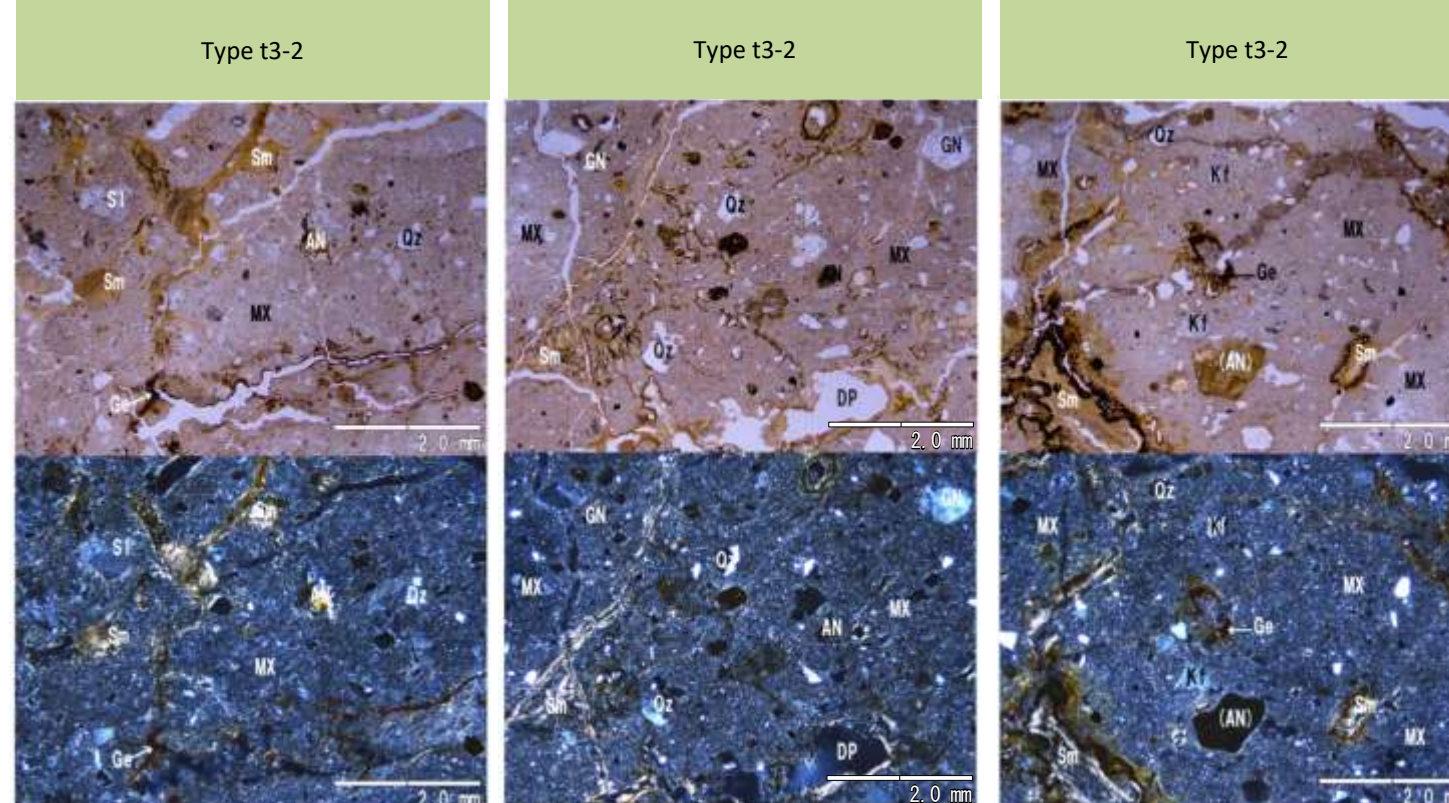


TE3SN-A

TE3SE-A

TE3SS-A

TE3SS-G



TE3SN-C

TE3SE-D

TE3SS-D

※写真上は単ニコル、写真下は直交ニコル。

凡例(鉱物名)

[岩片・生物遺骸]

AN:安山岩 TF:凝灰岩 GN:花崗岩質岩 SI:珪化岩 MS:泥岩

[初成鉱物・鉱物片]

Qz:石英 Pl:斜長石 Kf:カリ長石 Bi:黒雲母 Hb:普通角閃石
Opx:斜方輝石 Cpx:単斜輝石
Mf:(詳細不明)苦鉄質鉱物 Op:不透明鉱物

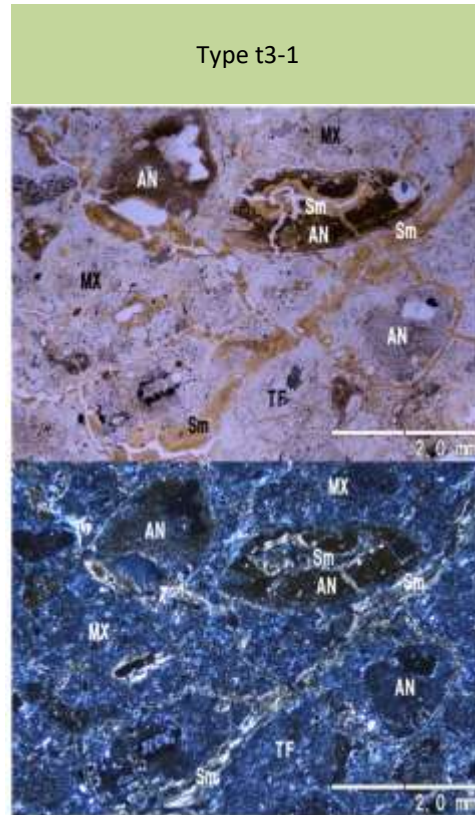
[2次鉱物]

Si:(詳細不明)シリカ鉱物 Ver:バーミュライト Sm:スメクタイト Cl:(詳細不明)粘土鉱物
Ge:水酸化鉄 Zeo:沸石類 Py:黄鐵鉱 Amo:非晶質物質(Ge以外)

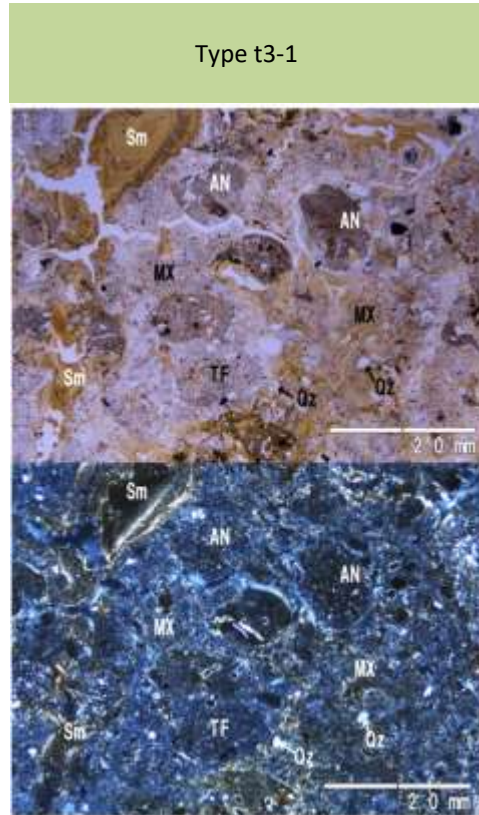
[その他の記号]

():仮像 MX:基質および石基 FP:フラクチャーカラム
DP:溶解孔隙

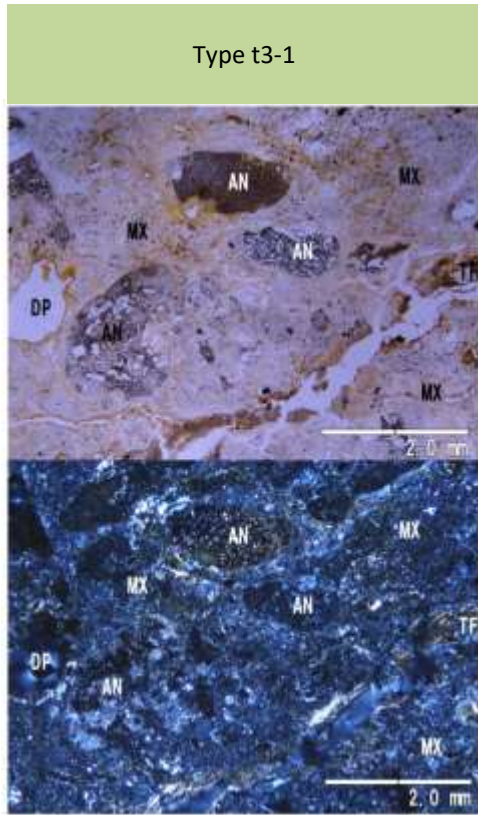
No.3トレーナー ①薄片観察結果(南側トレーナー Type t3-1)



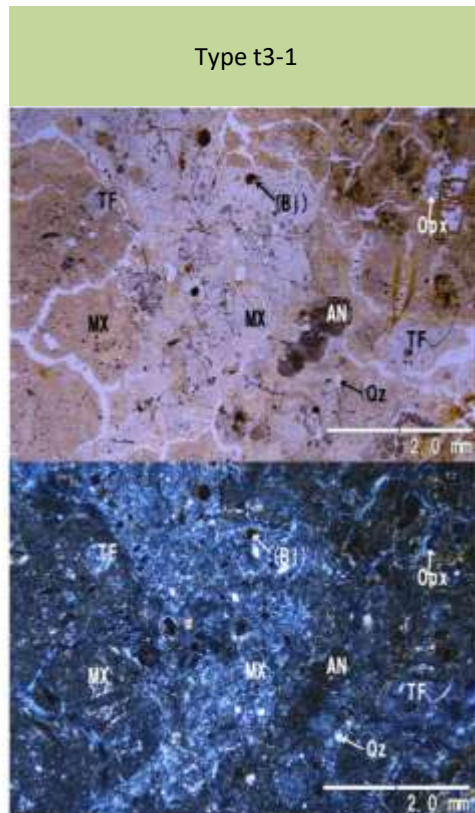
TE3SN-D



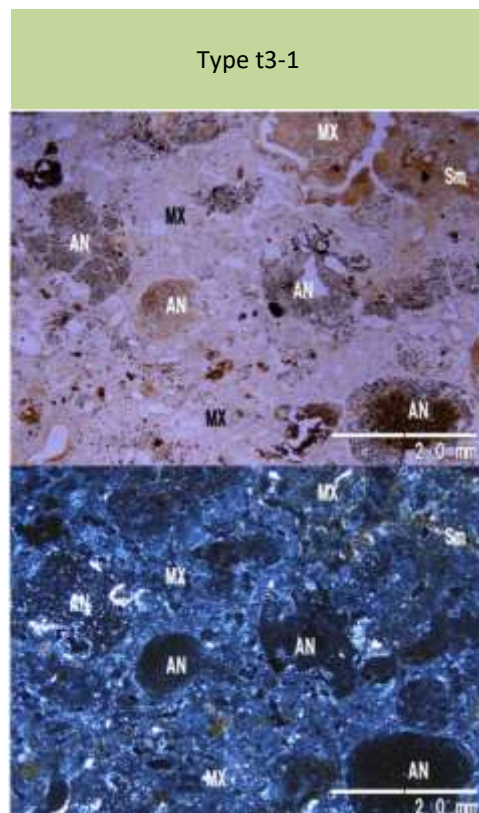
TE3SE-E



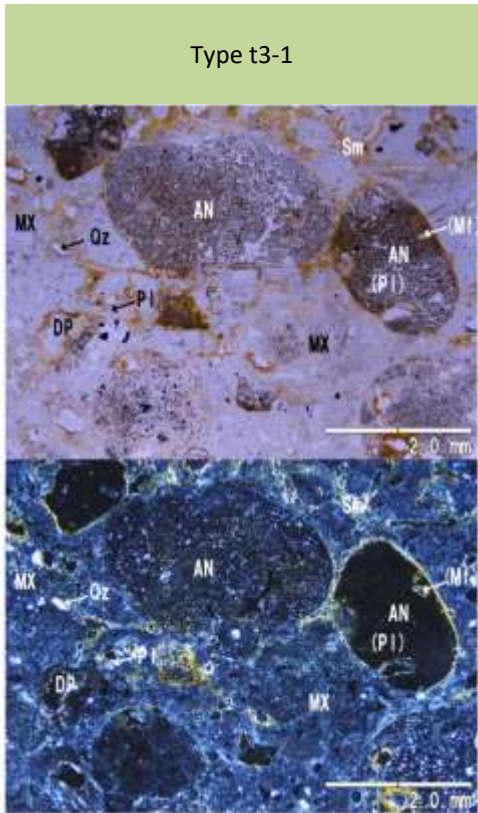
TE3SS-E



TE3SE-B



TE3SS-B



TE3SS-H

※写真上は単ニコル、写真下は直交ニコル。

凡例(鉱物名)

[岩片・生物遺骸]

AN:安山岩 TF:凝灰岩 GN:花崗岩質岩 SI:珪化岩 MS:泥岩

[初成鉱物・鉱物片]

Qz:石英 Pl:斜長石 Kf:カリ長石 Bi:黒雲母 Hb:普通角閃石
Opx:斜方輝石 Cpx:单斜輝石
Mf:(詳細不明)苦鉄質鉱物 Op:不透明鉱物

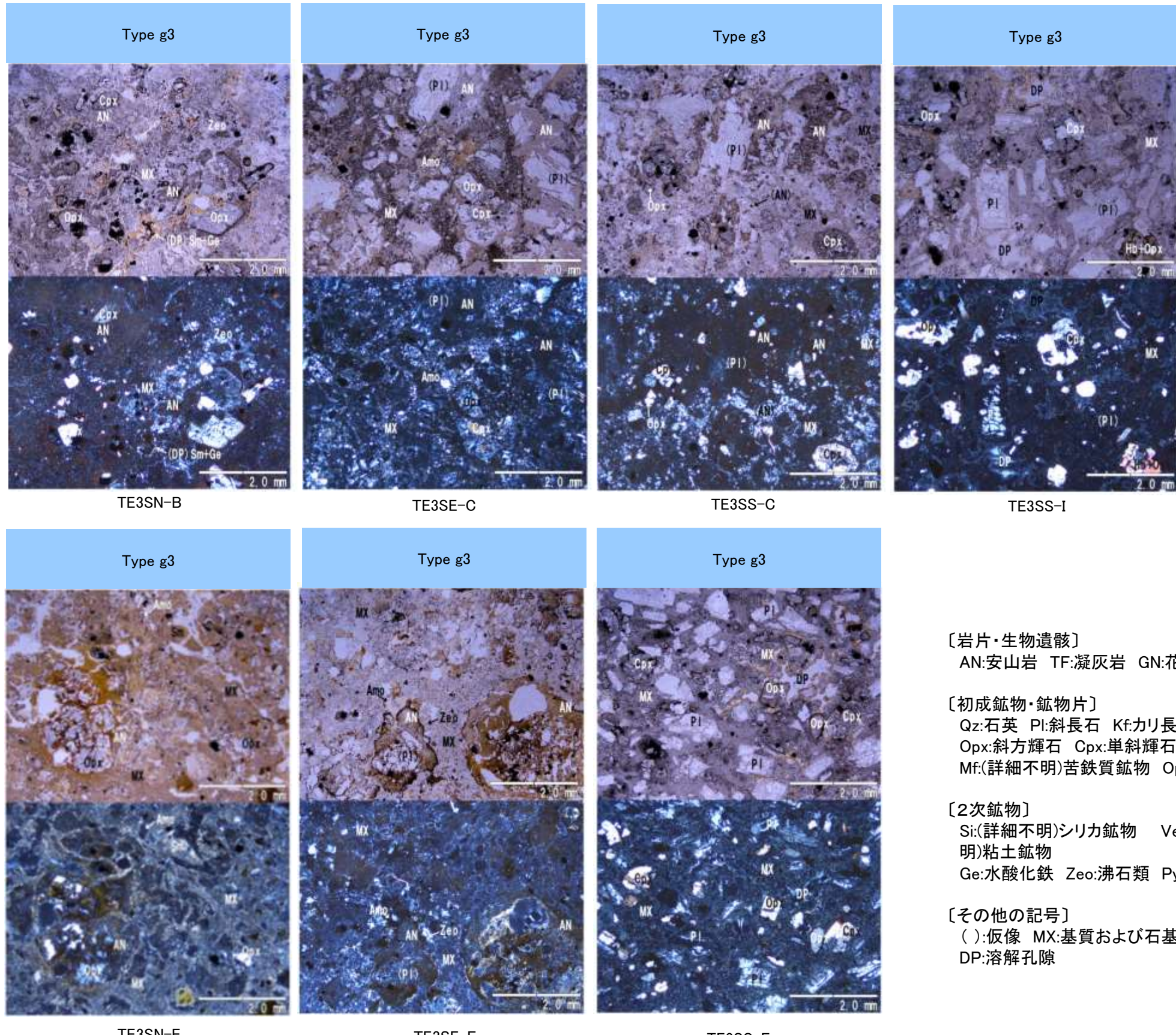
[2次鉱物]

Si:(詳細不明)シリカ鉱物 Ver:バーミュライト Sm:スメクタイト Cl:(詳細不明)粘土鉱物
Ge:水酸化鉄 Zeo:沸石類 Py:黄鉄鉱 Amo:非晶質物質(Ge以外)

[その他の記号]

():仮像 MX:基質および石基 FP:フラクチャー孔隙
DP:溶解孔隙

No.3トレーナー ①薄片観察結果(南側トレーナー Type g3)



凡例(鉱物名)

[岩片・生物遺骸]

AN:安山岩 TF:凝灰岩 GN:花崗岩質岩 SI:珪化岩 MS:泥岩

[初成鉱物・鉱物片]

Qz:石英 Pl:斜長石 Kf:カリ長石 Bi:黒雲母 Hb:普通角閃石
Opx:斜方輝石 Cpx:単斜輝石
Mf:(詳細不明)苦鉄質鉱物 Op:不透明鉱物

[2次鉱物]

Si:(詳細不明)シリカ鉱物 Ver:バーミュライト Sm:スメクタイト Cl:(詳細不明)粘土鉱物
Ge:水酸化鉄 Zeo:沸石類 Py:黄鐵鉱 Amo:非晶質物質(Ge以外)

[その他の記号]

():仮像 MX:基質および石基 FP:フラクチャーカー孔隙
DP:溶解孔隙

No.3トレーニング ②XRD分析結果(南側トレーニング)

■XRD分析による検出鉱物を薄片観察結果と比較した。

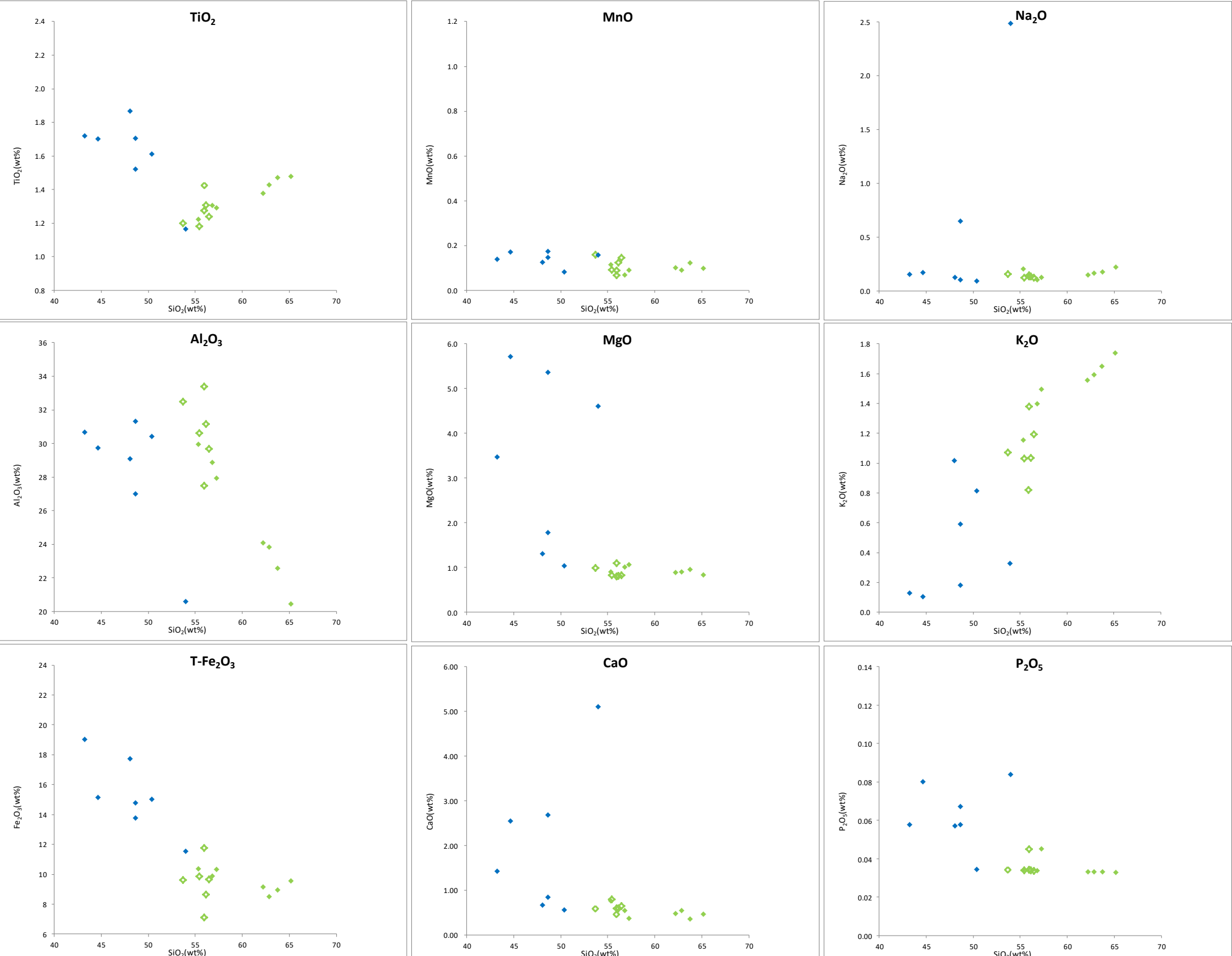
| トレーニング位置 | 試料名 | 薄片観察による岩相区分 | 石英最強ピーク | XRDによる検出鉱物 | | | | | | | | | | | | | | | |
|------------|---------|---------------|---------|------------|----------|---------|------|-----|-----|------|------|-----------|------|-----|--------|----------|-------|-----|---|
| | | | | 石英 | クリストバライト | トリディマイト | カリ長石 | 斜長石 | 角閃石 | 斜方輝石 | 単斜輝石 | 7Å型ハロイサイト | 雲母鉱物 | 緑泥石 | スメクタイト | バーミキュライト | ギフサイト | 磁鉄鉱 | |
| No.3 南側 | TE3SN-A | 堆積物 Type t3-2 | 5462 | ○ | △ | | ± | ± | | | △ | ± | ± | | | ± | | ± | ± |
| | TE3SN-C | | 3970 | ○ | △ | | ± | | | | △ | ± | | | | ± | ± | ± | ± |
| | TE3SE-A | | 9441 | ◎ | △ | | ± | | | | △ | ± | ± | | | | | ± | ± |
| | TE3SE-D | | 12185 | ◎ | △ | | + | | | | △ | ± | | | | ± | ± | ± | ± |
| | TE3SS-A | | 8875 | ◎ | △ | | ± | | | | △ | ± | | | | ± | | ± | ± |
| | TE3SS-D | | 11550 | ◎ | △ | | ± | | | | △ | ± | | | | ± | ± | | ± |
| | TE3SS-G | | 5761 | ◎ | △ | | ± | ± | | | △ | ± | | | | ± | | ± | ± |
| | TE3SN-D | 堆積物 Type t3-1 | 2097 | ○ | △ | | ± | | | | △ | ± | | | | ± | ± | | ± |
| | TE3SE-B | | 5651 | ◎ | △ | | ± | | | | △ | ± | | | | ± | | ± | ± |
| | TE3SE-E | | 4169 | ○ | △ | | ± | ± | | | △ | ± | | | | ± | ± | | ± |
| | TE3SS-B | | 3140 | ○ | △ | | | ± | | | △ | | | | | ± | | ± | ± |
| | TE3SS-E | | 3021 | ○ | △ | | ± | ± | | | △ | ± | | | | | | ± | ± |
| | TE3SS-H | | 2924 | ○ | △ | | ± | | | | △ | ± | | | | ± | | ± | ± |
| | TE3SN-B | | - | | △ | | | | | + | △ | △ | | | ± | △ | | △ | |
| 岩盤 | TE3SN-E | Type g3 | 1272 | △ | △ | | | | | | △ | ± | | | ± | ± | | + | ± |
| | TE3SE-C | | 791 | △ | △ | | | | | + | △ | △ | | | ± | + | | + | |
| | TE3SE-F | | 1823 | △ | △ | | | | | | △ | ± | | | ± | + | | + | ± |
| | TE3SS-C | | - | | △ | | | | △ | ± | △ | ± | | | | ± | | △ | |
| | TE3SS-F | | - | | ○ | | | | △ | ± | △ | ± | + | | | | | + | |
| | TE3SS-I | | - | | △ | | | △ | | △ | + | + | + | | ± | ± | | + | |

◎:多量>5000cps ○:中量2500~5000cps △:少量500~2500cps +:微量250~500cps ±:きわめて微量<250cps
標準石英最強回折線強度(3回繰り返し測定, 平均53,376cps)

- ・薄片観察にてType t3-2と区分された堆積物は、石英最強ピークが3,970～12,185cpsとType t3-1の堆積物に比べて概ねピーク値が大きく、カリ長石が検出されるものが多い。
- ・薄片観察にてType t3-1と区分された堆積物は、石英最強ピークが2,097～5,651cpsで、カリ長石が検出されるものが多い。
- ・薄片観察にてType g3と区分された岩盤は、石英最強ピークが検出されない～1,823cpsと堆積物に比べて小さく、スメクタイトが検出されるものが多い。
- ・石英のピーク値及び鉱物組成を比較した結果、薄片観察結果(岩盤と堆積物の区分)を支持する結果が得られた。

No.3トレント ③XRF分析結果 ハーカー図(南側トレント)

■XRF分析による主要化学組成を薄片観察結果と比較した。



・主要化学組成を比較した結果、SiO₂等の量比から薄片観察結果(岩盤と堆積物の区分)を支持する結果が得られた。

No.3トレント ③XRF分析結果 主要化学組成一覧表(南側トレント)

主要化学組成(lg.Loss規格化後)

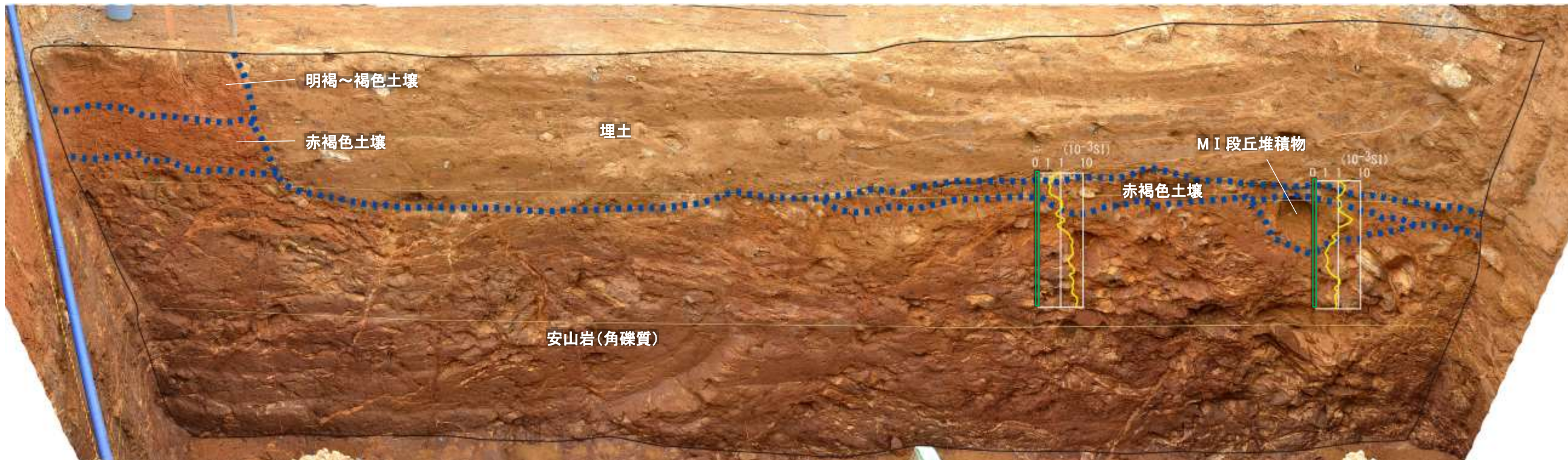
| 試料名 | Type | SiO ₂ | TiO ₂ | Al ₂ O ₃ | T-Fe ₂ O ₃ | MnO | MgO | CaO | Na ₂ O | K ₂ O | P ₂ O ₅ | Total |
|---------|------|------------------|------------------|--------------------------------|----------------------------------|------|------|------|-------------------|------------------|-------------------------------|--------|
| TE3SN-A | t3-2 | 56.85 | 1.30 | 28.84 | 9.86 | 0.07 | 1.00 | 0.55 | 0.10 | 1.39 | 0.03 | 100.00 |
| TE3SN-C | | 55.34 | 1.22 | 29.94 | 10.34 | 0.11 | 0.89 | 0.76 | 0.20 | 1.15 | 0.03 | 100.00 |
| TE3SE-A | | 62.22 | 1.38 | 24.08 | 9.13 | 0.10 | 0.88 | 0.47 | 0.14 | 1.55 | 0.03 | 100.00 |
| TE3SE-D | | 65.19 | 1.48 | 20.42 | 9.52 | 0.10 | 0.84 | 0.47 | 0.22 | 1.74 | 0.03 | 100.00 |
| TE3SS-A | | 62.91 | 1.43 | 23.83 | 8.50 | 0.09 | 0.90 | 0.55 | 0.16 | 1.59 | 0.03 | 100.00 |
| TE3SS-D | | 63.76 | 1.47 | 22.56 | 8.93 | 0.12 | 0.95 | 0.35 | 0.18 | 1.65 | 0.03 | 100.00 |
| TE3SS-G | | 57.29 | 1.29 | 27.93 | 10.31 | 0.09 | 1.05 | 0.37 | 0.12 | 1.49 | 0.04 | 100.00 |
| TE3SN-D | t3-1 | 53.68 | 1.20 | 32.48 | 9.63 | 0.16 | 0.99 | 0.59 | 0.16 | 1.07 | 0.03 | 100.00 |
| TE3SE-B | | 55.96 | 1.42 | 27.48 | 11.78 | 0.09 | 1.10 | 0.59 | 0.15 | 1.38 | 0.04 | 100.00 |
| TE3SE-E | | 56.44 | 1.24 | 29.67 | 9.66 | 0.15 | 0.83 | 0.65 | 0.12 | 1.20 | 0.03 | 100.00 |
| TE3SS-B | | 55.44 | 1.18 | 30.61 | 9.85 | 0.09 | 0.83 | 0.81 | 0.12 | 1.03 | 0.03 | 100.00 |
| TE3SS-E | | 56.15 | 1.31 | 31.16 | 8.64 | 0.12 | 0.82 | 0.60 | 0.14 | 1.03 | 0.03 | 100.00 |
| TE3SS-H | | 55.91 | 1.28 | 33.38 | 7.09 | 0.07 | 0.81 | 0.47 | 0.14 | 0.82 | 0.03 | 100.00 |
| TE3SN-B | g3 | 43.28 | 1.72 | 30.64 | 18.99 | 0.14 | 3.47 | 1.43 | 0.15 | 0.13 | 0.06 | 100.00 |
| TE3SN-E | | 48.06 | 1.87 | 29.08 | 17.69 | 0.13 | 1.31 | 0.67 | 0.13 | 1.01 | 0.06 | 100.00 |
| TE3SE-C | | 48.68 | 1.70 | 31.31 | 14.76 | 0.17 | 1.77 | 0.84 | 0.10 | 0.59 | 0.06 | 100.00 |
| TE3SE-F | | 50.39 | 1.61 | 30.40 | 15.00 | 0.08 | 1.03 | 0.56 | 0.09 | 0.81 | 0.03 | 100.00 |
| TE3SS-C | | 44.71 | 1.70 | 29.70 | 15.12 | 0.17 | 5.71 | 2.54 | 0.17 | 0.10 | 0.08 | 100.00 |
| TE3SS-F | | 53.99 | 1.16 | 20.57 | 11.52 | 0.16 | 4.60 | 5.10 | 2.49 | 0.33 | 0.08 | 100.00 |
| TE3SS-I | | 48.67 | 1.52 | 26.99 | 13.73 | 0.15 | 5.36 | 2.68 | 0.65 | 0.18 | 0.07 | 100.00 |

No.3トレーニチ ④帶磁率測定結果(南側トレーニチ 北面, 東面)

■No.3南側トレーニチの北面, 東面, 南面において帶磁率測定を実施し, 肉眼観察による岩盤と堆積物の境界と比較した。

←W

E→

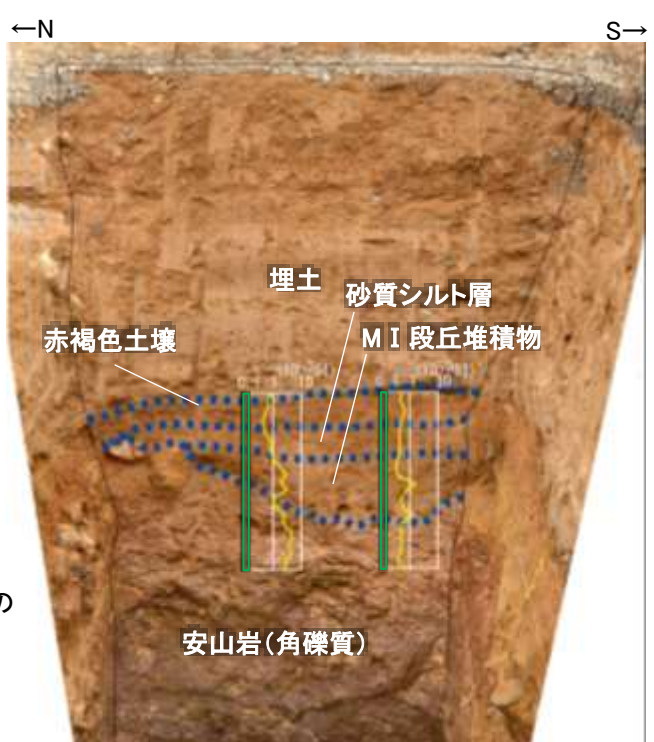


※写真, 境界は有識者会合の第2回評価会合時に示したもの

北面

0 1m

□ 帯磁率測定箇所



※写真, 境界は有識者会合の
第2回評価会合時に示したもの

0 1m

□ 帯磁率測定箇所

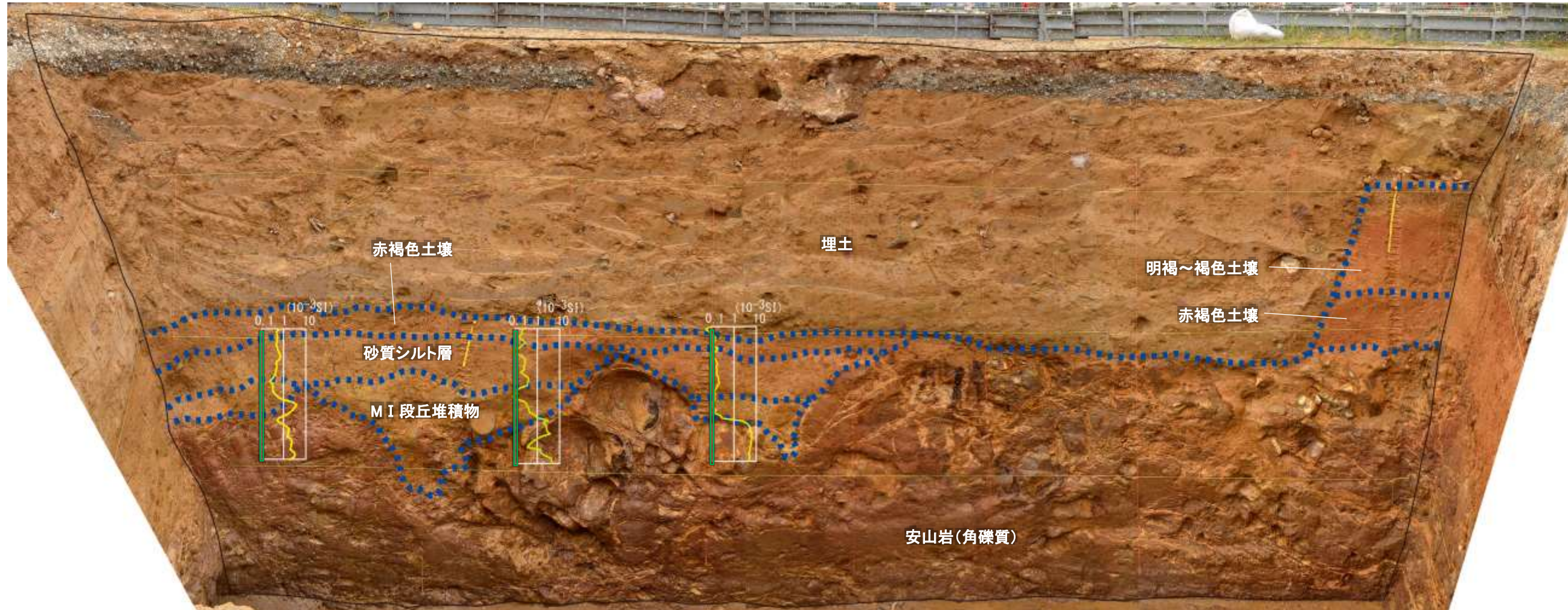
東面
測定結果

- ・肉眼観察により相対的に新鮮な岩盤や礫と判断される箇所においては帶磁率が大きくなる。
- ・同一地層内でも帶磁率値が急変する箇所が認められる。

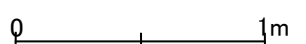
No.3トレーニング ④ 帯磁率測定結果(南側トレーニング 南面)

←E

W→



※写真、境界は有識者会合の第2回評価会合時に示したもの



南面

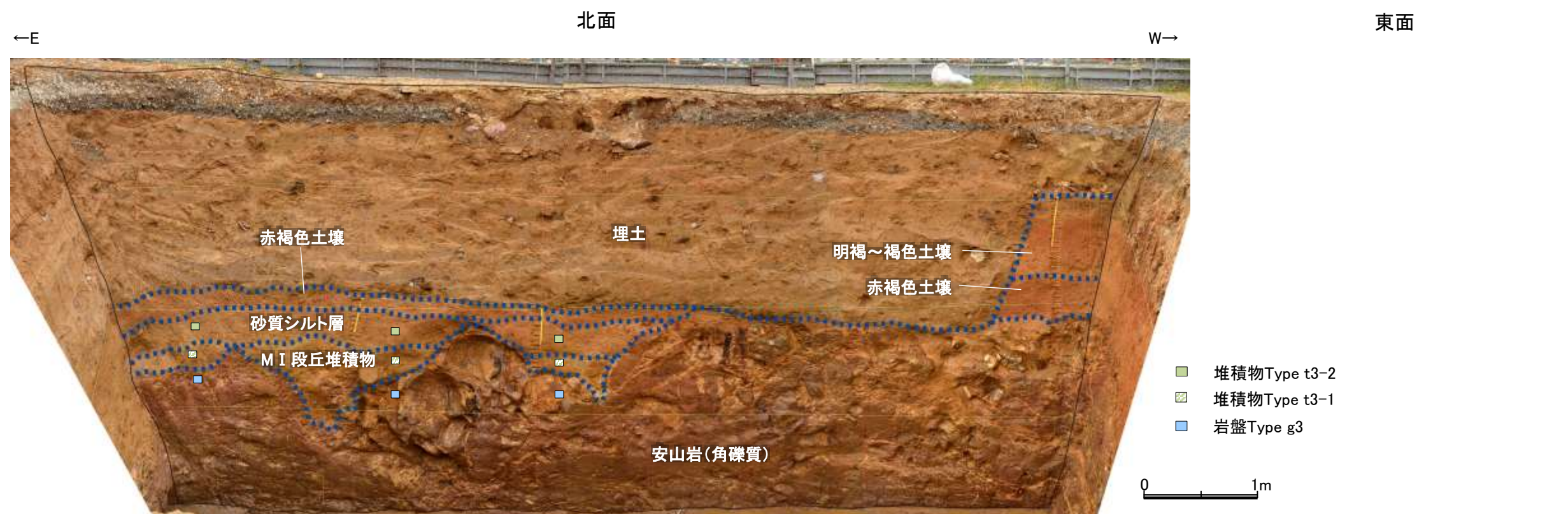
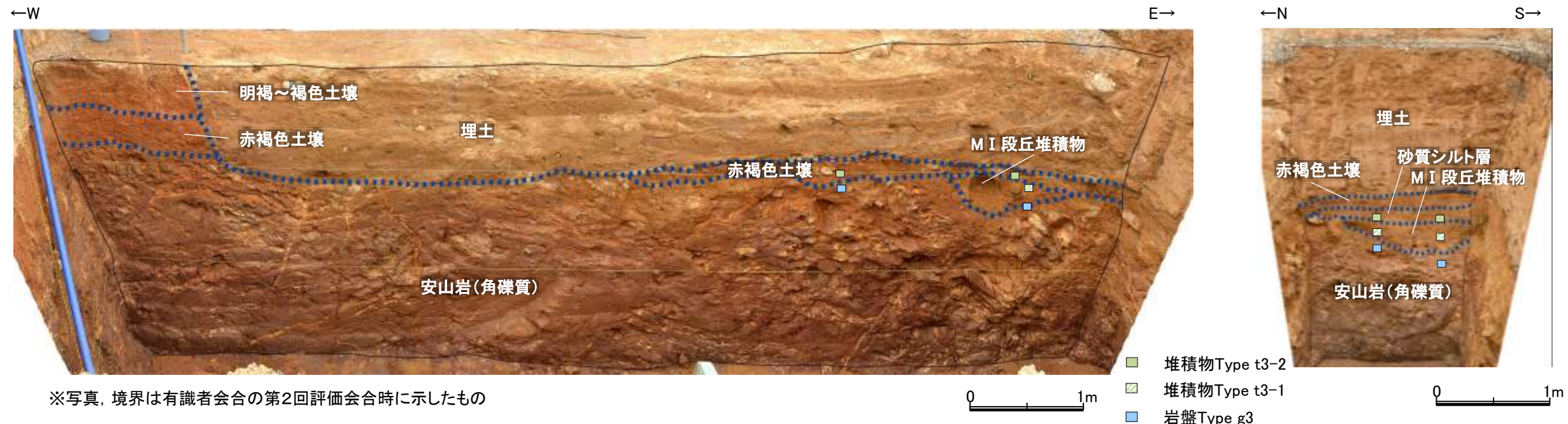
□ 帯磁率測定箇所

測定結果

- ・肉眼観察により相対的に新鮮な岩盤や礫と判断される箇所においては帯磁率が大きくなる。
- ・同一地層内でも帯磁率値が急変する箇所が認められる。

・肉眼観察により相対的に新鮮な岩盤と判断される箇所においては、肉眼観察結果と概ね整合的な結果が得られた。

No.3トレーニング 岩盤と堆積物の境界に関する調査結果のまとめ(南側トレーニング)



※写真、境界は有識者会合の第2回評価会合時に示したもの

南面

No.3南側トレーニングにおいて、肉眼観察の結果を基本とし、各種分析による客観的かつ定量的なデータを整理することにより岩盤と堆積物の境界を判断すると、上図の通りとなる。

(3) No.1トレンチ

(3)-1 評価結果

No.1トレーニー 一評価結果一

【有識者会合時の当社評価】

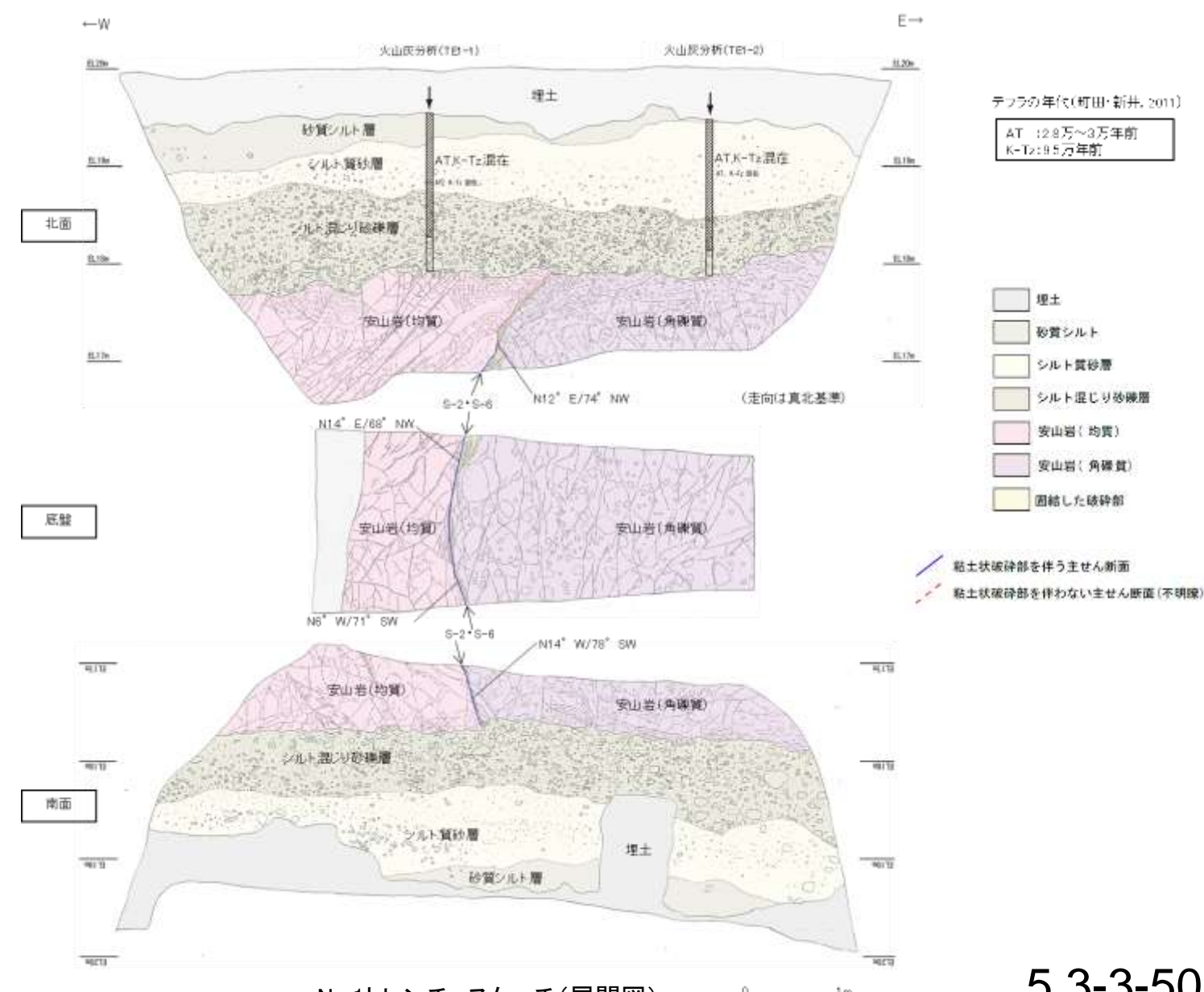
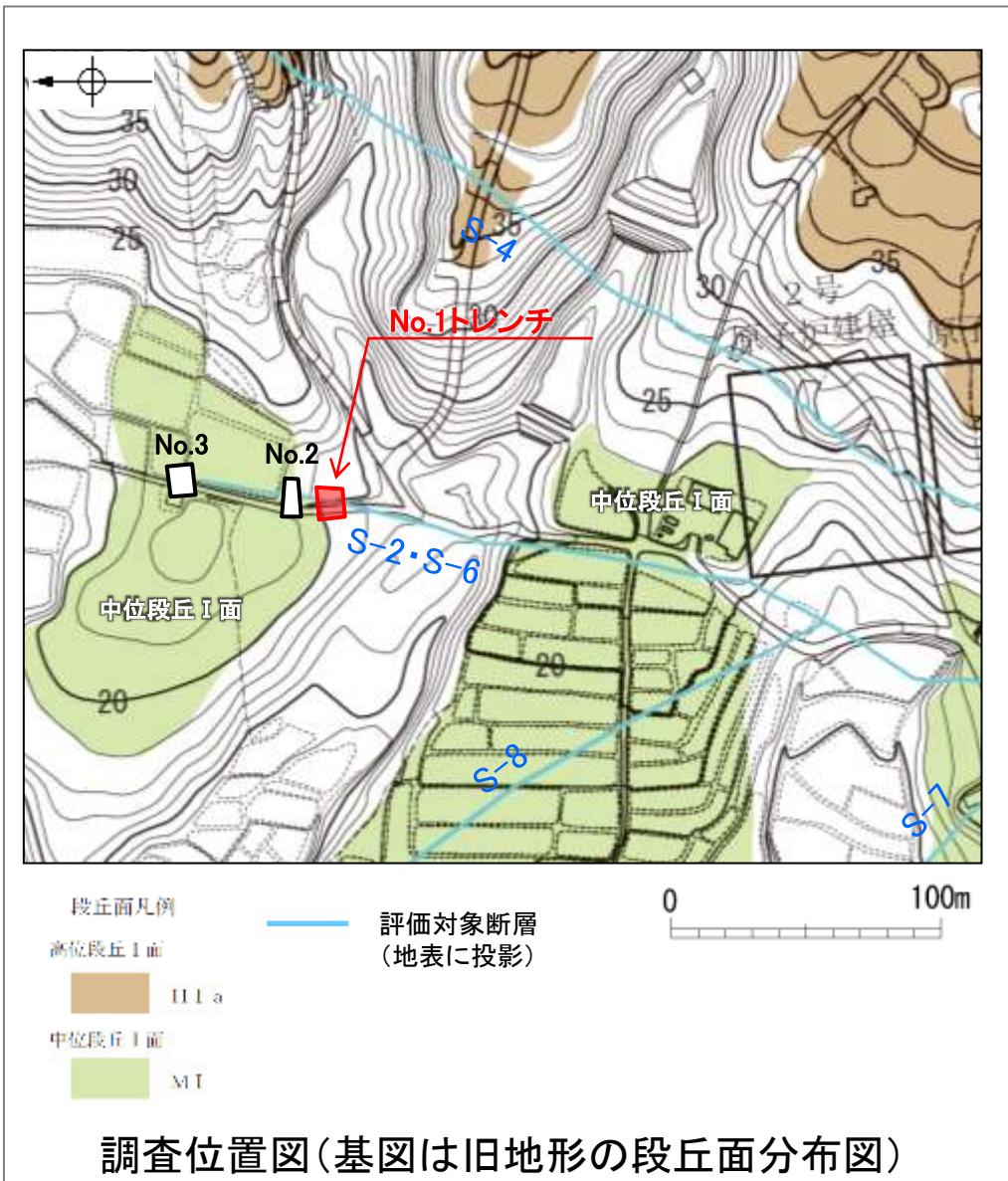
- No.1トレーニーにおいて、幅1~15cmの固結した破碎部及び幅フィルム状~3mmの粘土状破碎部からなるS-2・S-6を確認。
- 岩盤の安山岩(均質)及び安山岩(角礫質)の上位には、下位からシルト混じり砂礫層、シルト質砂礫、砂質シルト層が分布する。
- 火山灰分析結果を踏まえると、岩盤直上のシルト混じり砂礫層は、AT降灰時期(2.8万~3万年前)以降の堆積物であると判断される。
- S-2・S-6は岩盤直上のシルト混じり砂礫層に変位・変形を与えていない。

【有識者の評価】

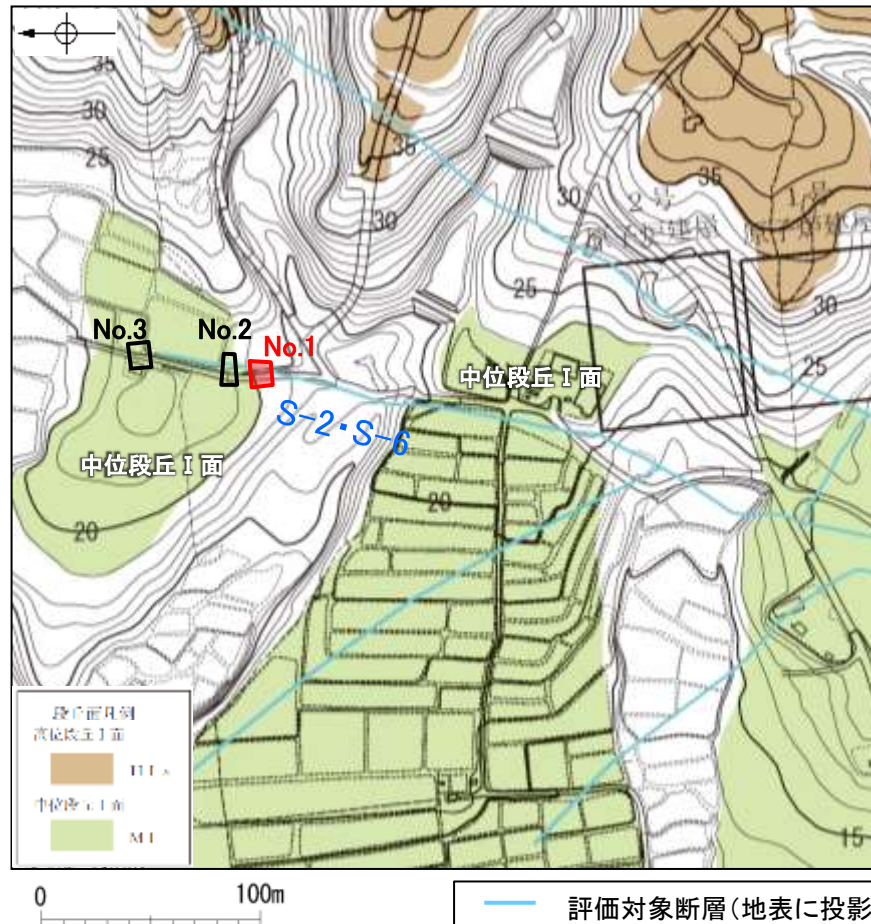
- S-2・S-6 及びその周囲を含め岩盤上面には変位・変形は認められない。岩盤上位に分布するいずれの堆積物にも、変位・変形は認められない。
- 堆積物の堆積時期はAT 降灰以降と考えられることから、当トレーニーでは、後期更新世におけるS-2・S-6の活動性を評価することはできない。

【現在の当社評価】

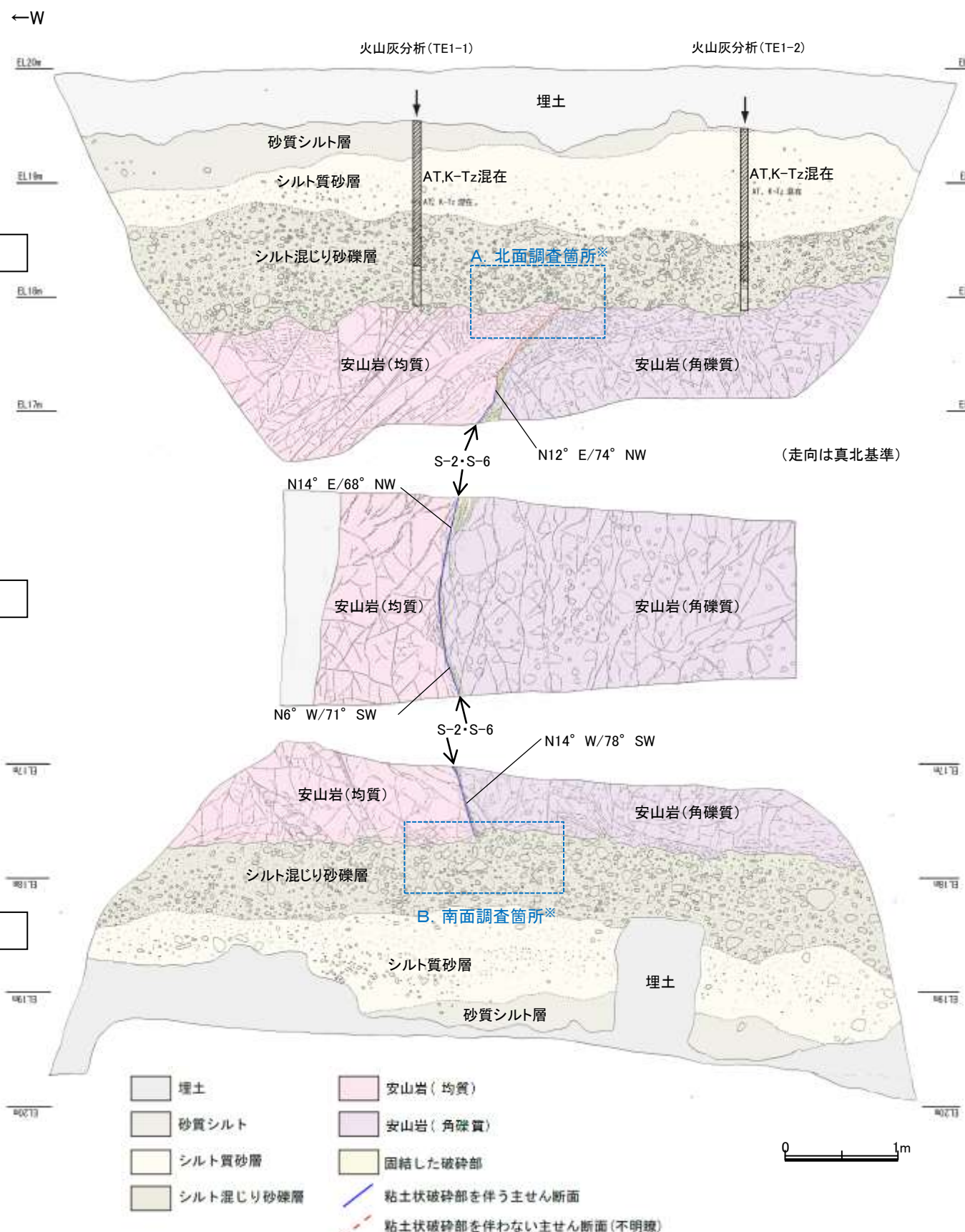
- 岩盤直上の堆積物の堆積年代は約12~13万年前より新しいものの、S-2・S-6はこの堆積物に変位・変形を与えていない。



No.1トレンチ －全景写真－



No.1トレーニー スケッチ(展開図)一



テフラの年代(町田・新井, 2011)

AT : 2.8万~3万年前
K-Tz : 9.5万年前

【露頭観察結果】

砂質シルト層

- ・色調7.5YR6/3~10YR6/6
- ・径2~10cmの安山岩角~亜円礫が僅かに混じる。
- ・やや締まっているが、指圧で跡が残る。

シルト質砂層

- ・色調7.5YR6/3~10YR6/6
- ・やや締まっているが、指圧で跡が残る。

シルト混じり砂礫層

- ・色調5YR6/3~10YR6/6
- ・基質はシルト混じり細~粗粒砂からなり、淘汰は悪い。
- ・径2~15cmの角~亜円礫を10~30%含み、最大25cmの礫が混じる。
- ・礫は比較的新鮮で硬質。
- ・やや締まっているが、指圧で跡が残る。

S-2-S-6

- ・西側の安山岩(均質)と東側の安山岩(角礫質)の境界に位置する。
- ・走向・傾斜N14° E~N14° W/68° NW~78° SW(走向は真北基準)で、幅1~15cmの固結した破碎部及び幅フィルム状~3mmの黄灰色を呈する粘土状破碎部からなる。

・岩盤と堆積物の境界に関する調査結果については**補足資料5.3-3(3)-2**

【火山灰分析結果】

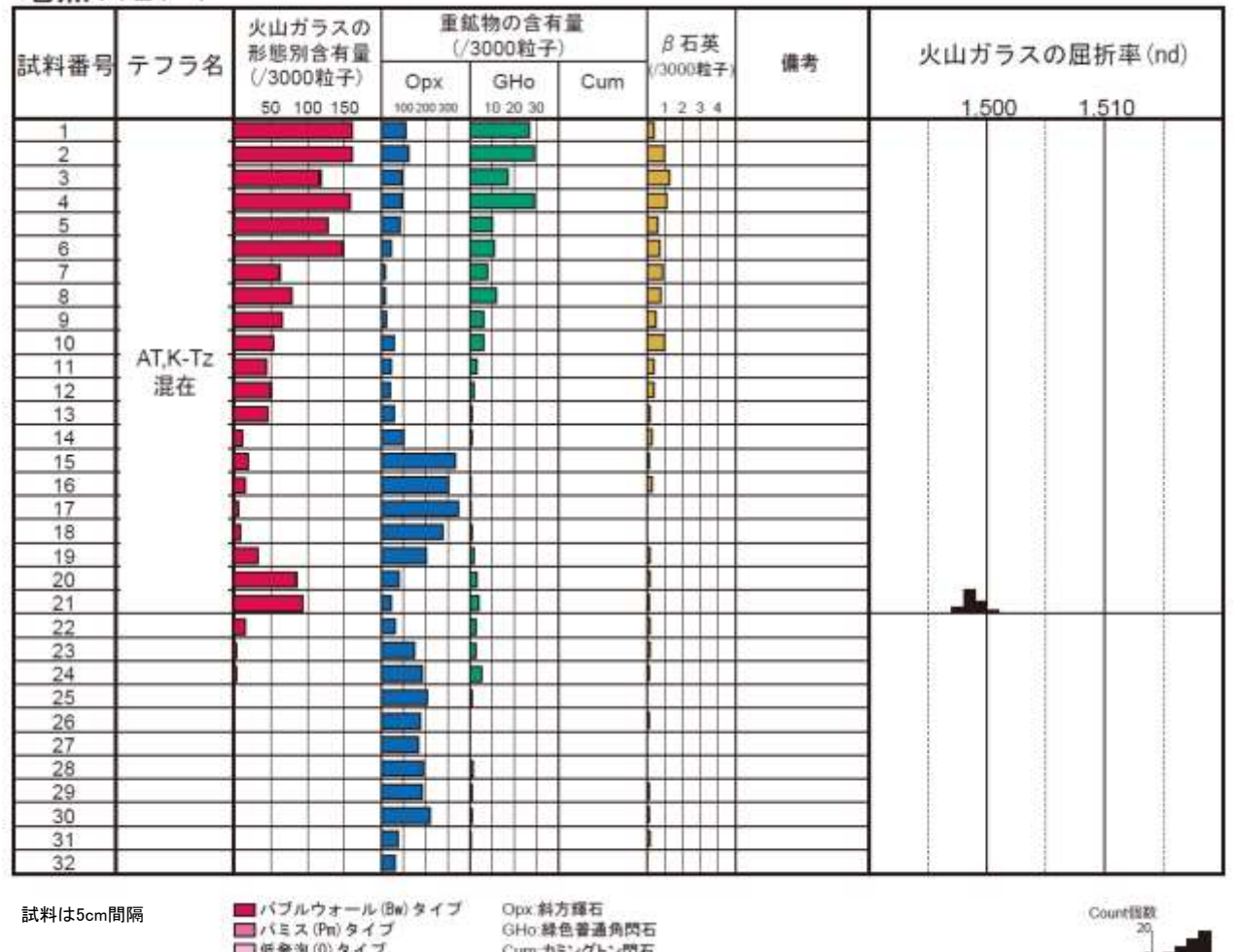
- ・シルト混じり砂礫層中から、AT, K-Tzの混在が認められる(次頁)。

*図中A, Bで示した北面、南面におけるS-2-S-6付近の詳細な確認結果については、P.5.3-3-54, 55に示す。

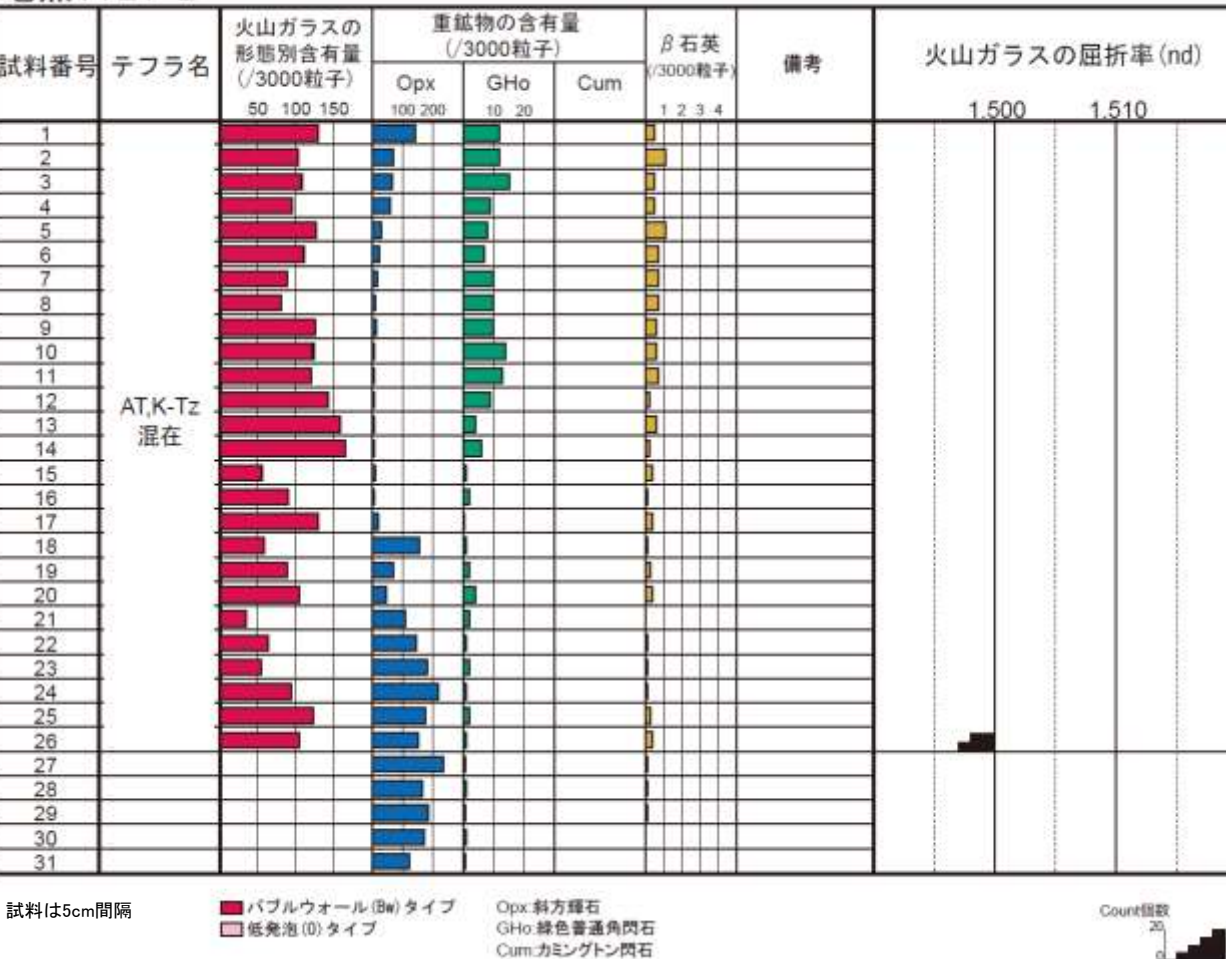
・火山灰分析結果を踏まえると、岩盤上位に分布するシルト混じり砂礫層は、AT降灰時期(2.8万~3万年前)以降の堆積物であると判断される。

【No.1トレンチ 火山灰分析結果】

地点: TE1-1



地点: TE1-2

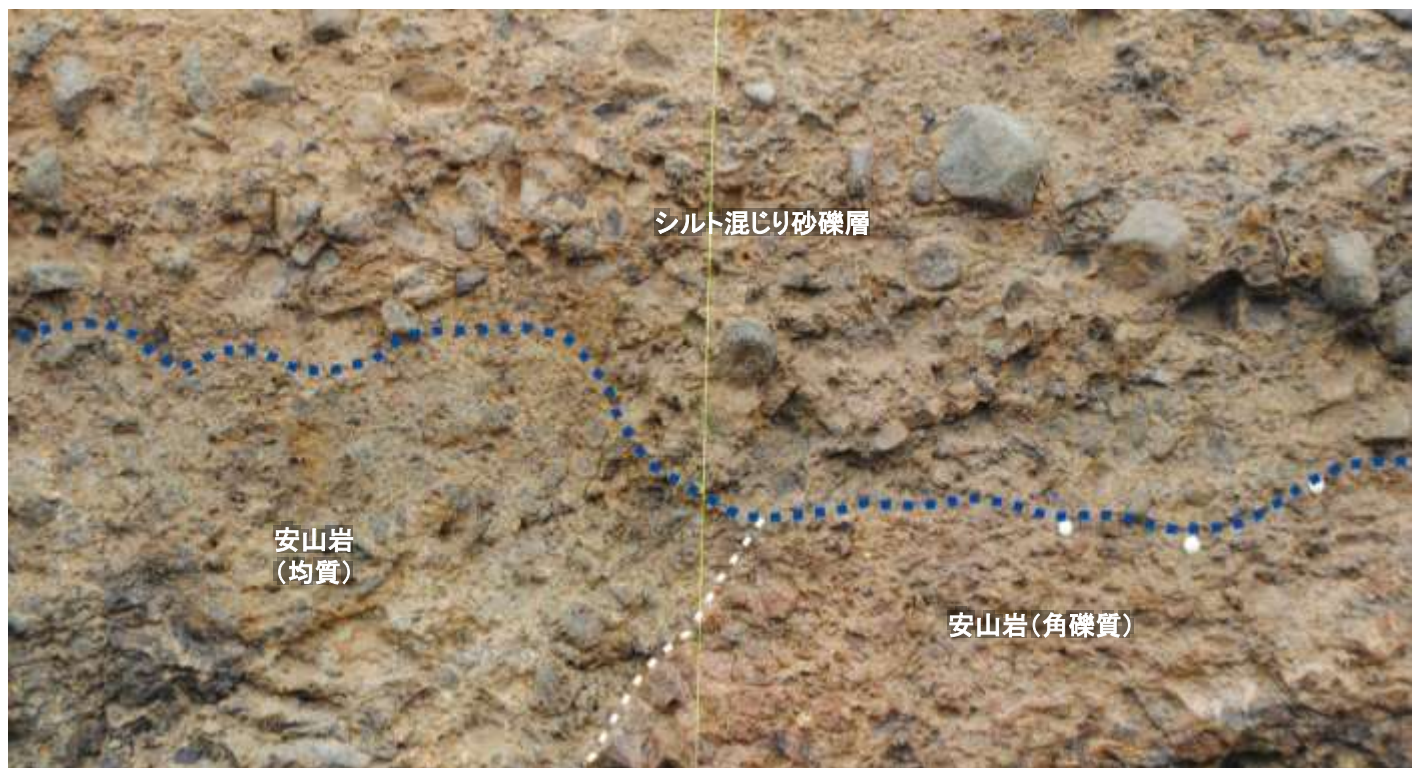


No.1トレンチ －S-2・S-6と上載地層との関係－

【北面拡大写真】



北面調査箇所 拡大写真



北面調査箇所 拡大写真(岩盤境界等を加筆)

..... 岩盤上面
- - - 不明瞭な主せん断面

- ・岩盤直上を覆うシルト混じり砂礫層基底には、段差は認められない。
- ・S-2・S-6直上のシルト混じり砂礫層中には、せん断面は認められない。

No.1トレーニー －S-2・S-6と上載地層との関係－

【南面拡大写真】



南面調査箇所 拡大写真



南面調査箇所 拡大写真(礫等を加筆)

- ❖ 矶
- 岩盤上面
- 主せん断面

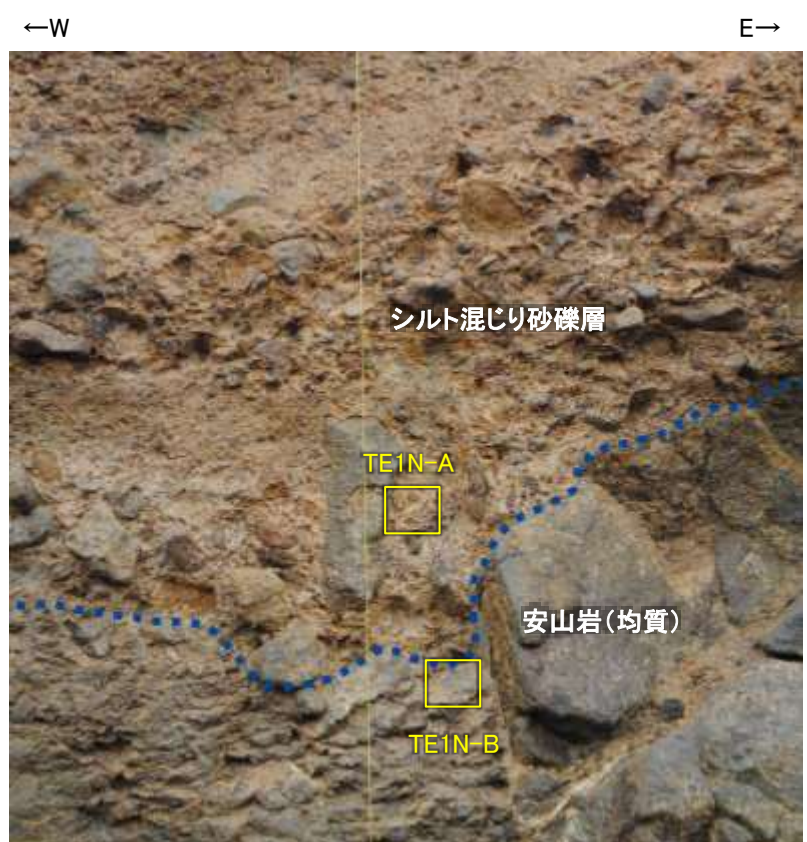
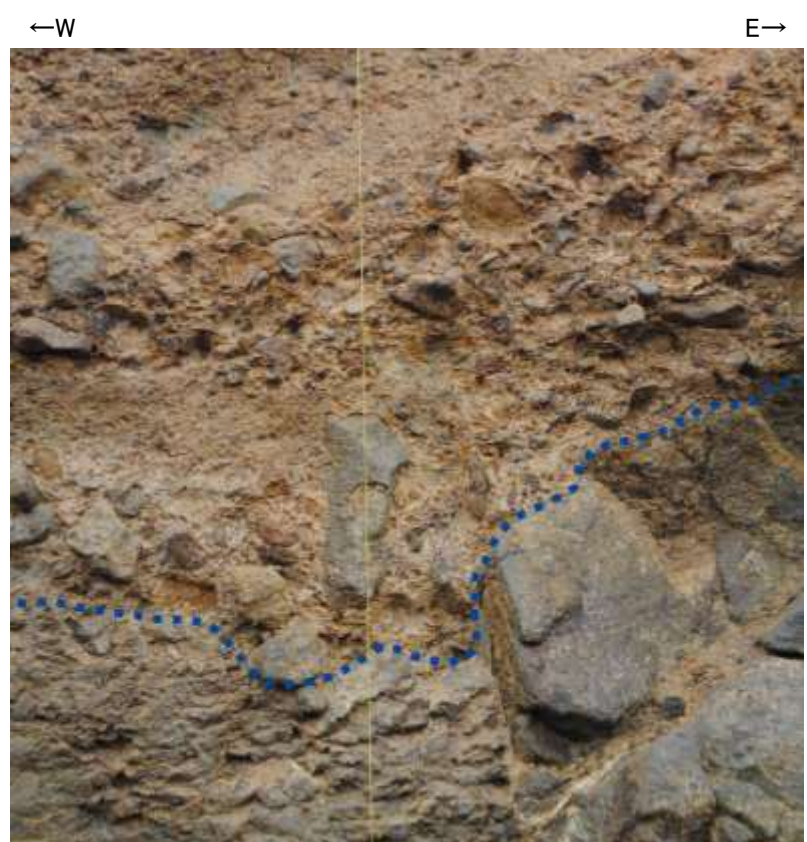
- ・岩盤直上を覆うシルト混じり砂礫層基底には段差が認められるものの、礫の定向配列は認められない。
- ・S-2・S-6直上のシルト混じり砂礫層中には、せん断面は認められない。
- ・S-2・S-6上部に認められる段差を断層運動に伴う段差として考えた場合、相対的に東落ちとなるものの、S-2・S-6の北方延長である北面では東落ちの段差形状は認められない※。

※南面においては、断層を挟んで左右で岩種が異なる。安山岩(均質)は安山岩(角礫質)に比べて硬いことから、この段差は、岩盤の硬軟の差による侵食の影響と判断される。

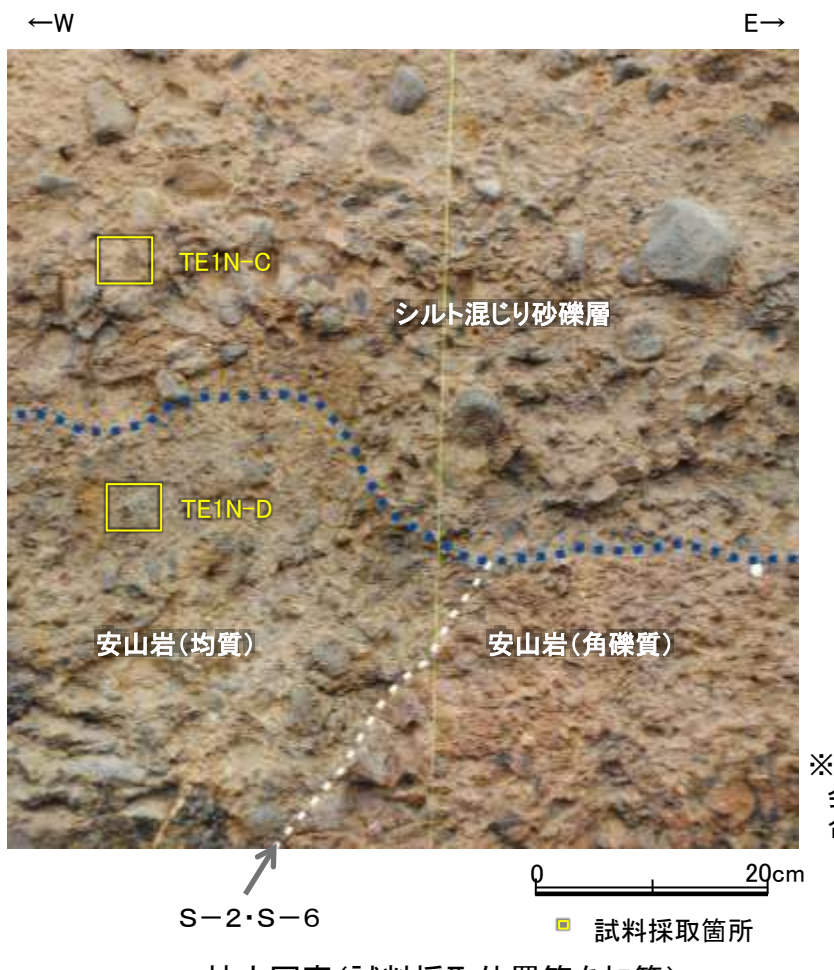
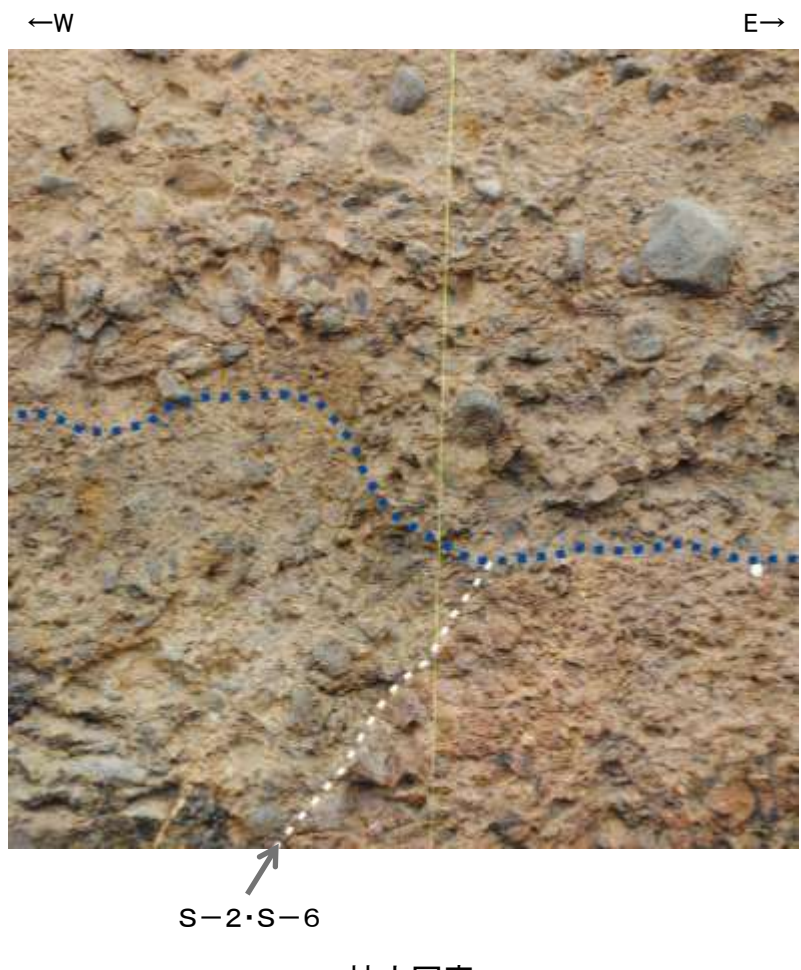
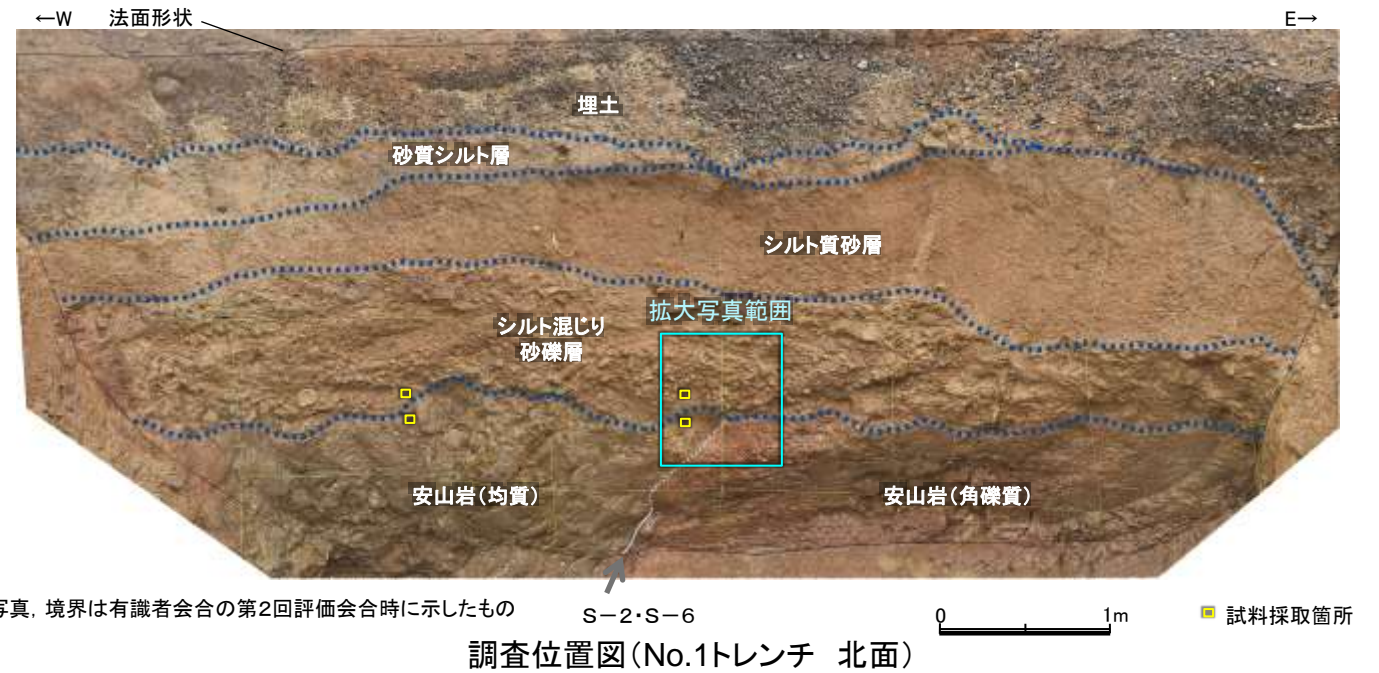
(3)-2 岩盤と堆積物の境界に関する調査結果

No.1トレーニング 試料採取位置(北面西側)

■No.1トレーニングの北面、南面において、岩盤と堆積物の境界について、試料採取前に肉眼観察を行い、その結果を基に薄片観察、XRD分析、XRF分析の試料採取箇所を決定した。以下に、北面、南面の試料採取箇所を示す。

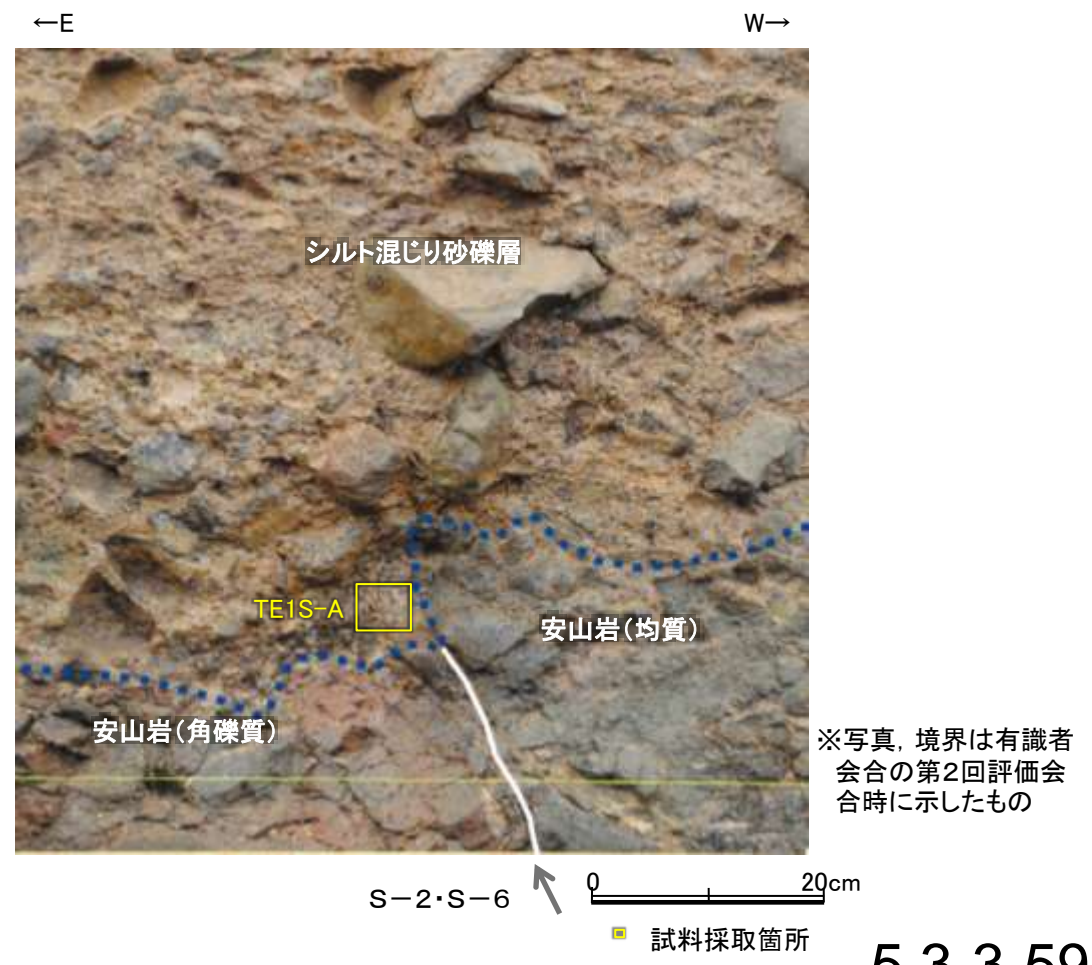
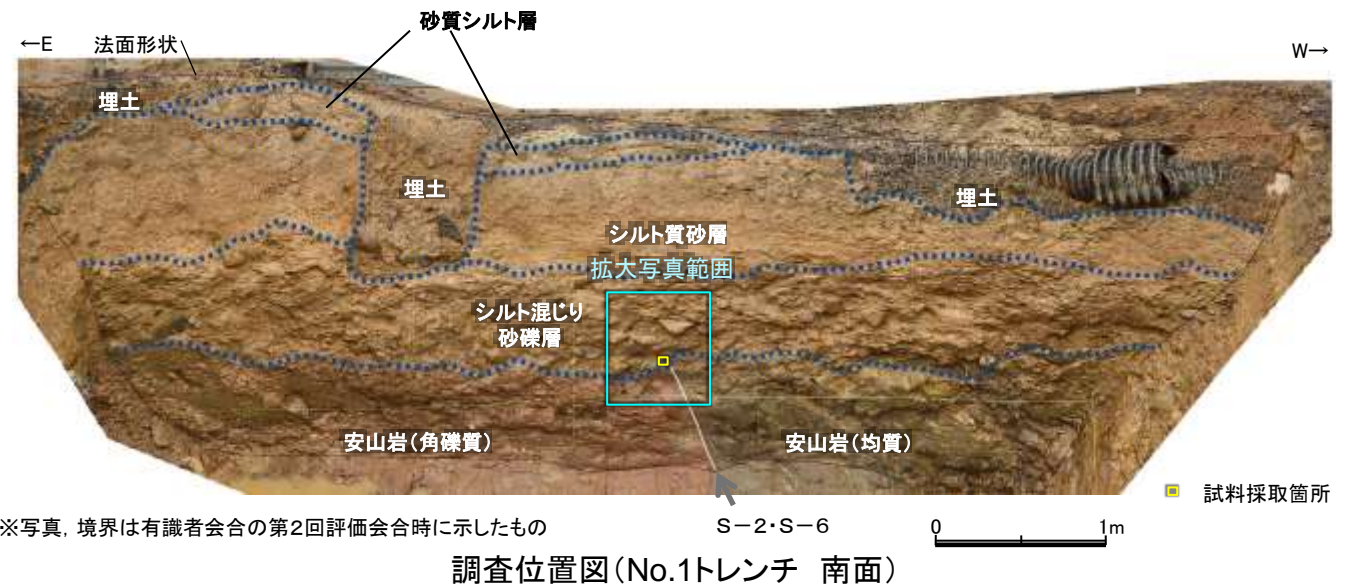


No.1トレーニング 試料採取位置(北面中央)



※写真、境界は有識者会合の第2回評価会合時に示したもの

No.1トレーニング 試料採取位置(南面)



No.1トレーニング 試料採取箇所の特徴等

| 試料採取位置 | 肉眼観察による区分 | 採取物の特徴 |
|----------|-----------|--|
| TE1N-A* | シルト混じり砂礫層 | 基質は黄灰～黄褐色を呈し、砂粒大～径20cmの安山岩を含む。 |
| TE1N-B** | 安山岩(均質) | 数cm間隔の割目により細片化した安山岩。ナイフで傷が着く程度の硬さであり、灰～緑灰色を呈する。 |
| TE1N-C | シルト混じり砂礫層 | 基質は黄灰～黄褐色を呈し、砂粒大～径20cmの安山岩を含む。 |
| TE1N-D | 安山岩(均質) | 風化により角礫化した安山岩。緑灰色を呈する砂～角礫状の安山岩片の空隙を黄灰～黄褐色の粘土が充填する。 |
| TE1S-A | シルト混じり砂礫層 | 岩盤段差部の凹みに分布する。基質は黄灰～黄褐色を呈し、砂粒大～径20cmの安山岩を含む。 |

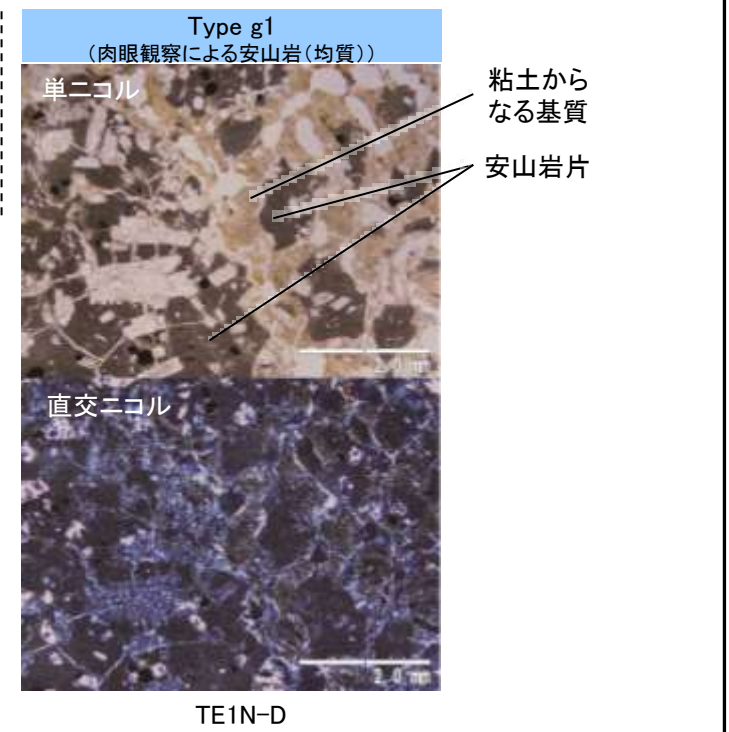
*TE1N-A, BはXRD, XRF分析のみ実施

No.1トレーニング ①薄片観察結果(1)

■No.1トレーニングの北面、南面において試料採取した計3枚の薄片観察結果を以下に示す。

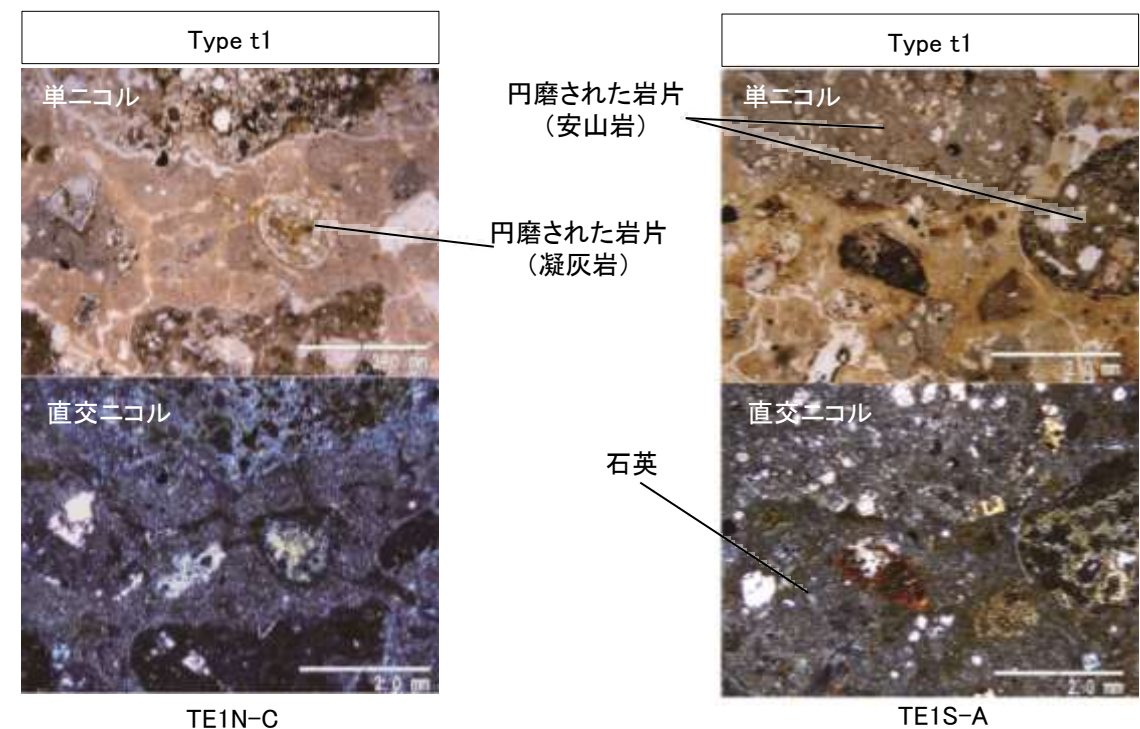
岩盤と判断したもの

- (特徴)
- 砂状粒子の石英をほとんど含まない
(石英は初生的には安山岩に含まれない)
 - 微細な粘土からなる基質中に角ばった安山岩片が含まれる



堆積物と判断したもの

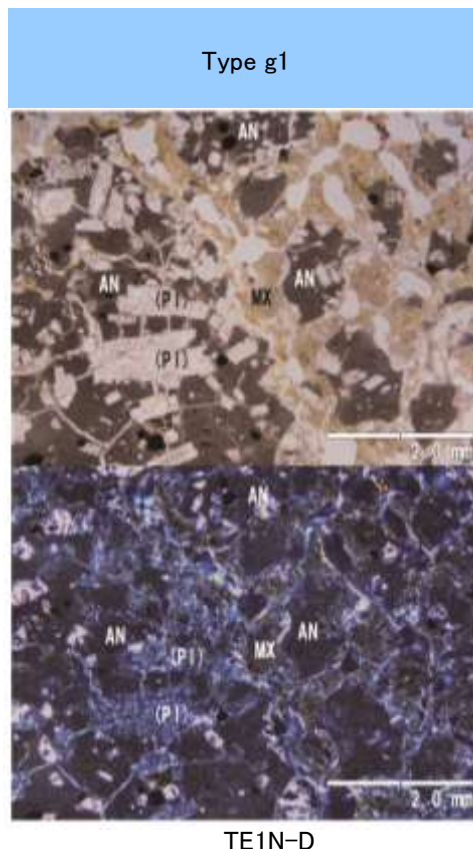
- (特徴)
- 砂状粒子の石英を含む
 - 円磨された岩片(安山岩、凝灰岩)を含むことが多い



・薄片観察の結果、岩盤と堆積物に区分される。

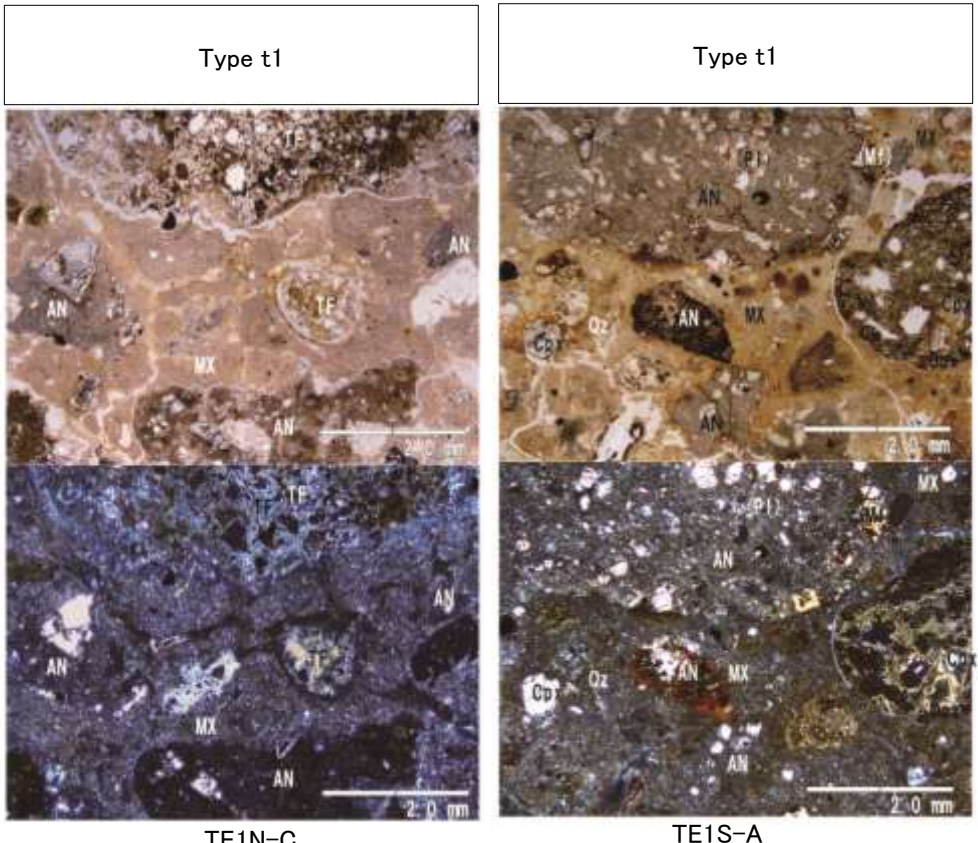
No.1トレーニング ①薄片観察結果(2)

(No.1トレーニング Type g1)



※写真上は単ニコル、写真下は直交ニコル。

No.1トレーニング Type t1



※写真上は単ニコル、写真下は直交ニコル。

凡例(鉱物名)

[岩片・生物遺骸]

AN:安山岩 TF:凝灰岩 GN:花崗岩質岩 SI:珪化岩 MS:泥岩

[初成鉱物・鉱物片]

Qz:石英 Pl:斜長石 Kf:カリ長石 Bi:黒雲母 Hb:普通角閃石 Opx:斜方輝石 Cpx:単斜輝石
Mf:(詳細不明)苦鉄質鉱物 Op:不透明鉱物

[2次鉱物]

Si:(詳細不明)シリカ鉱物 Ver:バーミュライト Sm:スメクタイト Cl:(詳細不明)粘土鉱物
Ge:水酸化鉄 Zeo:沸石類 Py:黄鉄鉱 Amo:非晶質物質(Ge以外)

[その他の記号]

():仮像 MX:基質および石基 FP:フラクチャー孔隙 DP:溶解孔隙

No.1トレンチ ②XRD分析結果

■XRD分析による検出鉱物を薄片観察結果と比較した。

| トレンチ位置 | 試料名 | 薄片観察による岩相区分 | | 石英最強ピーク | XRDによる検出鉱物 | | | | | | | | | | | | | | | | | |
|--------|---------|-------------|---------|---------|------------|----------|---------|------|-----|-----|------|------|-----------|------|-----|--------|----------|-------|-----|------|-----|-----|
| | | | | | 石英 | クリストバライト | トリディマイト | カリ長石 | 斜長石 | 角閃石 | 斜方輝石 | 単斜輝石 | 7Å型ハロイサイト | 雲母鉱物 | 緑泥石 | スメクタイト | バーミキュライト | ギブサイト | 磁鉄鉱 | 磁赤鉄鉱 | 赤鉄鉱 | 針鉄鉱 |
| No.1 | TE1N-A* | 堆積物 | Type t1 | 3088 | ○ | △ | | | + | | | | △ | ± | | ± | | | | | ± | |
| | TE1N-C | | | 2200 | △ | △ | | | △ | | | ± | △ | ± | | ± | | ± | | | ± | |
| | TE1S-A | | | 692 | △ | ○ | | | △ | | | ± | △ | ± | | ± | | ± | | | ± | |
| | TE1N-B* | 岩盤 | Type g1 | - | | ◎ | | + | ± | | | | △ | | | ± | | | + | ± | ± | |
| | TE1N-D | | | 703 | △ | ○ | ± | + | △ | | | ± | △ | ± | | ± | | | | | ± | |

◎:多量>5000cps ○:中量2500~5000cps △:少量500~2500cps +:微量250~500cps ±:きわめて微量<250cps
標準石英最強回折線強度(3回繰り返し測定, 平均53,376cps)

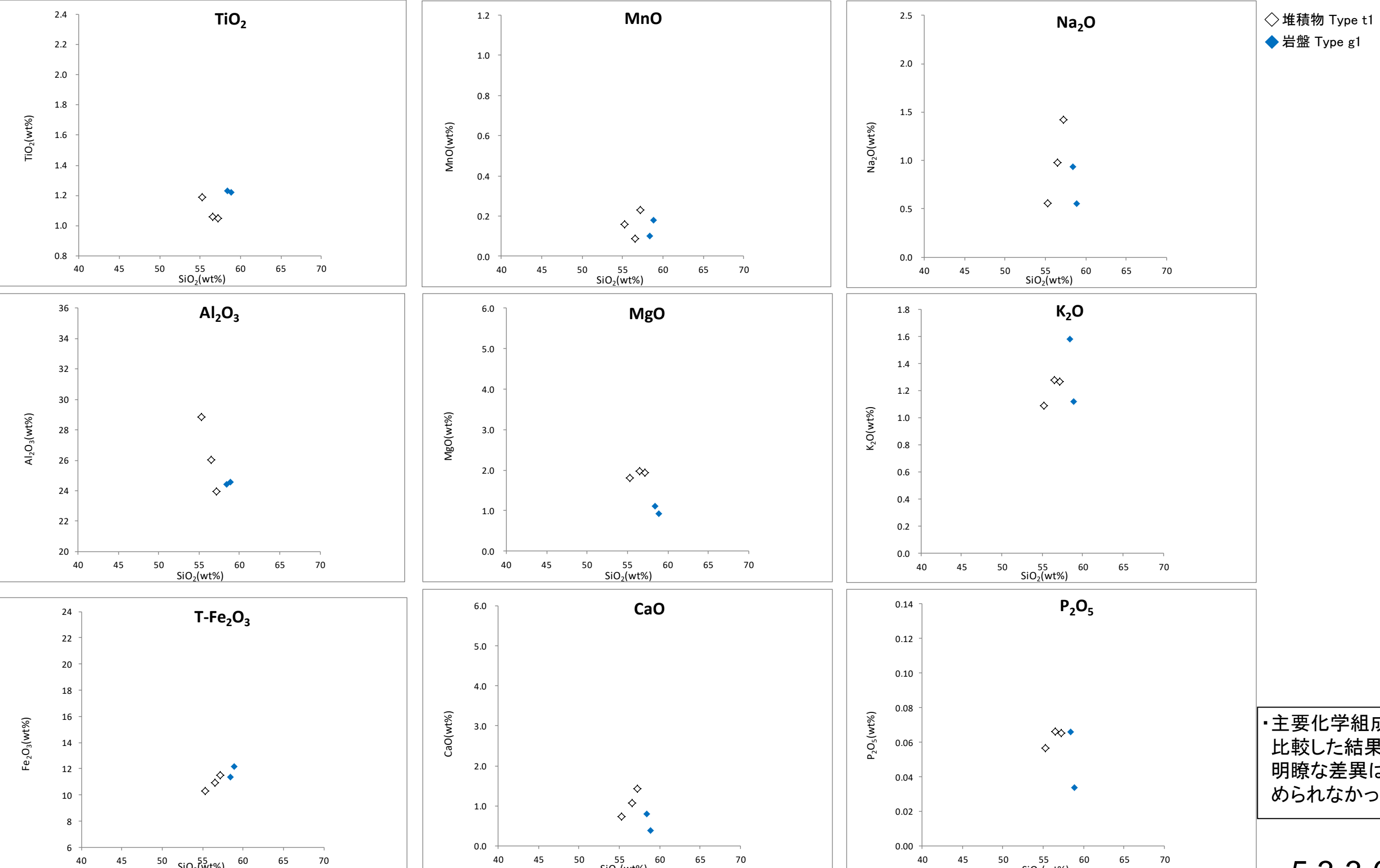
*TE1N-A, TE1N-Bは岩盤境界が明瞭で薄片観察は実施していないため、周辺のTE1N-C, TE1N-Dで得られた薄片観察結果を基に薄片区分を推定

- ・薄片観察にてType t1と区分された堆積物は、石英最強ピークが692~3,088cpsである。
- ・薄片観察にてType g1と区分された岩盤は、石英最強ピークが検出されない~703cpsである。

・石英のピーク値及び鉱物組成を比較した結果、明瞭な差異は認められなかった。

No.1トレンチ ③XRF分析結果 ハーター図

■XRF分析による主要化学組成を薄片観察結果と比較した。



No.1トレンチ ③XRF分析結果 主要化学組成一覧表

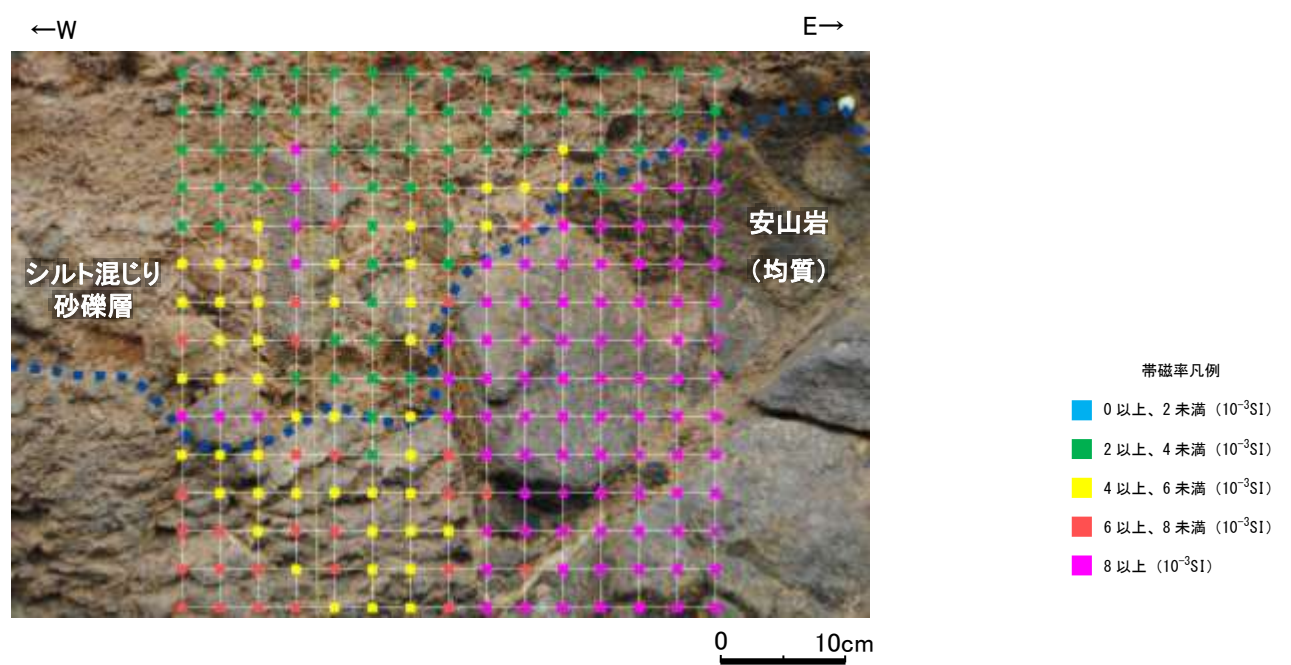
主要化学組成(Ig.Loss規格化後)

| 試料名 | Type | SiO ₂ | TiO ₂ | Al ₂ O ₃ | T-Fe ₂ O ₃ | MnO | MgO | CaO | Na ₂ O | K ₂ O | P ₂ O ₅ | Total |
|---------|------|------------------|------------------|--------------------------------|----------------------------------|------|------|------|-------------------|------------------|-------------------------------|--------|
| TE1N-A* | t1 | 55.26 | 1.19 | 28.86 | 10.30 | 0.16 | 1.81 | 0.72 | 0.55 | 1.09 | 0.06 | 100.00 |
| TE1N-C | | 56.54 | 1.06 | 26.02 | 10.93 | 0.09 | 1.97 | 1.08 | 0.98 | 1.28 | 0.07 | 100.00 |
| TE1S-A | | 57.20 | 1.05 | 23.93 | 11.48 | 0.23 | 1.94 | 1.43 | 1.42 | 1.26 | 0.07 | 100.00 |
| TE1N-B* | g1 | 58.90 | 1.22 | 24.55 | 12.17 | 0.18 | 0.92 | 0.38 | 0.55 | 1.12 | 0.03 | 100.00 |
| TE1N-D | | 58.45 | 1.23 | 24.41 | 11.34 | 0.10 | 1.11 | 0.80 | 0.93 | 1.58 | 0.07 | 100.00 |

*TE1N-A, TE1N-Bは岩盤境界が明瞭で薄片観察は実施していないため、周辺のTE1N-C, TE1N-Dで得られた薄片観察結果を基に薄片区分を推定

No.1トレーニング ④ 帯磁率測定結果(北面)

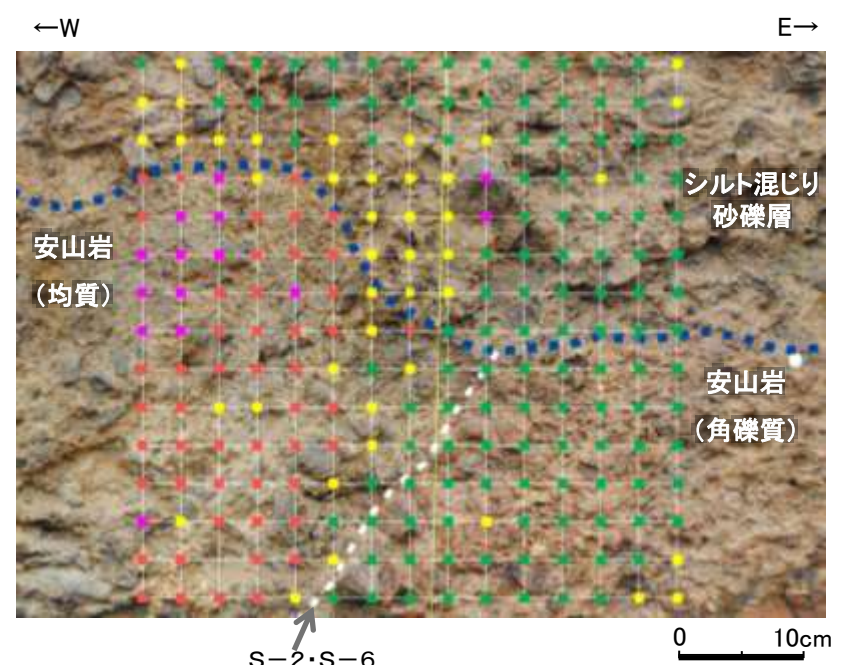
■No.1トレーニングの北面、南面において帯磁率測定を実施し、肉眼観察による岩盤と堆積物の境界と比較した。



※写真、境界は有識者会合の
第2回評価会合時に示したもの

西側測定結果

・肉眼観察により相対的に新鮮な岩盤や礫と判断される箇所においては帯磁率が大きくなる。



※写真、境界は有識者会合の
第2回評価会合時に示したもの

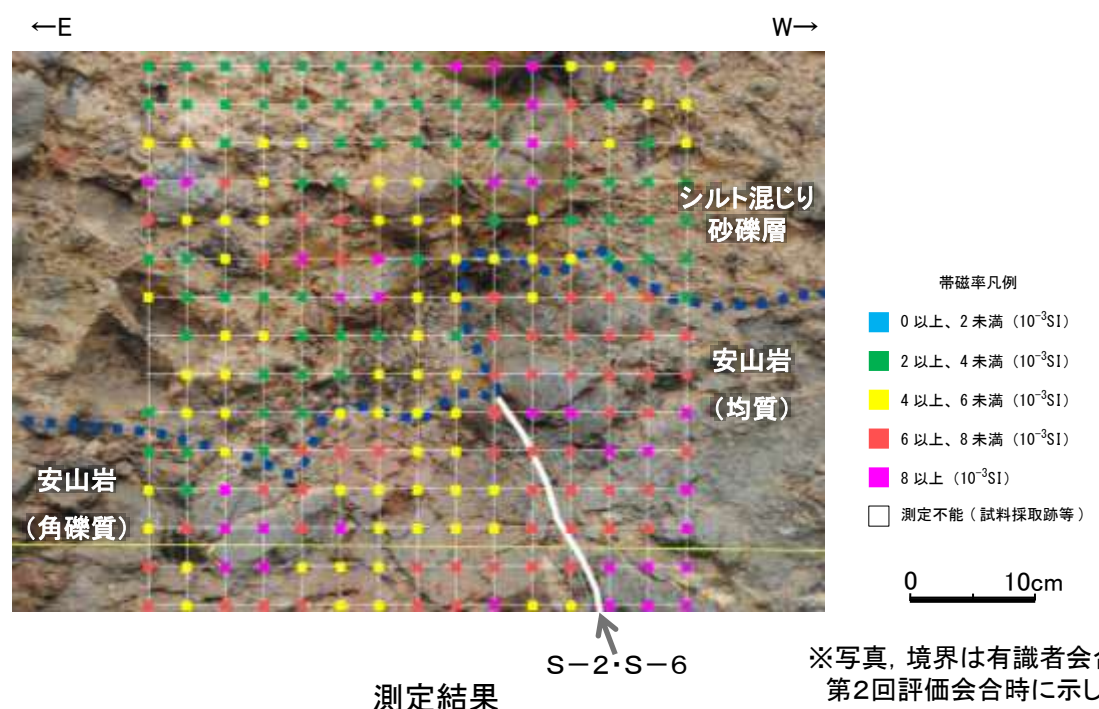
中央測定結果

・肉眼観察により相対的に新鮮な岩盤や礫と判断される箇所においては帯磁率が大きくなる。

No.1トレーニング ④ 帯磁率測定結果(南面)



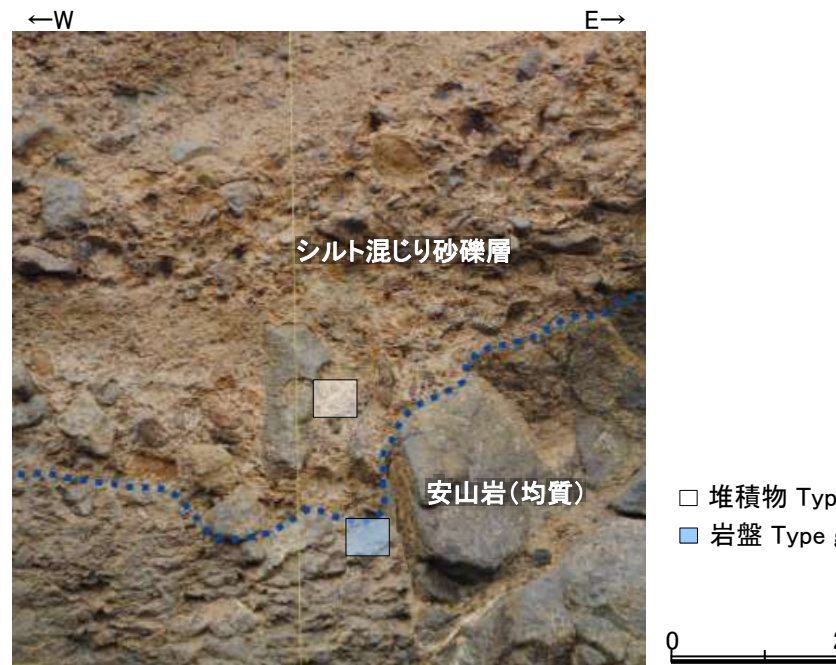
調査位置図(No.1トレーニチ 南面)



- ・肉眼観察により相対的に新鮮な岩盤や礫と判断される箇所においては、肉眼観察結果と概ね整合的な結果が得られた。

・肉眼観察により相対的に新鮮な岩盤と判断される箇所においては、肉眼観察結果と概ね整合的な結果が得られた。

No.1トレンチ 岩盤と堆積物の境界に関する調査結果のまとめ



調査位置図(No.1トレンチ 北面西側)



S-2・S-6
調査位置図(No.1トレンチ 北面中央)

※写真、境界は有識者会合の
第2回評価会合時に示したもの

S-2・S-6
調査位置図(No.1トレンチ 南面)

※写真、境界は有識者会合の
第2回評価会合時に示したもの

No.1トレンチにおいて、肉眼観察の結果を基本とし、各種分析による客観的かつ定量的なデータを整理することにより岩盤と堆積物の境界を判断すると、上図の通りとなる。

(4) 事務本館前トレンチ

事務本館前トレンチ -評価結果-

【有識者会合時の当社評価】

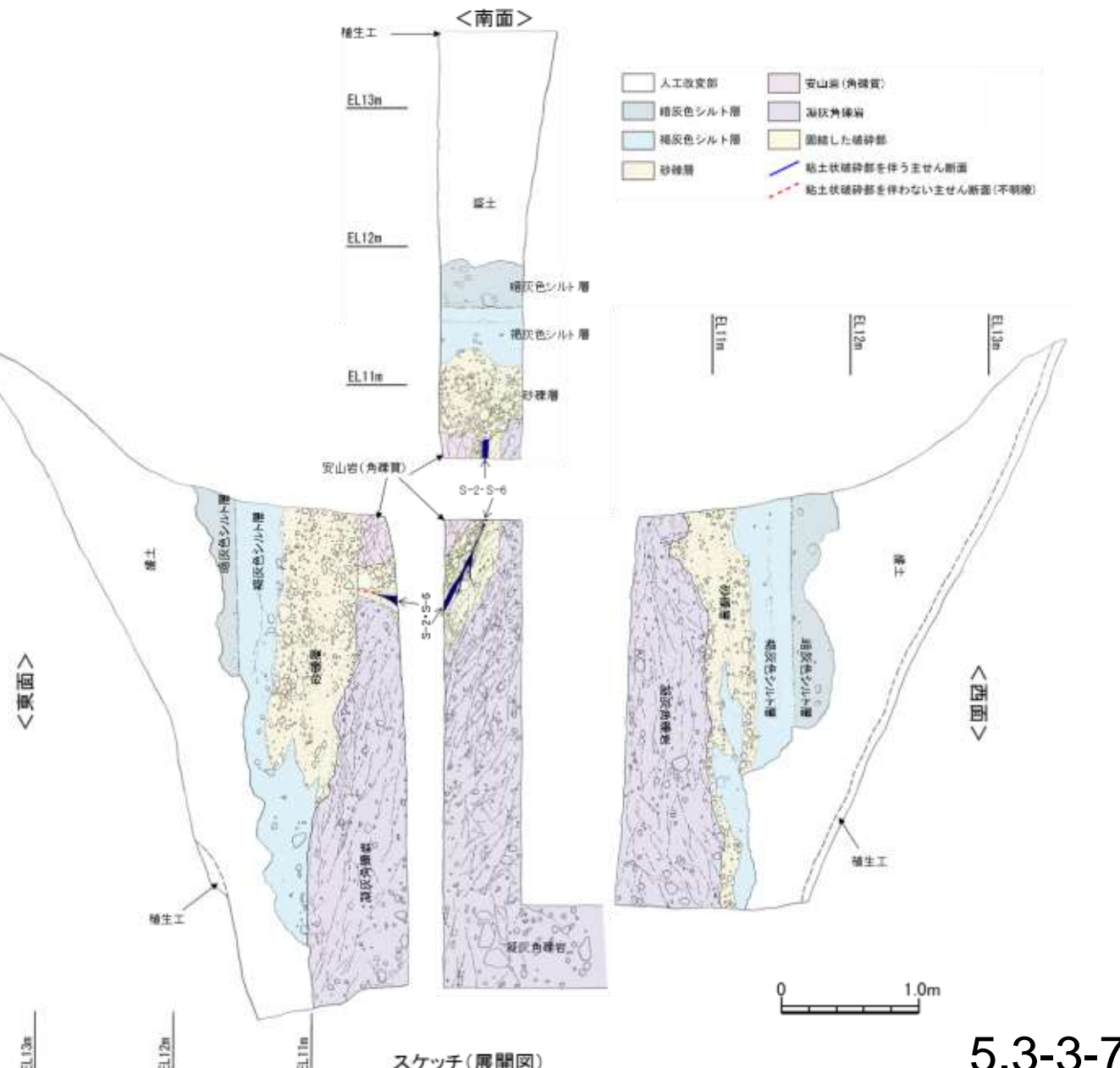
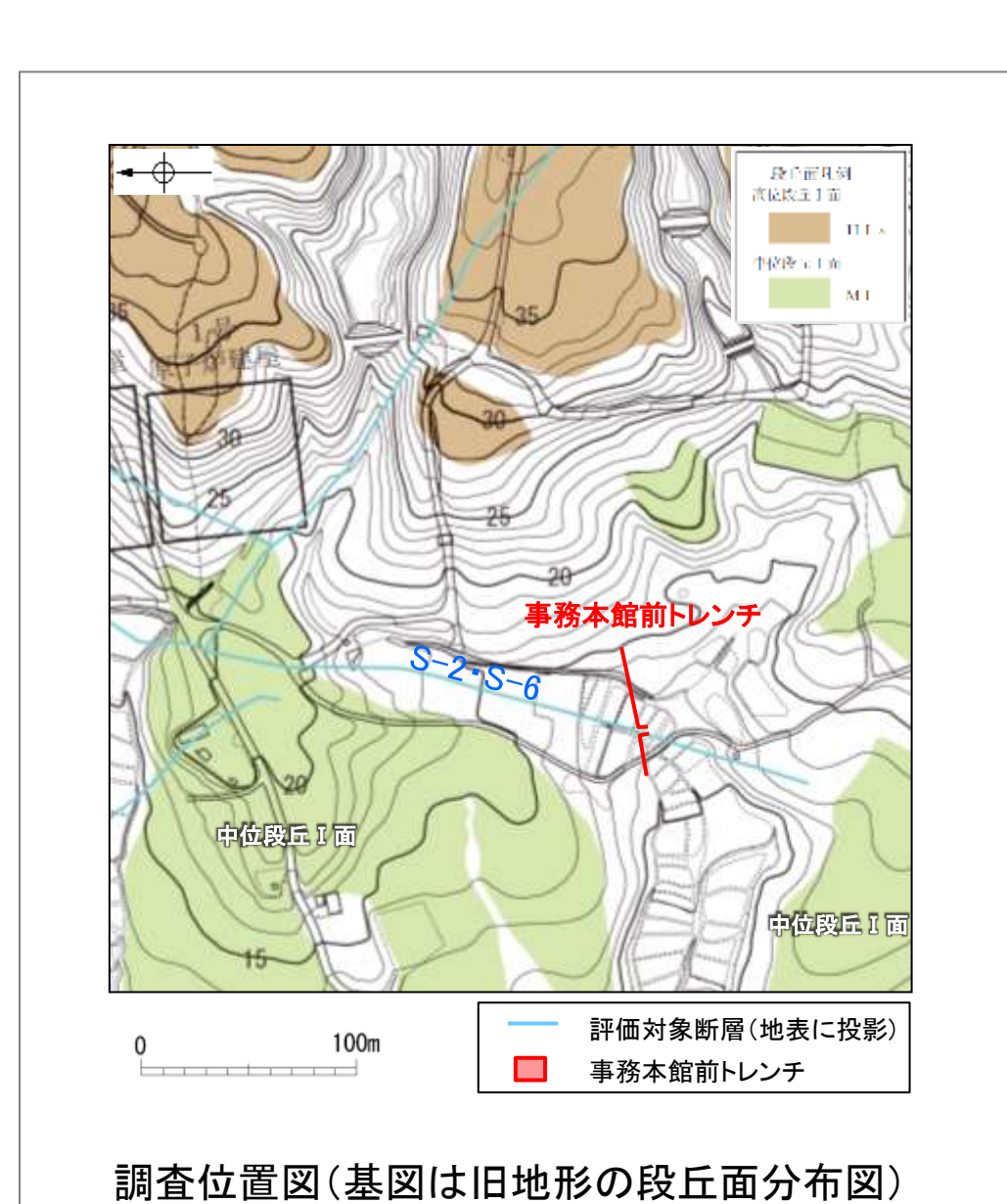
- 事務本館前トレンチにおいて、幅15~25cmの固結した破碎部及び幅フィルム状~5cmの粘土状破碎部からなるS-2・S-6を確認。
 - 岩盤の凝灰角礫岩及び安山岩(角礫質)の上位には、下位から砂礫層、褐灰色シルト層、暗灰色シルト層が分布する。
 - ¹⁴C年代値を踏まえると、岩盤直上の砂礫層は、約6千年前の堆積物であると判断される。
 - S-2・S-6は岩盤直上の砂礫層に変位・変形を与えていない。

【有識者の評価】

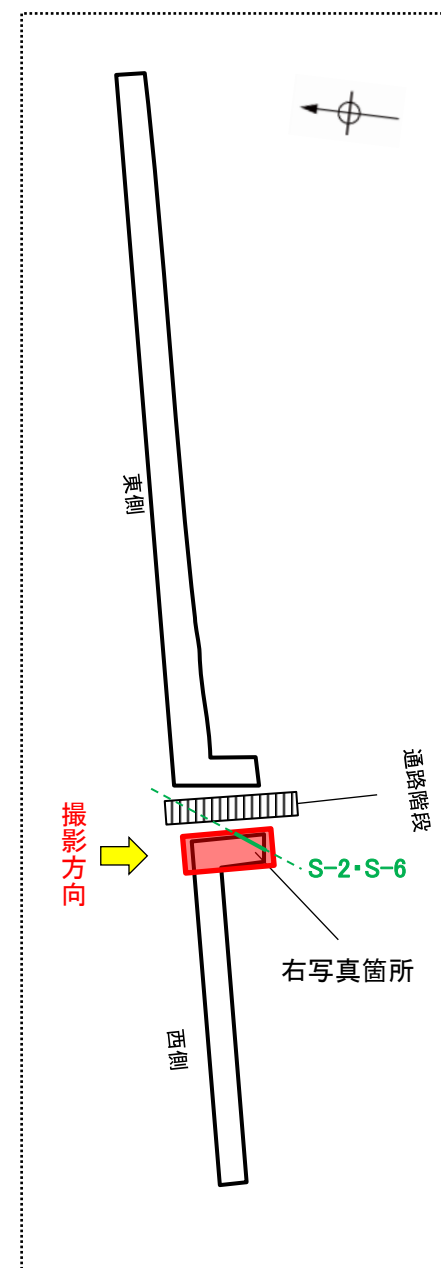
- S-2・S-6 を含む岩盤は砂礫層に不整合に覆われており、不整合面に変位は認められない。
○ただし、砂礫層は非常に新しい堆積物であると考えられる。したがって、当トレンチでは、後期更新世におけるS-2・S-6 の活動性を評価することはできない。

【現在の当社評価】

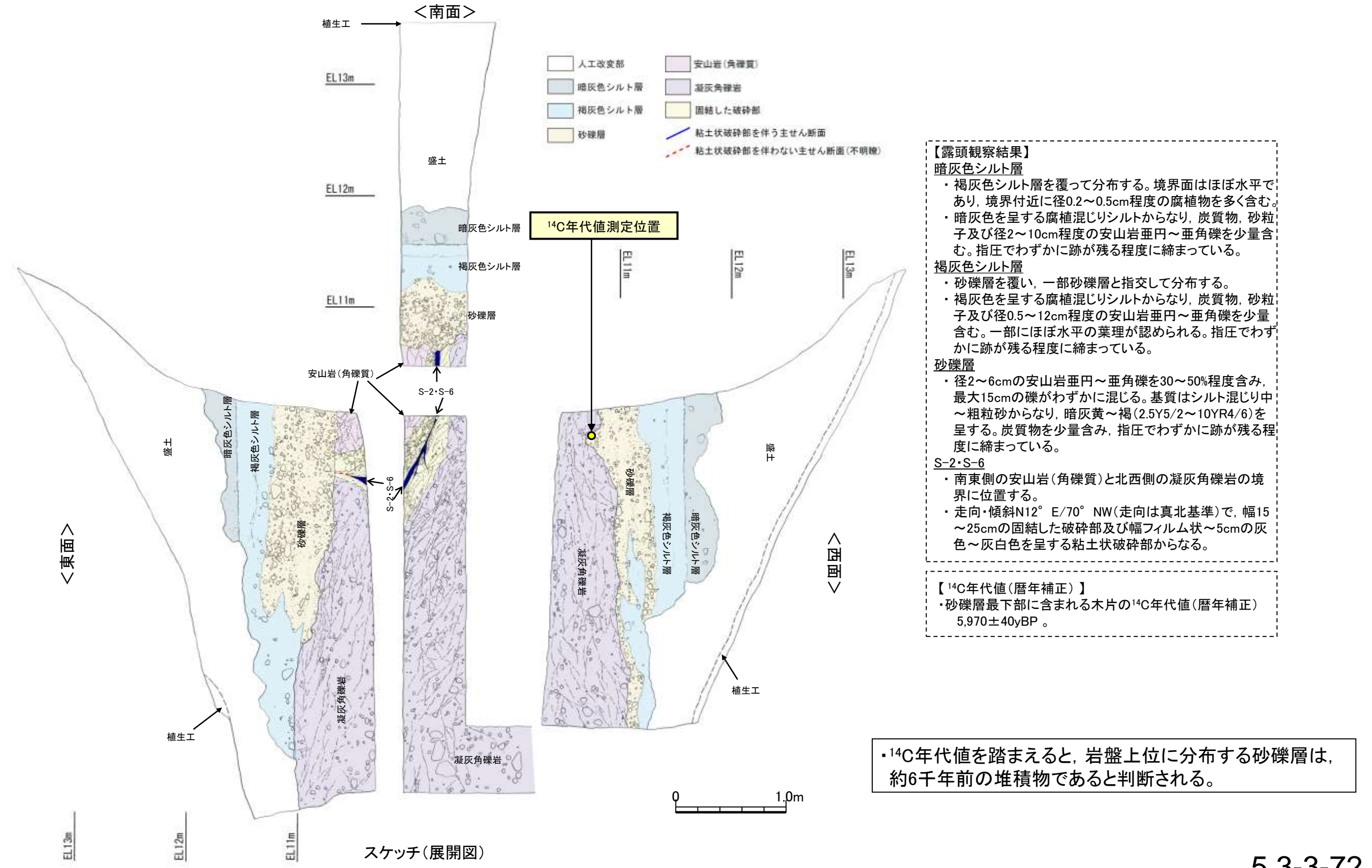
- 岩盤直上の堆積物の堆積年代は約12～13万年前より新しいものの、S-2・S-6はこの堆積物に変位・変形を与えていない。



事務本館前トレンチ -全景写真-

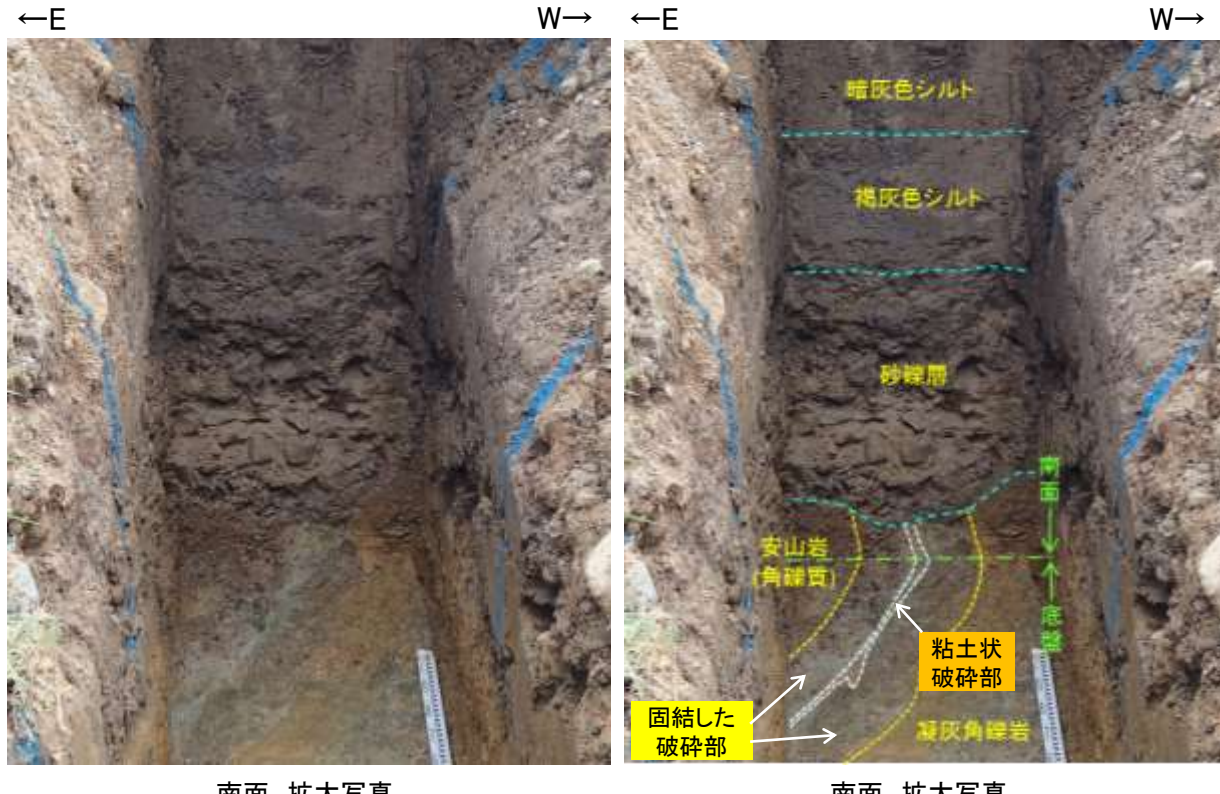


事務本館前トレンチースケッチ(展開図)一

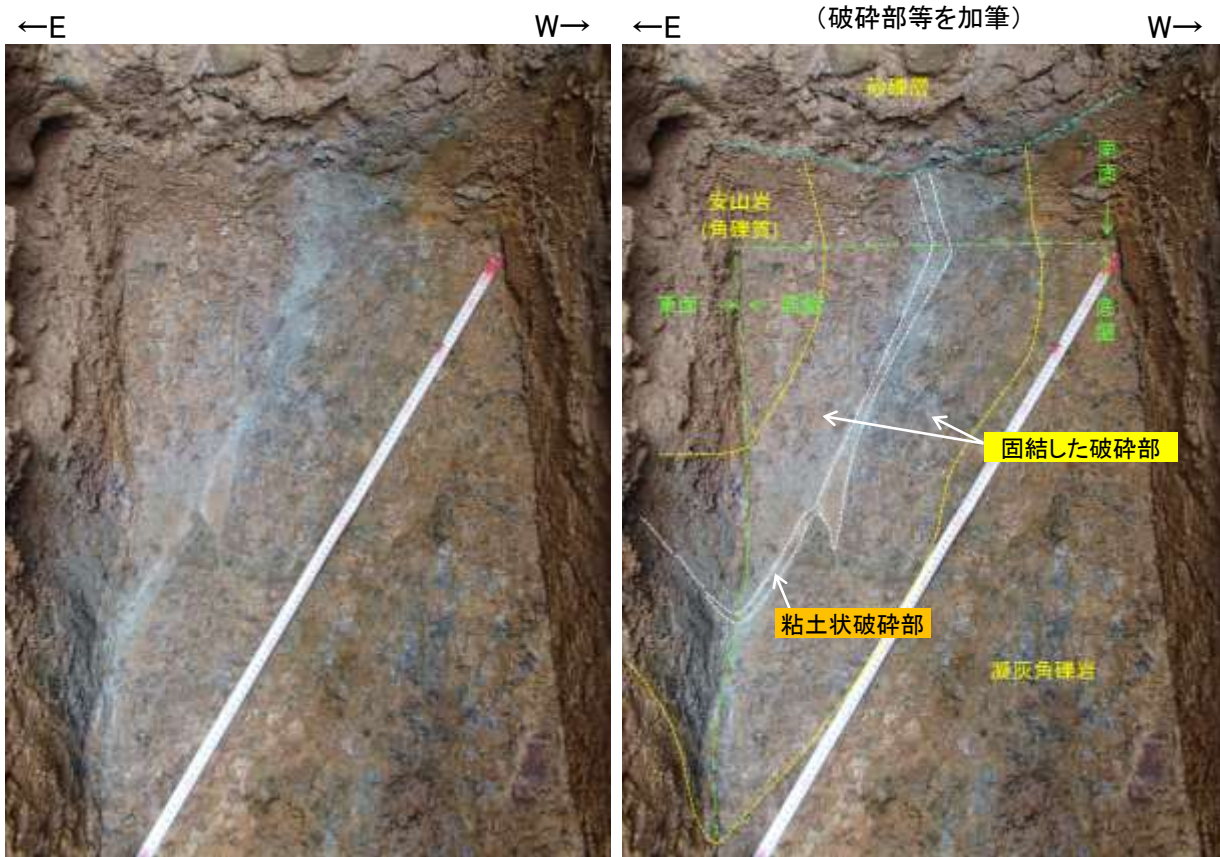


事務本館前トレンチ -S-2・S-6と上載地層との関係-

【拡大写真】

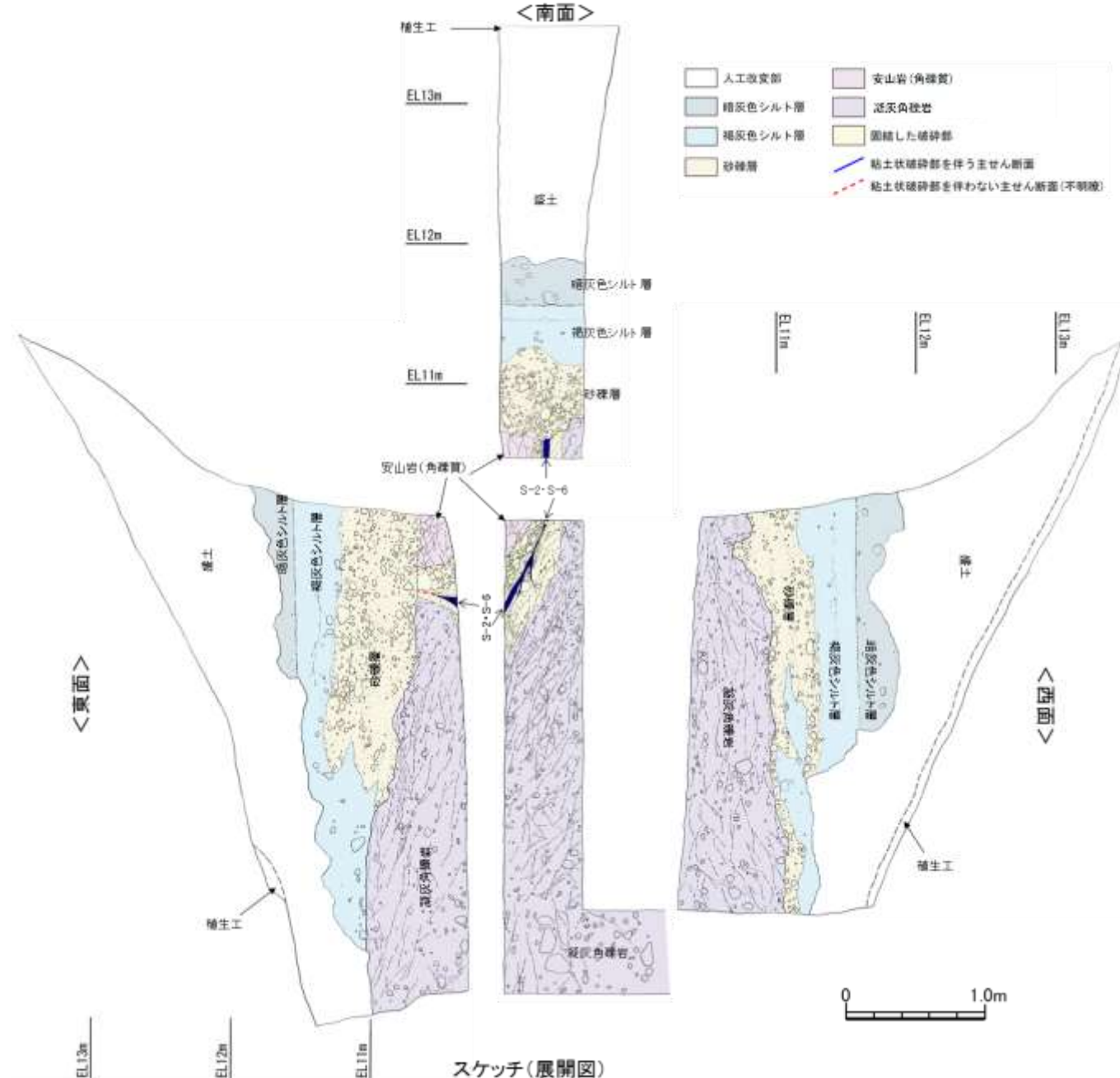


南面 拡大写真



底盤 拡大写真

底盤 拡大写真
(破碎部等を加筆)



スケッチ(展開図)

- ・岩盤直上を覆う砂礫層基底には、段差は認められない。
- ・主せん断面直上の砂礫層中には、せん断面は認められない。

(5) 「凸状地形」に関する検討

「凸状地形」に関する検討 – 「凸状地形」深部の断層の有無 ①C-9.0-1 位置図・断面図 –

■「凸状地形」の頂部付近から斜めボーリング等を実施した結果について、以下に示す。



「凸状地形」に関する検討 – 「凸状地形」深部の断層の有無 ①C-9.0-1[深度0-20m] –



ボーリング①C-9.0-1 ヨア写真[0~20m]

「凸状地形」に関する検討 – 「凸状地形」深部の断層の有無 ①C-9.0-1[深度20-40m] –



ボーリング①C-9.0-1
コア写真[20~40m]

「凸状地形」に関する検討 —「凸状地形」深部の断層の有無 ①C-9.0-1[深度40-50m]—

| C-9.0-1(2の2) | | | G L = 22.24m | | | L = 50.0m | | | | | |
|-------------------------|-------------------------|---------------|------------------|----------|------------------|-------------|-----------------------|--------|--|--|--|
| 標 尺 高 度 (m) | 標 柱 状 況 (m) | 深 度 (m) | 地 質 名 稱 | 色 調 | コア 採取率 (%) | R Q D | 岩 級 分 区 分 | 記 事 | | | |
| 40 | | | | 黒褐 | 100 | | | | | | |
| | | | | | 49 | 100 | | | | | |
| | | | | | 56 | 95 | | | | | |
| | | | | | 76 | 99 | | | | | |
| | | | | | 31 | 92 | | | | | |
| | | | | | 48 | 100 | | | | | |
| | | | | | 81 | 100 | | | | | |
| | | | | | 28 | 87 | | | | | |
| | | | | | 22 | 40 | Bb | | | | |
| | | | | | 72 | 100 | Ba | | | | |
| 45 | | | 安山岩 (角砾質) | 暗赤褐 | | | | | | | |
| -25.71 | 47.86 | | | | | | | | | | |
| -27.76 | 50.00 | | 安山岩 (均質) | 黒 暗紫灰 | | | | | | | |
| 50 | | | | | | | | | | | |
| 55 | | | | | | | | | | | |
| 60 | | | | | | | | | | | |
| 65 | | | | | | | | | | | |
| 70 | | | | | | | | | | | |
| 75 | | | | | | | | | | | |
| 80 | | | | | | | | | | | |

深度(m)

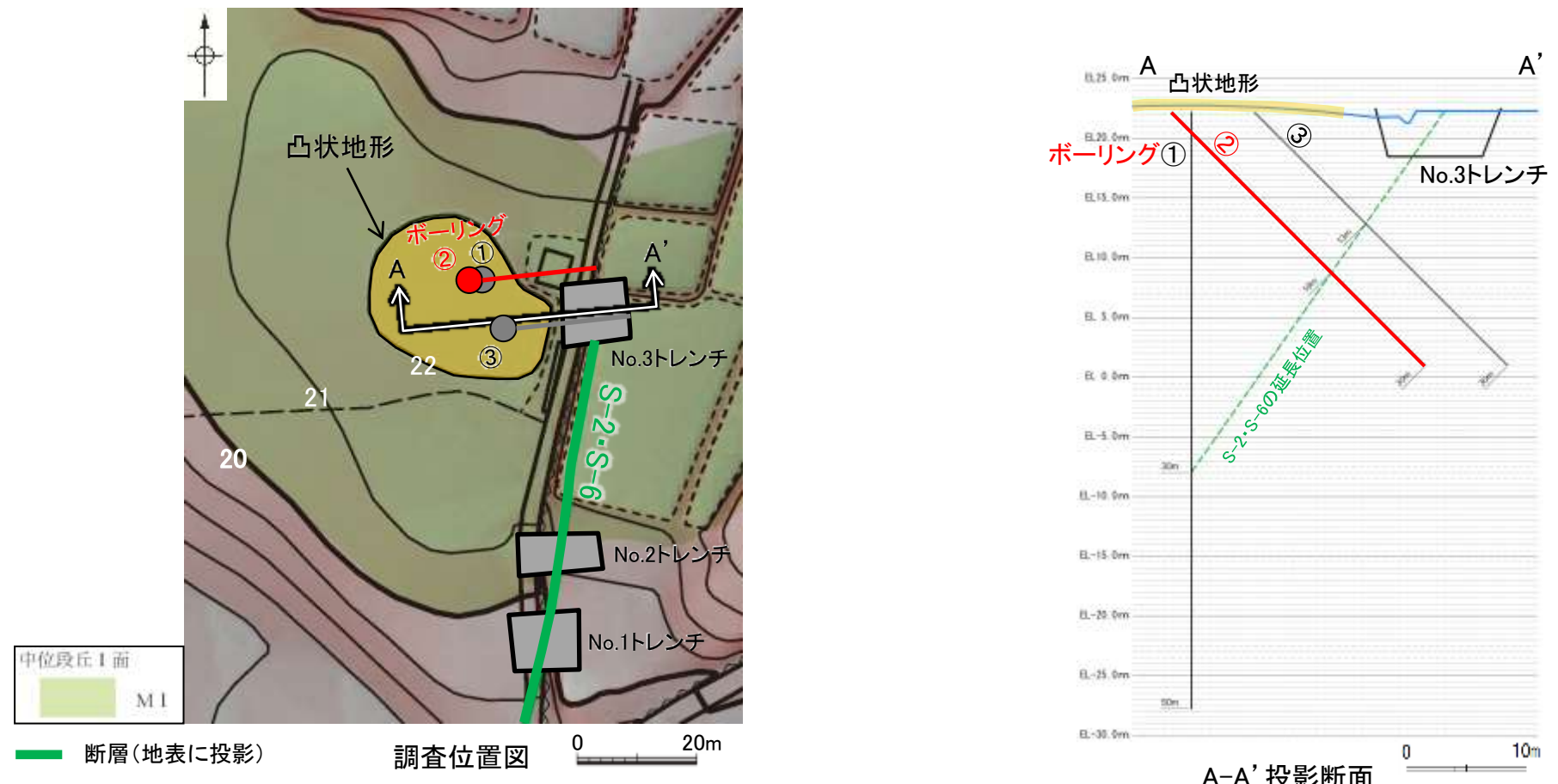


深度(m)

ボーリング①C-9.0-1
コア写真[40~50m]

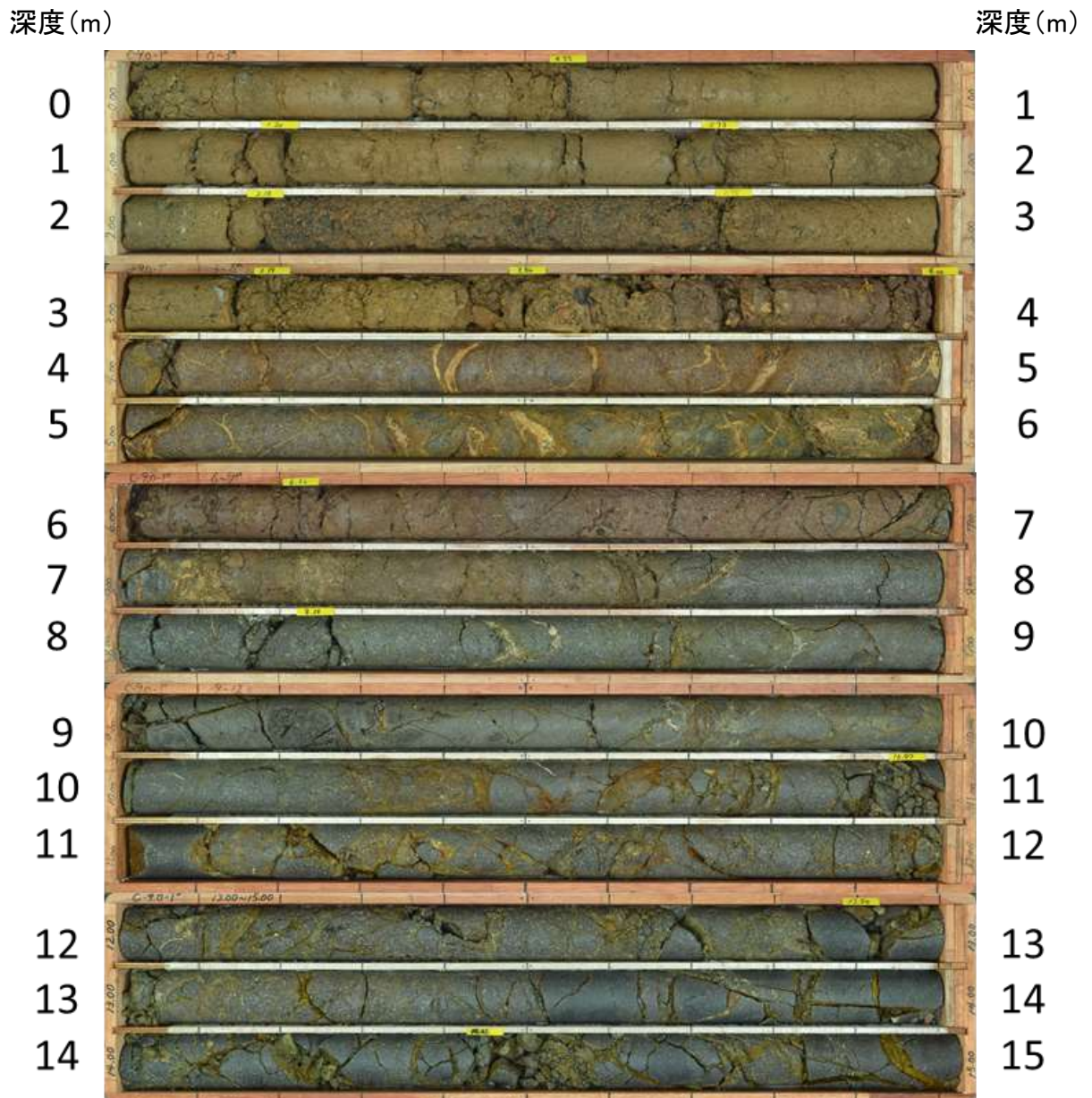
・ボーリングコアには、破碎部は認められない。

「凸状地形」に関する検討 –「凸状地形」深部の断層の有無 ②C-9.0-1' 位置図・断面図–



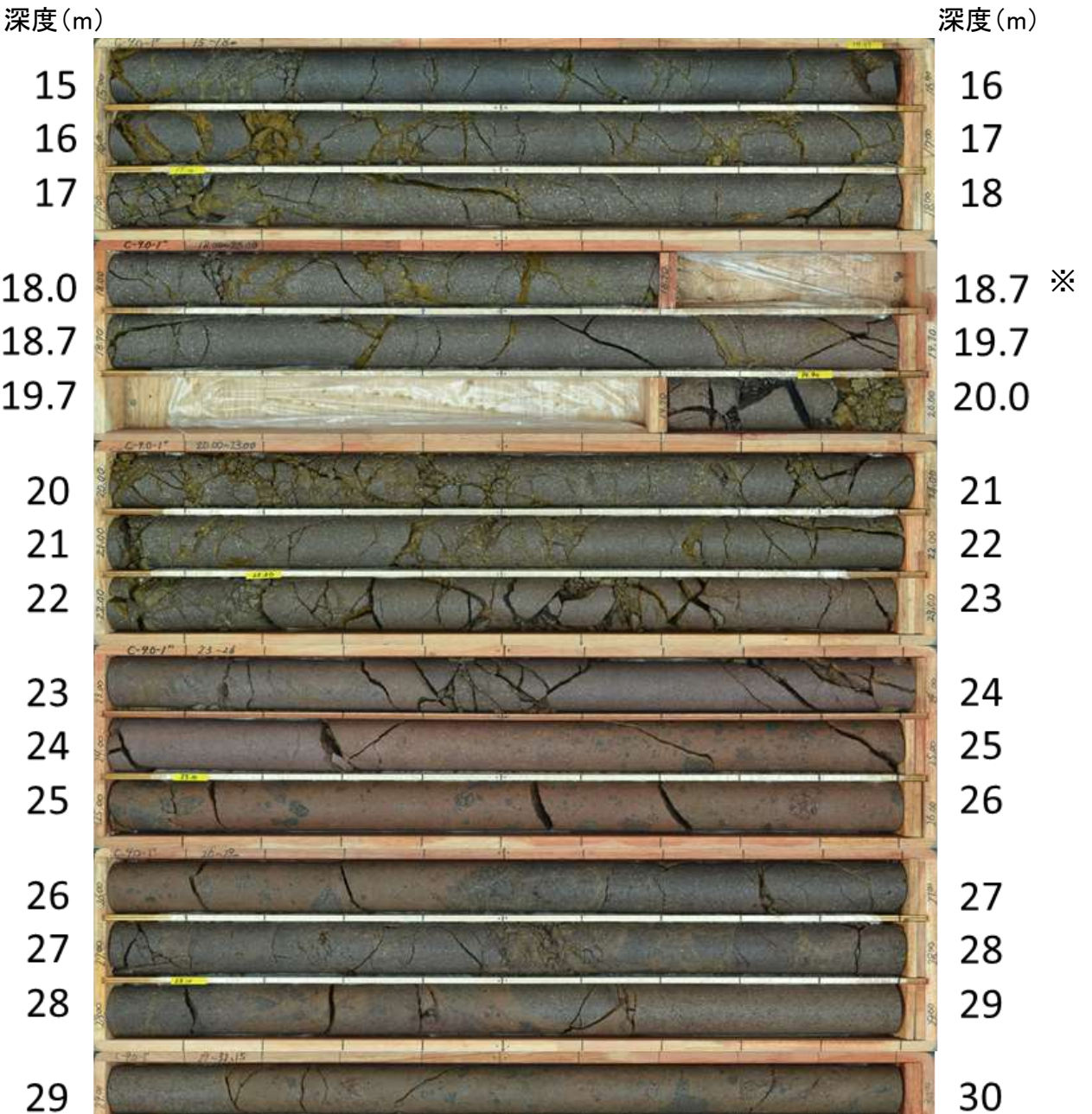
「凸状地形」に関する検討 –「凸状地形」深部の断層の有無 ②C-9.0-1' [深度0-15m] –

| C-9.0-1' (1の1) | | G L = 22.18m | | | L = 30.0m | | | 記事 | |
|----------------|-----|--------------|-----|-----|-----------|-------------|------------|------------|--------|
| 標尺 | 標高 | 深度 | 柱状図 | 地質名 | 色調 | コア採取率 (%) | 最大コア長 (cm) | R Q D 岩級区分 | |
| (m) | (m) | (m) | | | | 20 40 60 80 | (%) | (cm) (%) | |
| 0 | | | | | | | | | コア写真範囲 |
| | | | | | | | | | |
| 5 | | | | | | | | | |
| 10 | | | | | | | | | |
| 15 | | | | | | | | | |
| 20 | | | | | | | | | |
| 25 | | | | | | | | | |
| 30 | | | | | | | | | |
| 35 | | | | | | | | | |
| 40 | | | | | | | | | |



ボーリング②C-9.0-1'
コア写真[0~15m]

「凸状地形」に関する検討 —「凸状地形」深部の断層の有無 ②C-9.0-1' [深度15-30m]—

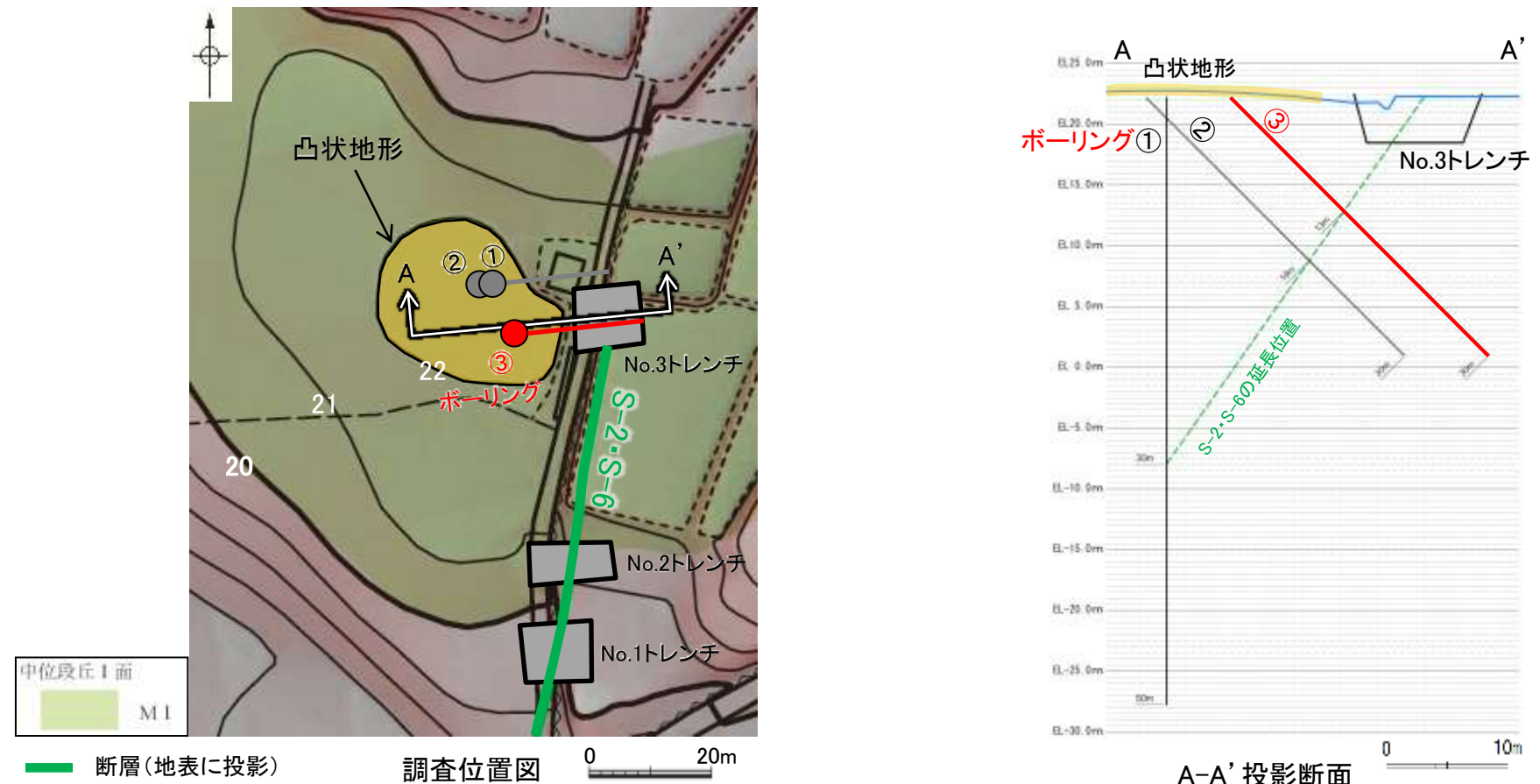


ボーリング②C-9.0-1' コア写真[15~30m]

※18.7～19.7m間はS-2・S-6の想定延長位置にあたり、割れ目の詳細観察のため、コアの切断位置を変更した。

・ボーリングコアには、破碎部は認められない。

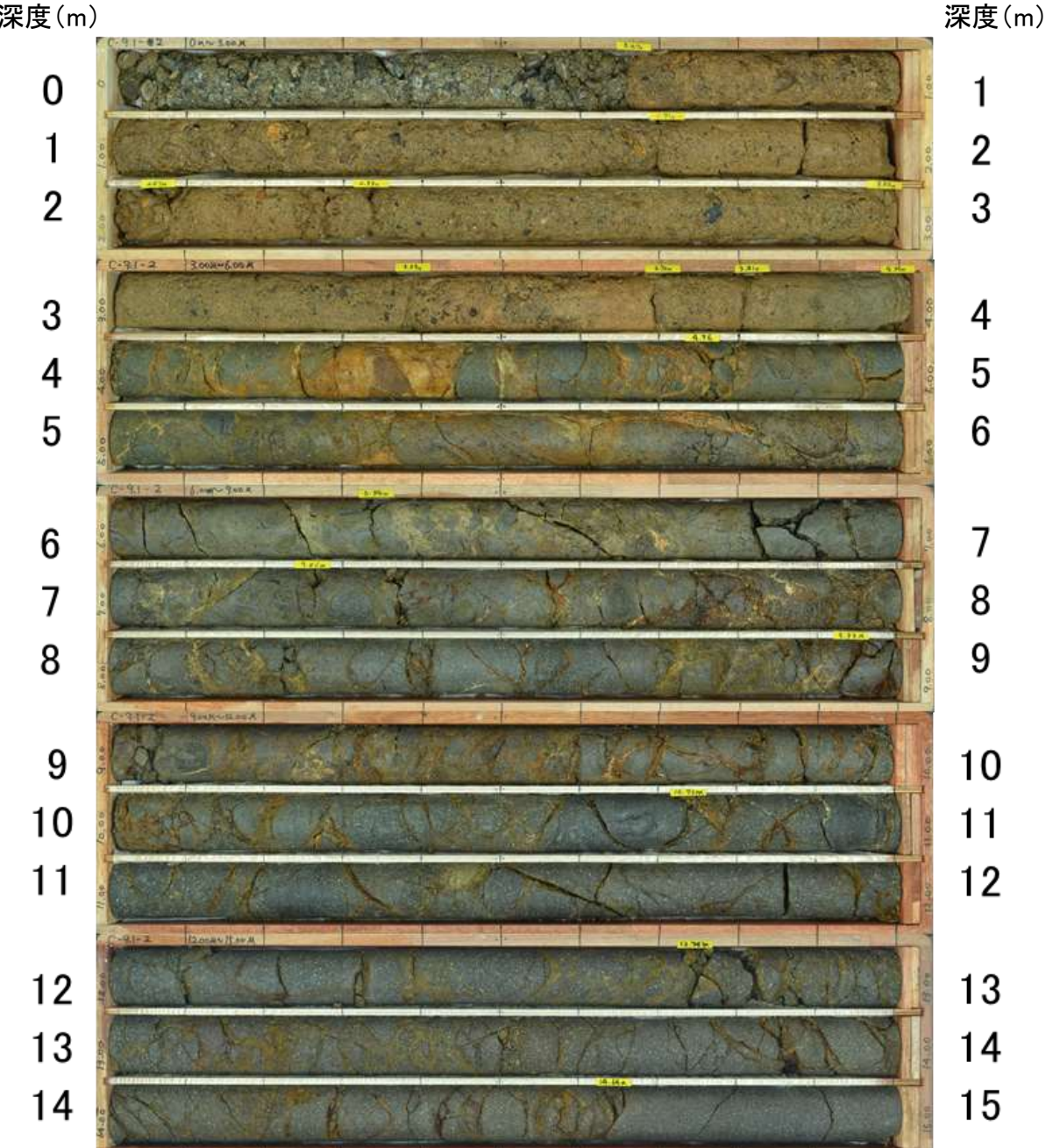
「凸状地形」に関する検討 -「凸状地形」深部の断層の有無 ③C-9.1-2 位置図・断面図-



「凸状地形」に関する検討 –「凸状地形」深部の断層の有無 ③C-9.1-2[深度0~15m]–

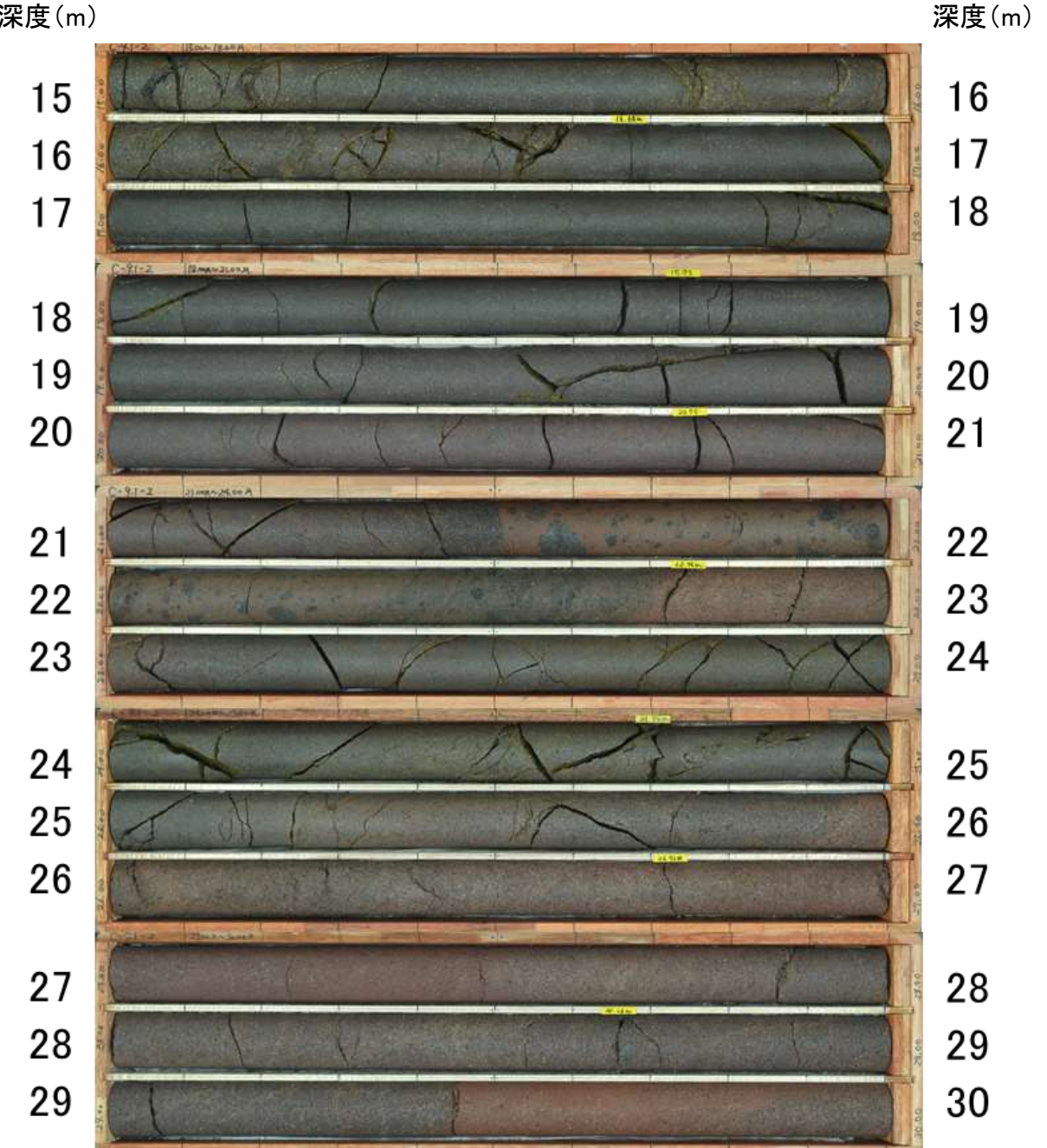
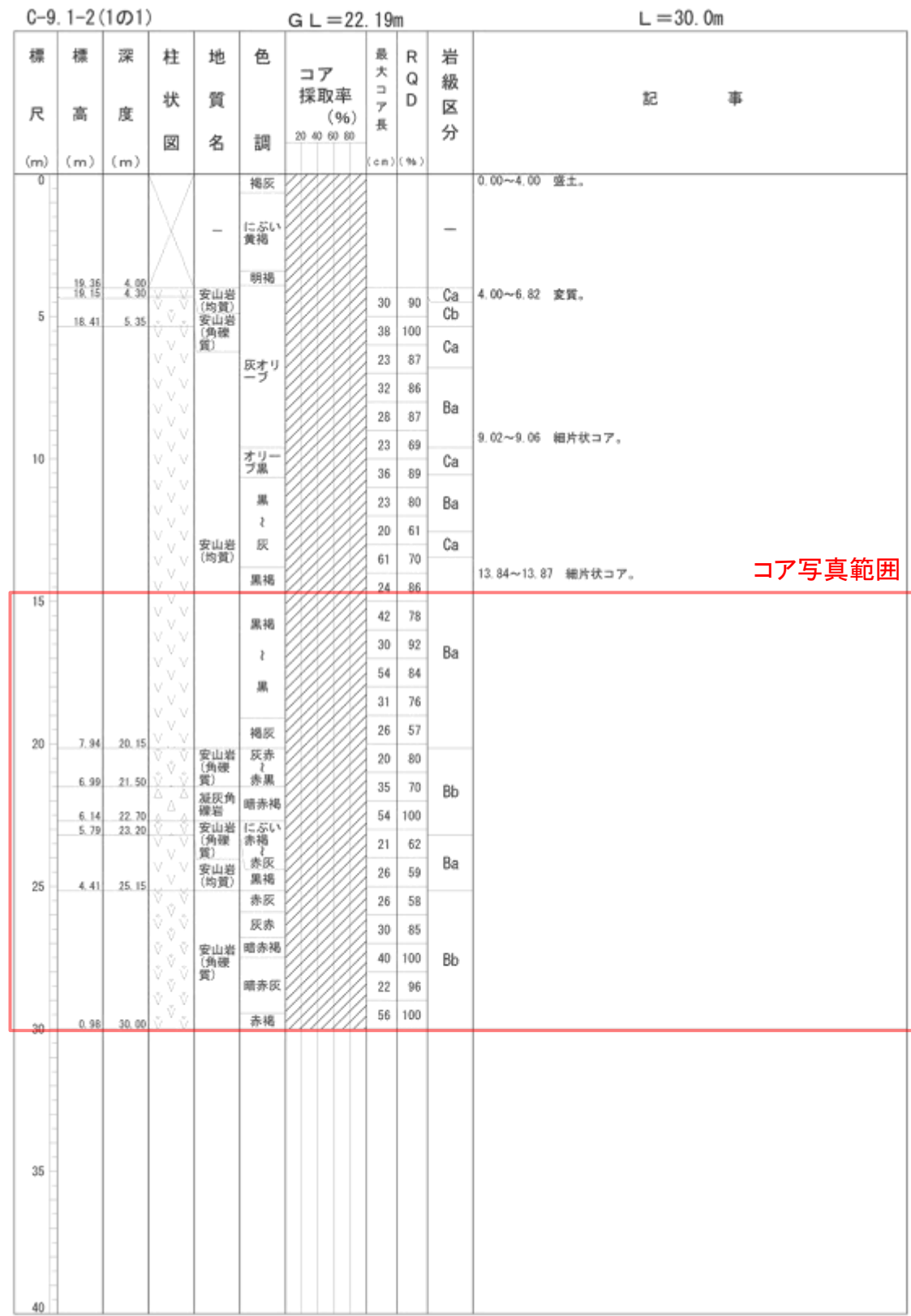
| C-9.1-2(1の1) | | G L = 22.19m | | L = 30.0m | | 記事 | | | |
|--------------|-----|--------------|-----|-----------|----|-----------|------------|-------|------|
| 標尺 | 標高 | 深度 | 柱状図 | 地質名 | 色調 | | | | |
| (m) | (m) | (m) | | | | コア採取率 (%) | 最大コア長 (cm) | R Q D | 岩級区分 |
| 0 | | | | | | | | | |
| 5 | | | | | | | | | |
| 10 | | | | | | | | | |
| 15 | | | | | | | | | |
| 20 | | | | | | | | | |
| 25 | | | | | | | | | |
| 30 | | | | | | | | | |
| 35 | | | | | | | | | |
| 40 | | | | | | | | | |

コア写真範囲



ボーリング③C-9.1-2
コア写真[0~15m]

「凸状地形」に関する検討 –「凸状地形」深部の断層の有無 ③C-9.1-2[深度15~30m]–

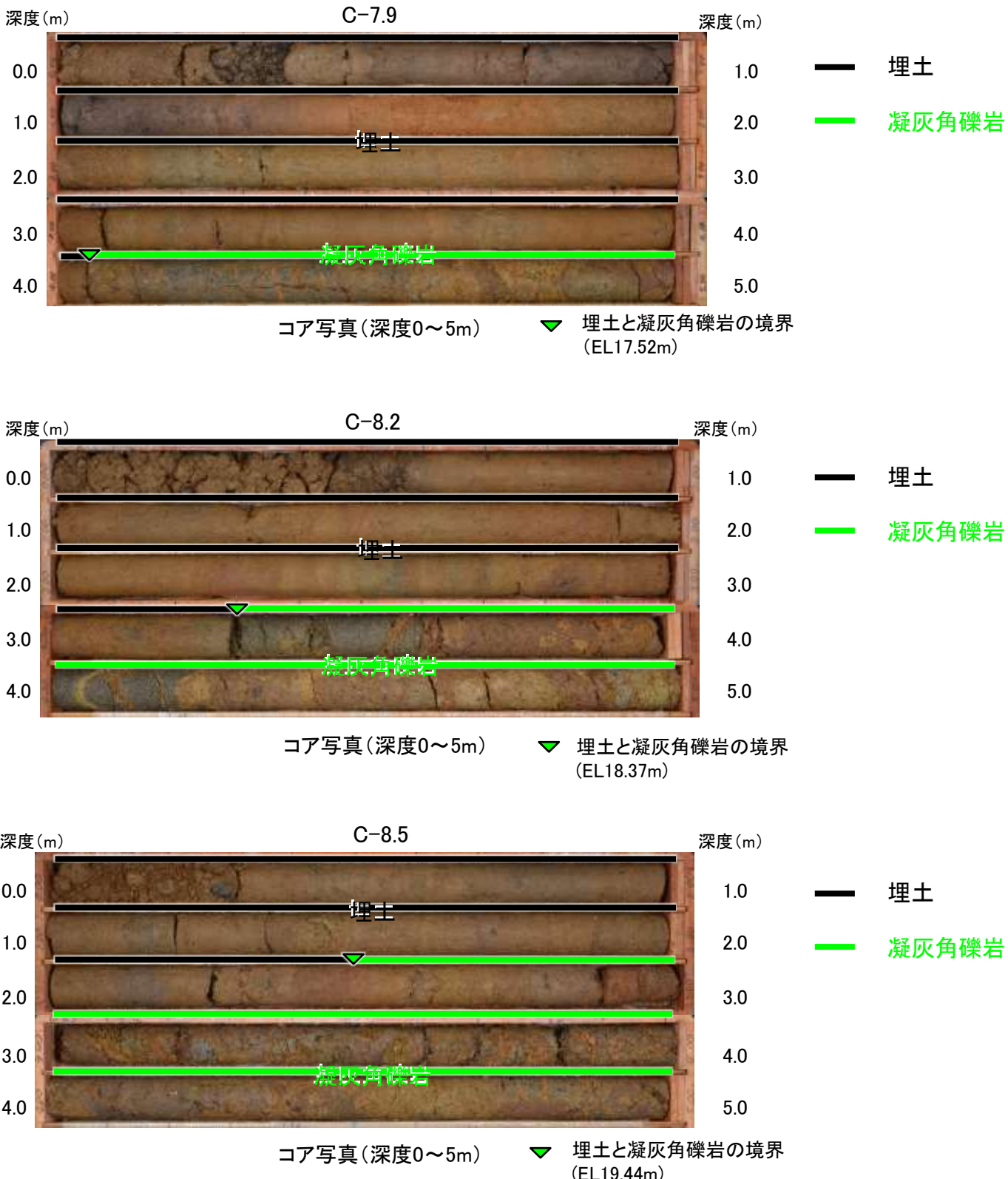
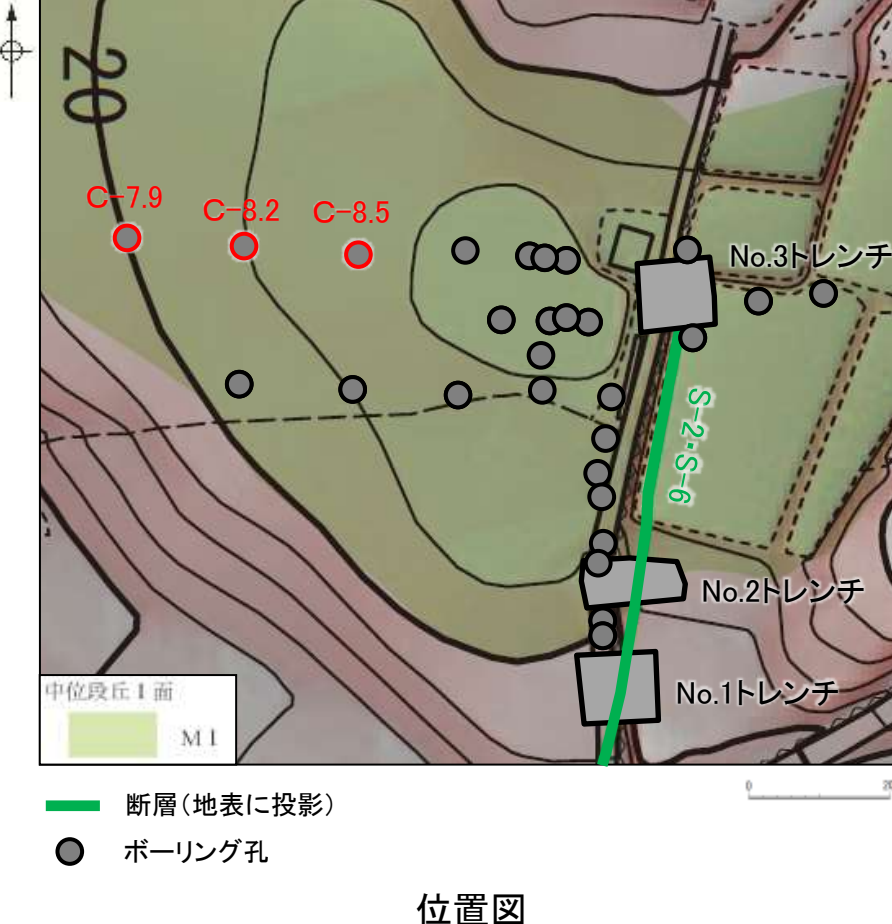


ボーリング③C-9.1-2
コア写真[15~30m]

・ボーリングコアには、破碎部は認められない。

「凸状地形」に関する検討 –「凸状地形」と周辺岩盤の硬軟の関係①–

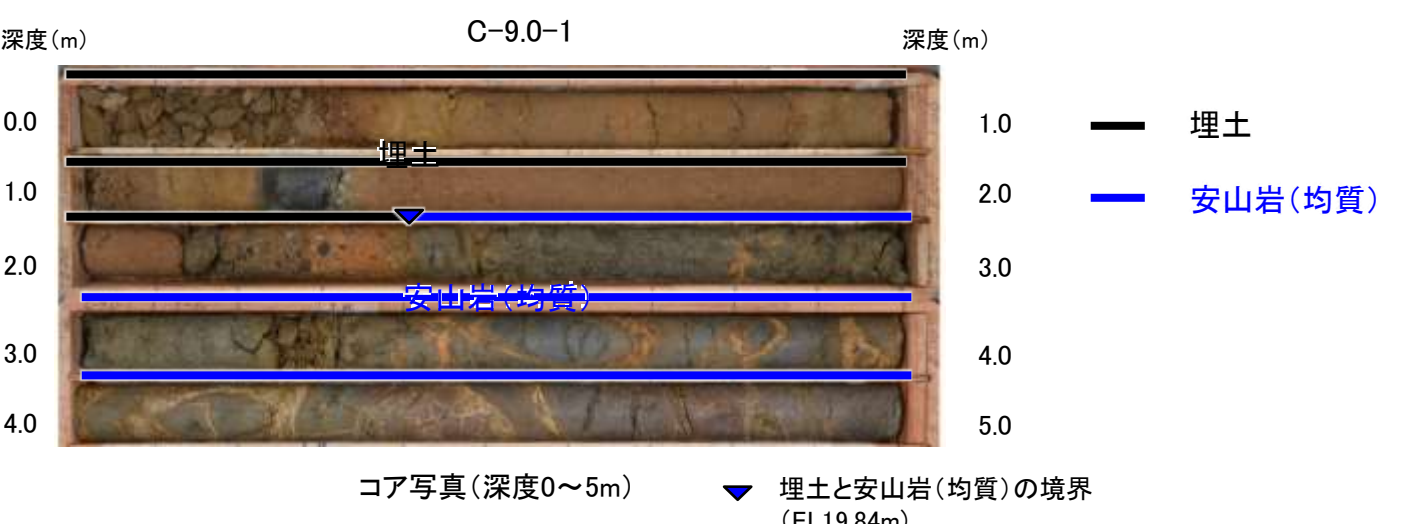
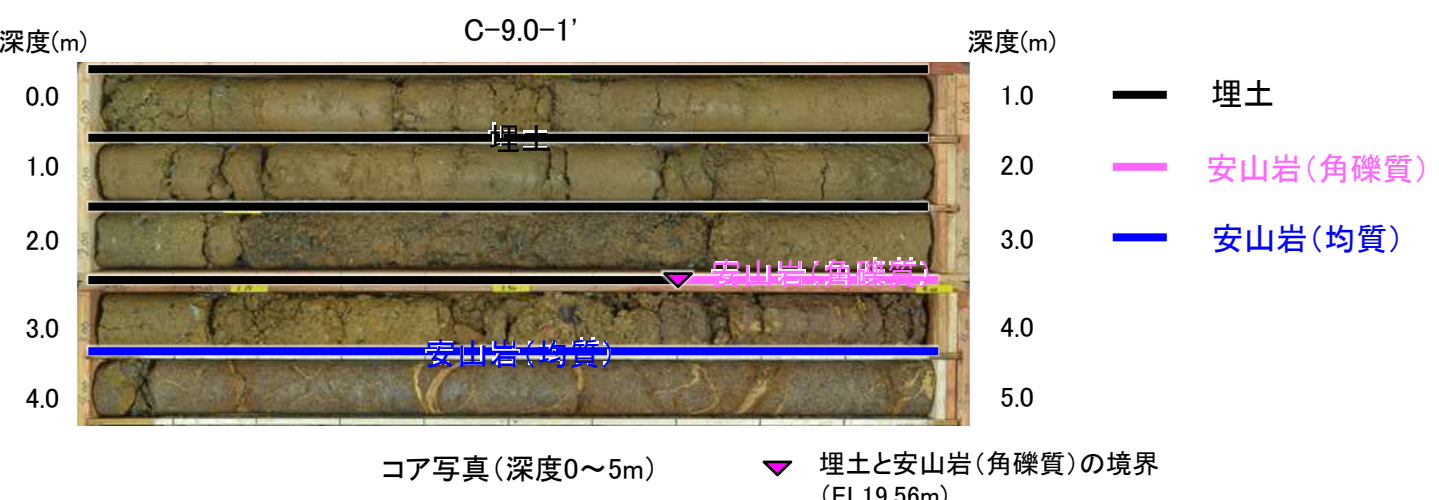
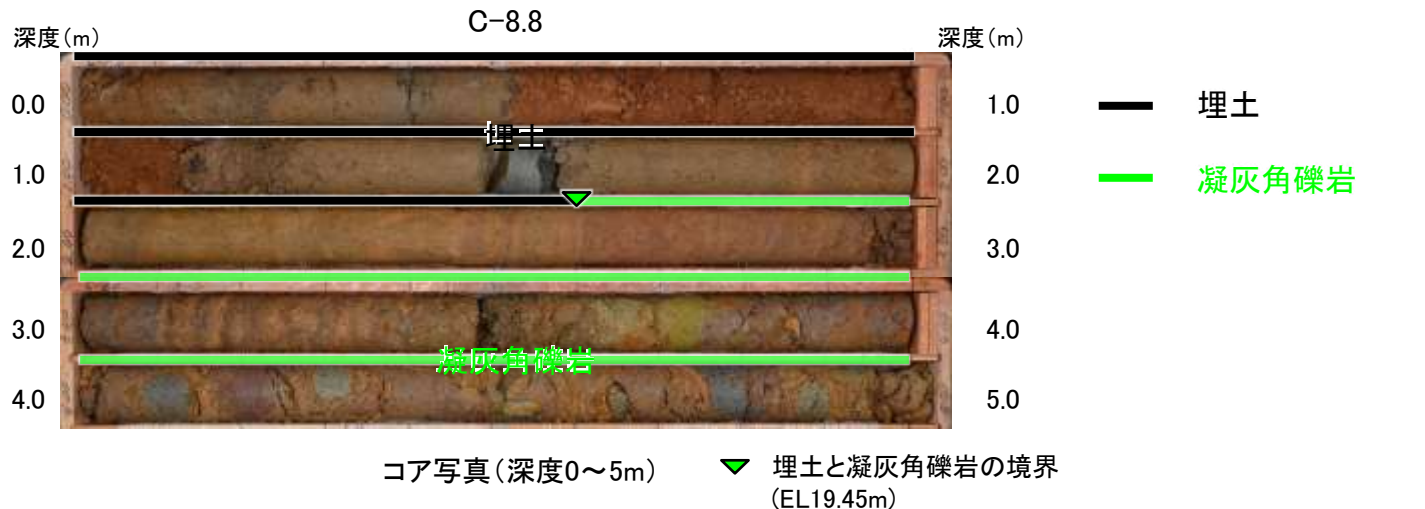
■「凸状地形」周辺で群列ボーリングを実施した結果について、以下に示す。



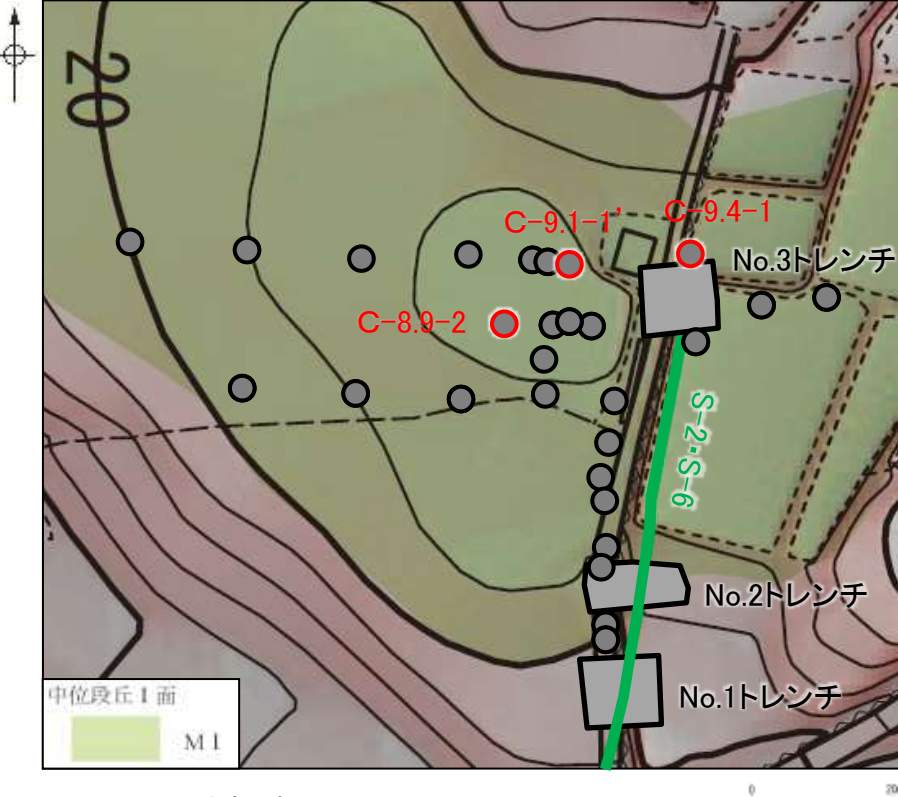
「凸状地形」に関する検討 –「凸状地形」と周辺岩盤の硬軟の関係②–



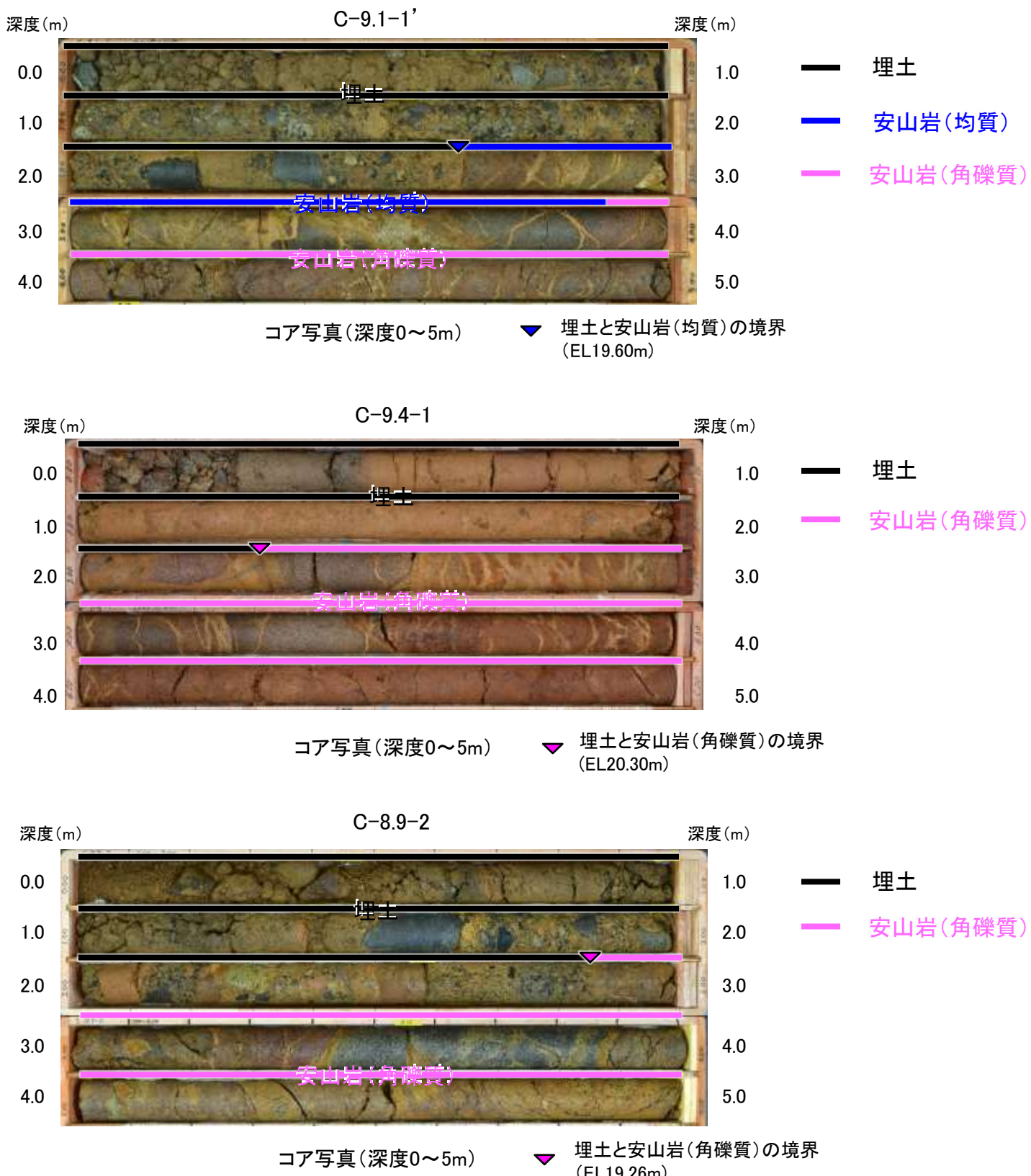
位置図



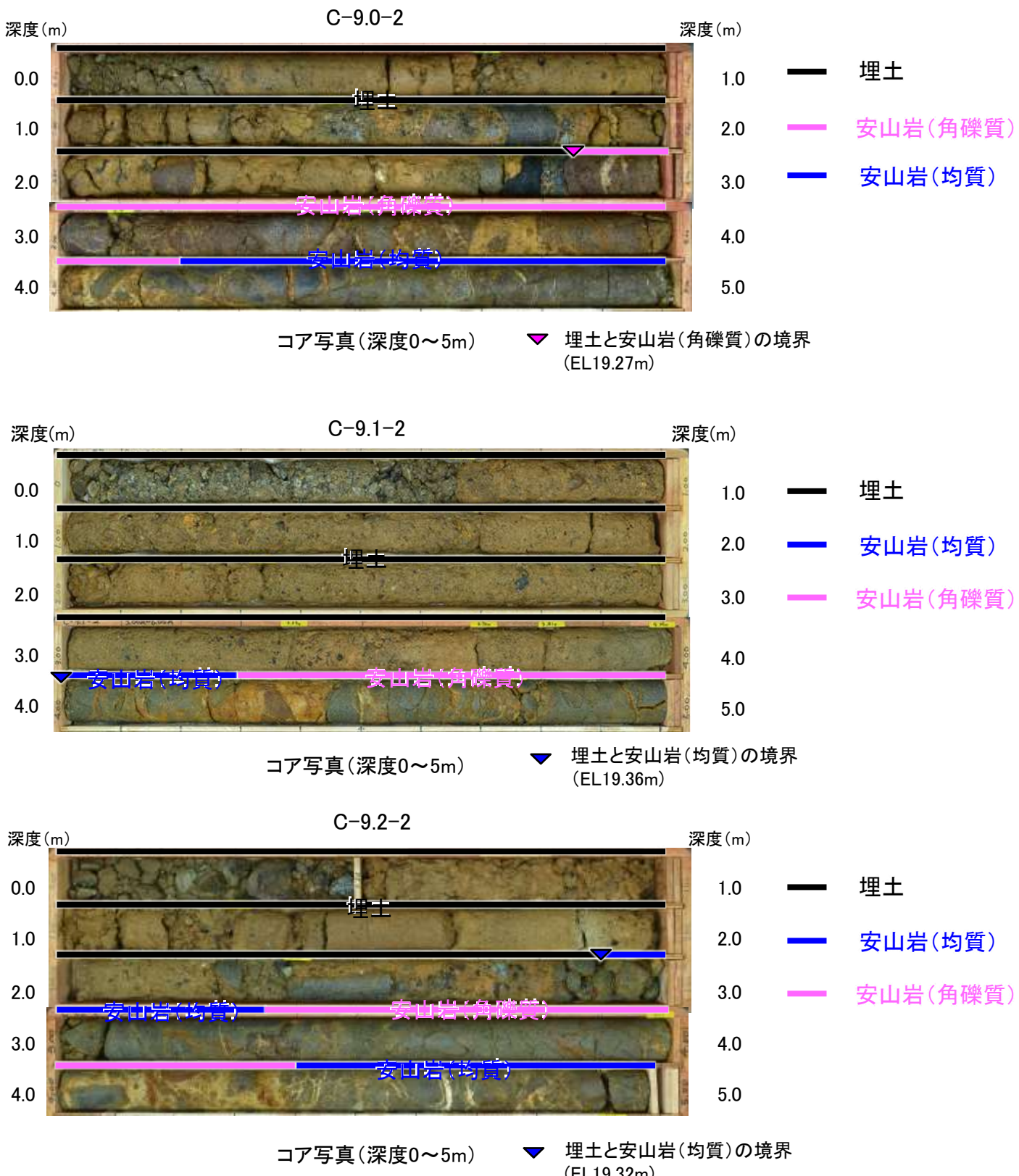
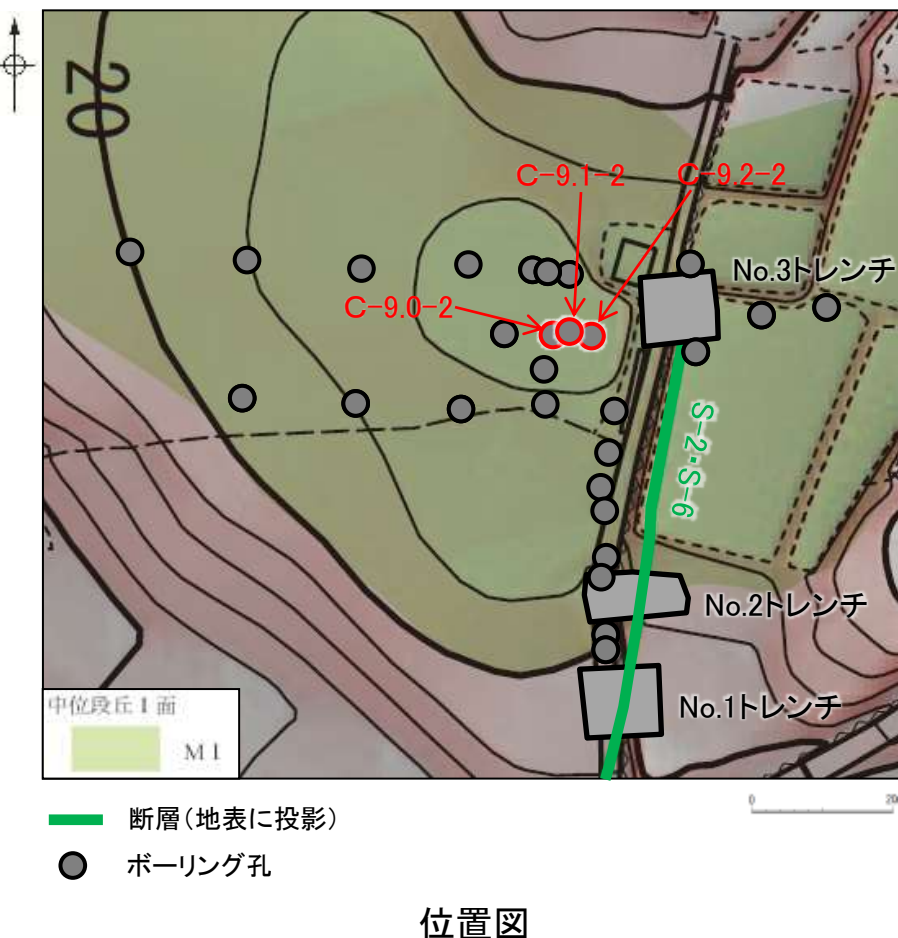
「凸状地形」に関する検討 –「凸状地形」と周辺岩盤の硬軟の関係③–



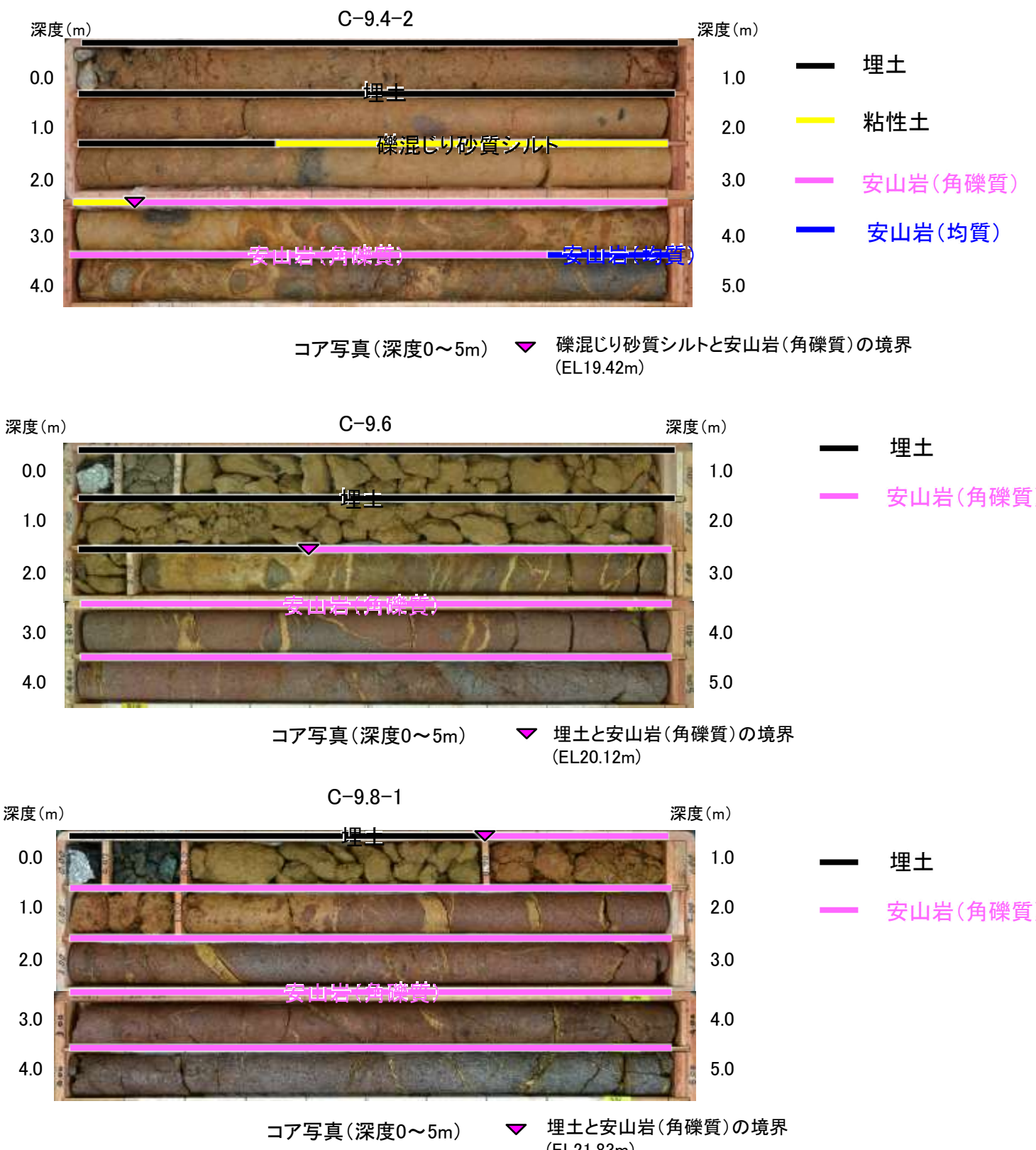
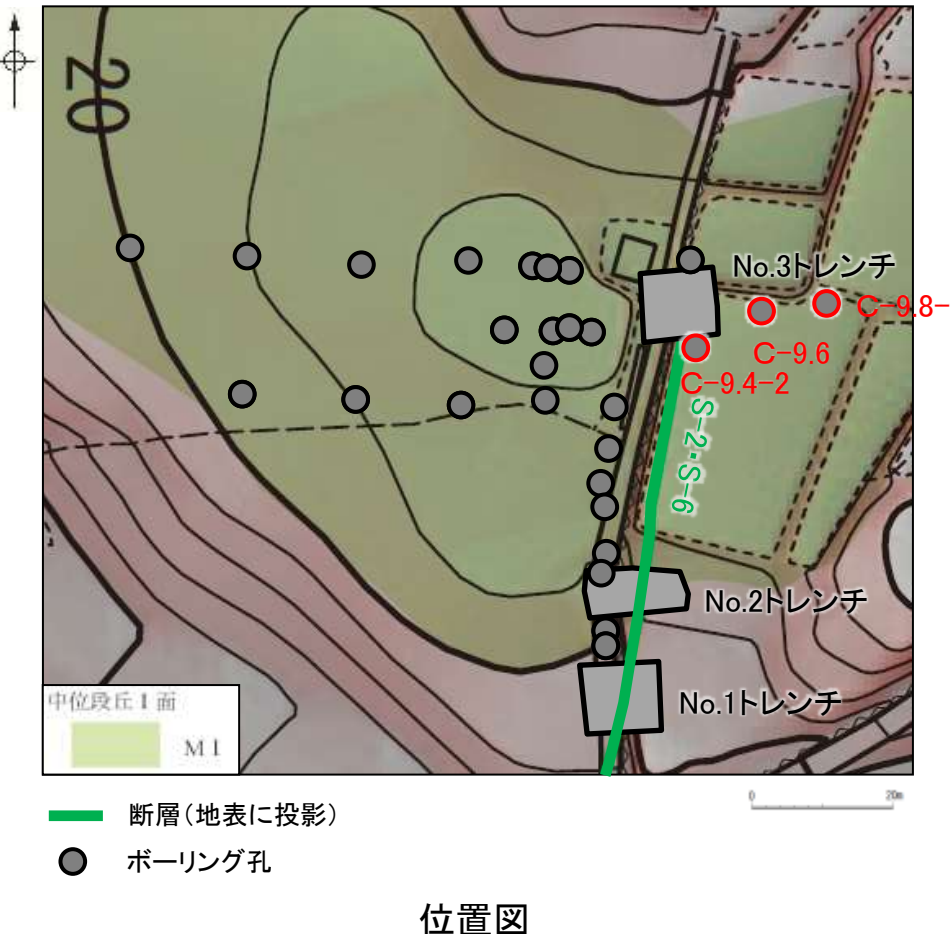
位置図



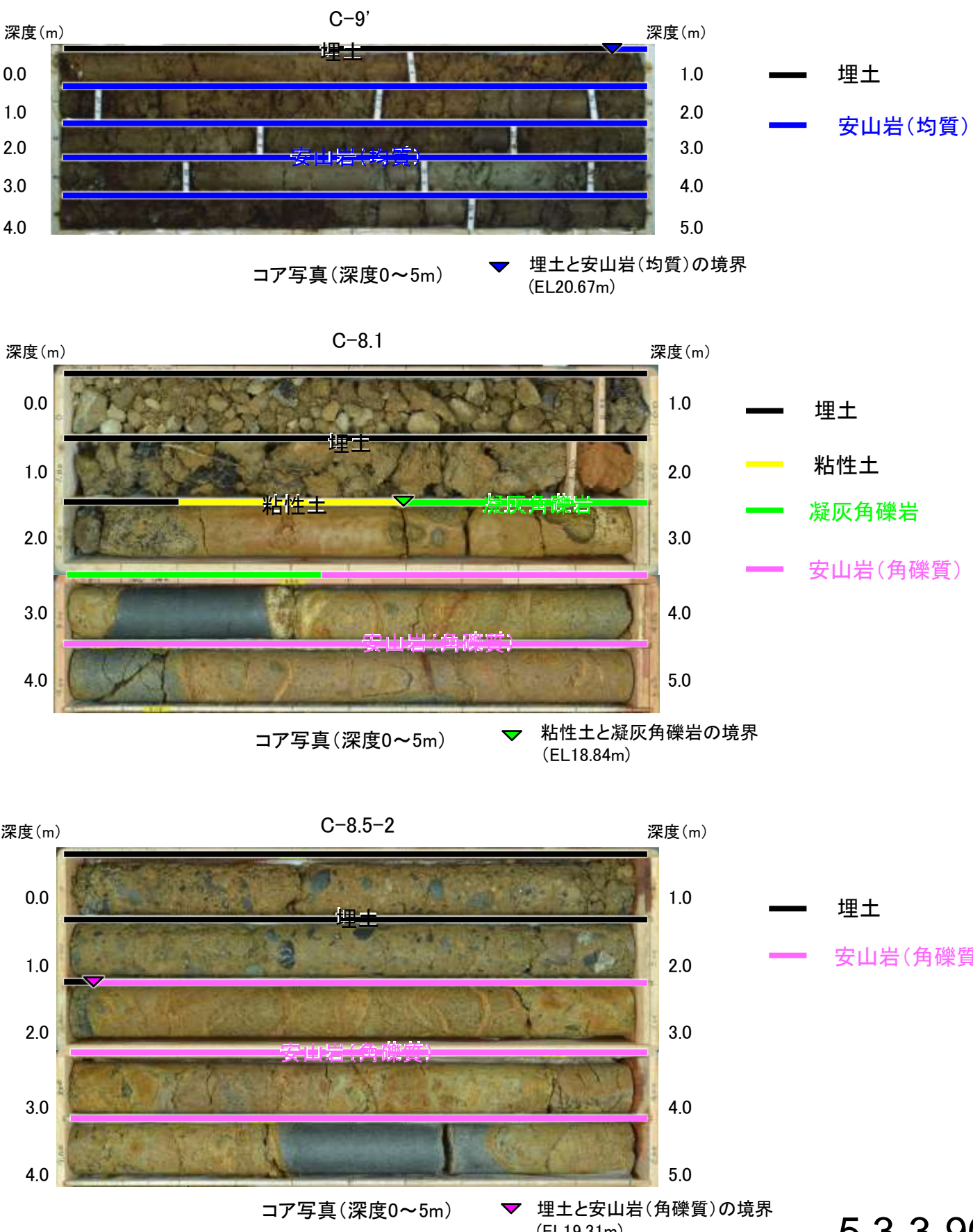
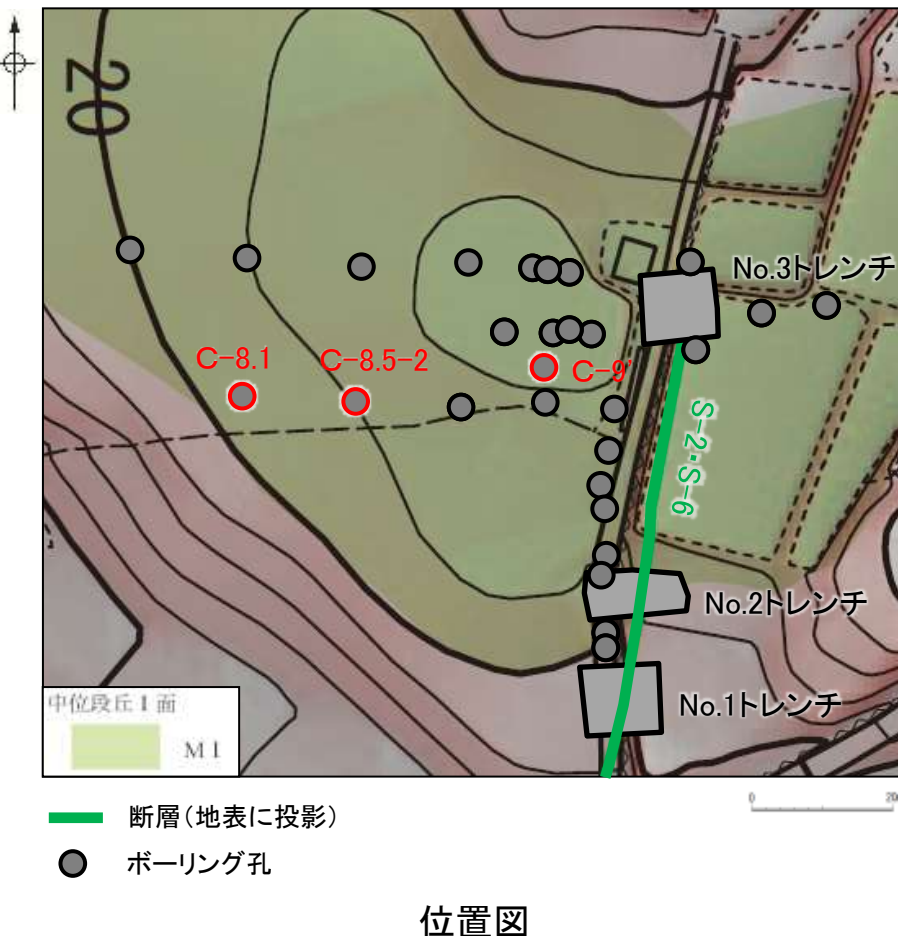
「凸状地形」に関する検討 –「凸状地形」と周辺岩盤の硬軟の関係④–



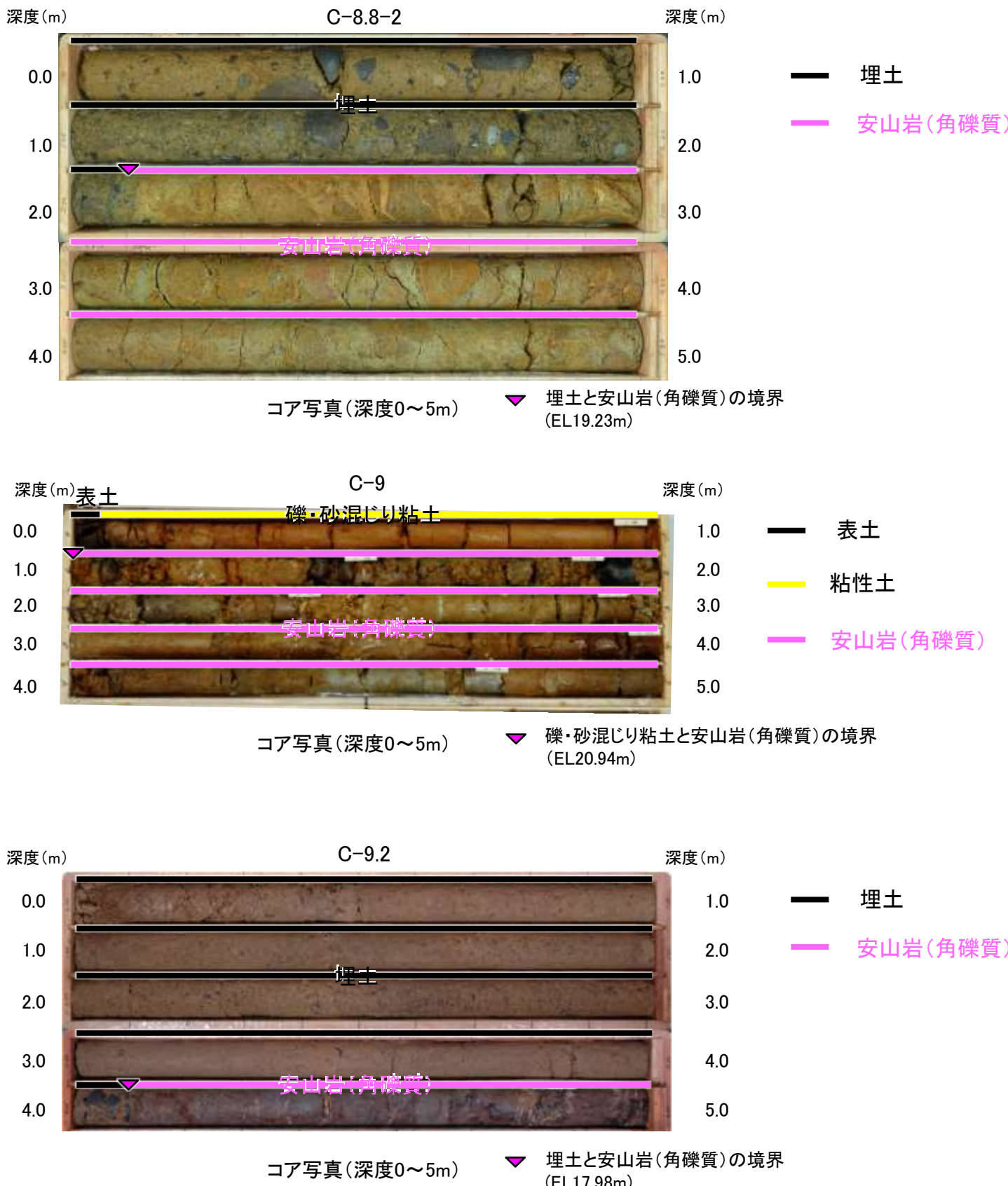
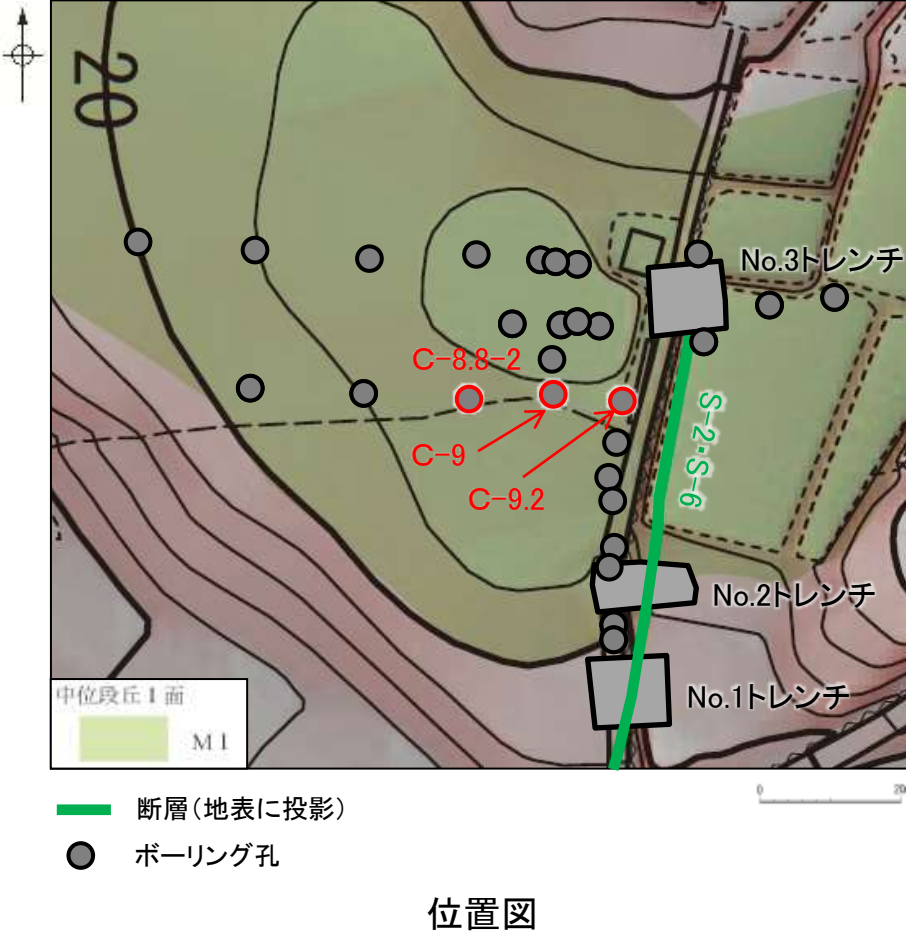
「凸状地形」に関する検討 –「凸状地形」と周辺岩盤の硬軟の関係⑤–



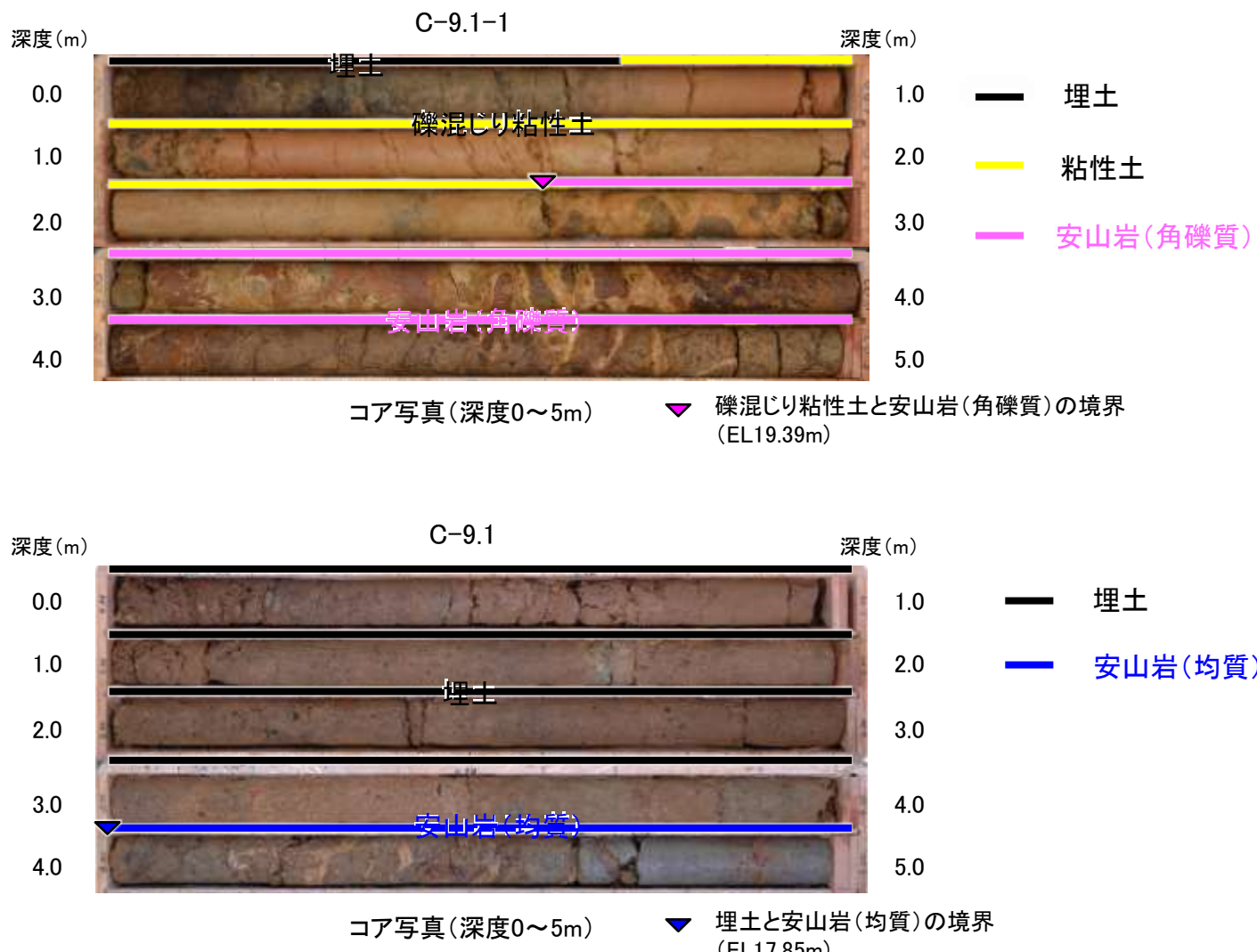
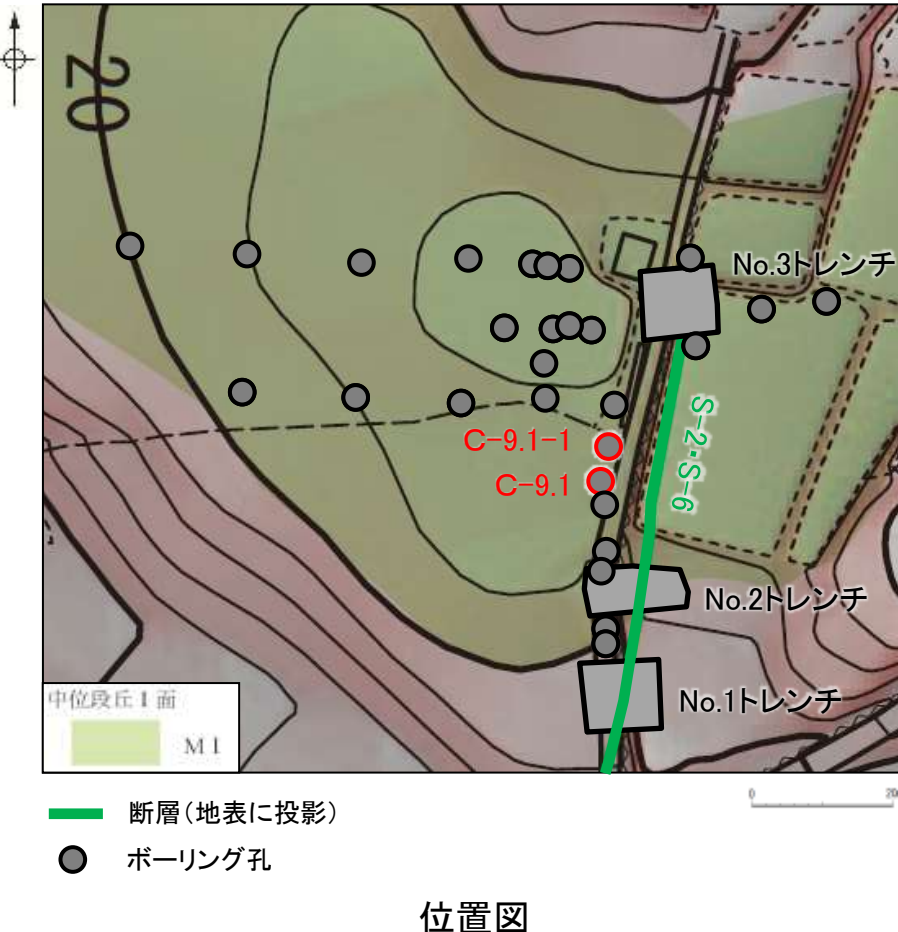
「凸状地形」に関する検討 –「凸状地形」と周辺岩盤の硬軟の関係⑥–



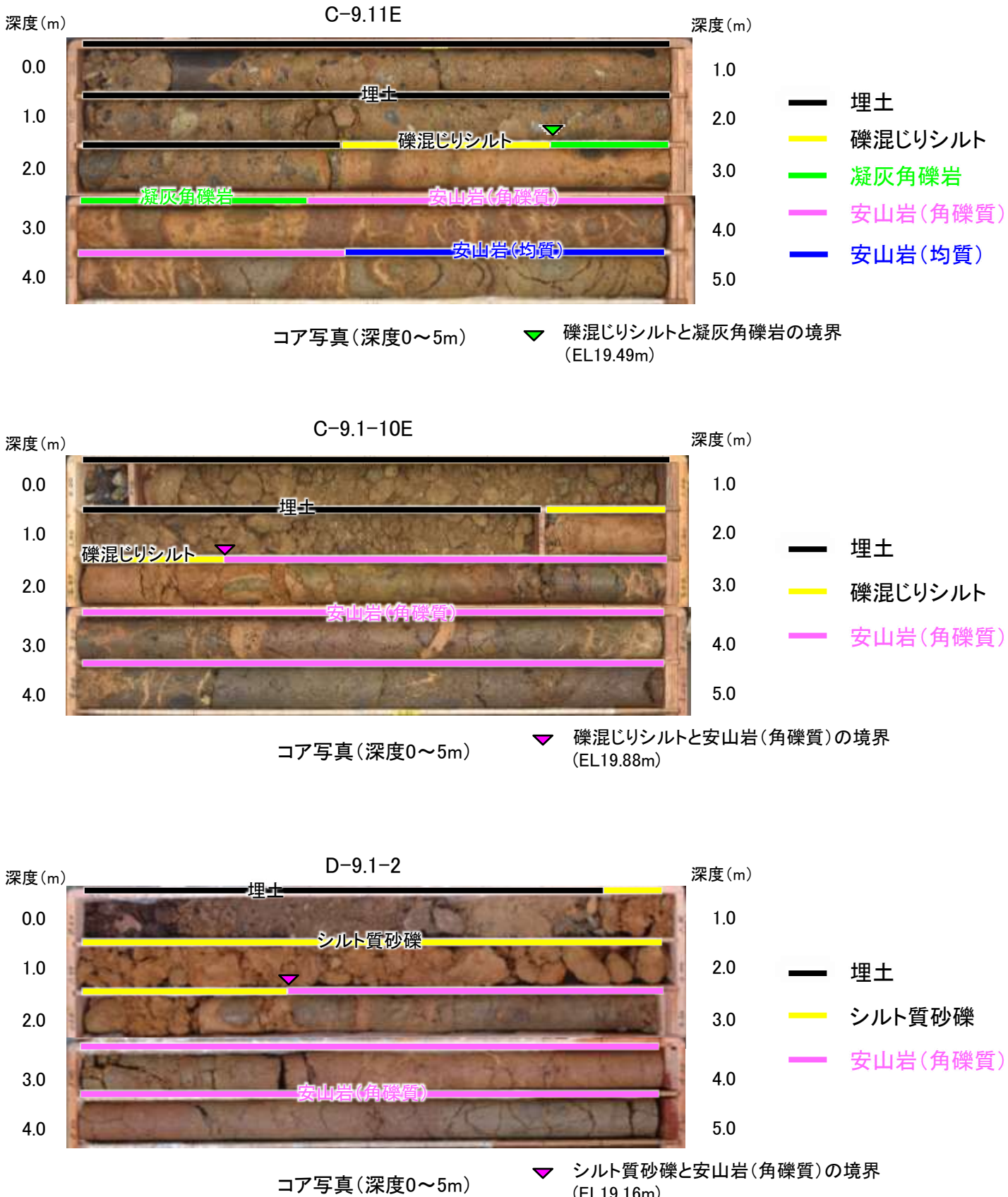
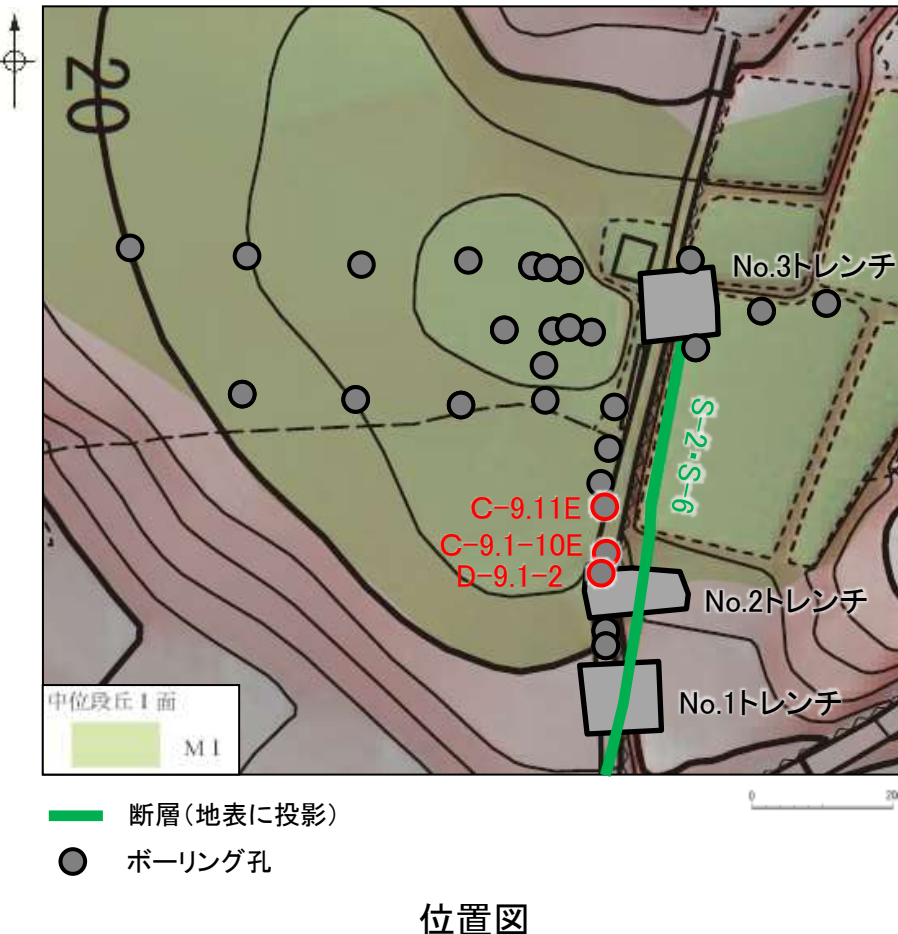
「凸状地形」に関する検討 –「凸状地形」と周辺岩盤の硬軟の関係⑦–



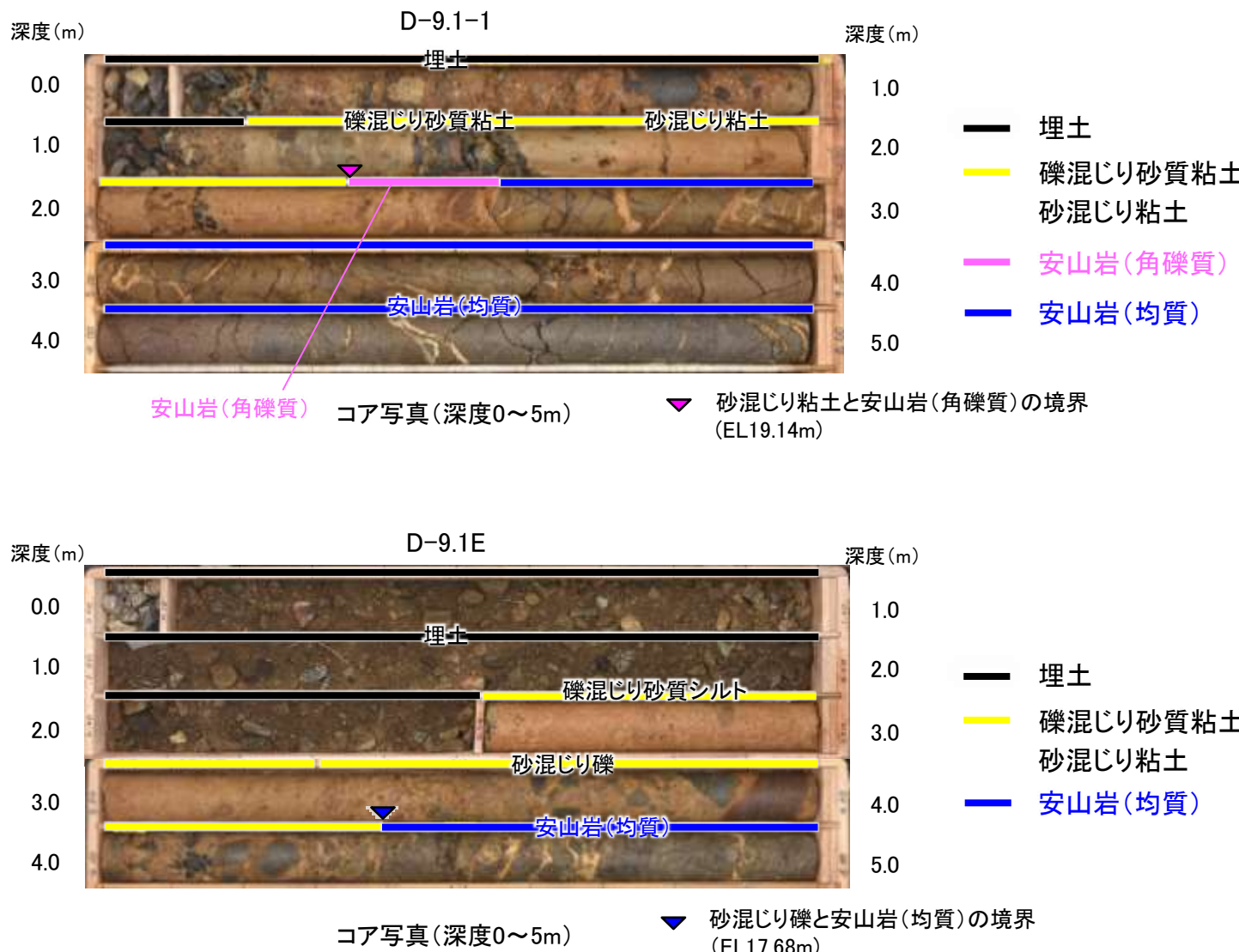
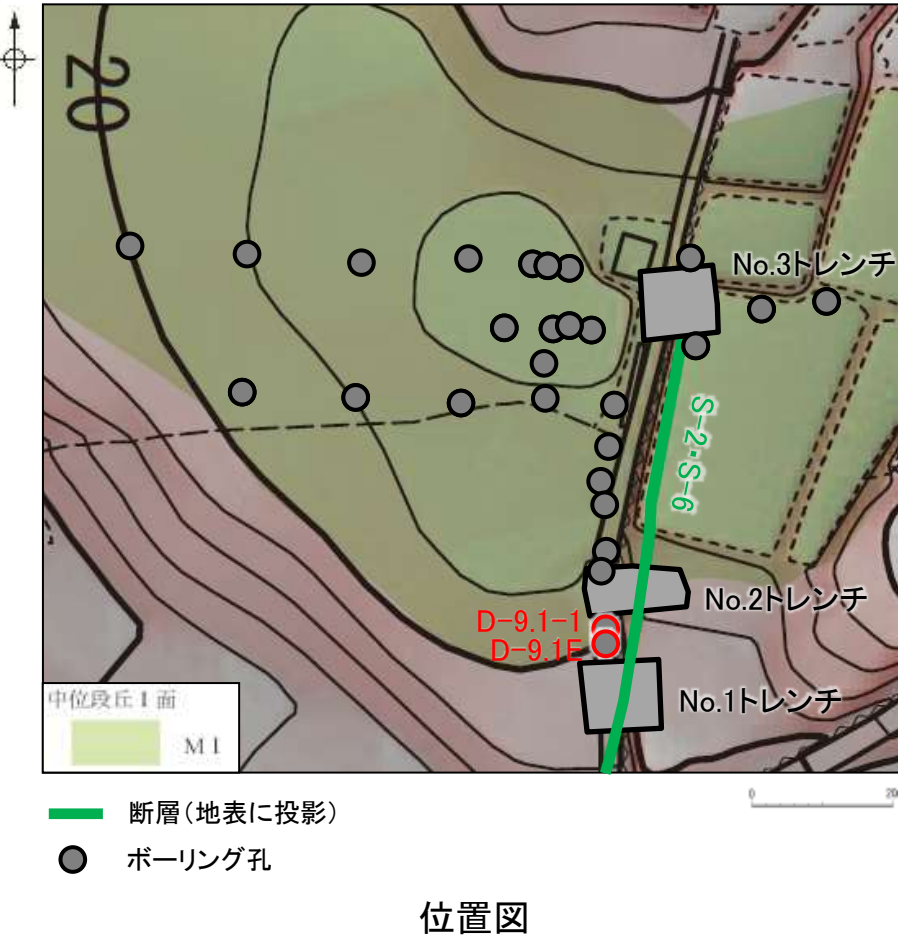
「凸状地形」に関する検討 –「凸状地形」と周辺岩盤の硬軟の関係⑧–



「凸状地形」に関する検討 –「凸状地形」と周辺岩盤の硬軟の関係⑨–



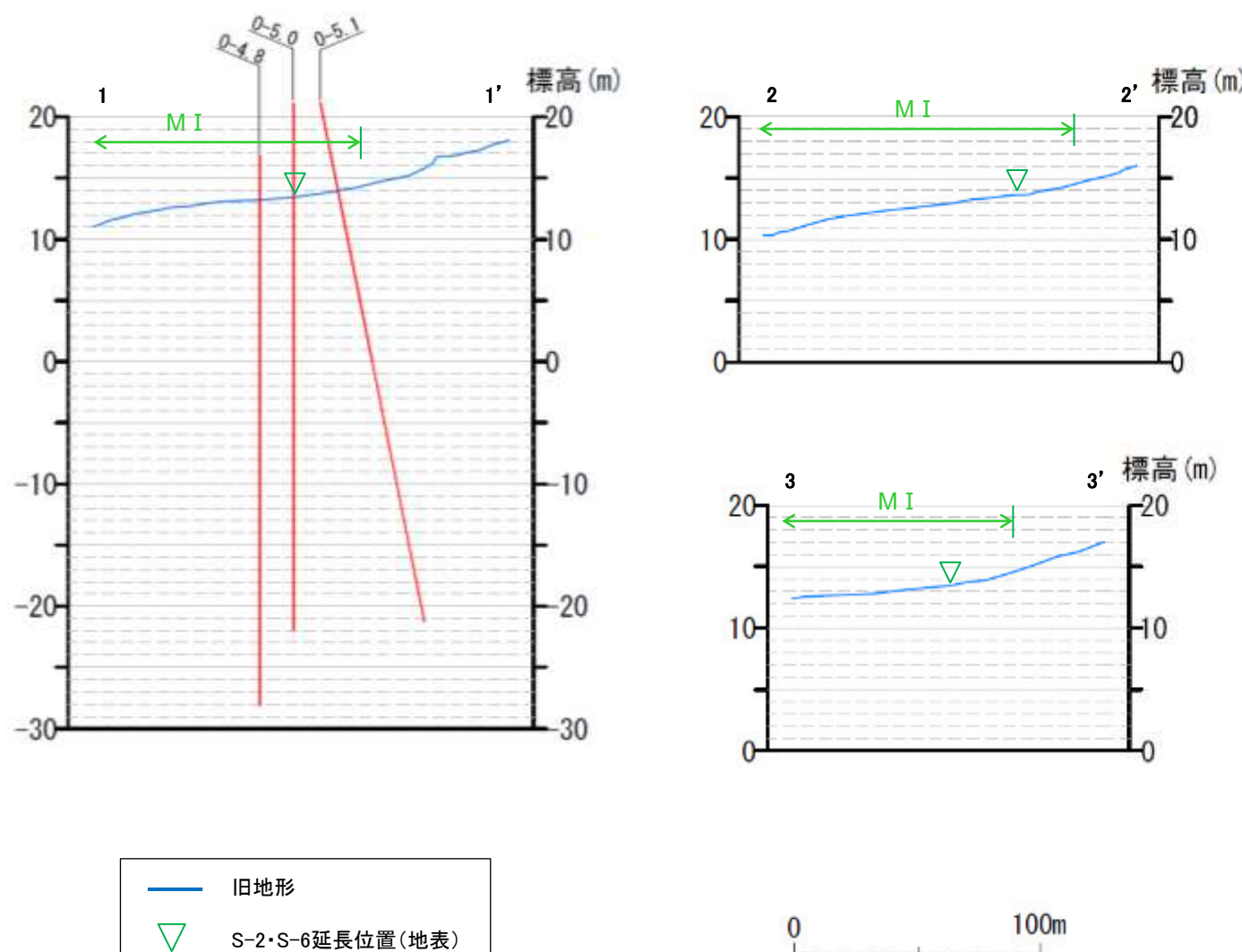
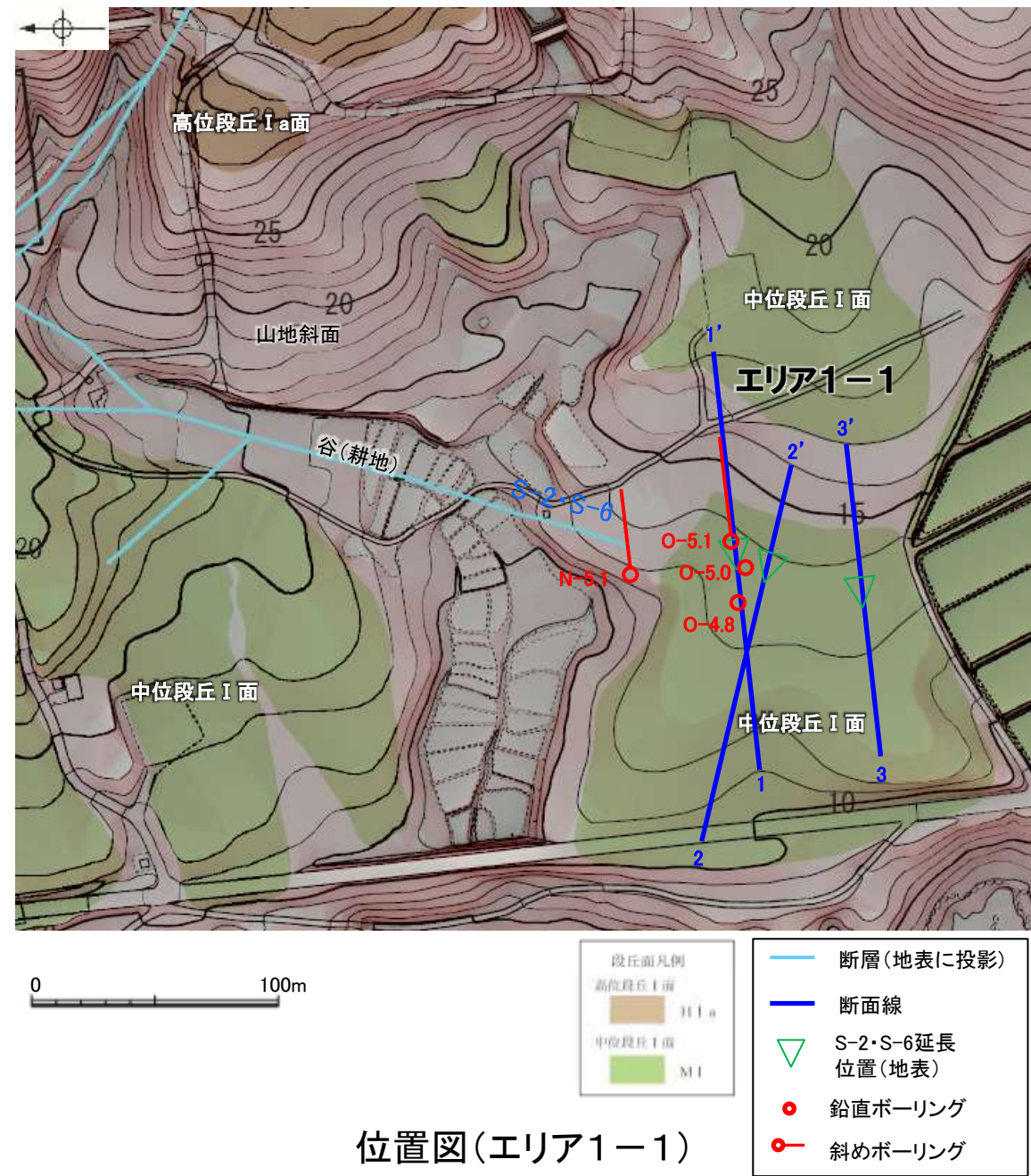
「凸状地形」に関する検討 –「凸状地形」と周辺岩盤の硬軟の関係⑩–



(6) S-2・S-6南方延長の連續性調査
(今後の課題④(2)(3)(4))

S-2・S-6南方延長の連続性調査(今後の課題④(2)(3)) -ボーリング調査-

- 有識者会合は、S-2・S-6南方延長における断層露頭の有無とその状況を確認することを「今後の課題④(2)」、S-2・S-6南方延長(エリア1-1)における中位段丘I面堆積物との関係を調査することを「今後の課題④(3)」として示している。
- これを踏まえ、ボーリング調査を実施した結果、S-2・S-6は、N-5.1孔以南に認められないことから、南方延長の中位段丘I面及び露岩域まで連続しない。



・ボーリング調査の結果によれば、S-2・S-6はN-5.1孔以南のボーリング孔では認められない。

【ボーリング調査結果 N-5.1孔①】

【S-2・S-6南端の評価】

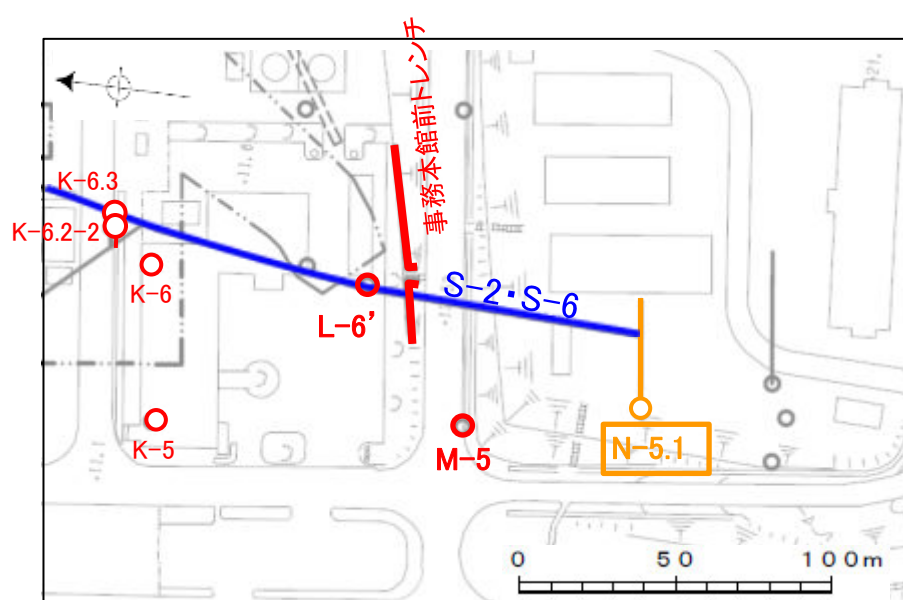
- ・基礎掘削面から南方に追跡した結果、L-6'孔、事務本館前トレンチ、M-5孔付近までS-2・S-6を確認。
- ・L-6'孔と事務本館前トレンチで確認したS-2・S-6の位置、走向・傾斜を考慮して、南方への想定延長範囲を設定。
- ・N-5.1孔の想定延長範囲内に、S-2・S-6が認められないため、S-2・S-6はこれ以上連続しない。

【N-5.1孔の評価】

- ・右の断面図に示すとおり、S-2・S-6の想定延長範囲は、深度15～50mとなる。

・想定延長範囲において、S-2・S-6は認められない。

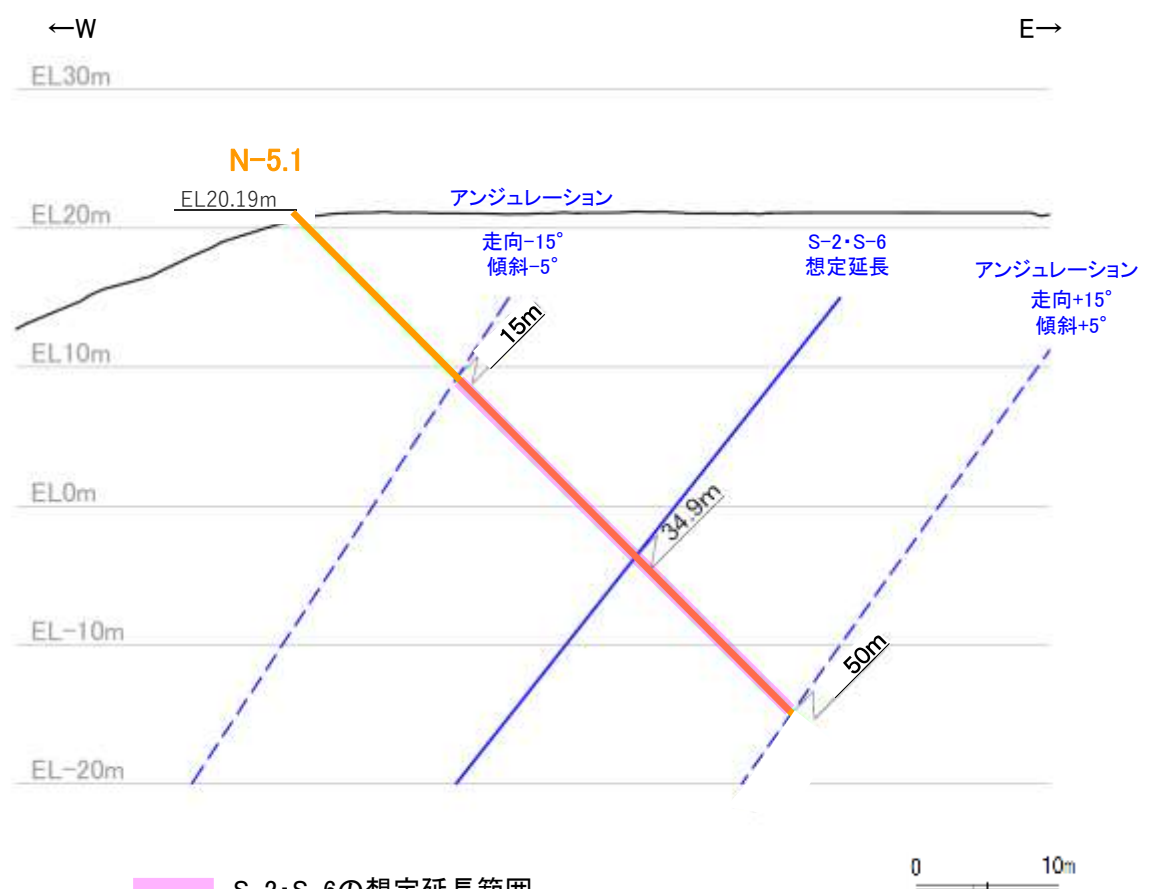
(想定延長範囲のコア写真は、次頁)



調査位置図

— S-2・S-6 (EL-4.7m)

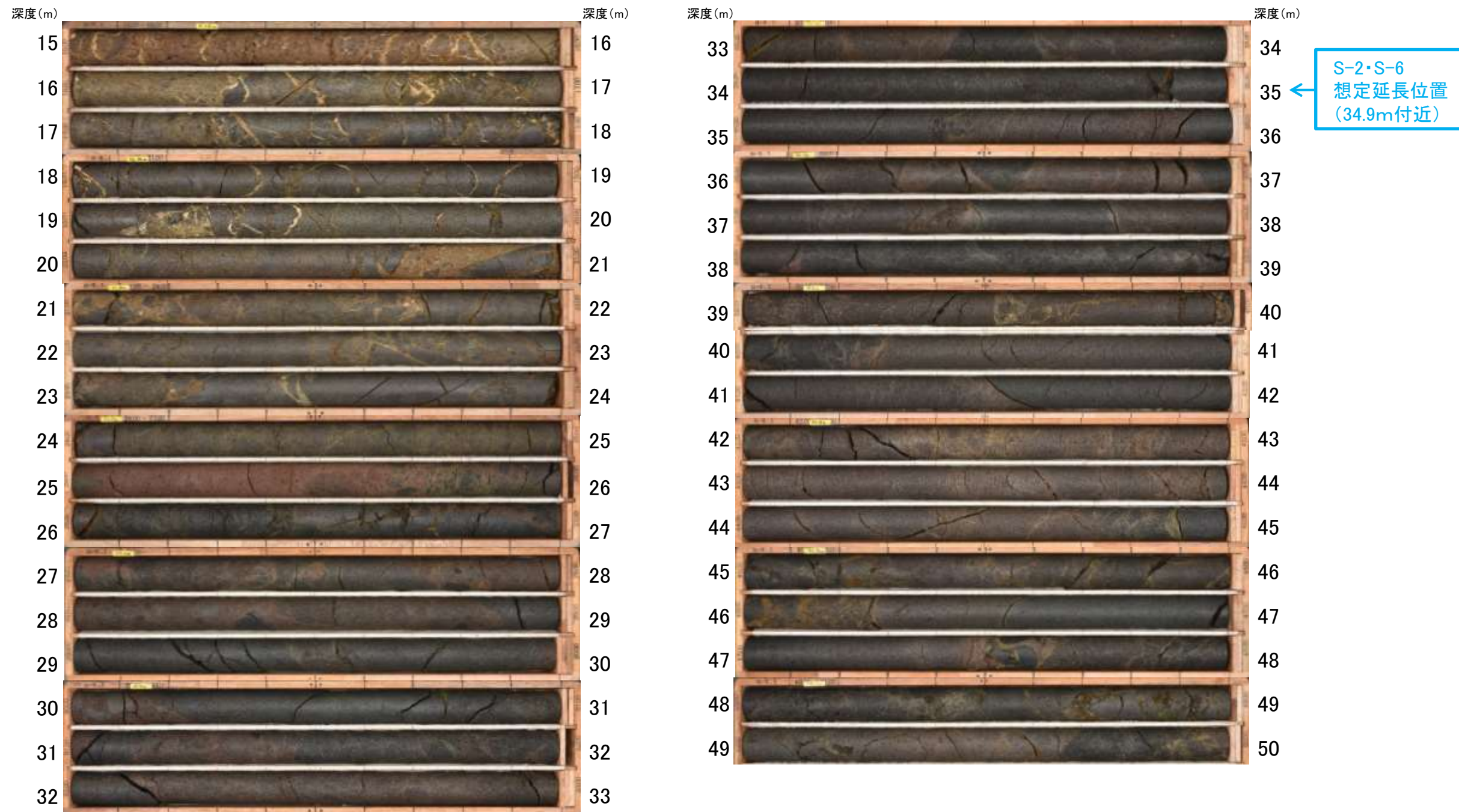
赤: S-2・S-6が認められる箇所
橙: S-2・S-6端部においてS-2・S-6が認められない箇所



N-5.1孔断面図
(掘進方向)

【ボーリング調査結果 N-5.1孔②】

N-5.1孔(孔口標高20.19m, 掘進長50m, 傾斜45°)



コア写真(深度15~50m)

N-5.1孔において、S-2-S-6の想定延長範囲(深度15~50m)にS-2-S-6は認められない。

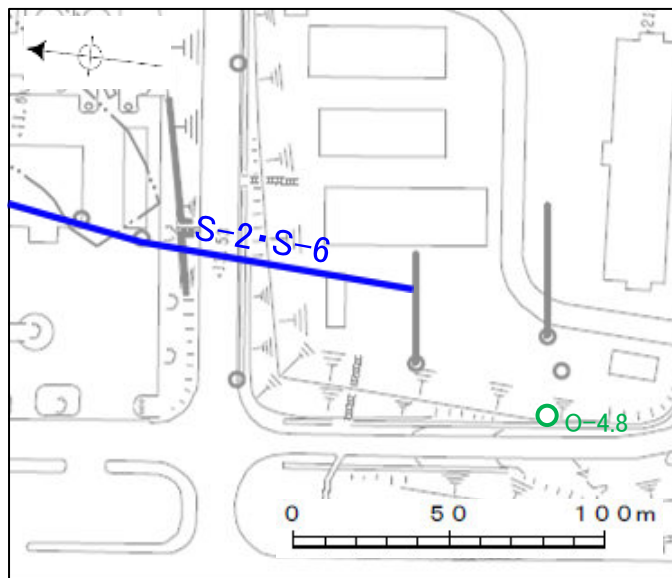
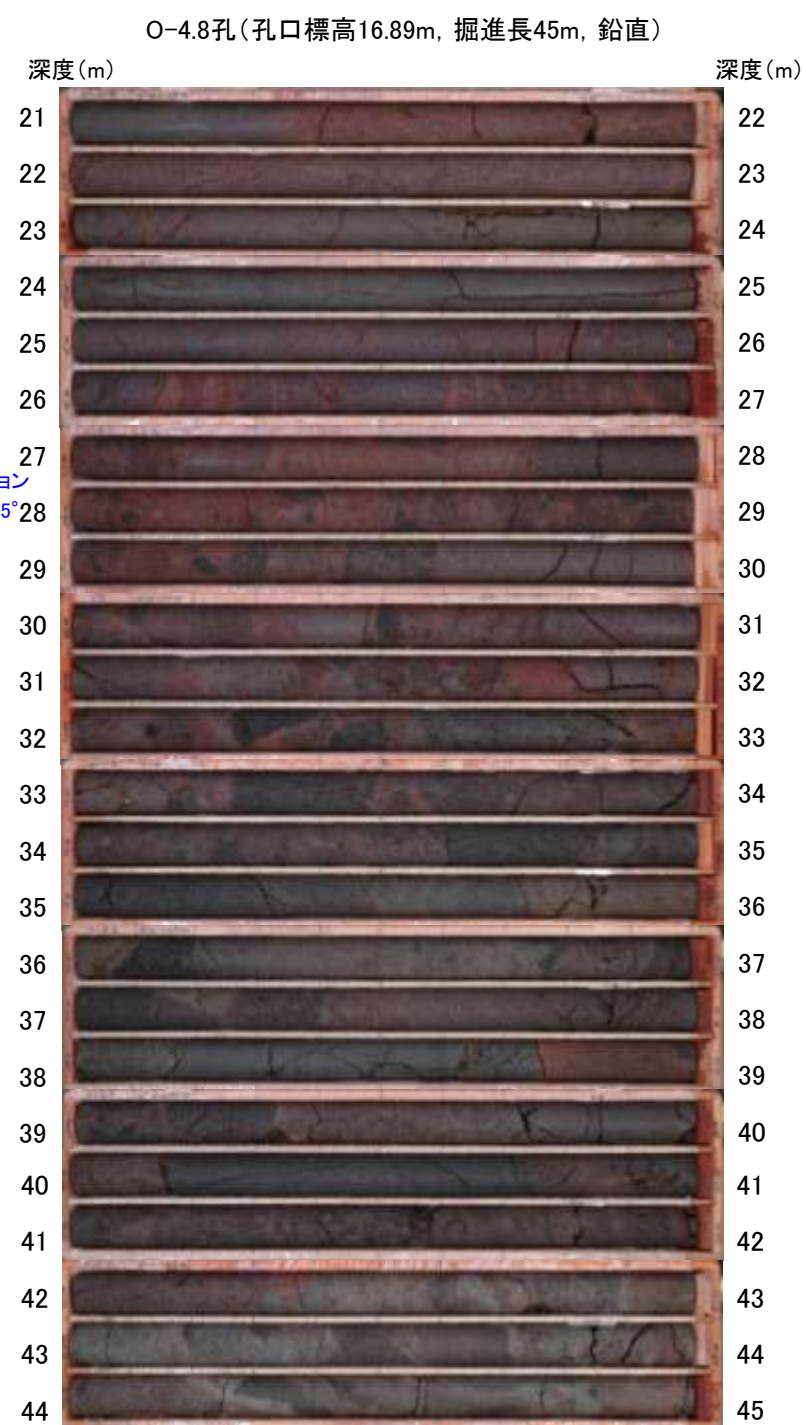
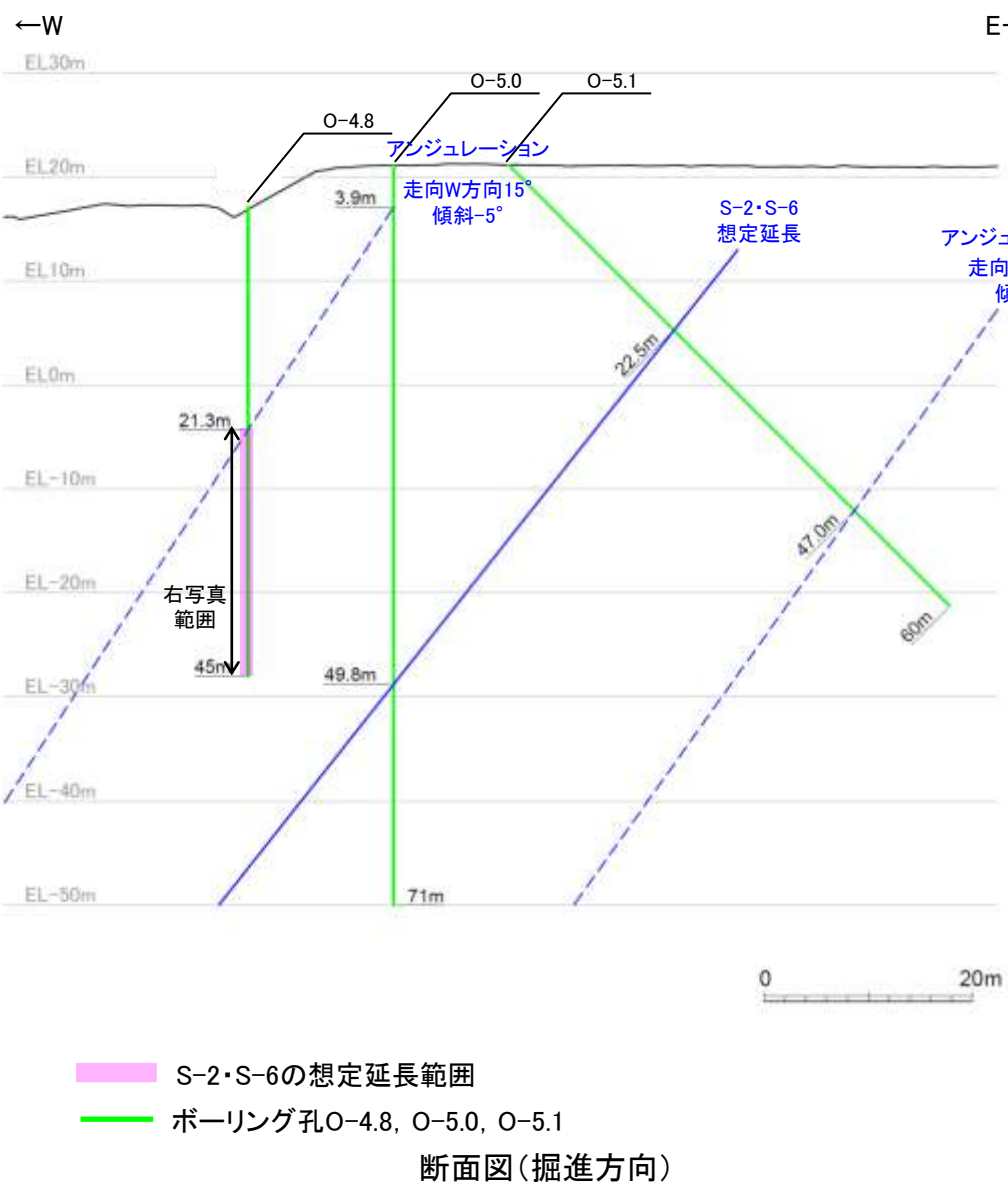
【ボーリング調査結果 O-4.8孔】

【S-2・S-6南西延長の評価】

- S-2・S-6は、さらに延長部でも、O-4.8孔、O-5.0孔及びO-5.1孔の3孔で連続しないことを確認している。

【O-4.8孔の評価】

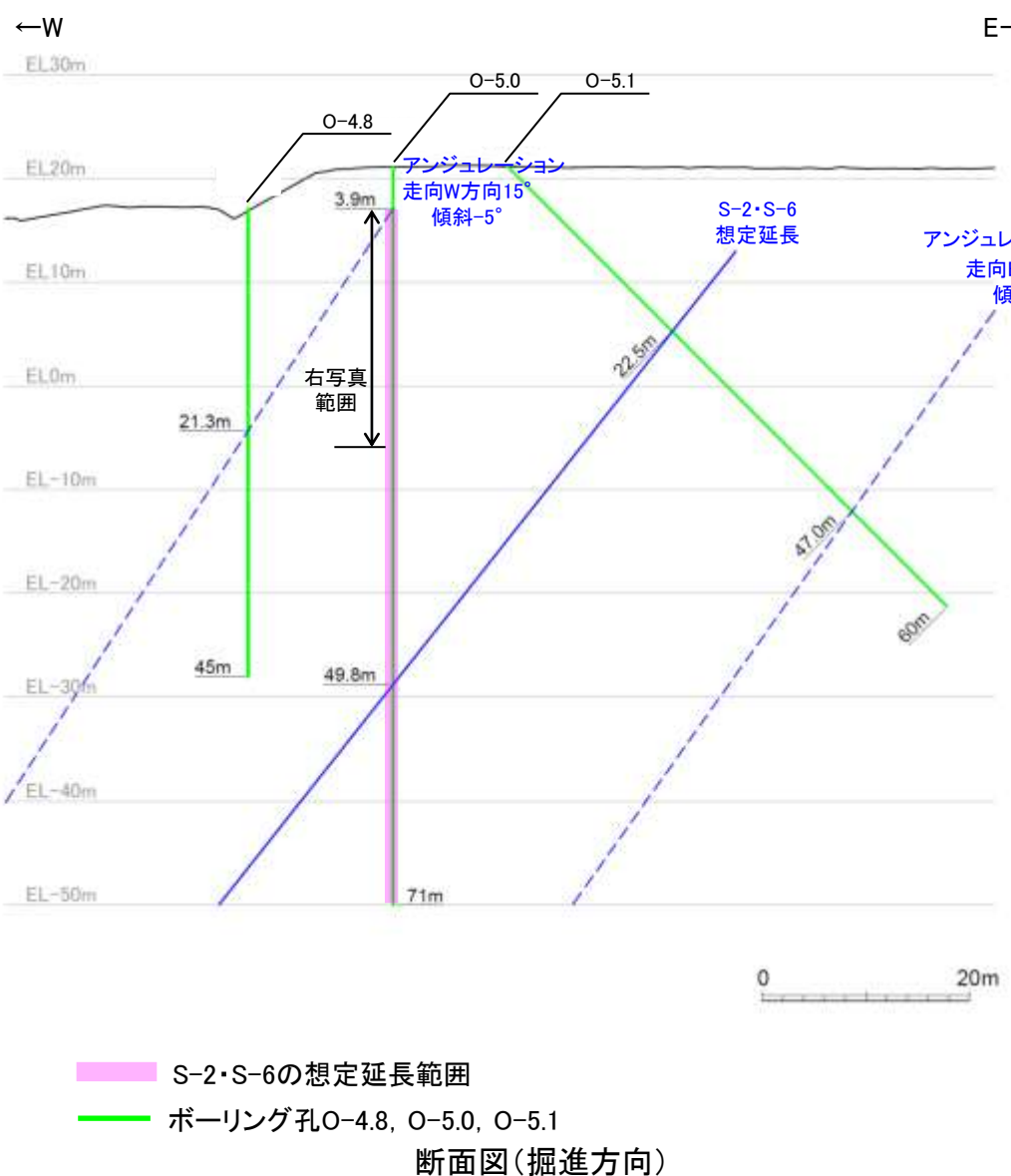
- 下の断面図に示すとおり、S-2・S-6の想定延長範囲は、深度21.3m～孔底以深となる。
- 想定延長範囲において、S-2・S-6に対応する破碎部は認められない。



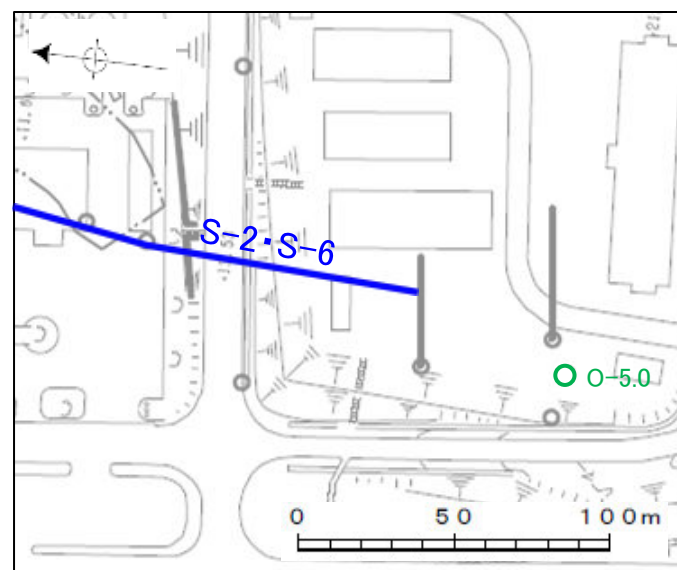
【ボーリング調査結果 O-5.0孔①】

【O-5.0孔の評価】

- 下の断面図に示すとおり、S-2・S-6の想定延長範囲は、深度3.9m～孔底以深となる。
- 想定延長範囲において、S-2・S-6に対応する破碎部は認められない。



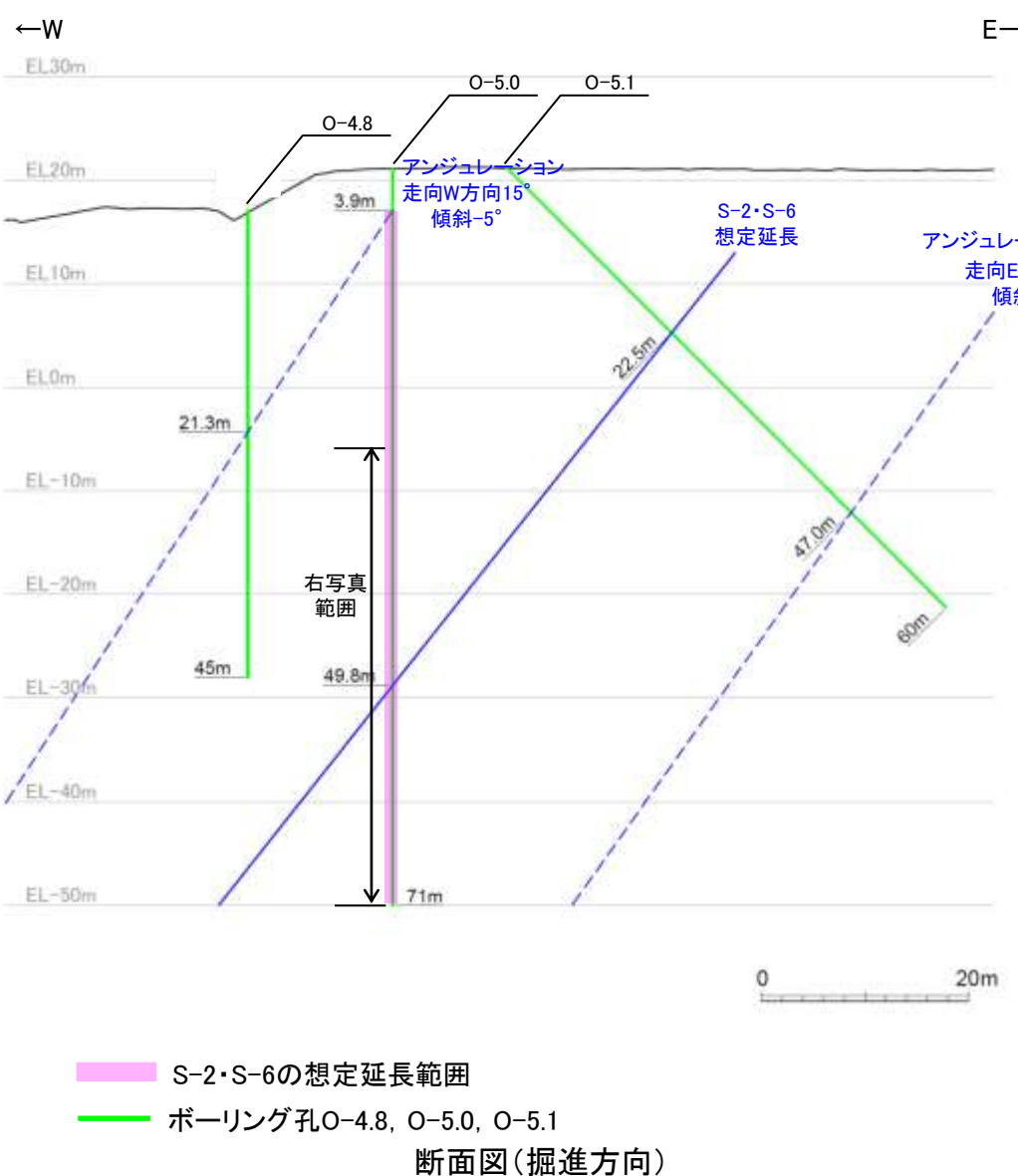
コア写真(深度3～27m)



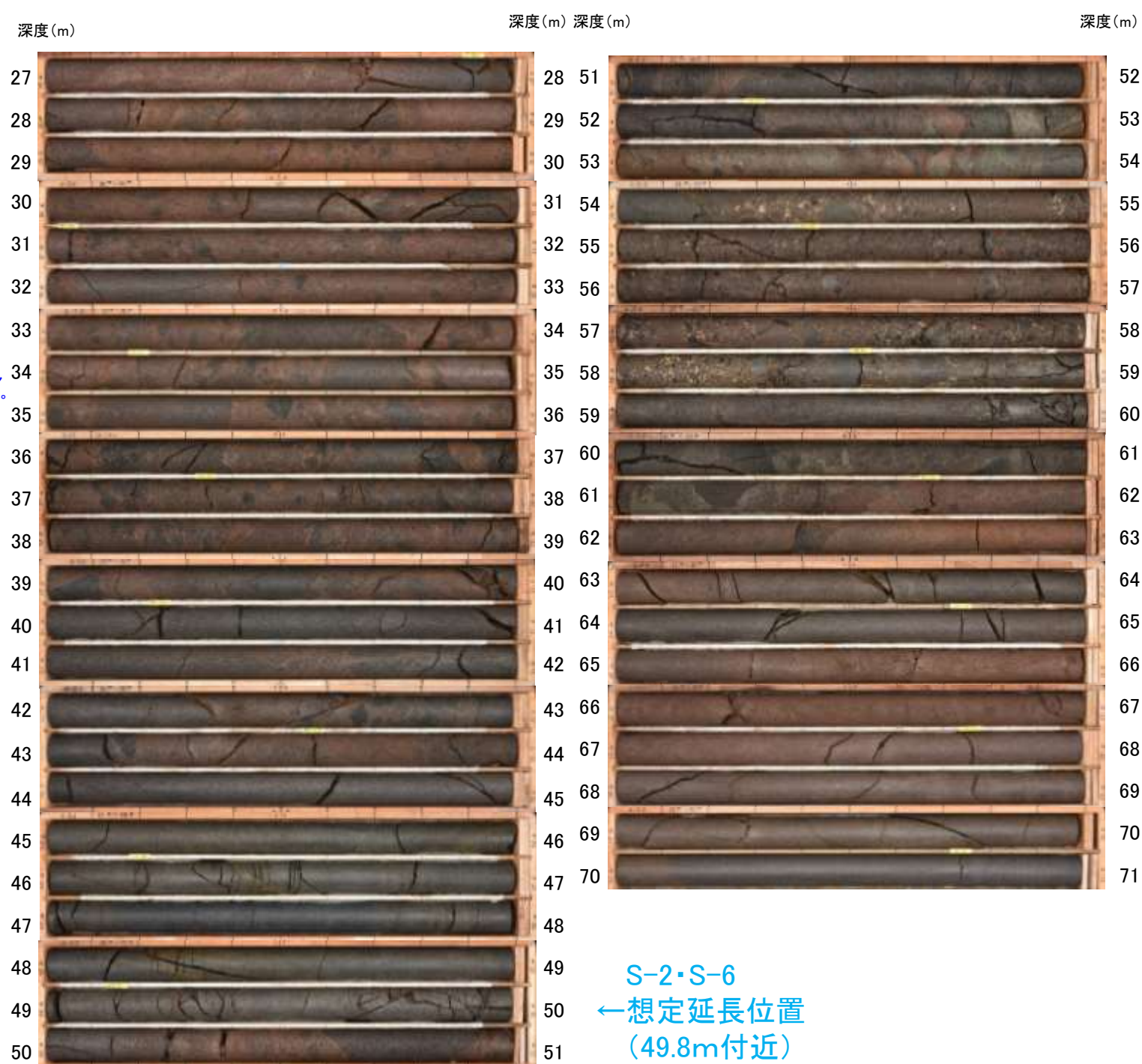
【ボーリング調査結果 O-5.0孔②】

【O-5.0孔の評価】

- 下の断面図に示すとおり、S-2・S-6の想定延長範囲は、深度3.9m～孔底以深となる。
- 想定延長範囲において、S-2・S-6に対応する破碎部は認められない。



O-5.0孔(孔口標高21.08m, 掘進長71m, 鉛直)

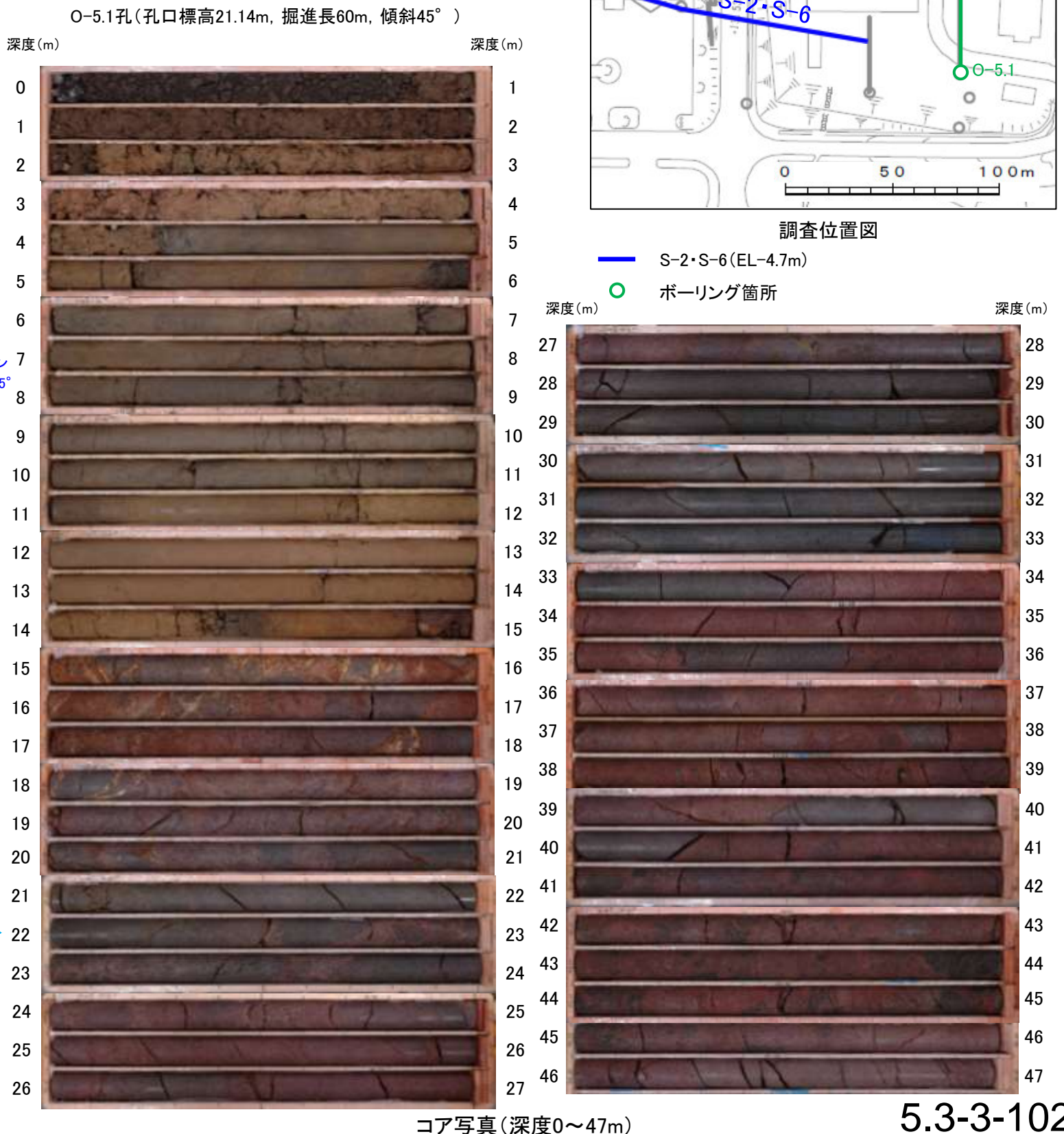
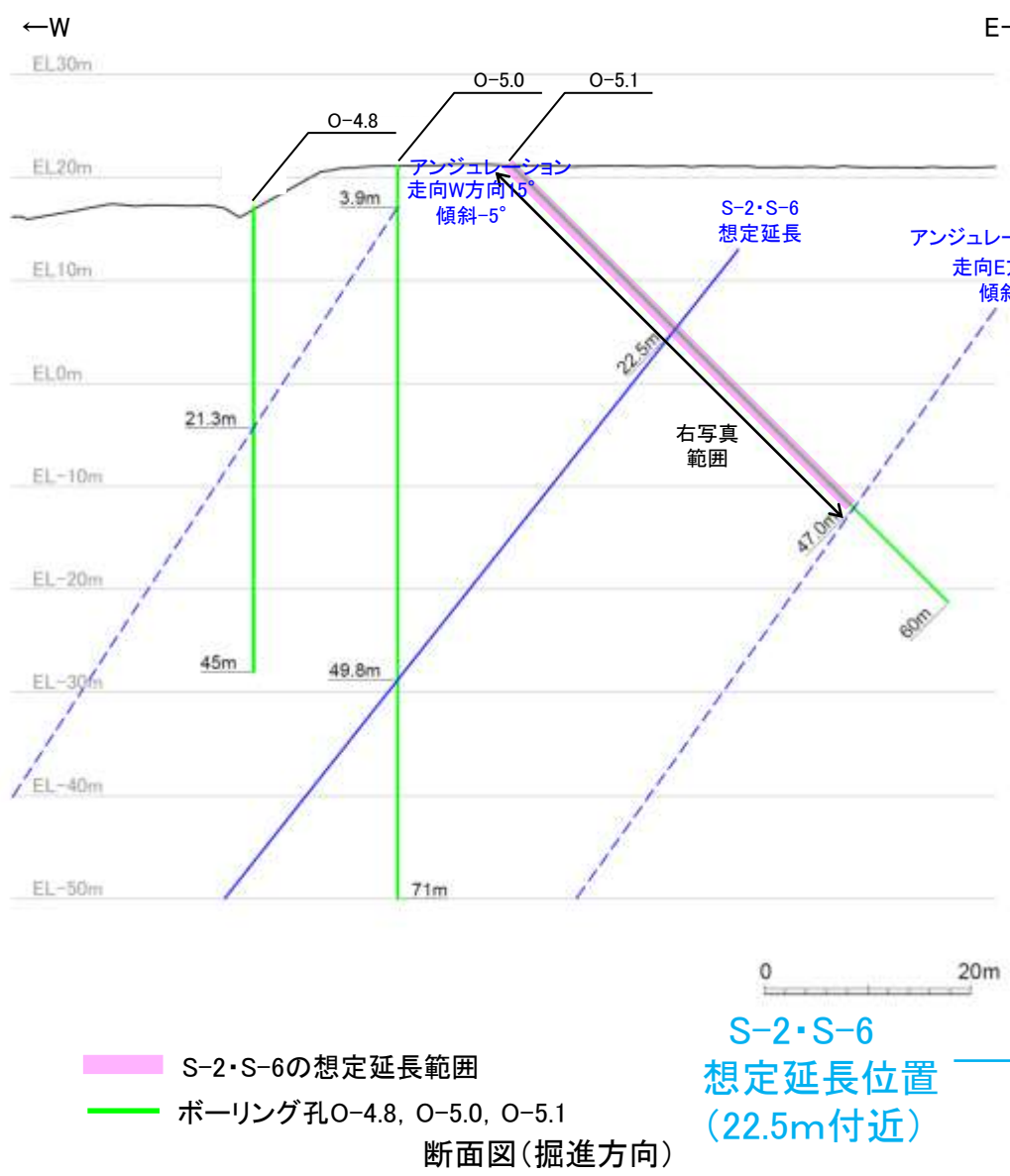


コア写真(深度27～71m)

【ボーリング調査結果 O-5.1孔】

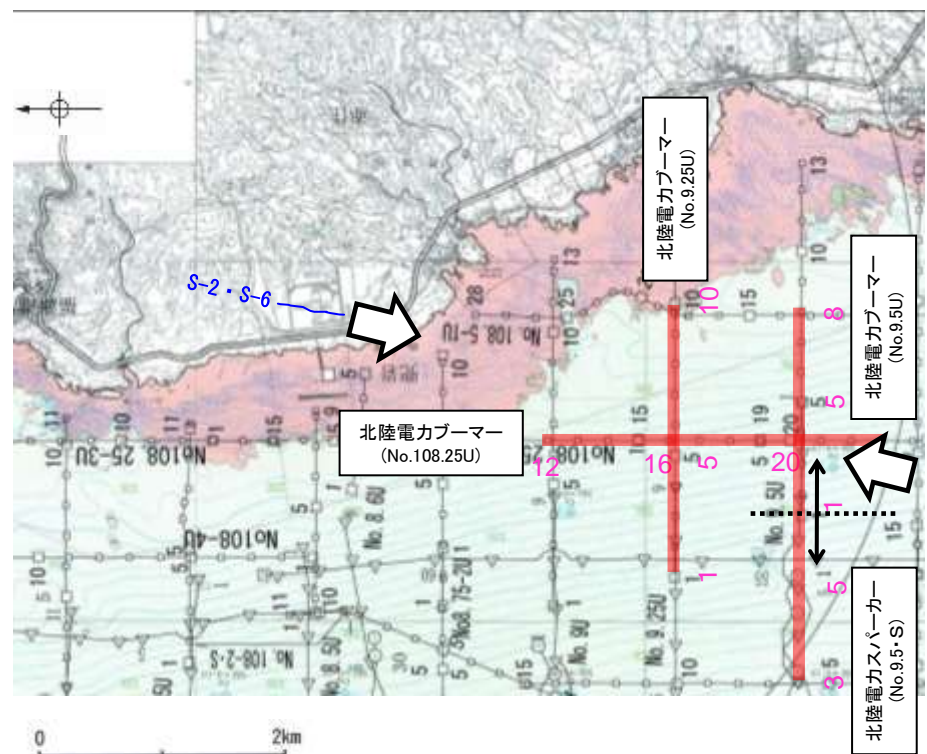
【O-5.1孔の評価】

- 下の断面図に示すとおり、S-2・S-6の想定延長範囲は、孔口以浅～深度47.0mとなる。
- 想定延長範囲において、S-2・S-6に対応する破碎部は認められない。



S-2・S-6南方延長の連續性調査(今後の課題④(4)) –海上音波探査–

- 有識者会合は、S-2・S-6南方延長海域における音波探査記録結果の再検討を「今後の課題④(4)」として示している。
- これを踏まえ、音波探査記録を再解析した結果、S-2・S-6の南方延長海域の3測線(下図)において断層は認められない。



位 置 図(石川県(1997)に一部加筆)

No.9.25U 調査測線(北陸電力:スパークー・シングルチャンネル・約2450ジュール)

No.9.5U 調査測線(北陸電力:スパークー・シングルチャンネル・約360ジュール)

No.8.25U 調査測線(北陸電力:ブーマー・マルチチャンネル・約200ジュール)

石川県(1997)の底質凡例

— S-2-S-6(EL-4.7m)

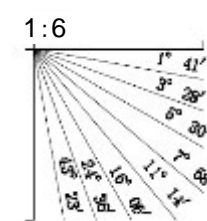
岩石

— 右図記録範囲

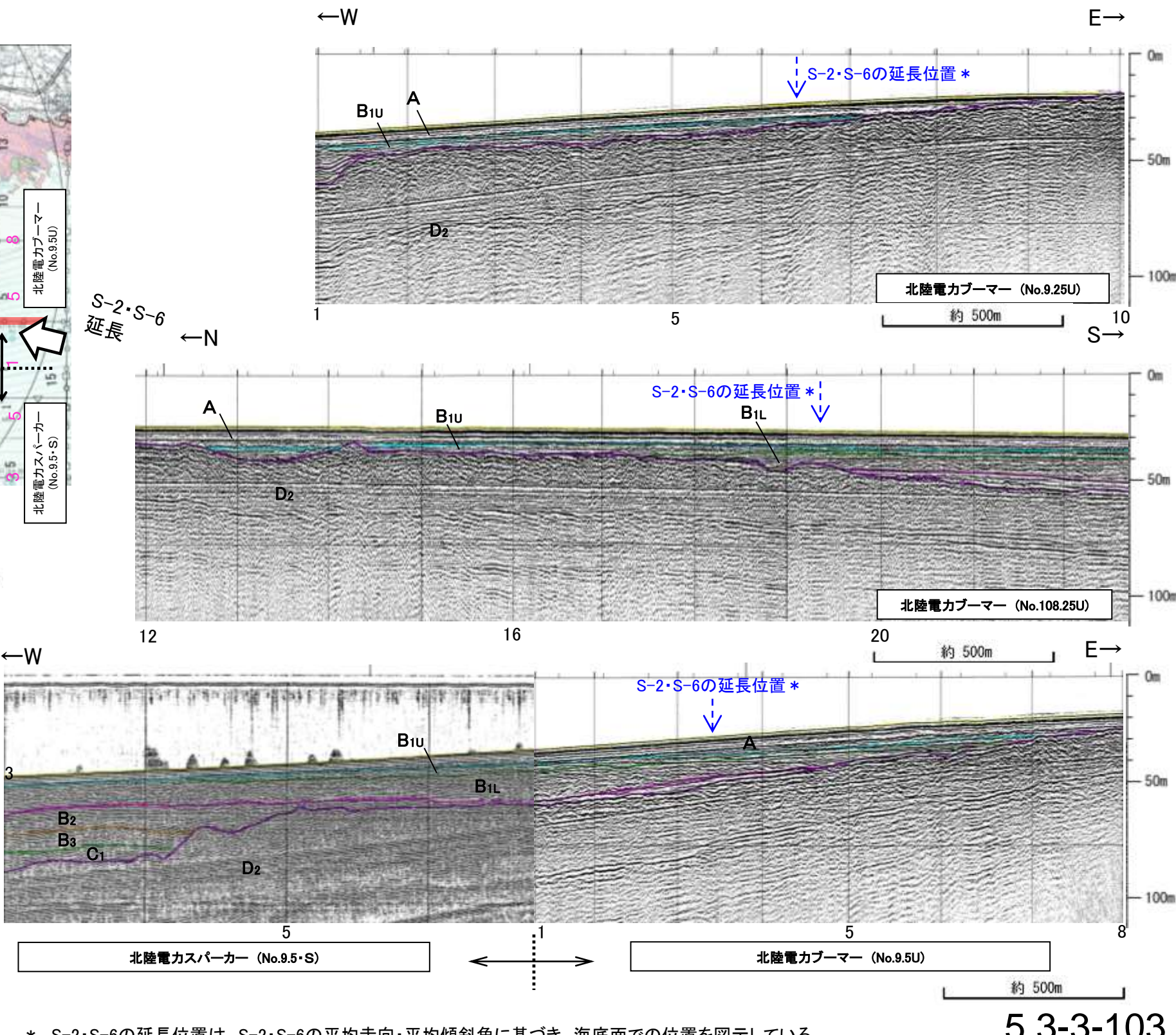
中砂

石川県(1997):1:33,000漁場環境図
「富来・志賀・羽咋海域」, 石川県

細砂



| 地質時代 | 地質層序 |
|------|-------------------|
| 第四紀 | A層 |
| | B ₁ 層 |
| 更新世 | B _{1U} 層 |
| 中期 | B _{1L} 層 |
| 前期 | B ₂ 層 |
| 新第三紀 | C ₁ 層 |
| 鮮新世 | C ₂ 層 |
| 中新世 | D ₁ 層 |
| 古第三紀 | D ₂ 層 |
| 先第三紀 | D ₃ 層 |



* S-2-S-6の延長位置は、S-2-S-6の平均走向・平均傾斜角に基づき、海底面での位置を図示している。

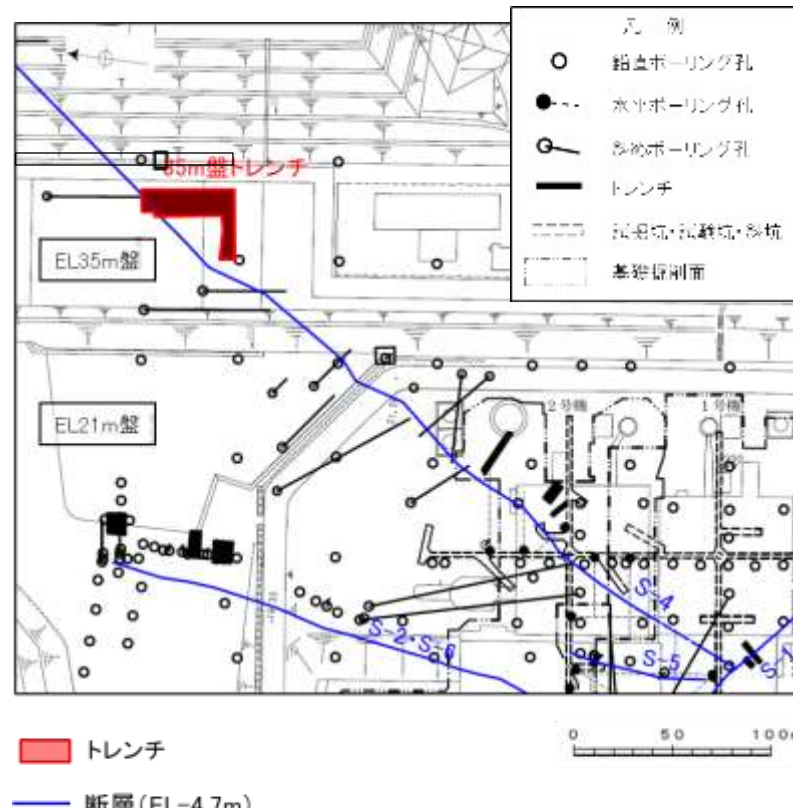
余白

補足資料5. 3－4

上載地層法に関する調査結果(S-4)

(1) 35m盤トレンチ

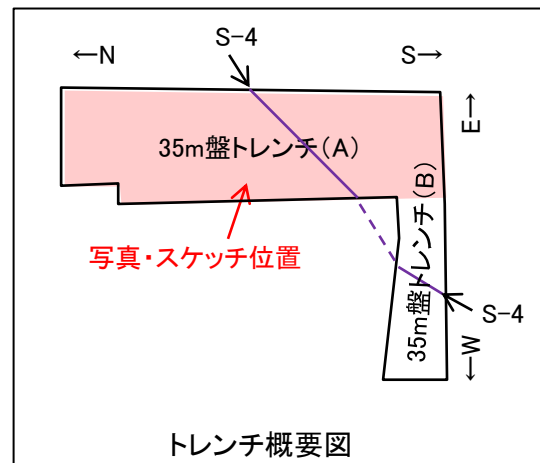
35m盤トレンチ(A) ー底盤写真・スケッチー



位置図



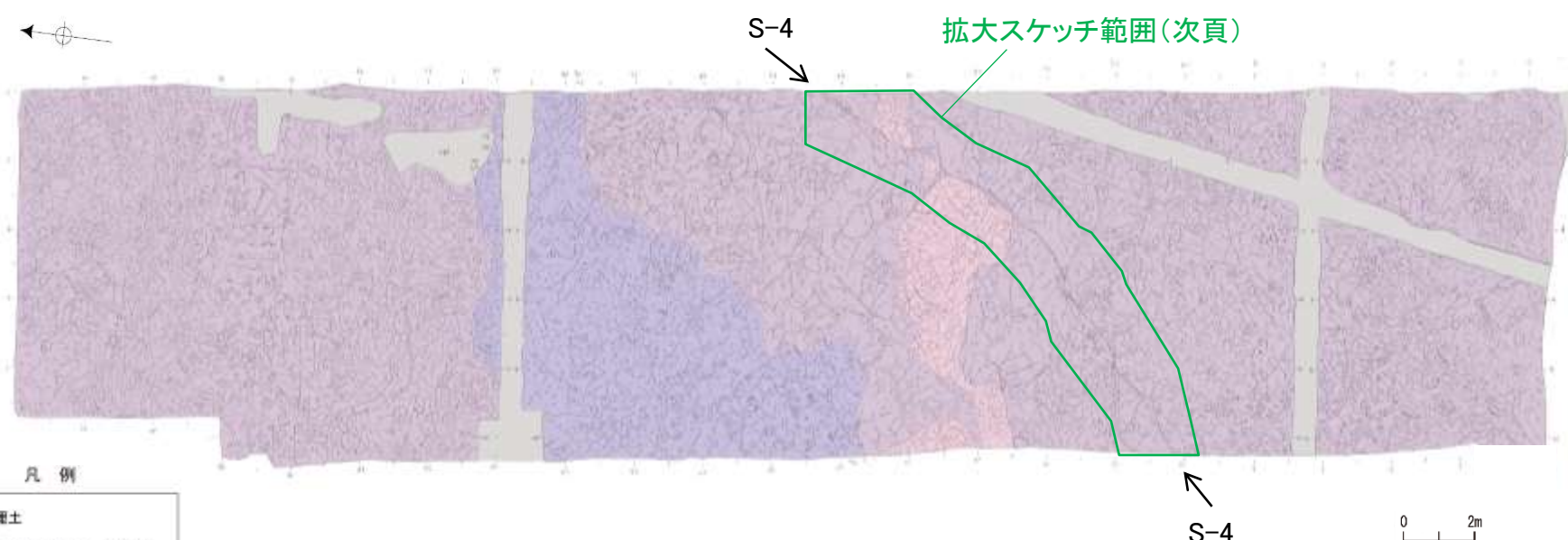
35m盤トレンチ(A) 底盤写真



【35m盤トレンチによるS-4破碎部の性状】

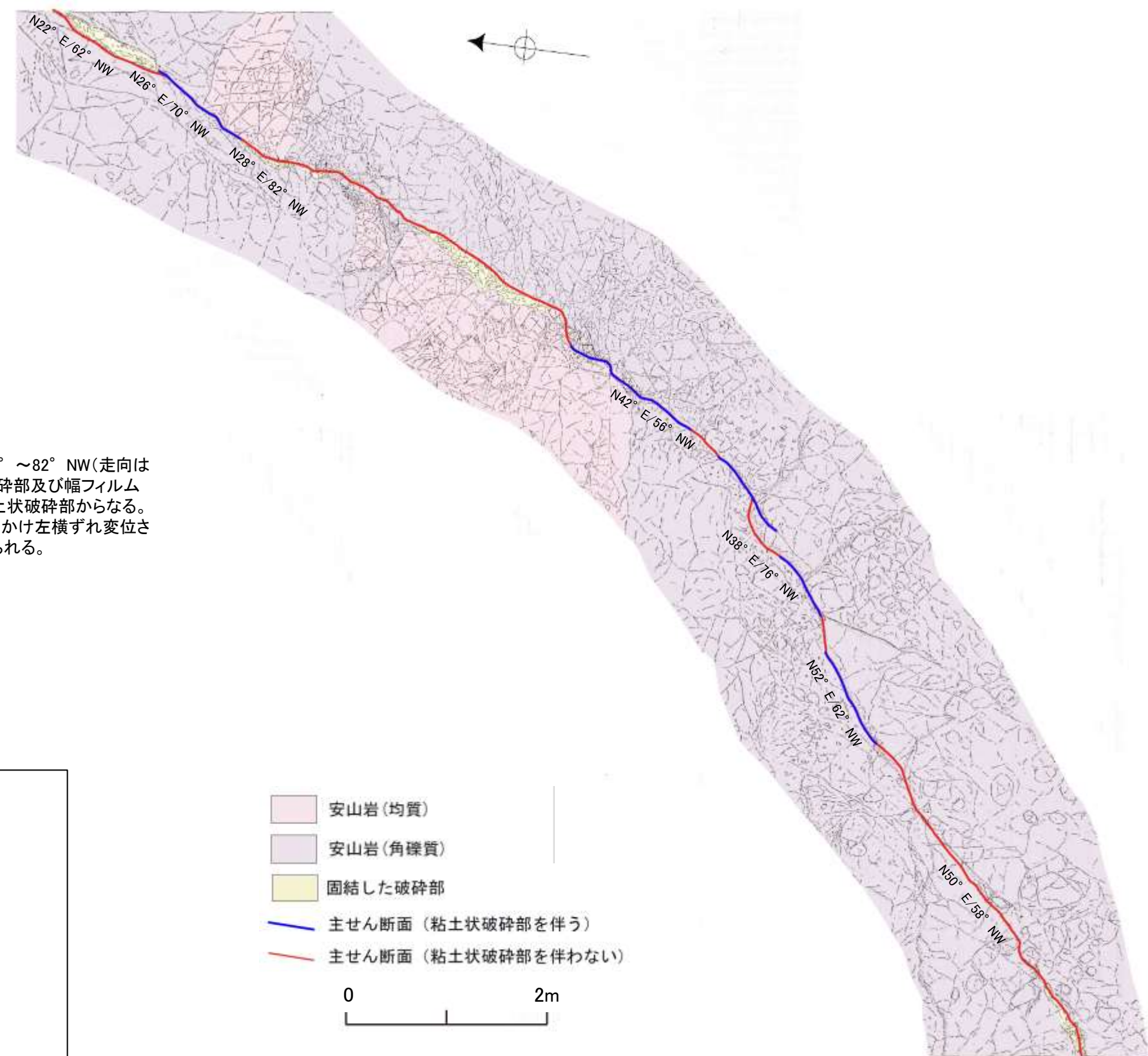
| | |
|-------|------------------------|
| 走向 | 概ね北東ー南西走向(N22° ~52° E) |
| 傾斜 | 北西傾斜(56° ~82° NW) |
| 破碎部の幅 | 2~15cm |

(走向は真北基準)



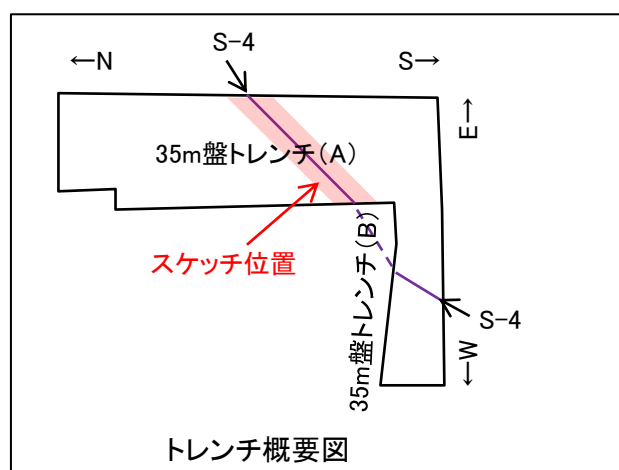
35m盤トレンチ(A) 底盤スケッチ

【35m盤トレンチ(A) S-4付近詳細スケッチ】

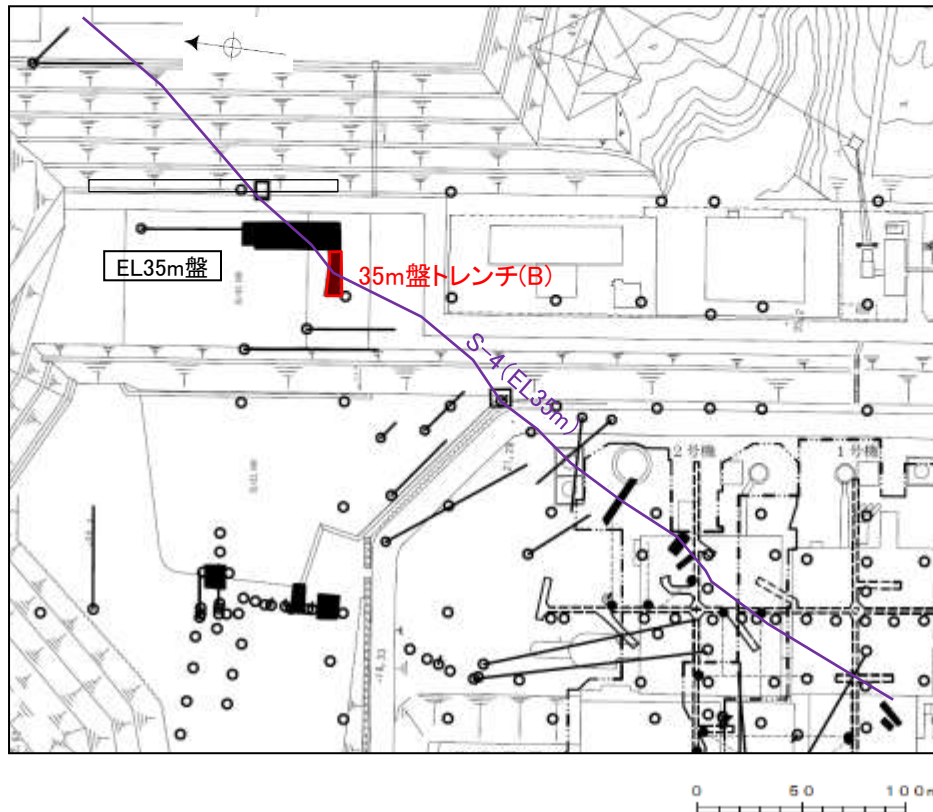


【S-4】

S-4は、走向・傾斜N22° E～N52° E/56°～82° NW(走向は真北基準)で、幅2～15cmの固結した破碎部及び幅フィルム状～0.5cmの灰褐～明褐色を呈する粘土状破碎部からなる。底盤において、S-4は安山岩(均質)を見かけ左横ずれ変位させており、主せん断面には条線が認められる。



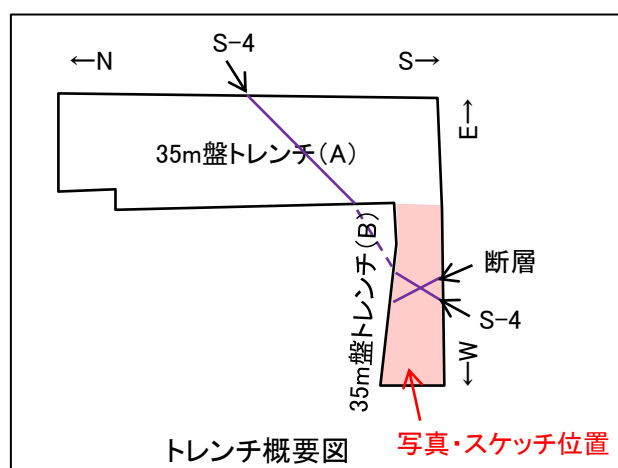
35m盤トレンチ(B) - 底盤写真・スケッチ -



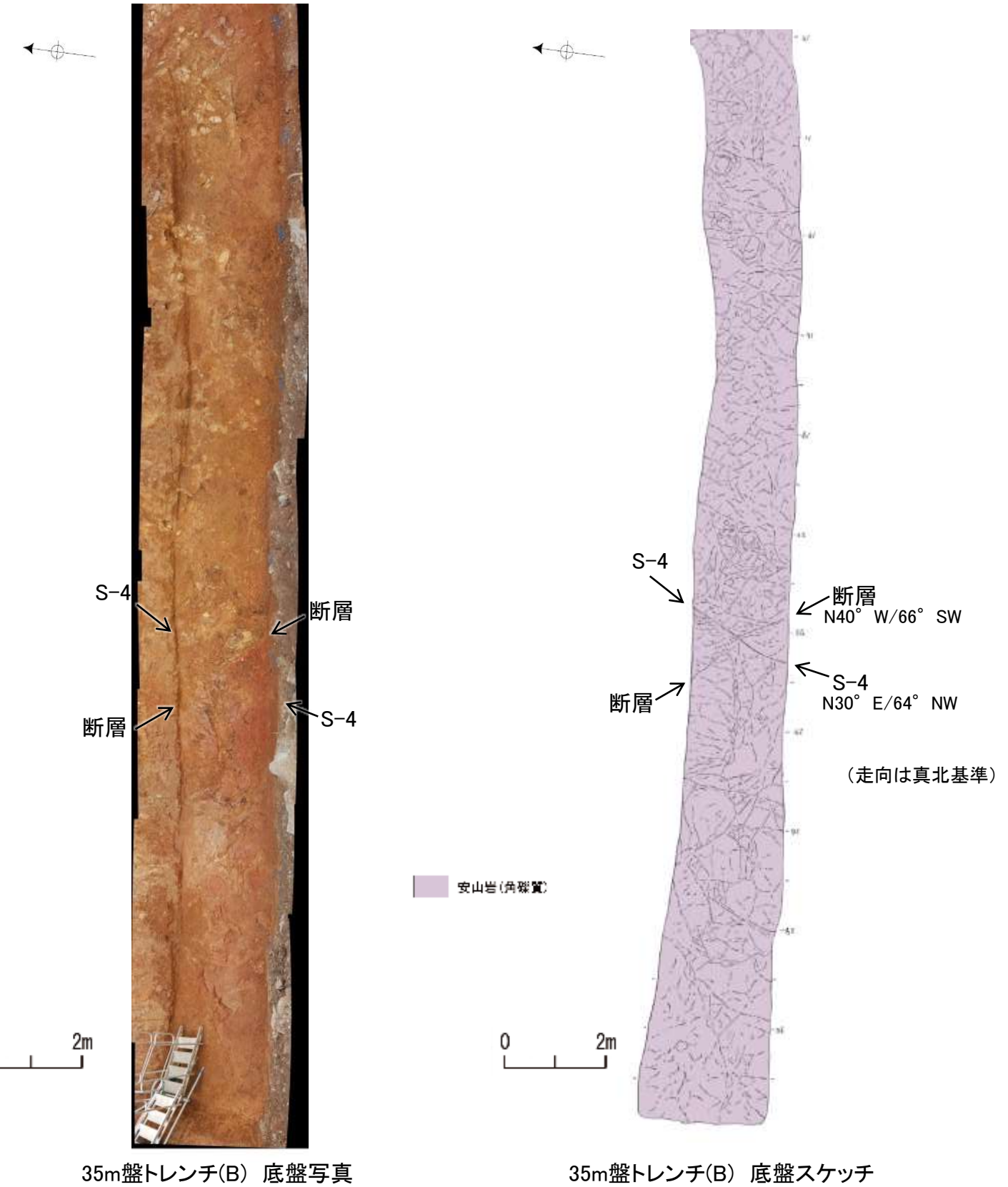
■ トレンチ

— S-4 (EL35m)

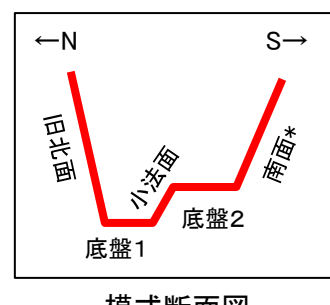
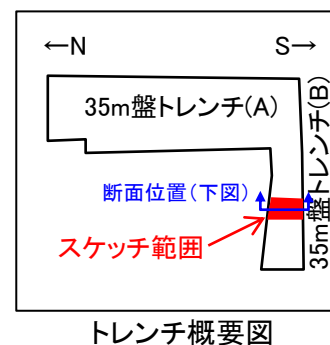
位置図



トレンチ概要図 写真・スケッチ位置



35m盤トレンチ(B) - 旧北面・南面・底盤 詳細スケッチー



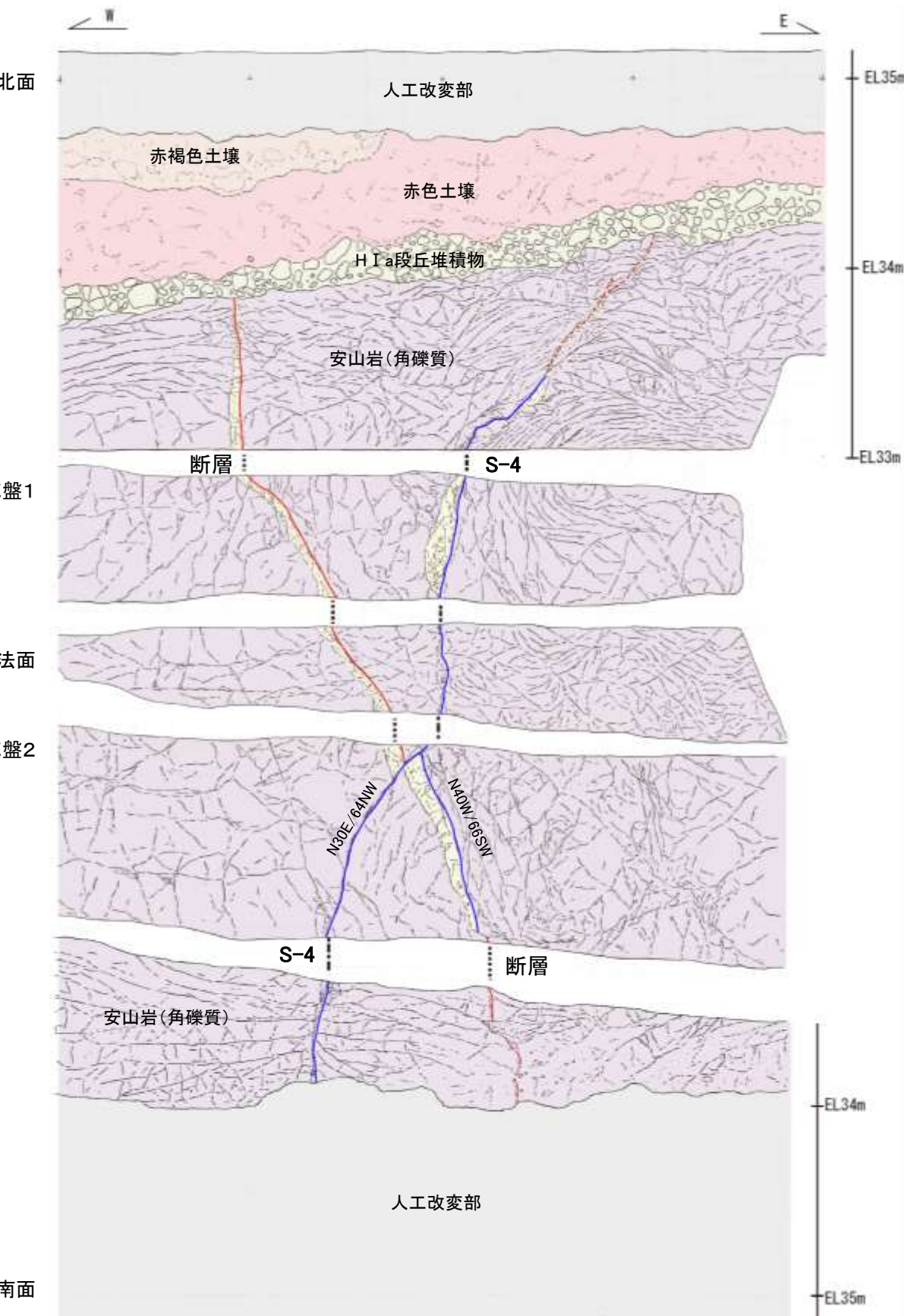
* 人工改変により南面には上載地層は分布しない。

| | |
|--|--|
| | 人工改変部 |
| | 赤褐色土壤 |
| | 赤色土壤 |
| | H I a段丘堆積物 |
| | 安山岩(角礫質) |
| | 固結した破碎部 |
| | 主せん断面 (粘土状破碎部を伴う) |
| | 主せん断面 (粘土状破碎部を伴わない) 破線は主せん断面が不明瞭な箇所 |

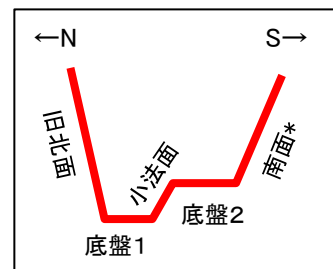
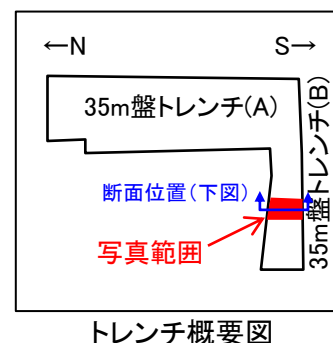
南面

0m 1m

スケッチ(展開図)



35m盤トレンチ(B) - 旧北面・南面・底盤 写真 -

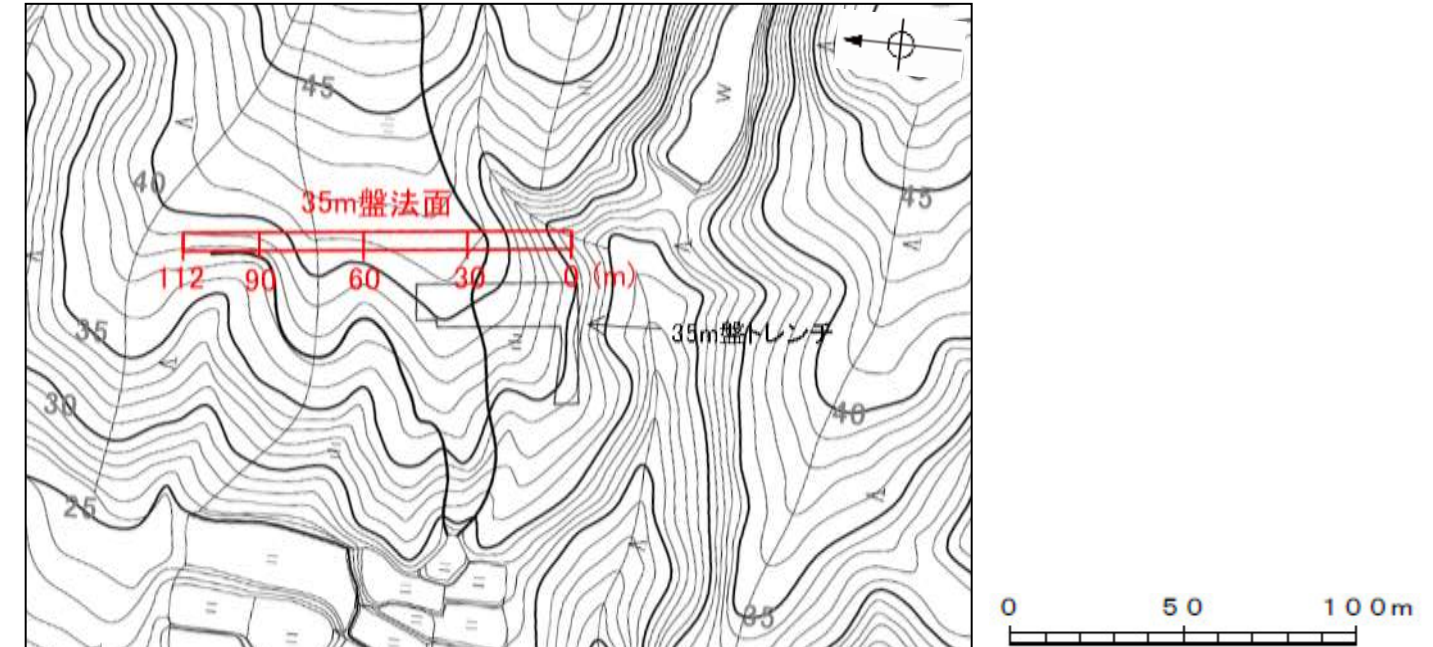


* 人工改変により南面には
上載地層は分布しない。



(2) 35m盤法面

35m盤法面表土はぎ 一全景写真一

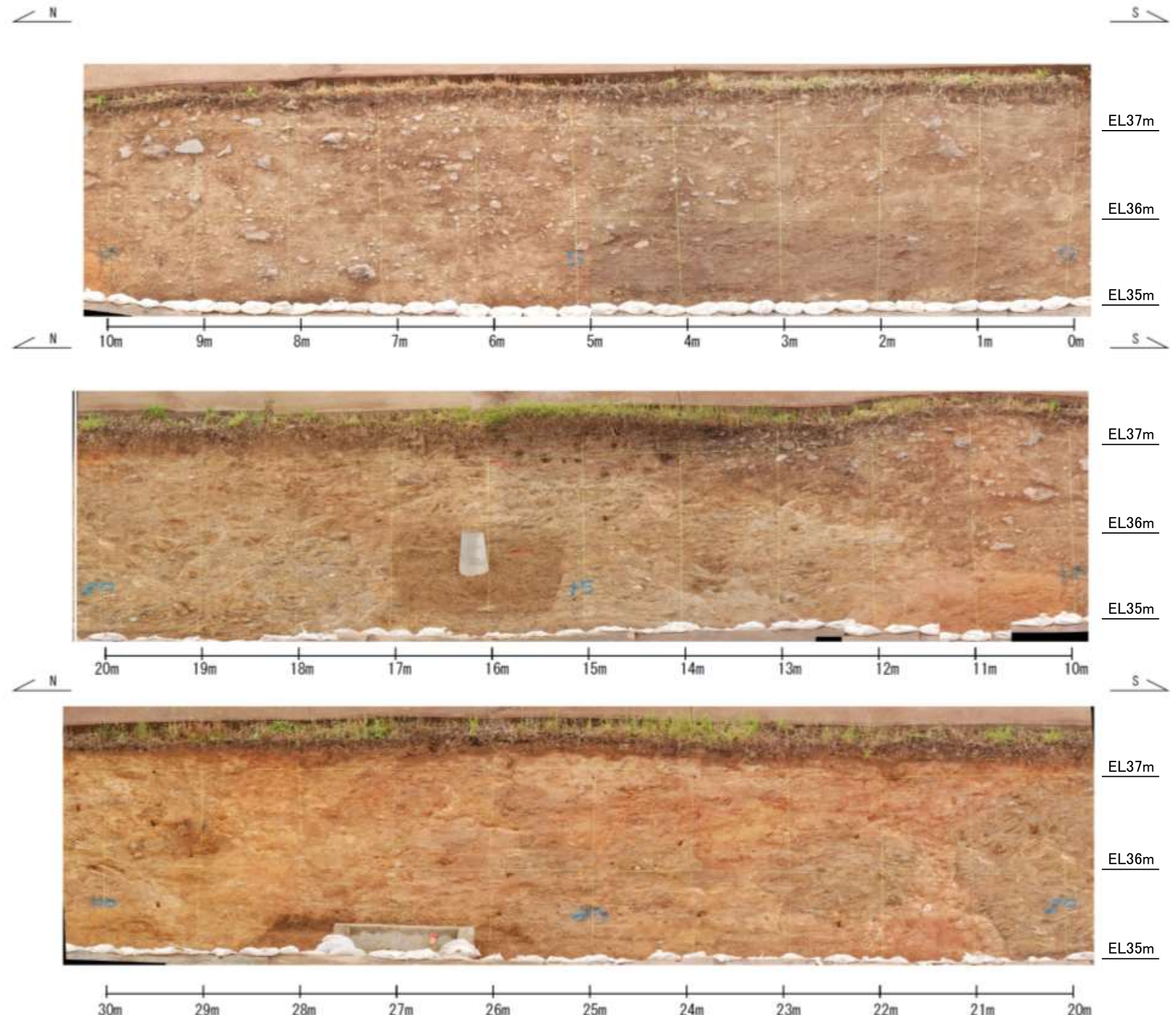


地形図(1975年撮影、縮尺10,000分の1の空中写真より作成)
35m盤トレンチ・法面位置を加筆

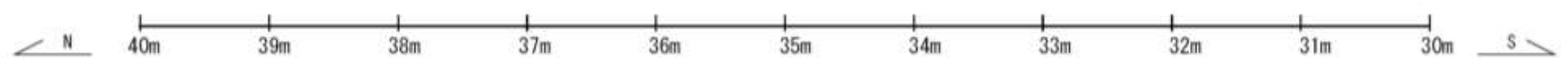


35m盤トレンチ及び35m盤法面 全景写真

35m盤法面表土はぎ －法面写真(0~30m)－



35m盤法面表土はぎ －法面写真(30~60m)－

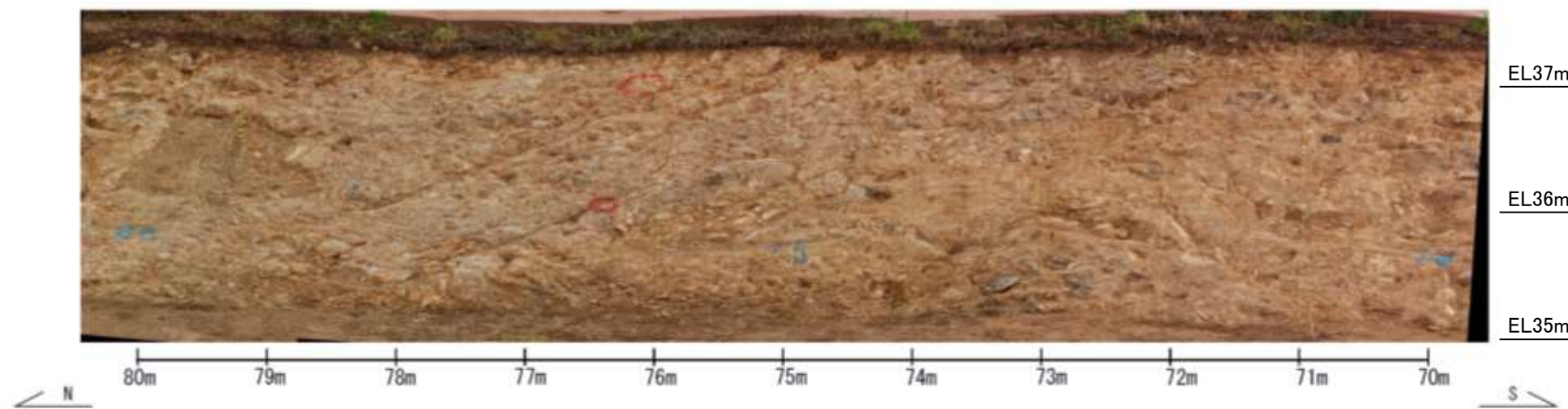


35m盤法面表土はぎ －法面写真(60~90m)－



70m 69m 68m 67m 66m 65m 64m 63m 62m 61m 60m N S

EL37m
EL36m
EL35m



80m 79m 78m 77m 76m 75m 74m 73m 72m 71m 70m

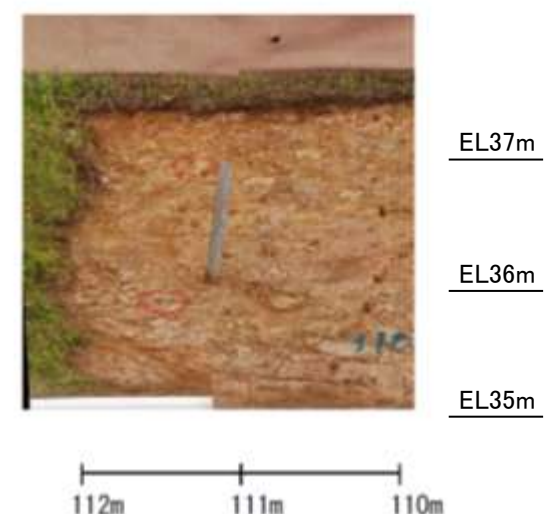
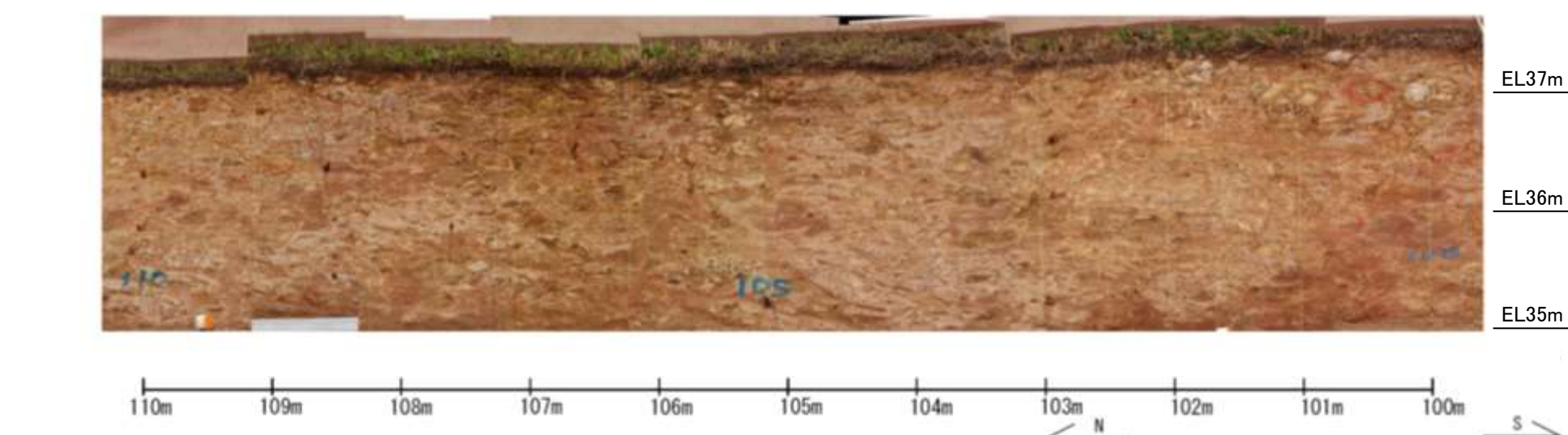
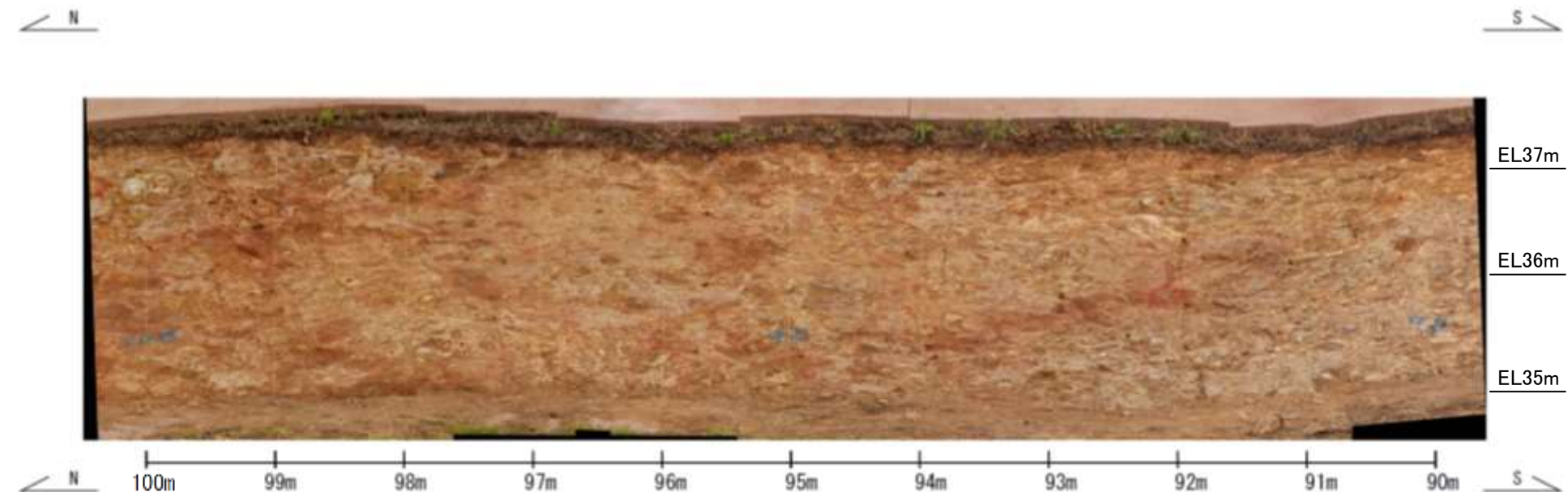
EL37m
EL36m
EL35m



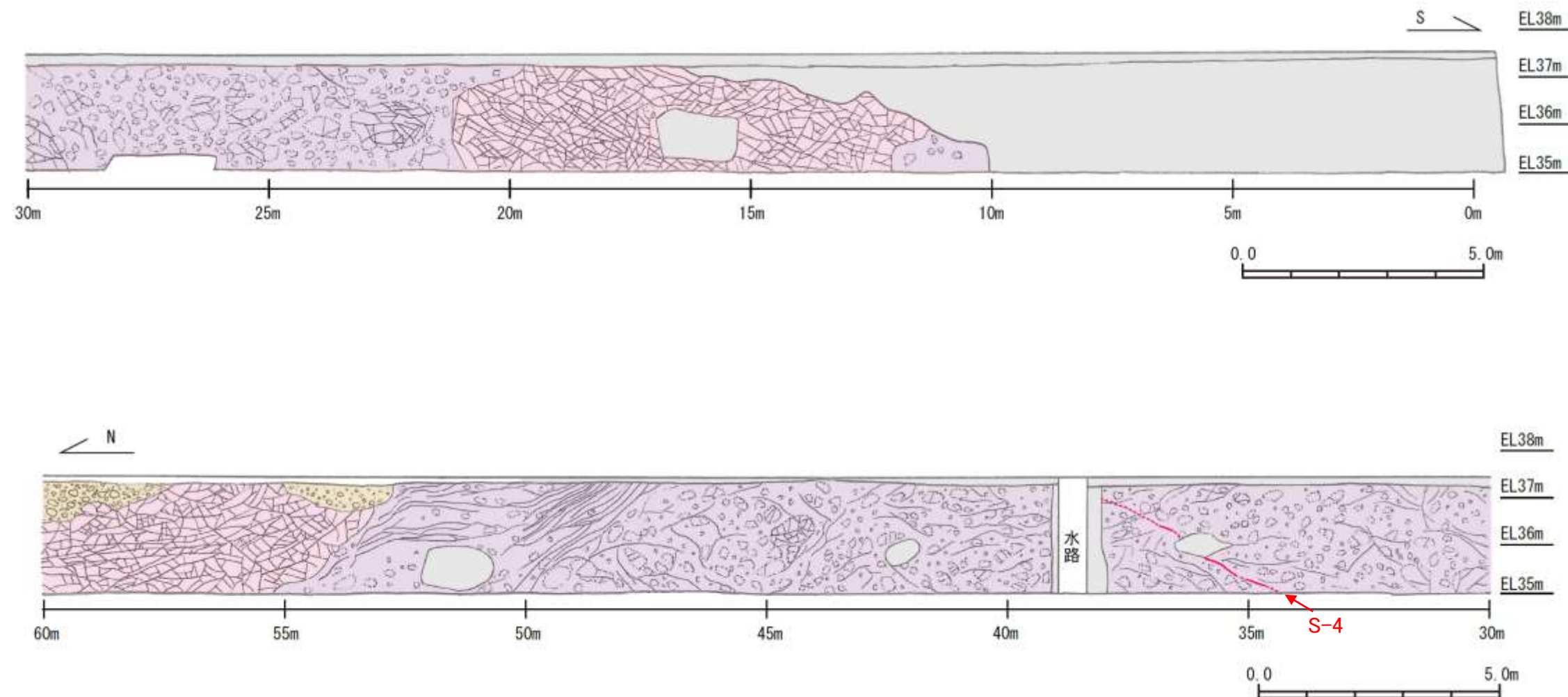
90m 89m 88m 87m 86m 85m 84m 83m 82m 81m 80m

EL37m
EL36m
EL35m

35m盤法面表土はぎ －法面写真(90~112m)－



35m盤法面表土はぎ －法面スケッチ(0~60m)－



凡 例



安山岩(均質)

風化して灰色～灰褐色を呈する。全体に3～30cmの間隔で割れ目が認められる。割れ目は概ね密着しているが、一部に酸化鉄や酸化マンガンが沈着する。風化により軟質化しており、ナイフで傷が付き、削れる程度の硬さである。岩芯は硬質で暗灰色を呈する。

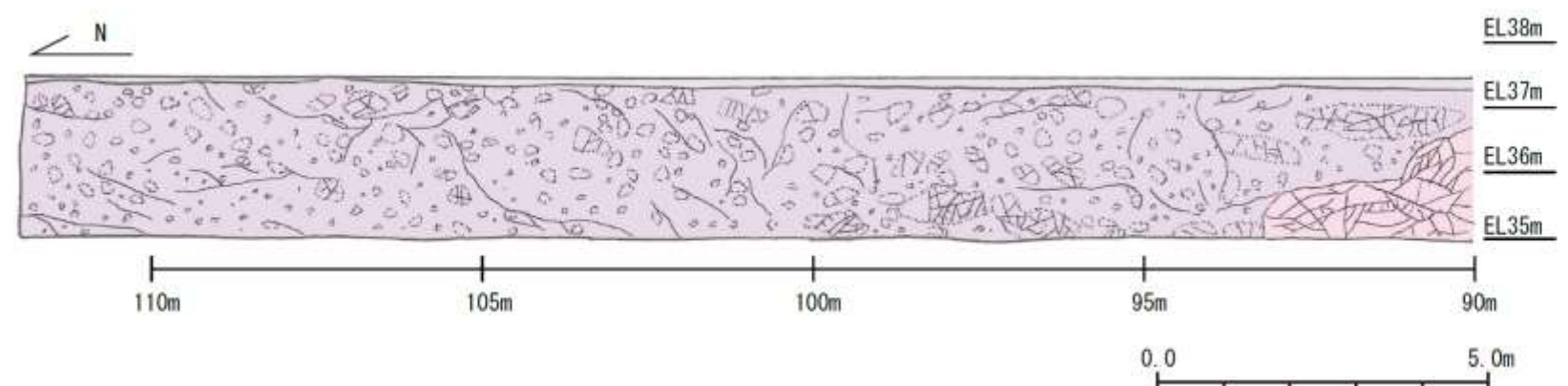
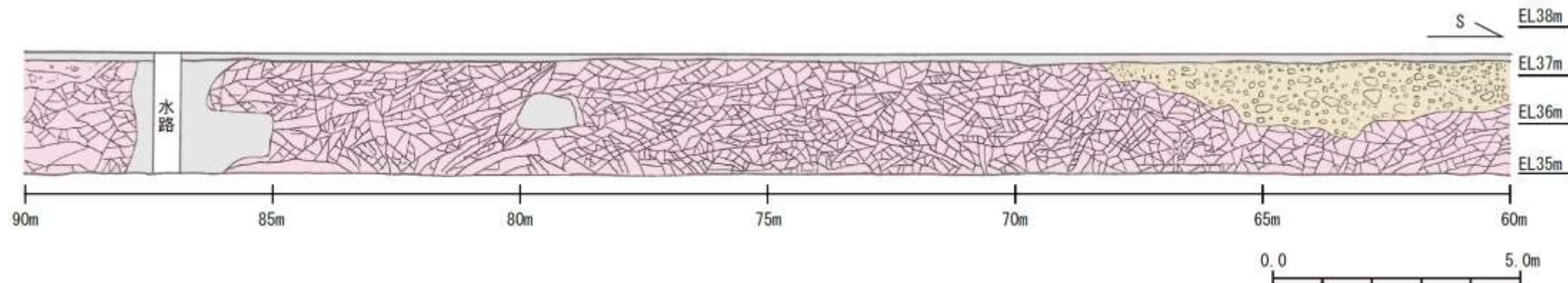
安山岩(角礫質)

風化して褐灰色～赤紫色を呈する。全体に30～100cmの間隔で割れ目が認められる。割れ目は概ね密着しているが、一部に酸化鉄や酸化マンガンが沈着する。風化により軟質化しており、ナイフで傷が付き、削れる程度の硬さである。角礫部は、灰～暗灰色を呈し硬質である。礫径は30～100cm程度が多く、最大200cmである(標尺23m付近)。標尺50m付近には、北へ緩く傾斜する割目が2～5cmの間隔で認められる。

H I a段丘堆積物

基質は細～中粒砂からなり、にぶい黄褐色～明褐色(10YR5/3～7.5YR5/6)を呈する砂礫層。径3～35cmの安山岩礫を40～60%以上含み、礫同士が接した礫支持構造が認められる。亜円～亜角礫を主体とし、円礫も混じる。礫は半クサリ礫化している。基質は良く締まっており、指圧あとが残らない。褐～黒色の斑紋の沈着によって、一部は半固結している。

35m盤法面表土はぎ －法面スケッチ(60~112m)－



凡例



安山岩(均質)

風化して灰色～灰褐色を呈する。全体に3～30cmの間隔で割れ目が認められる。割れ目は概ね密着しているが、一部に酸化鉄や酸化マンガンが沈着する。風化により軟質化しており、ナイフで傷が付き、削れる程度の硬さである。岩芯は硬質で暗灰色を呈する。

安山岩(角礫質)

風化して褐灰色～赤紫色を呈する。全体に30～100cmの間隔で割れ目が認められる。割れ目は概ね密着しているが、一部に酸化鉄や酸化マンガンが沈着する。風化により軟質化しており、ナイフで傷が付き、削れる程度の硬さである。角礫部は、灰～暗灰色を呈し硬質である。

H I a段丘堆積物

基質は細～中粒砂からなり、にぶい黄褐色～明褐色(10YR5/3～7.5YR5/6)を呈する砂礫層。径3～35cmの安山岩礫を40～60%以上含み、礫同士が接した礫支持構造が認められる。亜円～亜角礫を主体とし、円礫も混じる。礫は半クサリ礫化している。基質は良く締まっており、指圧あとが残らない。褐～黒色の斑紋の沈着によって、一部は半固結している。

(3) S-4トレンチ

S-4トレンチ -評価結果-

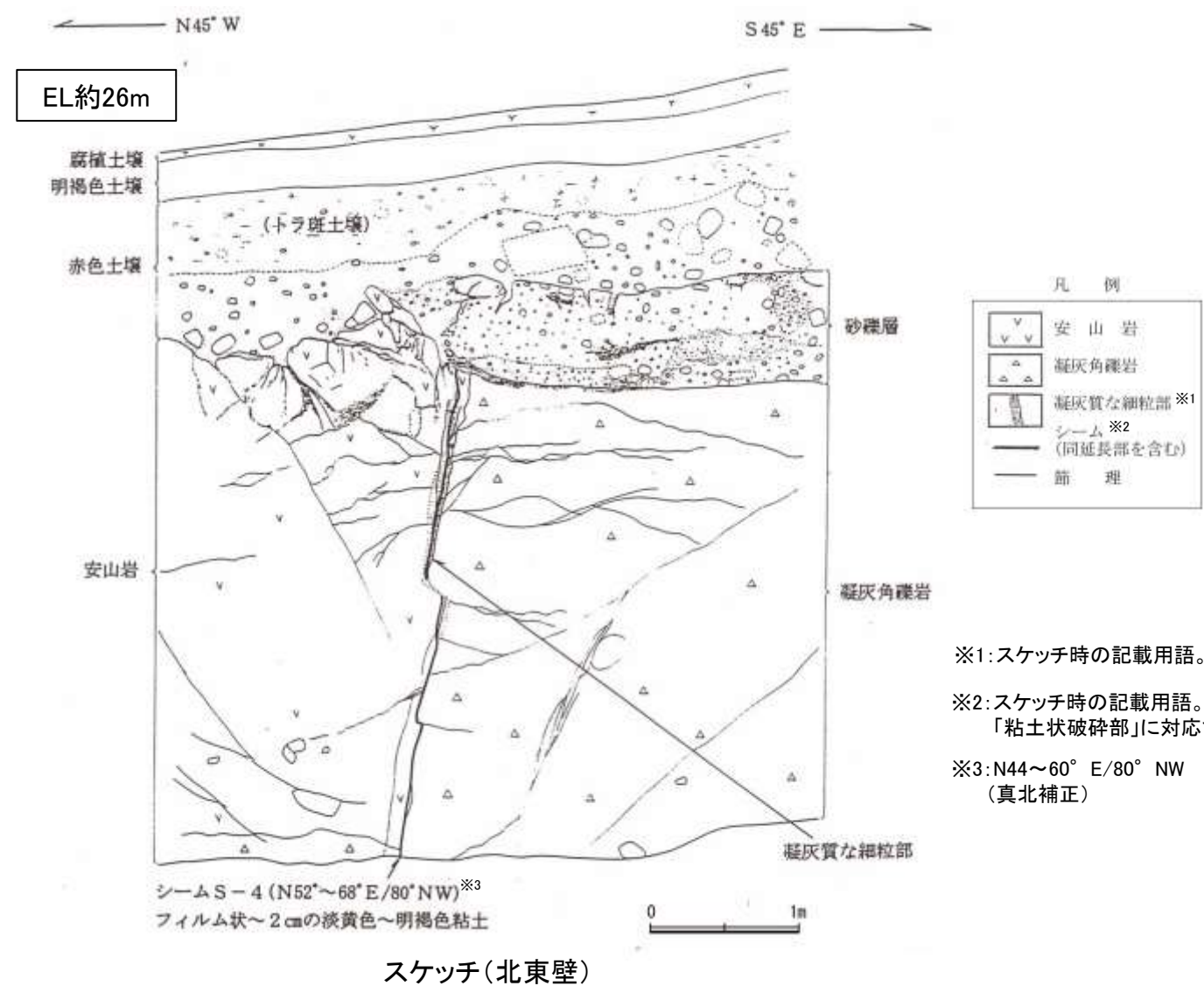
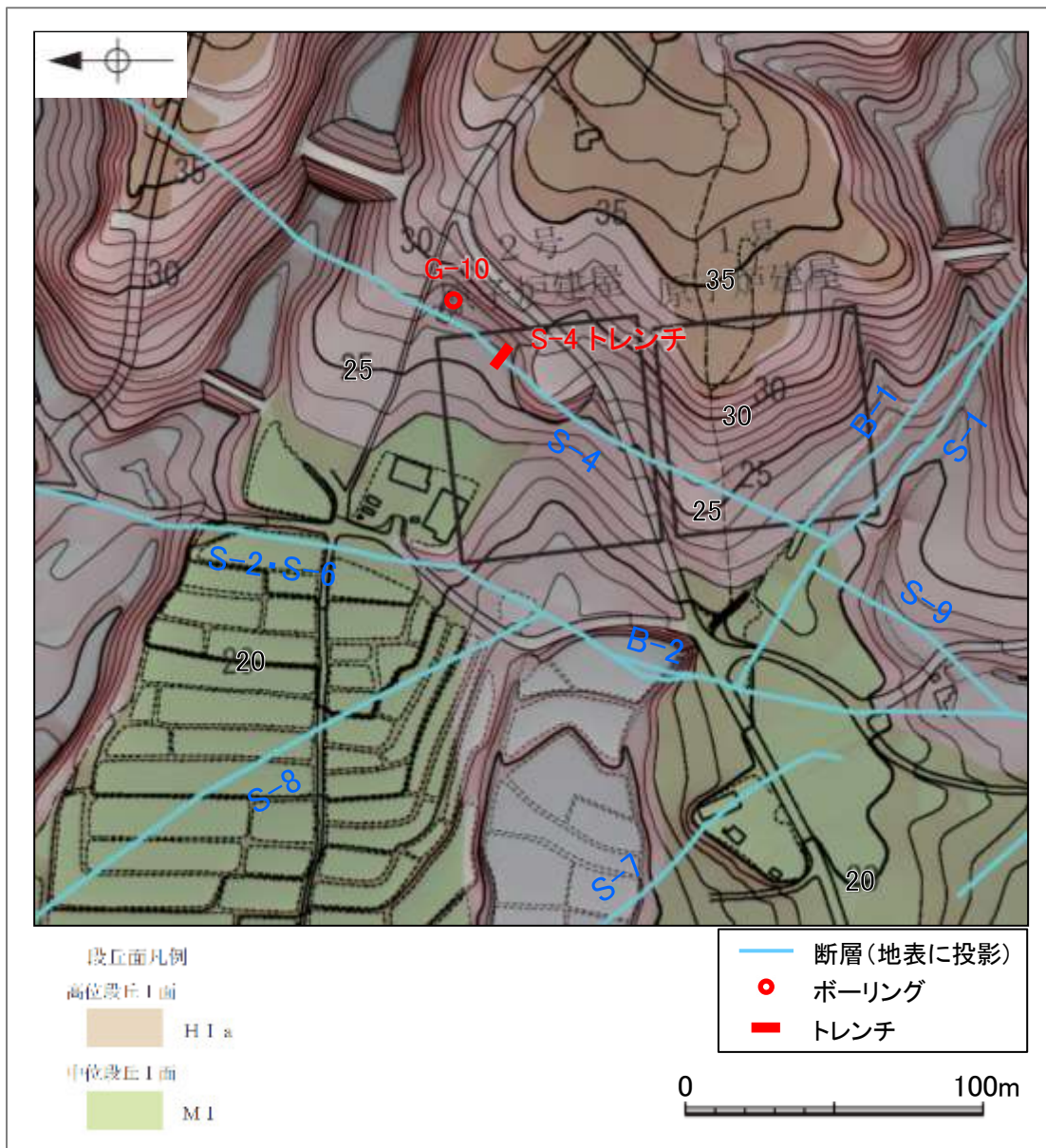
○建設時にS-4の活動性評価を行うため、中位段丘I面と高位段丘Ia面の間の緩斜面上において、トレンチ調査(S-4トレンチ)を実施した。

○S-4トレンチにおいて、幅フィルム状～2cmの粘土からなるS-4を確認した。

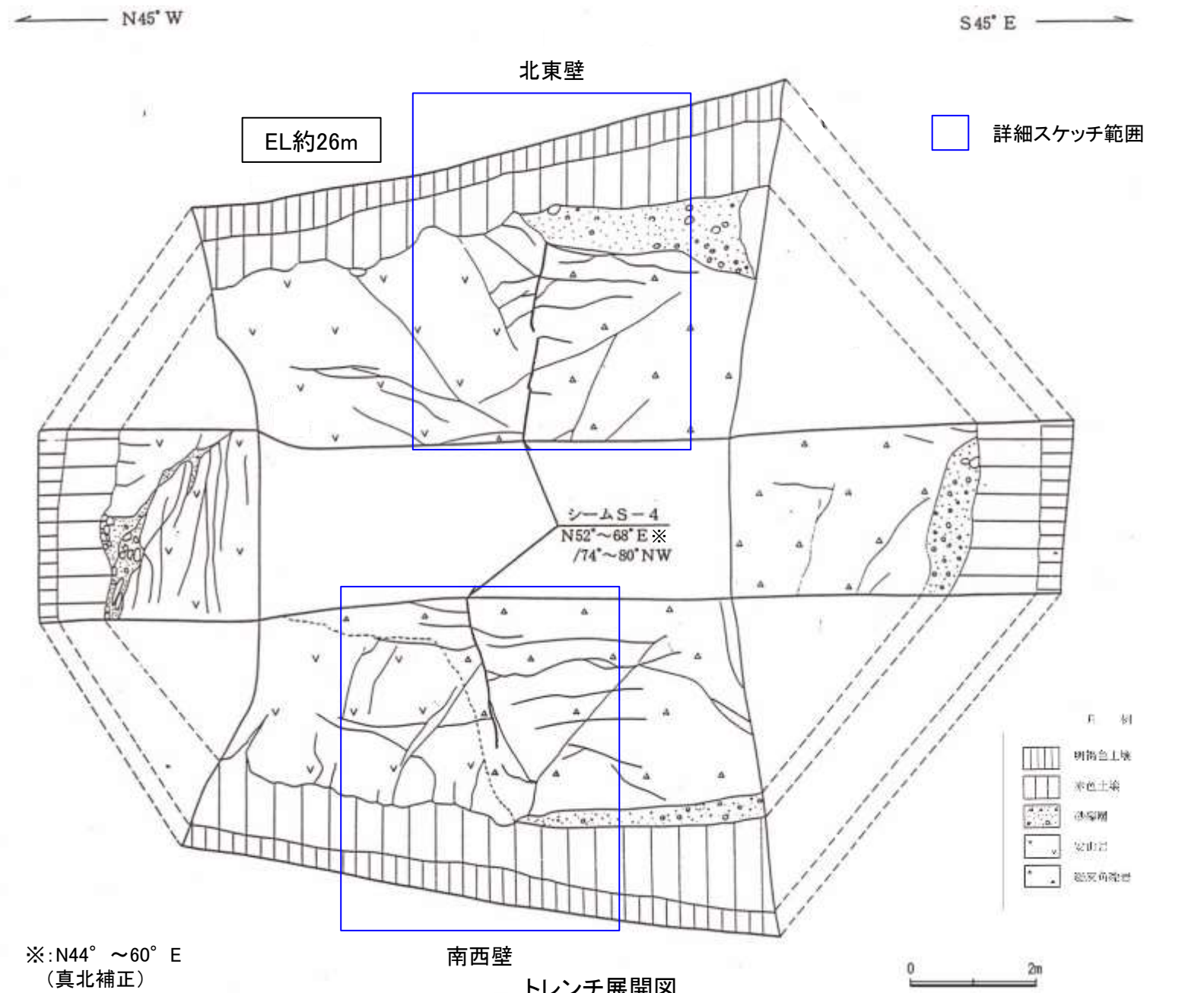
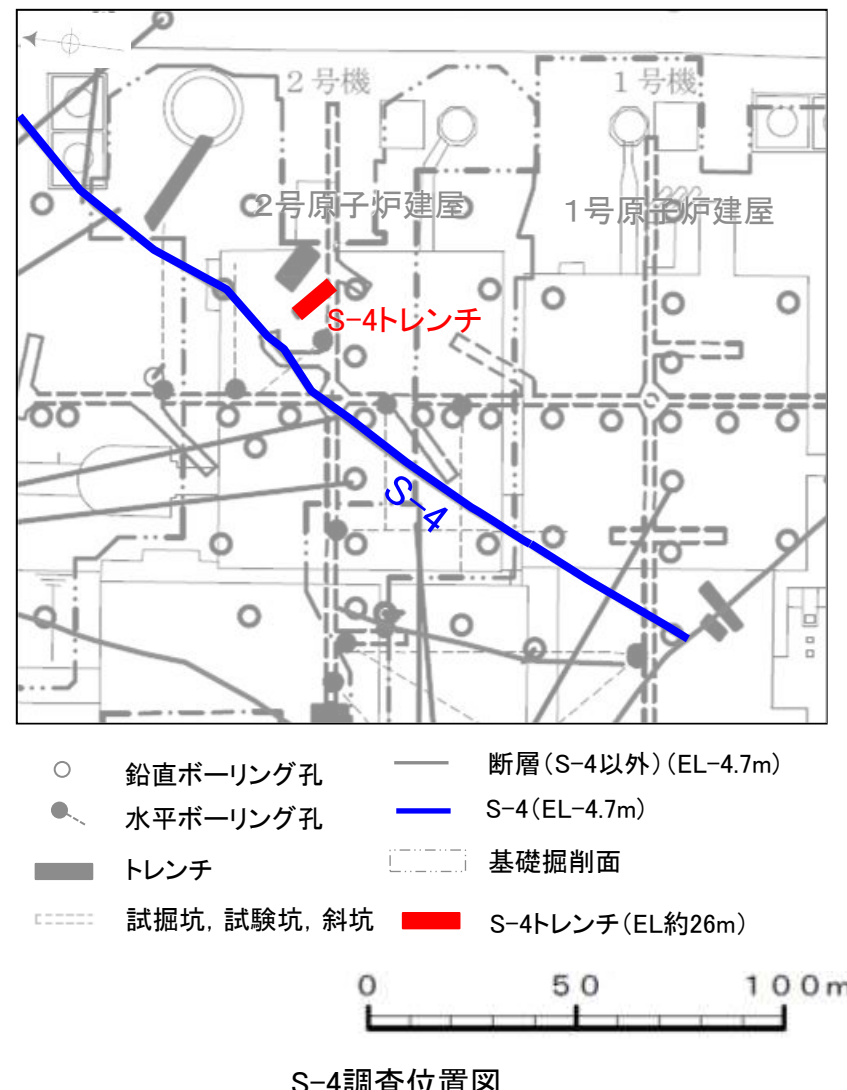
○S-4は、南西壁では岩盤上面まで連続して認められないものの、北東壁では岩盤上面まで認められ、直上の堆積物に変位・変形を与えていない。

○この堆積物は、隣接孔(G-10孔)で実施した火山灰分析、遊離酸化鉄分析等の結果を踏まえると、少なくとも約12～13万年前以前に堆積したと考えることもできるが、露頭が現存しないため、礫の平均真円度により海成堆積物と確実に認定することができない。

○S-4は岩盤直上の堆積物に変位・変形を与えていない。この堆積物は、火山灰分析、遊離酸化鉄分析等の結果を踏まえると、少なくとも約12～13万年前以前に堆積したとも考えられるが、露頭が現存しないため、礫の平均真円度により海成堆積物と確実に認定することができないことから、MISとの対比による明確な年代評価はできない。



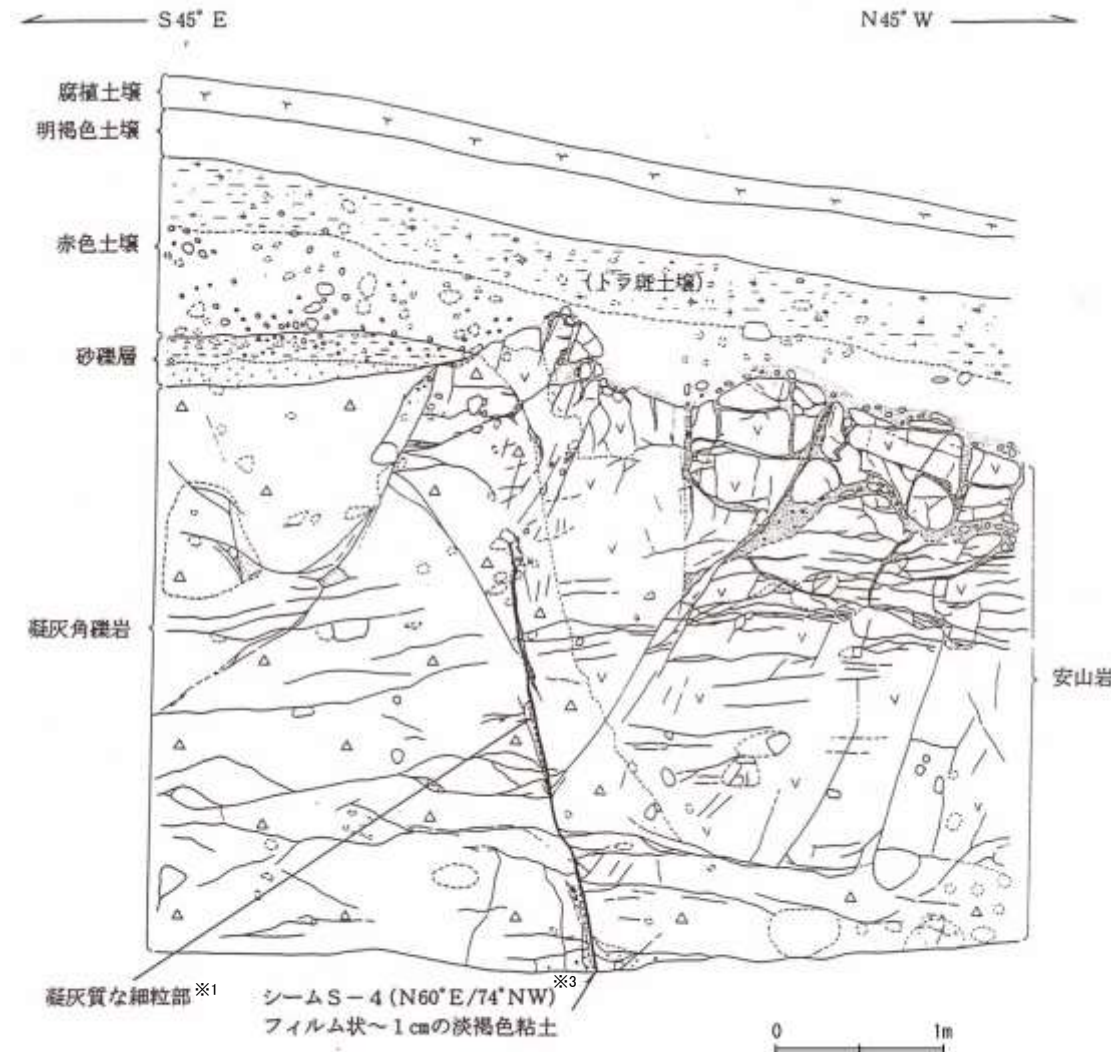
S-4トレーニチートレンチ展開図



<露頭状況>

- 別所岳安山岩類の安山岩及び凝灰角礫岩を第四系の堆積物が不整合に覆う。
 - 安山岩及び凝灰角礫岩中にS-4が認められる。
 - 岩盤上位に分布する堆積物は下位から,
 - 砂礫層(安山岩を覆って、ほぼ水平～西へ緩傾斜、くさり礫主体、石英が含まれる)
 - 赤色土壤(敷地周辺に分布する中位段丘Ⅰ面を構成する土壤より赤みが強い)
 - 明褐色土壤
- の順で構成される。

S-4トレーナー－南西壁スケッチ－



明褐色土壤（軽埴土）
色調：7.5YR4/7
土壤構造：弱度、中～細粒亜角塊状構造

赤色土壤（重埴土）
色調：2.5YR～5YR4/7、キュータン 2.5YR5/8。
やや明瞭な網目状の斑紋が認められる。
土壤構造：中～強度、細粒亜角塊状構造。
礫：下部には最大径 25cm、平均径 3cm の安山
岩亜角～亜円礫（径 10cm 以下はくさり
礫多し）が 10～20%程度混入する。礫
混入部の基質はシルト～粘土で色調
7.5YR～5YR4/6。

砂礫層
色調：黄褐～雜色
礫：最大径 6cm、平均径 2cm、安山岩亜円～
亜角礫主体、くさり礫が多い。
基質：安山岩起源の粗粒砂～細礫よりなる。
黄白色～白色の軟質物質が粒子間を充
填する。
下部の 10～20cm は安山岩起源の粗粒砂～細
礫が主体をなして分布する。

スケッチ(南西壁)

| 凡 例 | |
|-----|--------------------|
| ▼ | 安 山 岩 |
| △ | 凝灰角礫岩 |
| ■ | 凝灰質な細粒部※1 |
| — | シーム※2 (同延長部を含む) |
| — | 節 理 |

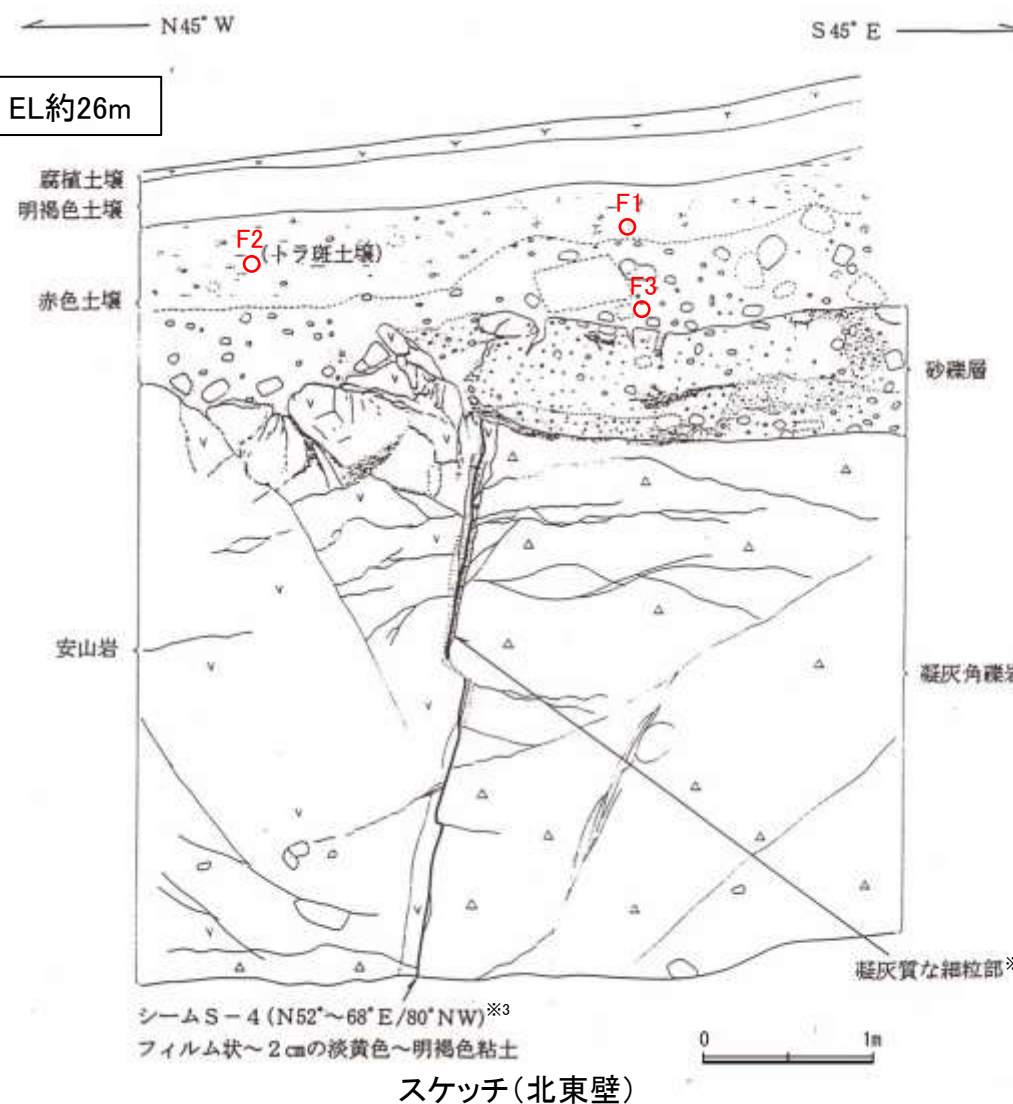
※1:スケッチ時の記載用語。

※2:スケッチ時の記載用語。
「粘土状破碎部」に対応する。

※3:N52° E/74° NW (真北補正)

S-4トレーニチー 北東壁スケッチー

○ 遊離酸化鉄分析
試料採取位置(F1~F3)



※1:スケッチ時の記載用語。

※2:スケッチ時の記載用語。
「粘土状破碎部」に対応する。

※3:N44°~60° E/80° NW (真北補正)

明褐色土壌(輕埴土)
色調: 7.5YR4/7
土壤構造: 羽度, 中～細粒亞角塊状構造

赤色土壌(重埴土)
色調: 2.5YR ~ 5YR4/7, キュータン 2.5YR5/8.
やや明瞭な網目状の斑紋が認められる。
土壤構造: 中～強度, 細粒亞角塊状構造。
礫: 下部には最大径 60cm, 平均径 5 ~ 7cm の
安山岩亞角～亜円礫(径 10cm 以下はく
さり繅多し)が 10 ~ 20% 程度混入する。
礫混入部の基質はシルト～粘土で色調
7.5YR ~ 5YR4/6.

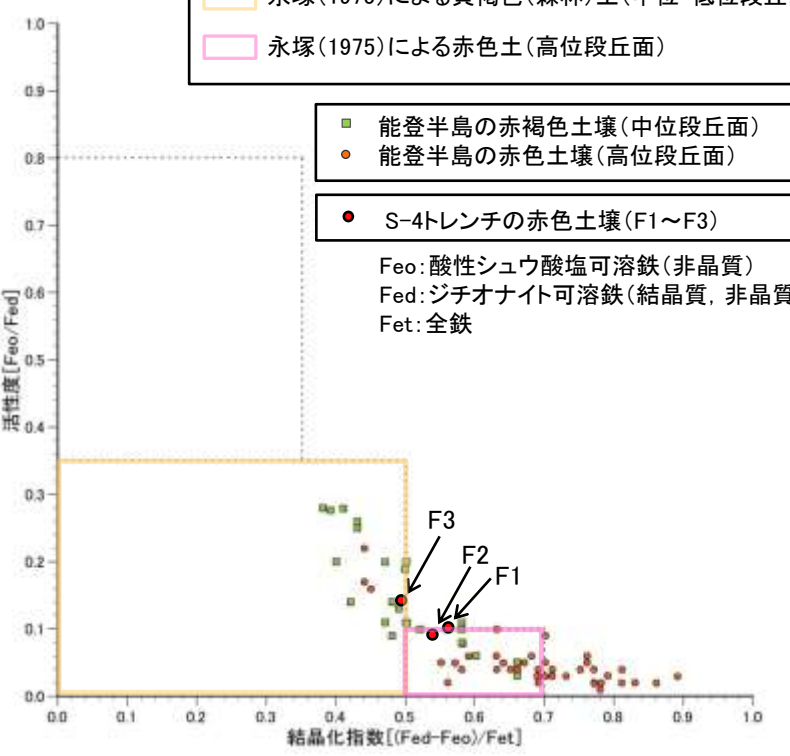
砂礫層
色調: 黄褐～雑色
礫: 最大径 20cm, 平均径 2 ~ 4cm, 安山岩
亜円～亜角礫主体, 径 2cm 以下にくさ
り繅が多い。
基質: 固結した粗粒砂～細礫で安山岩片を主
体とする。粒子間を淡黄褐色膠結物質
が充填する。
下部の 10 ~ 20cm は安山岩起源の粗粒砂～細
礫が主体をなして分布する。

| |
|-------------------------------|
| 永塚(1975)による褐色森林土 |
| 永塚(1975)による黄褐色(森林)土(中位・低位段丘面) |
| 永塚(1975)による赤色土(高位段丘面) |

| |
|-------------------|
| 能登半島の赤褐色土壌(中位段丘面) |
| 能登半島の赤色土壌(高位段丘面) |

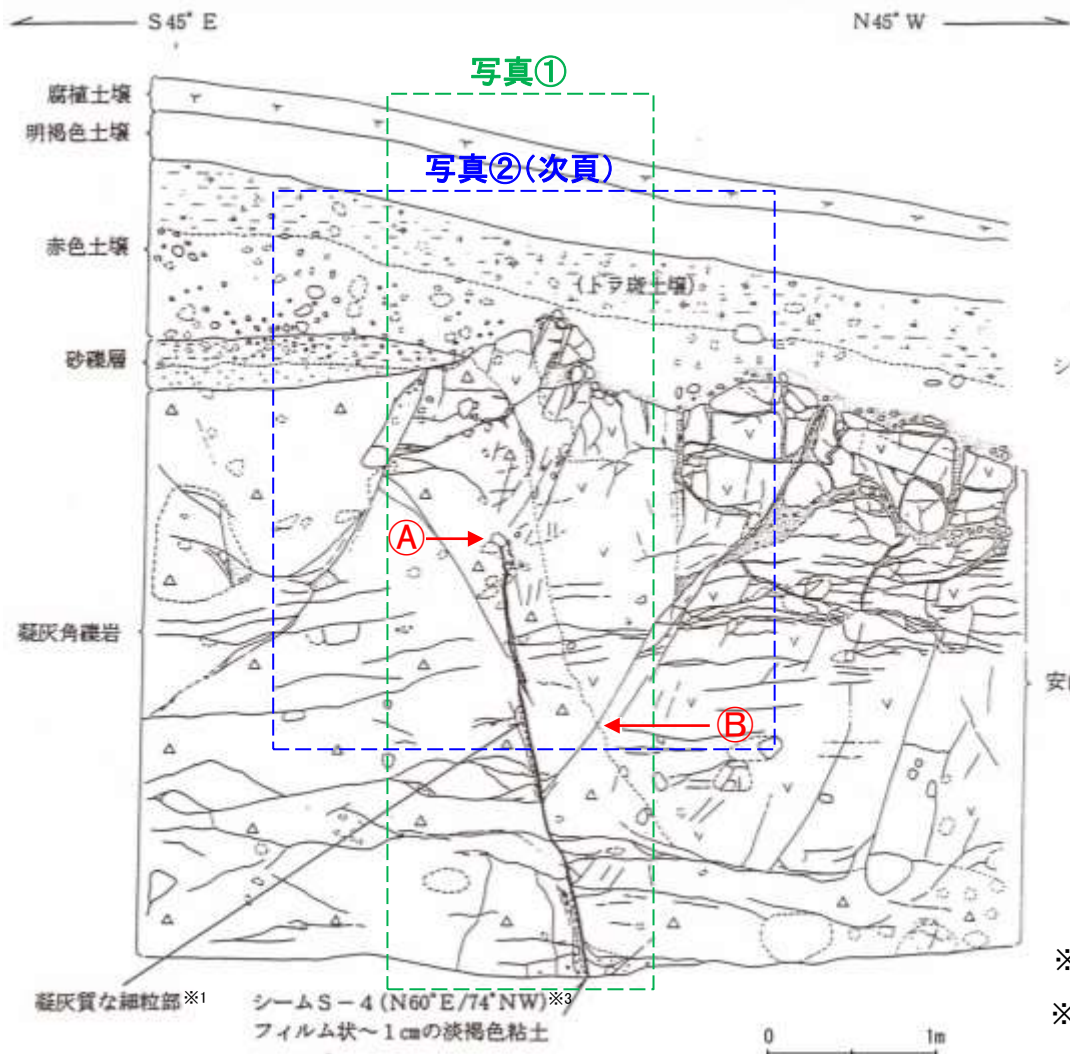
| |
|-----------------------|
| S-4トレーニチーの赤色土壌(F1~F3) |
|-----------------------|

Feo: 酸性シウ酸塩可溶鉄(非晶質)
Fed: ジチオナイト可溶鉄(結晶質, 非晶質)
Fet: 全鉄



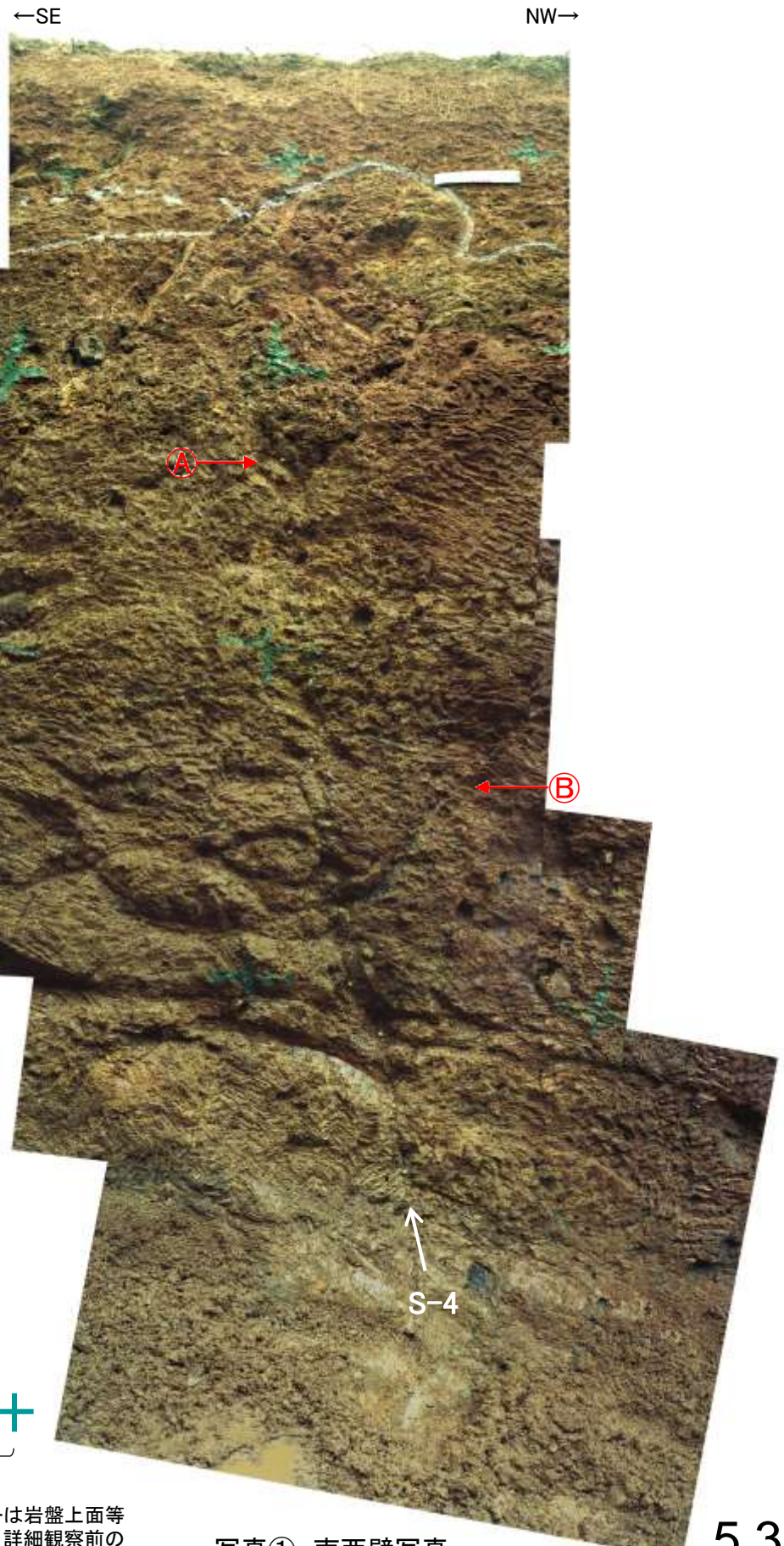
- 岩盤直上に分布する砂礫層は、全体に強風化しており、くさり礫が多く含まれ、基質中にはハロイサイト・ギブサイトが認められる。
- 砂礫層の上位に分布する赤色土壌には中～強度の土壤構造が認められ、色調2.5YR～5YR4/7を主体とするトラ斑模様が形成されており、敷地周辺に分布する中位段丘Ⅰ面を構成する土壌より赤みが強い。
- 赤色土壌について実施した遊離酸化鉄分析の結果、能登半島の赤褐色土壌～赤色土壌と同程度である。

S-4トレーニチ -南西壁写真-

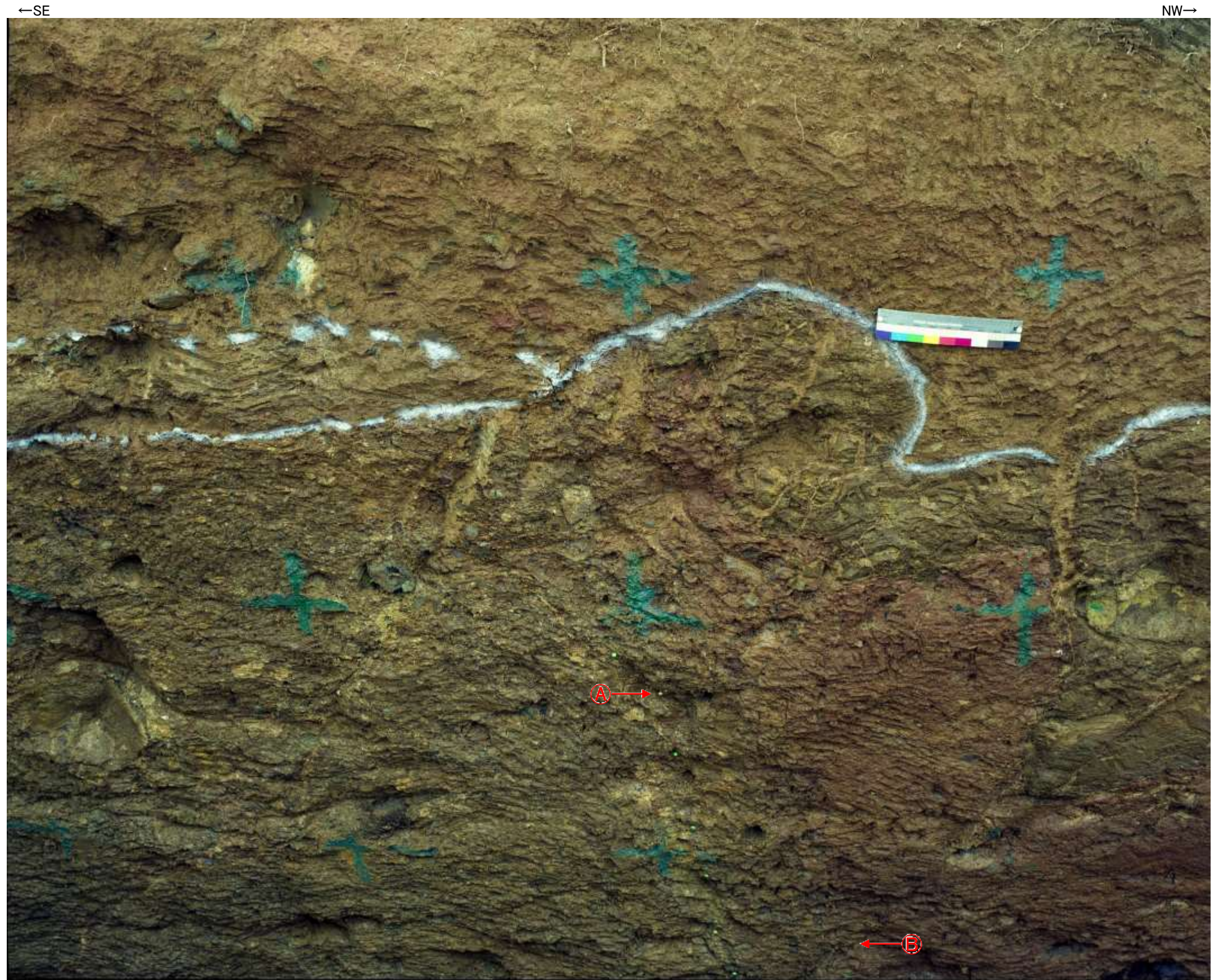


Ⓐ S-4は、凝灰角礫岩の中で消失する。
 Ⓛ S-4から枝分かれするように延びる節理に沿って、
 安山岩と凝灰角礫岩の岩相境界が変位していない。

・S-4は、凝灰角礫岩の中で消失する。



S-4トレーナー -南西壁拡大写真-



※写真中の白いスプレーは岩盤上面等を示したものであるが、
詳細観察前のものであり、スケッチと異なる。

写真② 南西壁拡大写真

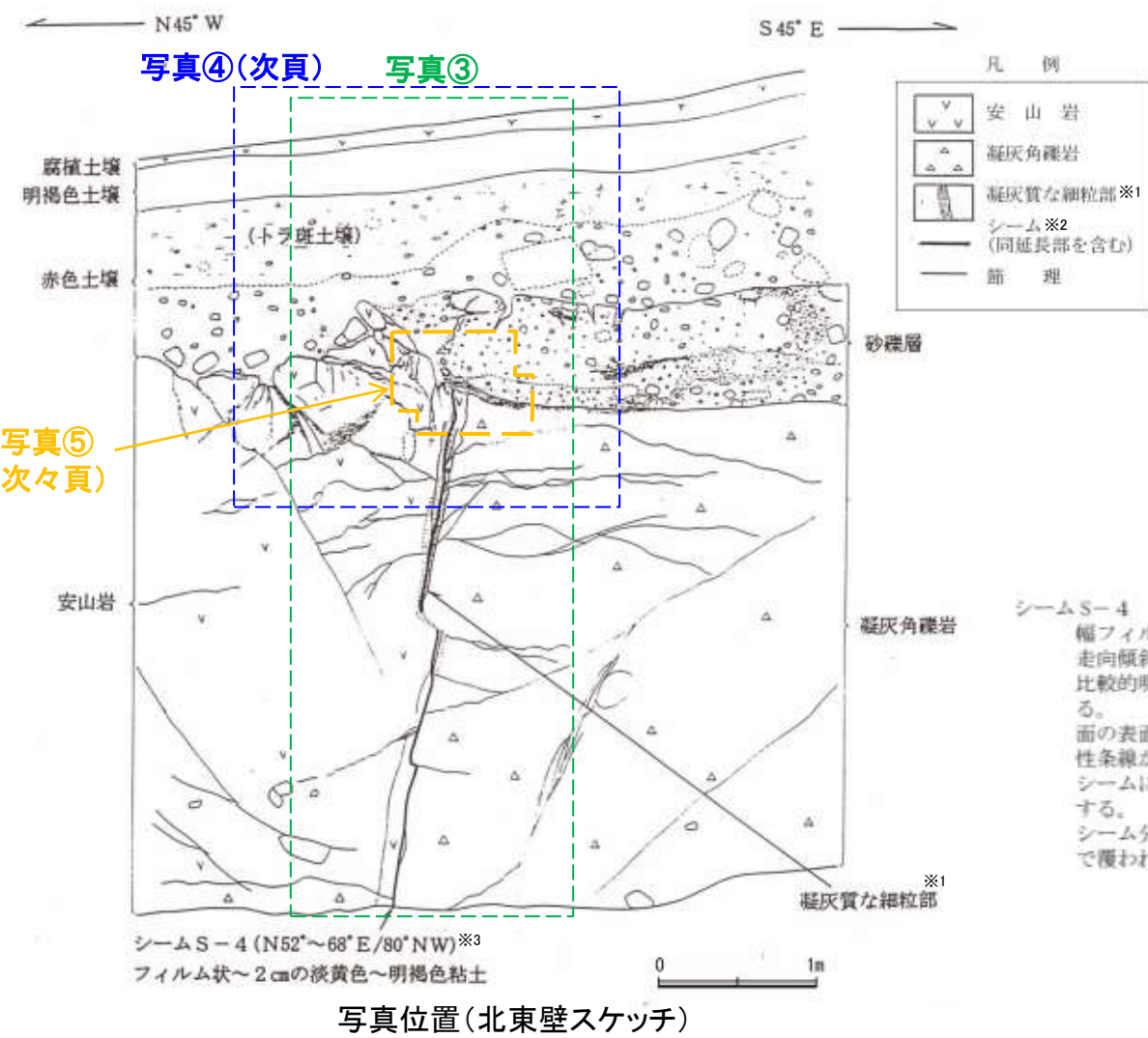
主せん断面

+

1m

5.3-4-22

S-4トレーニチー 北東壁写真

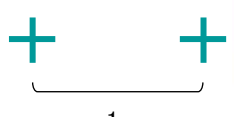


・S-4は、岩盤直上の砂礫層に変位・変形を与えていない。

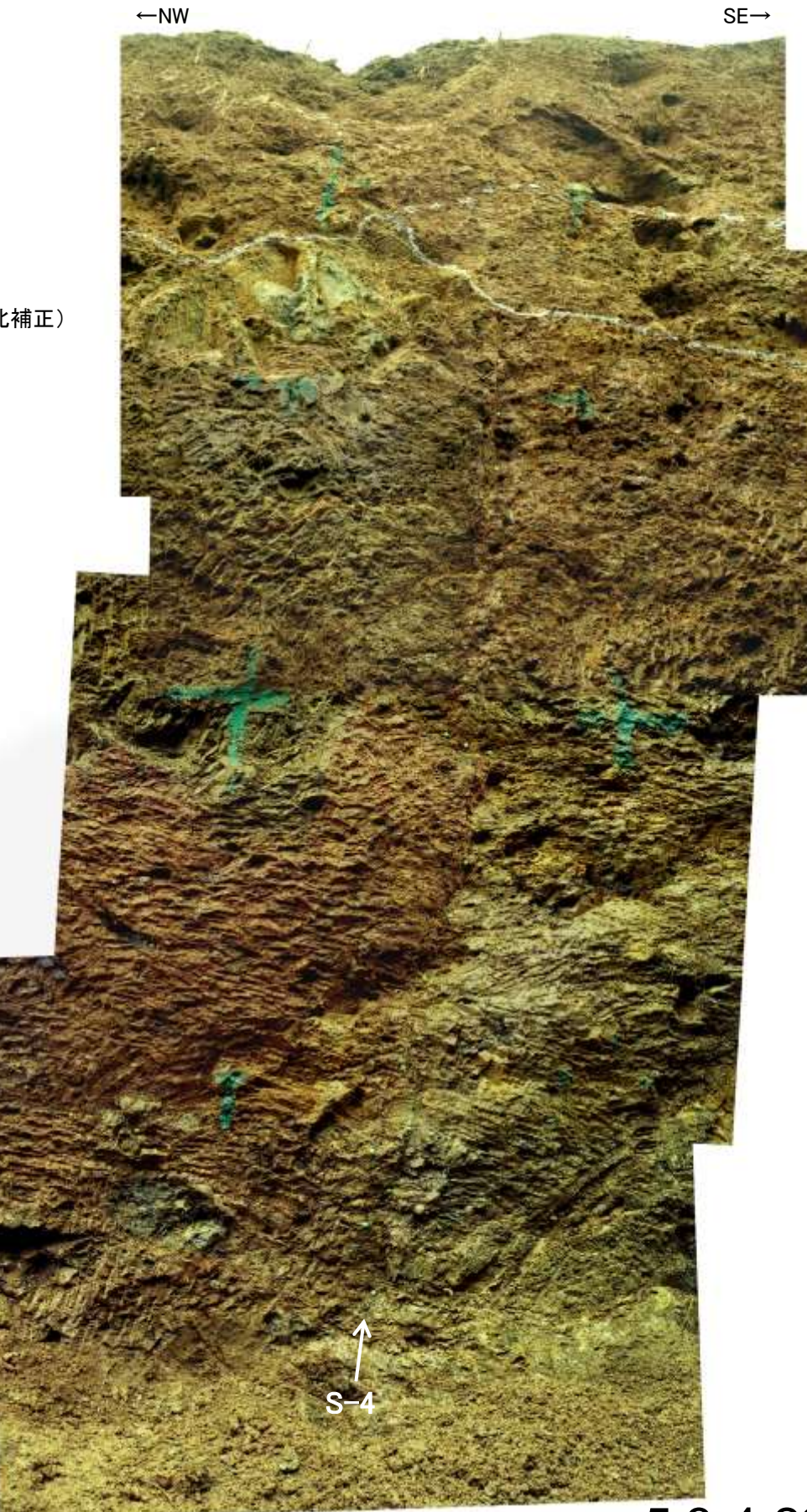
※1:スケッチ時の記載用語。

※2:スケッチ時の記載用語。
「粘土状破碎部」に対応する。

※3:N44~60° E/80° NW (真北補正)



*写真中の白いスプレーは岩盤上面等を示したものであるが、詳細観察前のものであり、スケッチと異なる。



S-4トレーナー －北東壁拡大写真－

←NW

SE→



※写真中の白いスプレーは岩盤上面等を示したものであるが、
詳細観察前のものであり、スケッチと異なる。

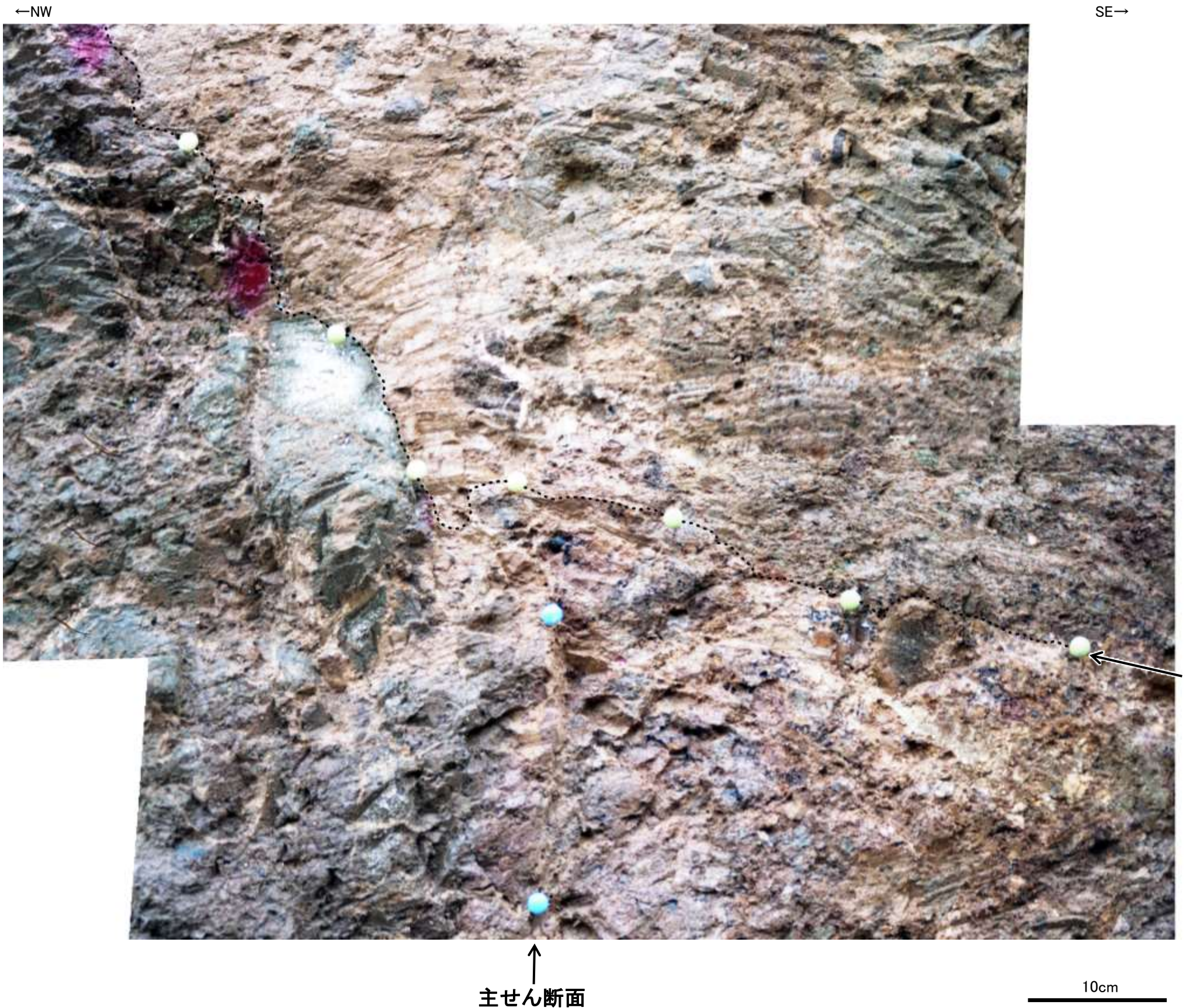
↑
主せん断面

写真④ 北東壁拡大写真

1m

5.3-4-24

S-4トレーニチー 北東壁S-4付近拡大写真

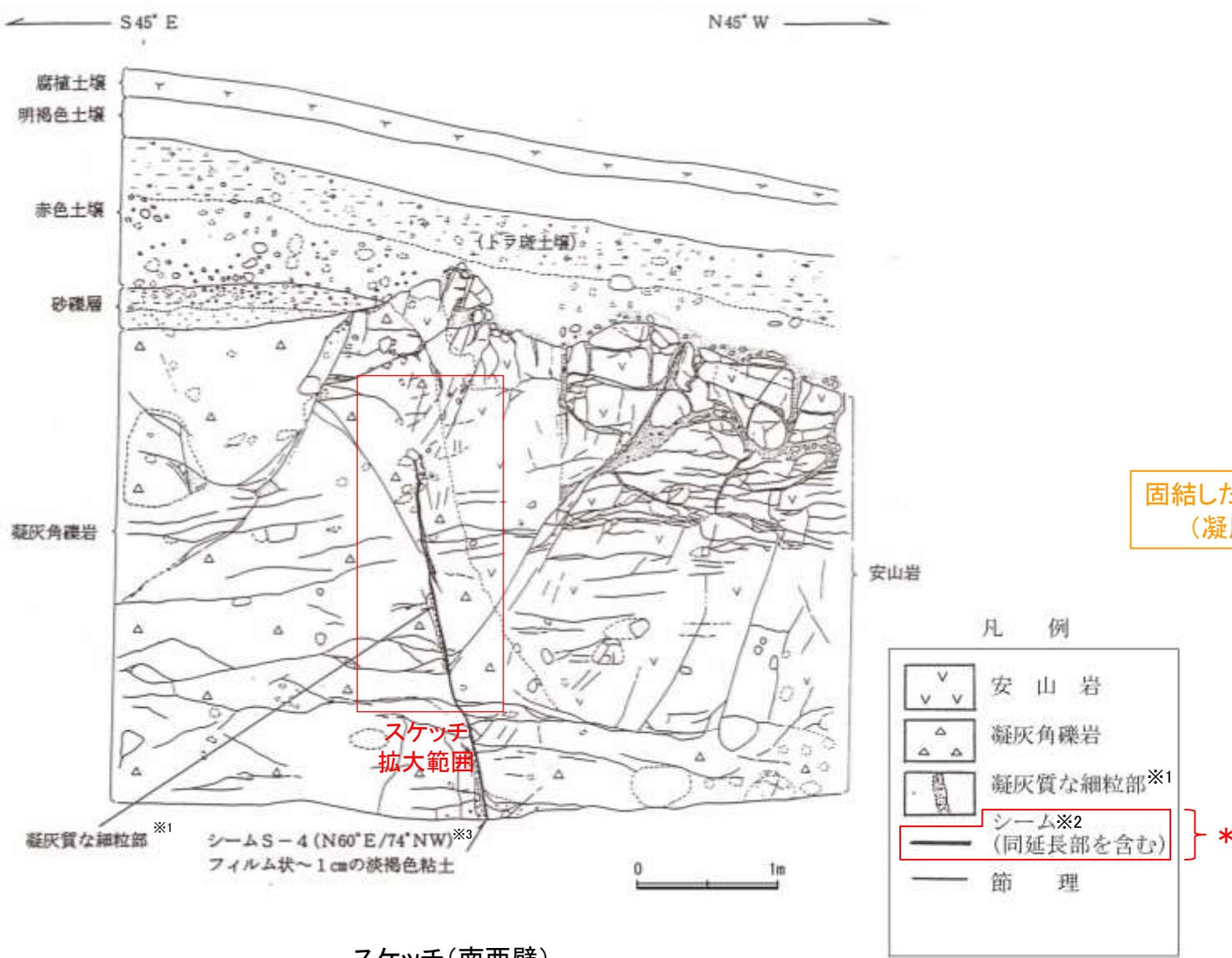


写真⑤ S-4付近拡大写真(岩盤上面を加筆)

・堆積構造が確認できるトレーニチー壁面の詳細な写真的観察によれば、主せん断面の直上において、岩盤の上面に段差はなく、その直上を覆う砂礫層に断層変位を示唆するようなせん断面や地層の擾乱は認められない。

【破碎部の分布について(参考)】

- 当時の記載によると、岩盤の下半部には粘土状破碎部(シーム)及び固結した粘土・砂状破碎部(凝灰質な細粒部)が分布し、岩盤の上半部には固結した粘土・砂状破碎部(凝灰質な細粒部)のみ分布する。
- 固結した粘土・砂状破碎部のみ分布する箇所も含めて、S-4が連続するものとした。

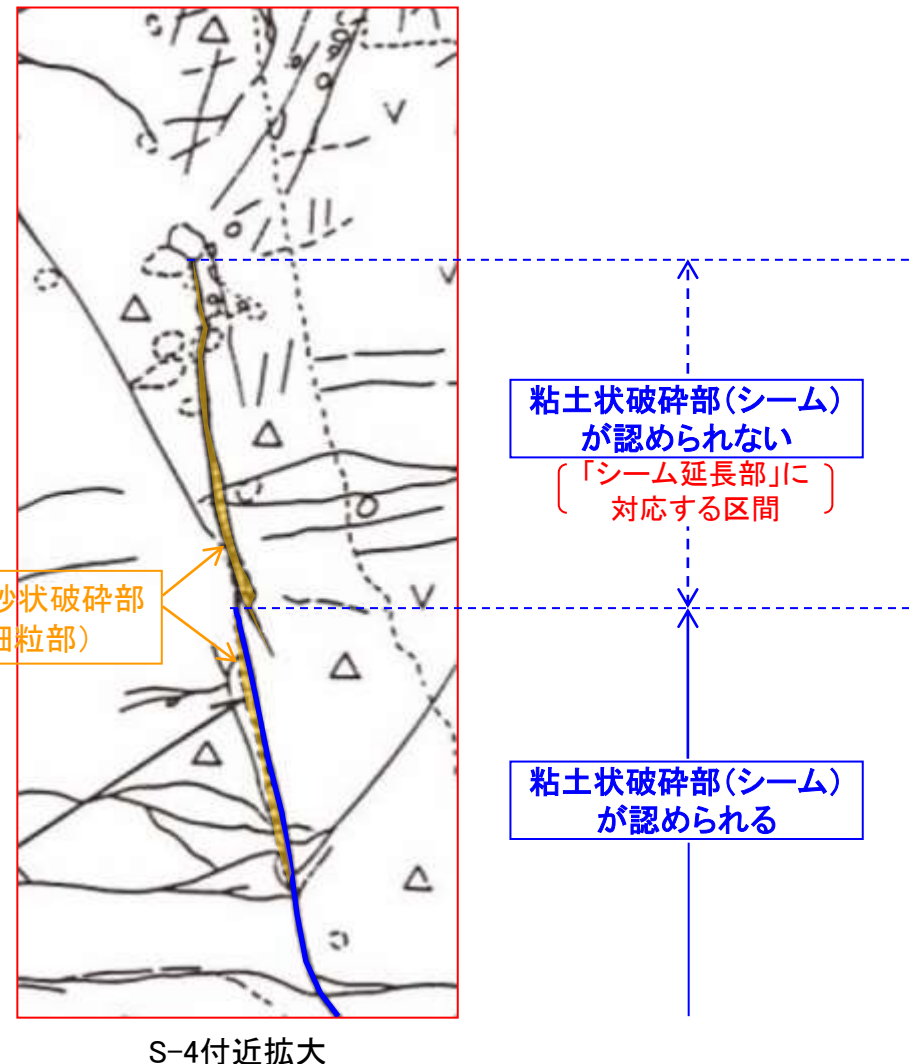


*1: スケッチ時の記載用語。
詳細については**補足資料2.2-1**。

*2: スケッチ時の記載用語。
「粘土状破碎部」に対応する。

*3: N52° E/74° NW (真北補正)

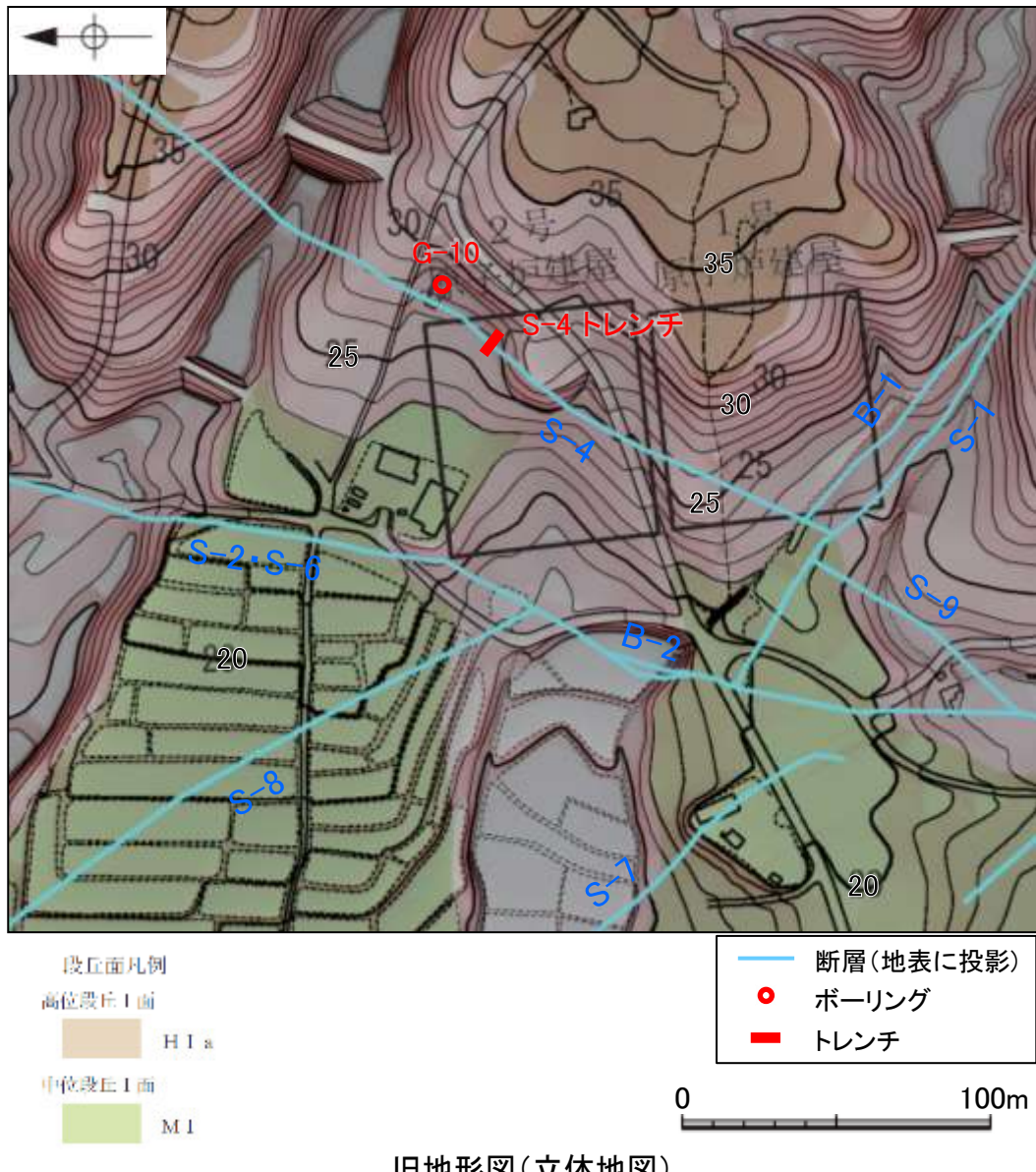
* : シーム(同延長部を含む)とは、シームが認められる部分のほか、凝灰質な細粒部が分布するがシームが認められない「シーム延長部」を含めて図示したもの。



シーム S-4 (当時のスケッチの記載)
幅フィルム状～1cm の淡褐色粘土。
走向傾斜 N60°E/74°NW。
岩盤の下半部でのみ確認され、比較的明瞭な面が連続する。
面の一部には鏡肌が認められる。
岩盤の上半延長部には凝灰質な細粒部が分布するがシームは認められず、岩盤は砂礫層に不整合で覆われる。
(赤下線部の記載については、上図)

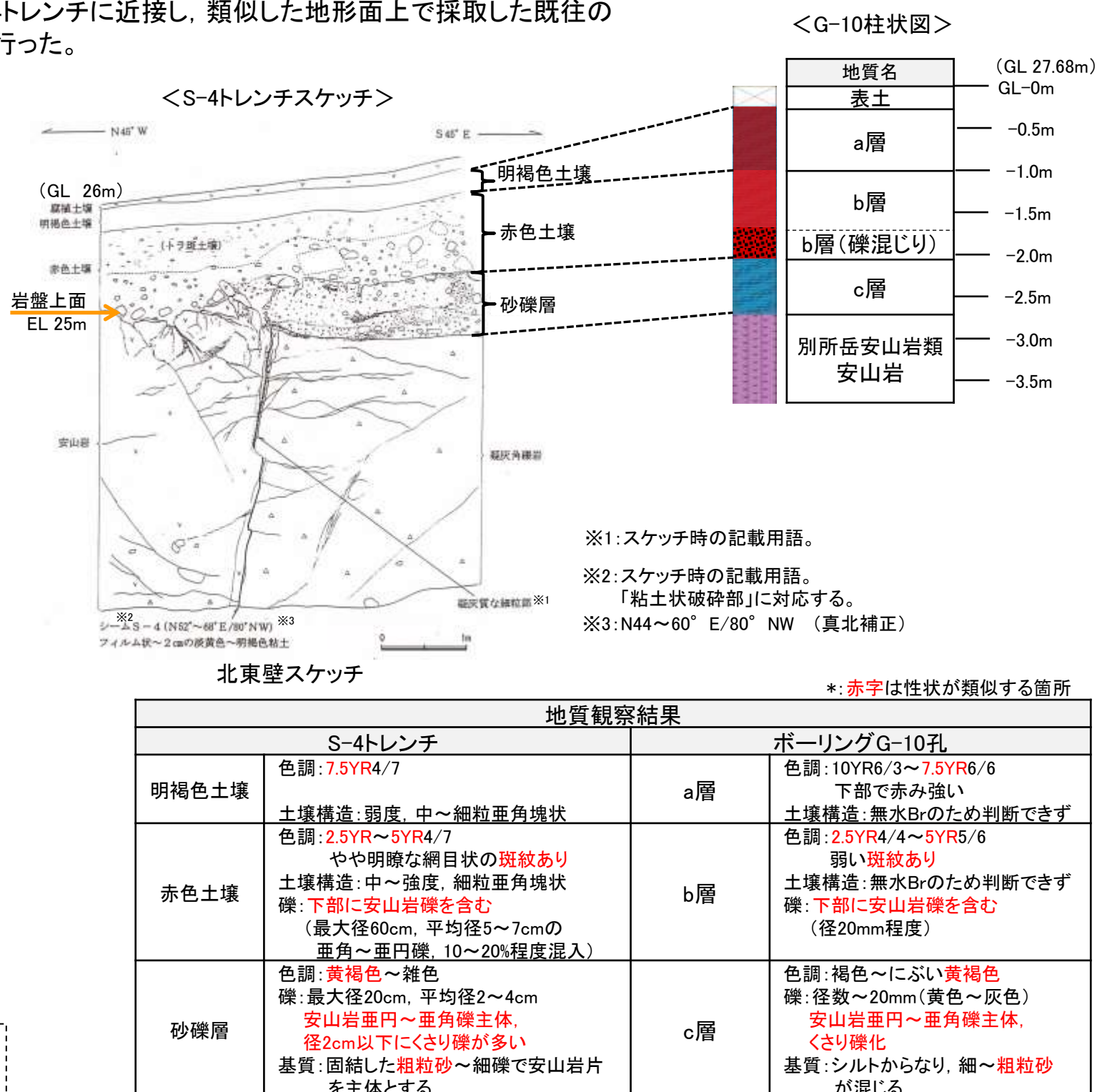
S-4トレーニチ 堆積物の年代データの拡充①

■S-4トレーニチの堆積層の年代に関するデータ拡充を目的として、S-4トレーニチに近接し、類似した地形面上で採取した既往のボーリング試料(G-10孔)を用いて、地質観察及び火山灰分析等を行った。



<位置関係>

・S-4トレーニチは標高約26m、ボーリングG-10孔は標高約27.7mに位置し、ともに中位段丘I面と高位段丘Ia面の間の緩斜面上に位置する。

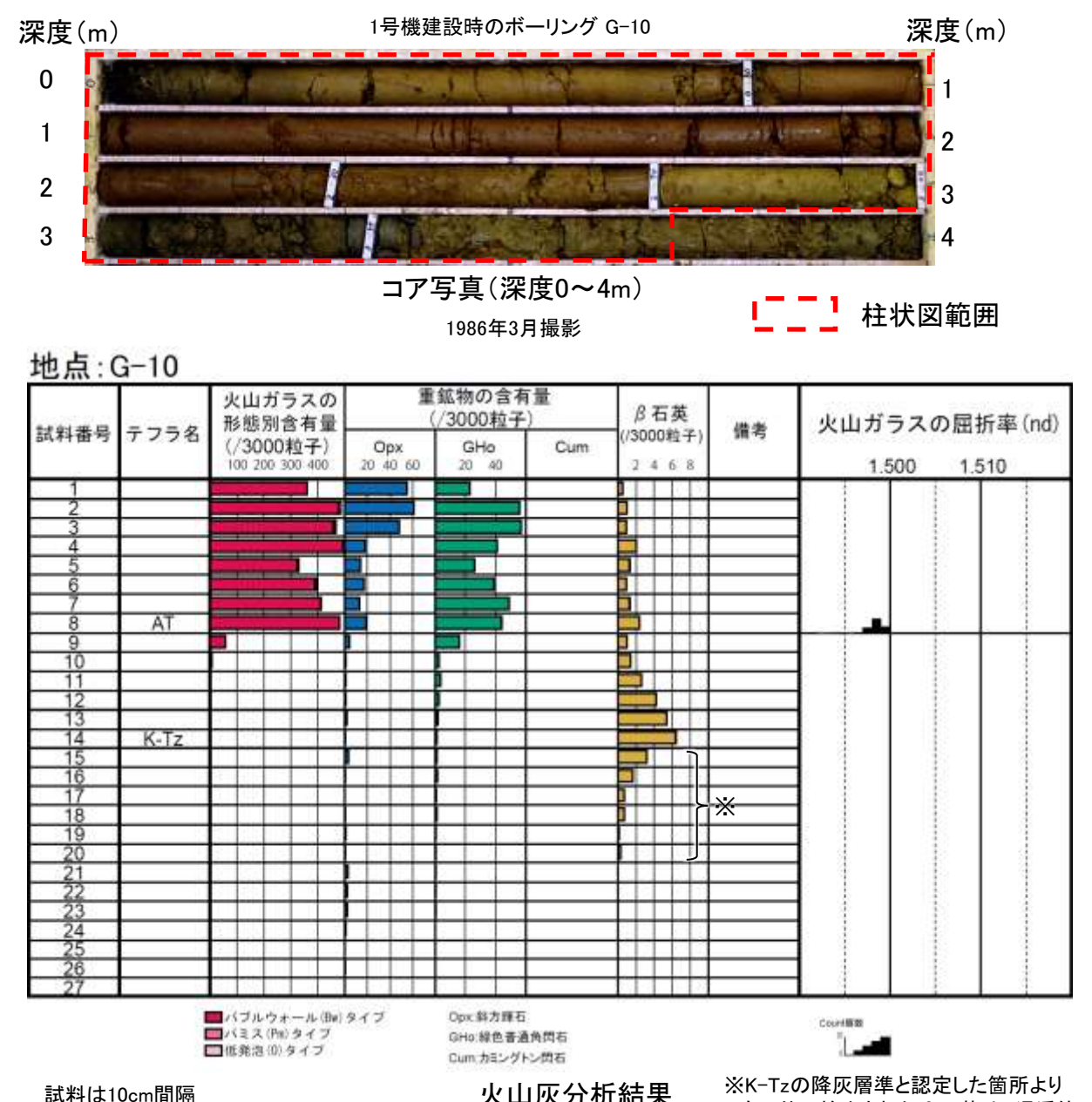
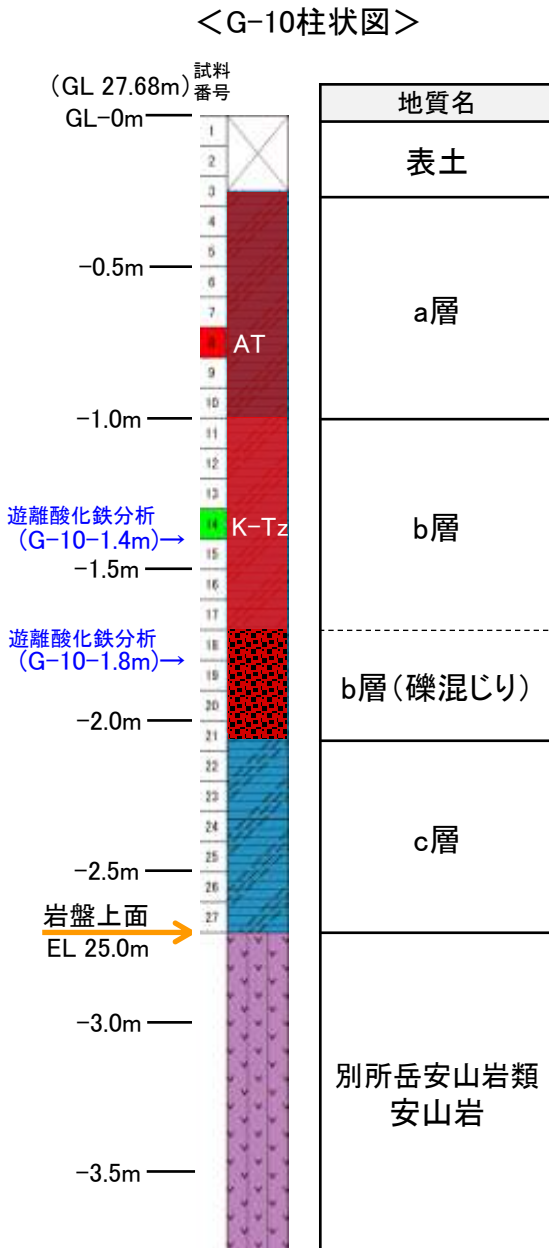


<地質状況>

- ・G-10孔及びS-4トレーニチにおける岩盤(別所岳安山岩類)の上面標高は、いずれも約25mである。
- ・G-10孔の堆積物(深度0.25~2.70m)は、S-4トレーニチに分布する堆積物と地層の層厚や色調、含まれる礫等が類似している。

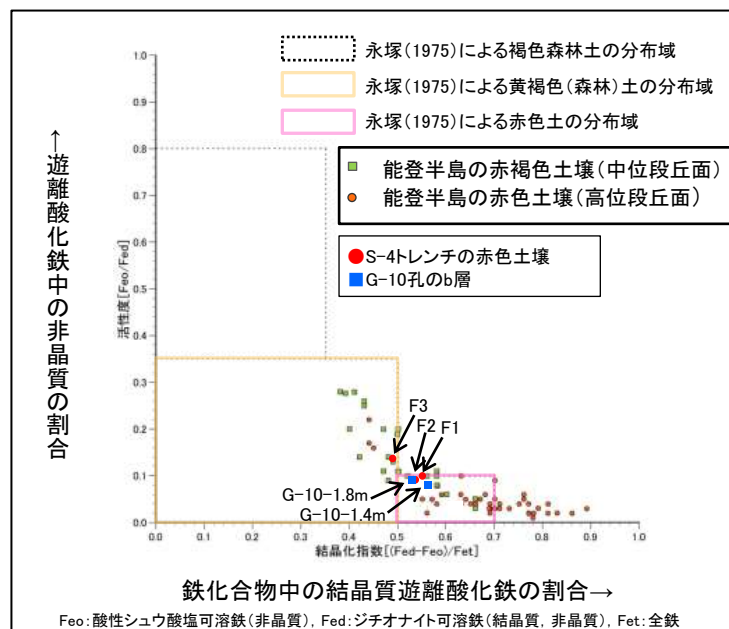
S-4トレーニング 堆積物の年代データの拡充②

■G-10孔コアから火山灰分析及び遊離酸化鉄分析を実施した結果について、以下に示す。



テフラの年代(町田・新井, 2011)
AT: 2.8万~3万年前
K-Tz: 9.5万年前

・火山灰分析の結果、a層中にAT(2.8~3万年前)、b層中にK-Tz(9.5万年前)の降灰層準が認められる。



遊離酸化鉄分析結果

- 遊離酸化鉄分析の結果、b層はS-4トレーニングに分布する赤色土壤と同様に、能登半島の赤褐色土壤～赤色土壤に相当する。

・S-4トレーニングの砂礫層に相当する地層であるG-10孔のc層は、火山灰分析・遊離酸化鉄分析の結果を踏まえると、少なくとも約12~13万年前以前の堆積物であると考えられる。

補足資料6. 1－1

有識者会合の評価を踏まえたデータ拡充